

UNIVERSITATEA "POLITEHNICA" DIN TIMIȘOARA
FACULTATEA DE MECANICĂ

TEZĂ DE DOCTORAT

**INFLUENȚA INTRODUCERII VIBROȘOCURILOR
ASUPRA CALITĂȚII LA PRELUCRĂRI PRIN
AŞCHIERE**

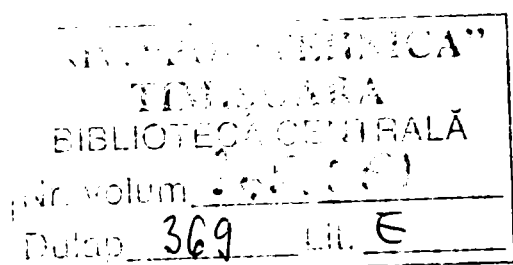
ANEXE

CONDUCĂTOR ȘTIINȚIFIC

Prof. univ.dr. ing. LIVIU BRÎNDEU

DOCTORAND

Şef lucr. ing. IOAN MOGA



2005

Cuprins

Anexa 1. Program sursă „tra_vibr”.....	3
Anexa 2. Codurile sursă ale programului „tra_vibr” și „rug_vibr5”.....	4
Anexa 3. Program sursă pentru prelucrare fără vibrații și de gestionare a programelor rug_vibr5 și rug_vibr6.....	6
Anexa 4. Simularea aşezării de k_x perioade pe circumferința piesei.....	8
Anexa 5. Simularea aşezării de k_x+i perioade pe circumferința piesei.....	13
Anexa 6. Simularea aşezării unui număr întreg de lungimi de undă λ pe circumferința piesei.....	16
Anexa 7. Simulare strunjire fără vibrații.....	21
Anexa 8. Frecvențe de lucru la mers în gol al dispozitivului electromecanic.....	22
Anexa 9. Traекторii și rugozități simulate cu regimurile de aşchieri $s_0=0,056[\text{mm}/\text{rot}]$; $n=630 [\text{rot}/\text{min}]$	32
Anexa 10. Programul „an_spec 1” pentru calculul spectrului de frecvențe.....	37
Anexa 11. Grafice accelerării, spectre de frecvențe, viteze și deplasări înregistrate la strunjirea cu vibrații a oțelului Armco.....	39
Anexa 12. Aspectul microscopic al suprafețelor prelucrate cu vibrații al oțelului Armco.....	43
Anexa 13. Așchii rezultate la prelucrarea obișnuită și cu vibrații a oțelului Armco..	45
Anexa 14. Grafice accelerării, spectre de frecvențe, viteze și deplasări înregistrate la strunjirea cu vibrații a cuprului OFHC.....	46
Anexa 15. Aspectul microscopic al suprafețelor prelucrate cu vibrații al cuprului OFHC.....	50
Anexa 16. Așchii rezultate la prelucrarea cu vibrații ale cuprului OFHC.....	52
Anexa 17. Program „C++_asc4” pentru stabilirea parametrilor de așchieri cu salvarea datelor în fișier.....	53
Anexa 18. Program „tiro_fis_a.m” de conversie a fișierelor ASCII în fișiere MATLAB.....	61
Anexa 19. Diagrammele deplasărilor θ_a , θ_{ap} , θ_p și vitezelor unghiulare ω_{ap} ω_p corespunzătoare vitezelor din tabelul 7.2.....	70
Anexa 20. Structuri ale rădăcinii așchiei la așchiera ortogonală a cuprului OFHC prin soc.....	72
Anexa 21. Program de modelare a dispozitivului de găurire cu vibropercuții.....	75
Anexa 22. Subprogram pentru definire coordonate inițiale.....	78
Anexa 23. Testarea impactului între percutor și arbore („test_impact1”.....)	87
Anexa 24. Calculul vitezei momentane unghiulare a arborelui și a percutorului.....	95
Anexa 25. Succesiunea ciocnirilor suprafețelor și punctelor percutor-arbore în cazul dimensiunilor rezultate din proiectare.....	96
Anexa 26. Succesiunea ciocnirilor suprafețelor și punctelor percutor-arbore în cazul percutorului asimetric rezultat prin scurtarea coordonatelor punctului P_{12}	97
Anexa 27. Succesiunea ciocnirilor suprafețelor și punctelor percutor-arbore	

în cazul percursorului asimetric nefuncțional rezultat prin scurtarea coordonatelor punctului P_{12} mai mult decât trebuie.....	98
Anexa 28. Diagrame accelerații înregistrate pe arborele dispozitivului în două situații: cu dispozitivul blocat (găurire normală) și cu dispozitivul neblocat (găurire vibropercutantă).....	99
Anexa 29. Diagrame accelerații măsurate pe universal cu dispozitivul blocat (cb) și neblocat (c).....	106
Anexa 30. Diagrame ale accelerațiilor măsurate pe arborele mașinii (pinolă) cu dispozitivul blocat (așchiere normală) și neblocat (așchiere vibropercutantă).....	113
Anexa 31. Diagramele forței axiale de așchiere pentru dispozitiv blocat și dispozitiv neblocat.....	116
Anexa 32. Diagramele momentului de așchiere cu dispozitiv blocat și dispozitiv neblocat.....	124
Anexa 33. Diagramele variațiilor vitezelor unghiulare ale burghiului la așchierea vibropercutantă.....	132
Anexa 34. Așchii obținute cu masa rigidizată în cazul așchierii vibropercutante și în cazul așchierii obișnuite	139
Anexa 35. Rugozitatea suprafețelor prelucrate prin găurire cu vibroșocuri (fig.a) și obișnuit (fig.b).....	143
Anexa 36. Microstructura stratului așchiat cu vibropercuții (fig. a) și a stratului așchiat obișnuit (fig. b.).....	146
Anexa 37. Caracteristicile plăcii de achiziție de date PCI 1200.....	149
Anexa 38. Programul de achiziție „C++_disp.cpp” a semnalelor accelerometrului și timbrelor tensometrice și înscrierea datelor în fișiere pe hard disc.....	150
Anexa 39. Programe utilizate la calculul și afișarea diagramele vitezelor unghiulare ale burghiului.....	153
Anexa 40. Programe de prelucrare a semnalelor înregistrate de la accelerometru și timbre tensometrice.....	156
Anexa 41. Program de trasare diagrame „peak to peak” pentru accelerații, forțe, momente și viteze unghiulare în funcție de turătii si avans.....	158
Anexa 42. Diagrame ale amplitudinilor accelerațiilor, forțelor, momentelor și vitezelor unghiulare în funcție de turătie și viteza de avans măsurate „peak to peak” trasate cu programul „diag2.m”.....	162
Anexa 43. Diagrame RMS și a spectrelor frecvențelor în regim de așchiere obișnuit și regim vibropercutant.....	168
Anexa 44. Program „ RMS_fft3.m”sub mediu Matlab pentru calculul și trasarea diagramele RMS a spectrelor de frecvență.....	178
Anexa 45. Program „diag_3.m” de trasare diagrame rugozități în funcție de turătii și vitezele de avans la așchierea obisnuită și vibropercutantă....	180
Anexa 46. Diagramele de variație ale valorilor măsurate a rugozităților suprafețelor în funcție de regimurile utilizate la așchierea obișnuită și așchierea vibropercutantă.....	181

Anexa 1.**Program sursă „tra_vibr” pentru introducerea relației (5.28) în cod MATLAB**

```
%Traекторie prelucrare cu vibratii
grid on;
axis([-10 10 0 200]);
hold on;
s = input('Avans [mm/rot]      :');
n = input('Turatie [rot/min]     :');
a = input('Amplitudine [mm]      :');
f = input('Frecventa [Hz]        :');
d = input('Diametru piesa [mm]   :');
nr_cicluri = input('Numar de perioade :');
nr_rot = nr_cicluri*n/(60*f);

lung_desf = pi*d;
delta_y = 1;
nr_val_y = floor(lung_desf/delta_y);
delta_t = (delta_y*(60/n))/(pi*d);
nr_val = floor(nr_val_y*nr_rot);

x = zeros(1,nr_val);
y = zeros(1,nr_val);
t = 0;
for j = 1:nr_rot
    for i = 1:nr_val_y
        ind = (j-1)*nr_val_y+i;
        y(ind) = i*delta_y;
        t = t + delta_t;
        x(ind) = (s*n/60*t+a*sin(2*pi*f*t));
        if i>2
            if abs(y(ind)-y(ind-1)) == delta_y
                line([x(ind-1) x(ind)],[y(ind-1) y(ind)]);
            end
        end
    end
end
```

Codurile sursă ale programului „tra_vibr” și „rug_vibr5”**%Rugozitate prelucrare cu vibratii**

```
s = input('Avans [mm/rot]      :');
n = input('Turatie [rot/min]     :');
a = input('Amplitudine [mm]       :');
f = input('Frecventa [Hz]         :');
d = input('Diametru piesa [mm]    :');
kappa = input('Unghiul de atac [grade]:');
kappa_rad = (90-kappa)*pi/180;
nr_cicluri = input('Numar de perioade      :');
```

% Valori constante calculate

```
nr_rot = nr_cicluri*n/(60*f);
lung_desf = pi*d;
delta_y = 1;
nr_val_y = floor(lung_desf/delta_y);
delta_t = (delta_y*(60/n))/(pi*d);
nr_val = floor(nr_val_y*nr_rot);
```

% Matric pentru x si y

```
x = zeros(1,nr_val);
y = zeros(1,nr_val);
```

% Calcul traекторie cutit

```
t = 0;
for j = 1:nr_rot
    for i = 1:nr_val_y
        y((j-1)*nr_val_y+i) = i*delta_y;
        t = t + delta_t;
        x((j-1)*nr_val_y+i) = (s*n/60*t+a*sin(2*pi*f*t));
        ind = (j-1)*nr_val_y+i;
        if i>2
            if abs(y(ind)-y(ind-1)) == delta_y
                line([x(ind-1) x(ind)],[y(ind-1) y(ind)]);
            end
        end
    end
end
```

% Sorteaza

```
date1 = [x' y'];
date2 = floor(date1*10000000000);
[date, indecs] = sortrows(date2,[2 1]);
```

```

date = date/10000000000;
x = zeros(1,nr_val);
y = zeros(1,nr_val);
x = date(1:nr_val,1)';
y = date(1:nr_val,2)';

```

%Ciclul de calcul a valorilor rugozitatii

```

nr_pct = nr_val;
supr = zeros(nr_pct,3);
k = 0;
for i = 1:nr_val-1
    if y(i) == y(i+1)
        delta_x = x(i+1)-x(i);
        xm = x(i) + delta_x/2;
        ym= y(i);
        zm = abs(delta_x)*tan(kappa_rad)/2;
        k = k+1;
        supr(k,1) = xm;
        supr(k,2) = ym;
        supr(k,3) = zm;
        k = k+1;
        supr(k,1) = x(i+1);
        supr(k,2) = y(i+1);
        supr(k,3) = 0;
    end
    % Pentru o simulare in timp se activeaza pauza
    %pause(1);
end
[nezerox,nezeroy,nezeroz] = find(supr);
limita_mesh_min = min(nezerox);
limita_mesh_max = max(nezerox);

x_inter = supr(limita_mesh_min:limita_mesh_max,1);
y_inter = supr(limita_mesh_min:limita_mesh_max,2);
z_inter = supr(limita_mesh_min:limita_mesh_max,3);

```

%Generare retea 3D

```

xlin = linspace(min(x_inter),max(x_inter),50);
ylin = linspace(min(y_inter),max(y_inter),50);
[X,Y] = meshgrid(xlin,ylin);

```

%Interpolare 3D

```
Z = griddata(x_inter,y_inter,z_inter,X,Y,'linear');
```

%Afisare grafica 3D

```

colormap('pink');
figure; meshz(X,Y,Z)

```

Anexa 3.**Program sursă pentru prelucrare fără vibrații și de gestionare a programelor
rug_vibr5 și rug_vibr6****%Rugozitate prelucrare fara vibratii**

```
s = input('Avans [mm/rot]      ');
n = input('Turatie [rot/min]    ');
d = input('Diametru piesa [mm]   ');
kappa = input('Unghiul de atac [grade] ');
kappa_rad = (90-kappa)*pi/180;
nr_rot = input('Numar de rotatii   ');
```

% Valori constante calculate

```
lung_desf = pi*d;
delta_y = 1;
nr_val_y = floor(lung_desf/delta_y);
delta_t = (delta_y*(60/n))/(pi*d);
nr_val = floor(nr_val_y*nr_rot);
```

% Matrice pentru x si y

```
x = zeros(1,nr_val);
y = zeros(1,nr_val);
```

% Calcul traекторie cutit

```
t = 0;
for j = 1:nr_rot
    for i = 1:nr_val_y
        y((j-1)*nr_val_y+i) = i*delta_y;
        t = t + delta_t;
        x((j-1)*nr_val_y+i) = (s*n/60*t);
        ind = (j-1)*nr_val_y+i;
        if i>2
            if abs(y(ind)-y(ind-1)) == delta_y
                line([x(ind-1) x(ind)],[y(ind-1) y(ind)]);
            end
        end
    end
end
```

% Sorteaza

```
date1 = [x' y'];
date2 = floor(date1*10000000000);
[date, indecsi] = sortrows(date2,[2 1]);
date = date/10000000000;
x = zeros(1,nr_val);
```

```
y = zeros(1,nr_val);
x = date(1:nr_val,1)';
y = date(1:nr_val,2');
```

%Ciclul de calcul a valorilor rugozitatii

```
nr_pct = nr_val;
supr = zeros(nr_pct,3);
k = 0;
for i = 1:nr_val-1
    if y(i) == y(i+1)
        delta_x = x(i+1)-x(i);
        xm = x(i) + delta_x/2;
        ym= y(i);
        zm = abs(delta_x)*tan(kappa_rad)/2;
        k = k+1;
        supr(k,1) = xm;
        supr(k,2) = ym;
        supr(k,3) = zm;
        k = k+1;
        supr(k,1) = x(i+1);
        supr(k,2) = y(i+1);
        supr(k,3) = 0;
    end
    % Pentru o simulare in timp se activeaza pauza
    %pause(1);
end
[nezerox,nezeroy,nezeroz] = find(supr);
limita_mesh_min = min(nezerox);
limita_mesh_max = max(nezerox);
```

```
x_inter = supr(limita_mesh_min:limita_mesh_max,1);
y_inter = supr(limita_mesh_min:limita_mesh_max,2);
z_inter = supr(limita_mesh_min:limita_mesh_max,3);
```

%Generare retea 3D

```
xlin = linspace(min(x_inter),max(x_inter),400);
ylin = linspace(min(y_inter),max(y_inter),400);
[X,Y] = meshgrid(xlin,ylin);
```

%Interpolare 3D

```
Z = griddata(x_inter,y_inter,z_inter,X,Y,'linear');
```

%Afisare grafica 3D

```
colormap('pink');
figure; meshz(X,Y,Z)
%axis('equal');
```

Anexa 4.**Simularea așezării de k_λ perioade pe circumferința piesei**

$$k_\lambda + i = 60 * f/n; \quad i=0; \quad k_\lambda = 60 * f/n, \text{ rezultă } f=n * k_\lambda / 60$$

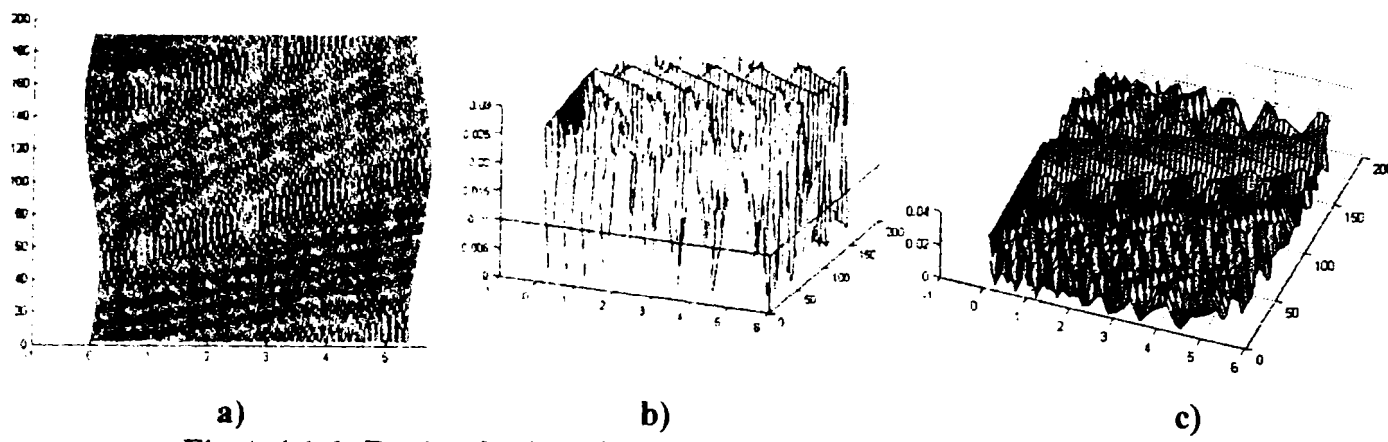


Fig.A.4.1.1. Regimul mișcării vibratorii: $f=10,5 \text{ Hz}$; $A_x=0.16 \text{ mm}$; $k_\lambda = 1$

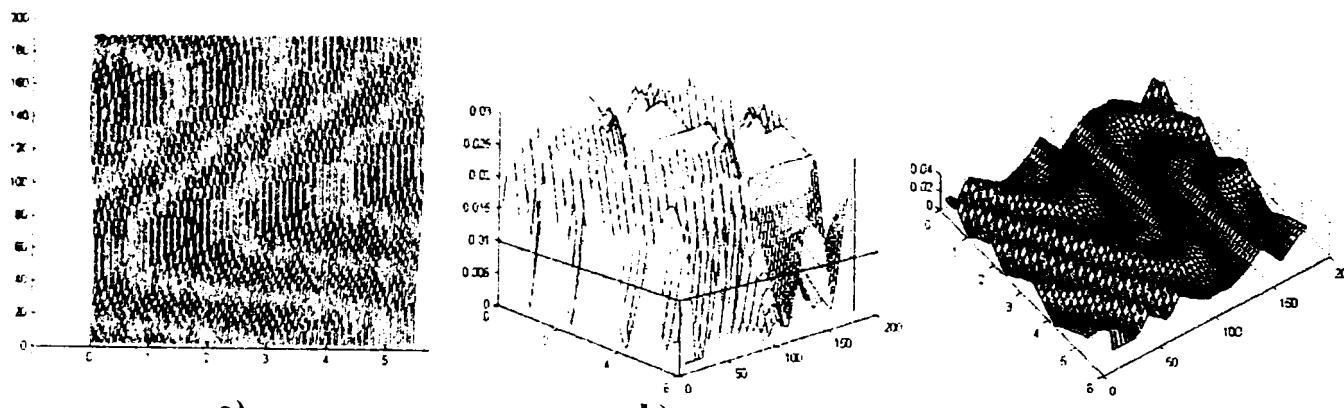


Fig.A.4.1.2. Regimul mișcării vibratorii: $f=10,5 \text{ Hz}$; $A_x=0.056 \text{ mm}$; $k_\lambda = 1$

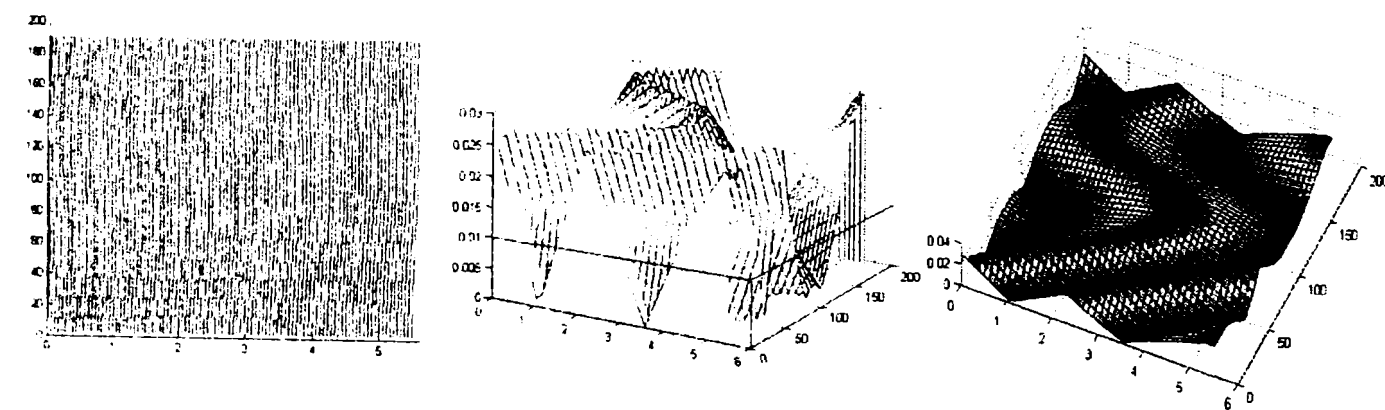


Fig.A.4.1.3. Regimul mișcării vibratorii: $f=10,5 \text{ Hz}$; $A_x=0.028 \text{ mm}$; $k_\lambda = 1$

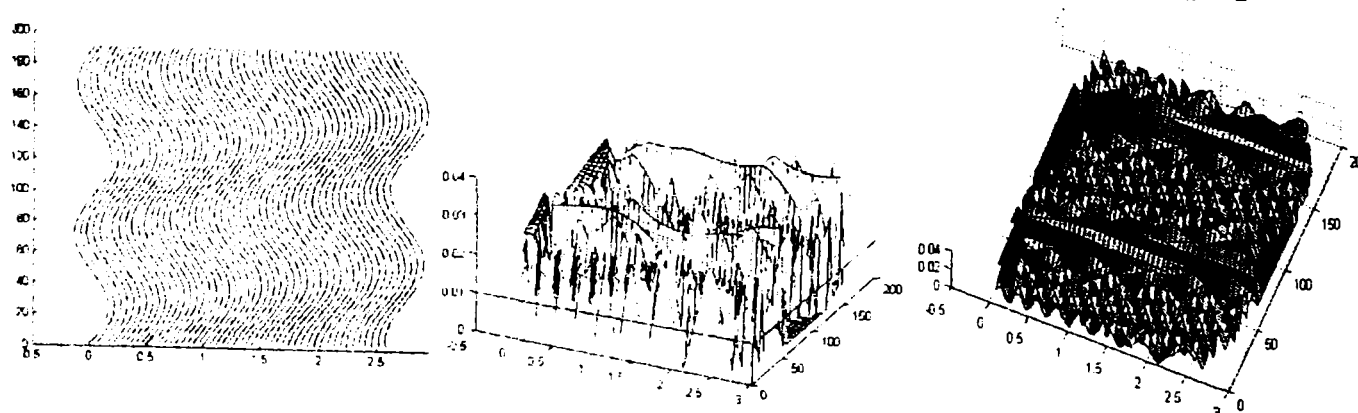


Fig.A.4.2.1. Regimul mișcării vibratorii: $f=21 \text{ Hz}$; $A_x=0.16 \text{ mm}$; $k_\lambda = 2$

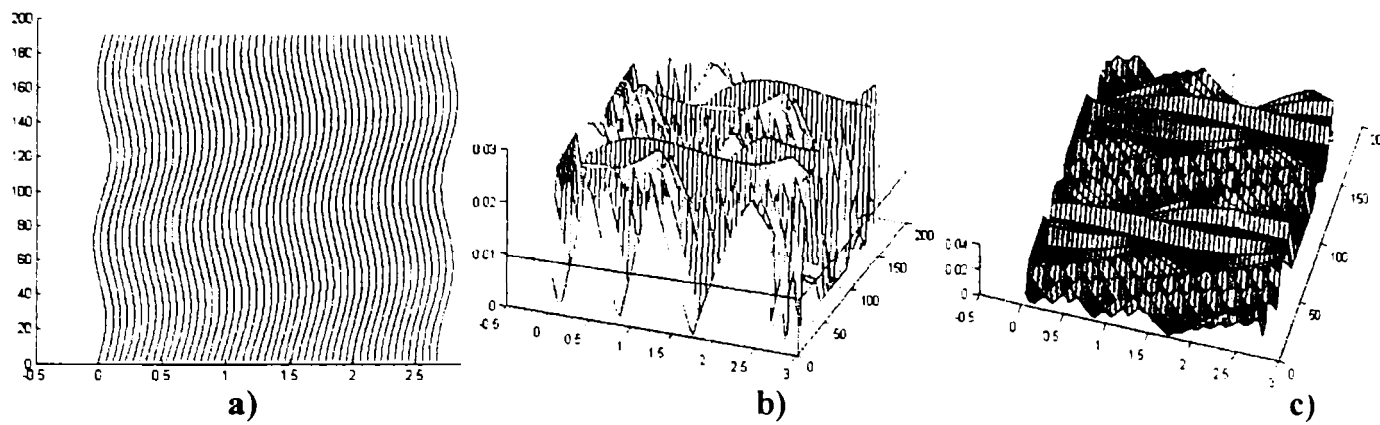


Fig.A.4.2.2. Regimul mișcării vibratorii: $f=21 \text{ Hz}$; $A_x=0.056 \text{ mm}$; $k_\lambda=2$

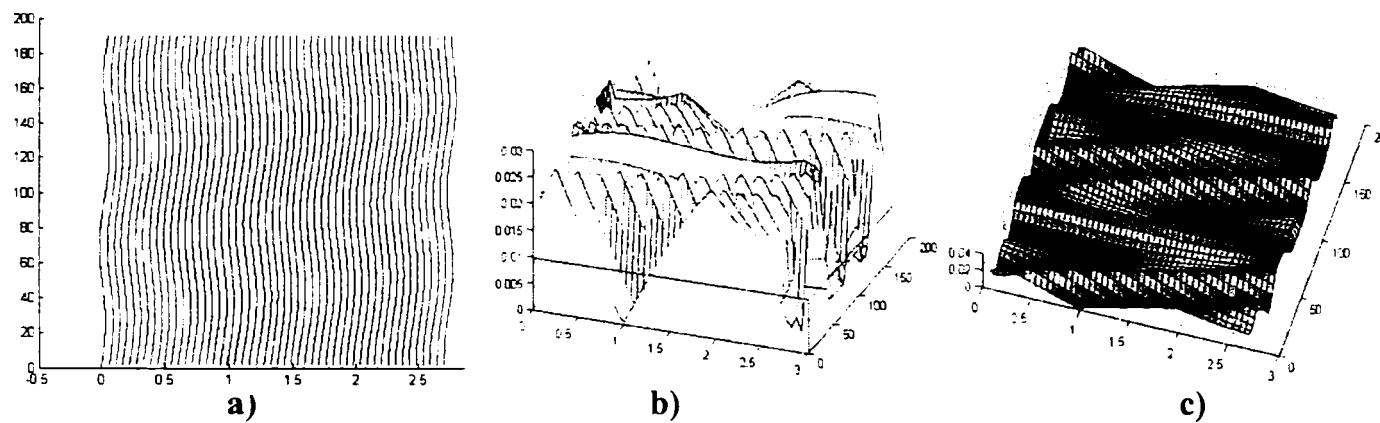


Fig.A.4.2.3. Regimul mișcării vibratorii: $f=21 \text{ Hz}$; $A_x=0.028 \text{ mm}$; $k_\lambda=2$

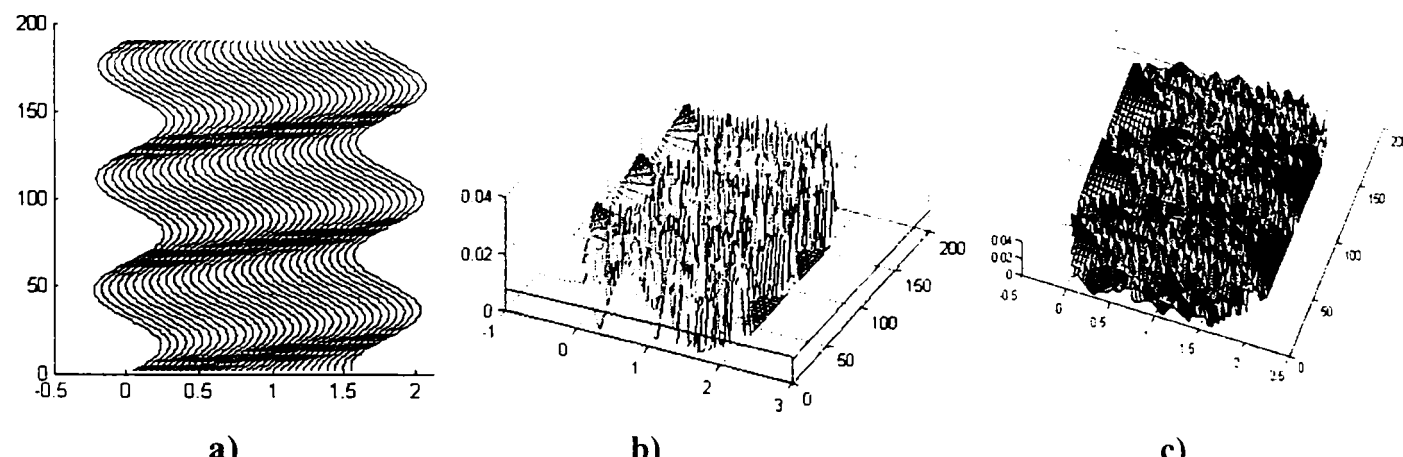


Fig.A.4.3.1. Regimul mișcării vibratorii: $f=31,5 \text{ Hz}$; $A_x=0.24 \text{ mm}$; $k_\lambda=3$

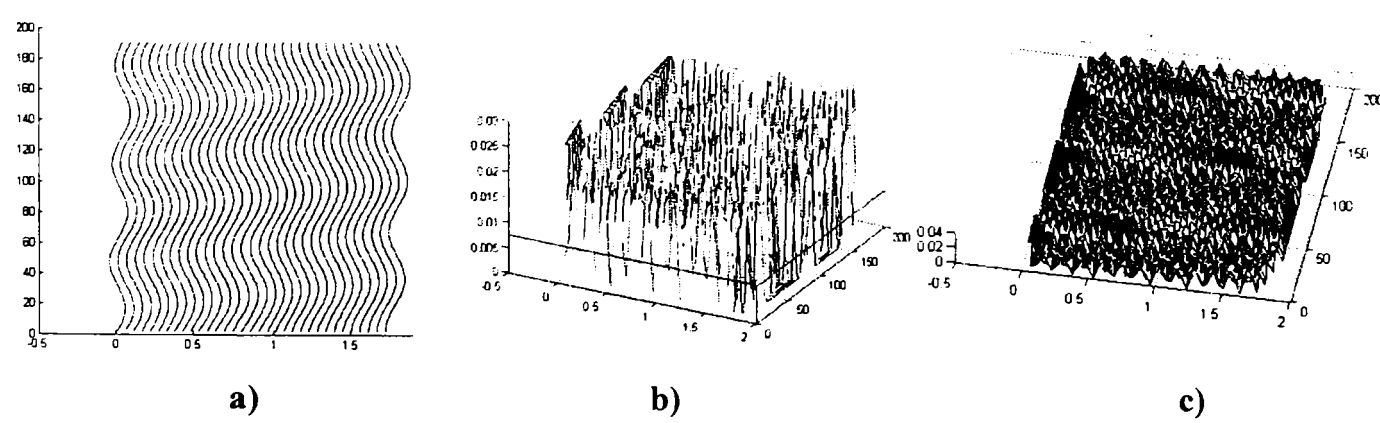


Fig.A.4.3.2. Regimul mișcării vibratorii: $f=31,5 \text{ Hz}$; $A_x=0.056 \text{ mm}$; $k_\lambda=3$

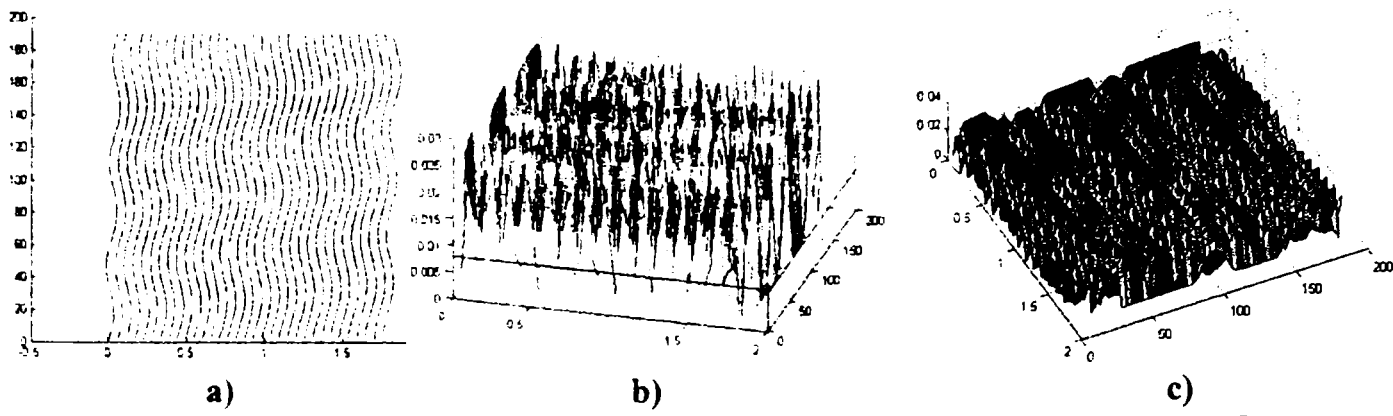


Fig.A.4.3.3. Regimul mișcării vibratorii: $f=31,5 \text{ Hz}$; $A_x=0.028 \text{ mm}$; $k_\lambda=3$

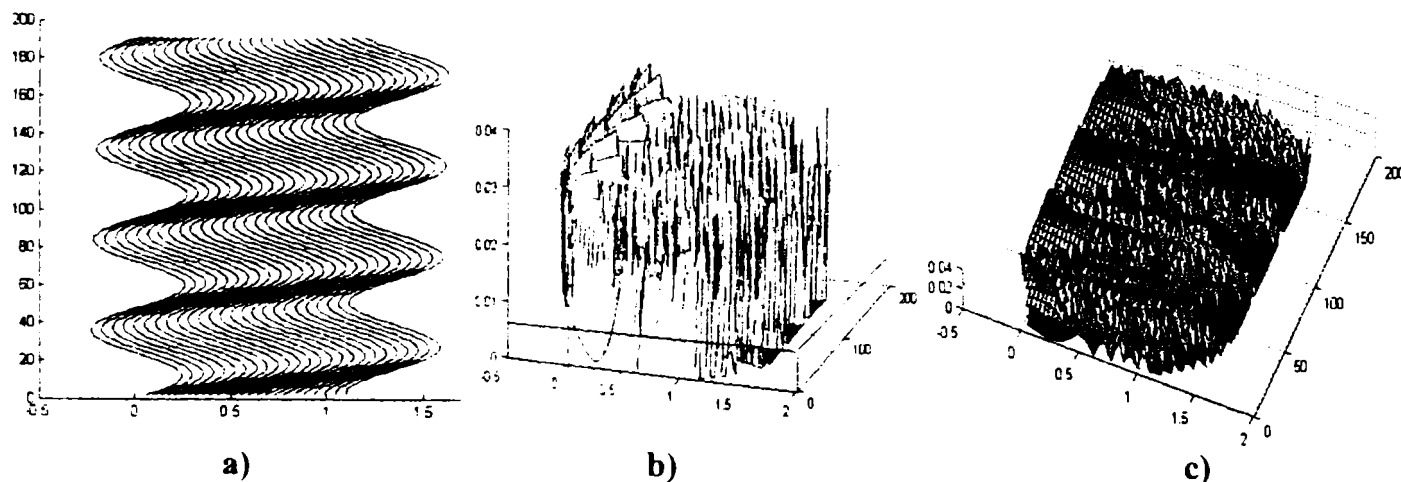


Fig.A.4.4.1. Regimul mișcării vibratorii: $f=42 \text{ Hz}$; $A_x=0.24 \text{ mm}$; $k_\lambda=4$

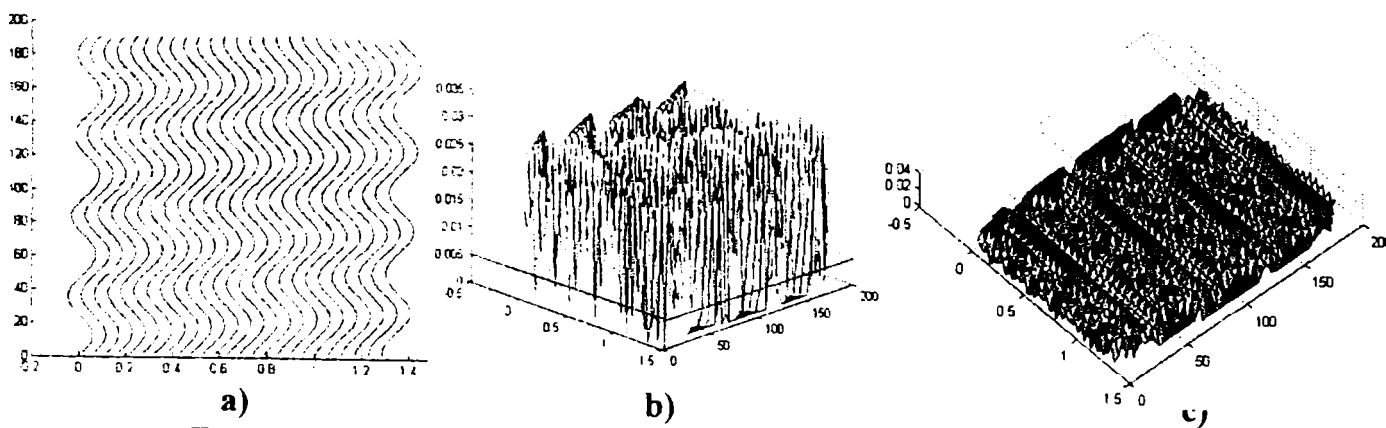


Fig.A.4.4.2. Regimul mișcării vibratorii: $f=42 \text{ Hz}$; $A_x=0.056 \text{ mm}$; $k_\lambda=4$

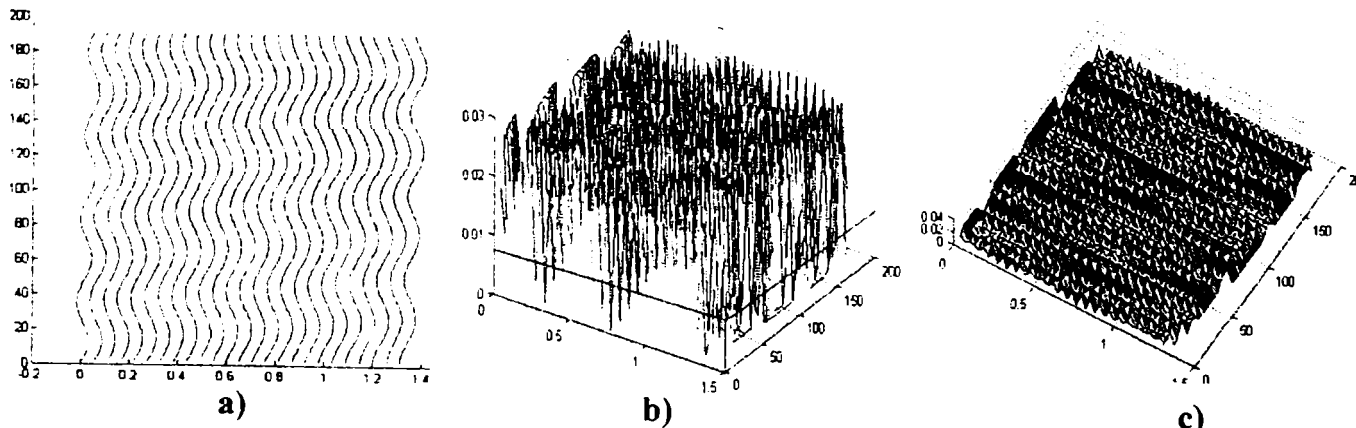


Fig.A.4.4.3. Regimul mișcării vibratorii: $f=42 \text{ Hz}$; $A_x=0.028 \text{ mm}$; $k_\lambda=4$

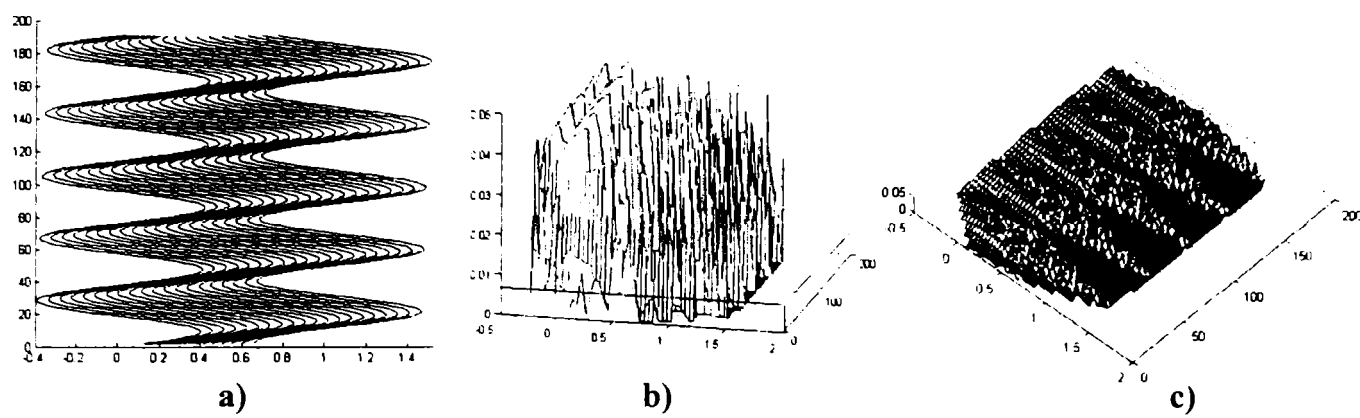


Fig.A.4.5.1. Regimul mișării vibratorii: $f=52,5 \text{ Hz}$; $A_x=0.4 \text{ mm}$; $k_\lambda=5$

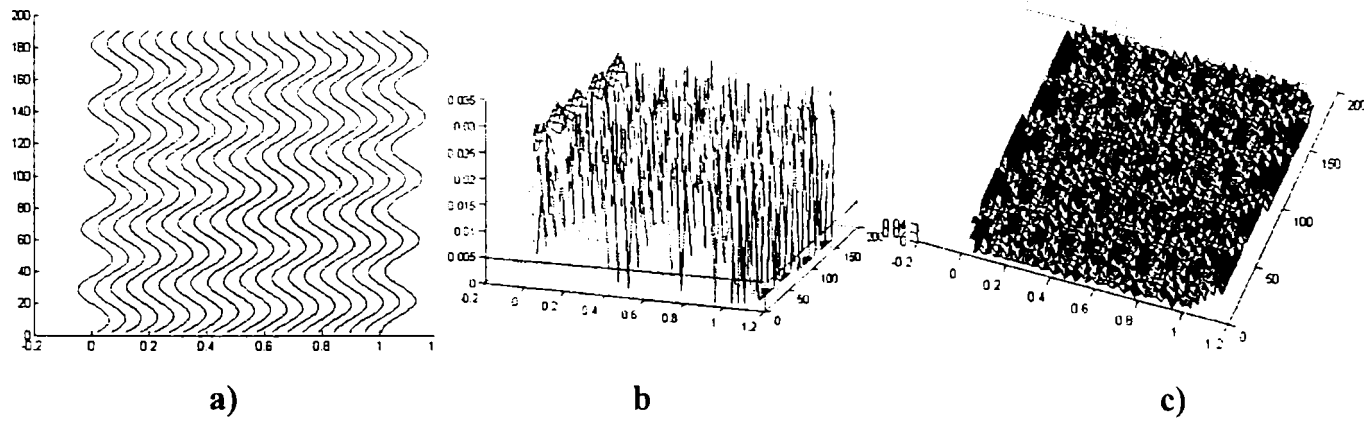


Fig.A.4.5.2. Regimul mișării vibratorii: $f=52,5 \text{ Hz}$; $A_x=0.056 \text{ mm}$; $k_\lambda=5$

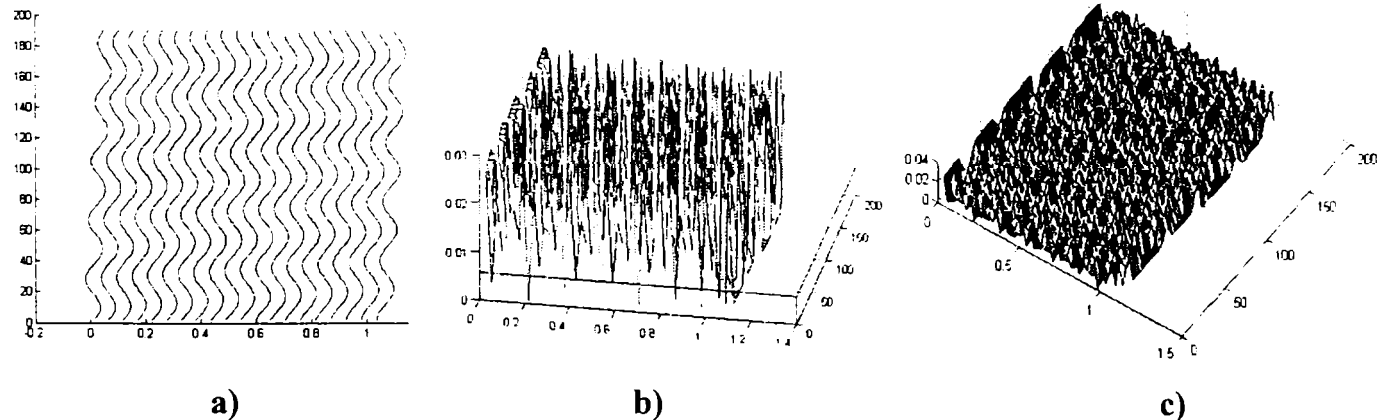


Fig.A.4.5.3. Regimul mișării vibratorii: $f=52,5 \text{ Hz}$; $A_x=0.028 \text{ mm}$; $k_\lambda=5$

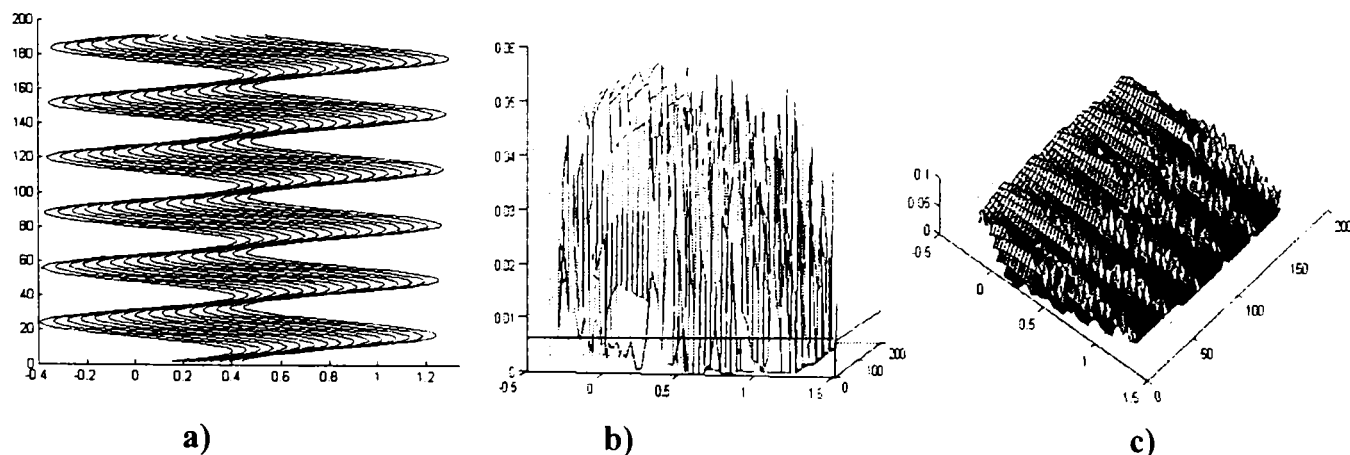


Fig.A.4.6.1. Regimul mișării vibratorii: $f=63 \text{ Hz}$; $A=0.4 \text{ mm}$; $k_\lambda=6$

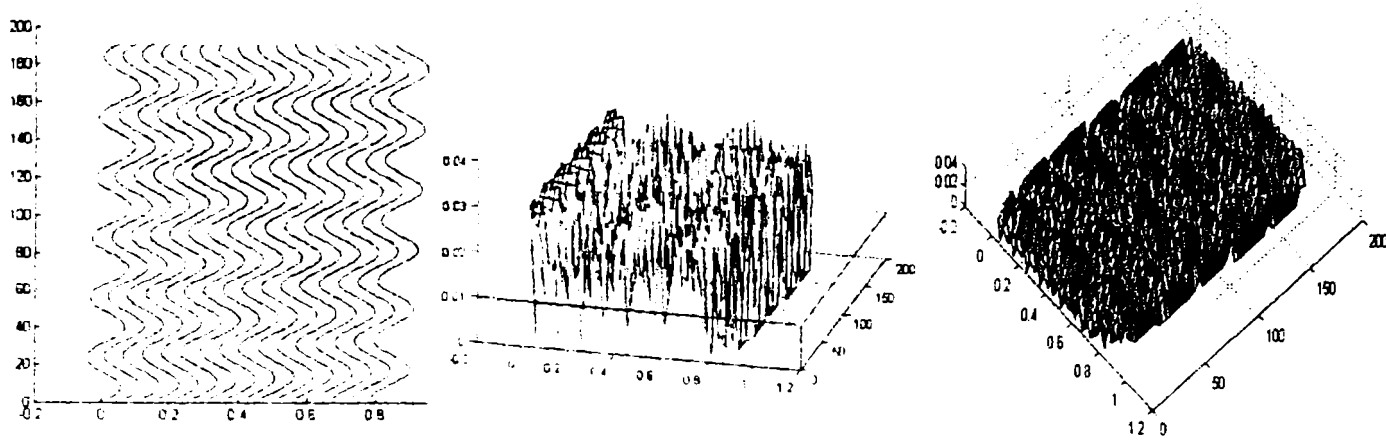


Fig.A.4.6.2. Regimul mișcării vibratorii: $f=63$ Hz; $A_x=0.056$ mm; $k_\lambda=6$

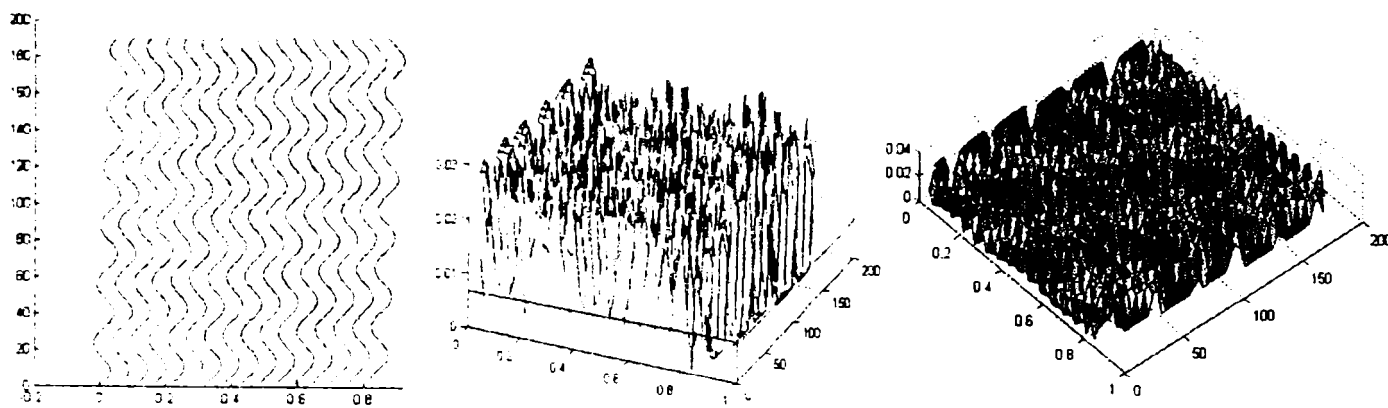


Fig.A.4.6.3. Regimul mișcării vibratorii: $f=63$ Hz; $A_x=0.028$ mm; $k_\lambda=6$.

Anexa 5.

Simularea aşezării de $k_\lambda + i$ perioade pe circumferința piesei
 $k_\lambda + i = 60 * f / n$; pentru $i=1/4$; $i=1/2$; $i=3/4$ și $i=1$, rezultă $f = (k_\lambda + i) * n / 60$

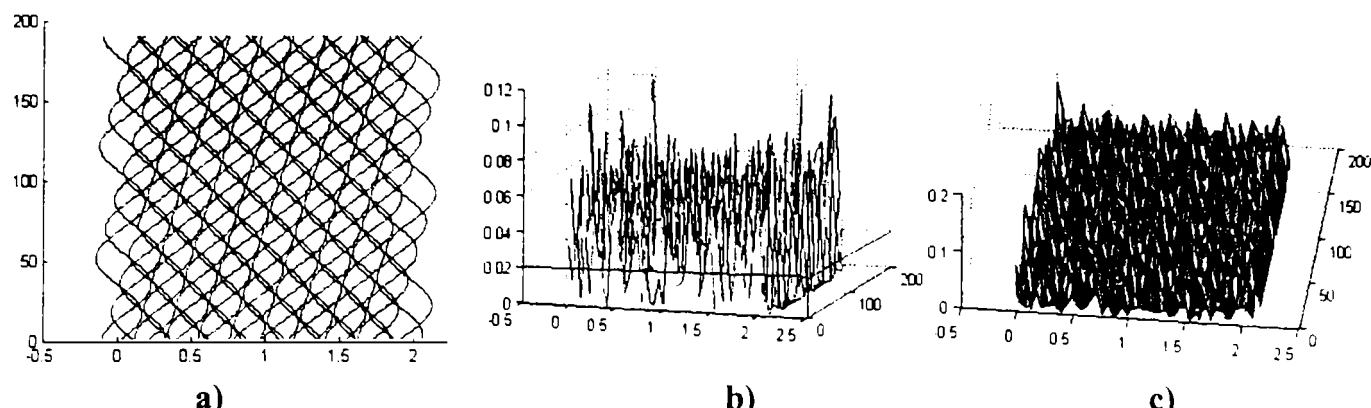


Fig.A.5.1.1. Regimul mișcării vibratorii: $f=28,875$ Hz; $A_x=0.16$ mm; $k_\lambda=2$; $i=3/4$

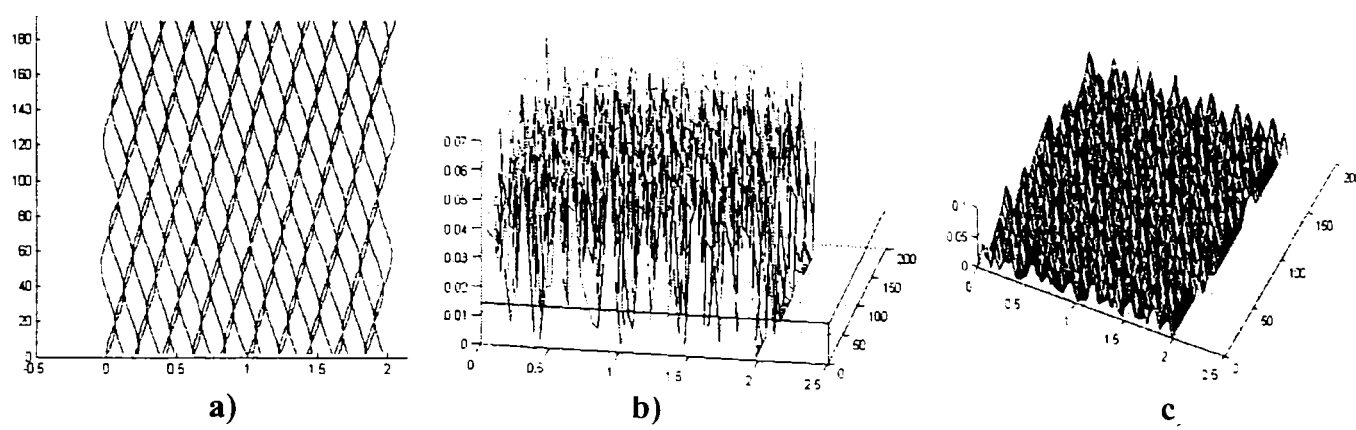


Fig.A.5.1.2. Regimul mișcării vibratorii: $f=28,875$ Hz; $A_x=0.056$ mm; $k_\lambda=2$; $i=3/4$

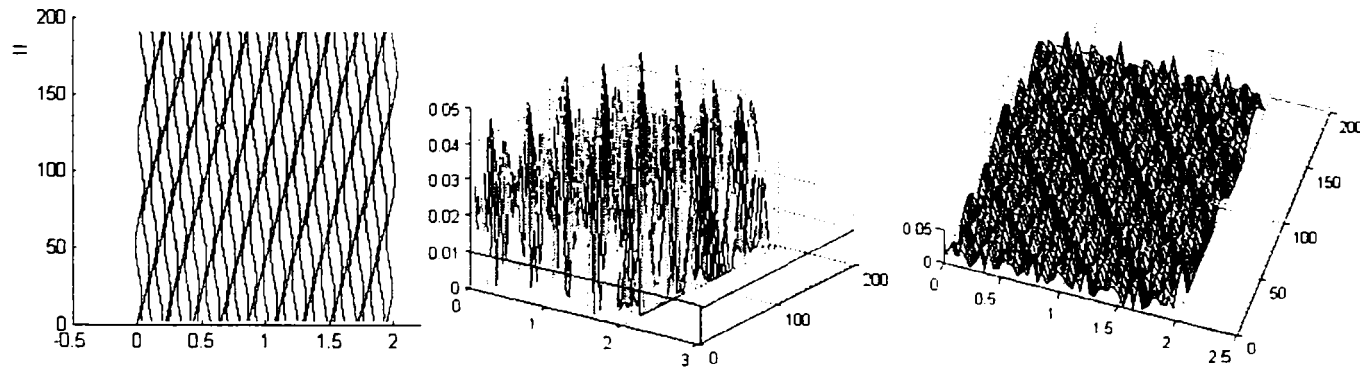


Fig.A.5.1.3. Regimul mișcării vibratorii: $f=28,875$ Hz; $A_x=0.028$ mm; $k_\lambda=2$; $i=3/4$

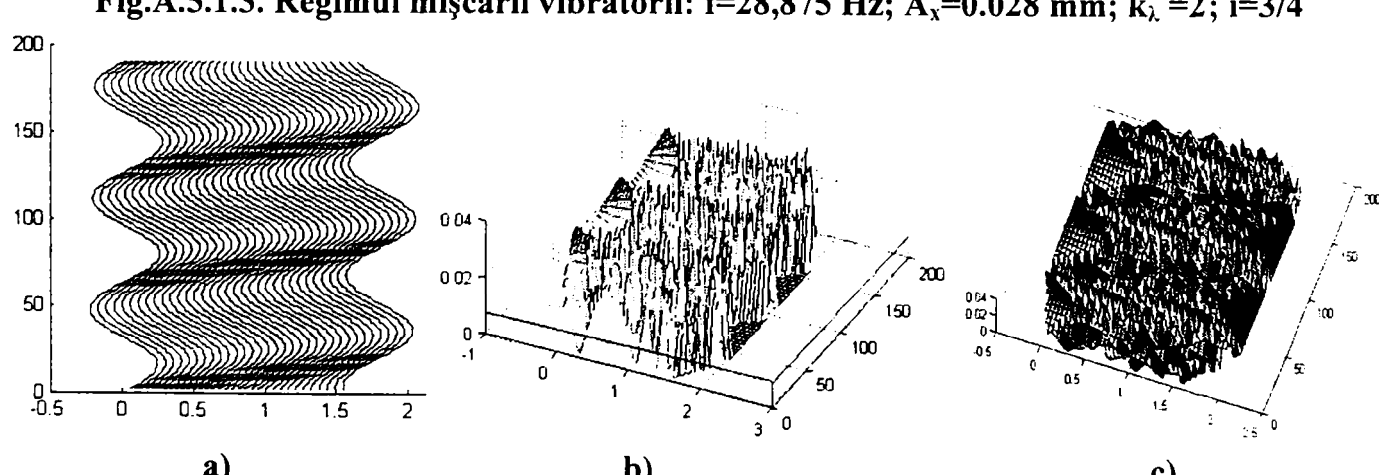


Fig.A.5.2.1. Regimul mișcării vibratorii: $f=31,5$ Hz; $A_x=0.24$ mm; $k_\lambda=2$; $i=1$

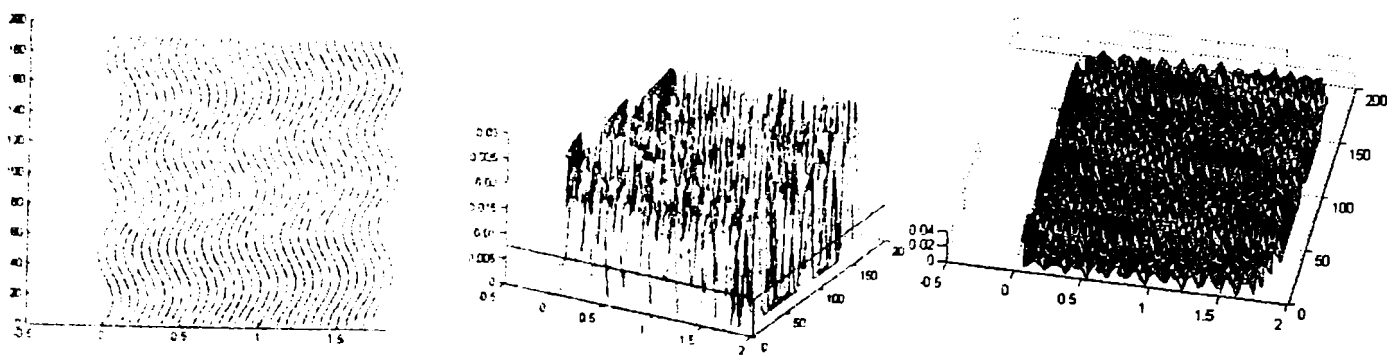


Fig.A.5.2.2. Regimul mișcării vibratorii: $f=31,5 \text{ Hz}$; $A_x=0.056 \text{ mm}$; $k_\lambda=2$; $i=1$

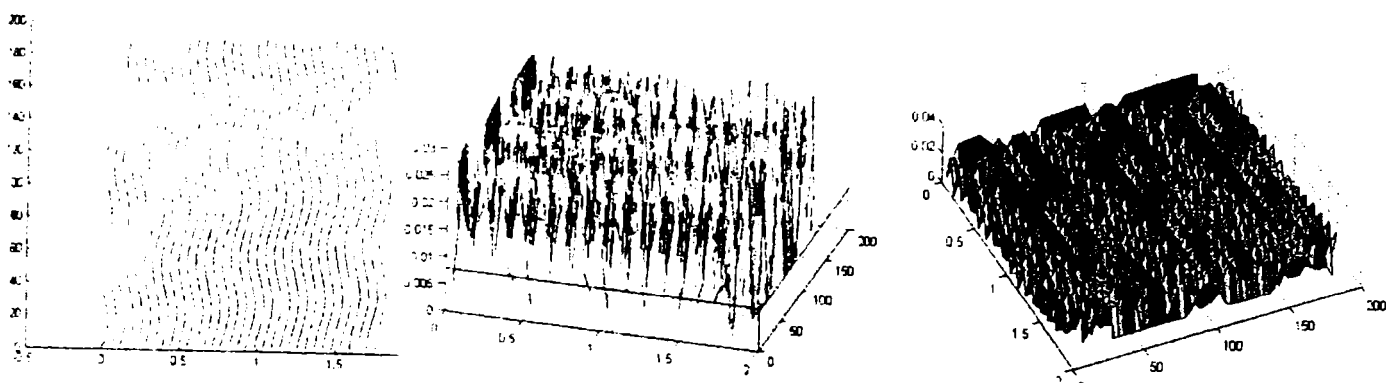


Fig.A.5.2.3. Regimul mișcării vibratorii: $f=31,5 \text{ Hz}$; $A_x=0.028 \text{ mm}$; $k_\lambda=2$; $i=1$

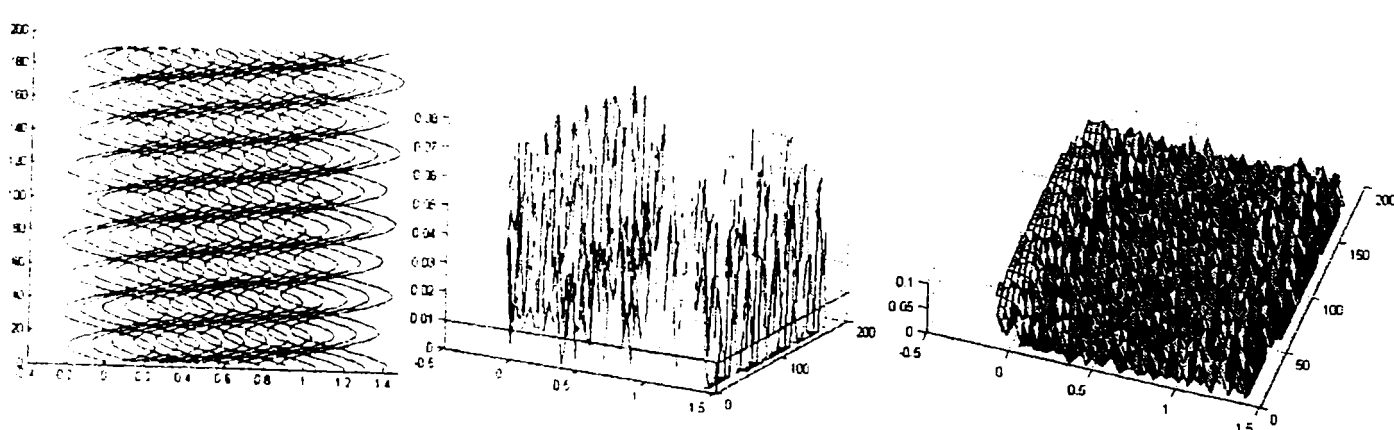


Fig.A.5.3.1. Regimul mișcării vibratorii: $f=47,25 \text{ Hz}$; $A_x=0.25 \text{ mm}$; $k_\lambda=4$; $1/2$

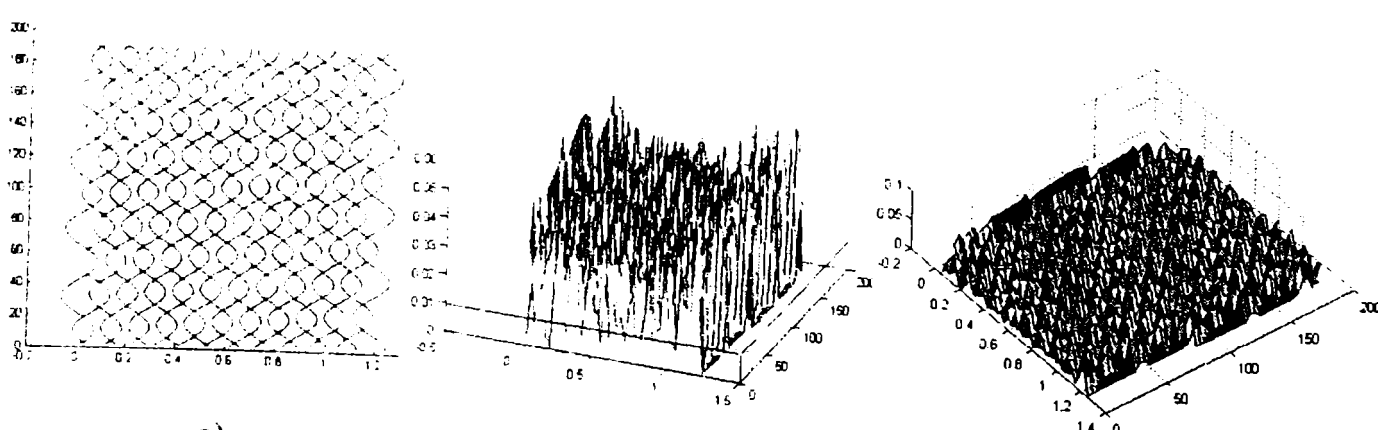
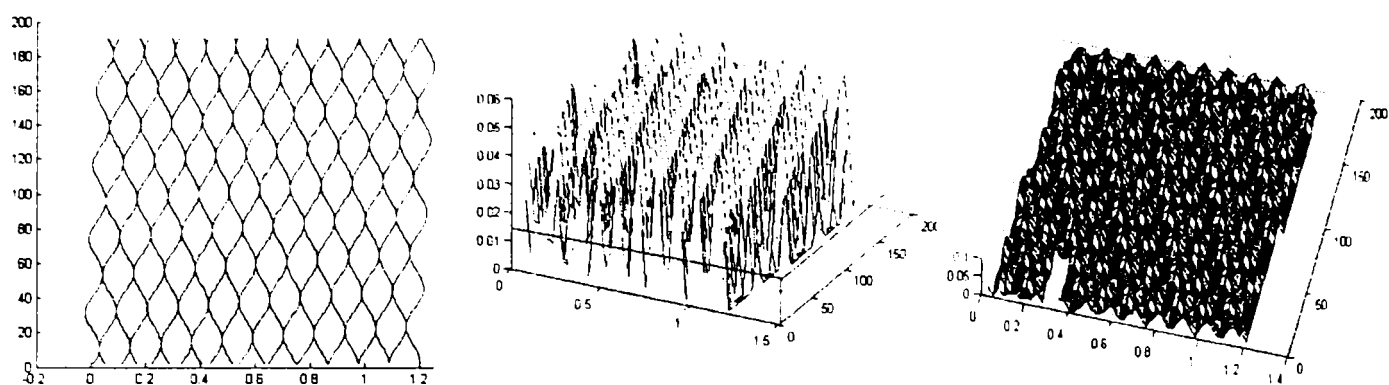
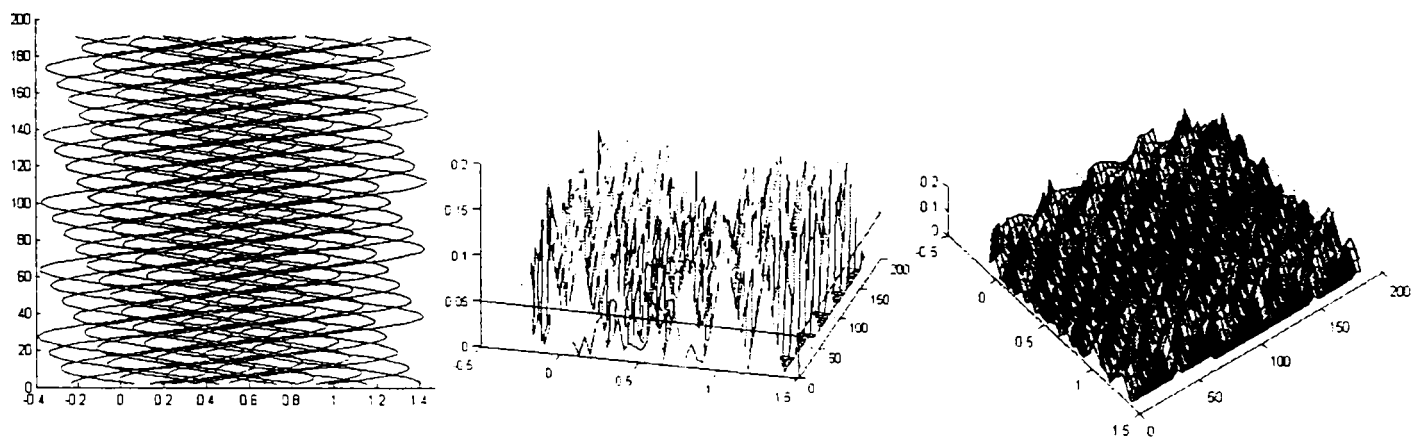


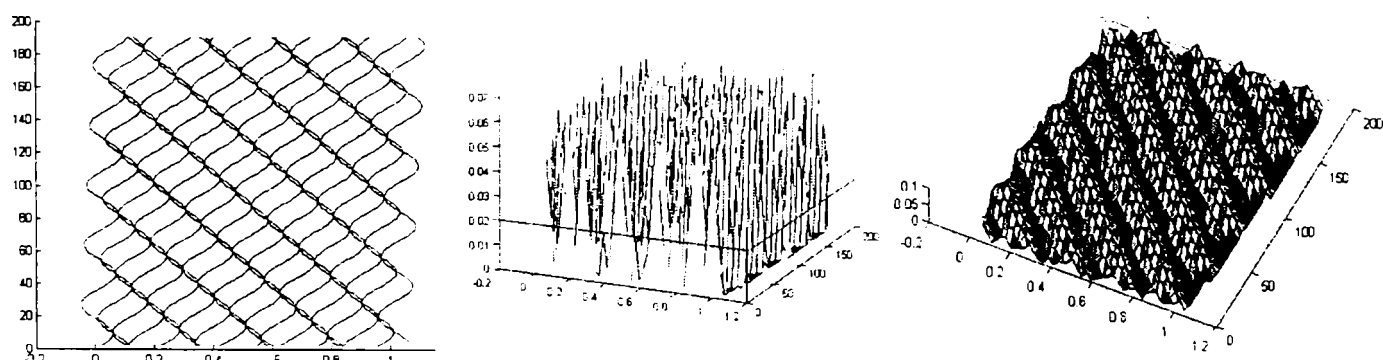
Fig.A.5.3.2. Regimul mișcării vibratorii: $f=47,25 \text{ Hz}$; $A_x=0.07 \text{ mm}$; $k_\lambda=4$; $i=1/2$



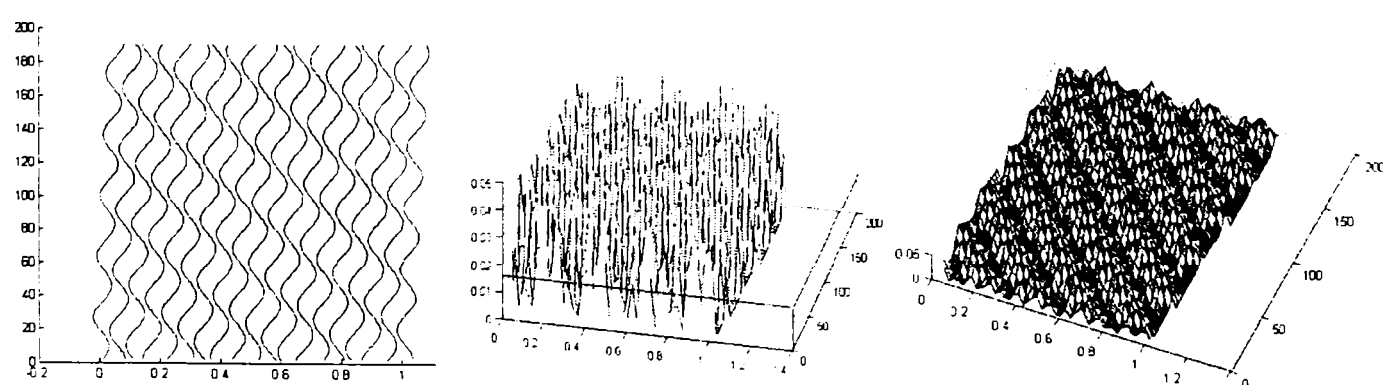
a) b) c)
Fig.A.5.3.3. Regimul mișcării vibratorii: $f=47,25 \text{ Hz}$; $A_x=0.028 \text{ mm}$; $k_\lambda=4$; $i=1/2$



a) b) c)
Fig.A.5.4.1. Regimul mișcării vibratorii: $f=55,125 \text{ Hz}$; $A_x=0.4 \text{ mm}$; $k_\lambda=5$; $i=1/4$



a) b) c)
Fig.A.5.4.2. Regimul mișcării vibratorii: $f=55,125 \text{ Hz}$; $A_x=0.056 \text{ mm}$; $k_\lambda=5$; $i=1/4$

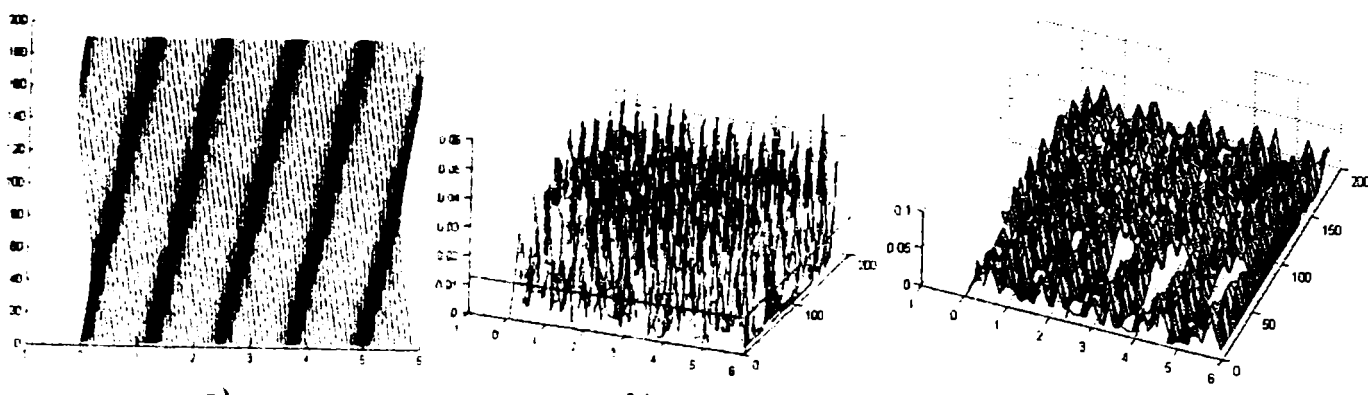


a) b) c)
Fig.A.5.4.3. Regimul mișcării vibratorii: $f=55,125 \text{ Hz}$; $A_x=0.028 \text{ mm}$; $k_\lambda=5$; $i=1/4$

Anexa 6.

Simularea așezării unui număr întreg de lungimi de undă λ pe circumferința piesei.

$$\pi \cdot d = \lambda(k_{\lambda} + i), \quad k_{\lambda}+i=60*f/n; \quad i=0; \quad \pi*d/n=60*f/n; \quad f=\pi*d*n/60*\lambda$$

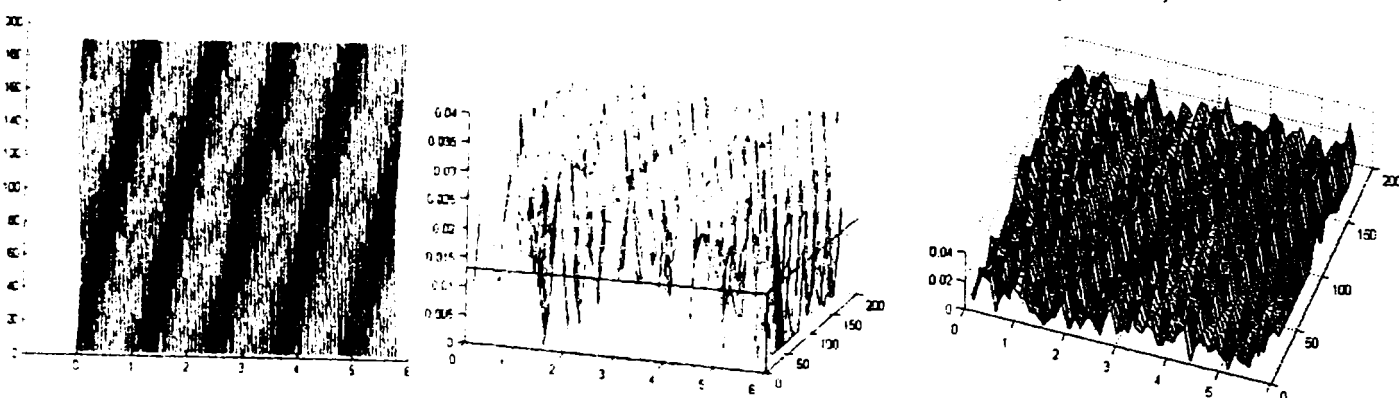


a)

b)

c)

Fig. A.6.1.1. Regimul mișcării vibratorii: $f=10,06095$ Hz; $A_x=0,16$ mm; $\lambda=200$.

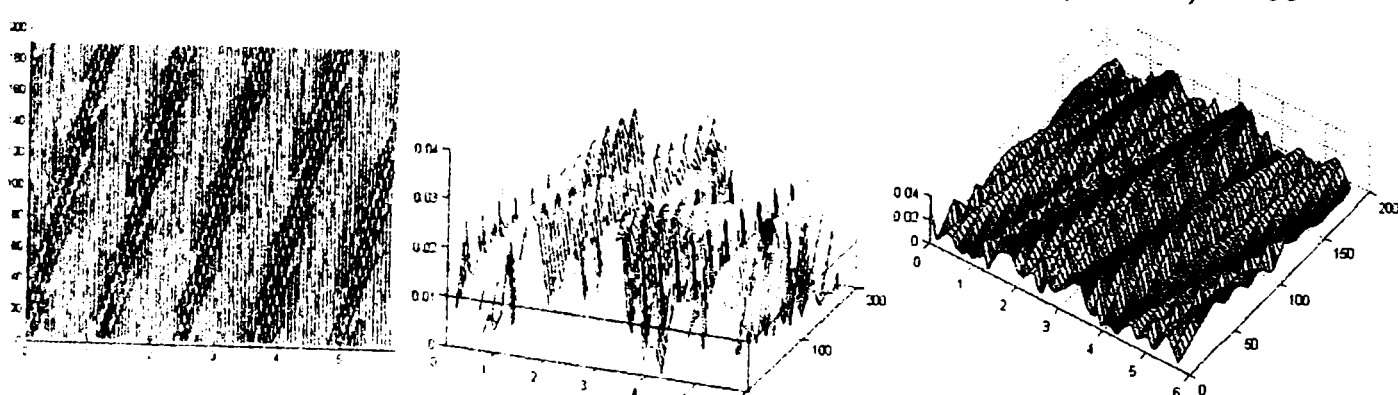


a)

b)

c)

Fig. A.6.1.2. Regimul mișcării vibratorii: $f=10,06095$ Hz; $A_x=0,056$ mm; $\lambda=200$

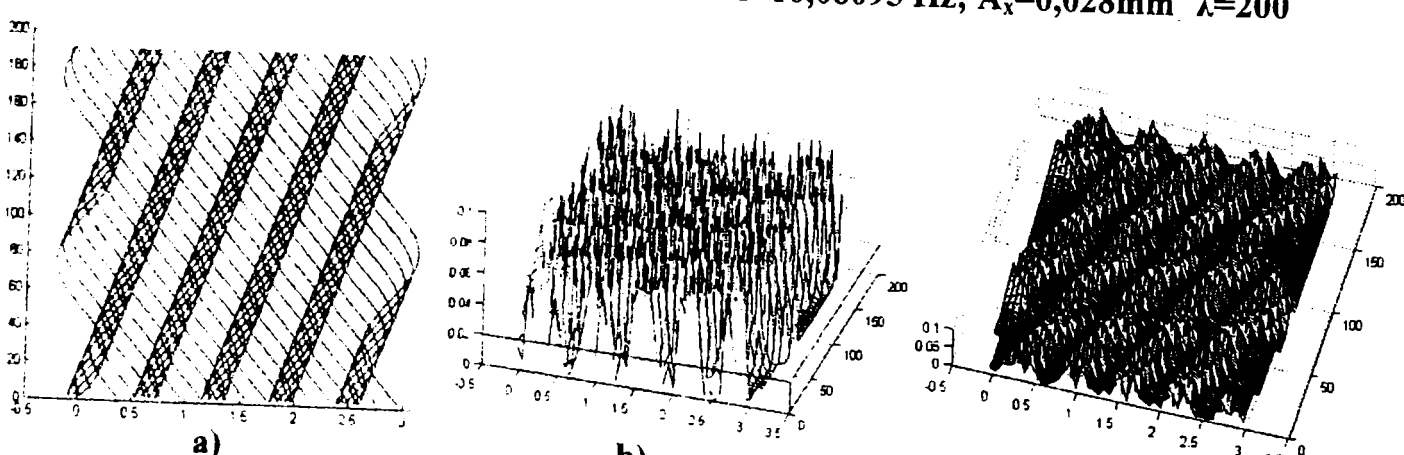


a)

b)

c)

Fig. A.6.1.3. Regimul mișcării vibratorii: $f=10,06095$ Hz; $A_x=0,028$ mm; $\lambda=200$



a)

b)

c)

Fig. A.6.2.1. Regimul mișcării vibratorii: $f=20,1219$ Hz; $A_x=0,24$ mm; $\lambda=100$

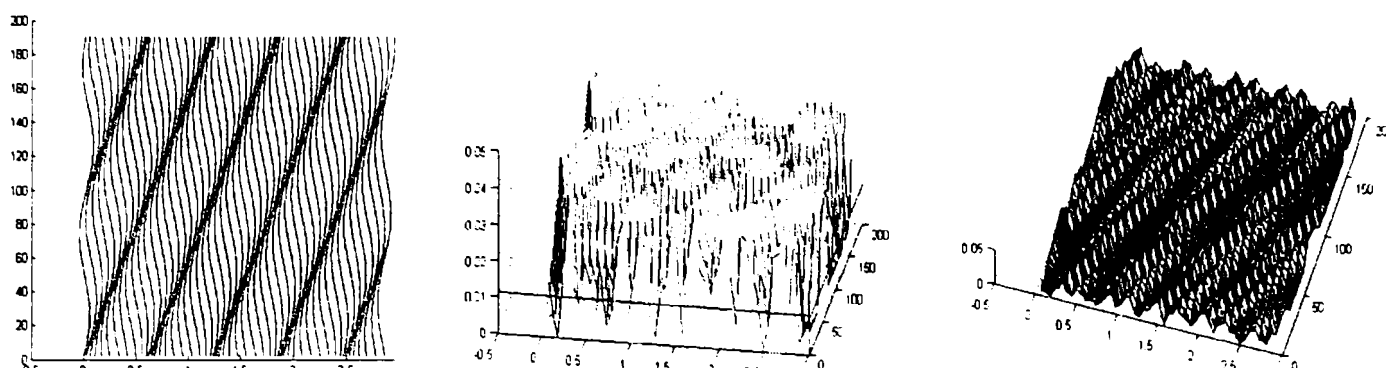


Fig. A.6.2.2. Regimul mișcării vibratorii: $f=20,1219 \text{ Hz}$; $A_x=0,056\text{mm}$; $\lambda=100$

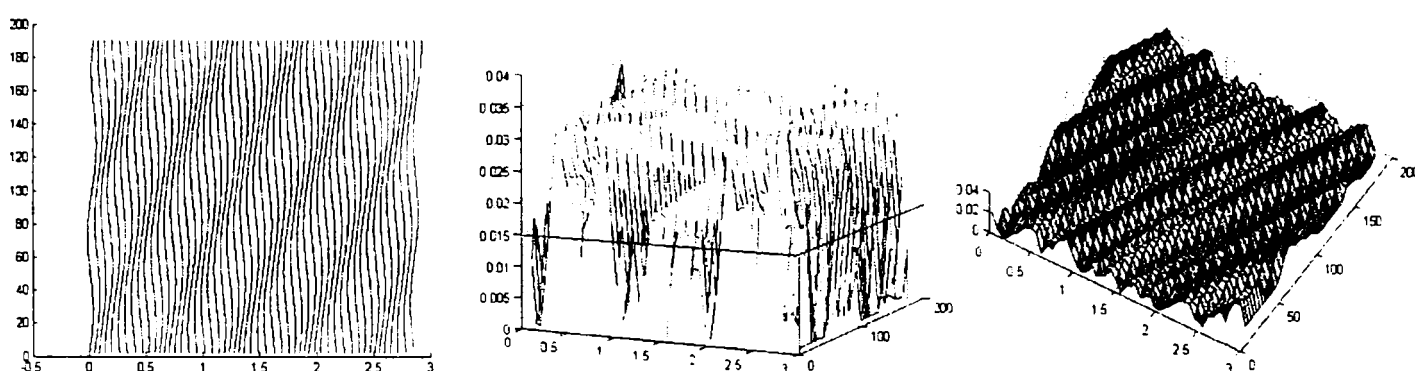


Fig. A.6.2.3. Regimul mișcării vibratorii: $f=20,1219 \text{ Hz}$; $A_x=0,028\text{mm}$; $\lambda=100$

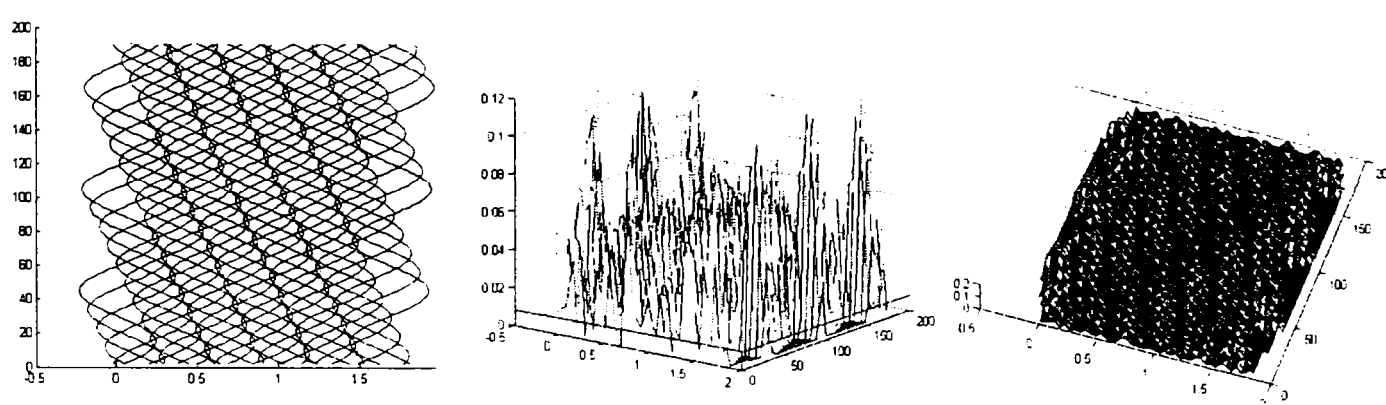


Fig. A.6.3.1. Regimul mișcării vibratorii: $f=33,536501 \text{ Hz}$; $A_x=0,24\text{mm}$; $\lambda=60$

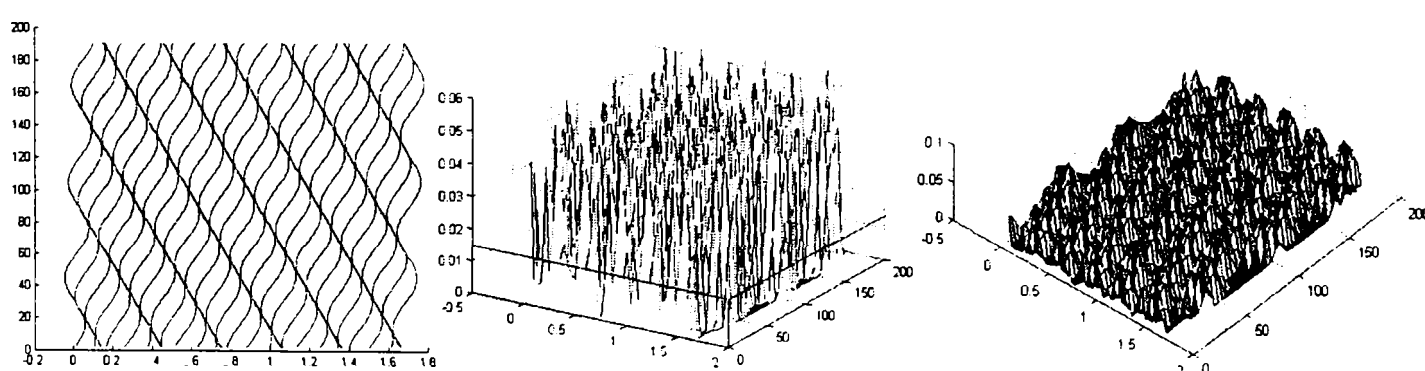


Fig. A.6.3.2. Regimul mișcării vibratorii: $f=33,536501 \text{ Hz}$; $A_x=0,056\text{mm}$; $\lambda=60$

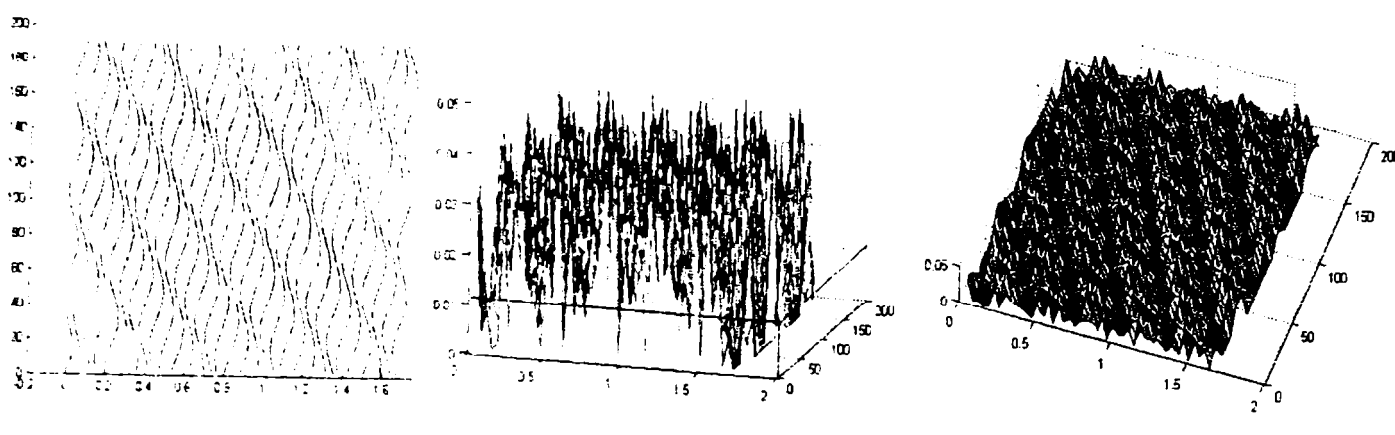


Fig. A.6.3.3. Regimul mișcării vibratorii: $f=33,536501$ Hz; $A_x=0,028$ mm; $\lambda=60$

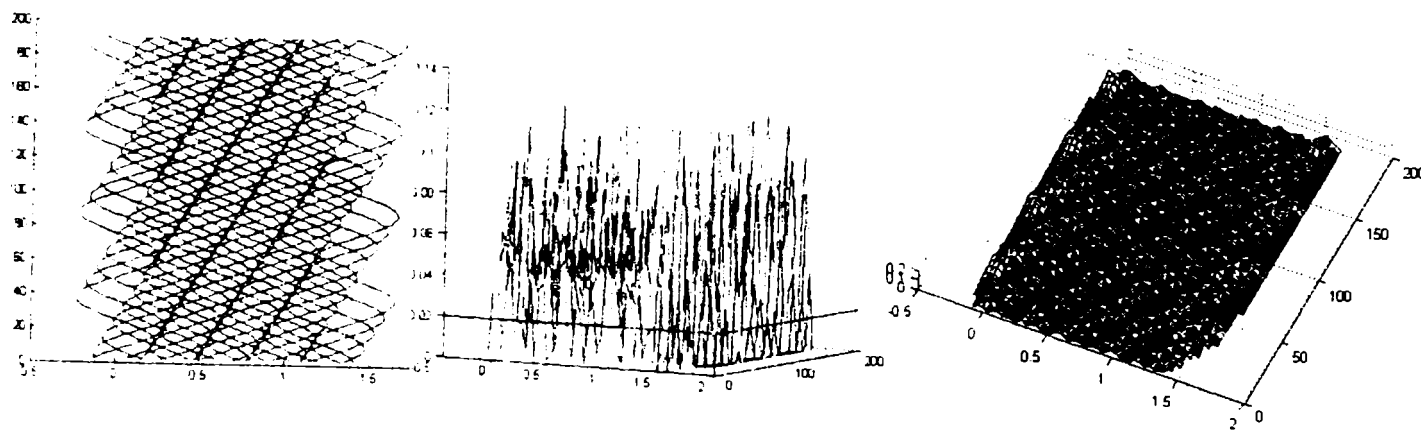


Fig. A.6.4.1. Regimul mișcării vibratorii: $f=40,243801$ Hz; $A_x=0,24$ mm; $\lambda=50$

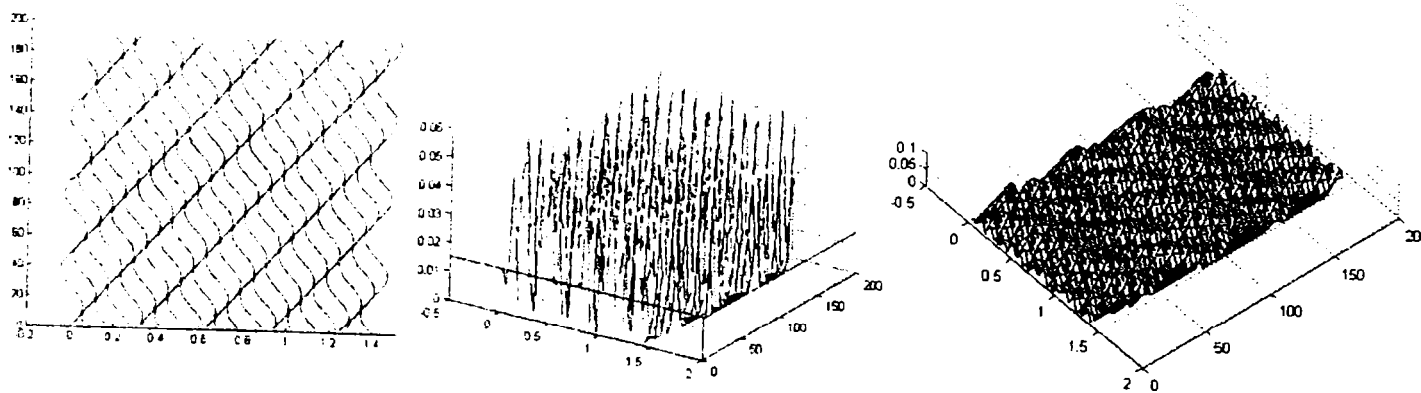


Fig. A.6.4.2. Regimul mișcării vibratorii: $f=40,243801$ Hz; $A_x=0,056$ mm; $\lambda=50$

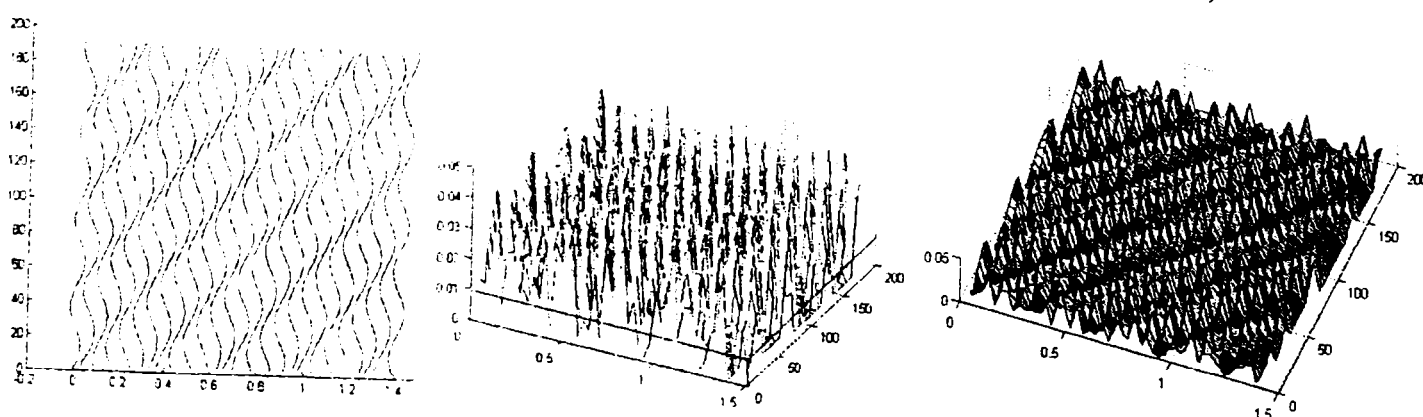


Fig. A.6.4.3. Regimul mișcării vibratorii: $f=40,243801$ Hz; $A_x=0,028$ mm; $\lambda=50$

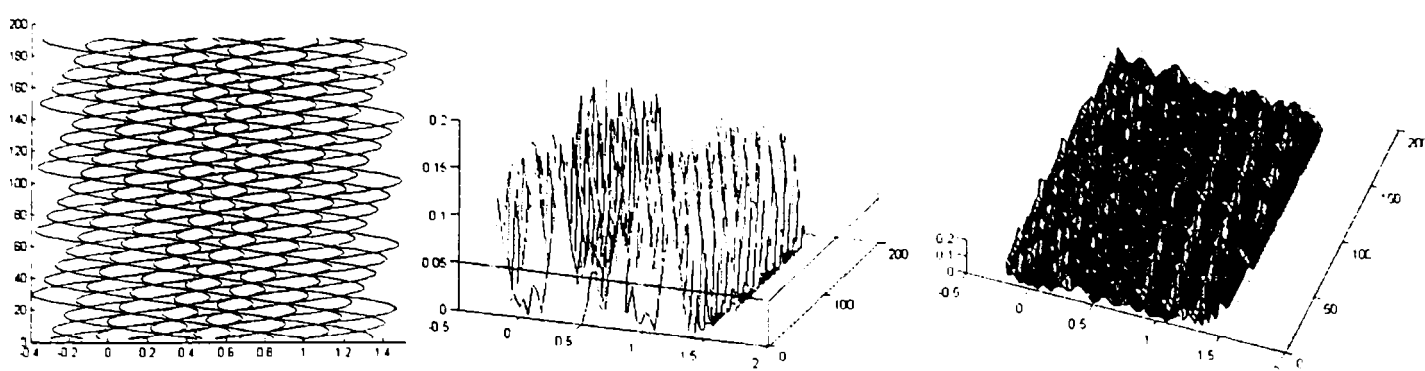


Fig. A.6.5.1. Regimul mișcării vibratorii: $f=50,304752 \text{ Hz}$; $A_x=0,4\text{mm}$; $\lambda=40$

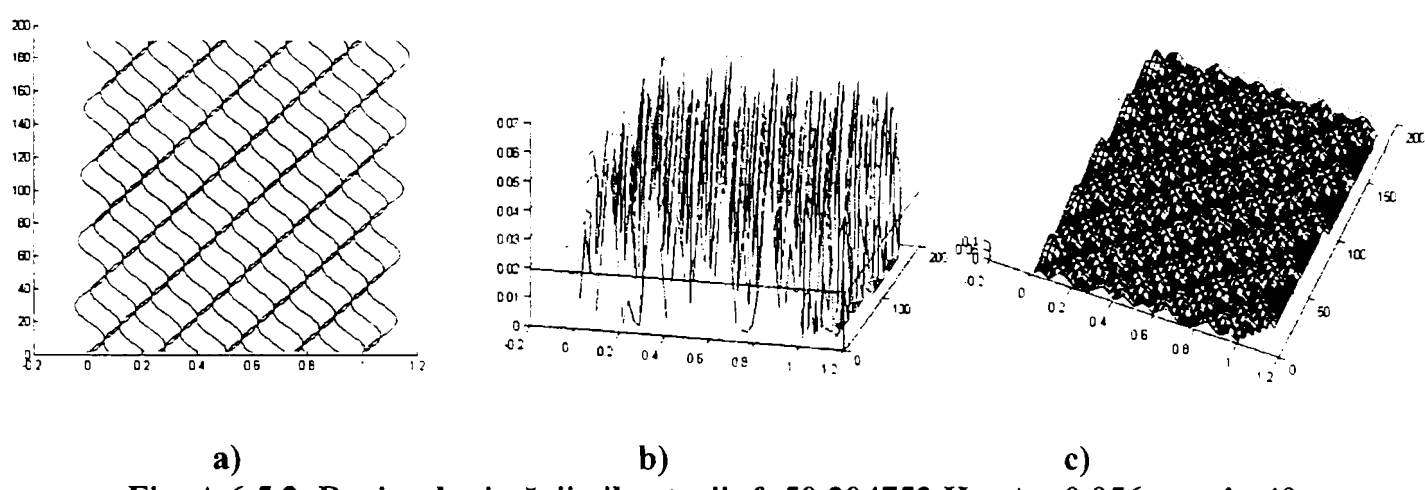


Fig. A.6.5.2. Regimul mișcării vibratorii: $f=50,304752 \text{ Hz}$; $A_x=0,056\text{mm}$; $\lambda=40$

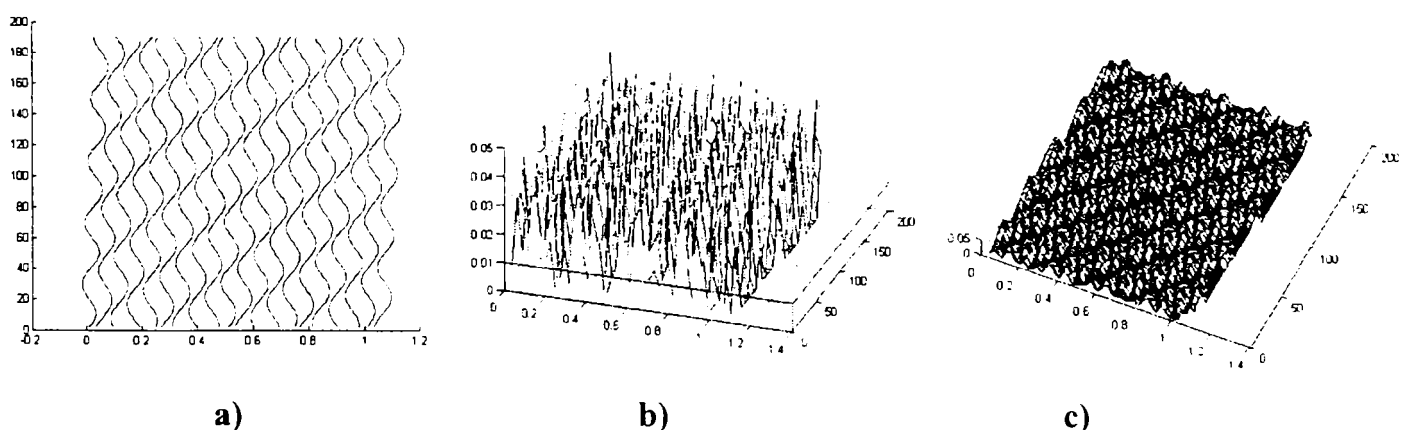


Fig. A.6.5.3. Regimul mișcării vibratorii: $f=50,304752 \text{ Hz}$; $A_x=0,028\text{mm}$; $\lambda=40$

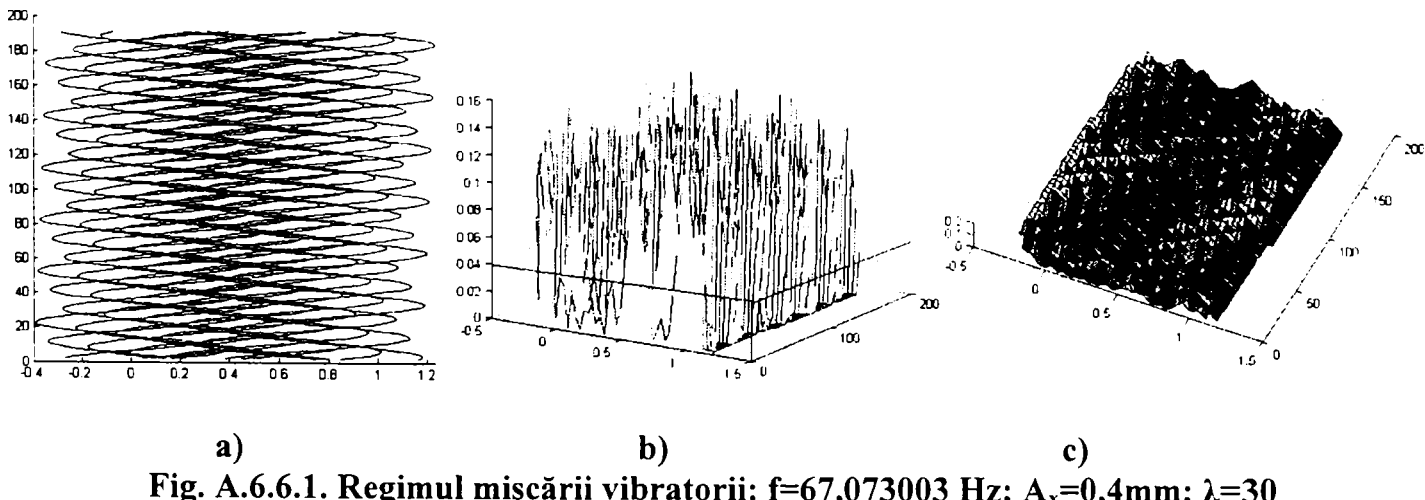
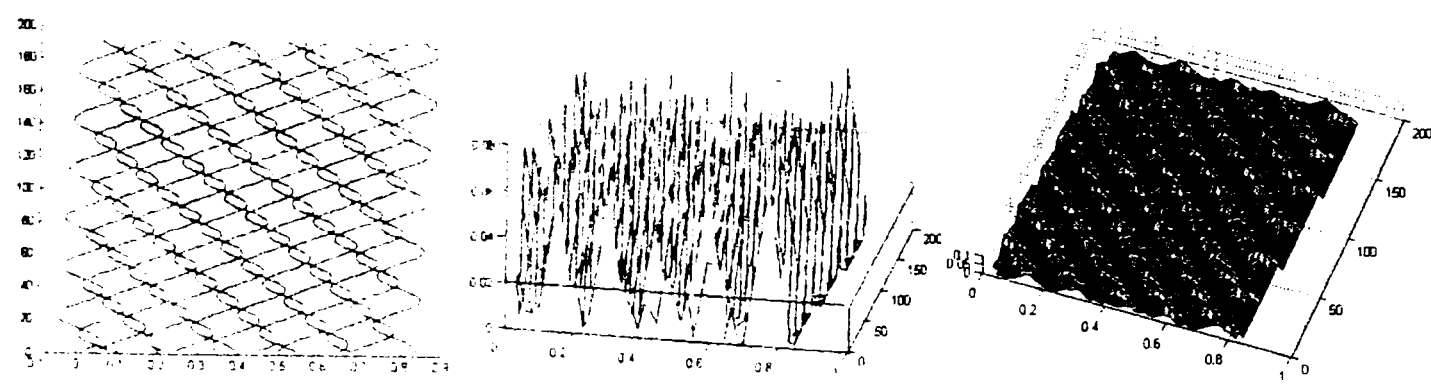
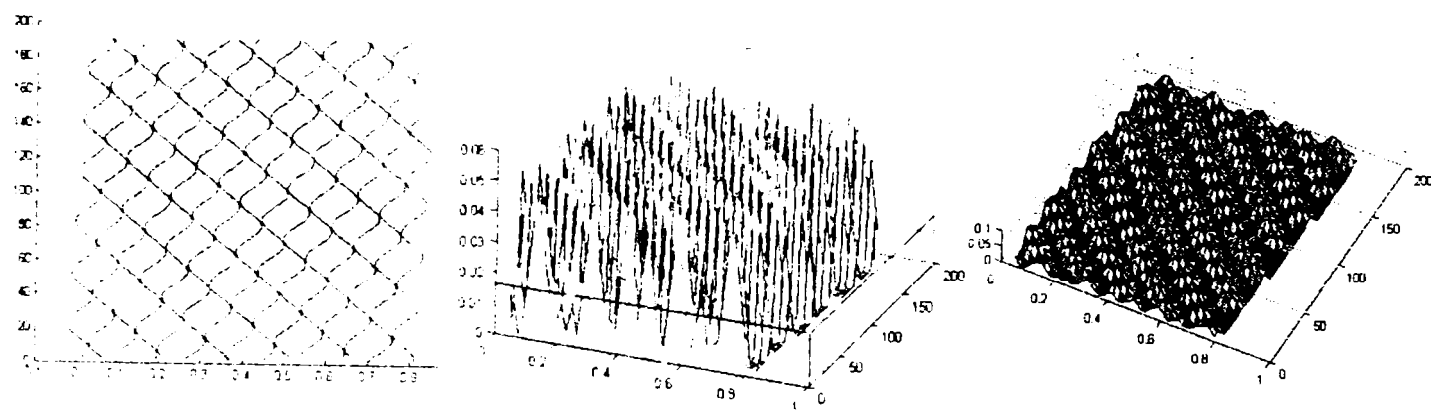


Fig. A.6.6.1. Regimul mișcării vibratorii: $f=67,073003 \text{ Hz}$; $A_x=0,4\text{mm}$; $\lambda=30$



a)
b)
c)
Fig. A.6.6.2. Regimul mișcării vibratorii: $f=67,073003\text{ Hz}$; $A_x=0,056\text{mm}$; $\lambda=30$



a)
b)
c)
Fig. A.6.6.3. Regimul mișcării vibratorii: $f=67,073003\text{ Hz}$; $A_x=0,028\text{mm}$; $\lambda=30$

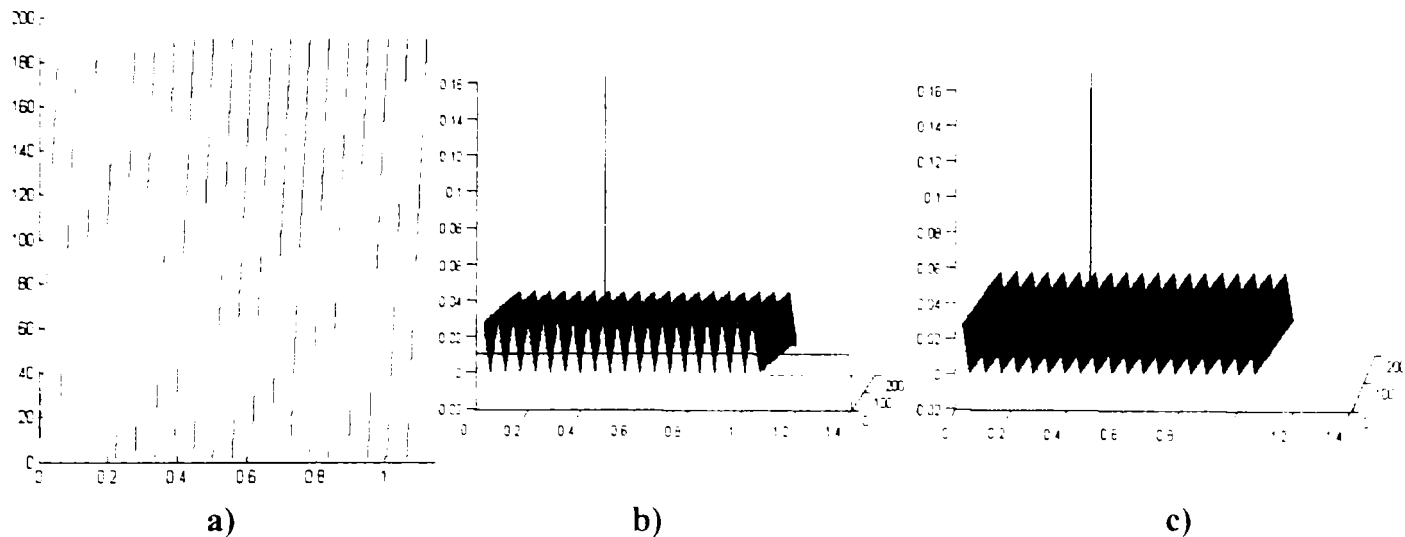
Anexa 7.**Simulare strunjire fără vibrații**

Fig. A.7.1. Regim de lucru: $n=630$ [rot/min], $s_0=0,056$ [mm/rot], nr.de perioade considerate =20

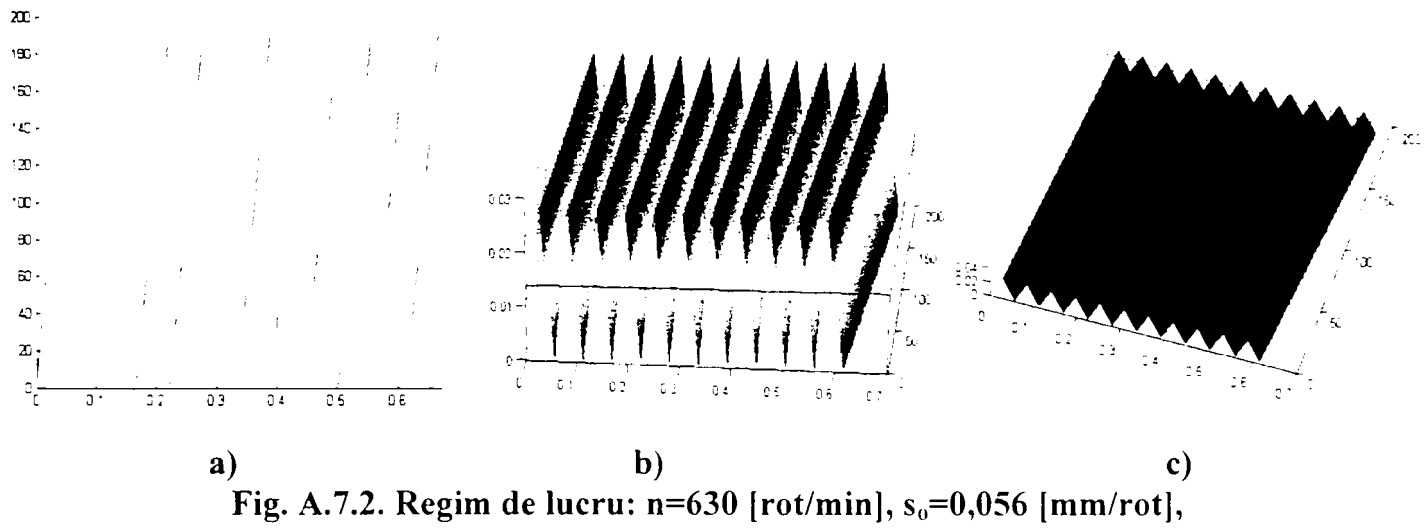
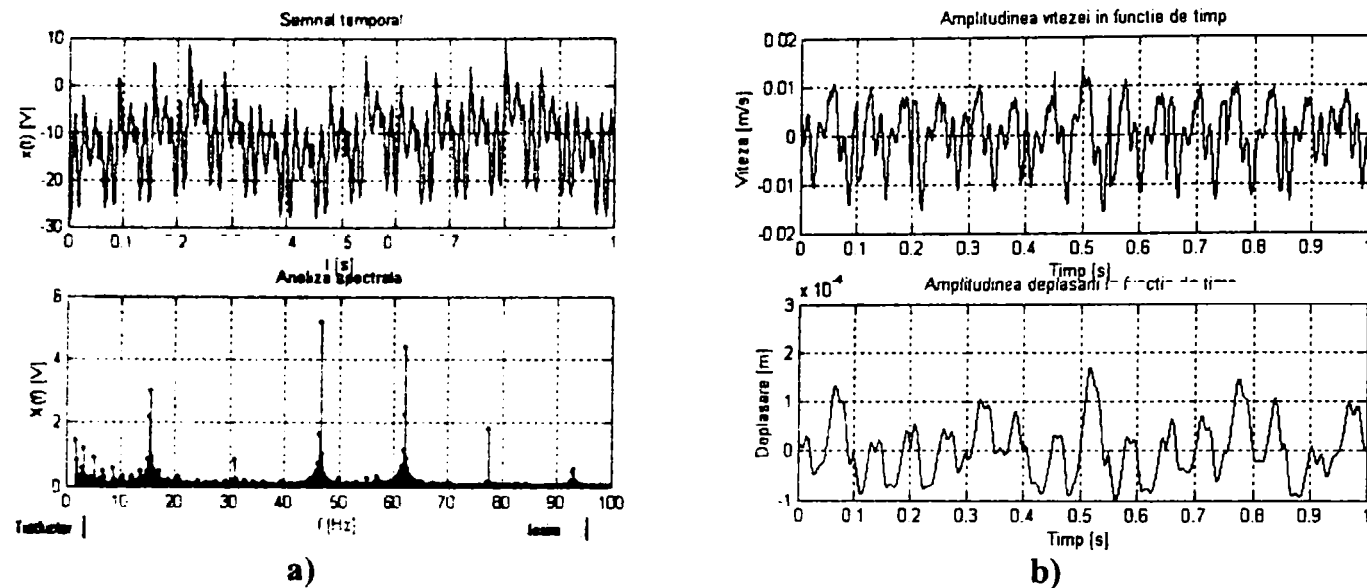
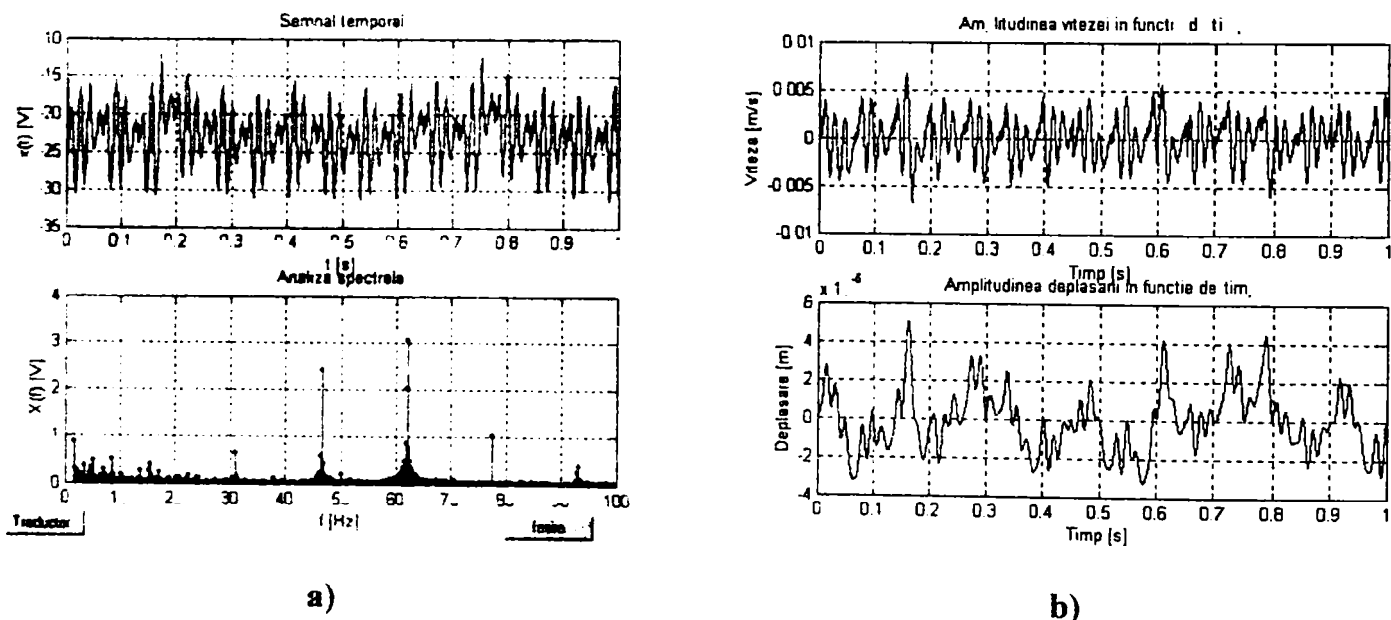
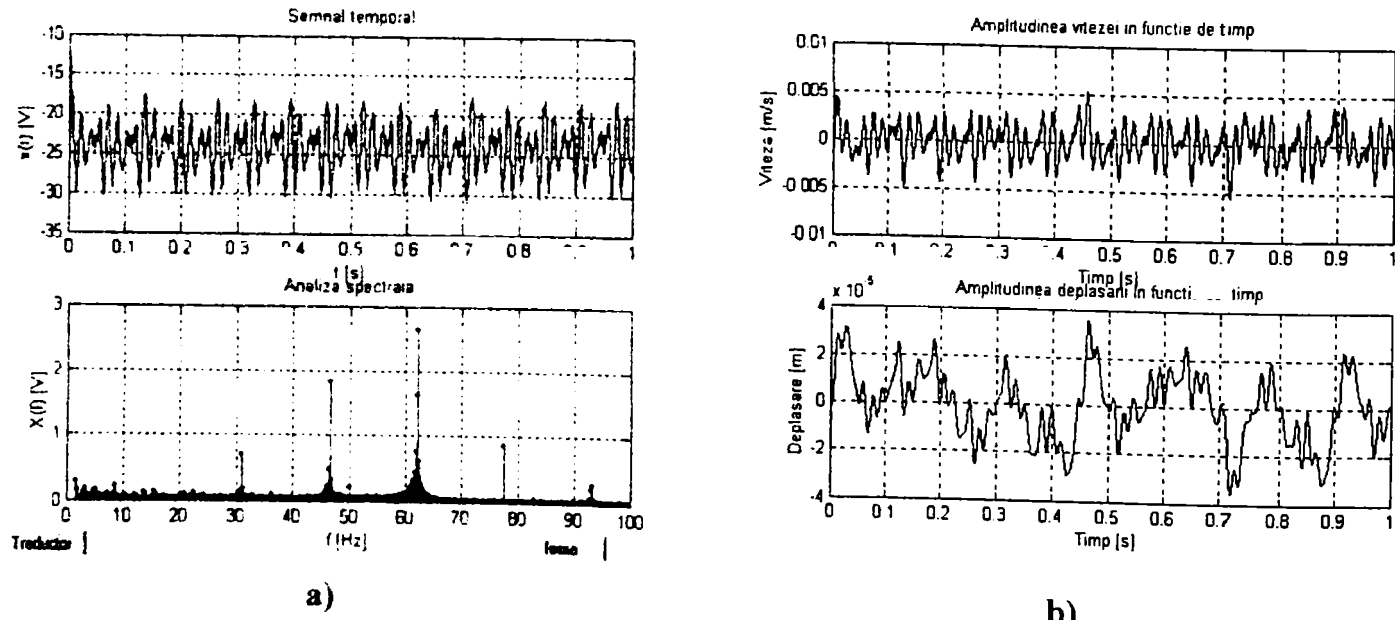


Fig. A.7.2. Regim de lucru: $n=630$ [rot/min], $s_0=0,056$ [mm/rot], nr. de perioade considerate =12.

Anexa 8.**Frecvențe de lucru la mers în gol al dispozitivului electromecanic****Fig. A.8.1.1. Frecvență testată: $f=15$ Hz****Fig. A.8.1.2. Frecvență testată: $f=15,1$ Hz****Fig. A.8.1.3. Frecvență testată: $f=15,2$ Hz**

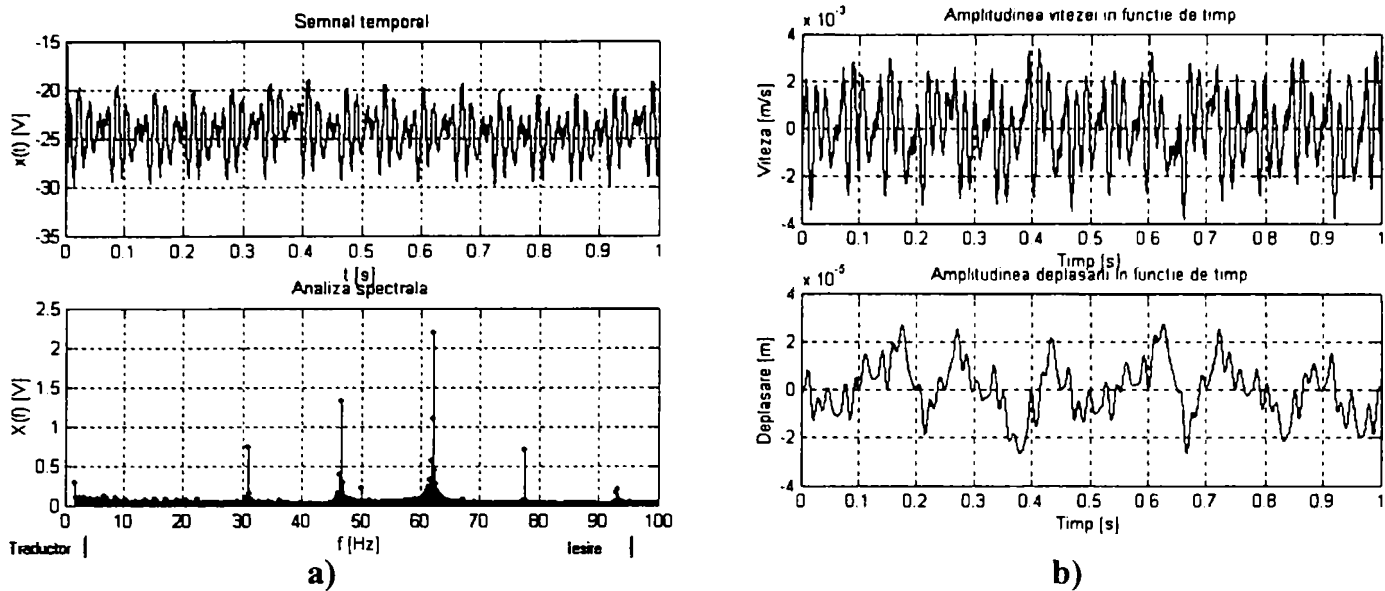


Fig. A.8.1.4. Frecvență testată: $f=15,3 \text{ Hz}$

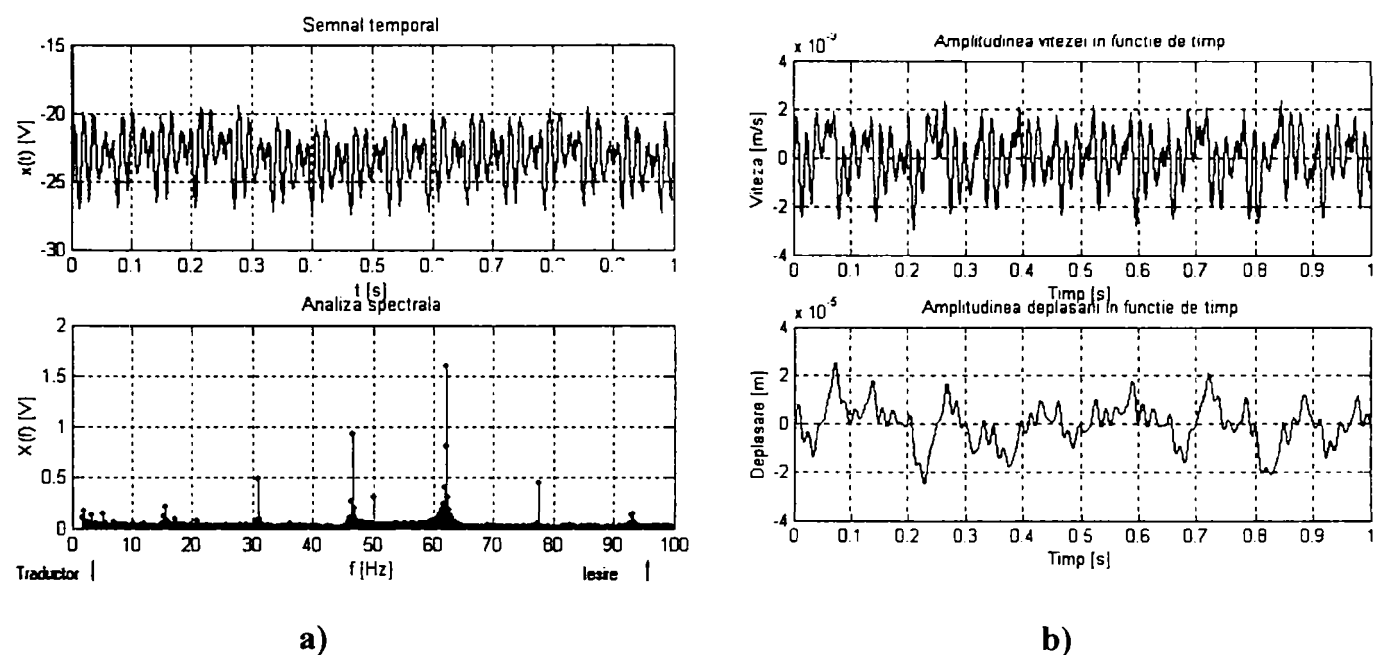


Fig. A.8.1.5. Frecvență testată: $f=15,4 \text{ Hz}$

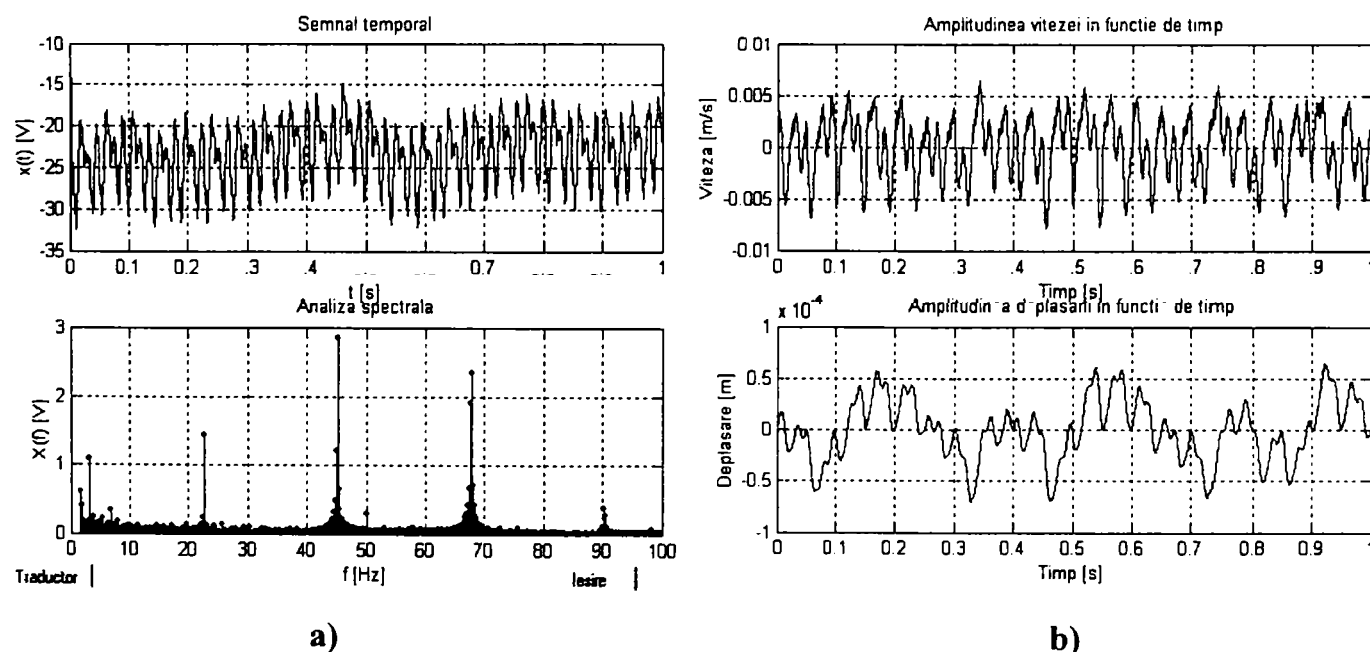


Fig. A.8.2.1. Frecvență testată: $f=23 \text{ Hz}$

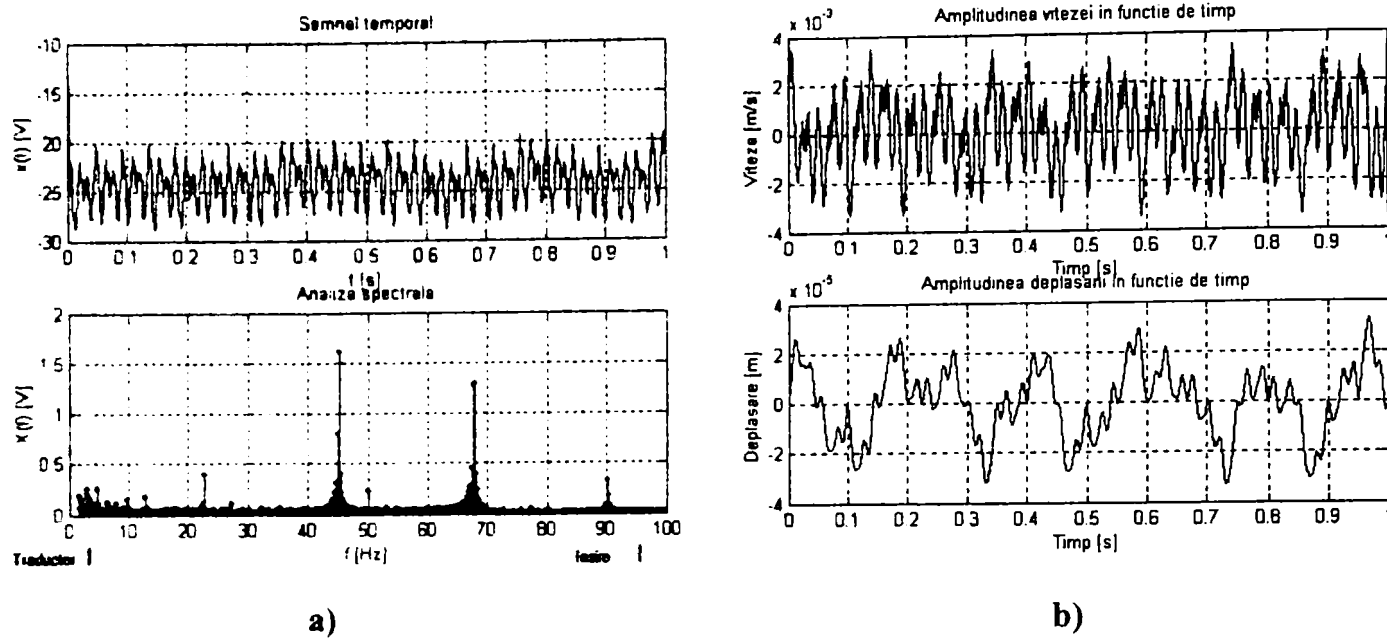


Fig. A.8.2.2. Frecvență testată: $f=23,1 \text{ Hz}$

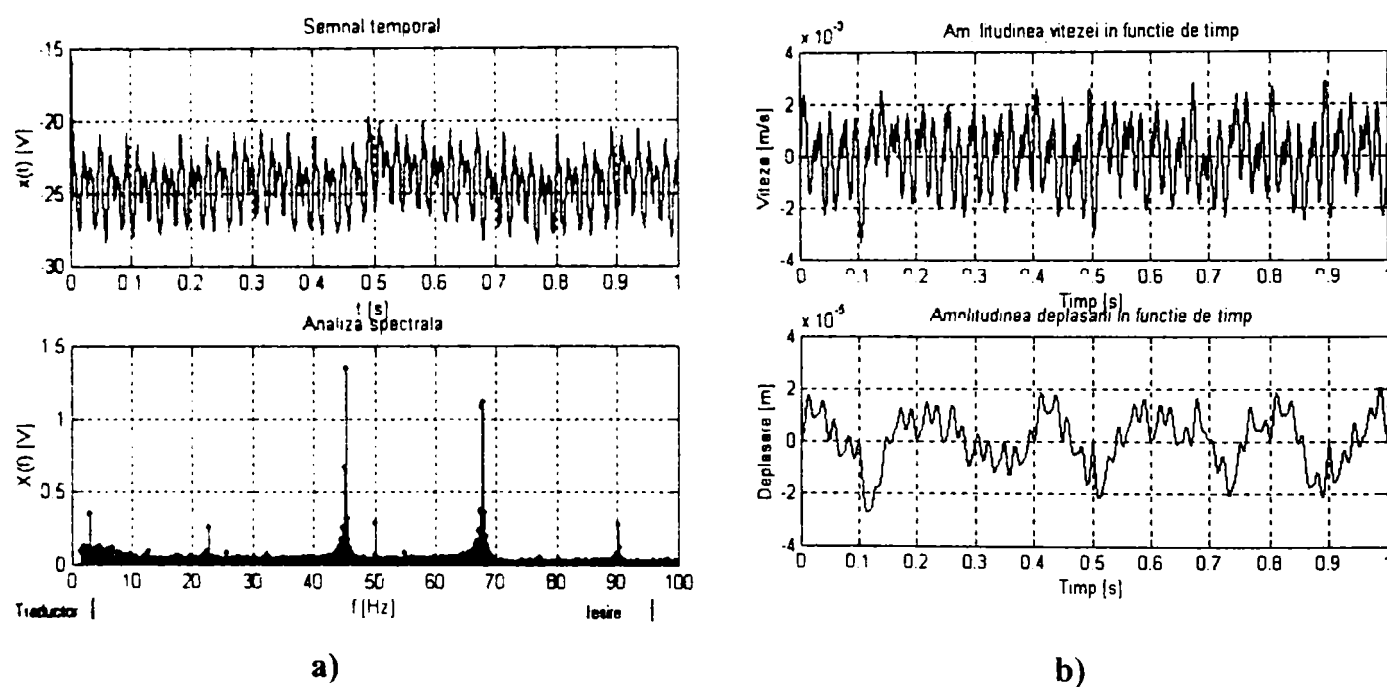


Fig. A.8.2.3. Frecvență testată: $f=23,2 \text{ Hz}$

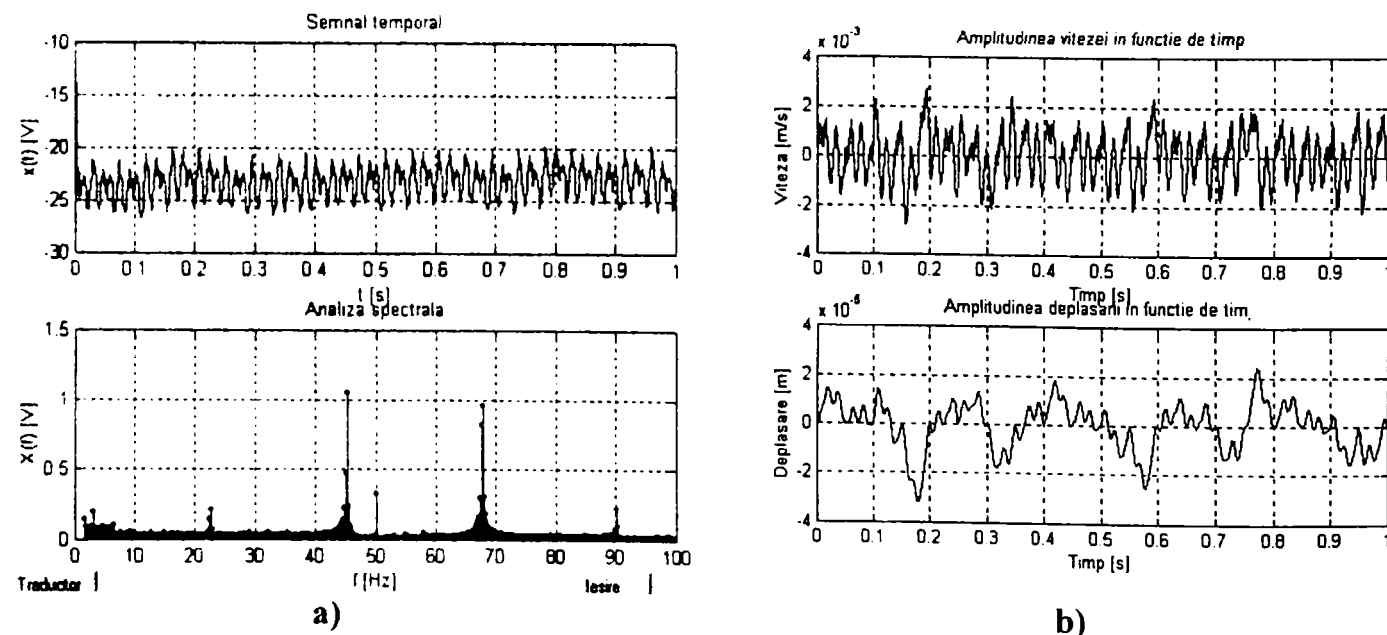


Fig. A.8.2.4. Frecvență testată: $f=23,3 \text{ Hz}$

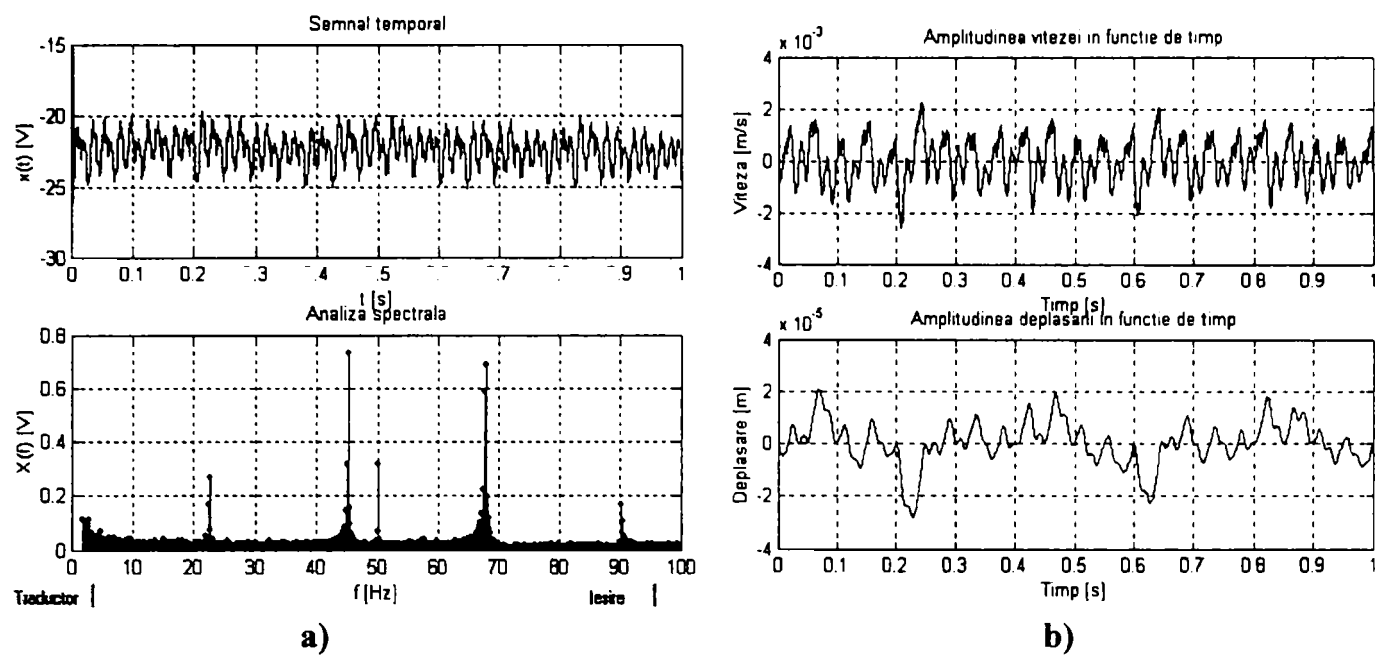


Fig. A.8.2.5. Frecvență testată: $f=23,4 \text{ Hz}$

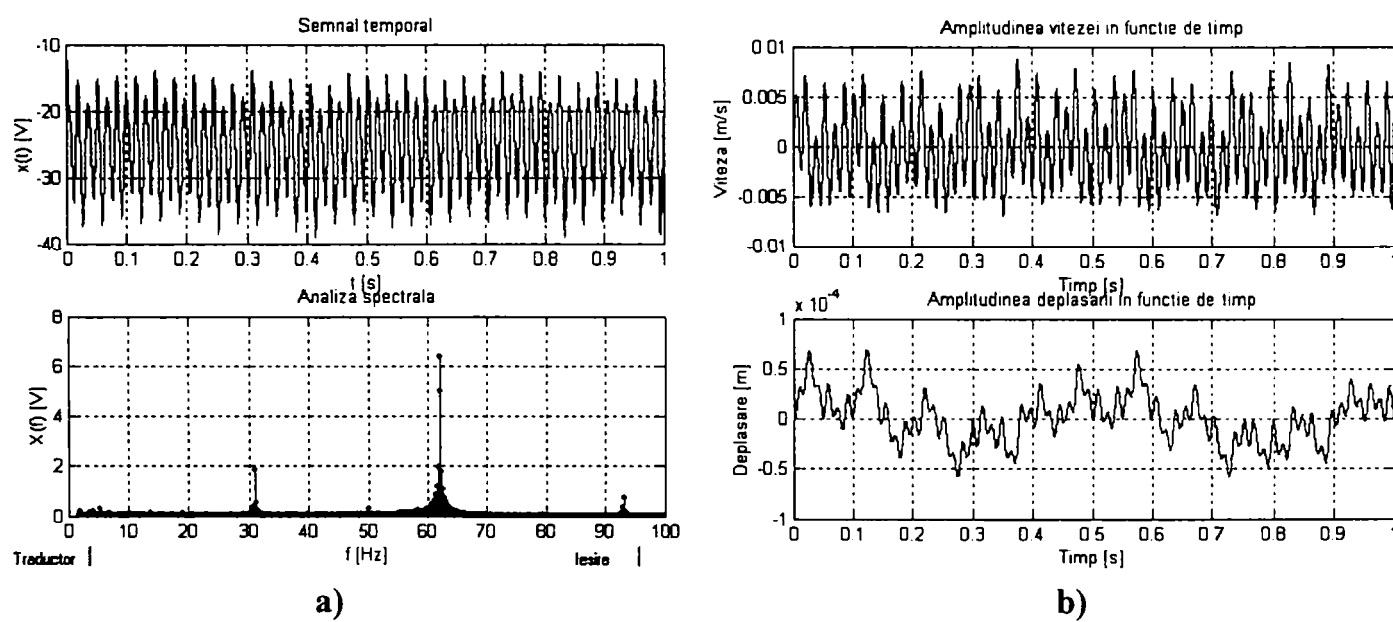


Fig. A.8.3.1. Frecvență testată: $f=31 \text{ Hz}$

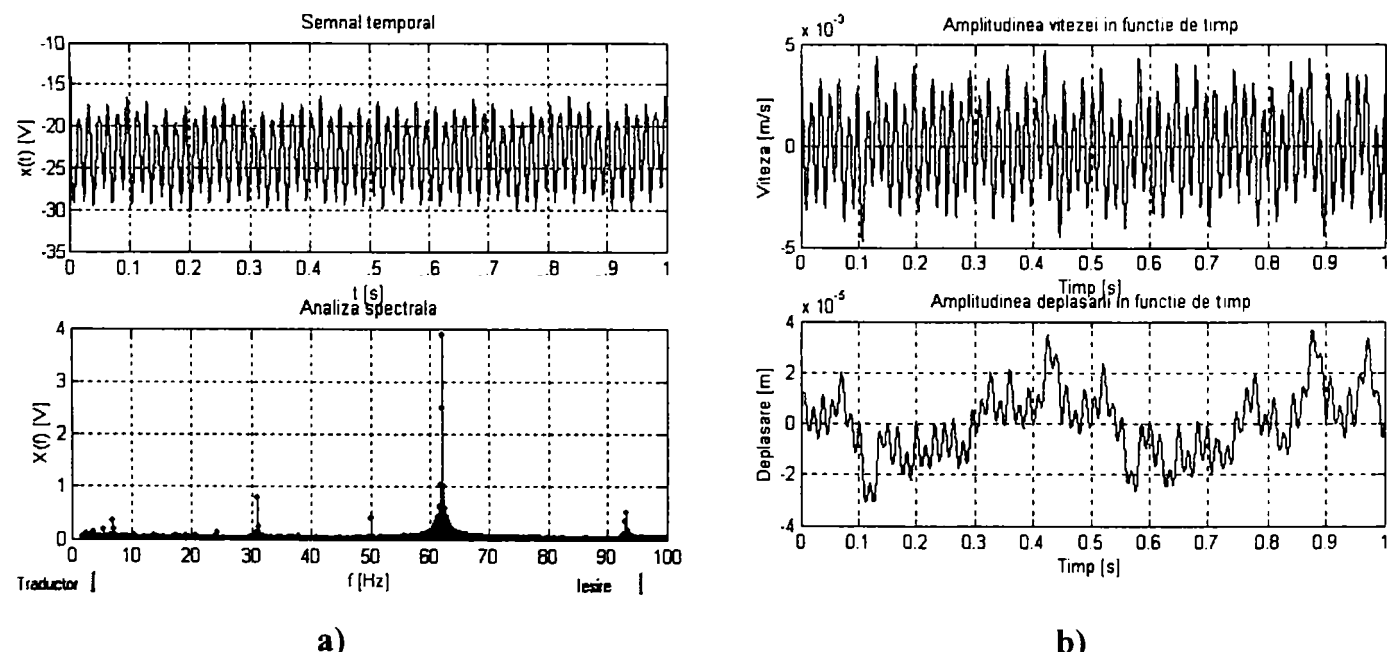


Fig. A.8.3.2. Frecvență testată: $f=31,1 \text{ Hz}$

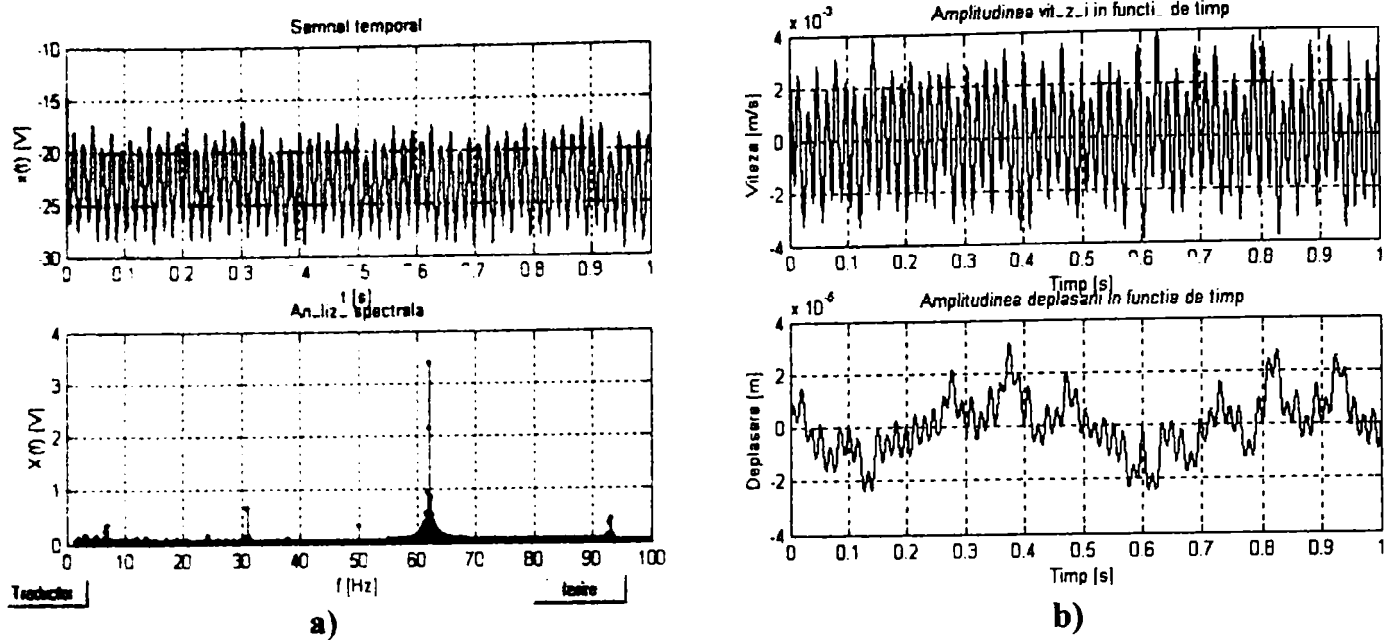


Fig. A.8.3.3. Frecvență testată: $f = 31,2 \text{ Hz}$

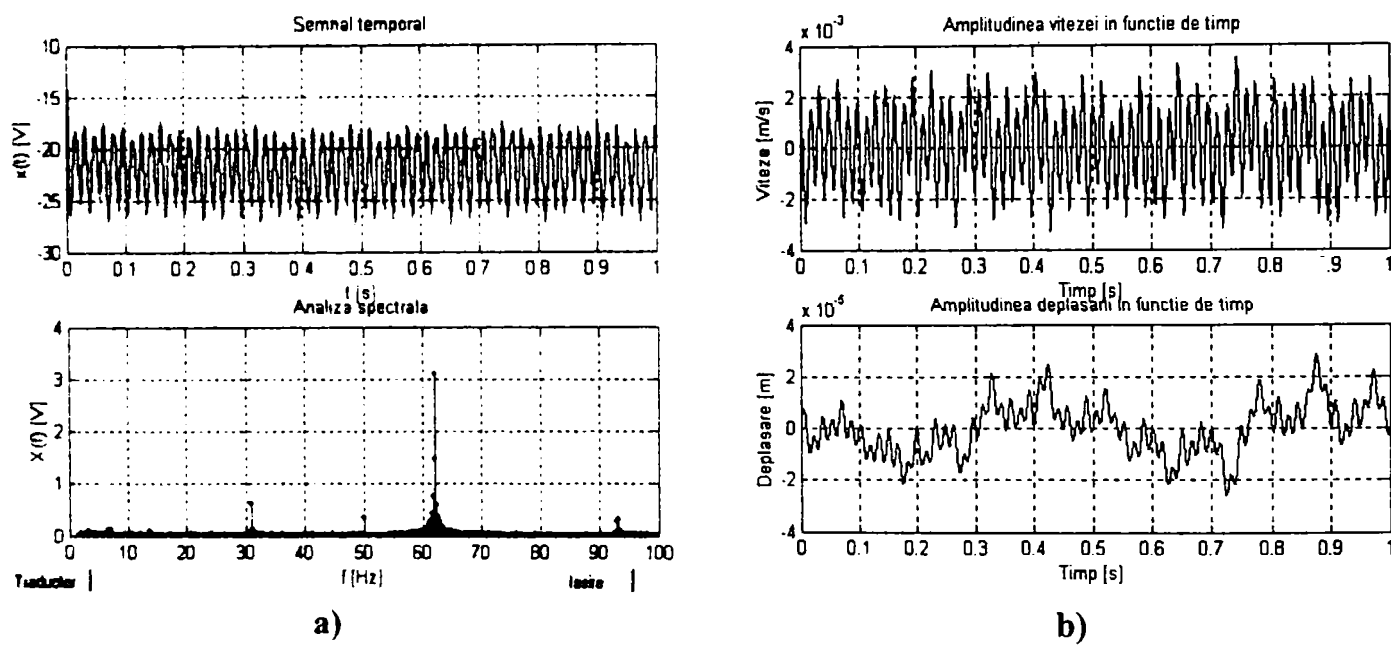


Fig. A.8.3.4. Frecvență testată: $f = 31,3 \text{ Hz}$

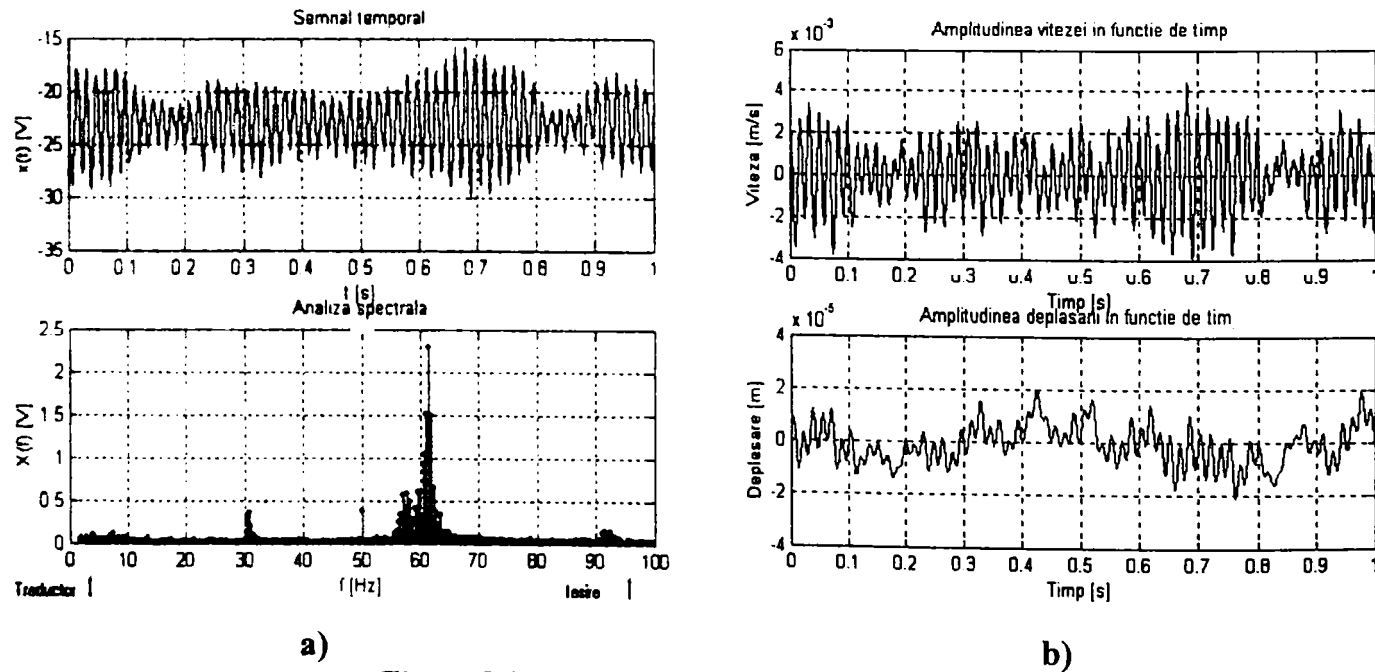


Fig. A.8.3.5. Frecvență testată: $f = 31,4 \text{ Hz}$

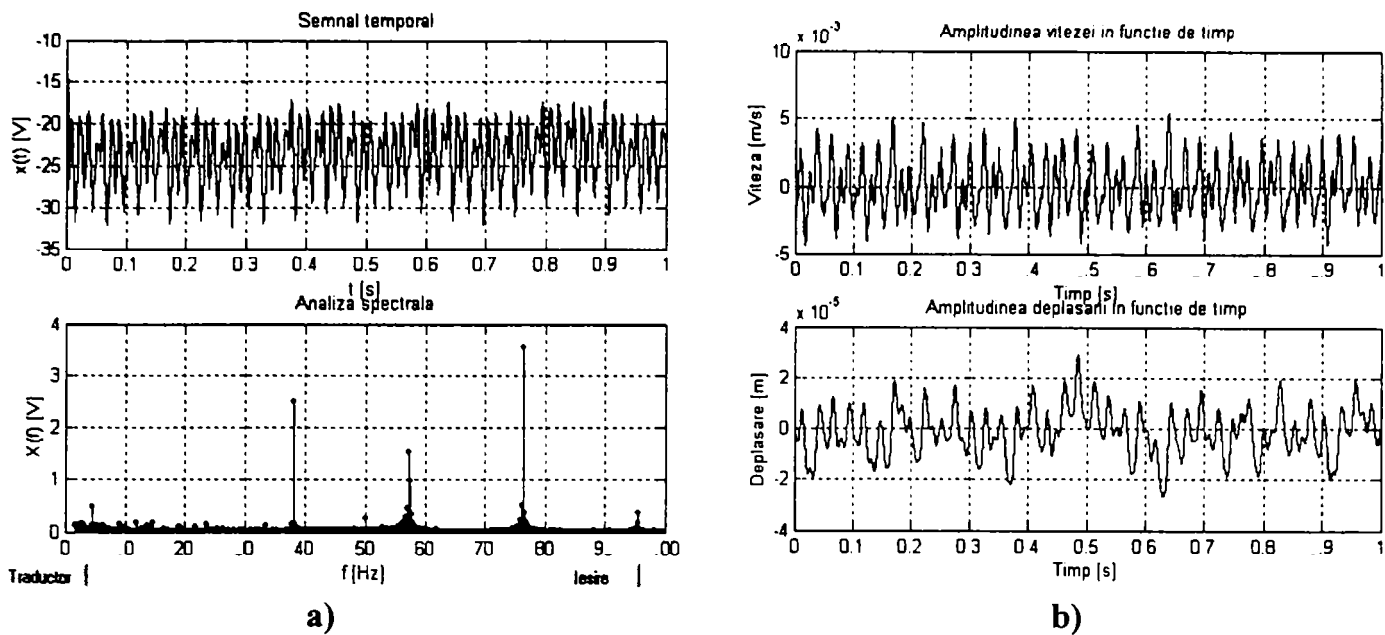


Fig. A.8.4.1. Frecvență testată: $f = 39 \text{ Hz}$

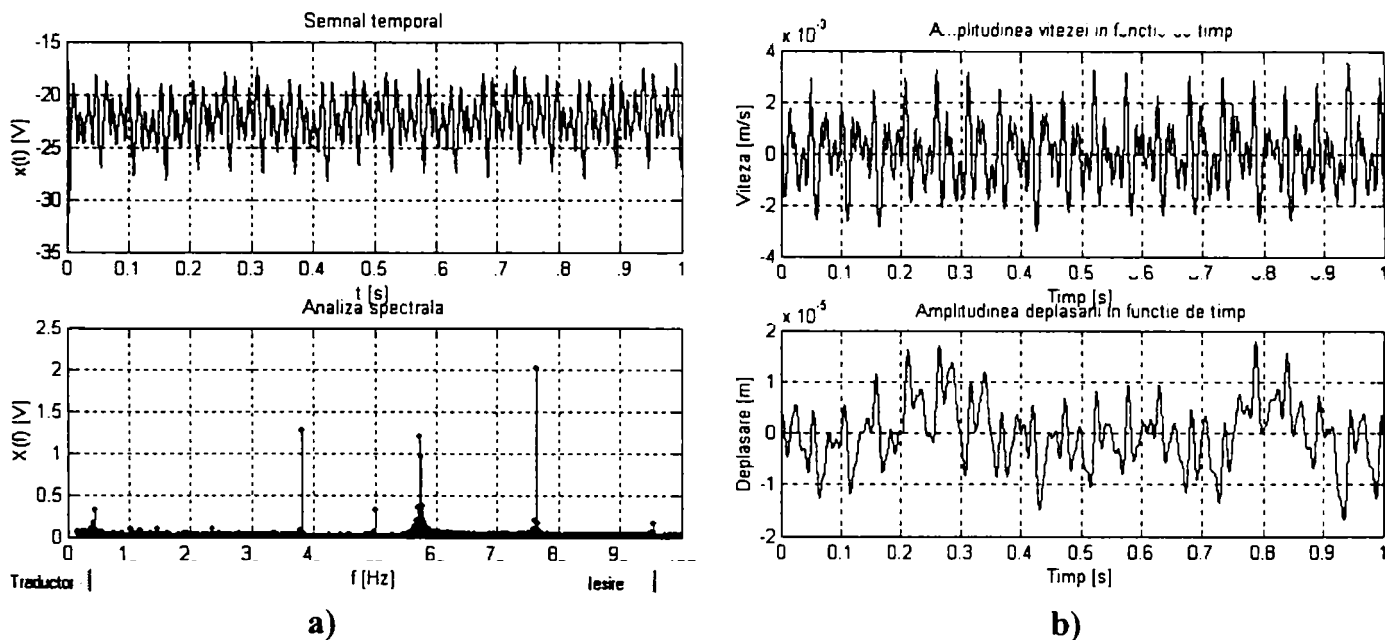
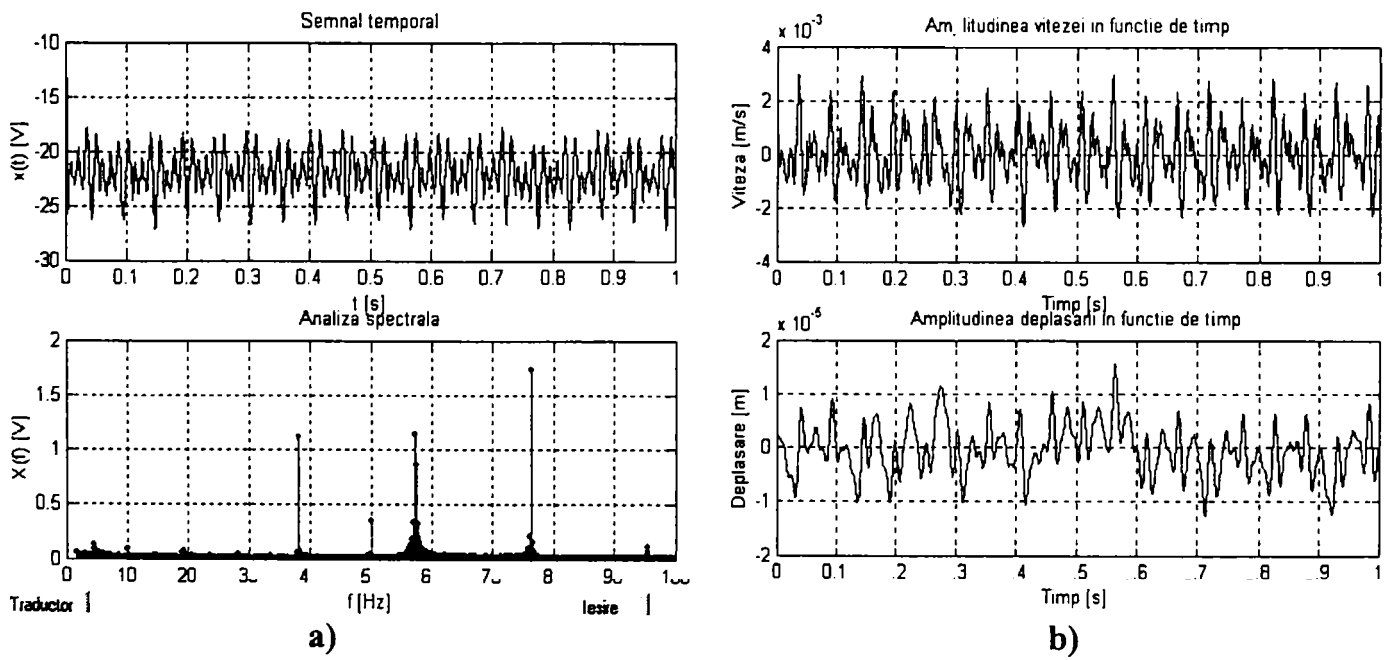


Fig. A.8.4.2. Frecvență testată: $f = 39,1 \text{ Hz}$



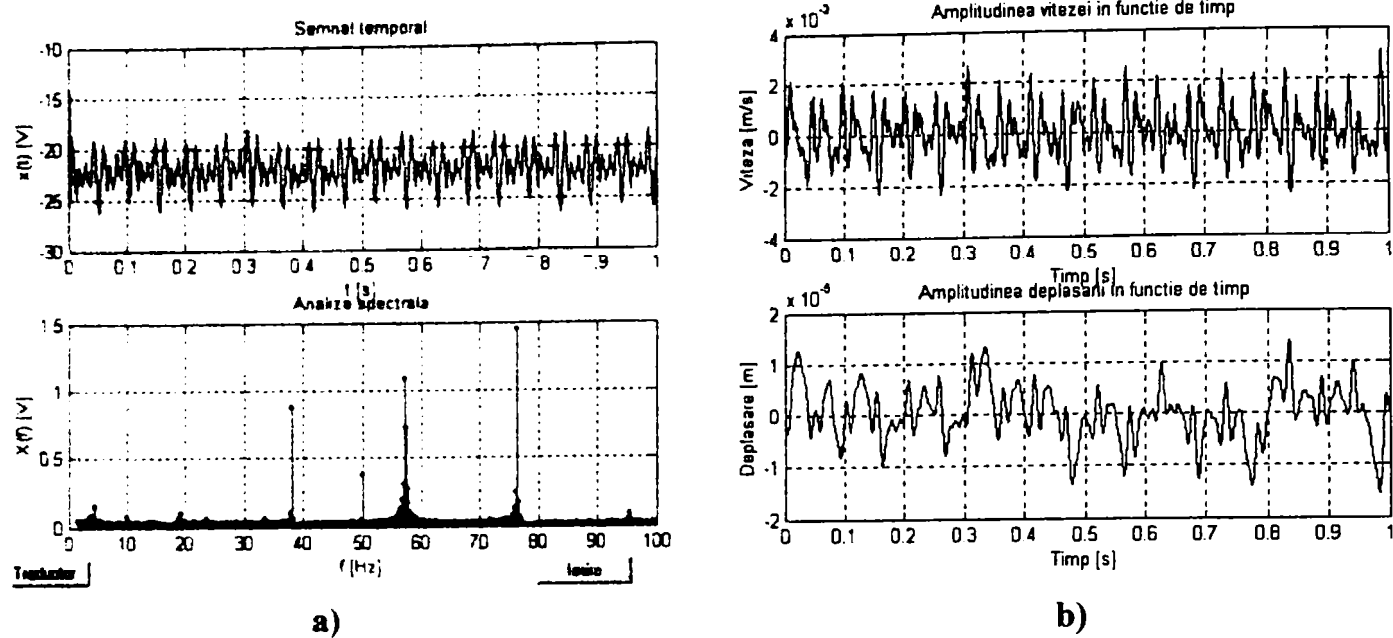


Fig. A.8.4.4. Frecvență testată: $f = 39.3 \text{ Hz}$

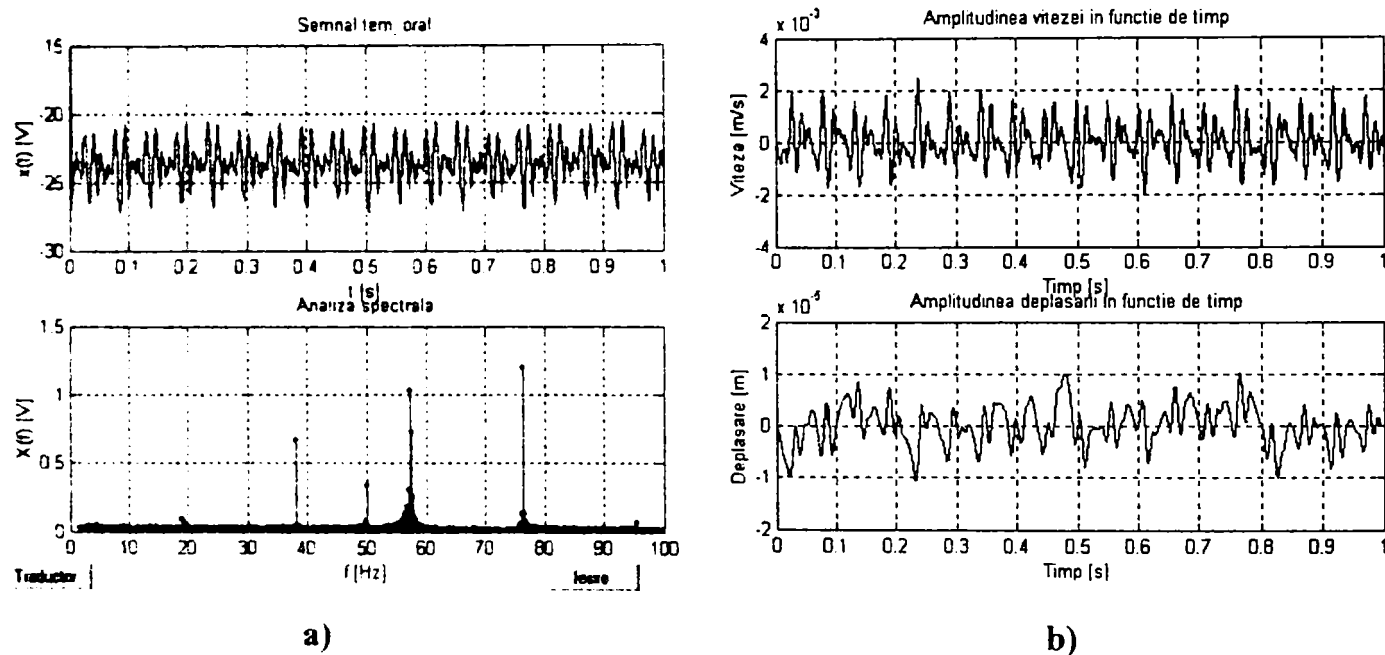


Fig. A.8.4.5. Frecvență testată: $f = 39.4 \text{ Hz}$

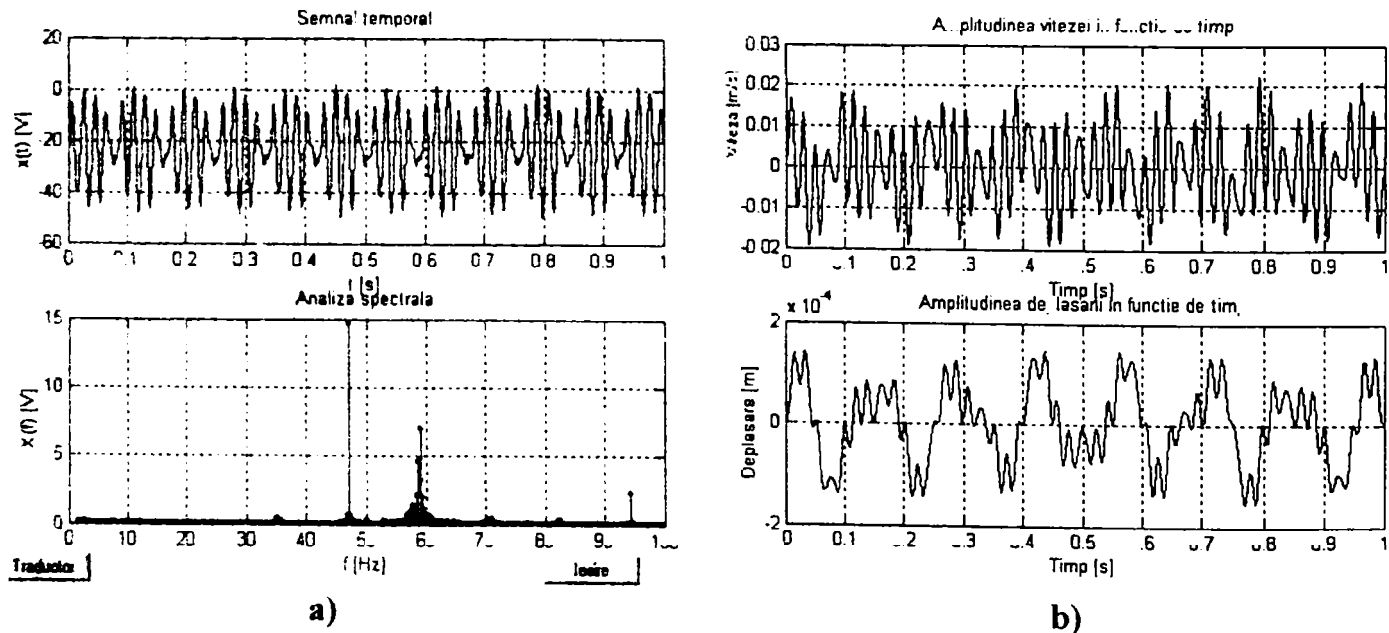


Fig. A.8.5.1. Frecvență testată: $f = 47 \text{ Hz}$

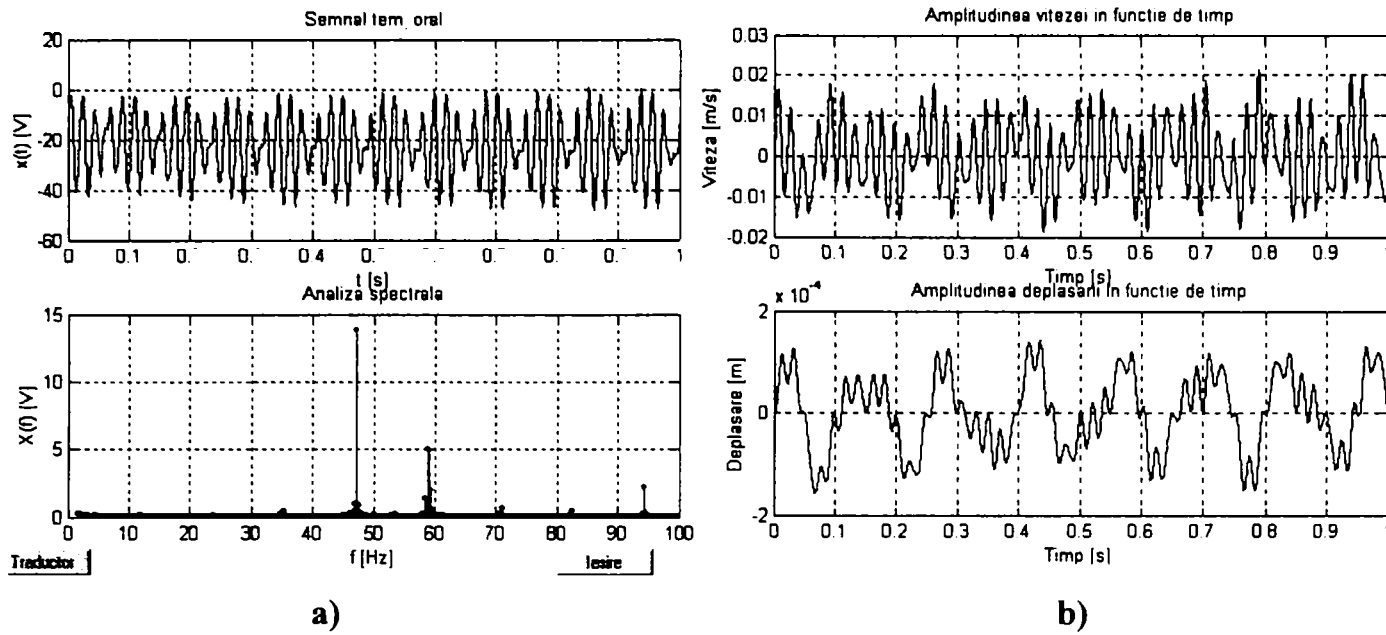


Fig. A.8.5.2. Frecvență testată: $f=47,1\text{ Hz}$

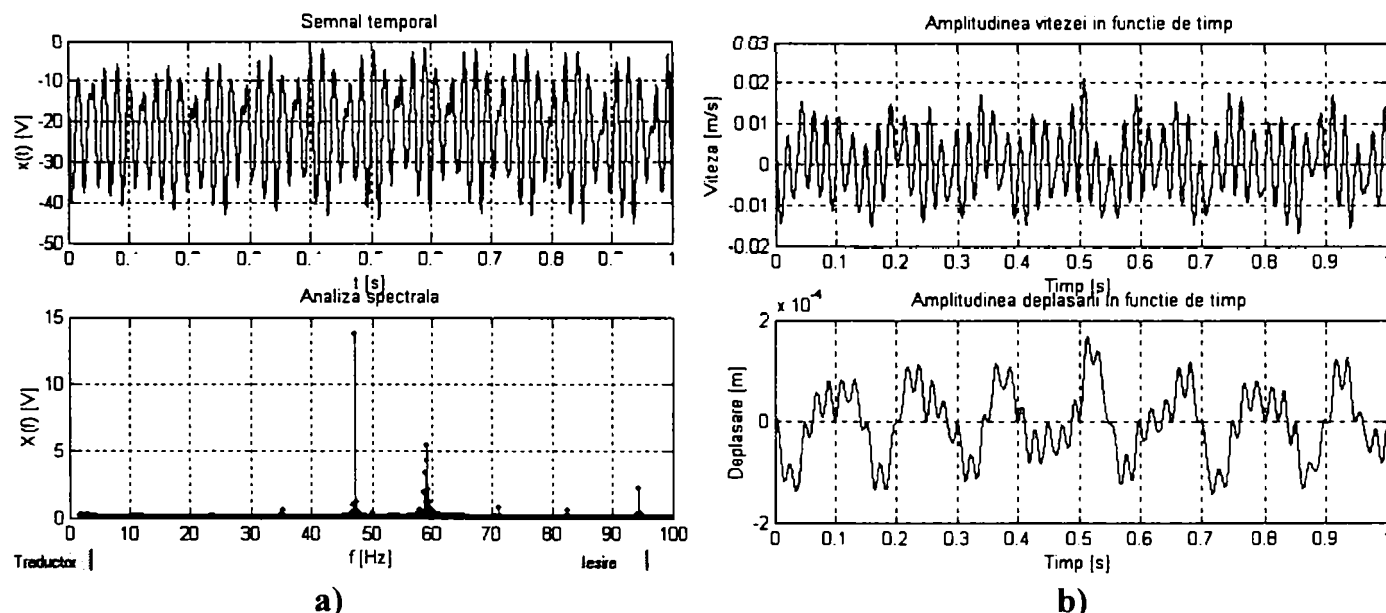
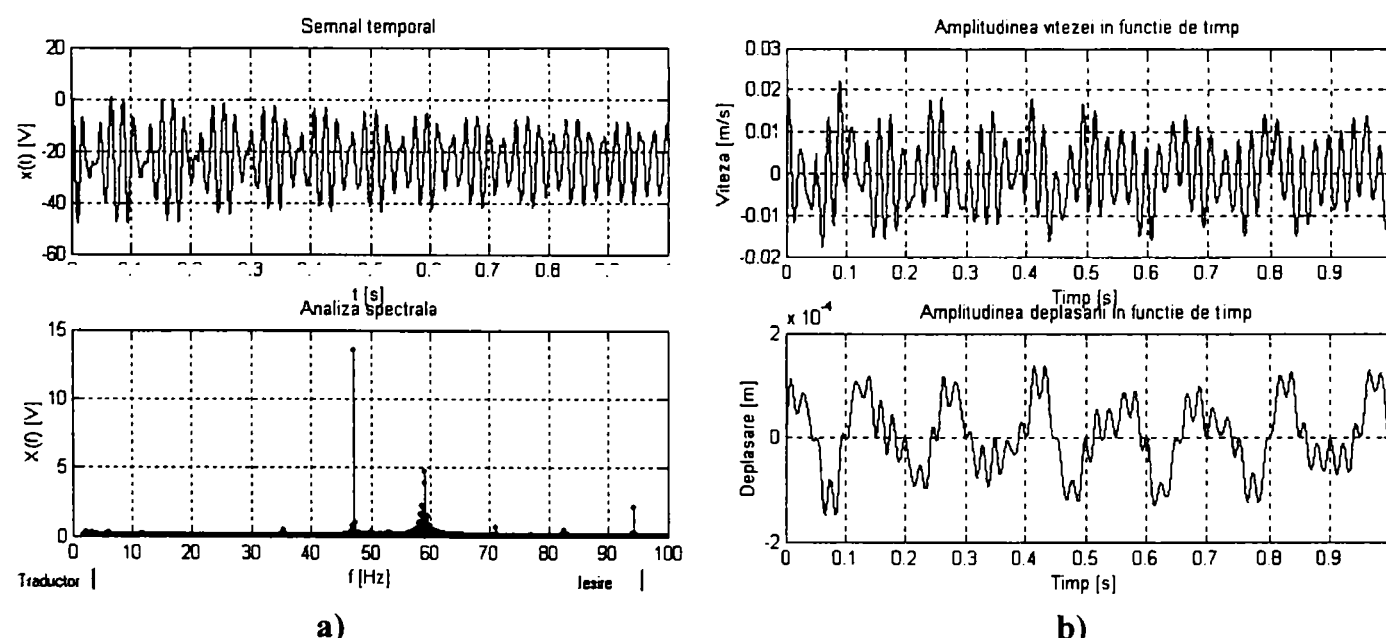
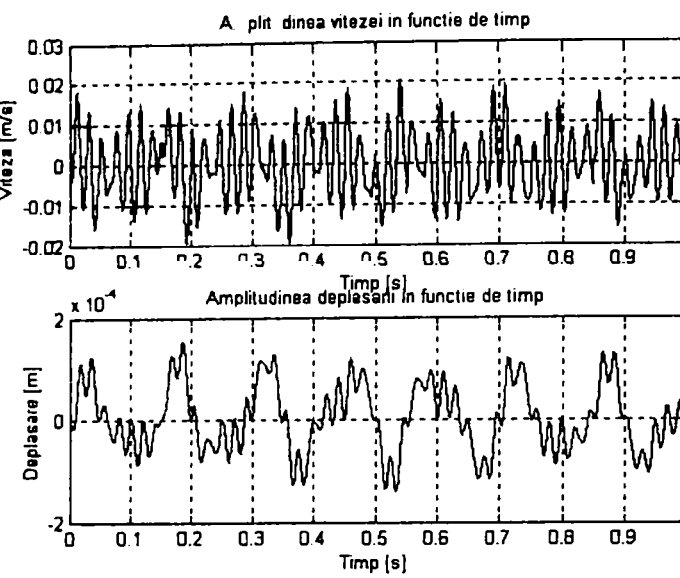
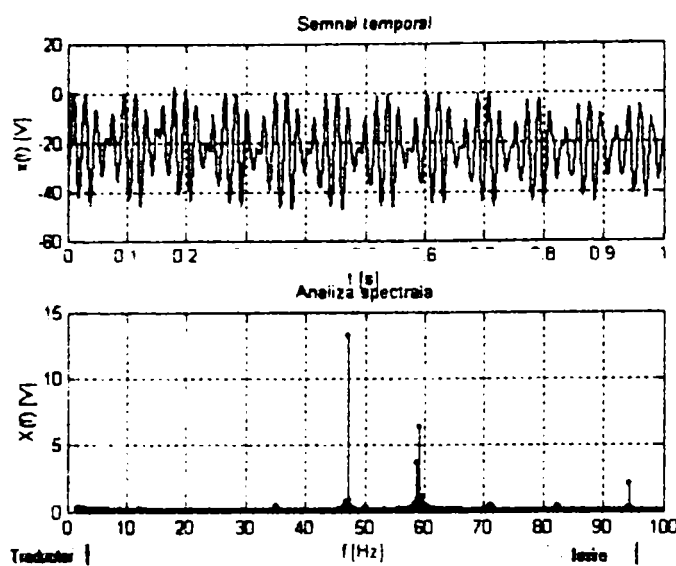


Fig. A.8.5.3. Frecvență testată: $f=47,2\text{ Hz}$

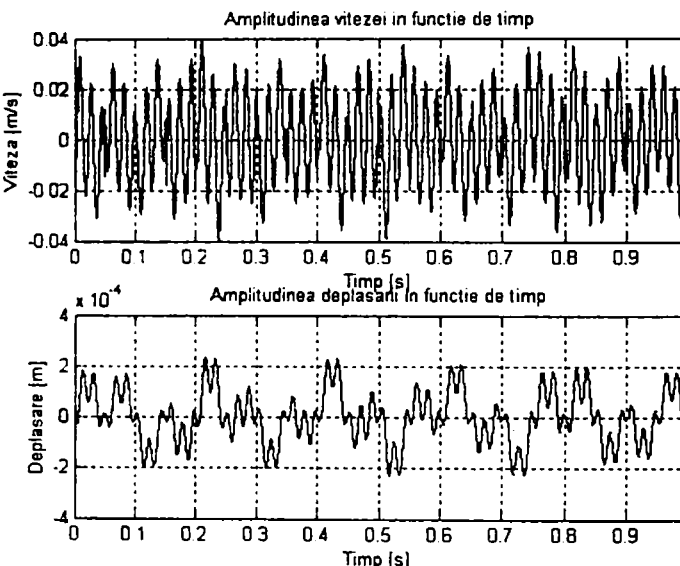
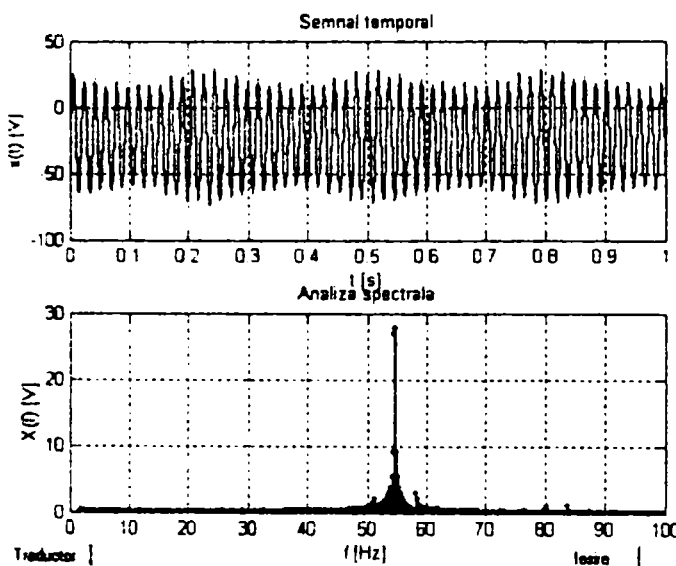




a)

b)

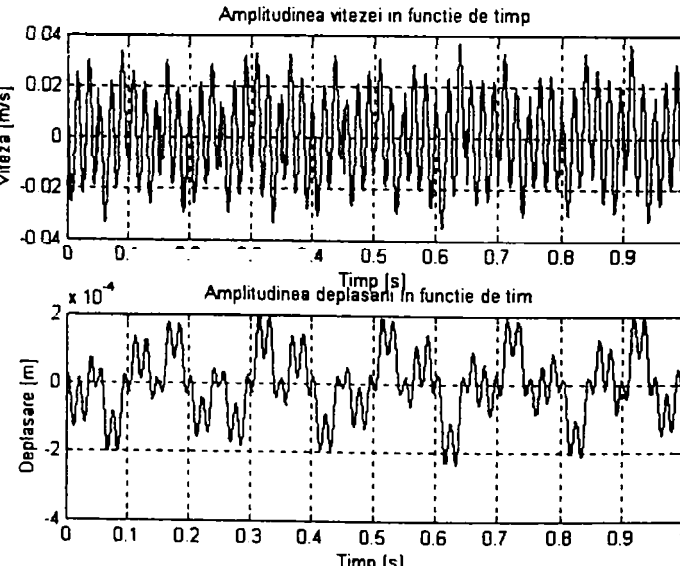
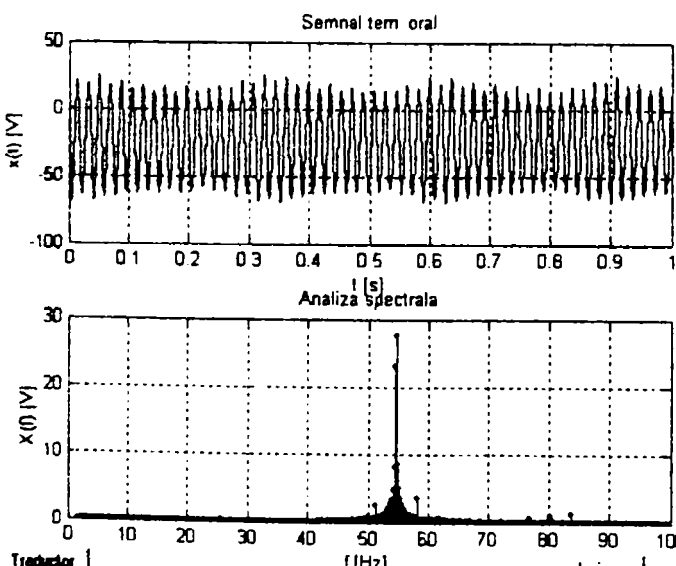
Fig. A.8.5.5. Frecvența testată: $f = 47,4$ Hz



a)

b)

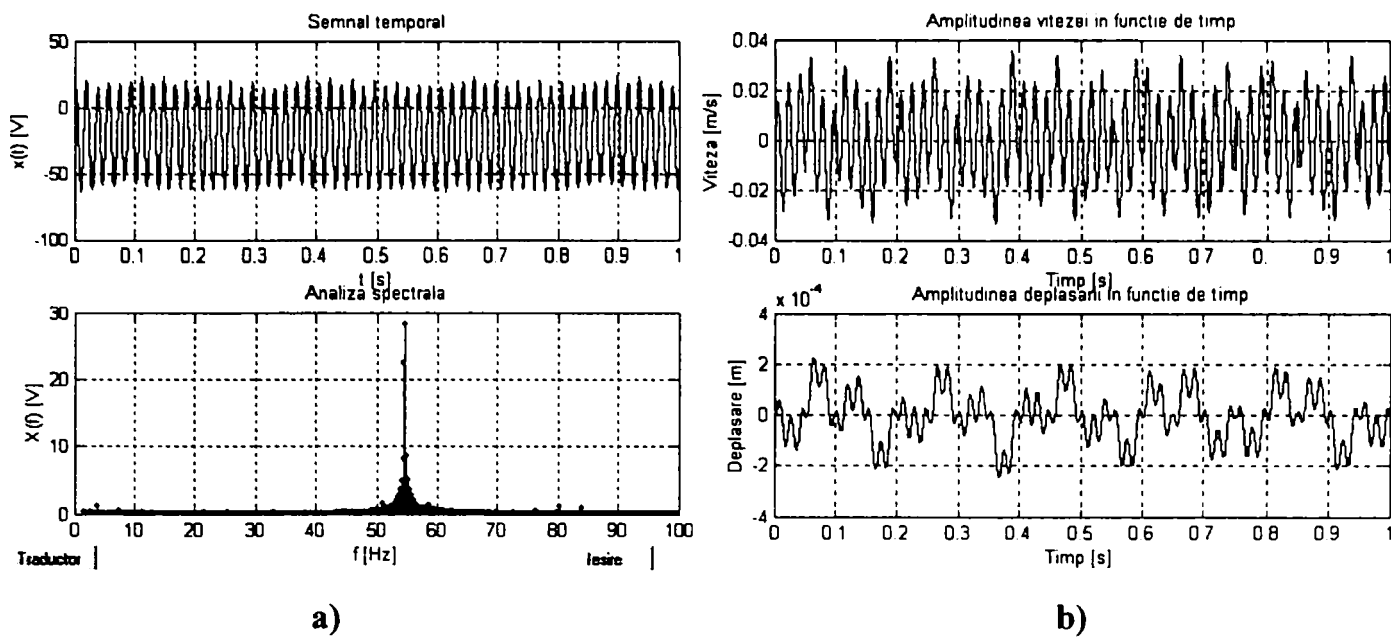
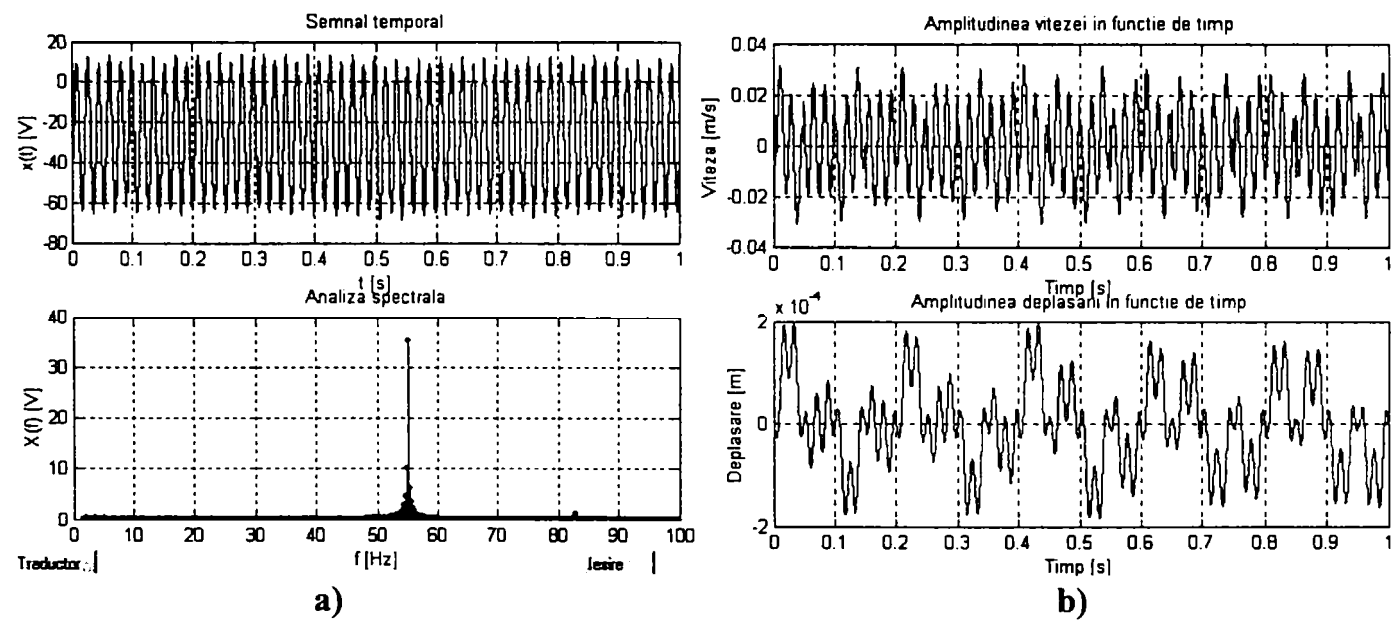
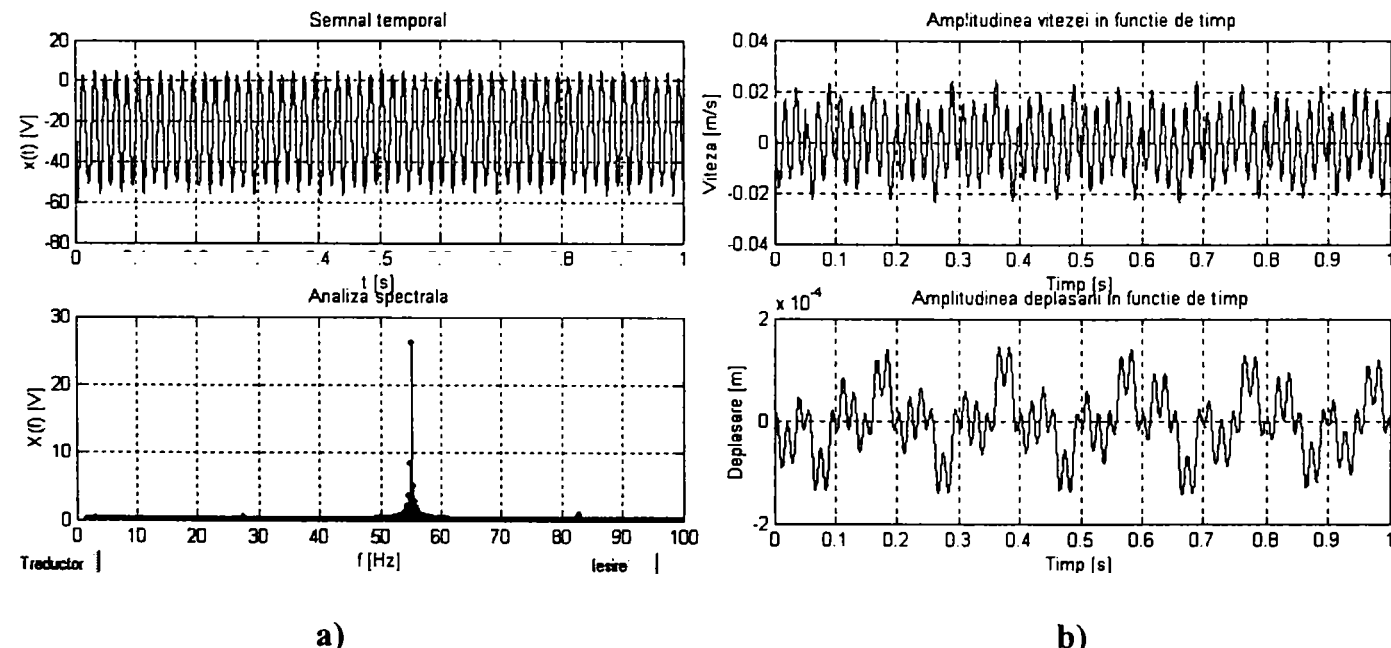
Fig. A.8.6.1. Frecvența testată: $f = 55$ Hz



a)

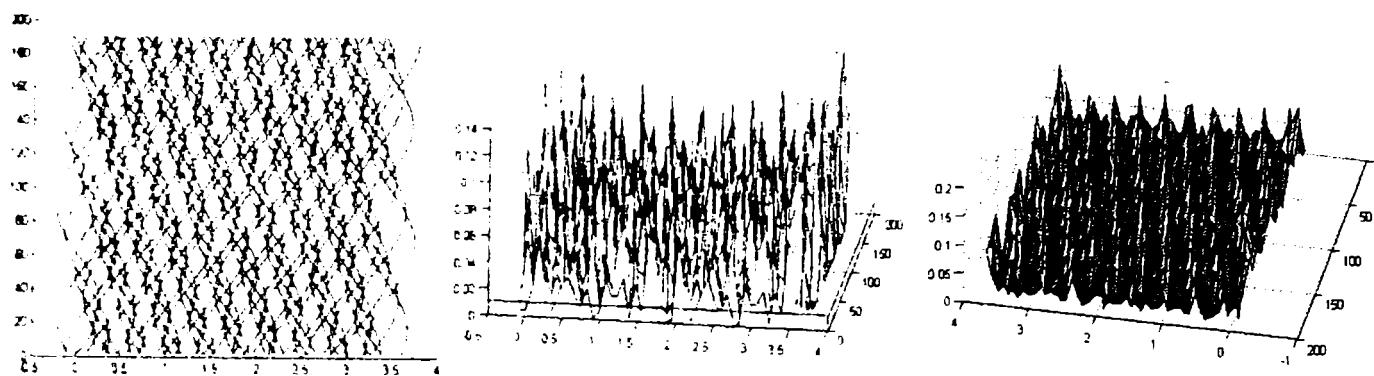
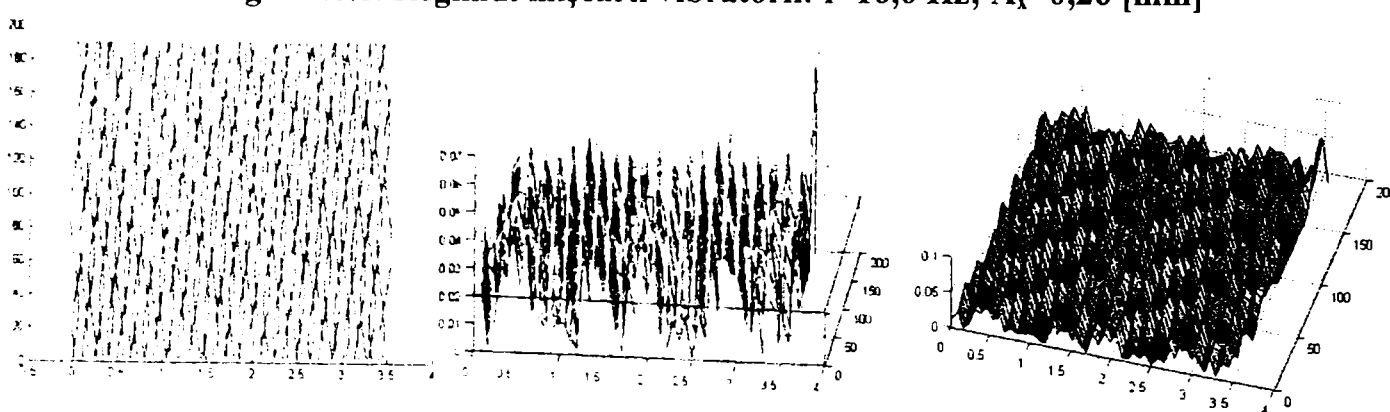
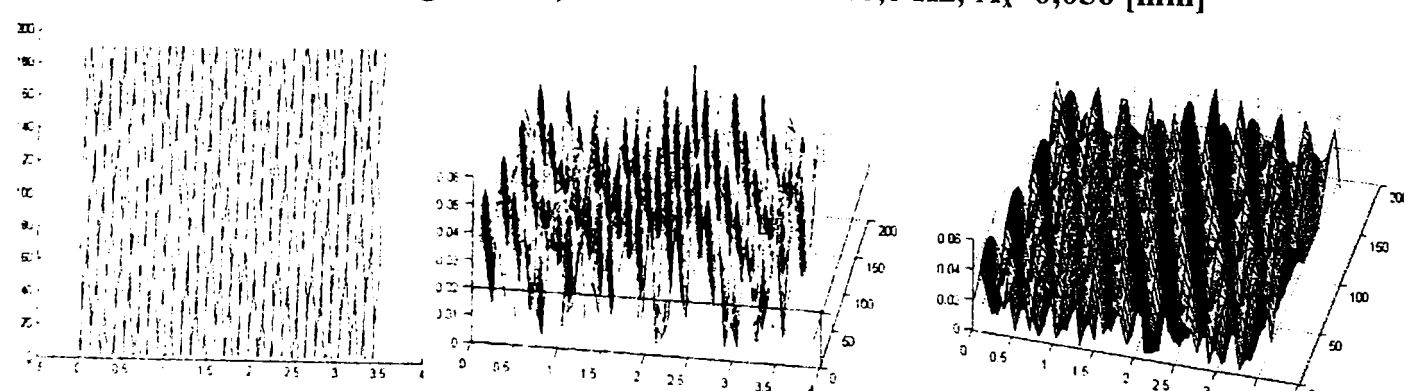
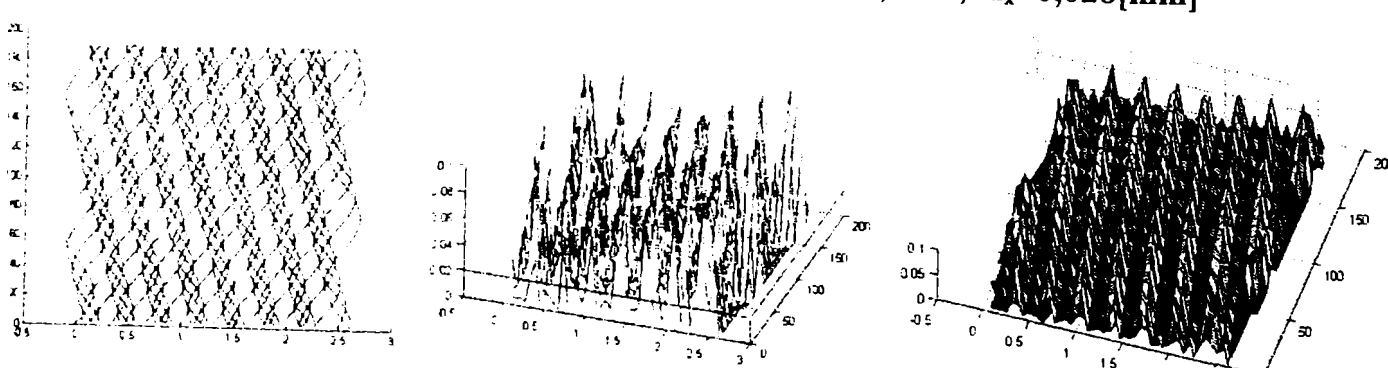
b)

Fig. A.8.6.2. Frecvența testată: $f = 55,1$ Hz


Fig. A.8.6.3. Frecvență testată: $f = 55.2 \text{ Hz}$

Fig. A.8.6.4. Frecvență testată: $f = 55.3 \text{ Hz}$

Fig. A.8.6.5. Frecvență testată: $f = 55.4 \text{ Hz}$

Anexa 9.**Traекторii și rugozități simulate cu regimurile de așchiere:**

$$s_0=0,056 \text{ [mm/rot]}; n=630 \text{ [rot/min]}; d=61 \text{ [mm]}; \alpha=\alpha_1=12^\circ; \gamma=8^\circ; \chi=45^\circ; p=100.$$

**a)****b)****c)****Fig.A.9.1.1. Regimul mișcării vibratorii: f=16,6 Hz; A_x=0,26 [mm]****a)****b)****c)****Fig.A.9.1.2. Regimul mișcării vibratorii: f=16,6 Hz; A_x=0,056 [mm]****a)****b)****c)****Fig.A.9.1.3. Regimul mișcării vibratorii: f=16,6 Hz; A_x=0,028 [mm]****a)****b)****c)****Fig.A.9.2.1. Regimul mișcării vibratorii: f=22,8 Hz; A_x=0,16 [mm]**

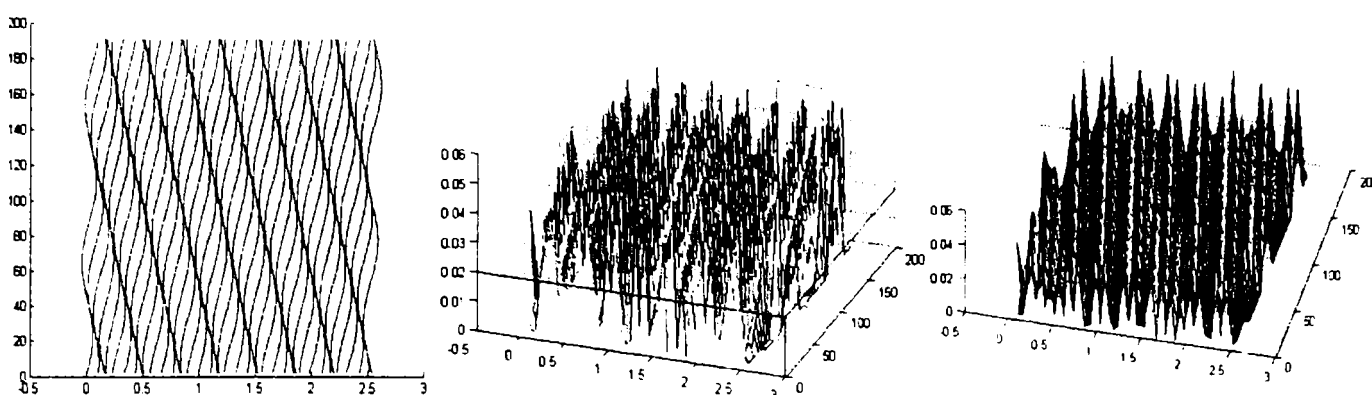


Fig.A.9.2.2. Regimul mișcării vibratorii: $f=22,8 \text{ Hz}$; $A_x=0,056 \text{ [mm]}$

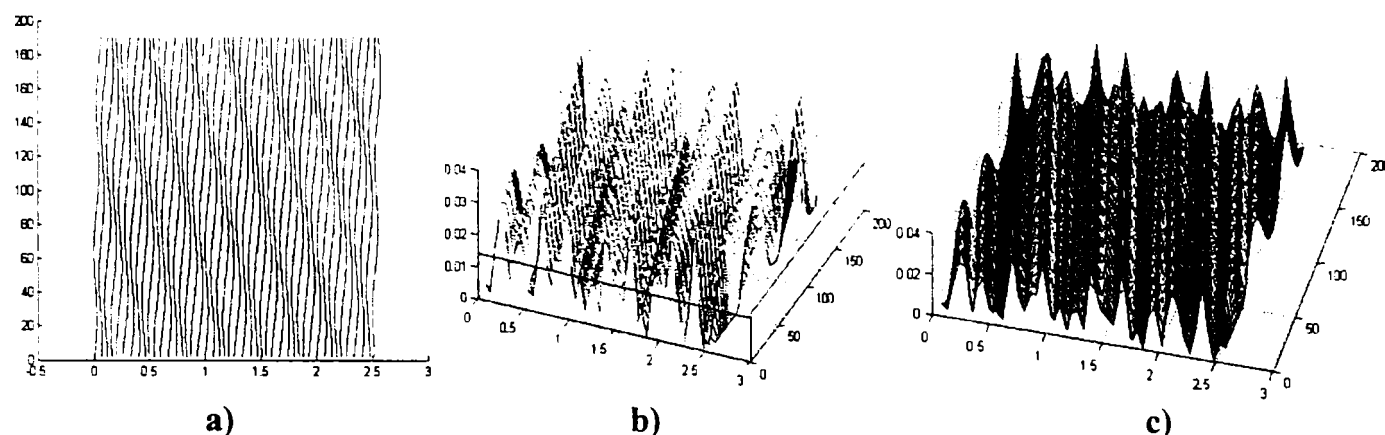


Fig.A.9.2.3. Regimul mișcării vibratorii: $f=22,8 \text{ Hz}$; $A_x=0,028 \text{ [mm]}$

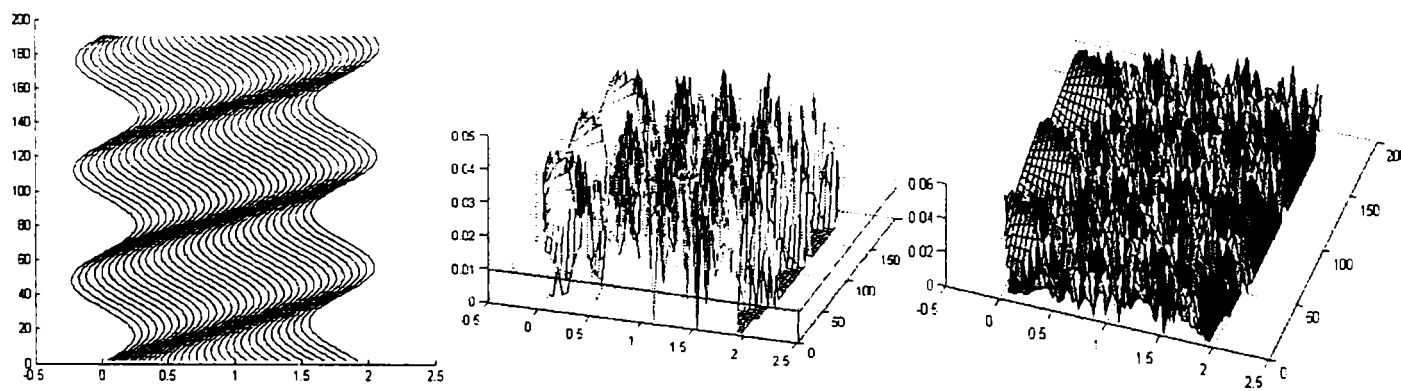


Fig.A.9.3.1. Regimul mișcării vibratorii: $f=31,4 \text{ Hz}$; $A_x=0,24 \text{ [mm]}$

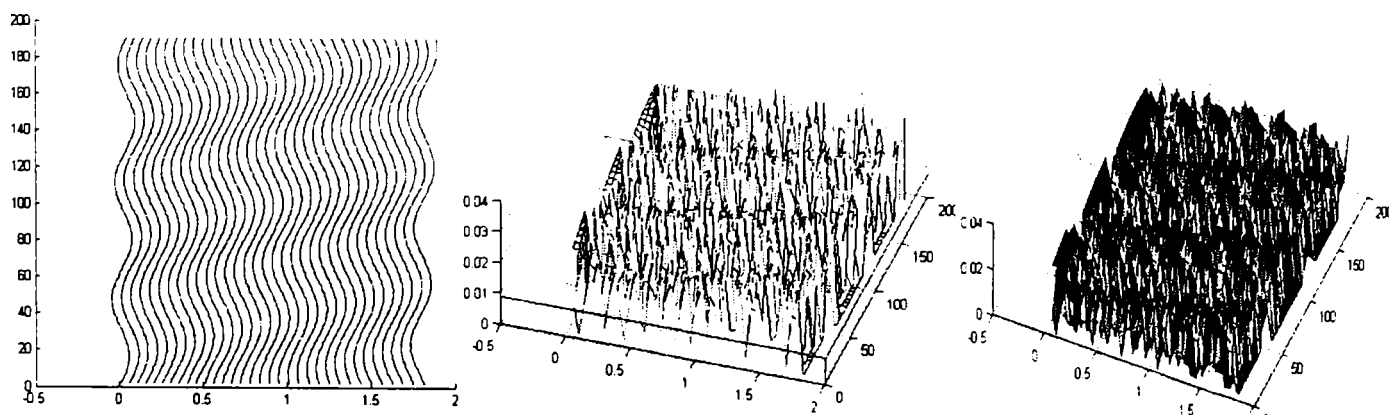


Fig.A.9.3.2. Regimul mișcării vibratorii: $f=31,4 \text{ Hz}$; $A_x=0,056 \text{ [mm]}$

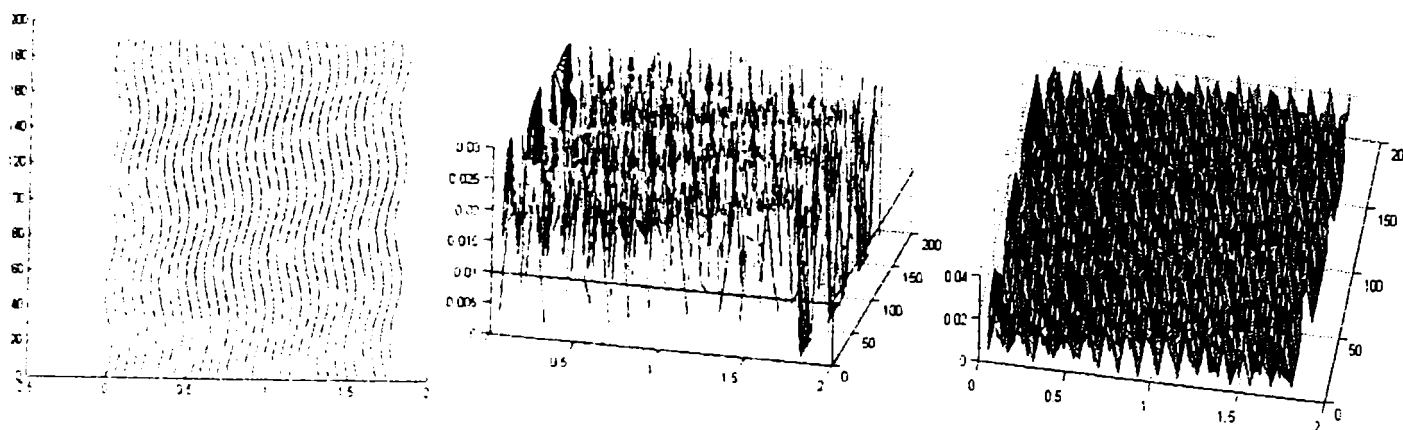


Fig.A.9.3.3. Regimul mișcării vibratorii: $f=31,4 \text{ Hz}$; $A_x=0,028 \text{ [mm]}$

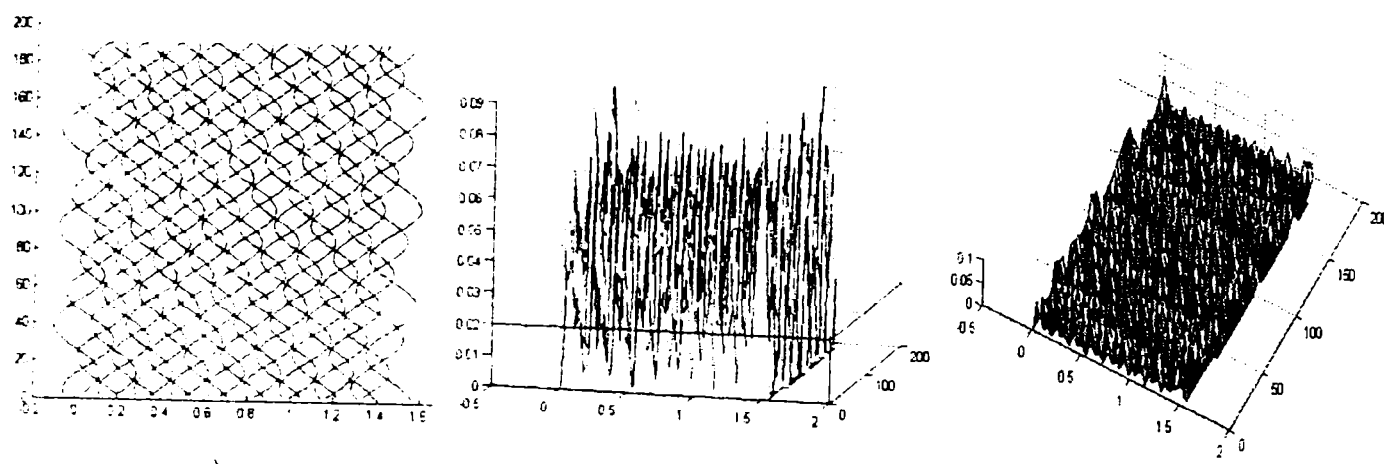


Fig.A.9.4.1. Regimul mișcării vibratorii: $f=38,6 \text{ Hz}$; $A=0,14$

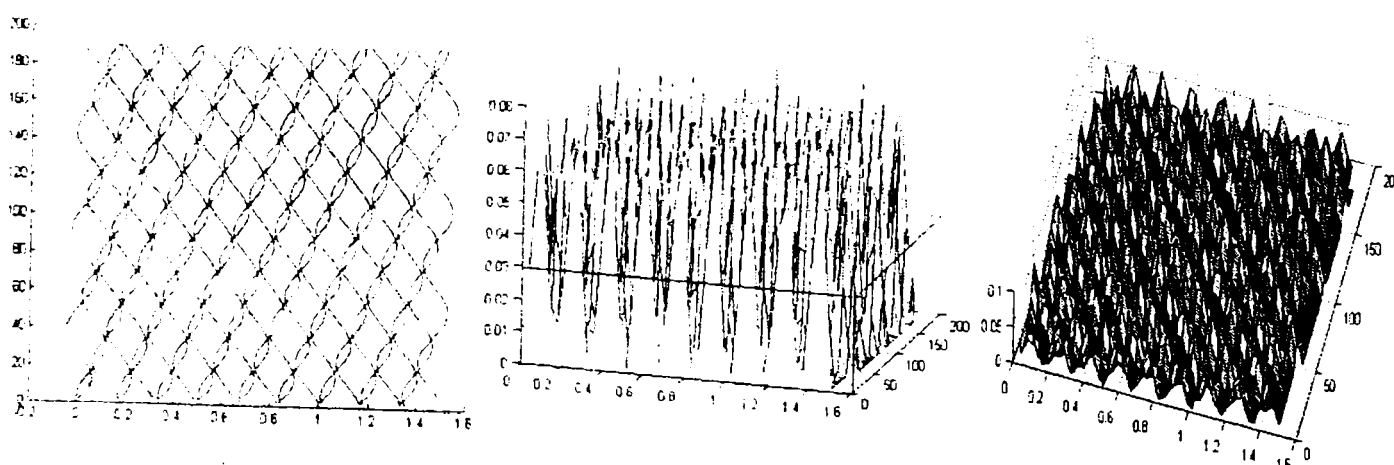


Fig.A.9.4.2. Regimul mișcării vibratorii: $f=38,6 \text{ Hz}$; $A_x=0,056 \text{ [mm]}$

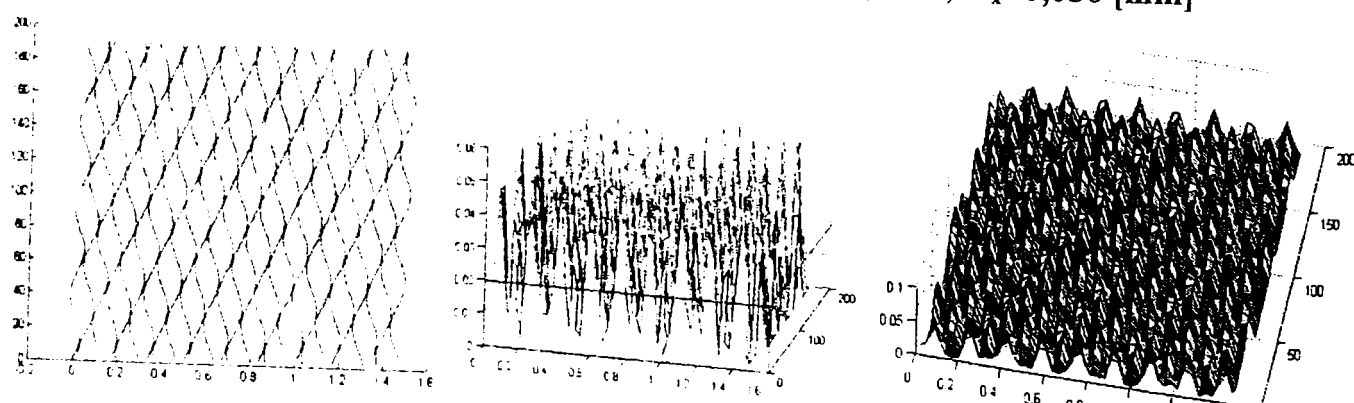
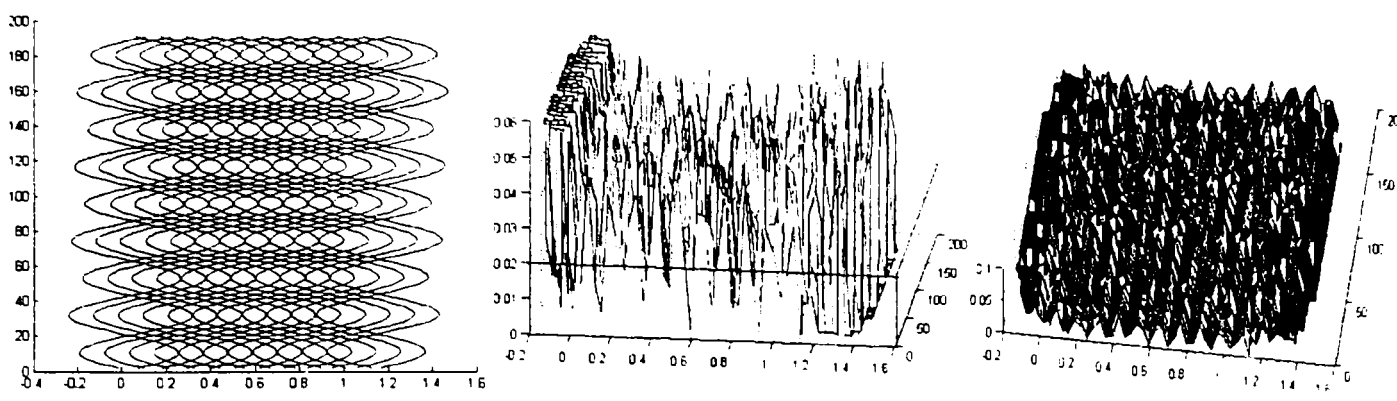


Fig.A.9.4.3. Regimul mișcării vibratorii: $f=38,6 \text{ Hz}$; $A_x=0,028 \text{ [mm]}$

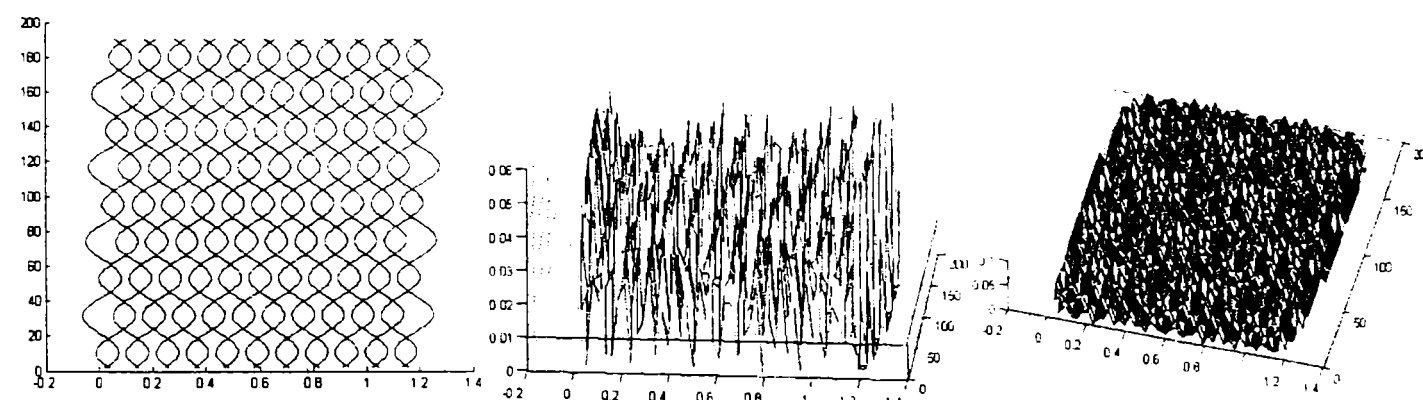


a)

b)

c)

Fig.A.9.5.1. Regimul mișcării vibratorii: $f=47,4 \text{ Hz}$; $A_x=0,25 \text{ [mm]}$

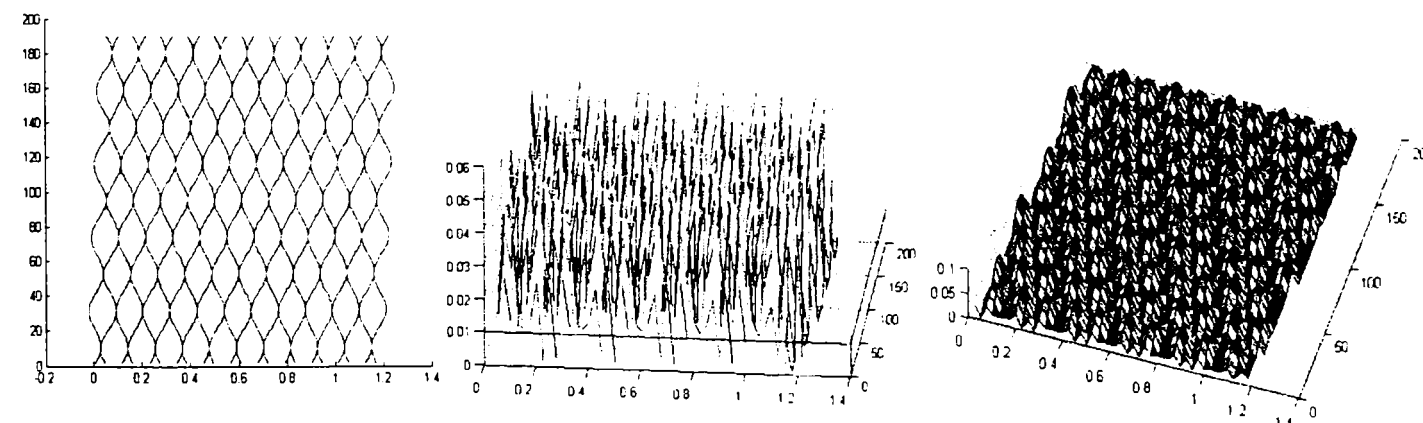


a)

b)

c)

Fig.A.9.5.2. Regimul mișcării vibratorii: $f=47,4 \text{ Hz}$; $A_x=0,07 \text{ [mm]}$

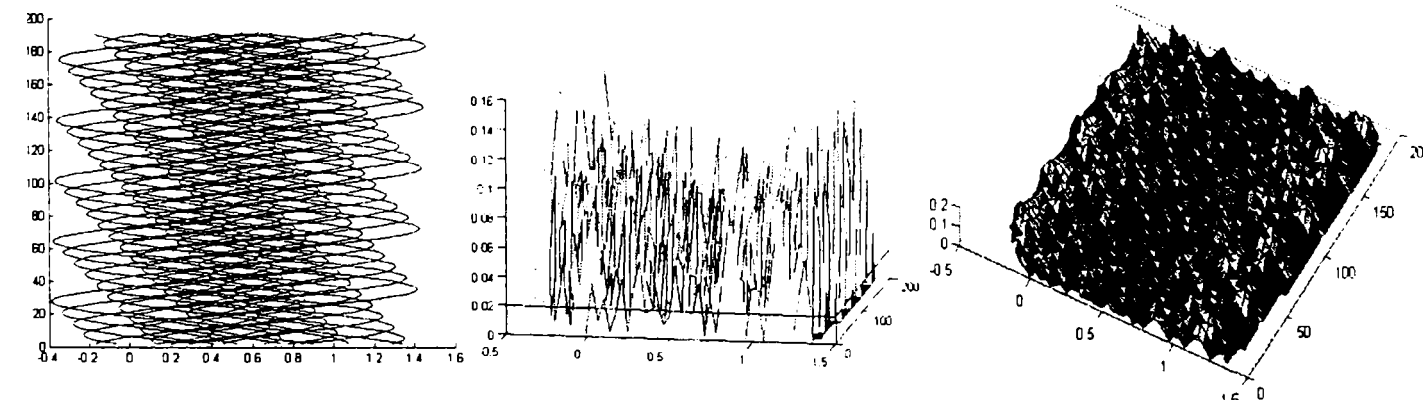


a)

b)

c)

Fig.A.9.5.3. Regimul mișcării vibratorii: $f=47,4 \text{ Hz}$; $A_x=0,028 \text{ [mm]}$

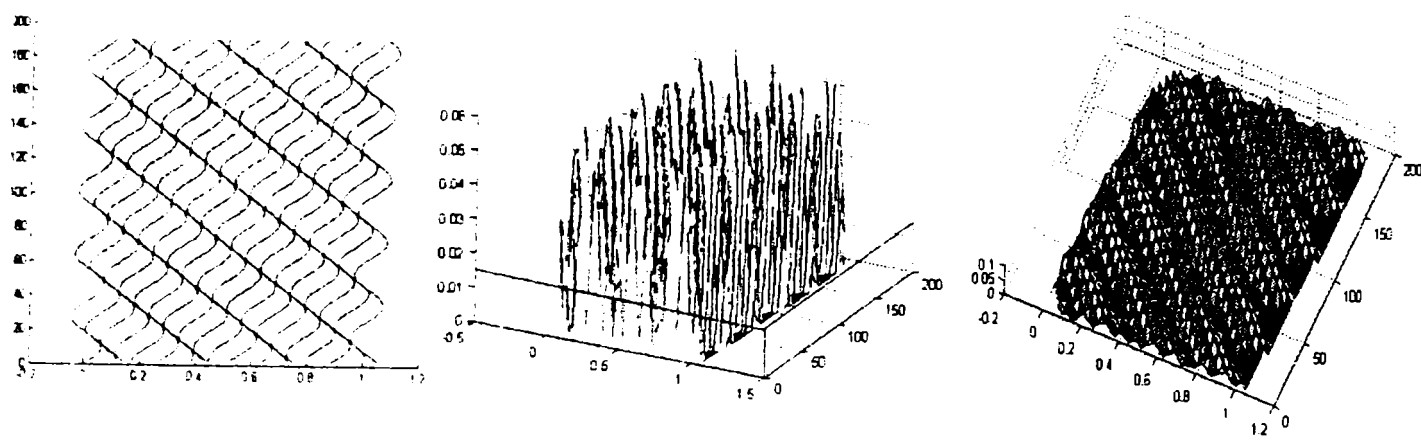


a)

b)

c)

Fig.A.9.6.1. Regimul mișcării vibratorii: $f=54,6 \text{ Hz}$; $A_x=0,4 \text{ [mm]}$

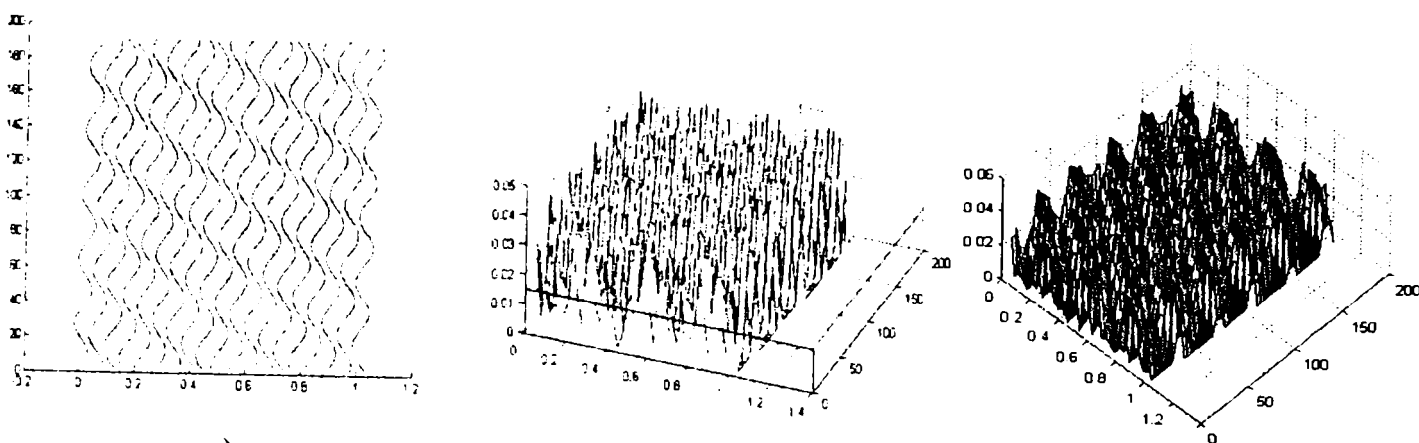


a)

b)

c)

Fig.A.9.6.2. Regimul mișcării vibratorii: $f=54,6 \text{ Hz}$; $A_x=0,056 \text{ [mm]}$



a)

b)

c)

Fig.A.9.6.3. Regimul mișcării vibratorii: $f=54,6 \text{ Hz}$; $A_x=0,028 \text{ [mm]}$

Notă:

- a) – reprezintă traекторii simulate ale vârfului cuțitului;
- b) – reprezintă rugozitatea simulată cu funcția „mesh”;
- c) – reprezintă rugozitatea simulată cu funcția „surf”.

Anexa 10.**Programul „an_spec 1” pentru calculul spectrului de frecvențe****% Initializare variabile**

```
% Definire suprafața grafică utilizator : "an_sp"
```

```
f40_1_1 = figure('Name','Analiza spectrală a semnalelor achiziționate',...
    'NumberTitle','off');
%'MenuBar','none'.
```

% Grafic

```
f40_1_4 = uicontrol('Style', 'pushbutton', 'String', 'Traductor',...
    'Position', [20 5 70 20], 'Callback', 'an_spec3');
```

% Iesire

```
f40_1_6 = uicontrol('Style', 'pushbutton', 'String', 'Iesire',...
    'Position', [420 5 70 20], 'Callback', 'delete(f40_1_1)');
```

% analiza spectrală a unui semnal**% Traductor 2**

```
[filename,pathname] = uigetfile('*.*','Selectati fisierul de date',300,100);
if filename ~=0
```

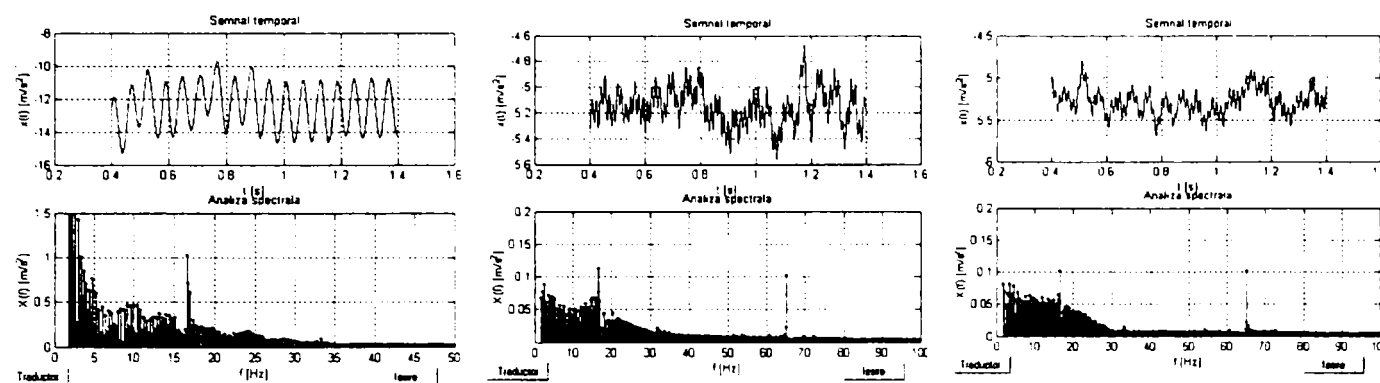
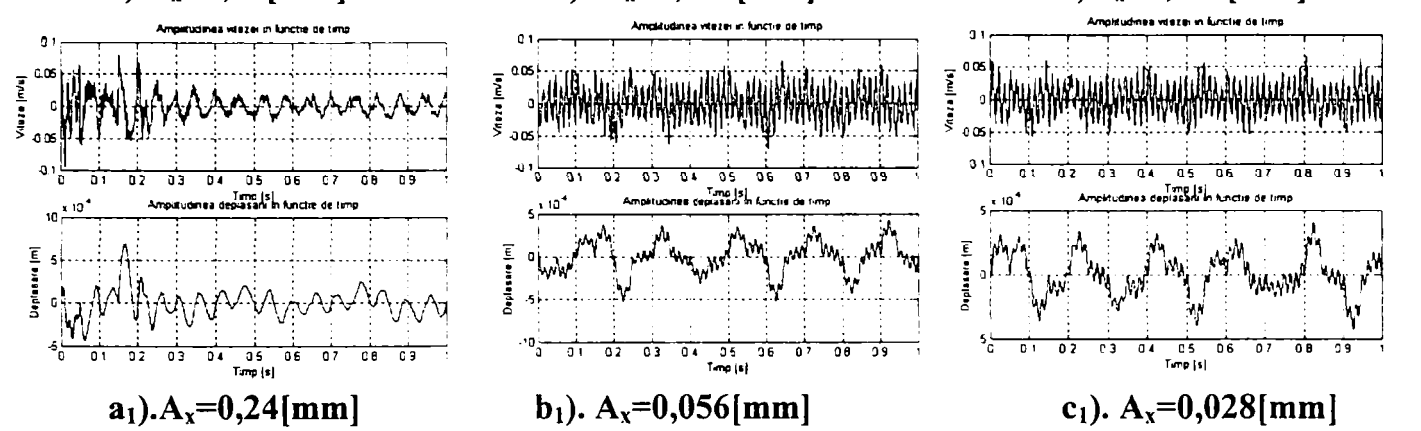
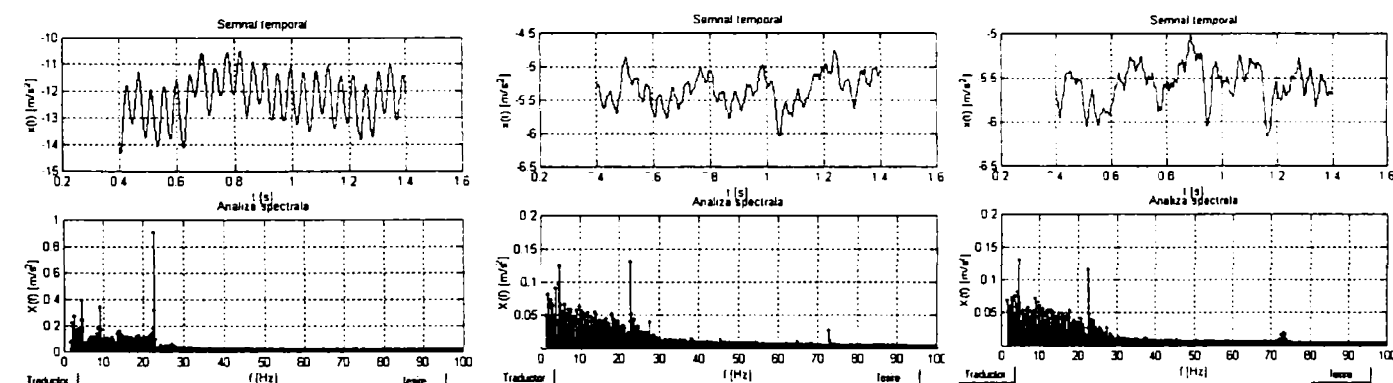
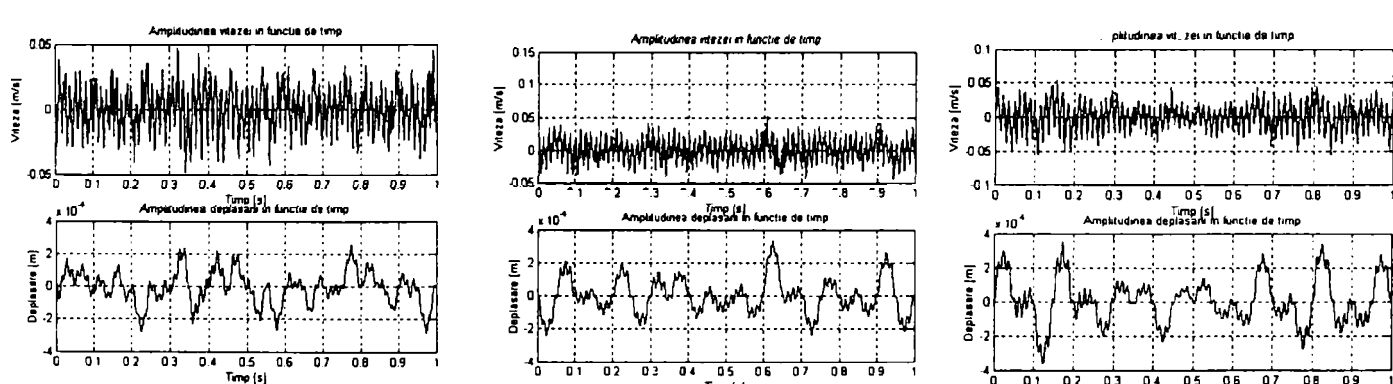
```
    fid = fopen(strcat(pathname,filename),'r');
    [x1,count1] = fread(fid,inf,'int16');
    fclose('all');
    an_spec5;
elseif filename == 0
    disp('Nu s-a selectat nici un fisier');
end
```

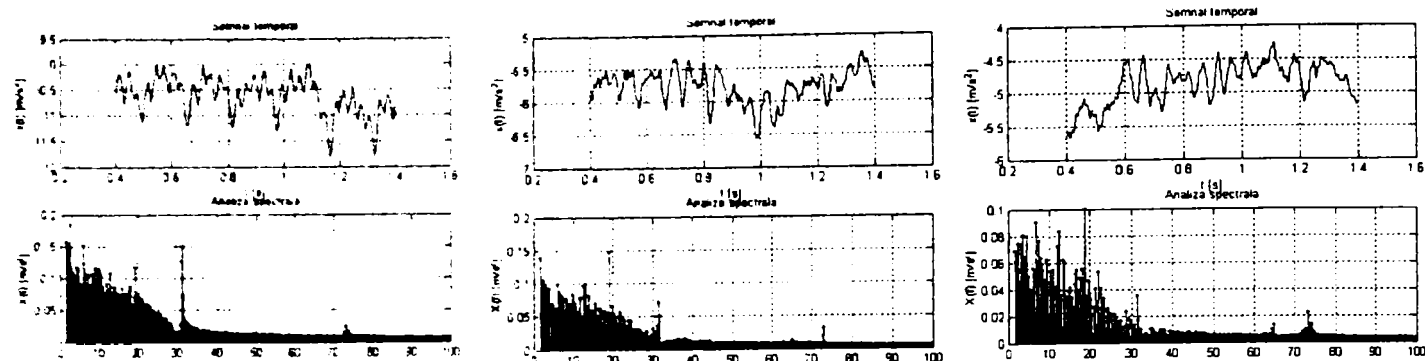
```
ratach = 20000;
limmin = 10;
limmax = 100000;
% limmax = count1;
limfmin = 10;
limfmax = 500;
x1 = x1*0.1999;
x2 = x1(limmin:limmax);
lim_filt = 50;
[B,A] = butter(5,lim_filt/20000);
x = filter(B,A,x2);
%x = x2; % Aceasta instructiune anuleaza filtrarea - daca dorim filtrare o anulam
count = count1;
fe = ratach; %frecventa de esantionare
t = 0:1/fe:1/fe*count; %momentele de esantionare
Xt = fft(x); % transformata Fourier
N = length(x); % lungimea secventei
Xm = abs(Xt); % modulul semnalului
X = Xm(1,1:N/2+1)/(N/2);
f = (0:N/2)*fe/N; %frecvențele pozitive
```

```
f_rep = f(limfmin:limfmax);
X_rep = X(limfmin:limfmax);
t_rep = t(8000:28000);
x_rep = x(8000:28000);
subplot(211);
plot(t_rep,x_rep,'k')
grid
xlabel('t [s]');
ylabel('x(t) [m/s^2]');
title('Semnal temporal');
subplot(212);
stem(f_rep,X_rep,'k.');//reprezentare valori discrete
xlabel('f [Hz]');
ylabel('X(f) [m/s^2]');
grid
title('Analiza spectrala');
```

Anexa 11.

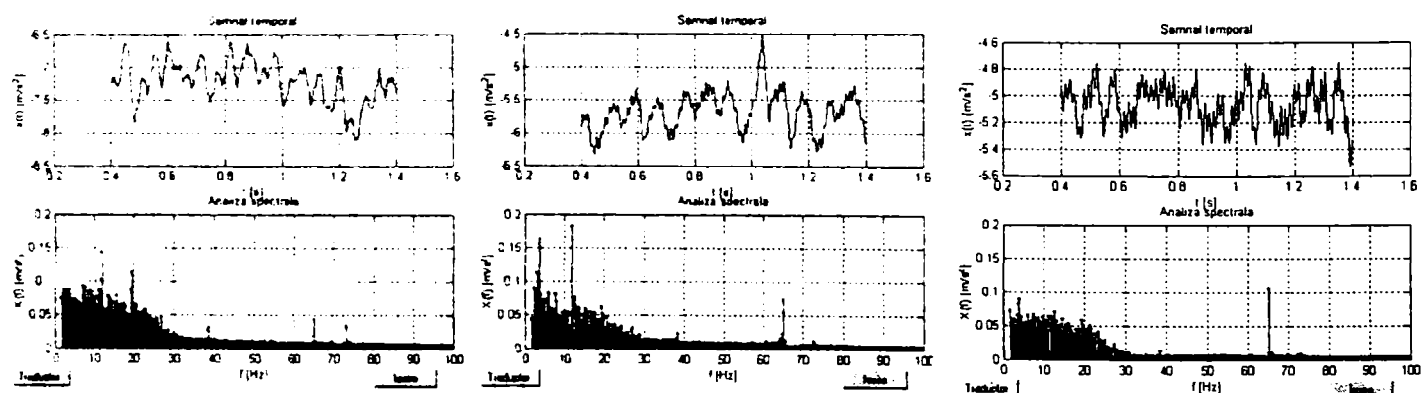
Grafice accelerării, spectre de frecvențe, viteze și deplasări înregistrate la strunjirea cu vibratii a otelului Armco.

**a) $A_x = 0,24[\text{mm}]$** **b). $A_x = 0,056[\text{mm}]$** **c) $A_x = 0,028[\text{mm}]$** **a₁) $A_x = 0,24[\text{mm}]$** **b₁) $A_x = 0,056[\text{mm}]$** **c₁) $A_x = 0,028[\text{mm}]$** Fig.A.11.1. Accelerării, viteze și deplasări măsurate la amplitudinile A_x și frecvența $f=16,6 \text{ Hz}$.**a) $A_x = 0,16 [\text{mm}]$** **b) $A_x = 0,056 [\text{mm}]$** **c) $A_x = 0,028 [\text{mm}]$** **a₁) $A_x = 0,16 [\text{mm}]$** **b₁) $A_x = 0,056 [\text{mm}]$** **c₁) $A_x = 0,028 [\text{mm}]$** Fig.A.11.2. Accelerării, viteze și deplasări măsurate la amplitudinile A_x și frecvența $f=22,8 \text{ Hz}$.


 a) $A_x=0,24 \text{ [mm]}$

 b) $A_x=0,056 \text{ [mm]}$

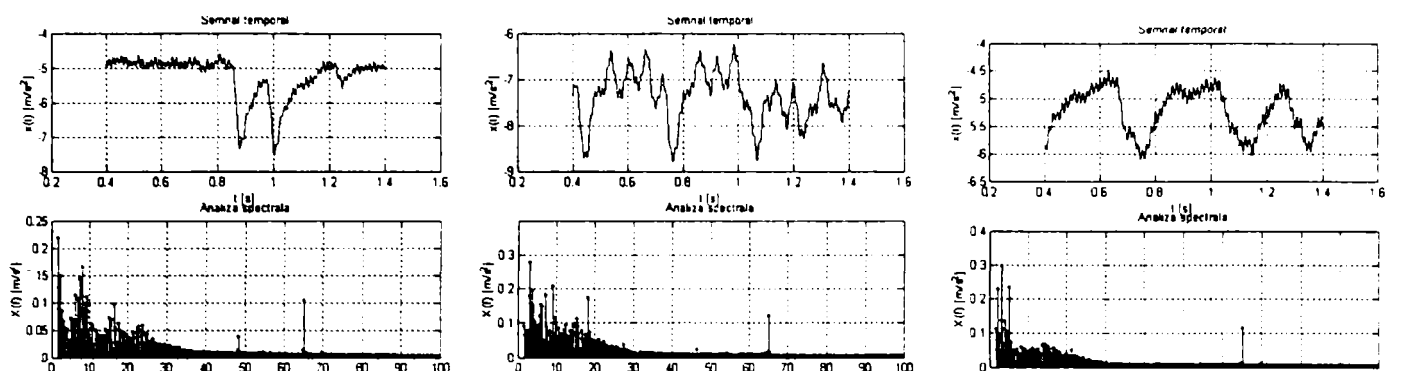
 c) $A_x=0,028 \text{ [mm]}$

 Fig.A.11.3. Accelerații, viteze și deplasări măsurate la amplitudinile A_x și frecvența $f=31,4 \text{ Hz}$

 a) $A_x=0,14 \text{ [mm]}$

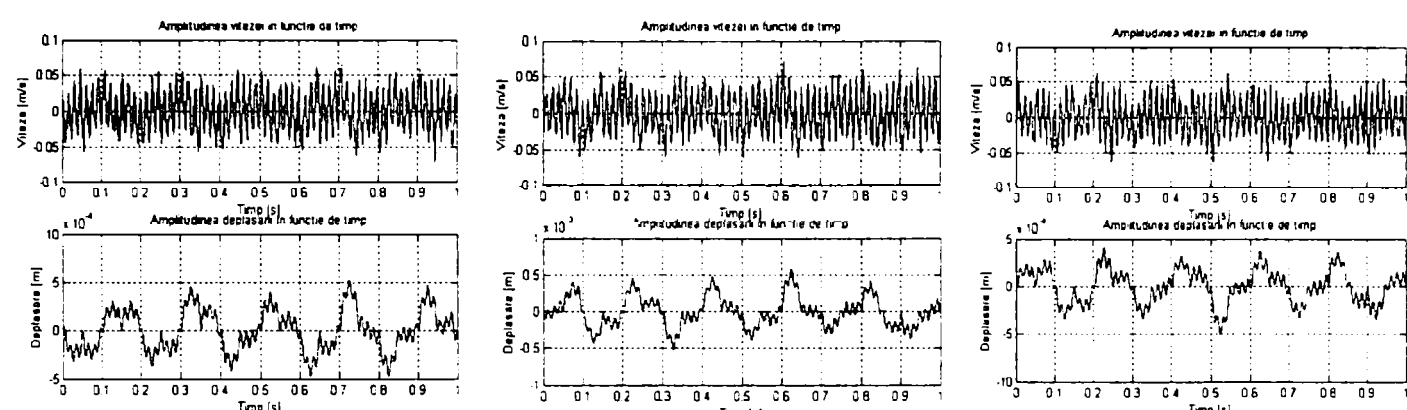
 b) $A_x=0,056 \text{ [mm]}$

 c) $A_x=0,028 \text{ [mm]}$

 Fig.A.11.4. Accelerații, viteze și deplasări măsurate la amplitudinile A_x și frecvența $f=38,6 \text{ Hz}$

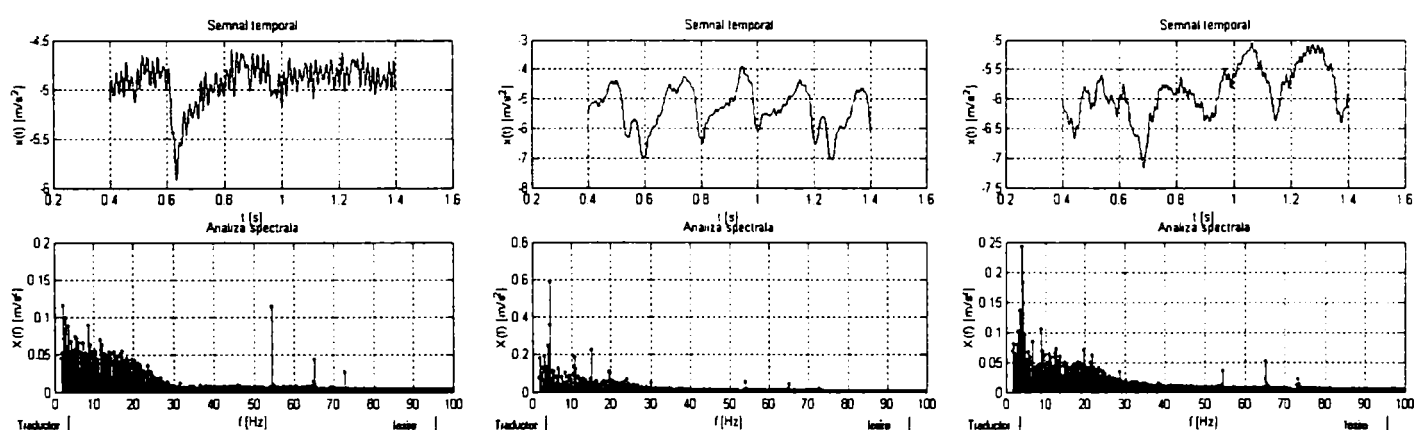

 a) $A_x=0,25 \text{ [mm]}$

 b) $A_x=0,07 \text{ [mm]}$

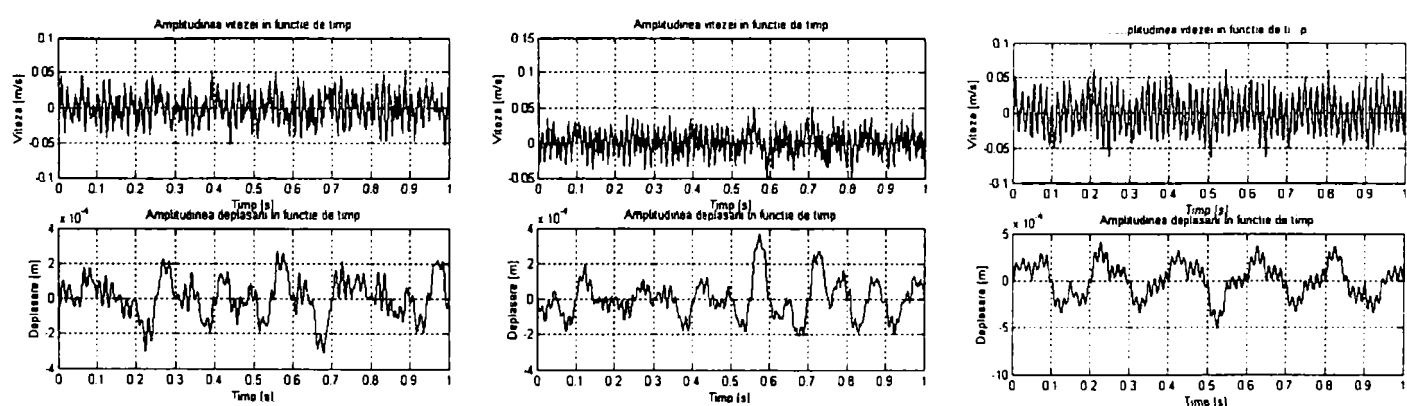
 c) $A_x=0,028 \text{ [mm]}$

 a₁) $A_x=0,25 \text{ [mm]}$

 b₁) $A_x=0,07 \text{ [mm]}$

 c₁) $A_x=0,028 \text{ [mm]}$

 Fig.A.11.5. Accelerării, viteze și deplasări măsurate la amplitudinile A_x și frecvența $f=47,4 \text{ Hz}$

 a) $A_x=0,4 \text{ [mm]}$

 b) $A_x=0,056 \text{ [mm]}$

 c) $A_x=0,028 \text{ [mm]}$

 a₁) $A_x=0,4 \text{ [mm]}$

 b₁) $A_x=0,056 \text{ [mm]}$

 c₁) $A_x=0,028 \text{ [mm]}$

 Fig.A.11.6. Accelerării, viteze și deplasări măsurate la amplitudinile A_x și frecvența $f=54,6 \text{ Hz}$

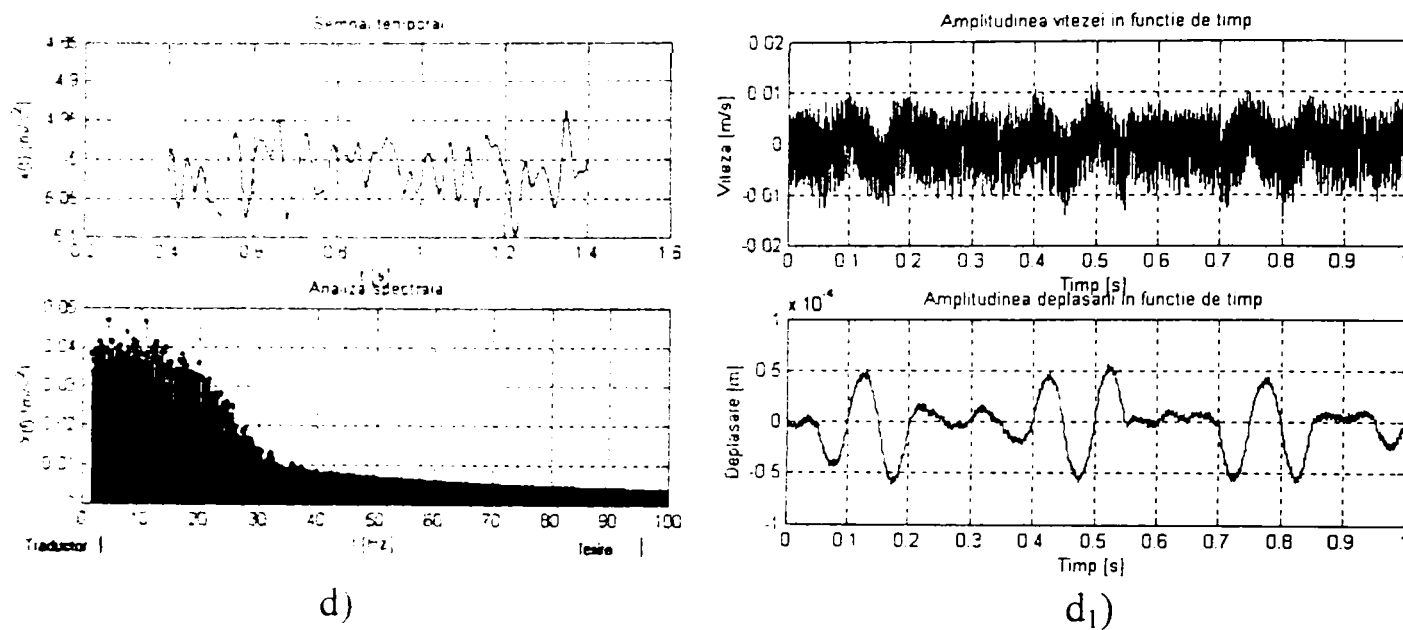
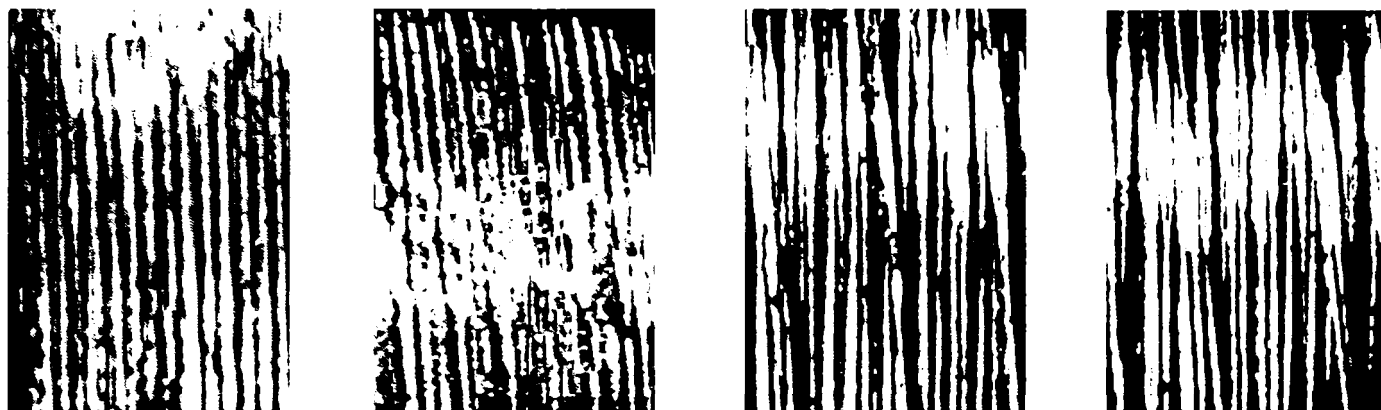


Fig.A.11.7. Accelerării, viteze și deplasări măsurate la strunjire oțel Armco cu dispozitiv blocat (fără vibrații forțate)

Anexa 12.

**Apectul microscopic al suprafețelor prelucrate cu vibrații al oțelului Armco.
Mărire:25x**



Dispozitiv blocat

Fig.A.12.1

 $f=16.6 \text{ Hz}; A_x=0.24 \text{ mm}$

Fig.A.12.2.1.

 $f=16.6 \text{ Hz}; A_x=0.058 \text{ mm}$

Fig.A.12.2.2.

 $f=16.6 \text{ Hz}; A_x=0.028 \text{ mm}$

Fig.A.12.2.3.

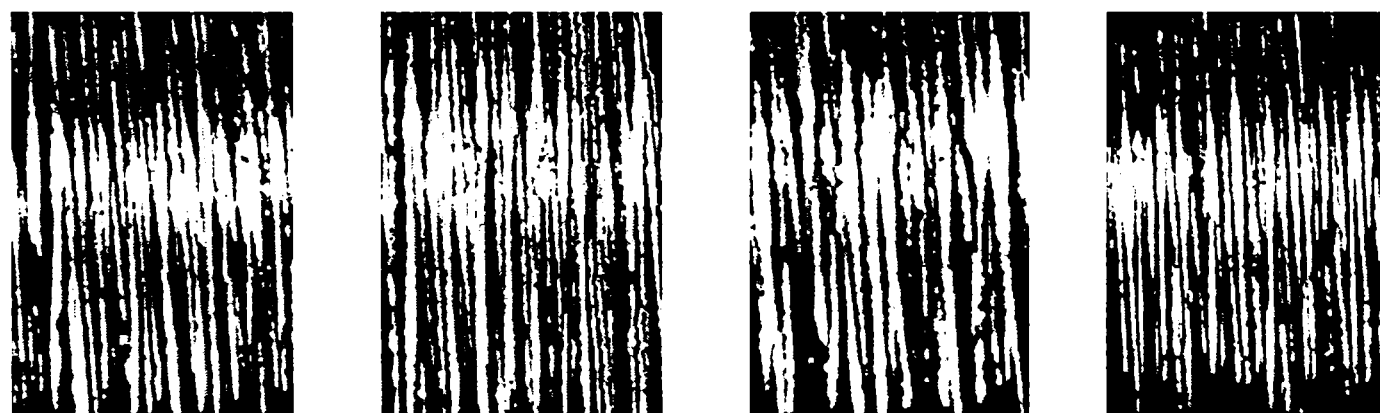
 $f=22,8 \text{ Hz}; A_x=0,16 \text{ mm}$

Fig.A.12.3.1

 $f=22,8 \text{ Hz}; A_x=0,056 \text{ mm}$

Fig.A.12.3.2.

 $f=22,8 \text{ Hz}; A_x=0,028 \text{ mm}$

Fig.A.12.3.3.

 $f=31,4 \text{ Hz}; A_x=0,24 \text{ mm}$

Fig.A.12.4.1.

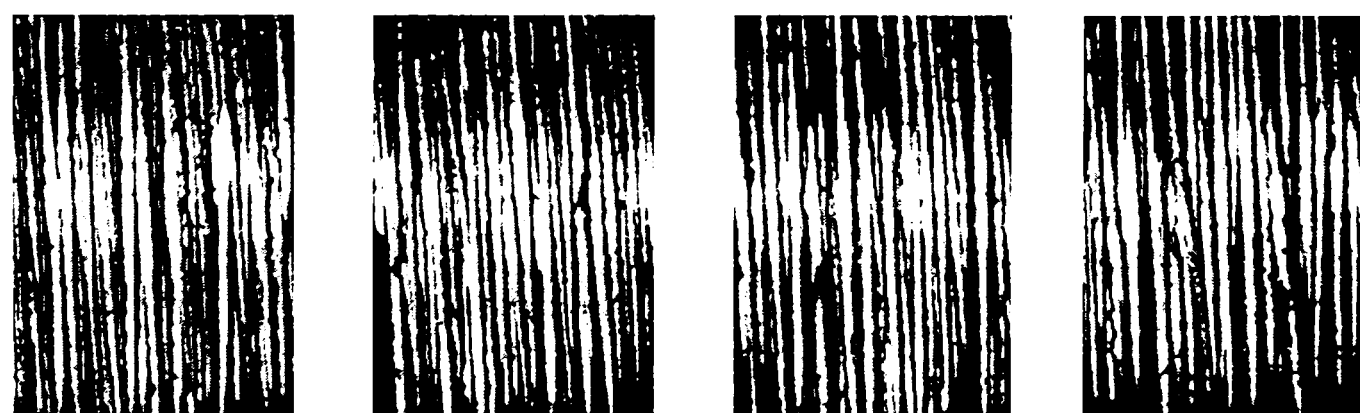
 $f=31,4 \text{ Hz}; A_x=0,056 \text{ mm}$

Fig.A.12.4.2.

 $f=31,4 \text{ Hz}; A_x=0,028 \text{ mm}$

Fig.A.12.4.3.

 $f=38,6 \text{ Hz}; A_x=0,14 \text{ mm}$

Fig.A.12.5.1.

 $f=38,6 \text{ Hz}; A_x=0,056 \text{ mm}$

Fig.A.12.5.2.



$f=38,6 \text{ Hz}; A_x=0,056 \text{ mm}$

Fig.A.12.5.3.



$f=47,4 \text{ Hz}; A_x=0,25 \text{ mm}$

Fig.A.12.6.1.



$f=47,4 \text{ Hz}; A_x=0,07 \text{ mm}$

Fig.A.12.6.2.



$f=47,4 \text{ Hz}; A_x=0,028 \text{ mm}$

Fig.A.12.6.3.



$f=54,6 \text{ Hz}; A_x=0,4 \text{ mm}$

Fig.A.12.7.1.



$f=54,6 \text{ Hz}; A_x=0,056 \text{ mm}$

Fig.A.12.7.2.



$f=0,028 \text{ Hz}; A_x=0,028 \text{ mm}$

Fig.A.12.7.3.

Anexa 13.

Așchii rezultate la prelucrarea obișnuită și cu vibrații a oțelului Armco



Fig. A. 13. 1.



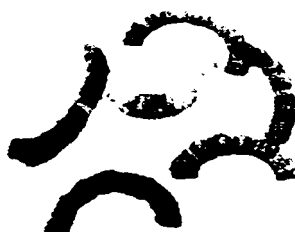
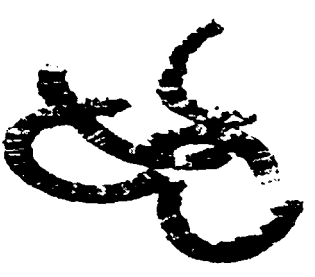
Fig. A. 13. 2. 1.



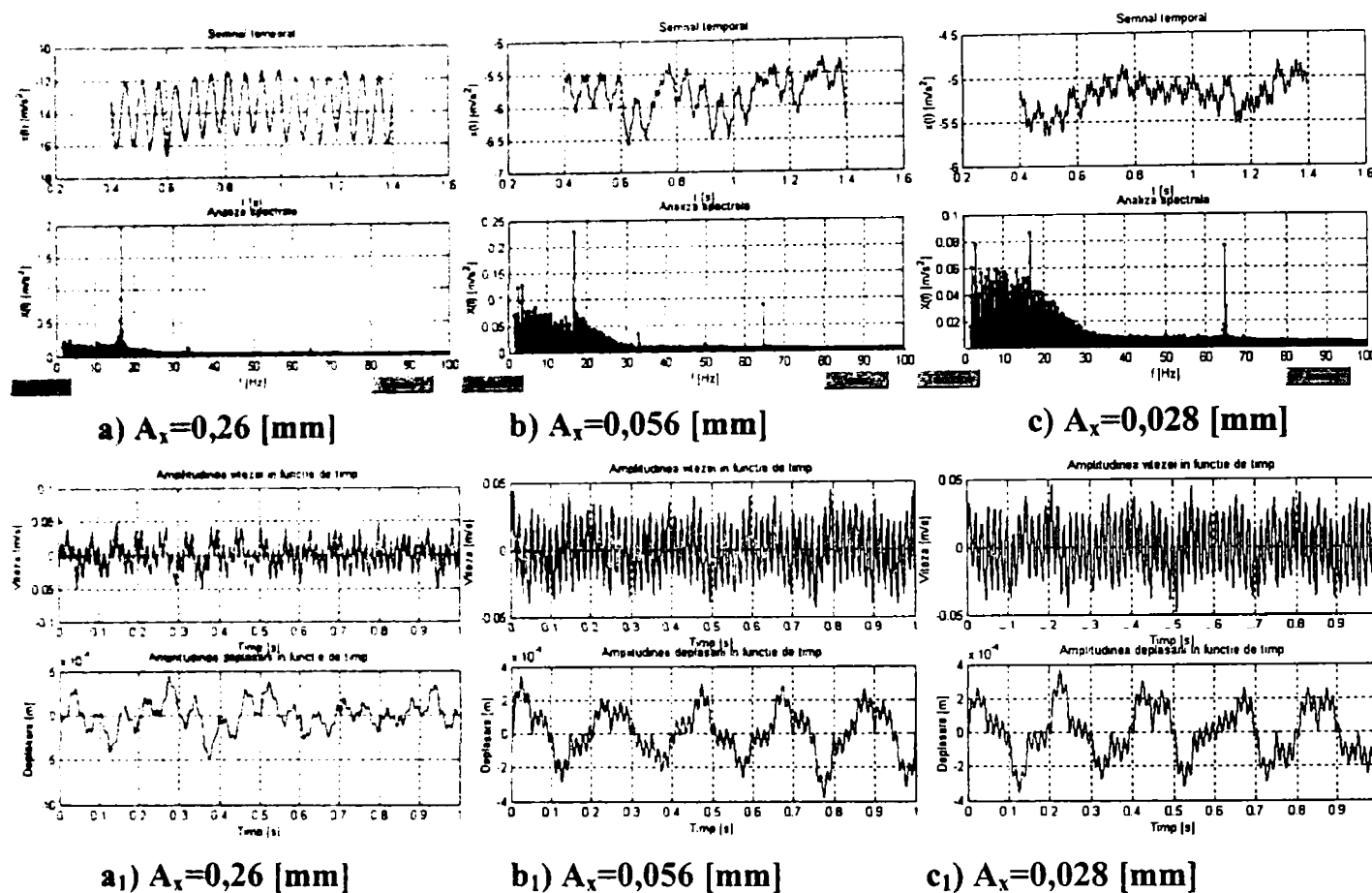
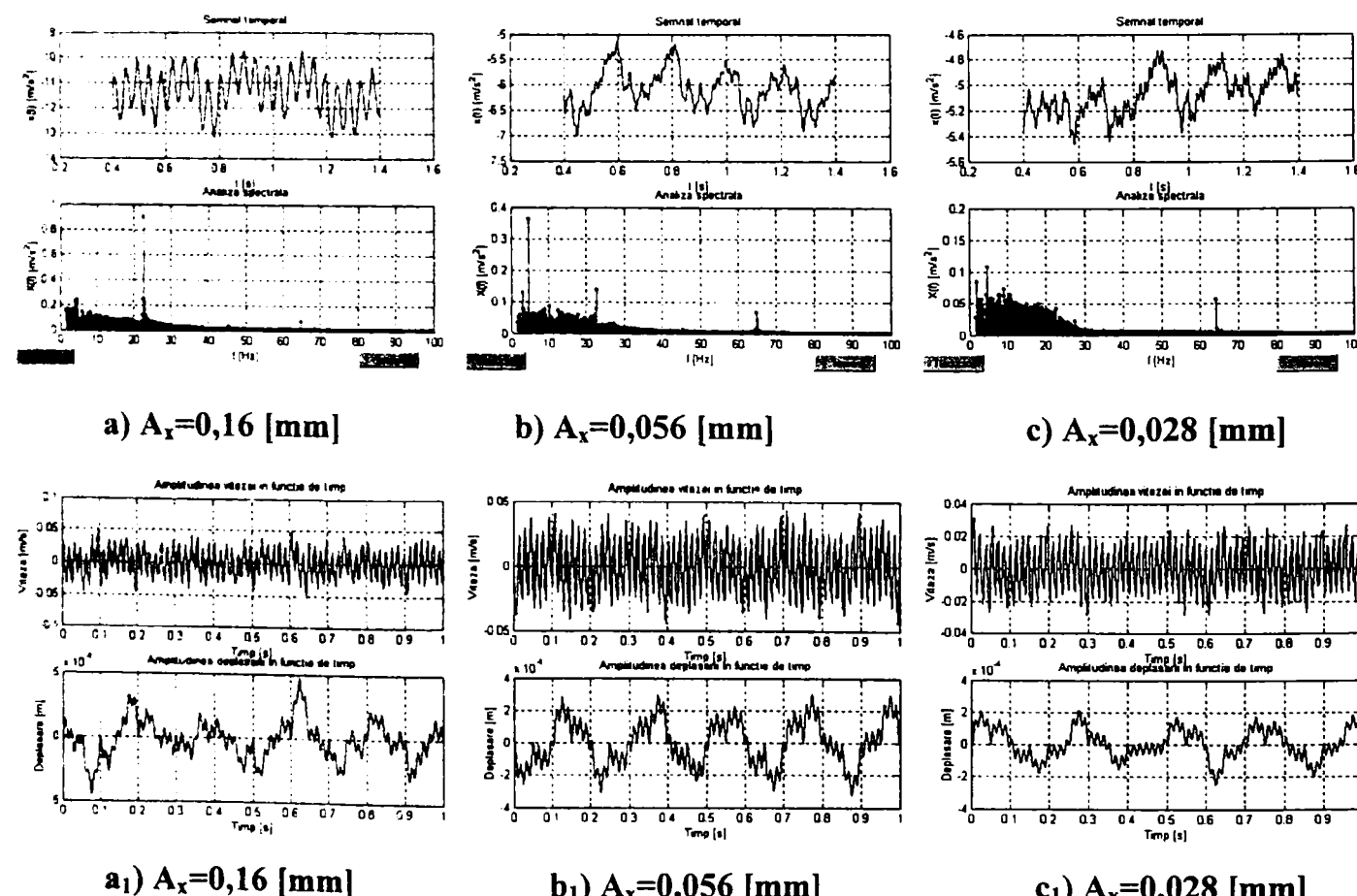
Fig. A. 13. 2. 2.

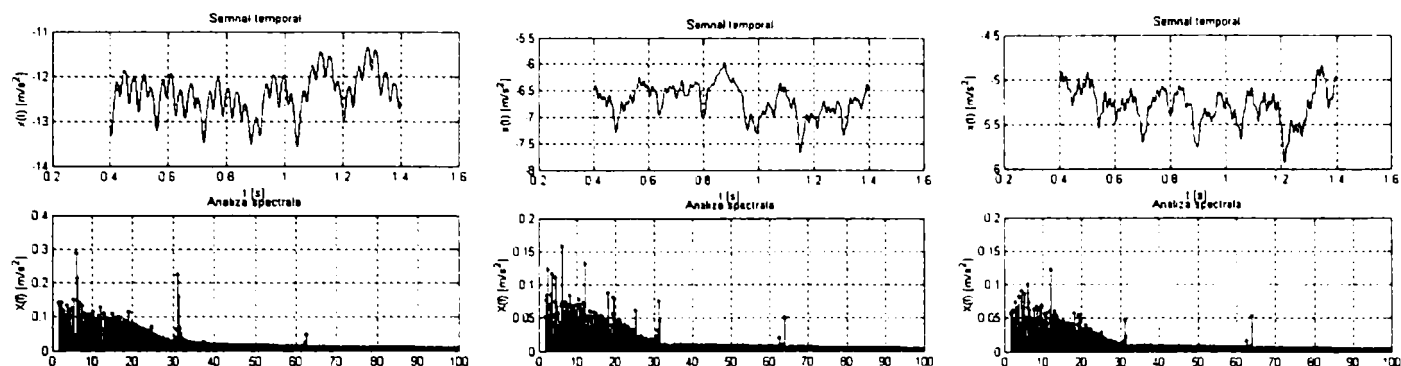


Fig. A. 13. 2. 3.

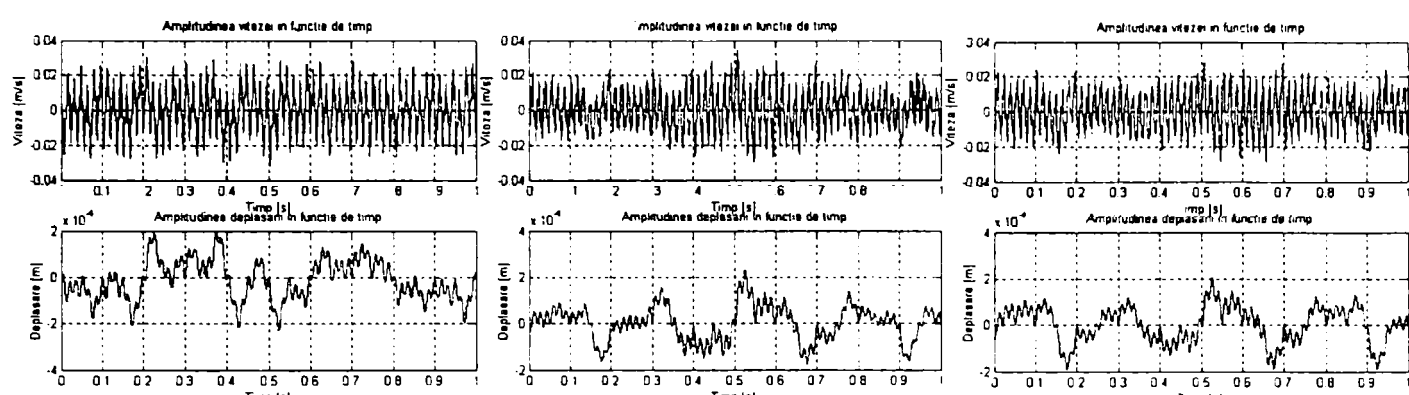
f=22,8 Hz $A_x=0,16$ mm
Fig. A. 13. 3. 1.f=22,8 Hz $A_x=0,056$ mm
Fig. A. 13. 3. 2.f=22,8 Hz $A_x=0,028$ mm
Fig. A. 13. 3. 3.f=31,4 Hz $A_x=0,24$ mm
Fig. A. 13. 4. 1.f=31,4 Hz $A_x=0,056$ mm
Fig. A. 13. 4. 2.f=31,4 Hz $A_x=0,028$ mm
Fig. A. 13. 4. 3.f=38,6 Hz $A_x=0,14$ mm
Fig. A. 13. 5. 1.f=38,6 Hz $A_x=0,056$ mm
Fig. A. 13. 5. 2f=38,6 Hz $A_x=0,028$ mm
Fig. A. 13. 5. 3.f=47,4 Hz $A_x=0,25$ mm
Fig. A. 13. 6. 1.f=47,4 Hz $A_x=0,07$ mm
Fig. A. 13. 6. 2.f=47,4 Hz $A_x=0,028$ mm
Fig. A. 13. 6. 3.f=54,6 Hz $A_x=0,4$ mm
Fig. A. 13. 7. 1.f=54,6 Hz $A_x=0,056$ mm
Fig. A. 13. 7. 2.f=54,6 Hz $A_x=0,028$ mm
Fig. A. 13. 7. 3.

Anexa 14.

Grafice accelerării, spectre de frecvențe, viteze și deplasări înregistrate la strunjirea cu vibrații a cuprului OFHCFig. A.14.1. Frecvența de lucru: $f=16,6 \text{ Hz}$ Fig. A.14.2. Frecvența de lucru: $f=22,8 \text{ Hz}$.

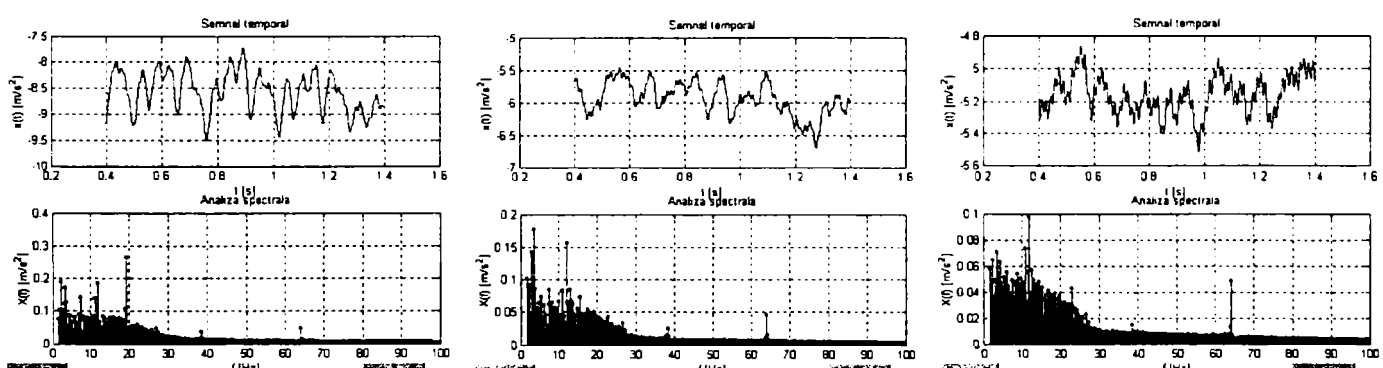

 a) $A_x=0,24 \text{ [mm]}$

 b) $A_x=0,056 \text{ [mm]}$

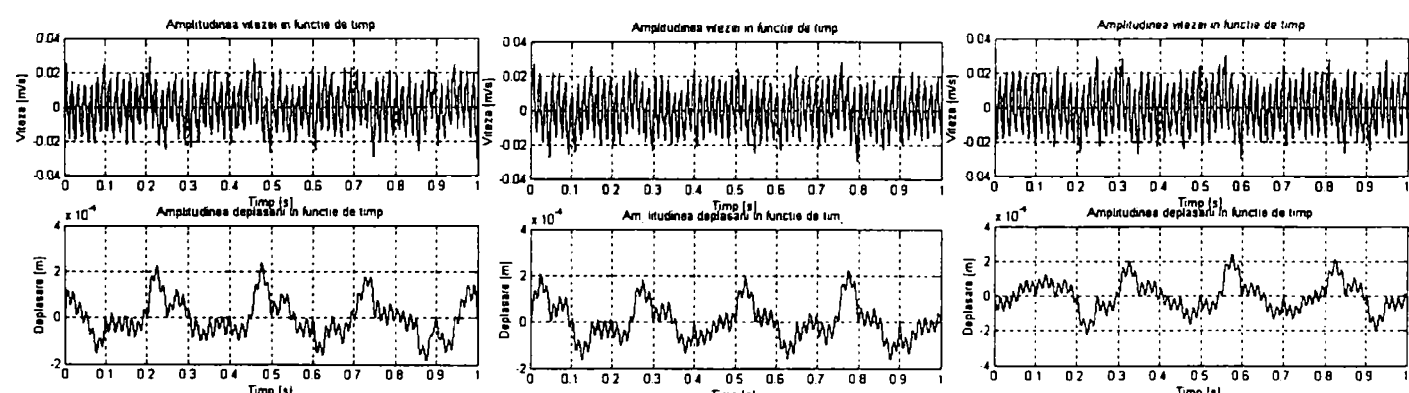
 c) $A_x=0,028 \text{ [mm]}$

 a₁) $A_x=0,24 \text{ [mm]}$

 b₁) $A_x=0,056 \text{ [mm]}$

 c₁) $A_x=0,028 \text{ [mm]}$

 Fig. A.14.3. Frecvența de lucru: $f=31,4 \text{ Hz}$

 a) $A_x=0,14 \text{ [mm]}$

 b) $A_x=0,056 \text{ [mm]}$

 c) $A_x=0,028 \text{ [mm]}$

 a₁) $A_x=0,14 \text{ [mm]}$

 b₁) $A_x=0,056 \text{ [mm]}$

 c₁) $A_x=0,028 \text{ [mm]}$

 Fig. A.14.4. Frecvența de lucru $f=38,6 \text{ Hz}$

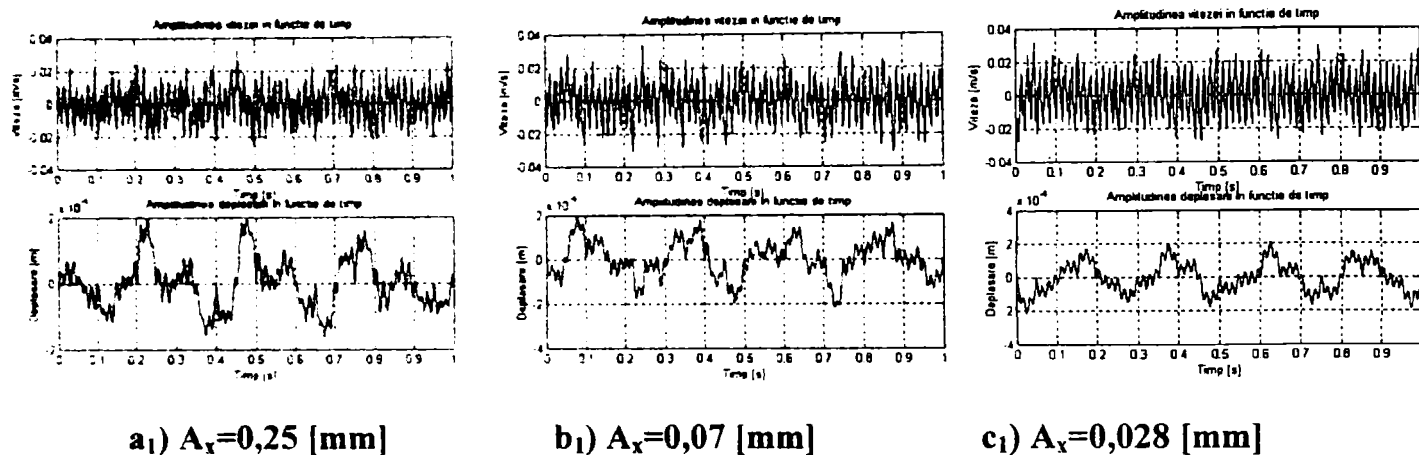
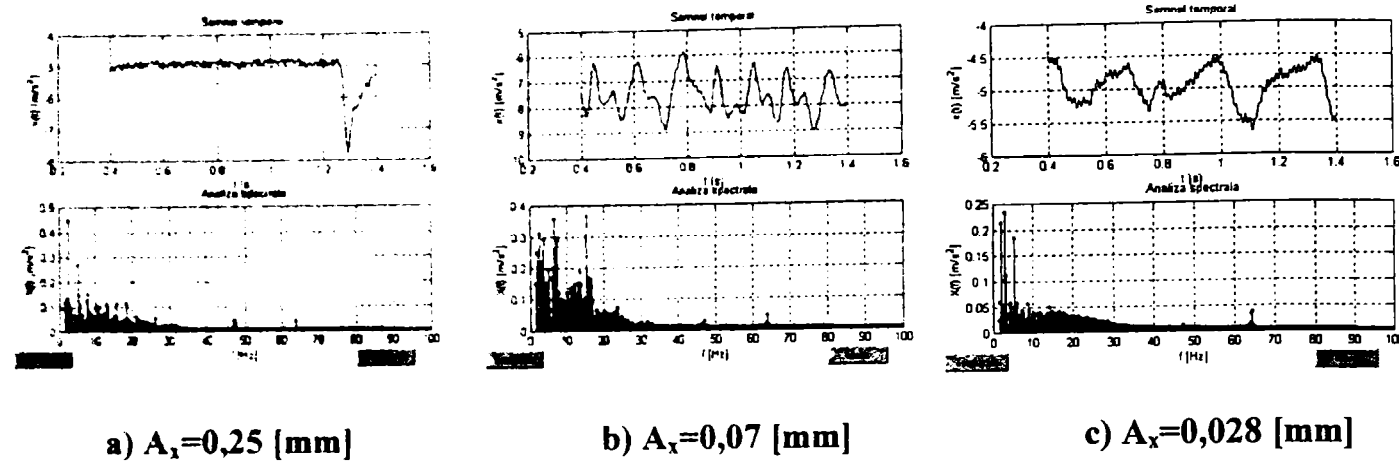


Fig. A.14.5. Frecvența de lucru: $f=47.4 \text{ Hz}$

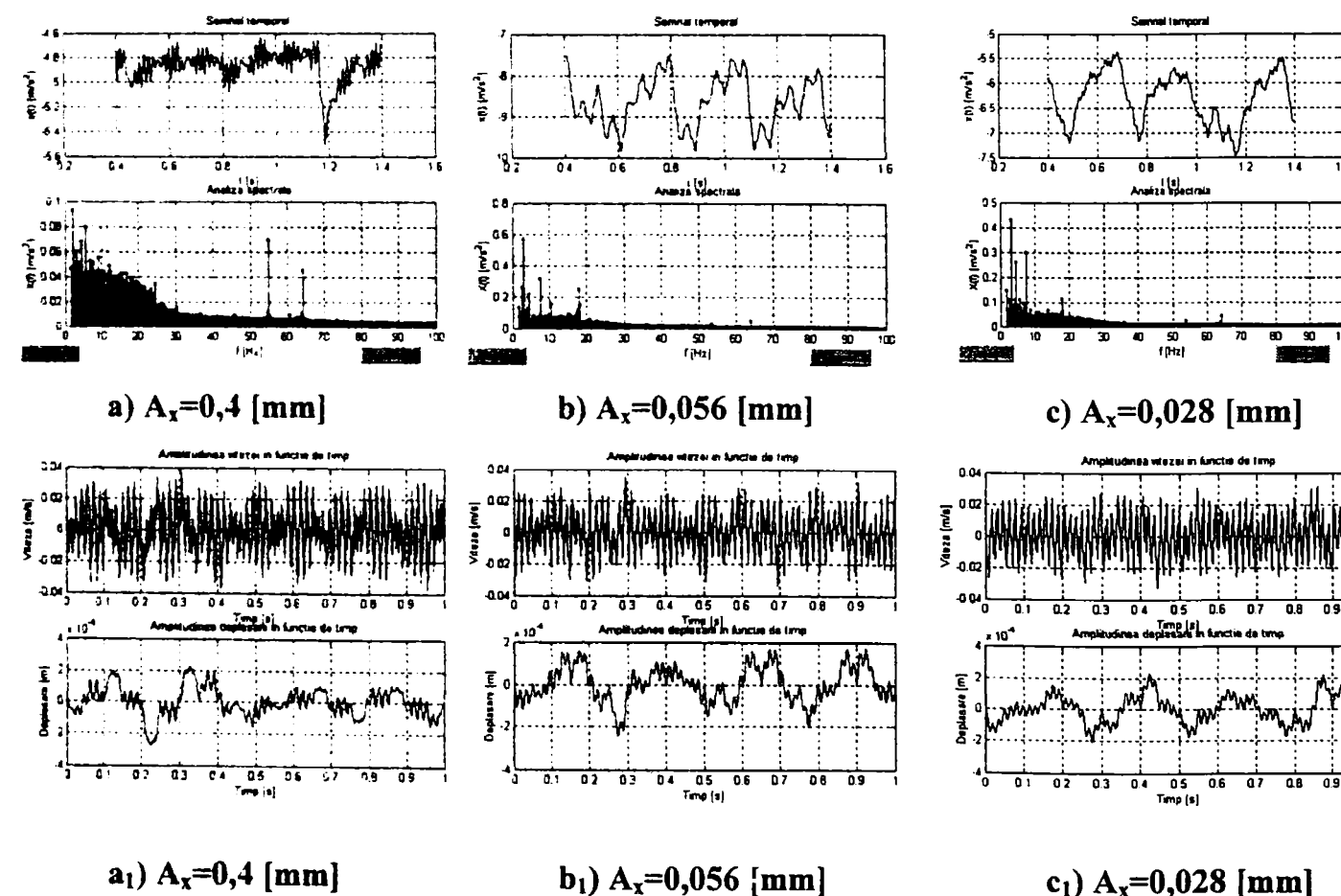


Fig. A.14.6. Frecvența de lucru: $f=54.6 \text{ Hz}$

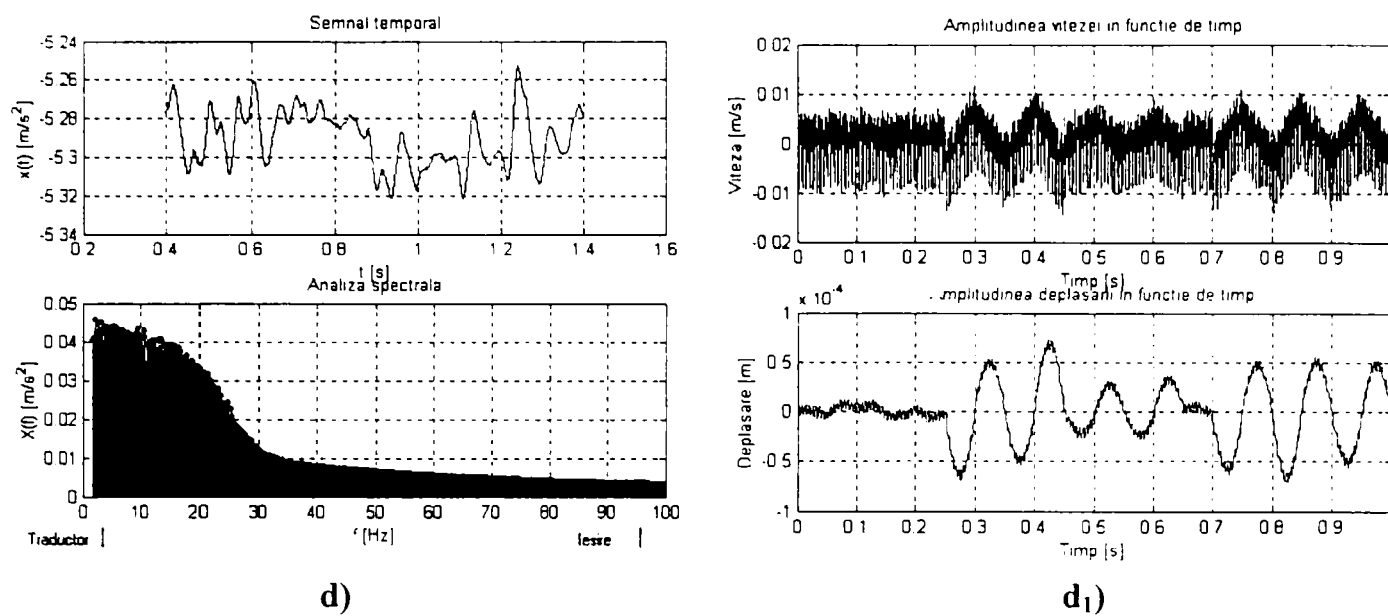


Fig. A.14.7. Strunjire a cuprului OFHC cu dispozitiv blocat (fără vibrații).

Anexa 15.**Aspectul microscopic al suprafețelor prelucrate cu vibrații al cuprului OFHC**

Dipozitiv blocat

 $f=16.6\text{Hz}; \text{Ax}=0.24\text{mm}$  $f=16.6\text{Hz}; \text{Ax}=0.056\text{mm}$  $f=16.6\text{Hz}; \text{Ax}=0.028\text{mm}$

Fig. A.15.1. x25.

Fig. A.15.2.1. x25.

Fig. A.15.2.2. x25.

Fig. A.15.2.3. x25.

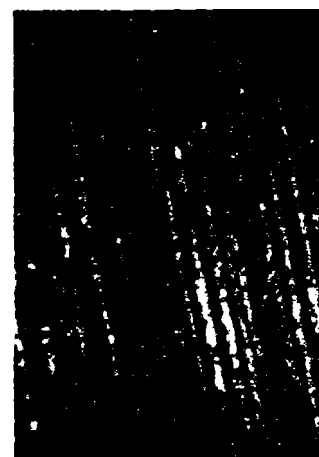
 $f=22.8\text{Hz}; \text{Ax}=0.16\text{mm}$  $f=22.8\text{Hz}; \text{Ax}=0.056\text{mm}$  $f=22.8\text{Hz}; \text{Ax}=0.028\text{mm}$

Fig. A.15.3.1. x25.

Fig. A.15.3.2. x25.

Fig. A.15.3.3. x25.

 $f=31.4\text{Hz}; \text{Ax}=0.24\text{mm}$  $f=31.4\text{Hz}; \text{Ax}=0.056\text{mm}$  $f=31.4\text{Hz}; \text{Ax}=0.028\text{mm}$

Fig. A.15.4.1. x25.

Fig. A.15.4.2. x25.

Fig. A.15.4.3. x25.



f=38,6Hz;Ax=0,14mm



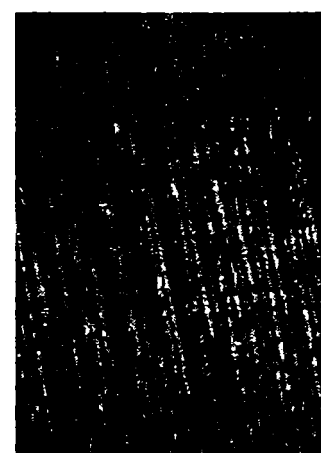
f=38,6Hz;Ax=0,056mm



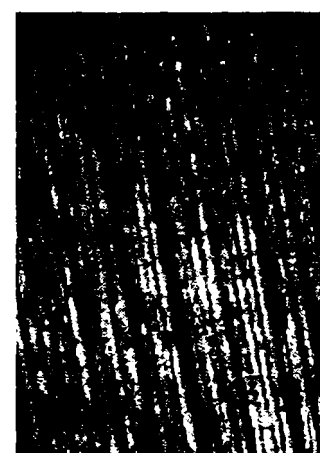
f=38,6Hz;Ax=0,028mm



f=47,4Hz;Ax=0,25mm



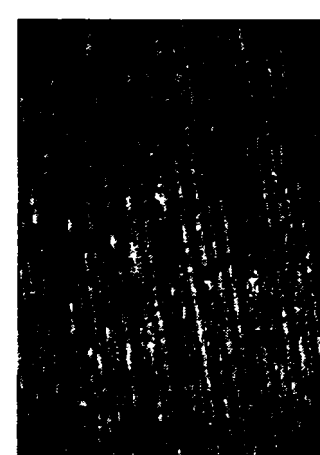
f=47,4Hz;Ax=0,07mm



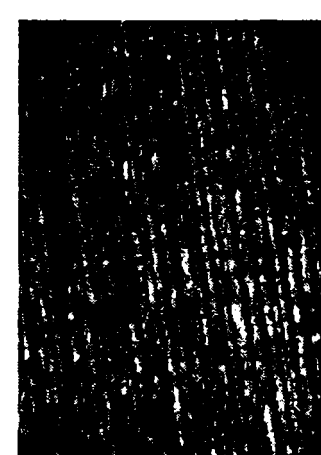
f=47,4Hz;Ax=0,028mm



f=54,6Hz;Ax=0,4mm



f=54,6Hz;Ax=0,056mm



f=54,6Hz;Ax=0,028mm

Fig. A.15.7.1. x25.

Fig. A.15.7.2. x25.

Fig. A.15.7.3. x25.

Anexa 16.

Așchii rezultate la prelucrarea cu vibrații a cuprului OFHC

Dispozitiv blocat
Fig.A.16.1 $f=16,6 \text{ Hz } A_x=0,24 \text{ mm}$

Fig.A.16.2.1.

 $f=16,6 \text{ Hz } A_x=0,056 \text{ mm}$

Fig.A.16.2.2.

 $f=16,6 \text{ Hz } A_x=0,028 \text{ mm}$

Fig.A.16.2.3.

 $f=22,8 \text{ Hz } A_x=0,16 \text{ mm}$
Fig.A.16.3.1. $f=22,8 \text{ Hz } A_x=0,056 \text{ mm}$
Fig.A.16.3.2. $f=22,8 \text{ Hz } A_x=0,028 \text{ mm}$
Fig.A.16.3.3. $f=31,4 \text{ Hz } A_x=0,24 \text{ mm}$
Fig.A.16.4.1. $f=31,4 \text{ Hz } A_x=0,056 \text{ mm}$
Fig.A.16.4.2. $f=31,4 \text{ Hz } A_x=0,028 \text{ mm}$
Fig.A.16.4.3. $f=38,6 \text{ Hz } A_x=0,14 \text{ mm}$
Fig.A.16.5.1. $f=38,6 \text{ Hz } A_x=0,056 \text{ mm}$
Fig.A.16.5.2. $f=38,6 \text{ Hz } A_x=0,028 \text{ mm}$
Fig.A.16.5.3.. $f=47,4 \text{ Hz } A_x=0,25 \text{ mm}$
Fig.A.16.6.1. $f=47,4 \text{ Hz } A_x=0,07 \text{ mm}$
Fig.A.16.6.2. $f=47,4 \text{ Hz } A_x=0,028 \text{ mm}$
Fig.A.16.6.3. $f=54,6 \text{ Hz } A_x=0,4 \text{ mm}$
Fig.A.16.7.1. $f=54,6 \text{ Hz } A_x=0,056 \text{ mm}$
Fig.A.16.7.2. $f=54,6 \text{ Hz } A_x=0,028 \text{ mm}$
Fig.A.16.7.3.

/* Program „C++_asc4” pentru stabilirea parametrilor de aşchierie cu salvarea datelor în fișier

Module :

- masurarea vitezei de rotatie cu TIRO :

- semnal A : GATEB1 (pin44)
: CLKB2 (pin48)
- semnal B : GATEB2 (pin47)
CLKB1 (pin45)
- alimentare TIRO : (pin49)
- masa TIRO :DGND (pin50)

Functionarea programului.

Programul masoara viteza unghiulara data de catre TIRO.

/* Biblioteci*/

```
#include "nidaqex.h"
#include <math.h>
#include <stdio.h>
#include <conio.h>
#include <io.h>
#include <stdlib.h>
#include <time.h>
#include <sys/timeb.h>
#include <sys\stat.h>
#include <fcntl.h>
#include <ctype.h>
#include <string.h>
#include <sys/types.h>
```

unsigned short buffer;

/*Program principal*/

```
void main(void)
{
    /*variabile contorizare */

    i16 iStatus1 = 0;
    i16 iRetVal1 = 0;
    i16 iStatus0 = 0;
    i16 iRetVal0 = 0;
    i16 iDevice = 1;
    i16 iCtr0 = 0;
    i16 iCtr1 = 1;
    i16 iMode = 0;
    u16 uCount0 = 0;
    u16 uCount1 = 0;
```

```

i16 iBinBCD = 1;
i16 iIgnoreWarnings = 0;
i16 iYieldON = 1;

/*variabila timp*/

static u16 timp_c = 0;
static u16 timp_c1[40000];

/*variabila pozitie si viteza*/

static u16 xc = 0;
static u16 xc1[40000];
static u16 n = 39999;
static u16 i = 0;

/*parametri*/

char *strFilename1 = "m";
unsigned char ch;
ch = 'a';

/* Specificarea numelui de fisier in care se inscriu datele*/
printf("\n Numele fisierului : ");
scanf("%s",strFilename1);
printf("\n");
FILE *m_asc;
/*Deschidere fisier*/
_fmode = _O_TEXT;
if( (m_asc = fopen( strFilename1, "w+t" )) == NULL )
{
    printf( "Fisierul 'm_asc' nu a fost deschis\n" );
}
/* Initializare contoare*/
Status0 = ICTR_Setup(iDevice, iCtrl0, iMode, uCount0, iBinBCD);
iRetVal0 = NIDAQErrorHandler(iStatus0, "ICTR_Setup", iIgnoreWarnings);
Status1 = ICTR_Setup(iDevice, iCtrl1, iMode, uCount1, iBinBCD);
iRetVal1 = NIDAQErrorHandler(iStatus1, "ICTR_Setup", iIgnoreWarnings);
printf("Start achzitie!\n");
/*Bucla de citire*/
for (i = 0; i <= n ;i++)
{
    /* Contor tiro*/
    iStatus1 = ICTR_Read(iDevice, iCtrl1, &xc1[i]);
    /*xc1[i] = xc;*/
    /*Contor timp*/
    iStatus0 = ICTR_Read(iDevice, iCtrl0, &timp_c1[i]);
    /*timp_c1[i] = timp_c;*/
}
printf( "Terminat citire\n" );

```

```

/*Scriere in fisier*/
for (i = 0; i <= n ;i++)
{
    fprintf(m_asc,"%d\n%d\n",xc1[i],temp_c1[i]);
}

/*Resetare contoare*/
iRetVal1 = NIDAQErrorHandler(iStatus1, "ICTR_Read", ignoreWarnings);
iStatus1 = ICTR_Reset(iDevice, iCtrl1, 0);
iRetVal0 = NIDAQErrorHandler(iStatus0, "ICTR_Read", ignoreWarnings);
iStatus0 = ICTR_Reset(iDevice, iCtrl0, 0);

/*Inchidere fisiere*/
if( fclose(m_asc) )
printf( "Fisierul 'm_asc' nu a fost inchis\n" );

```

% Program „Prel10.m” pentru prelucrarea datelor experimentale

```

clear all
% Preprocesare date
% A. Citire date din fisier
[filenameg pathname] = uigetfile('.*','Selectati fisierul tip .mat',300,100);
if filenameg ~=0
    load(filenameg);
    temp1 = temp_cont;
    tiro1 = tiro_cont;
    t_gol = cumsum(temp_cont)/2000000; % secunde
    d_gol = 2*pi/1000*cumsum(tiro_cont); % radiani
[filenamea pathname] = uigetfile('.*','Selectati fisierul tip .mat',300,100);
if filenamea ~=0
    load(filenamea);
    t_asc = cumsum(temp_cont)/2000000; % secunde
    d_asc = 2*pi/1000*cumsum(tiro_cont); % radiani
% A.1. Eliminarea revenirii pendului dupa aschiere
if filenamea == 'asc1b.mat'
    % Maxim
    d_asc(12926:length(d_asc)) = d_asc(12926);
    d_gol(12070:length(d_gol)) = d_gol(12070);
    % Minim
    d_asc(1:9986) = d_asc(9986);
    d_gol(1:7371) = d_gol(7371);
end
if filenamea == 'asc2b.mat'
    % Maxim
    d_asc(10068:length(d_asc)) = d_asc(10068);
    d_gol(13981:length(d_gol)) = d_gol(13981);
    % Minim
    d_asc(1:7204) = d_asc(7204);

```

```

d_gol(1:9583) = d_gol(9583);
end
if filenamea == 'asc3b.mat'
    % Maxim
    d_asc(9076:length(d_asc)) = d_asc(9076);
    d_gol(15244:length(d_gol)) = d_gol(15244);
    % Minim
    d_asc(1:6389) = d_asc(6389);
    d_gol(1:10982) = d_gol(10982);
end
if filenamea == 'asc4b.mat'
    % Maxim
    d_asc(12218:length(d_asc)) = d_asc(12218);
    d_gol(12909:length(d_gol)) = d_gol(12909);
    % Minim
    d_asc(1:9416) = d_asc(9416);
    d_gol(1:8404) = d_gol(8404);
end
if filenamea == 'asc5b.mat'
    % Maxim
    d_asc(10631:length(d_asc)) = d_asc(10631);
    d_gol(12037:length(d_gol)) = d_gol(12037);
    % Minim
    d_asc(1:7862) = d_asc(7862);
    d_gol(1:7515) = d_gol(7515);
end
if filenamea == 'asc6b.mat'
    % Maxim
    d_asc(10170:length(d_asc)) = d_asc(10170);
    d_gol(13943:length(d_gol)) = d_gol(13943);
    % Minim
    d_asc(1:7372) = d_asc(7372);
    d_gol(1:9607) = d_gol(9607);
end
if filenamea == 'asc7b.mat'
    % Maxim
    d_asc(8402:length(d_asc)) = d_asc(8402);
    d_gol(13817:length(d_gol)) = d_gol(13817);
    % Minim
    d_asc(1:5801) = d_asc(5801);
    d_gol(1:9516) = d_gol(9516);
end
% A.2. Eliminarea diferențelor de start
[gol_max i_gol_max] = max(d_gol);
[gol_min i_gol_min] = min(d_gol);
med_gol = (gol_max - gol_min)/2;
[asc_min i_asc_min] = min(d_asc);
d_asc = d_asc - asc_min - med_gol;
d_gol = d_gol - gol_min - med_gol;
d_gol1 = d_gol>0;
d_gol1a = d_gol1.*d_gol;
d_asc1 = d_asc>0;

```

```

d_asc1a = d_asc1.*d_asc;
d_gol2 = find(d_gol1a == 0);
i_d_gol2 = d_gol2(length(d_gol2));
d_asc2 = find(d_asc1a == 0);
i_d_asc2 = d_asc2(length(d_asc2));
t_gol = t_gol - t_gol(i_d_gol2);
t_asc = t_asc - t_asc(i_d_asc2);
% Pentru conformitatea cu continuarea
d_gol4 = d_gol;
t_gol4 = t_gol;
d_asc4 = d_asc;
t_asc4 = t_asc;

% B. Interpolare date : se elimina caracterul de salturi in trepte al diagramei deplasarilor
% B.1. Interpolare date pentru deplasarea pendulului in gol
t1 = 0;
t2 = 0;
j = 0;
for i = 2:length(d_gol4)
    if d_gol4(i-1) ~= d_gol4(i)
        j=j+1;
        t2 = t_gol4(i-1);
        tm = (t1 + t2)/2;
        t1 = t2;
        t_gol_m(j) = tm;
        d_gol_m(j) = d_gol4(i-1);
    end
end
% % B.2. Interpolare date pentru deplasarea pendulului in aschiere
t1 = 0;
t2 = 0;
j = 0;
for i = 2:length(d_asc4)
    if d_asc4(i-1) ~= d_asc4(i)
        j=j+1;
        t2 = t_asc4(i-1);
        tm = (t1 + t2)/2;
        t1 = t2;
        t_asc_m(j) = tm;
        d_asc_m(j) = d_asc4(i-1);
    end
end

t_asc_m = [t_asc_m t_gol_m(length(t_gol_m))];
d_asc_m = [d_asc_m d_asc_m(length(d_asc_m))];

```

% C. Ajustarea lungimii seturilor de date.

```

% Interpolarea datelor pentru deplasare, pentru a avea intervale egale in timp
j = 0;
for i = 1:length(t_asc_m)
    if t_asc_m(i) < t_gol_m(1,1)
        j = i;
    end
end

```

```

    end
end
if j ~= 0
    t_asc_m = t_asc_m(j:length(t_asc_m));
    d_asc_m = d_asc_m(j:length(d_asc_m));
end
t_gol_m = t_gol_m(2:length(t_gol_m));
d_gol_m = d_gol_m(2:length(d_gol_m));
t_sup = min(t_gol_m(length(t_gol_m)),t_asc_m(length(t_asc_m)));
t_inf = max(t_gol_m(1),t_asc_m(1));
n_int = 20000;

delta_t = (t_sup - t_inf)/n_int;
ti = [t_inf:delta_t:t_sup];
d_gol_mi = interp1(t_gol_m,d_gol_m,ti);
d_asc_mi = interp1(t_asc_m,d_asc_m,ti);

```

% D. Filtrarea de netezire - pentru eliminarea erorilor accidentale

% Filtrarea se realizeaza cu un filtru de convolutie pe 50 de puncte

```

n_conv = 50;
f_conv = zeros(1,n_conv)+1/n_conv;
d_gol_c = conv(d_gol_mi,f_conv);
d_asc_c = conv(d_asc_mi,f_conv);
d_gol_c = d_gol_c(1:length(ti));
d_asc_c = d_asc_c(1:length(ti));

```

% E. Calculul vitezelor pentru pendulul in gol si in aschiere**% E.1. Derivarea numerica a deplasarii**

```

v_gol_c = diff(d_gol_c)./diff(ti);
v_asc_c = diff(d_asc_c)./diff(ti);

```

% E.2. Ajustare lungime vectori dupa derivare.

```

d_gol_c = d_gol_c(1:length(ti)-1);
d_asc_c = d_asc_c(1:length(ti)-1);
ti = ti(1:length(ti)-1);

```

% F. Filtrarea de netezire a vitezelor - pentru eliminarea erorilor de derivare

% Filtrarea se realizeaza cu un filtru de convolutie pe 500 de puncte

```

n_conv = 1000;
f_conv = zeros(1,n_conv)+1/n_conv;
v_gol_cc = conv(v_gol_c,f_conv);
v_asc_cc = conv(v_asc_c,f_conv);
v_gol_cc = v_gol_cc(1:length(ti));
v_asc_cc = v_asc_cc(1:length(ti));

```

% G. Ajustarea punctului de inceput si de sfarsit pentru calculul lucrului mecanic

if filenamea == 'asc1b.mat'

```

s = 6874;
f = 11760;
end

```

if filenamea == 'asc2b.mat'

```

s = 6726;
f = 11190;
end

```

if filenamea == 'asc3b.mat'

```

s = 6392;

```

```

f = 10619;
end
if filenamea == 'asc4b.mat'
    s = 6789;
    f = 11015;
end
if filenamea == 'asc5b.mat'
    s = 7365;
    f = 11365;
end
if filenamea == 'asc6b.mat'
    s = 7044;
    f = 11012;
end
if filenamea == 'asc7b.mat'
    s = 6640;
    f = 10834;
end

```

% G. Calculul Lucrului mecanic de aschiere**% G.1. Definire parametrii pentru calculul lucrului mecanic**

```

g      = 9.81; % acceleratia gravitationala
m_pen = 7.618; % kg
l_pen = 0.2578; % m
r_sc   = 0.04; % m
ro     = 8900; % kg/m^3
lat_asc = 0.0053; % m
adinc_asc = 0.0001; % m
suprafata = lat_asc*adinc_asc;
alfa   = 0.5;
c_asc   = 1 - alfa;
c1_asc  = c_asc*ro*suprafata*r_sc^3;

```

% Calculul fi_rot

```

[v_imp i_v_imp] = max(v_gol_cc);
fi_rot_c = (v_gol_cc.^2 - v_asc_cc.^2)./((v_imp^2 - v_asc_cc.^2)./...
d_asc_c - 7.758*g*sin(d_asc_c));
fi_rot = fi_rot_c;
ti_s     = ti(s:length(ti));
d_gol_c_s = d_gol_c(s:length(ti));
d_asc_c_s = d_asc_c(s:length(ti));
v_gol_cc_s = v_gol_cc(s:length(ti));
v_asc_cc_s = v_asc_cc(s:length(ti));
fi_rot_s = fi_rot(s:length(ti));
[max_fi_rot f] = max(fi_rot_s);
ti_f     = ti_s(1:f);
d_gol_c_f = d_gol_c_s(1:f);
d_asc_c_f = d_asc_c_s(1:f);
v_gol_cc_f = v_gol_cc_s(1:f);
v_asc_cc_f = v_asc_cc_s(1:f);
fi_rot_f = fi_rot_s(1:f);
disp('fi_rot')
disp(max_fi_rot)
disp(max_fi_rot*180/pi)

```

% Diagramme

```
f_1 = figure('Name','NumberTitle','off');
plot(ti_f,d_asc_c_f,'k');
hold on
plot(ti_f,d_gol_c_f,'k');
title(strcat('Deplasarea unghiulara 0p - rosu; 0ap - negru'));
xlabel('Timp [s]');ylabel('[rad]');
f_2 = figure('Name','NumberTitle','off');
plot(ti_f,v_asc_cc_f,'k');
hold on
plot(ti_f,v_gol_cc_f,'k');
title(strcat('Viteza unghiulara Vp - rosu; Vap - negru'));
xlabel('Timp [s]');ylabel('[rad/s]');
hold off
f_4 = figure('Name','NumberTitle','off');
plot(ti_f,fi_rot_f(1:length(ti_f)),'k');
title(strcat('Deplasarea unghiulara 0a'));
xlabel('Timp [s]');ylabel('[rad]');
end
end
```

Anexa 18.**% Program „tiro_fis_a.m” de conversie a fișierelor ASCII în fișiere MATLAB**

```

global viteza_rot timp_sec xl viteza_conv_final timp_conv
global timp deplasare viteza
global t_i d_i v_i
% Citire din fisier
[filename,pathname] = uigetfile('*.','Selectati fisierul de date',300,100);
if filename ~=0
    fid = fopen(strcat(pathname,filename));
    j = 1;
    h_bar = waitbar(0,'Citire valori din fisier...');

    while 1
        line = fgetl(fid);
        if ~isstr(line),break,end
        tiro(j) = str2num(line);
        line = fgetl(fid);
        if ~isstr(line),break,end
        timp(j) = str2num(line);
        j = j + 1;
        waitbar(j/40000)
    end
    fclose(fid);
    close(h_bar);
    timp_cont = zeros(1,length(timp));
    tiro_cont = zeros(1,length(tiro));

    % Calcul deltat si deltax
    h_bar1 = waitbar(0,'Conversie date...');

    for i = 1:length(timp)-1
        if timp(i+1) <= timp(i)
            timp_cont(i) = abs(timp(i) - timp(i+1));
        else
            timp_cont(i) = abs(timp(i) + (65535 - timp(i+1)));
        end
        if tiro(i+1) <= tiro(i)
            tiro_cont(i) = abs(tiro(i) - tiro(i+1));
        else
            tiro_cont(i) = abs(tiro(i) + (65535 - tiro(i+1)));
        end
        if tiro_cont(i) >= 2
            tiro_cont(i) = 1;
        end
        if timp_cont(i) >= 3000
            timp_cont(i) = 275;
        end
        waitbar(i/(length(timp)-1));
    end
    % Salvare mat
    save(filename,'tiro_cont','timp_cont');
    close(h_bar1);
end

```

**% Subprogram „sub fi_rot.m” pentru calculul energiei specifice
corespunzătoare unghiului fi_rot**

```

clear all

% Calculul fi_rot

[v_imp i_v_imp] = max(v_gol_cc);
fi_rot_c = (v_gol_cc.^2 - v_asc_cc.^2)./((v_imp^2 - v_asc_cc.^2)./...
d_asc_c - 7.758*g*sin(d_asc_c));

fi_rot_c1 = (v_gol_cc.^2)./((v_imp^2)./d_asc_c - 7.758*g*sin(d_asc_c));

fi_rot = fi_rot_c;

ti_s      = ti(s:length(ti));
d_gol_c_s = d_gol_c(s:length(ti));
d_asc_c_s = d_asc_c(s:length(ti));
v_gol_cc_s = v_gol_cc(s:length(ti));
v_asc_cc_s = v_asc_cc(s:length(ti));
fi_rot_s = fi_rot(s:length(ti));

[max_fi_rot f] = max(fi_rot_s);
ti_f      = ti_s(1:f);
d_gol_c_f = d_gol_c_s(1:f);
d_asc_c_f = d_asc_c_s(1:f);
v_gol_cc_f = v_gol_cc_s(1:f);
v_asc_cc_f = v_asc_cc_s(1:f);
fi_rot_f = fi_rot_s(1:f);
fi_rot = fi_rot_c1;
fi_rot_s_c1 = fi_rot(s:length(ti));
[max_fi_rot_c1 f_c1] = max(fi_rot_s_c1);
teta_ap = d_asc_c_f(1,f);

%
% ws = m_pen*(v_imp^2 - 2*m_pen*g*l_pen*teta_ap*sin(teta_ap))./...
% (2*0.53*teta_ap*1000*l_pen);
delta_fa = m_pen*(l_pen*v_imp^2/(2*teta_ap) - g*sin(teta_ap));
ws = (delta_fa*(l_pen/r_sc))/(2*0.53*teta_ap);

disp('fi_rot_c')
disp(max_fi_rot)
disp(max_fi_rot*180/pi)
disp('fi_rot_c1')
disp(max_fi_rot_c1)
disp(max_fi_rot_c1*180/pi)
disp('ws')
disp(ws)
end
end

```

**% Program „calcul_ws.m” pentru prelucrarea datelor experimentale
aschibilitate**

```

clear all
% Preprocesare date
% A.1. Citire date din fisier
[filenameg pathname] = uigetfile('*.','Selectati fisierul tip .mat',300,100);
if filenameg ~=0
    load(filenameg);
    timp1 = timp_cont;
    tiro1 = tiro_cont;
    t_gol = cumsum(timp_cont)/2000000; % secunde
    d_gol = 2*pi/1000*cumsum(tiro_cont); % radiani
    [filenamea pathname] = uigetfile('*.','Selectati fisierul tip .mat',300,100);
    if filenamea ~=0
        load(filenamea);
        t_asc = cumsum(timp_cont)/2000000; % secunde
        d_asc = 2*pi/1000*cumsum(tiro_cont); % radiani

% A.2. Eliminarea revenirii pendului dupa aschiere
% i_asc_min = [9740 7047 6277 9286 7862 7371 5762]
% i_gol_min = [7340 9452 10772 8309 7463 9607 9471]
    if filenamea == 'asc1b.mat'
        % Maxim
        d_asc(12926:length(d_asc)) = d_asc(12926);
        d_gol(12070:length(d_gol)) = d_gol(12070);
        % Minim
        d_asc(1:9986) = d_asc(9986);
        d_gol(1:7371) = d_gol(7371);
    end
    if filenamea == 'asc2b.mat'
        % Maxim
        d_asc(10068:length(d_asc)) = d_asc(10068);
        d_gol(13981:length(d_gol)) = d_gol(13981);
        % Minim
        d_asc(1:7204) = d_asc(7204);
        d_gol(1:9583) = d_gol(9583);
    end
    if filenamea == 'asc3b.mat'
        % Maxim
        d_asc(9076:length(d_asc)) = d_asc(9076);
        d_gol(15244:length(d_gol)) = d_gol(15244);
        % Minim
        d_asc(1:6389) = d_asc(6389);
        d_gol(1:10982) = d_gol(10982);
    end
    if filenamea == 'asc4b.mat'
        % Maxim
        d_asc(12218:length(d_asc)) = d_asc(12218);
        d_gol(12909:length(d_gol)) = d_gol(12909);
        % Minim
        d_asc(1:9416) = d_asc(9416);
    end
end

```

```

d_gol(1:8404) = d_gol(8404);
end
if filenamea == 'asc5b.mat'
    % Maxim
    d_asc(10631:length(d_asc)) = d_asc(10631);
    d_gol(12037:length(d_gol)) = d_gol(12037);
    % Minim
    d_asc(1:7862) = d_asc(7862);
    d_gol(1:7515) = d_gol(7515);
end
if filenamea == 'asc6b.mat'
    % Maxim
    d_asc(10170:length(d_asc)) = d_asc(10170);
    d_gol(13943:length(d_gol)) = d_gol(13943);
    % Minim
    d_asc(1:7372) = d_asc(7372);
    d_gol(1:9607) = d_gol(9607);
end
if filenamea == 'asc7b.mat'
    % Maxim
    d_asc(8402:length(d_asc)) = d_asc(8402);
    d_gol(13817:length(d_gol)) = d_gol(13817);
    % Minim
    d_asc(1:5801) = d_asc(5801);
    d_gol(1:9516) = d_gol(9516);
end

```

% A.3. Eliminarea diferențelor de start

```

[gol_max i_gol_max] = max(d_gol);
[gol_min i_gol_min] = min(d_gol);
med_gol = (gol_max - gol_min)/2;
[asc_min i_asc_min] = min(d_asc);
d_asc = d_asc - asc_min - med_gol;
d_gol = d_gol - gol_min - med_gol;
d_gol1 = d_gol>0;
d_gol1a = d_gol1.*d_gol;
d_asc1 = d_asc>0;
d_asc1a = d_asc1.*d_asc;
d_gol2 = find(d_gol1a == 0);
i_d_gol2 = d_gol2(length(d_gol2));
d_asc2 = find(d_asc1a == 0);
i_d_asc2 = d_asc2(length(d_asc2));
t_gol = t_gol - t_gol(i_d_gol2);
t_asc = t_asc - t_asc(i_d_asc2);

```

% Pentru conformitatea cu continuarea

```

d_gol4 = d_gol;
t_gol4 = t_gol;
d_asc4 = d_asc;
t_asc4 = t_asc;

```

% A.4. Taierea valorilor nesemnificative

```

%      d_gol1 = d_gol>0;
%      d_gol = d_gol1.*d_gol;
%      d_asc1 = d_asc>0;
%      d_asc = d_asc1.*d_asc;
%      d_gol2 = find(d_gol == 0);
%      i_d_gol2 = d_gol2(length(d_gol2));
%      d_asc2 = find(d_asc == 0);
%      i_d_asc2 = d_asc2(length(d_asc2));
%      t_gol = t_gol - t_gol(i_d_gol2);
%      t_asc = t_asc - t_asc(i_d_asc2);
%
%      d_gol3 = d_gol(i_d_gol2:length(d_gol));
%      t_gol3 = t_gol(i_d_gol2:length(d_gol));
%      d_asc3 = d_asc(i_d_asc2:length(d_asc));
%      t_asc3 = t_asc(i_d_asc2:length(d_asc));
%      [gol_max3 i_gol_max3] = max(d_gol3);
%
%      d_gol4 = d_gol3(1:i_gol_max3+400);
%      t_gol4 = t_gol3(1:i_gol_max3+400);
%      d_asc4 = d_asc3(1:i_gol_max3+400);
%      t_asc4 = t_asc3(1:i_gol_max3+400);

```

% B. Interpolare date : se elimina caracterul de salturi in trepte al diagramei deplasarilor**% B.1. Interpolare date pentru deplasarea pendulului in gol**

```

t1 = 0;
t2 = 0;
j = 0;
for i = 2:length(d_gol4)
    if d_gol4(i-1) ~= d_gol4(i)
        j=j+1;
        t2 = t_gol4(i-1);
        tm = (t1 + t2)/2;
        t1 = t2;
        t_gol_m(j) = tm;
        d_gol_m(j) = d_gol4(i-1);
    end
end

```

% % B.2. Interpolare date pentru deplasarea pendulului in aschiere

```

t1 = 0;
t2 = 0;
j = 0;
for i = 2:length(d_asc4)
    if d_asc4(i-1) ~= d_asc4(i)
        j=j+1;
        t2 = t_asc4(i-1);

```

```

tm = (t1 + t2)/2;
t1 = t2;
t_asc_m(j) = tm;
d_asc_m(j) = d_asc4(i-1);
end
end

t_asc_m = [t_asc_m t_gol_m(length(t_gol_m))];
d_asc_m = [d_asc_m d_asc_m(length(d_asc_m))];

```

% C. Ajustarea lungimii seturilor de date.

% Interpolarea datelor pentru deplasare, pentru a avea intervale egale in timp

```

j = 0;
for i = 1:length(t_asc_m)
    if t_asc_m(i) < t_gol_m(1,1)
        j = i;
    end
end
if j ~= 0
    t_asc_m = t_asc_m(j:length(t_asc_m));
    d_asc_m = d_asc_m(j:length(d_asc_m));
end
t_gol_m = t_gol_m(2:length(t_gol_m));
d_gol_m = d_gol_m(2:length(d_gol_m));

%
figure
%
plot(t_asc_m,d_asc_m,'k.')
%
hold on
%
plot(t_gol_m,d_gol_m,'r.')

t_sup = min(t_gol_m(length(t_gol_m)),t_asc_m(length(t_asc_m)));
t_inf = max(t_gol_m(1),t_asc_m(1));
n_int = 20000;

delta_t = (t_sup - t_inf)/n_int;
ti = [t_inf:delta_t:t_sup];
d_gol_mi = interp1(t_gol_m,d_gol_m,ti);
d_asc_mi = interp1(t_asc_m,d_asc_m,ti);

%
plot(ti,d_asc_mi,'b.')
%
plot(ti,d_gol_mi,'m.')

```

% D. Filtrarea de netezire - pentru eliminarea erorilor accidentale

% Filtrarea se realizeaza cu un filtru de convolutie pe 50 de puncte

```

n_conv = 50;
f_conv = zeros(1,n_conv)+1/n_conv;
d_gol_c = conv(d_gol_mi,f_conv);
d_asc_c = conv(d_asc_mi,f_conv);
d_gol_c = d_gol_c(1:length(ti));
d_asc_c = d_asc_c(1:length(ti));

```

% E. Calculul vitezelor pentru pendulul in gol si in aschiere**% E.1. Derivarea numerica a deplasarii**

```
v_gol_c = diff(d_gol_c)./diff(ti);
v_asc_c = diff(d_asc_c)./diff(ti);
```

% E.2. Ajustare lungime vectori dupa derivare.

```
d_gol_c = d_gol_c(1:length(ti)-1);
d_asc_c = d_asc_c(1:length(ti)-1);
ti      = ti(1:length(ti)-1);
```

% F. Filtrarea de netezire a vitezelor - pentru eliminarea erorilor de derivare**% Filtrarea se realizeaza cu un filtru de convolutie pe 500 de puncte**

```
n_conv = 1000;
f_conv = zeros(1,n_conv)+1/n_conv;
v_gol_cc = conv(v_gol_c,f_conv);
v_asc_cc = conv(v_asc_c,f_conv);
v_gol_cc = v_gol_cc(1:length(ti));
v_asc_cc = v_asc_cc(1:length(ti));
```

% G. Ajustarea punctului de inceput si de sfarsit pentru calculul lucrului mecanic

```
% 1 2 3 4 5 6 7
% s = [ 6874 6726 6392 6789 7365 7044 6640]
% f = [11760 11190 10619 11015 11365 11012 10834]
if filenamea == 'asc1b.mat'
    s = 6874;
    f = 11760;
end
if filenamea == 'asc2b.mat'
    s = 6726;
    f = 11190;
end
if filenamea == 'asc3b.mat'
    s = 6392;
    f = 10619;
end
if filenamea == 'asc4b.mat'
    s = 6789;
    f = 11015;
end
if filenamea == 'asc5b.mat'
    s = 7365;
    f = 11365;
end
if filenamea == 'asc6b.mat'
    s = 7044;
    f = 11012;
end
if filenamea == 'asc7b.mat'
```

```
s = 6640;
f = 10834;
end
```

% G. Calculul Lucrului mecanic de aschiere

% G.1. Definire parametrii pentru calculul lucrului mecanic

```
g      = 9.81; % acceleratia gravitationala
m_pen = 7.618; % kg
l_pen = 0.2578; % m
r_sc   = 0.04; % m
ro     = 8900; % kg/m^3
lat_asc = 0.0053; % m
adinc_asc = 0.0001; % m
suprafata = lat_asc*adinc_asc;
alfa   = 0.5;
c_asc  = 1 - alfa;
c1_asc = c_asc*ro*suprafata*r_sc^3;
```

% Calculul fi_rot

```
[v_imp i_v_imp] = max(v_gol_cc);
fi_rot_c = (v_gol_cc.^2 - v_asc_cc.^2)./(v_imp.^2 - v_asc_cc.^2)./...
d_asc_c - 7.758*g*sin(d_asc_c));
fi_rot_c1 = (v_gol_cc.^2)./(v_imp.^2)./d_asc_c - 7.758*g*sin(d_asc_c));
fi_rot = fi_rot_c;

ti_s      = ti(s:length(ti));
d_gol_c_s = d_gol_c(s:length(ti));
d_asc_c_s = d_asc_c(s:length(ti));
v_gol_cc_s = v_gol_cc(s:length(ti));
v_asc_cc_s = v_asc_cc(s:length(ti));
fi_rot_s = fi_rot(s:length(ti));

[max_fi_rot f] = max(fi_rot_s);
ti_f      = ti_s(1:f);
d_gol_c_f = d_gol_c_s(1:f);
d_asc_c_f = d_asc_c_s(1:f);
v_gol_cc_f = v_gol_cc_s(1:f);
v_asc_cc_f = v_asc_cc_s(1:f);
fi_rot_f = fi_rot_s(1:f);

fi_rot = fi_rot_c1;
fi_rot_s_c1 = fi_rot(s:length(ti));
[max_fi_rot_c1 f_c1] = max(fi_rot_s_c1);
teta_ap = d_asc_c_f(1,f);

%
ws = m_pen*(v_imp.^2 - 2*m_pen*g*l_pen*teta_ap*sin(teta_ap))./...
(2*0.53*teta_ap*1000*l_pen);
delta_fa = m_pen*(l_pen*v_imp.^2/(2*teta_ap) - g*sin(teta_ap));
ws = (delta_fa*(l_pen/r_sc))/(2*0.53*teta_ap);
```

```

        disp('fi_rot_c')
        disp(max_fi_rot)
        disp(max_fi_rot*180/pi)
        disp('fi_rot_c1')
        disp(max_fi_rot_c1)
        disp(max_fi_rot_c1*180/pi)
        disp('ws')
        disp(ws)

% Diagrame
%
f_1 = figure('Name','','NumberTitle','off');
%
plot(ti_f,d_asc_c_f,'k');
%
hold on
%
plot(ti_f,d_gol_c_f,'k');
%
title(strcat('Deplasarea unghiulara 0p - rosu; 0ap - negru'));
%
xlabel('Timp [s]'); ylabel('[rad]');
%
%
f_2 = figure('Name','','NumberTitle','off');
%
plot(ti_f,v_asc_cc_f,'k');
%
hold on
%
plot(ti_f,v_gol_cc_f,'k');
%
title(strcat('Viteza unghiulara Vp - rosu; Vap - negru'));
%
xlabel('Timp [s]'); ylabel('[rad/s]');
%
hold off
%
%
f_4 = figure('Name','','NumberTitle','off');
%
plot(ti_f,fi_rot_f(1:length(ti_f)), 'k');
%
title(strcat('Deplasarea unghiulara 0a'));
%
xlabel('Timp [s]'); ylabel('[rad]');
%
end
end

```

**% Subrutina „ws.m” pentru trasarea diagramelor fi_rot functie de viteze si
energie specifica functie de viteze**

```

v = [11.664 13.219 14.774 16.329 17.885 19.440 20.995];

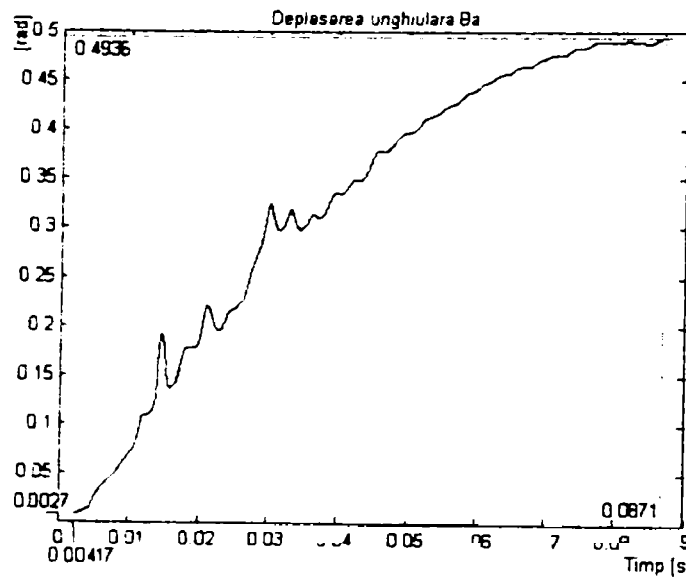
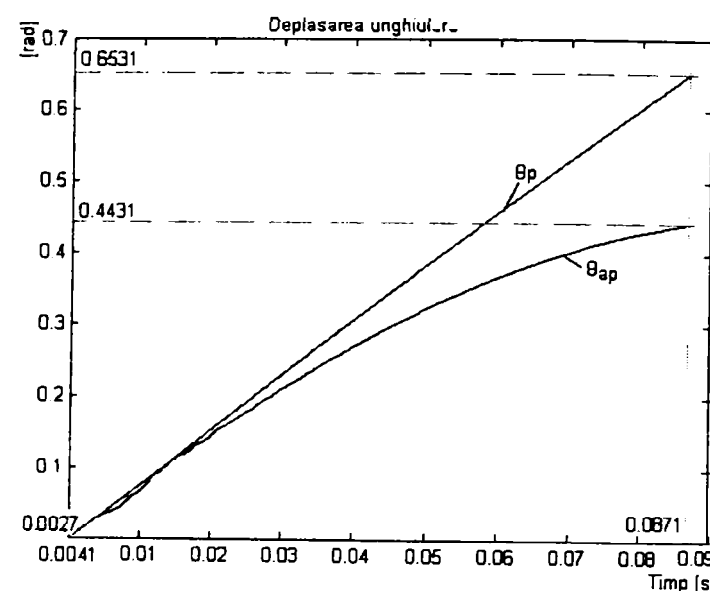
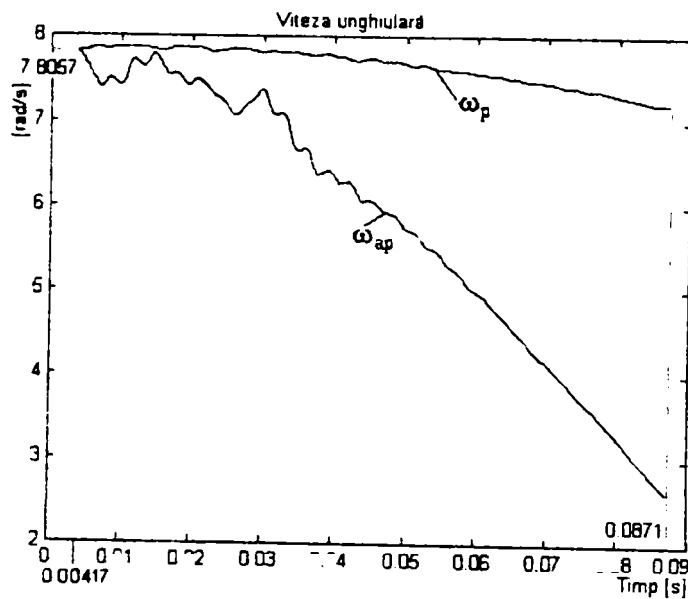
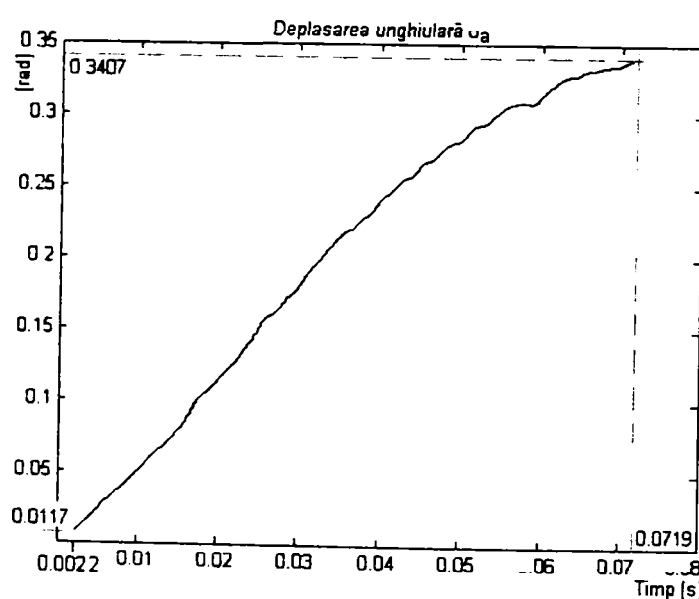
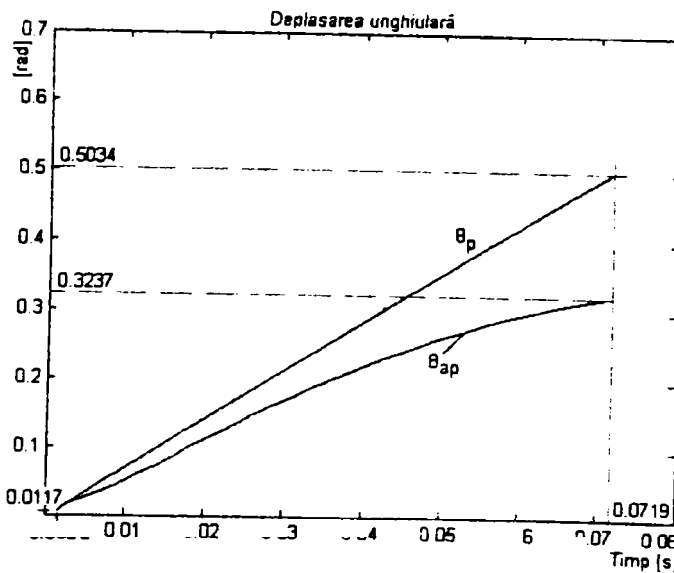
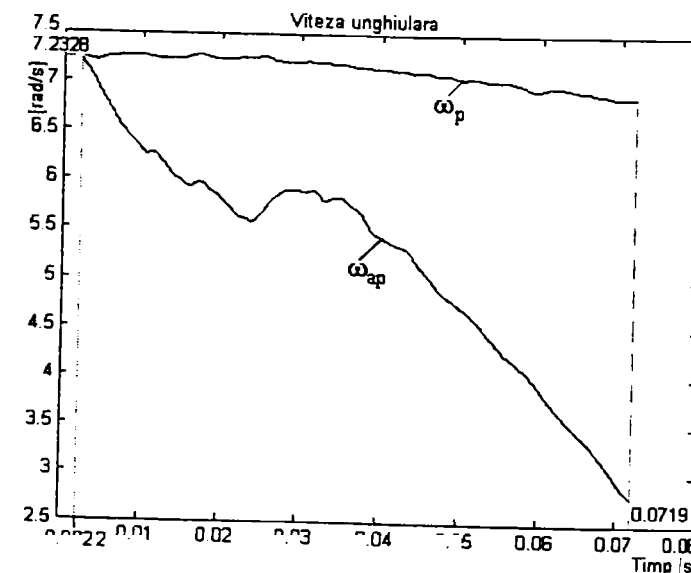
fi_rot = [0.1740 0.1893 0.3065 0.2656 0.2841 0.3407 0.4936];
plot(v,fi_rot,'k')
hold on
plot(v,fi_rot,'ko')

ws = [3.669 4.003 2.085 2.921 3.237 2.565 1.437];
figure
plot(v,ws,'k')
hold on
plot(v,ws,'kd')

```

Anexa 19.

Diagrammele deplasărilor θ_a , θ_{ap} , θ_p și vitezelor unghiulare ω_{ap} ω_p corespunzătoare vitezelor din tabelul 7.2

**Fig. A.19.1.a****Fig. A.19.1.b****Fig. A.19.1.c.****Fig. A.19.2.a.****Fig. A.19.2.b.****Fig. A.19.2.c.**

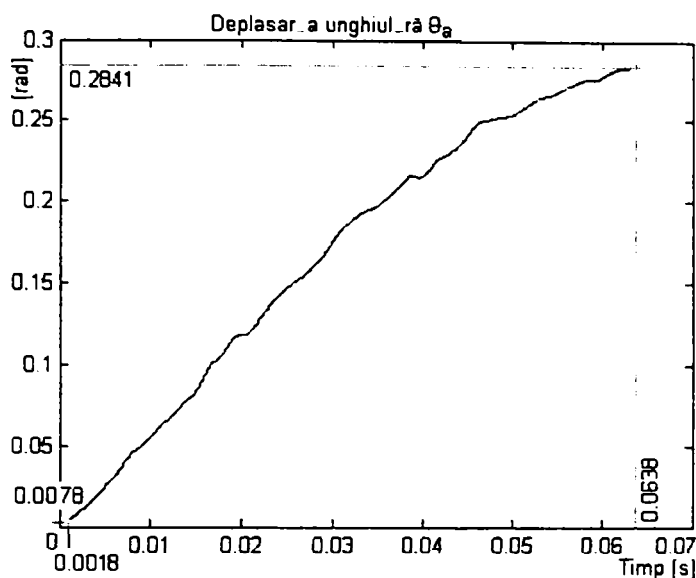


Fig. A.19.3.a.

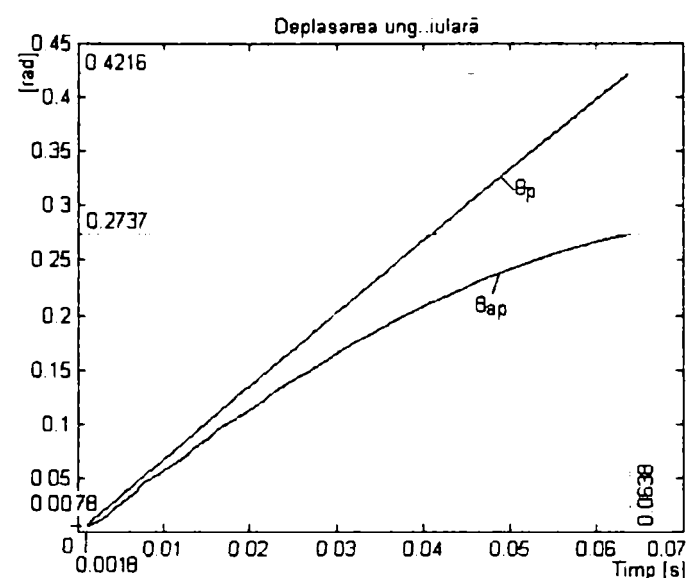


Fig. A.19.3.b.

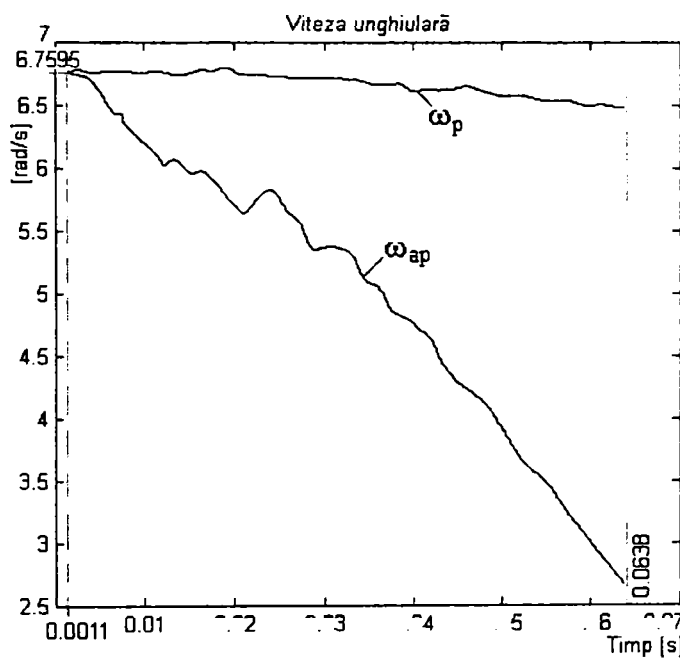


Fig. A.19.3.c.

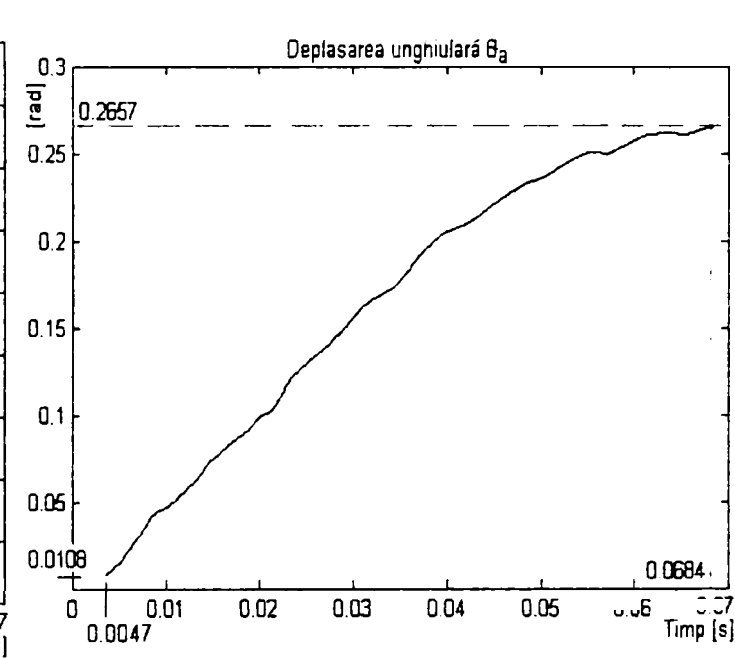


Fig. A.19.4.a.

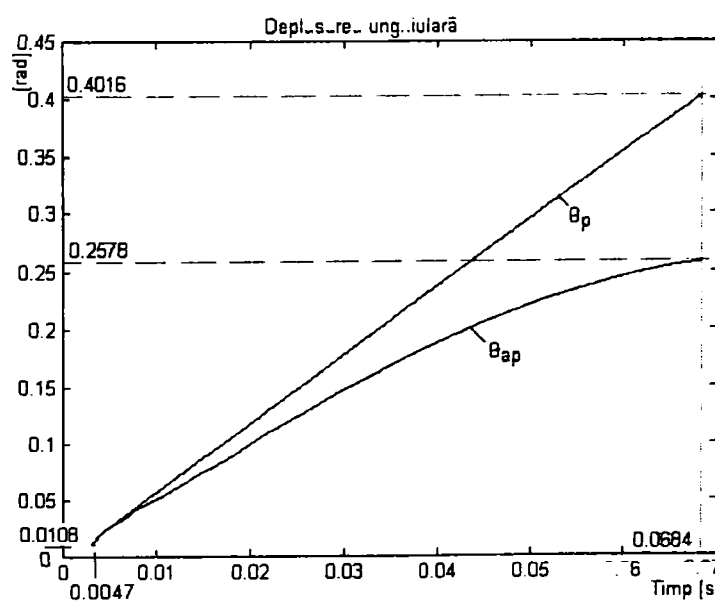


Fig. A.19.4.b.

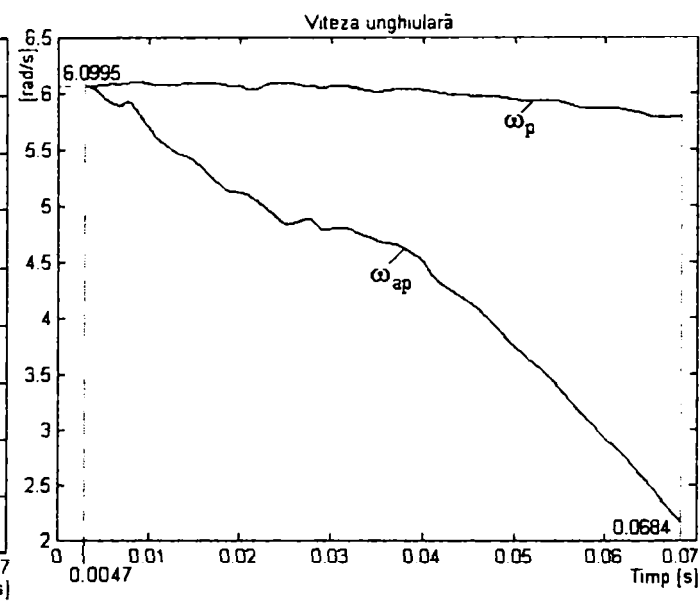


Fig. A.19.4.c.

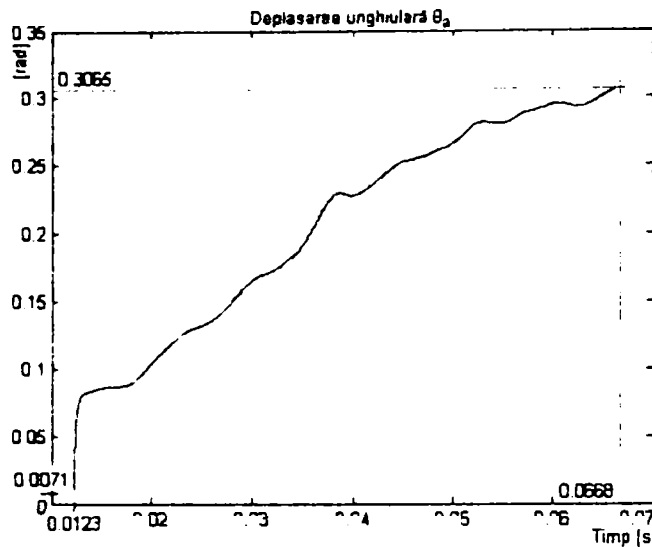


Fig. A.19.5.a.

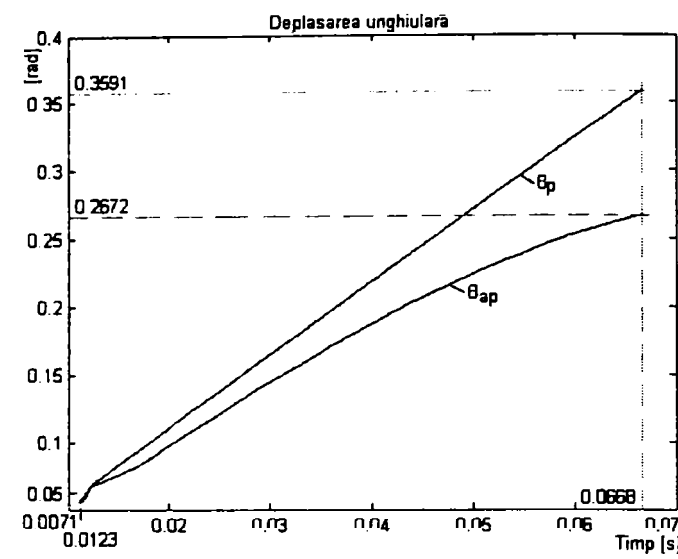


Fig. A.19.5.b.

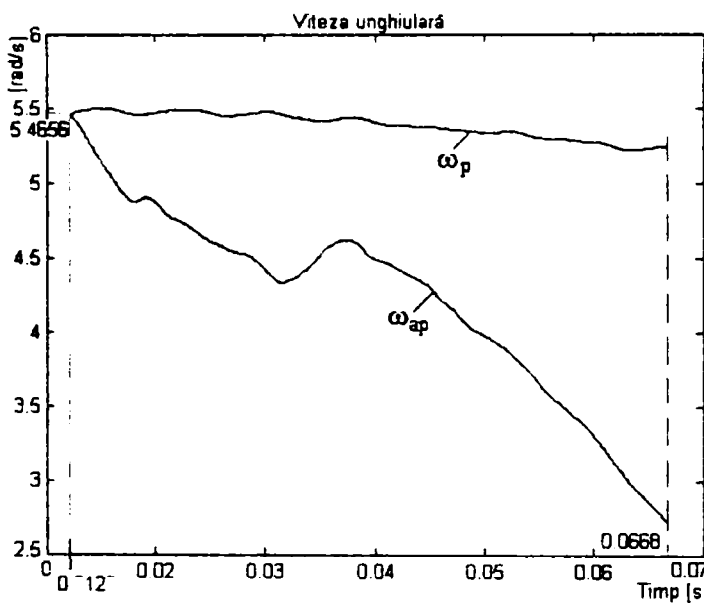


Fig. A.19.5.c.

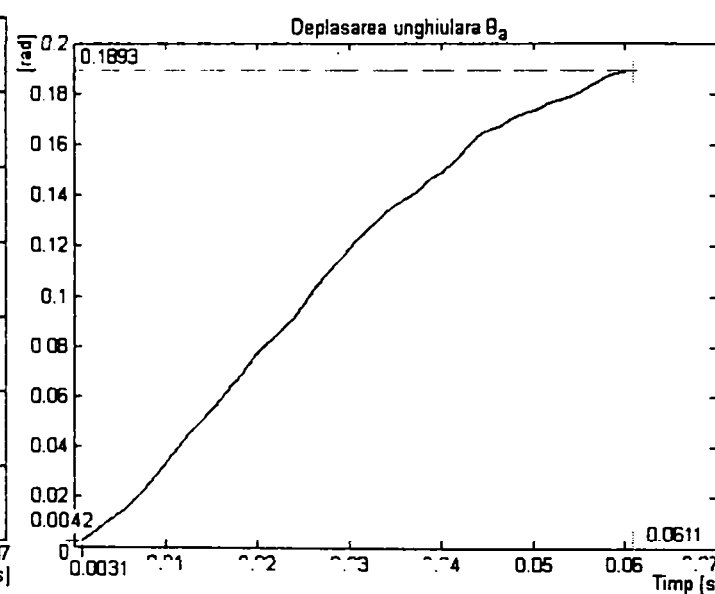


Fig. A.19.6.a.

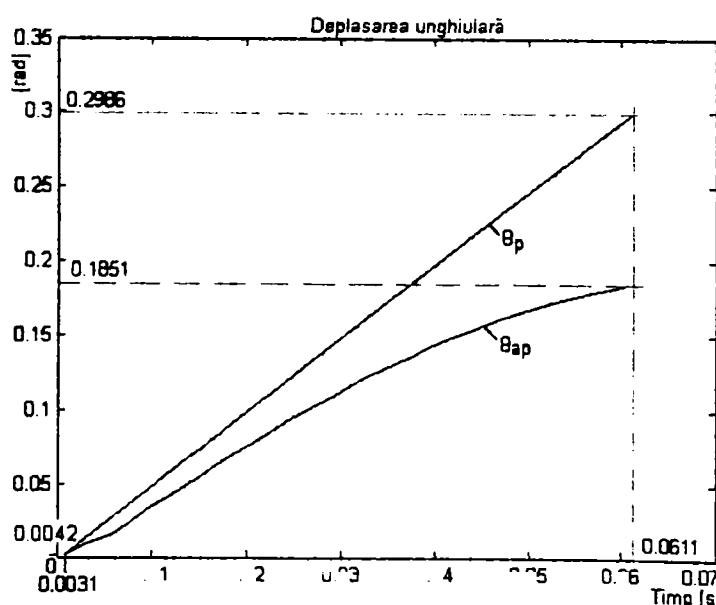


Fig. A.19.6.b.

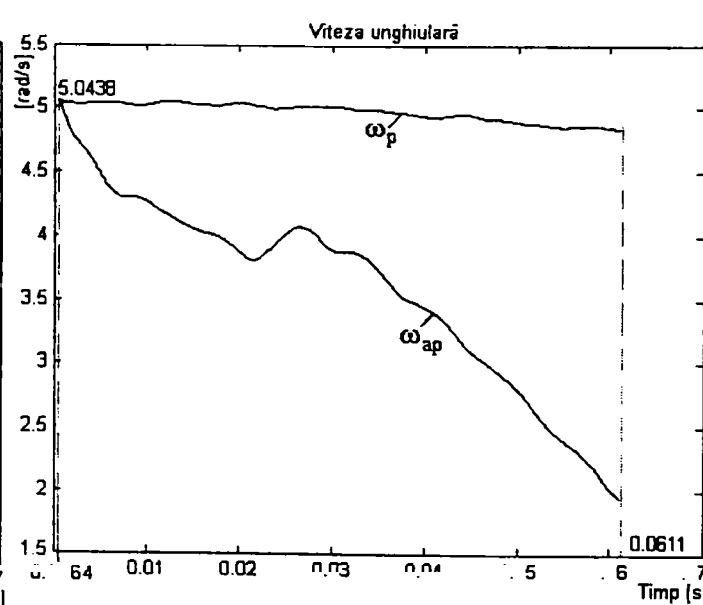


Fig. A.19.6.c.

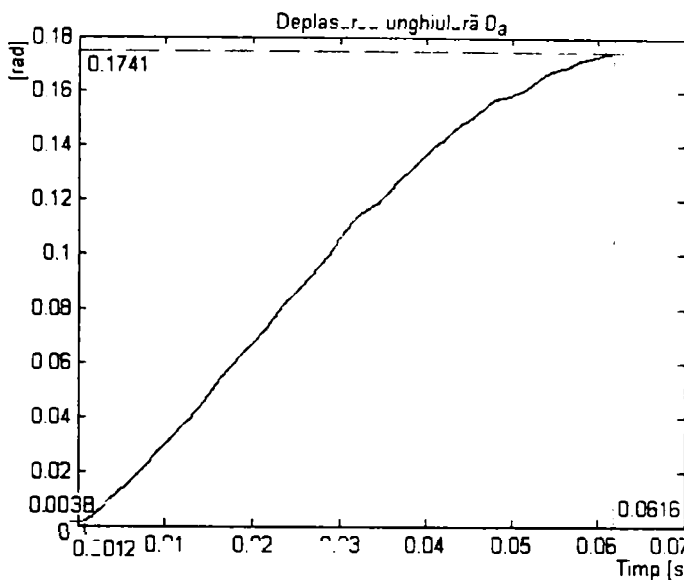


Fig. A.19.7.a.

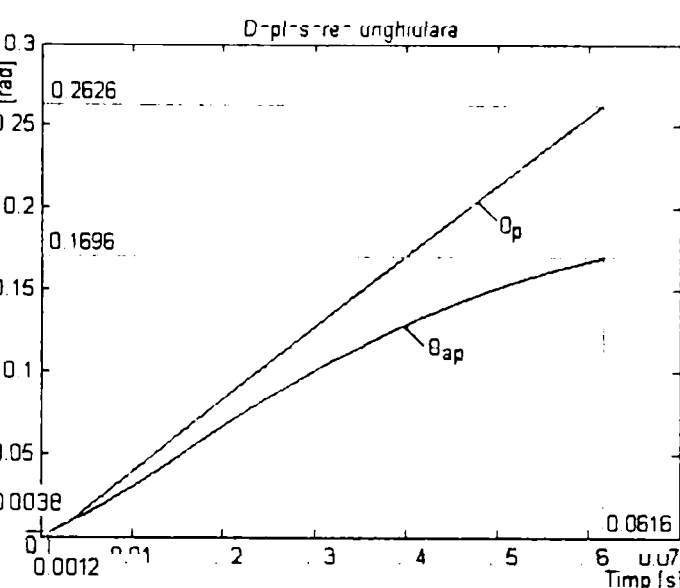


Fig. A.19.7.b.

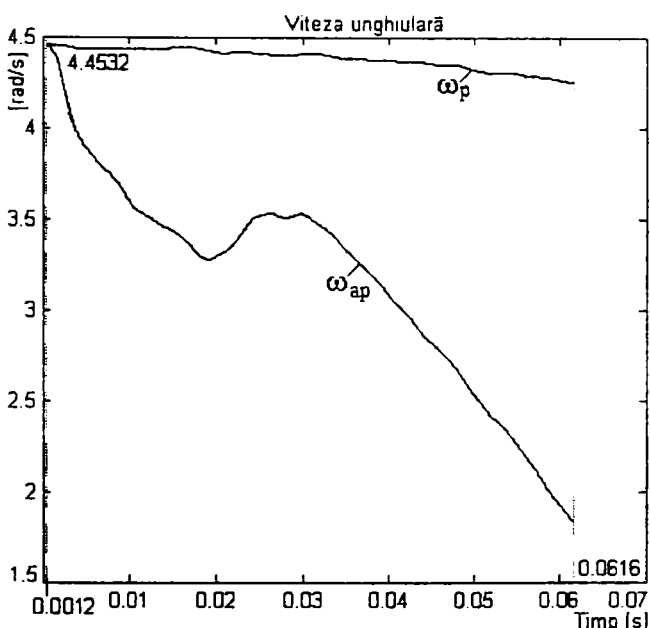


Fig. A.19.7.c.

Tabelul 7.2.

v_{A1} [m/min]	135	125	115	105	95	85	75
v_{asp} [m/min]	20,9953	19,4401	17,8849	16,3297	14,7744	13,2192	11,6640

Notă: Numerotarea figurilor corespunde astfel:

- fig.A.19.1 pentru viteza cea mai mare respectiv 135 [m/min] (20,9953), iar fig.7 pentru viteza cea mai mică respectiv 75[m/min] (11,6640) din tabelul 7.2.;
- cu litera a sunt reprezentate diagramele deplasării unghiulare θ_a a cuțitului numai datorită forțelor de aşchiere;
- cu litera b sunt reprezentate pe aceeași diagramă deplasările unghiulare θ_{ap} ale cuțitului în material datorită forțelor de aşchiere și greutății pendulului ($G=m \cdot g$) și deplasările unghiulare θ_p datorate numai greutății pendulului (respectiv mersul în gol al pendulului);
- cu litera c sunt reprezentate vitezele unghiulare ω_{ap} în timpul mișcării de aşchiere, iar ω_p vitezele unghiulare la mers în gol al pendulului pentru vitezele impuse corespunzătoare (tab.7.2).

Anexa 20.

Structuri ale rădăcinii aşchiei la aşchierea ortogonală a cuprului OFHC prin şoc



Fig. A.20.1as.x200.



Fig. A.20.1s.x200



Fig. A.20.1s.x250

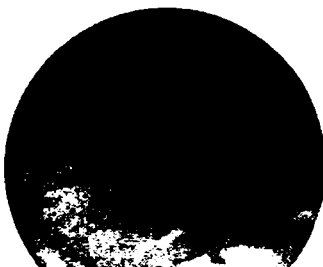


Fig. A.20.1s.x400



Fig. A.20.1s.x500



Fig. A.20.2s.x200



Fig. A.20.2s.x250



Fig. A.20.2s.x500



Fig. A.20.3s.x200



Fig. A.20.3s.x250



Fig. A.20.3s.x500



Fig. A.20.4s.x200



Fig. A.20.4s.x250

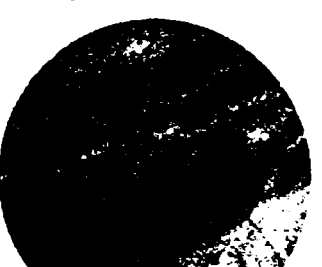


Fig. A.20.4s.x500



Fig. A.20.5s.x200

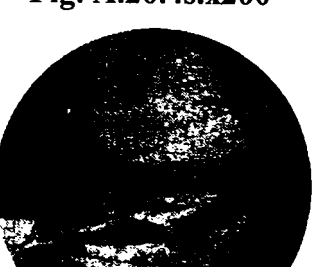


Fig. A.20.5s.x250



Fig. A.20.5s.x500



Fig. A.20.6s.x200

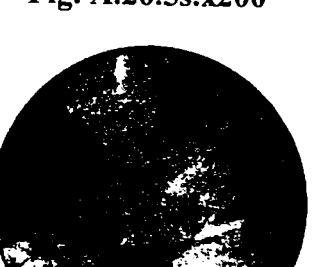


Fig. A.20.6s.x250



Fig. A.20.6s.x500

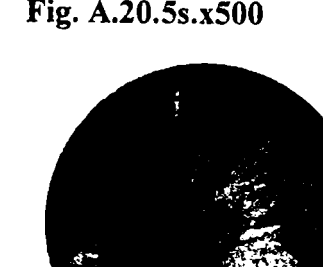


Fig. A.20.7s.x200

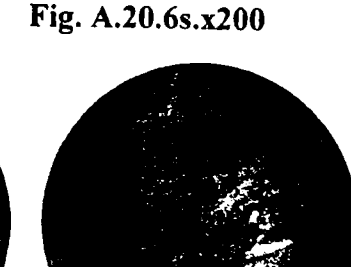


Fig. A.20.7s.x250

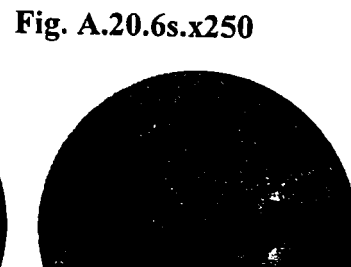


Fig. A.20.7s.x500

Notă:Numerotarea figurilor corespunde astfel: fig.1 pentru viteza cea mai mare respectiv 135 [m/min] (20,9953), iar fig.7 pentru viteza cea mai mică respectiv 75[m/min] (11,6640) din tab. 7.2.

Anexa 21.**%***Program „model_disp3.m” de modelare a dispozitivului de gaurire cu vibropercuții *****

```

clear all
global percursor_pol arbore_pol delta_s delta_sa delta_test_imp n_pauza

global int_arb1 int_per1 x_arb y_arb x_arba y_arba x_per y_per x_pera y_pera xc3a yc3a

global semn_omega3_per omega3_per omega0_arb omega3_per_imp omega0_arb_imp
omega3_per_imp

global timp_amortizare_arb timp_amortizare_per
pack;
n_pauza = 0;
% Initializare elemente
% Pasul de calcul al desimii punctelor pe profil
delta_s = 0.01; % delta-s≡ Δni
delta_sa = 0.2; % delta-sa≡Δmk
% Pasul de calcul al timpului
delta_t = 0.001;
% Cerc exterior
x_cerc_ext = -47.5;
y_cerc_ext = -47.5;
w_cerc_ext = 95;
h_cerc_ext = 95;
x1_cerc_ext = 1;
y1_cerc_ext = 1;
axis equal;
% Calculul coordonatelor pentru pozitia initiala
coord_piesa;
ttt1 = 0;
ttt2 = 0;
ttt3 = 0;
ttt4 = 0;
xmin = -70;
xmax = 70;
ymin = -70;
ymax = 70;
nr_pas = 1000;
omega0_per_real = 10;
omega3_per_real = 25;
semn_omega0_per = -1;
omega0_per = 10;
semn_omega3_per = -1;
omega3_per = omega3_per_real*(omega0_per/omega0_per_real);
omega3_per_imp = omega3_per;
timp_amortizare_per = 40;
teta_cum = 0;
delta_test_imp = 1;
semn_omega0_arb = -1;
omega0_arb_imp = 10;
omega0_arb = 0;

```

```

timp_amortizare_arb = 30;
gama_cum = 0;
timp = 0;
r_rot0 = xc3;
nr_pct1_per = size(percutor_pol);
nr_pct_per = nr_pct1_per(1,1);
nr_pct1_arb = size(arbore_pol);
nr_pct_arb = nr_pct1_arb(1,1);
test_start = 0;
% Bucla principală
for i = 1:nr_pas
    alfa_i = semn_omega0_per*omega0_per*i*delta_t;
    teta_j = semn_omega3_per*omega3_per*delta_t;
    for q = 1:nr_pct_per
        r_p = percutor_pol(q,2);
        teta_p = percutor_pol(q,1);
        x_per(q) = r_rot0*cos(alfa_i) + r_p*cos(teta_p + teta_cum + teta_j);
        y_per(q) = r_rot0*sin(alfa_i) + r_p*sin(teta_p + teta_cum + teta_j);
        xc3a(q) = r_rot0*cos(alfa_i);
        yc3a(q) = r_rot0*sin(alfa_i);
    end
    teta_cum = teta_cum + teta_j;
    gama_k = semn_omega0_arb*omega0_arb*delta_t;      %gama_k=fi_rot arbore
    for q = 1:nr_pct_arb
        r_a = arbore_pol(q,2);
        gama_a = arbore_pol(q,1);
        x_arb(q) = r_a*cos(gama_a + gama_cum + gama_k);
        y_arb(q) = r_a*sin(gama_a + gama_cum + gama_k);
    end
    gama_cum = gama_cum + gama_k;
    if i == 1
        h_fig = figure;
        hold on
        h_arb = plot(x_arb,y_arb,'k','EraseMode','none');
        h_arb1 = plot(0,0,'k','EraseMode','none');
        set(h_fig,'DoubleBuffer','on','Render','painters');
        axis equal;
        axis([xmin xmax ymin ymax]);
        %hold on
        h_per = plot(x_per,y_per,'r','EraseMode','none');
        h_per1 = plot(xc3a,yc3a,'r','EraseMode','none');
        h_ext = rectangle('Position',[x_cerc_ext,y_cerc_ext,w_cerc_ext,h_cerc_ext]...
            , 'Curvature',[x1_cerc_ext,y1_cerc_ext]);
    end
    %drawnow;
    F(i) = getframe;
else
    set(h_arb,'xData',x_arb,'yData',y_arb);
    set(h_arb1,'xData',0,'yData',0);
    set(h_per,'xData',x_per,'yData',y_per);
    set(h_per1,'xData',xc3a,'yData',yc3a);
    drawnow;
end

```

```
F(i) = getframe;
end
if test_start == 0;
    x_pera = x_per;
    y_pera = y_per;
    x_arba = x_arb;
    y_arba = y_arb;
end
test_impact1;
test_impact2;
test_impact3;
test_impact4;
vit_impact1;
if test_start == 1;
    x_pera = x_per;
    y_pera = y_per;
    x_arba = x_arb;
    y_arba = y_arb;
end
test_start = 1;
end
plot(6,60,'r.');
% movie(F,3,200)
```

Anexa 22.

% ***Subprogram „coord_piesa.m” pentru definire coordonate initiale *******

```

%***** Definire percursor *****
% delta_s = 0.01;

%*** Definire percursor in sistemul cartezian c0 ***
% Constante
xc1 = -10;
xc3 = -30;
xc2 = -33.38;
xp1 = -20.05;
yc2 = 9.05;
yp2 = 9.4;
yp6 = 24;
r0 = 19.05;
r1 = 35;
r2 = 25.85;
% r2a=24.35;
r3 = 5.025;
xc0 = 0;
yc0 = 0;
yc1 = 0;
yc3 = 0;
yp1 = 0;
yp8 = 0;

% Relatii
xp2 = xp1;
xp6 = xp1;
xp7 = xp1;
yp3 = yp2;
yp5 = yp6;
xp8 = (xc1-r1);
yp7 = sqrt(r1^2-(xp1-xc1)^2);
xp3 = -sqrt(r0^2-yp3^2);
xp5 = xc2+sqrt(r2^2-(yp6-yc2)^2);
a_p4 = (xc2^2+yc2^2+r0^2-r2^2)/2;
xp4 = (2*a_p4*xc2 + sqrt(4*a_p4^2*xc2^2-4*(a_p4^2-
r0^2*yc2^2)*(xc2^2+yc2^2)))/(2*(xc2^2+yc2^2));
yp4 = sqrt(r0^2-xp4^2);

% Coordonate
xp9 = xp7;
yp9 = -yp7;
xp10 = xp6;
yp10 = -yp6;
xp11 = xp5;
yp11 = -yp5;
xp12 = xp4;
yp12 = -yp4;

```

```
xp13 = xp3;
```

```
yp13 = -yp3;
```

```
xp14 = xp2;
```

```
yp14 = -yp2;
```

% Definire matrice de coordonate percursor

```
percutor1a = gen_p1_p2(xp1,yp1,xp2,yp2);
```

```
percutor1 = [xp1,yp1
```

```
    %percutor1a
```

```
    xp2,yp2];
```

```
percutor2a = gen_p2_p3(xp2,yp2,xp3,yp3);
```

```
percutor2 = [xp2,yp2
```

```
    percutor2a
```

```
    xp3,yp3];
```

```
percutor3a = gen_p3_p4(xp3,yp3,r0,xc0,yc0,xp4,yp4);
```

```
percutor3 = [xp3,yp3
```

```
    percutor3a
```

```
    xp4,yp4];
```

```
percutor4a = gen_p4_p5((xc2-xp4),(yp4-yc2),r2,xc2,yc2,(xc2-xp5),(yp5-yc2));
```

```
percutor4 = [xp4,yp4
```

```
    percutor4a
```

```
    xp5,yp5];
```

```
percutor5 = [xp5 ,yp5
```

```
    xp6 ,yp6
```

```
    xp7 ,yp7];
```

```
percutor6a = gen_p7_p8((xp7-xc1),yp7,r1,xc1,yc1,(xp8-xc1),yp8,delta_sa);
```

```
percutor6 = [xp7,yp7
```

```
    percutor6a
```

```
    xp8,yp8];
```

```
percutor7_y = -percutor6(:,2);
```

```
percutor7_x = percutor6(:,1);
```

```
percutor7a = flipud([percutor7_x,percutor7_y]);
```

```
percutor7 = [xp8,yp8
```

```
    percutor7a
```

```
    xp9,yp9];
```

```
percutor8 = [xp9,yp9
```

```
    xp10,yp10
```

```
    xp11,yp11];
```

```

percursor9_y = -percursor4(:,2);
percursor9_x = percursor4(:,1);
percursor9a = flipud([percursor9_x,percursor9_y]);

percursor9 = [xp11,yp11
    percursor9a
    xp12,yp12];

percursor10_y = -percursor3(:,2);
percursor10_x = percursor3(:,1);
percursor10a = flipud([percursor10_x,percursor10_y]);

percursor10 = [xp12,yp12
    percursor10a
    xp13,yp13];

percursor11_y = -percursor2(:,2);
percursor11_x = percursor2(:,1);
percursor11a = flipud([percursor11_x,percursor11_y]);

percursor11 = [xp13,yp13
    percursor11a
    xp14,yp14];

percursor12_y = -percursor1(:,2);
percursor12_x = percursor1(:,1);
percursor12a = flipud([percursor12_x,percursor12_y]);

percursor12 = [xp14,yp14
    %percursor12a
    xp1,yp1];

% Definirea intervalelor pentru elementele profilului percursor
int_per1 = size(percursor1);
int_per2 = size(percursor2);
int_per3 = size(percursor3);
int_per4 = size(percursor4);
int_per5 = size(percursor5);
int_per6 = size(percursor6);
int_per7 = size(percursor7);
int_per8 = size(percursor8);
int_per9 = size(percursor9);
int_per10 = size(percursor10);
int_per11 = size(percursor11);
int_per12 = size(percursor12);

int_per = [int_per1(1,1)
    int_per2(1,1)
    int_per3(1,1)
    int_per4(1,1)
    int_per5(1,1)
    int_per6(1,1)]

```

```

int_per7(1,1)
int_per8(1,1)
int_per9(1,1)
int_per10(1,1)
int_per11(1,1)
int_per12(1,1];
int_per1 = zeros(12,2);
int_per1(1,1) = 1;
int_per1(1,2) = int_per(1,1);
for i = 2:12
    int_per1(i,1) = sum(int_per(1:i-1))+1;
    int_per1(i,2) = sum(int_per(1:i));
end

```

% Matricea coordonatelor punctelor de pe profilul percutorului

```

percutor_c0 = [percutor1
    percutor2
    percutor3
    percutor4
    percutor5
    percutor6
    percutor7
    percutor8
    percutor9
    percutor10
    percutor11
    percutor12];

```

%* Definire percutor in sistemul cartezian c3 (coordonate u0 si v0)*****

```

percutor_c3(:,1) = percutor_c0(:,1) - xc3;
percutor_c3(:,2) = percutor_c0(:,2);

```

%* Definire percutor in sistemul polar c3 *****

```

[teta_p,r_p] = cart2pol(percutor_c3(:,1),percutor_c3(:,2));
percutor_pol = [teta_p,r_p];

```

%*** Definire arbore *********% Constante**

```

xp15 = 5.82;
xp16 = 7.5;
r4 = 12.45;
r5 = 19;

```

% Relatii

```

yp15 = sqrt(r4^2-xp15^2);
yp16 = sqrt(r5^2-xp16^2);

```

% Coordonate

```

xp17 = -xp16;

```

```

yp17 = yp16;
xp18 = -xp15;
yp18 = yp15;
xp19 = xp18;
yp19 = -yp18;
xp20 = xp17;
yp20 = -yp17;
xp21 = xp16;
yp21 = -yp16;
xp22 = xp15;
yp22 = -yp15;

```

```
arbore1a = gen_p22_p15(xp22,yp22,r4,xc0,yc0,xp15,yp15);
```

```

arbore1 = [xp22,yp22
           arbore1a
           xp15,yp15];

```

```
arbore2a = gen_p15_p16(xp15,yp15,xp16,yp16);
```

```

arbore2 = [xp15,yp15
           arbore2a
           xp16,yp16];

```

```
arbore3a = gen_p16_p17(xp16,yp16,r5,xc0,yc0,xp17,yp17);
```

```

arbore3 = [xp16,yp16
           arbore3a
           xp17,yp17];

```

```
arbore4a = gen_p17_p18(xp17,yp17,xp18,yp18);
```

```

arbore4 = [xp17,yp17
           arbore4a
           xp18,yp18];

```

```
arbore5a = gen_p18_p19(xp18,yp18,r4,xc0,yc0,xp19,yp19);
```

```

arbore5 = [xp18,yp18
           arbore5a
           xp19,yp19];

```

```
arbore6a = flipud(gen_p19_p20(xp20,yp20,xp19,yp19));
```

```

arbore6 = [xp19,yp19
           arbore6a
           xp20,yp20];

```

```
arbore7a = gen_p20_p21(xp20,yp20,r5,xc0,yc0,xp21,yp21);
```

```
arbore7 = [xp20,yp20
```

```
arbore7a
xp21,yp21];
```

```
arbore8a = flipud(gen_p21_p22(xp22,yp22,xp21,yp21));
```

```
arbore8 = [xp21,yp21
arbore8a
xp22,yp22];
```

% Definirea intervalelor pentru elementele profilului arbore

```
int_arb1 = size(arbore1);
int_arb2 = size(arbore2);
int_arb3 = size(arbore3);
int_arb4 = size(arbore4);
int_arb5 = size(arbore5);
int_arb6 = size(arbore6);
int_arb7 = size(arbore7);
int_arb8 = size(arbore8);
int_arb = [int_arb1(1,1)
int_arb2(1,1)
int_arb3(1,1)
int_arb4(1,1)
int_arb5(1,1)
int_arb6(1,1)
int_arb7(1,1)
int_arb8(1,1)];
int_arb1 = zeros(8,2);
int_arb1(1,1) = 1;
int_arb1(1,2) = int_arb(1,1);
for i = 2:8
    int_arb1(i,1) = sum(int_arb(1:i-1))+1;
    int_arb1(i,2) = sum(int_arb(1:i));
end
```

%* Definire arbore in sistem cartezian *****

```
arbore = [arbore1
arbore2
arbore3
arbore4
arbore5
arbore6
arbore7
arbore8];
```

%* Definire arbore in sistem polar *****

```
[gama_a,r_a] = cart2pol(arbore(:,1),arbore(:,2));
arbore_pol = [gama_a,r_a];

%plot(percutor_c0(:,1),percutor_c0(:,2),'r.');
%hold on
%plot(percutor_c3(:,1),percutor_c3(:,2),'r.');
%plot(arbore(:,1),arbore(:,2),'k');
```

```
%axis equal;
% Programul de generare subruteinele „gen_p.._p..”

function percursor_n = gen_p1_p2(x_start,y_start,x_stop,y_stop)

global delta_s

nr_iter = floor(abs((y_start - y_stop)/delta_s));
percursor_n = zeros(nr_iter,2);
for j1 = 1:nr_iter
    percursor_n(j1,1) = x_start;
    percursor_n(j1,2) = y_start + j1*delta_s;
end

function arbore_n = gen_p15_p16(x_start,y_start,x_stop,y_stop)

global delta_s

m_p_p = ((y_start - y_stop)/(x_start - x_stop));
nr_iter = floor(abs((x_start - x_stop)/delta_s));
arbore_n = zeros(nr_iter,2);
for j1 = 1:nr_iter
    arbore_n(j1,1) = x_start + j1*delta_s;
    arbore_n(j1,2) = m_p_p*(arbore_n(j1,1) - x_start) + y_start;
end

function arbore_n = gen_p16_p17(x_start,y_start,raza,x_c,y_c,x_stop,y_stop)

global delta_s

csi_start = atan(abs(y_start/x_start));
csi_stop = pi - atan(abs(y_stop/x_stop));
nr_iter = floor(abs((csi_stop-csi_start)/delta_s));
arbore_n = zeros(nr_iter,2);
j1 = 1;
for j1 = 1:nr_iter
    arbore_n(j1,1) = raza*cos(csi_start + j1*delta_s) + x_c;
    arbore_n(j1,2) = raza*sin(csi_start + j1*delta_s) + y_c;
end

function arbore_n = gen_p17_p18(x_start,y_start,x_stop,y_stop)

global delta_s

m_p_p = ((y_start - y_stop)/(x_start - x_stop));
nr_iter = floor(abs((x_start - x_stop)/delta_s));
arbore_n = zeros(nr_iter,2);
for j1 = 1:nr_iter
    arbore_n(j1,1) = x_start + j1*delta_s;
    arbore_n(j1,2) = m_p_p*(arbore_n(j1,1) - x_start) + y_start;
end
```

```

end
function arbore_n = gen_p18_p19(x_start,y_start,raza,x_c,y_c,x_stop,y_stop)

global delta_s

csi_start = pi - atan(abs(y_start/x_start));
csi_stop = pi + atan(abs(y_stop/x_stop));
nr_iter = floor(abs((csi_stop-csi_start)/delta_s));
arbore_n = zeros(nr_iter,2);
for j1 = 1:nr_iter
    arbore_n(j1,1) = raza*cos(csi_start + j1*delta_s) + x_c;
    arbore_n(j1,2) = raza*sin(csi_start + j1*delta_s) + y_c;
end


function arbore_n = gen_p19_p20(x_start,y_start,x_stop,y_stop)

global delta_s

m_p_p = ((y_start - y_stop)/(x_start - x_stop));
nr_iter = floor(abs((x_start - x_stop)/delta_s));
arbore_n = zeros(nr_iter,2);
for j1 = 1:nr_iter
    arbore_n(j1,1) = x_start + j1*delta_s;
    arbore_n(j1,2) = m_p_p*(arbore_n(j1,1) - x_start) + y_start;
end


function percursor_n = gen_p2_p3(x_start,y_start,x_stop,y_stop)

global delta_s

nr_iter = floor(abs((x_start - x_stop)/delta_s));
percursor_n = zeros(nr_iter,2);
for j1 = 1:nr_iter
    percursor_n(j1,1) = x_start + j1*delta_s;
    percursor_n(j1,2) = y_start;
end


function arbore_n = gen_p20_p21(x_start,y_start,raza,x_c,y_c,x_stop,y_stop)

global delta_s

csi_start = pi + atan(abs(y_start/x_start));
csi_stop = 2*pi - atan(abs(y_stop/x_stop));
nr_iter = floor(abs((csi_stop-csi_start)/delta_s));
arbore_n = zeros(nr_iter,2);
for j1 = 1:nr_iter
    arbore_n(j1,1) = raza*cos(csi_start + j1*delta_s) + x_c;
    arbore_n(j1,2) = raza*sin(csi_start + j1*delta_s) + y_c;
end

```

```

function arbore_n = gen_p22_p15(x_start,y_start,raza,x_c,y_c,x_stop,y_stop)

global delta_s

csi_start = -atan(abs(y_start/x_start));
csi_stop = atan(abs(y_stop/x_stop));
nr_iter = floor(abs((csi_stop-csi_start)/delta_s));
arbore_n = zeros(nr_iter,2);
for j1 = 1:nr_iter
    arbore_n(j1,1) = raza*cos(csi_start + j1*delta_s) + x_c;
    arbore_n(j1,2) = raza*sin(csi_start + j1*delta_s) + y_c;
end

function percursor_n = gen_p3_p4(x_start,y_start,raza,x_c,y_c,x_stop,y_stop)

global delta_s

csi_start = pi - atan(abs(y_start/x_start));
csi_stop = pi - atan(abs(y_stop/x_stop));
nr_iter = floor(abs((csi_stop-csi_start)/delta_s));
percursor_n = zeros(nr_iter,2);
for j1 = 1:nr_iter
    percursor_n(j1,1) = raza*cos(csi_start-j1*delta_s) + x_c;
    percursor_n(j1,2) = raza*sin(csi_start-j1*delta_s) + y_c;
end

function percursor_n = gen_p4_p5(x_start,y_start,raza,x_c,y_c,x_stop,y_stop)

global delta_s

csi_start = atan(abs(y_start/x_start));
csi_stop = atan(abs(y_stop/x_stop));
nr_iter = floor(abs((csi_stop-csi_start)/delta_s));
percursor_n = zeros(nr_iter,2);
for j1 = 1:nr_iter
    percursor_n(j1,1) = raza*cos(csi_start + j1*delta_s) + x_c;
    percursor_n(j1,2) = raza*sin(csi_start + j1*delta_s) + y_c;
end

function percursor_n = gen_p7_p8(x_start,y_start,raza,x_c,y_c,x_stop,y_stop,delta_s)
csi_start = pi - atan(abs(y_start/x_start));
csi_stop = pi - atan(abs(y_stop/x_stop));
nr_iter = floor(abs((csi_stop-csi_start)/delta_s));
percursor_n = zeros(nr_iter,2);
for j1 = 1:nr_iter
    percursor_n(j1,1) = raza*cos(csi_start + j1*delta_s) + x_c;
    percursor_n(j1,2) = raza*sin(csi_start + j1*delta_s) + y_c;
end

```

Anexa 23.

```

% Testarea impactului între percursor și arbore („test_impact1”)
% int_arb1 int_per1 x_arb y_arb x_per y_per
global delta_test_imp n_pauza

global semn_omega3_per omega3_per omega0_arb omega3_per_imp omega0_arb_imp

% ***** Caz I - Impact Percursor - Arbore *****
% ***** Testare contact suprafata P4P5 cu suprafata P17P18 *****
plot(60,60,'b.');
plot(60,60,'bo');
drawnow;
for iti = 1:int_arb1(4,2) - int_arb1(4,1)
    t_p4p5_p17p18(iti) = min(sqrt((x_per(int_per1(4,1)):int_per1(4,2)) - ...
        x_arb(iti + int_arb1(4,1))).^2 + ...
        (y_per(int_per1(4,1)):int_per1(4,2))-...
        y_arb(iti + int_arb1(4,1))).^2);
end
t_p4p5_p17p18b = min(t_p4p5_p17p18);
delta_test_imp = sqrt(((x_pera(int_per1(4,1)) -...
    x_per(int_per1(4,1))).^2 + (y_pera(int_per1(4,1)) -...
    y_per(int_per1(4,1))).^2));
if t_p4p5_p17p18b < delta_test_imp
    semn_omega3_per = 1;
    omega0_arb = omega0_arb_imp;
    omega3_per = omega3_per_imp;
    plot(60,60,'g.');
    drawnow;
    pause(n_pauza);
end
% ***** Testare contact suprafata P4P5 cu suprafata P22P21 *****
for iti = 1:int_arb1(8,2) - int_arb1(8,1)
    t_p4p5_p22p21(iti) = min(sqrt((x_per(int_per1(4,1)):int_per1(4,2)) - ...
        x_arb(iti + int_arb1(8,1))).^2 + ...
        (y_per(int_per1(4,1)):int_per1(4,2))-...
        y_arb(iti + int_arb1(8,1))).^2));
end
t_p4p5_p22p21b = min(t_p4p5_p22p21);
if t_p4p5_p22p21b < delta_test_imp
    semn_omega3_per = 1;
    omega0_arb = omega0_arb_imp;
    omega3_per = omega3_per_imp;
    plot(60,60,'g.');
    drawnow;
    pause(n_pauza);
end
% ***** Testare contact suprafata P11P12 cu suprafata P19P20 *****
for iti = 1:int_arb1(6,2) - int_arb1(6,1)
    t_p11p12_p19p20(iti) = min(sqrt((x_per(int_per1(9,1)):int_per1(9,2)) - ...
        x_arb(iti + int_arb1(6,1))).^2 + ...
        (y_per(int_per1(9,1)):int_per1(9,2))-...
        y_arb(iti + int_arb1(6,1))).^2));
end

```

```

end
t_p11p12_p19p20b = min(t_p11p12_p19p20);
delta_test_imp = sqrt(((x_pera(int_per1(9,1)) -...
    x_per(int_per1(9,1))).^2 + (y_pera(int_per1(9,1)) -...
    y_per(int_per1(9,1))).^2));
if t_p11p12_p19p20b < delta_test_imp
    semn_omega3_per = -1;
    omega0_arb = 0;
    omega3_per = omega3_per_imp;
    plot(60,60,'go');
    drawnow;
    pause(n_pauza);
end
% ***** Testare contact suprafata P11P12 cu suprafata P15P16 *****
for iti = 1:int_arb1(2,2) - int_arb1(2,1)
    t_p11p12_p15p16(iti) = min(sqrt((x_per(int_per1(9,1):int_per1(9,2)) -...
        x_arb(iti + int_arb1(2,1))).^2 + ...
        (y_per(int_per1(9,1):int_per1(9,2))-...
        y_arb(iti + int_arb1(2,1))).^2));
end
t_p11p12_p15p16b = min(t_p11p12_p15p16);
if t_p11p12_p15p16b < delta_test_imp
    semn_omega3_per = -1;
    omega0_arb = 0;
    omega3_per = omega3_per_imp;
    plot(60,60,'go');
    drawnow;
    pause(n_pauza);
end

```

```

% Testarea impactului intre percursor si arbore („test_impact2”)
% int_arb1 int_per1 x_arb y_arb x_per y_per n_pauza
global delta_test_imp n_pauza

global semn_omega3_per omega3_per omega0_arb omega3_per_imp

% ***** Caz I - Impact Percursor - Arbore *****
% ***** Testare contact punct P4 cu suprafetele arborelui *****
% ***** Testarea contact P4 cu suprafata P18P19 (arbore5) *****
plot(60,60,'b.');
plot(60,60,'bo');
drawnow;
t_p4_p18p19 = sqrt(min((x_arb(int_arb1(5,1):int_arb1(5,2)) -...
    x_per(int_per1(4,1))).^2 + (y_arb(int_arb1(5,1):int_arb1(5,2))-...
    y_per(int_per1(4,1))).^2));
delta_test_imp = sqrt(((x_pera(int_per1(4,1)) -...
    x_per(int_per1(4,1))).^2 + (y_pera(int_per1(4,1)) -...
    y_per(int_per1(4,1))).^2));
if t_p4_p18p19 < delta_test_imp
    semn_omega3_per = 1;
    omega3_per = omega3_per_imp;

```

```

plot(60,60,'r.');
drawnow;
pause(n_pauza);
end
% ***** Testarea contact P4 cu suprafața P17P16 (arbore3) *****
t_p4_p17p16 = sqrt(min((x_arb(int_arb1(3,1):int_arb1(3,2))-...
    x_per(int_per1(4,1))).^2 + (y_arb(int_arb1(3,1):int_arb1(3,2))-...
    y_per(int_per1(4,1))).^2));
if t_p4_p17p16 < delta_test_imp
    semn_omega3_per = 1;
    omega3_per = omega3_per_imp;
    plot(60,60,'r.');
    drawnow;
    pause(n_pauza);
end
% ***** Testarea contact P4 cu suprafața P15P22 (arbore1) *****
t_p4_p15p22 = sqrt(min((x_arb(int_arb1(1,1):int_arb1(1,2))-...
    x_per(int_per1(4,1))).^2 + (y_arb(int_arb1(1,1):int_arb1(1,2))-...
    y_per(int_per1(4,1))).^2));
if t_p4_p15p22 < delta_test_imp
    semn_omega3_per = 1;
    omega3_per = omega3_per_imp;
    plot(60,60,'r.');
    drawnow;
    pause(n_pauza);
end
% ***** Testarea contact P4 cu suprafața P20P21 (arbore7) *****
t_p4_p20p21 = sqrt(min((x_arb(int_arb1(7,1):int_arb1(7,2))-...
    x_per(int_per1(4,1))).^2 + (y_arb(int_arb1(7,1):int_arb1(7,2))-...
    y_per(int_per1(4,1))).^2));
if t_p4_p20p21 < delta_test_imp
    semn_omega3_per = 1;
    omega3_per = omega3_per_imp;
    plot(60,60,'r.');
    drawnow;
    pause(n_pauza);
end
% ***** Testare contact punct P12 cu suprafețele arborelui *****
% ***** Testarea contact P12 cu suprafața P18P19 (arbore5) *****
t_p12_p18p19 = sqrt(min((x_arb(int_arb1(5,1):int_arb1(5,2))-...
    x_per(int_per1(10,1))).^2 + (y_arb(int_arb1(5,1):int_arb1(5,2))-...
    y_per(int_per1(10,1))).^2));
delta_test_imp = sqrt(((x_pera(int_per1(10,1))-...
    x_per(int_per1(10,1))).^2 + (y_pera(int_per1(10,1))-...
    y_per(int_per1(10,1))).^2));
if t_p12_p18p19 < delta_test_imp
    semn_omega3_per = -1;
    omega3_per = omega3_per_imp;
    plot(60,60,'ro');
    drawnow;
    pause(n_pauza);
end

```

```

% ***** Testarea contact P12 cu suprafata P17P16 (arbore3) *****
t_p12_p17p16 = sqrt(min((x_arb(int_arb1(3,1):int_arb1(3,2)) -...
    x_per(int_per1(10,1))).^2 + (y_arb(int_arb1(3,1):int_arb1(3,2))-...
    y_per(int_per1(10,1))).^2));
if t_p12_p17p16 < delta_test_imp
    semn_omega3_per = -1;
    omega3_per = omega3_per_imp;
    plot(60,60,'ro');
    drawnow;
    pause(n_pauza);
end
% ***** Testarea contact P12 cu suprafata P15P22 (arbore1) *****
t_p12_p15p22 = sqrt(min((x_arb(int_arb1(1,1):int_arb1(1,2)) -...
    x_per(int_per1(10,1))).^2 + (y_arb(int_arb1(1,1):int_arb1(1,2))-...
    y_per(int_per1(10,1))).^2));
if t_p12_p15p22 < delta_test_imp
    semn_omega3_per = -1;
    omega3_per = omega3_per_imp;
    plot(60,60,'ro');
    drawnow;
    pause(n_pauza);
end
% ***** Testarea contact P12 cu suprafata P20P21 (arbore7) *****
t_p12_p20p21 = sqrt(min((x_arb(int_arb1(7,1):int_arb1(7,2)) -...
    x_per(int_per1(10,1))).^2 + (y_arb(int_arb1(7,1):int_arb1(7,2))-...
    y_per(int_per1(10,1))).^2));
if t_p12_p20p21 < delta_test_imp
    semn_omega3_per = -1;
    omega3_per = omega3_per_imp;
    plot(60,60,'ro');
    drawnow;
    pause(n_pauza);
end

```

```

% Testarea impactului intre percuror si arbore („test_impact3”)
% int_arb1 int_per1 x_arb y_arb x_per y_per
global delta_test_imp n_pauza

global semn_omega3_per omega3_per omega0_arb omega3_per_imp

% ***** Caz I - Impact Percutor - Arbore *****
%***** Testare contact punct P3 cu suprafetele arborelui *****
%***** Testarea contact P3 cu suprafata P17P16 (arbore3) *****
plot(60,60,'b.');
plot(60,60,'bo');
drawnow;
t_p3_p17p16 = sqrt(min((x_arb(int_arb1(3,1):int_arb1(3,2)) -...
    x_per(int_per1(3,1))).^2 + (y_arb(int_arb1(3,1):int_arb1(3,2))-...
    y_per(int_per1(3,1))).^2));
delta_test_imp = sqrt(((x_pera(int_per1(3,1)) -...
    x_per(int_per1(3,1))).^2 + (y_pera(int_per1(3,1)) -...

```

```

y_per(int_per1(3,1)).^2));
if t_p3_p17p16 < delta_test_imp
    semn_omega3_per = 1;
    omega3_per = omega3_per_imp;
    plot(60,60,'y.');
    drawnow;
    pause(n_pauza);
end
% ***** Testarea contact P3 cu suprafata P16P15 (arbore2) *****
t_p3_p16p15 = sqrt(min((x_arb(int_arb1(2,1):int_arb1(2,2))-...
    x_per(int_per1(3,1))).^2 + (y_arb(int_arb1(2,1):int_arb1(2,2))-...
    y_per(int_per1(3,1))).^2));
if t_p3_p16p15 < delta_test_imp
    semn_omega3_per = 1;
    %omega0_arb = 0;
    omega3_per = omega3_per_imp;
    plot(60,60,'y.');
    drawnow;
    pause(n_pauza);
end
% ***** Testarea contact P3 cu suprafata P19P20 (arbore6) *****
t_p3_p19p20 = sqrt(min((x_arb(int_arb1(6,1):int_arb1(6,2))-...
    x_per(int_per1(3,1))).^2 + (y_arb(int_arb1(6,1):int_arb1(6,2))-...
    y_per(int_per1(3,1))).^2));
if t_p3_p19p20 < delta_test_imp
    semn_omega3_per = 1;
    %omega0_arb = 0;
    omega3_per = omega3_per_imp;
    plot(60,60,'y.');
    drawnow;
    pause(n_pauza);
end
% ***** Testarea contact P3 cu suprafata P20P21 (arbore7) *****
t_p3_p20p21 = sqrt(min((x_arb(int_arb1(7,1):int_arb1(7,2))-...
    x_per(int_per1(3,1))).^2 + (y_arb(int_arb1(7,1):int_arb1(7,2))-...
    y_per(int_per1(3,1))).^2));
if t_p3_p20p21 < delta_test_imp
    semn_omega3_per = 1;
    omega3_per = omega3_per_imp;
    plot(60,60,'y.');
    drawnow;
    pause(n_pauza);
end
%***** Testare contact punct P13 cu suprafetele arborelui *****
%***** Testarea contact P13 cu suprafata P17P16 (arbore3) *****
t_p13_p17p16 = sqrt(min((x_arb(int_arb1(3,1):int_arb1(3,2))-...
    x_per(int_per1(11,1))).^2 + (y_arb(int_arb1(3,1):int_arb1(3,2))-...
    y_per(int_per1(11,1))).^2));
delta_test_imp = sqrt(((x_pera(int_per1(11,1))-...
    x_per(int_per1(11,1))).^2 + (y_pera(int_per1(11,1))-...
    y_per(int_per1(11,1))).^2));
if t_p13_p17p16 < delta_test_imp

```

```

semn_omega3_per = -1;
omega3_per = omega3_per_imp;
plot(60,60,'yo');
drawnow;
pause(n_pauza);
end
% ***** Testarea contact P13 cu suprafata P17P18 (arbore2) *****
t_p13_p17p18 = sqrt(min((x_arb(int_arb1(4,1):int_arb1(4,2))-...
    x_per(int_perl(11,1))).^2 + (y_arb(int_arb1(4,1):int_arb1(4,2))-...
    y_per(int_perl(11,1))).^2));
if t_p13_p17p18 < delta_test_imp
    semn_omega3_per = -1;
    %omega0_arb = 0;
    omega3_per = omega3_per_imp;
    plot(60,60,'yo');
    drawnow;
    pause(n_pauza);
end
% ***** Testarea contact P13 cu suprafata P21P22 (arbore6) *****
t_p13_p21p22 = sqrt(min((x_arb(int_arb1(8,1):int_arb1(8,2))-...
    x_per(int_perl(11,1))).^2 + (y_arb(int_arb1(8,1):int_arb1(8,2))-...
    y_per(int_perl(11,1))).^2));
if t_p13_p21p22 < delta_test_imp
    semn_omega3_per = -1;
    %omega0_arb = 0;
    omega3_per = omega3_per_imp;
    plot(60,60,'yo');
    drawnow;
end
% ***** Testarea contact P13 cu suprafata P20P21 (arbore7) *****
t_p13_p20p21 = sqrt(min((x_arb(int_arb1(7,1):int_arb1(7,2))-...
    x_per(int_perl(11,1))).^2 + (y_arb(int_arb1(7,1):int_arb1(7,2))-...
    y_per(int_perl(11,1))).^2));
if t_p13_p20p21 < delta_test_imp
    semn_omega3_per = -1;
    omega3_per = omega3_per_imp;
    plot(60,60,'yo');
    drawnow;
    pause(n_pauza);
end

```

```

% Testarea impactului intre percursor si arbore („test_impact4”)
% int_arb1 int_perl x_arb y_arb x_per y_per
global delta_test_imp n_pauza

global semn_omega3_per omega3_per omega0_arb omega3_per_imp
% ***** Caz II - Impact Arbore - Percursor *****
%***** Testare contact punct P17 cu suprafetele percursorului *****
%***** Testarea contact P17 cu suprafata P13P14 (percursor11) *****
plot(60,60,'b.');
plot(60,60,'bo');

```

```

drawnow;
t_p17_p13p14 = sqrt(min((x_per(int_perl(11,1):int_perl(11,2))-...
    x_arb(int_arb1(4,1))).^2 + (y_per(int_perl(11,1):int_perl(11,2))-...
    y_arb(int_arb1(4,1))).^2));
delta_test_imp = sqrt(((x_arba(int_arb1(4,1))-...
    x_arb(int_arb1(4,1))).^2 + (y_arba(int_arb1(4,1))-...
    y_arb(int_arb1(4,1))).^2));
if t_p17_p13p14 < delta_test_imp
    semn_omega3_per = -1;
    omega3_per = omega3_per_imp;
    plot(60,60,'c.');
    drawnow;
    pause(n_pauza);
end
% ***** Testarea contact P17 cu suprafața P12P13 (percuror10) *****
t_p17_p12p13 = sqrt(min((x_per(int_perl(10,1):int_perl(10,2))-...
    x_arb(int_arb1(4,1))).^2 + (y_per(int_perl(10,1):int_perl(10,2))-...
    y_arb(int_arb1(4,1))).^2));
if t_p17_p12p13 < delta_test_imp
    semn_omega3_per = -1;
    omega3_per = omega3_per_imp;
    plot(60,60,'c.');
    drawnow;
    pause(n_pauza);
end
%***** Testare contact punct P21 cu suprafetele percursorului *****
%***** Testarea contact P21 cu suprafața P13P14 (percuror11) *****
t_p21_p13p14 = sqrt(min((x_per(int_perl(11,1):int_perl(11,2))-...
    x_arb(int_arb1(8,1))).^2 + (y_per(int_perl(11,1):int_perl(11,2))-...
    y_arb(int_arb1(8,1))).^2));
delta_test_imp = sqrt(((x_arba(int_arb1(8,1))-...
    x_arb(int_arb1(8,1))).^2 + (y_arba(int_arb1(8,1))-...
    y_arb(int_arb1(8,1))).^2));
if t_p21_p13p14 < delta_test_imp
    semn_omega3_per = -1;
    omega3_per = omega3_per_imp;
    plot(60,60,'c.');
    drawnow;
    pause(n_pauza);
end
%***** Testarea contact P21 cu suprafața P12P13 (percuror11) *****
t_p21_p12p13 = sqrt(min((x_per(int_perl(10,1):int_perl(10,2))-...
    x_arb(int_arb1(8,1))).^2 + (y_per(int_perl(10,1):int_perl(10,2))-...
    y_arb(int_arb1(8,1))).^2));
if t_p21_p12p13 < delta_test_imp
    semn_omega3_per = -1;
    omega3_per = omega3_per_imp;
    plot(60,60,'c.');
    drawnow;
    pause(n_pauza);
end
%***** Testare contact punct P20 cu suprafetele percursorului *****

```

```

% ***** Testarea contact P20 cu suprafata P2P3 (percutor2) *****
t_p20_p2p3 = sqrt(min((x_per(int_per1(2,1):int_per1(2,2))-...
    x_arb(int_arb1(7,1))).^2 + (y_per(int_per1(2,1):int_per1(2,2))-...
    y_arb(int_arb1(7,1))).^2));
delta_test_imp = sqrt(((x_arba(int_arb1(7,1))-...
    x_arb(int_arb1(7,1))).^2 + (y_arba(int_arb1(7,1))-...
    y_arb(int_arb1(7,1))).^2));
if t_p20_p2p3 < delta_test_imp
    semn_omega3_per = 1;
    omega3_per = omega3_per_imp;
    plot(60,60,'co');
    drawnow;
    pause(n_pauza);
end
% ***** Testarea contact P20 cu suprafata P3P4 (percutor3) *****
t_p20_p3p4 = sqrt(min((x_per(int_per1(3,1):int_per1(3,2))-...
    x_arb(int_arb1(7,1))).^2 + (y_per(int_per1(3,1):int_per1(3,2))-...
    y_arb(int_arb1(7,1))).^2));
if t_p20_p3p4 < delta_test_imp
    semn_omega3_per = 1;
    omega3_per = omega3_per_imp;
    plot(60,60,'co');
    drawnow;
    pause(n_pauza);
end
%***** Testare contact punct P16 cu suprafetele percutorului *****
%***** Testarea contact P16 cu suprafata P2P3 (percutor2) *****
plot(60,60,'bo');
t_p16_p2p3 = sqrt(min((x_per(int_per1(2,1):int_per1(2,2))-...
    x_arb(int_arb1(3,1))).^2 + (y_per(int_per1(2,1):int_per1(2,2))-...
    y_arb(int_arb1(3,1))).^2));
delta_test_imp = sqrt(((x_arba(int_arb1(3,1))-...
    x_arb(int_arb1(3,1))).^2 + (y_arba(int_arb1(3,1))-...
    y_arb(int_arb1(3,1))).^2));
if t_p16_p2p3 < delta_test_imp
    semn_omega3_per = 1;
    omega3_per = omega3_per_imp;
    plot(60,60,'co');
    drawnow;
    pause(n_pauza);
end
%***** Testarea contact P20 cu suprafata P3P4 (percutor3) *****
t_p16_p3p4 = sqrt(min((x_per(int_per1(3,1):int_per1(3,2))-...
    x_arb(int_arb1(3,1))).^2 + (y_per(int_per1(3,1):int_per1(3,2))-...
    y_arb(int_arb1(3,1))).^2));
if t_p16_p3p4 < delta_test_imp
    semn_omega3_per = 1;
    omega3_per = omega3_per_imp;
    plot(60,60,'co');
    drawnow;
    pause(n_pauza);
end

```

Anexa 24.

% Calculul vitezei unghiulare momentane a arborelui și a perceptorului

```
%global perceptor_pol arbore_pol delta_s delta_test_imp n_pauza
```

```
%global int_arb1 int_per1 x_arb y_arb x_arba y_arba x_per y_per x_pera y_pera
```

```
global semn_omega3_per omega3_per omega0_arb timp_amortizare_arb timp_amortizare_per
```

% Calcul viteza unghiulara perceptor

```
if omega0_arb >= 0
    omega0_arb = omega0_arb - omega0_arb/timp_amortizare_arb;
end
if omega0_arb <= 0
    omega0_arb = 0;
end
```

% Calcul viteza unghiulara arbore

```
if omega3_per > 0
    omega3_per = omega3_per - omega3_per/timp_amortizare_per;
end
if omega3_per <= 0
    omega3_per = 0;
end
```

%gen_avi

```
aviobj = avifile('disp_pr_real_.avi')
for i=1:length(F)
    frame = F(i);
    aviobj = addframe(aviobj,frame);
end
aviobj = close(aviobj);
```

%Cerc_ext

```
x_cerc_ext = -47.5;
y_cerc_ext = -47.5;
w_cerc_ext = 95;
h_cerc_ext = 95;
x1_cerc_ext = 1;
y1_cerc_ext = 1;
axis equal;
rectangle('Position',[x,y,w,h],'Curvature',[x1,y1])
```

% Cerc_C3

```
x_cerc_c3 = -30;
y_cerc_c3 = -30;
w_cerc_c3 = 60;
h_cerc_c3 = 60;
x1_cerc_c3 = 1;
y1_cerc_c3 = 1;
axis equal;
```

Anexa 25

Succesiunea ciocnirilor suprafetelor și punctelor percutor-arbore în cazul dimensiunilor rezultate din proiectare

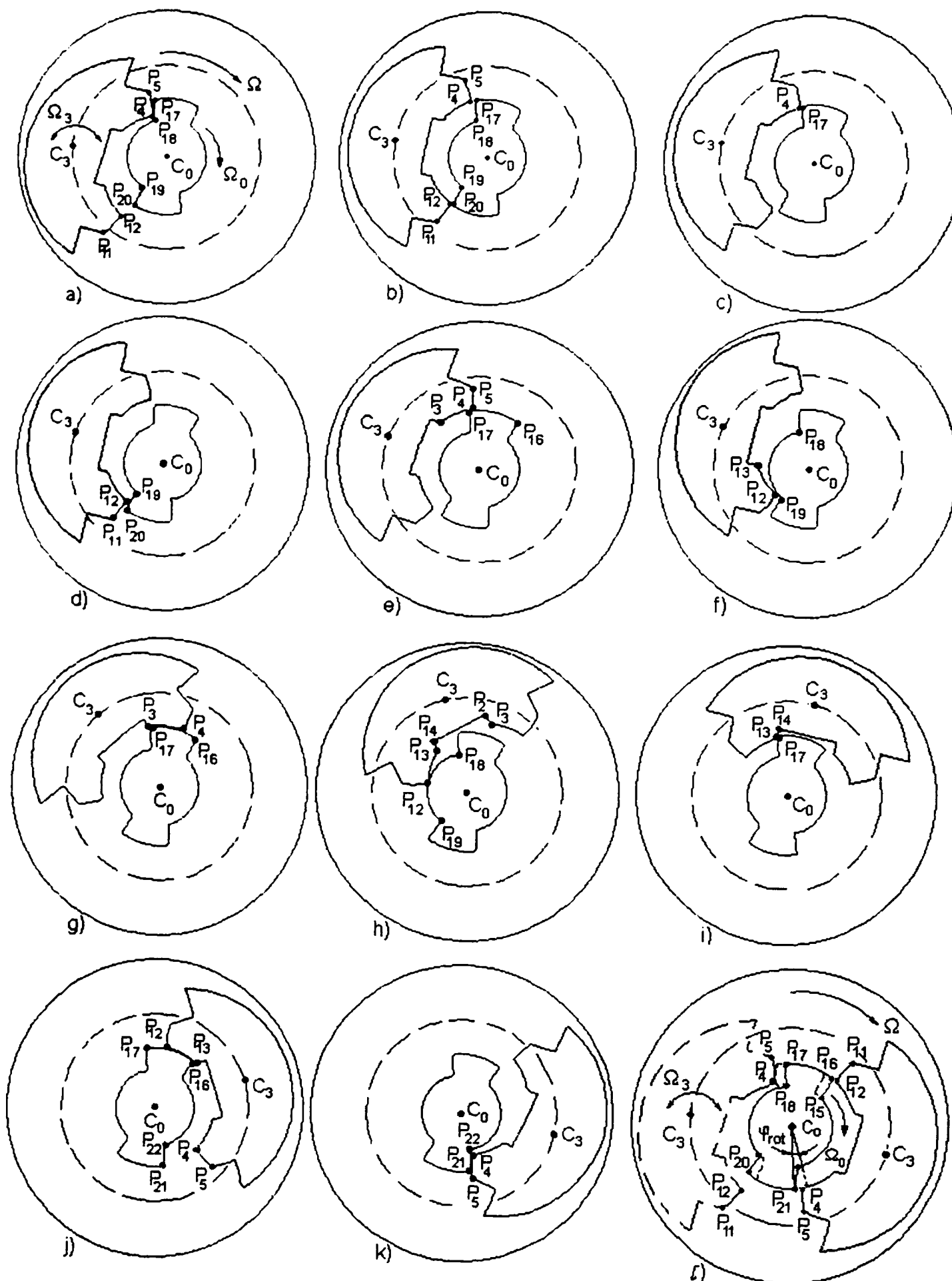


Fig. A.25. Succesiunea ciocnirilor percutor – arbore.

Anexa 26

Succesiunea ciocnirilor suprafețelor și punctelor percutor-arbore în cazul percutorului asymmetric rezultat prin scurtarea coordonatelor punctului P_{12}

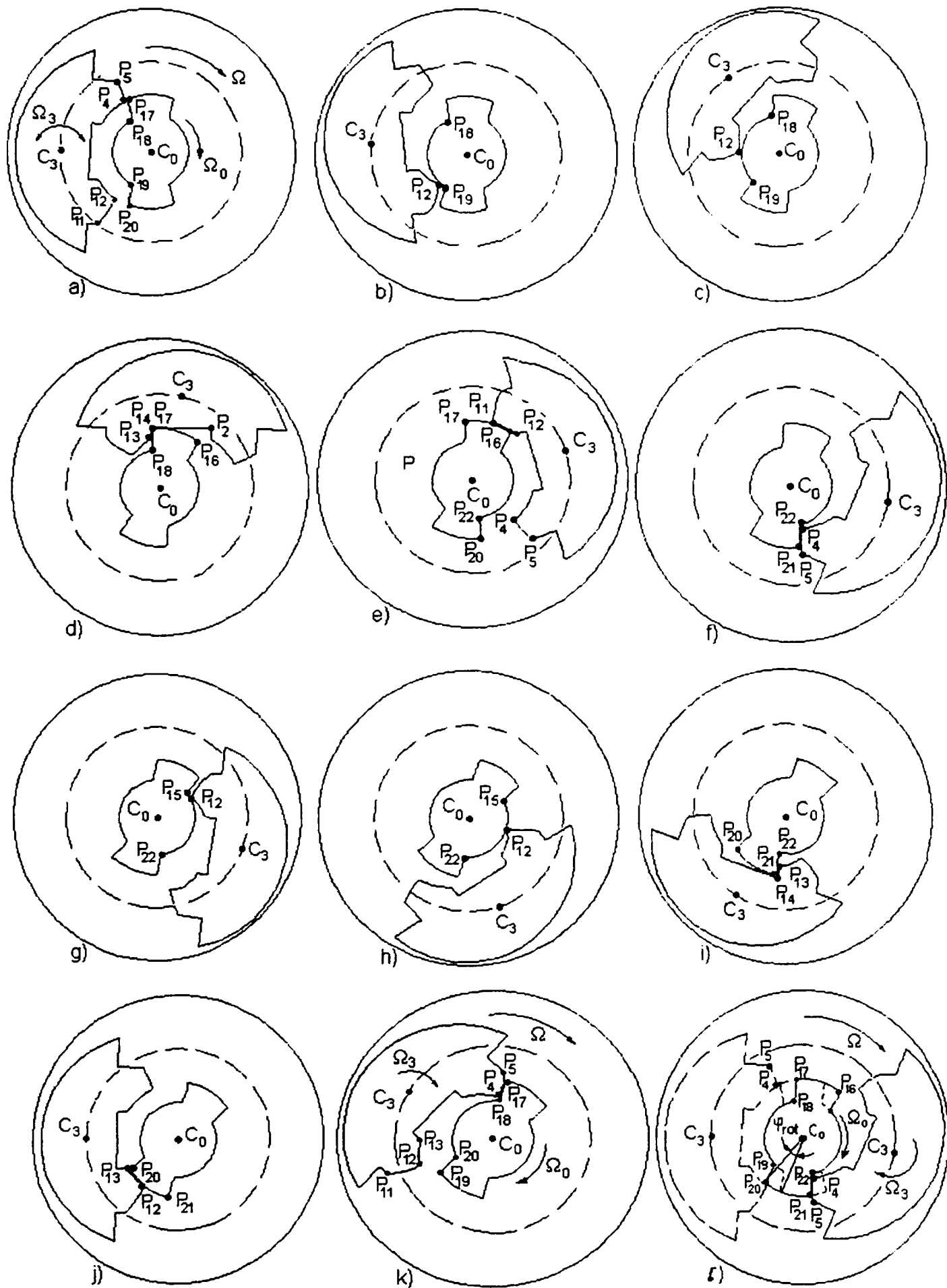


Fig. A. 26. Succesiunea ciocnirilor percutor – arbore cu percutor reprojecțat

Anexa 27.

Succesiunea ciocnirilor suprafețelor și punctelor percutor-arbore în cazul percutorului asimetric nefuncțional rezultat prin scurtarea coordonatelor punctului P_{12} mai mult decât trebuie

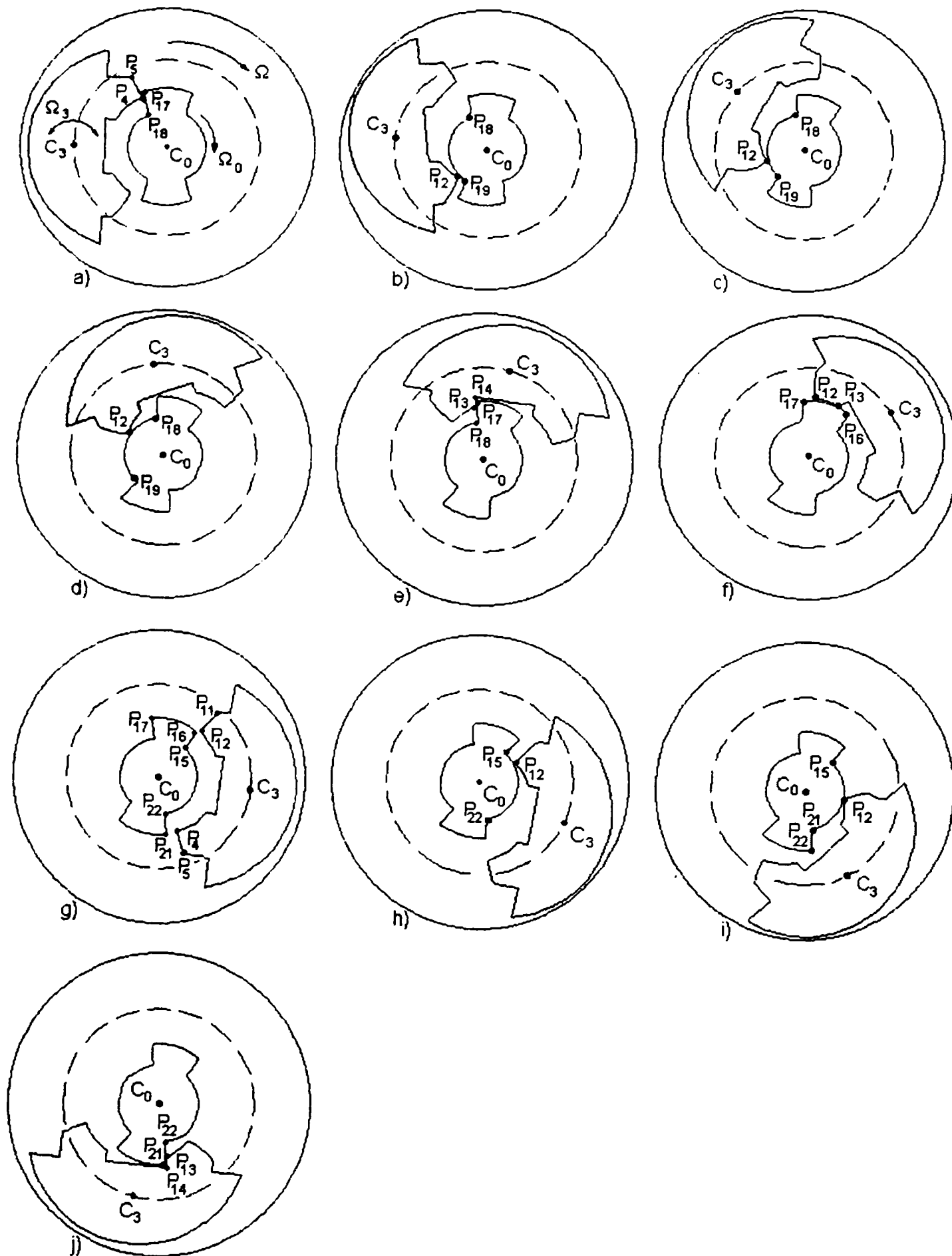


Fig. A.27. Succesiunea ciocnirilor percutor – arbore în cazul scurtării greșite a percutorului.

Anexa 28.

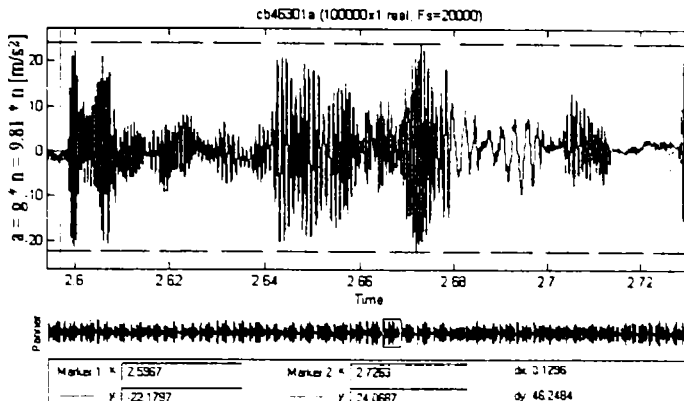
Diagrame accelerării înregistrate pe arborele dispozitivului în două situații: cu dispozitivul blocat (găurire normală) și cu dispozitivul neblocat (găurire vibropercutantă)

Fig. A. 28. 1 (cb. 463. 01a)

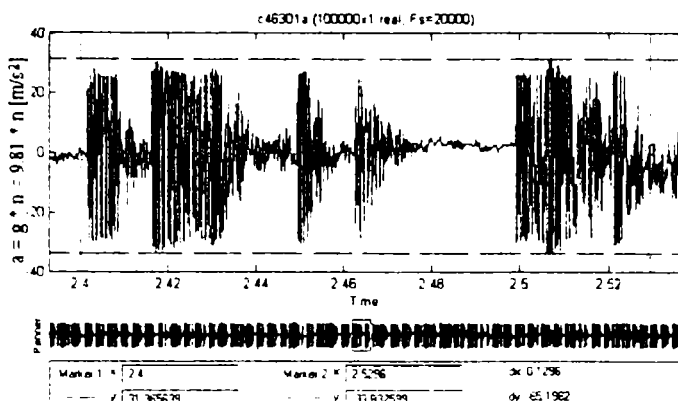


Fig. A. 28. 2 (c. 463. 01a)

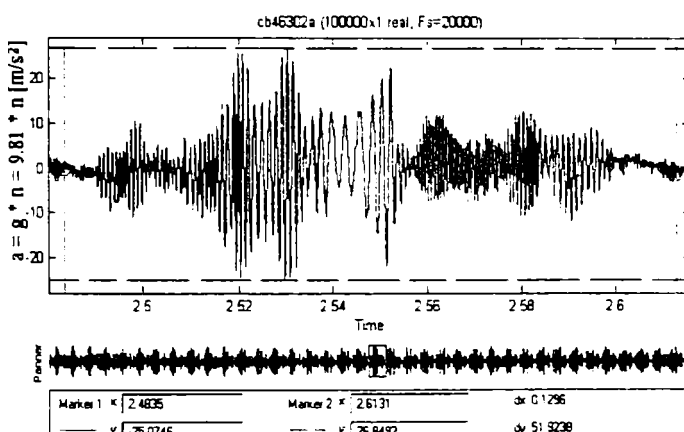


Fig. A. 28. 3. (cb. 463. 02a)

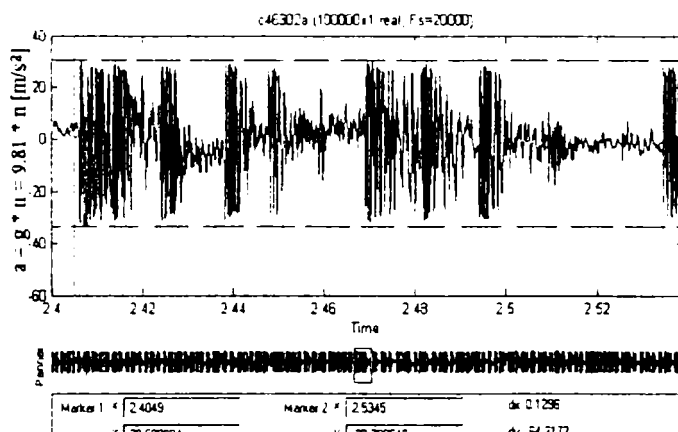


Fig. A. 28. 4 (c. 463. 02a)

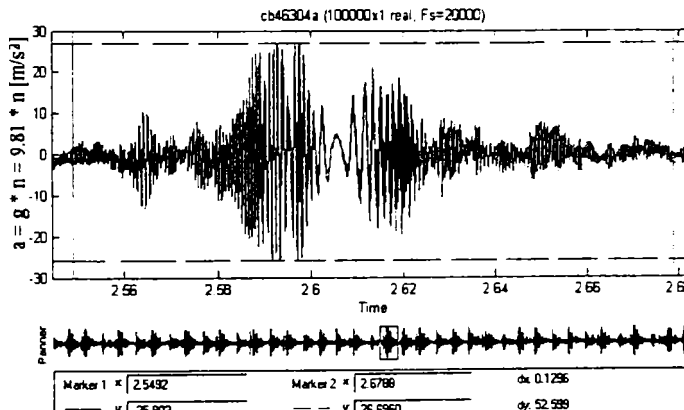


Fig. A. 28. 5 (cb. 463. 04a)

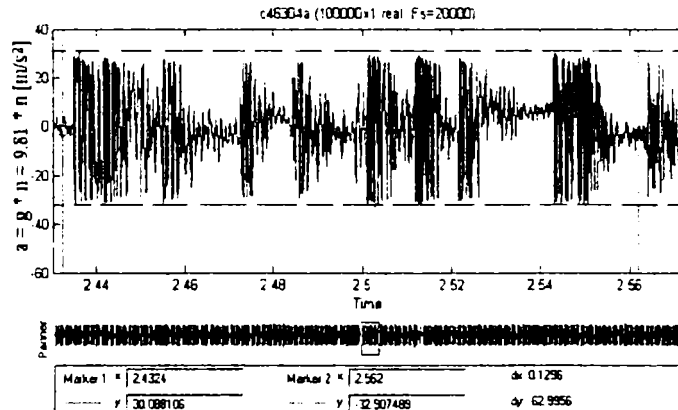


Fig. A. 28. 6. (c. 463. 04a)

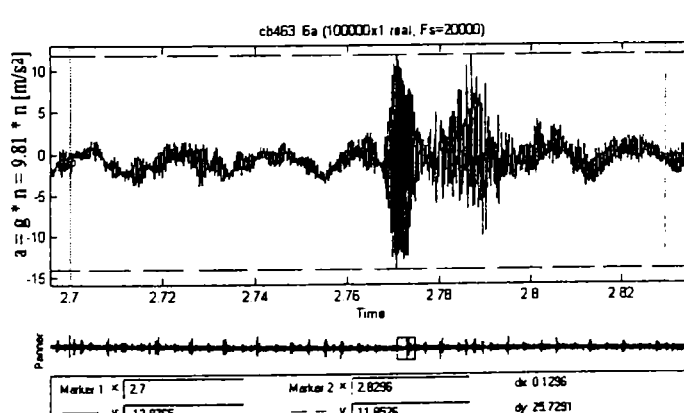


Fig. A. 28. 7. (cb. 463. 06a)

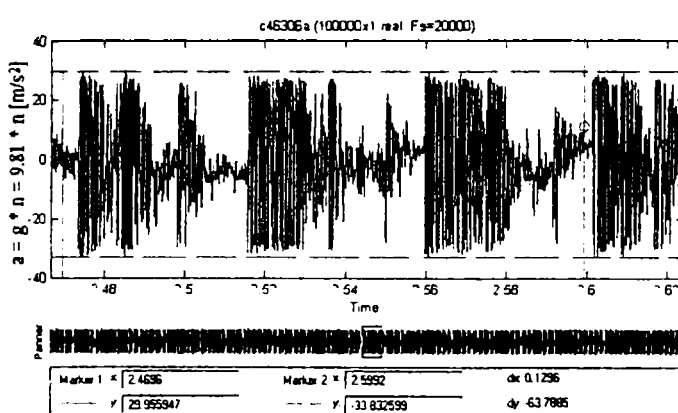


Fig. . A. 28. 8. (c. 463. 06a)

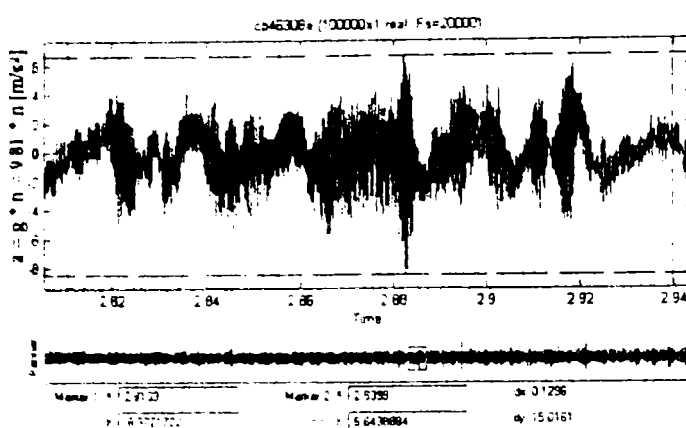


Fig. A.28. 9. (cb. 463. 08a)

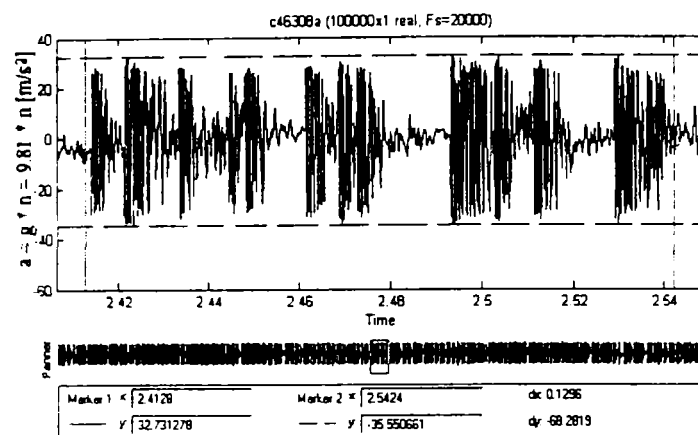


Fig. A.28. 10. (c. 463. 08a)

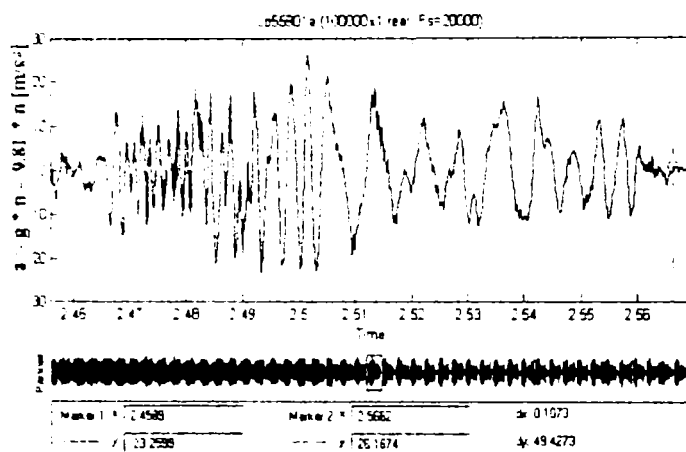


Fig. A.28. 11. (cb. 559. 01a)

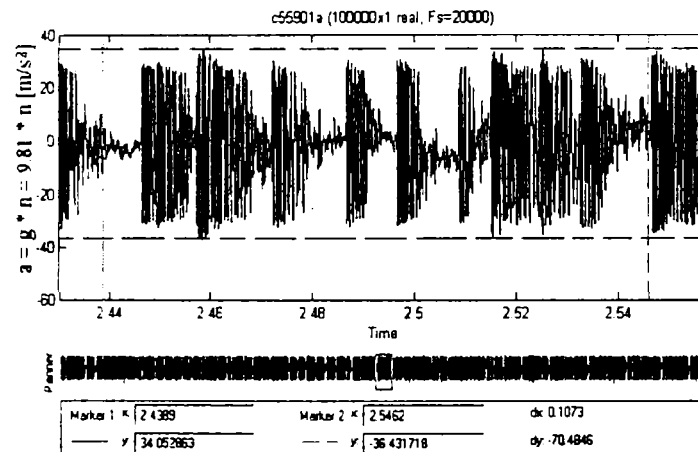


Fig. A.28. 12 (c. 559. 01a)

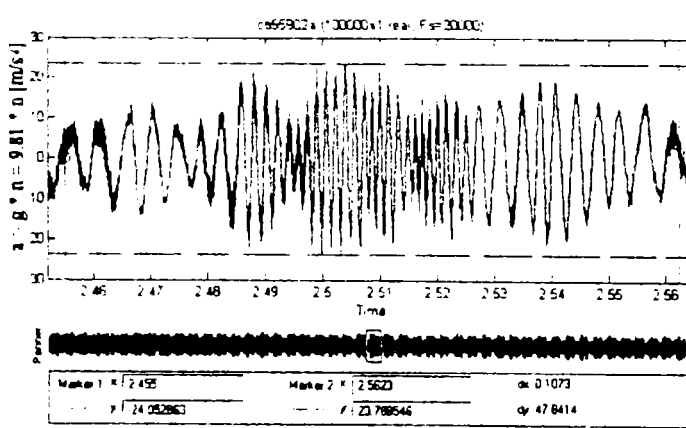


Fig. A.28. 13. (cb. 559. 02a)

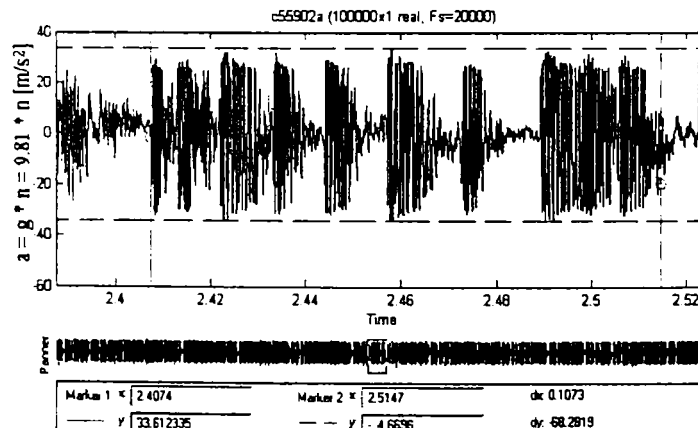


Fig. A.28. 14. (c. 559. 02a)

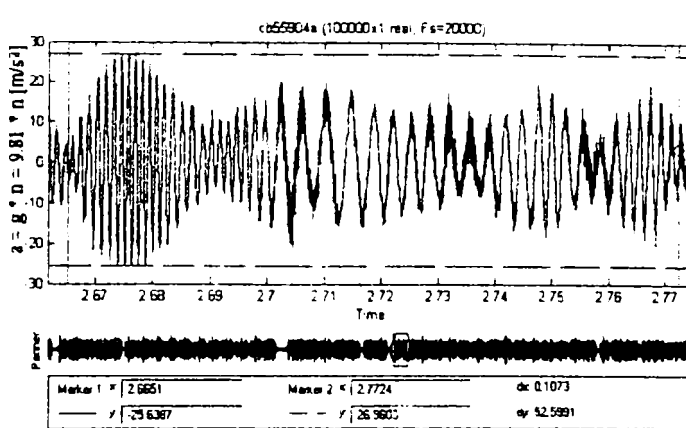


Fig. A.28. 15. (cb. 559. 04a)

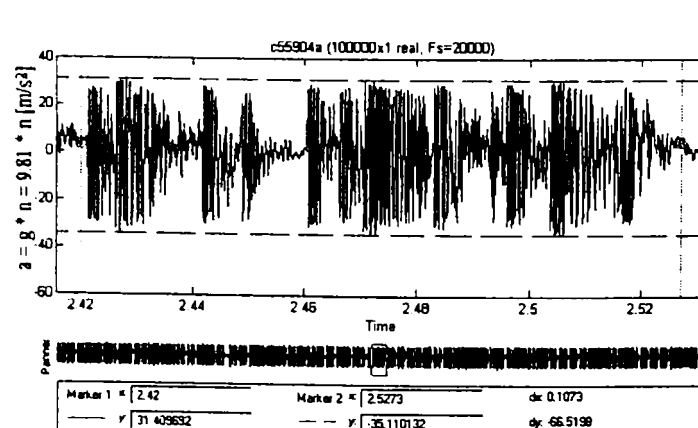


Fig. A.28. 16 (c. 559. 04a)

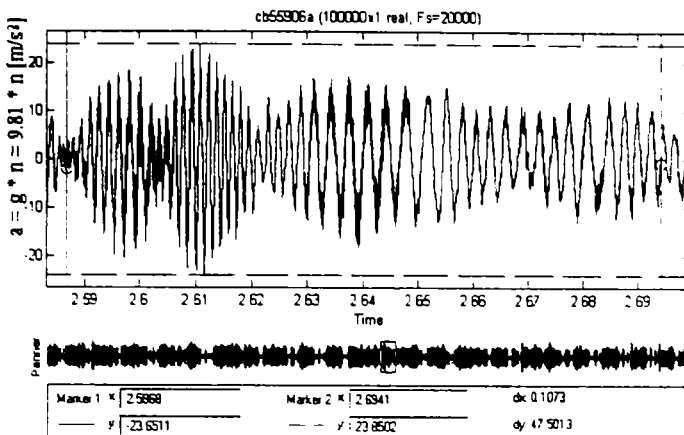


Fig. A.28. 17. (cb. 559. 06a)

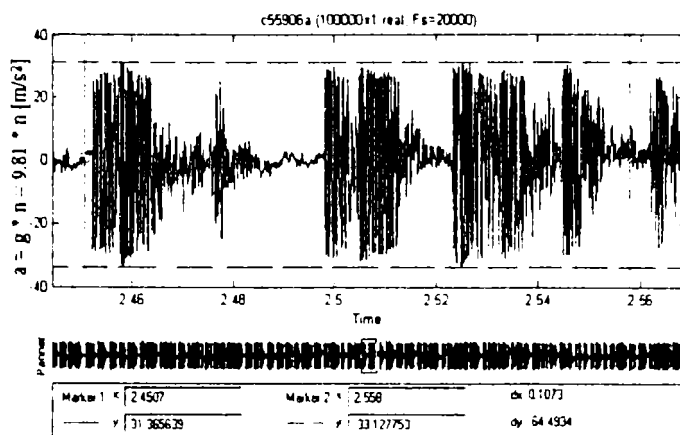


Fig. A.28. 18. (c. 559. 06a)

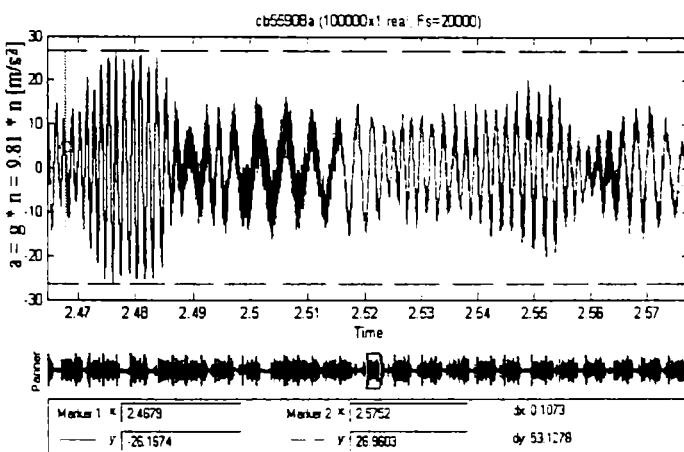


Fig. A.28. 19. (cb. 559. 08a)

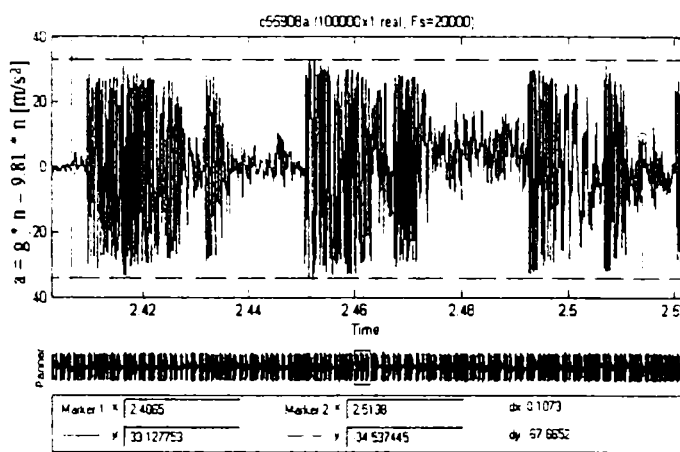


Fig. A.28. 20. (c. 559. 08a)

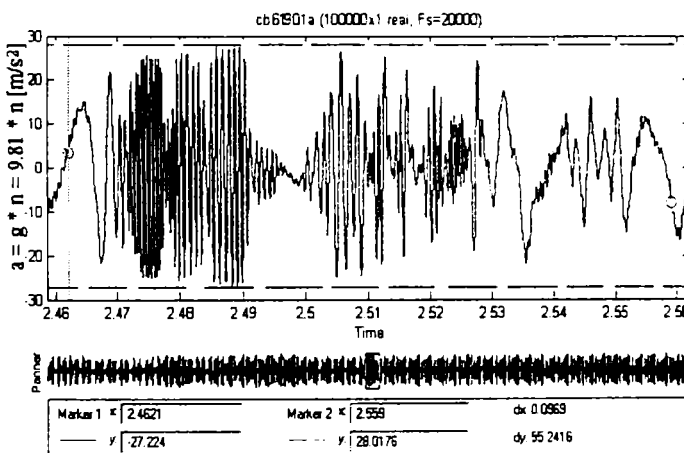


Fig. A.28. 21. (cb. 619. 01a)

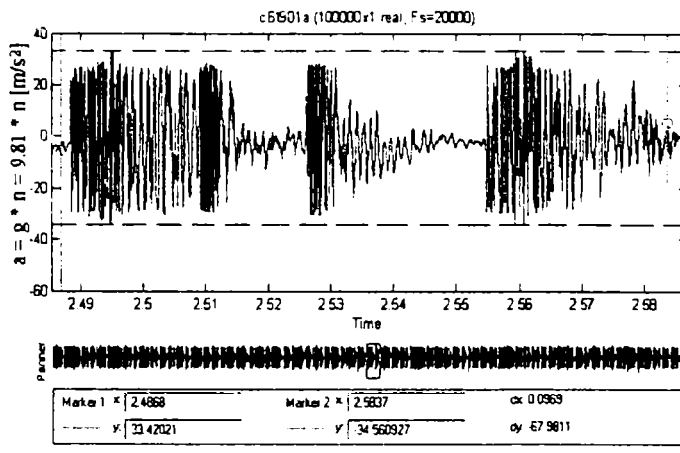


Fig. A.28. 22 (c. 619. 01a)

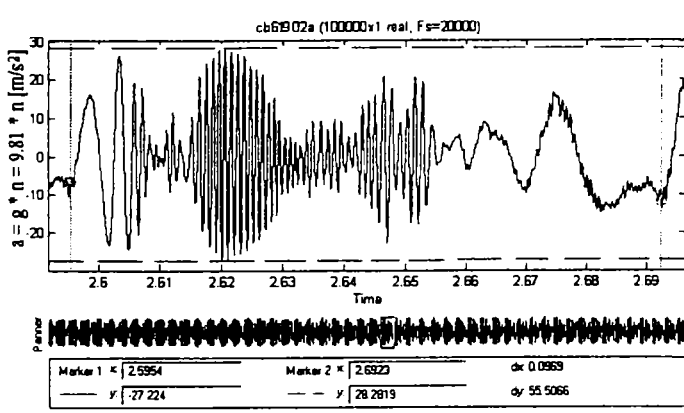


Fig. A.28. 23. (cb. 619. 02a)

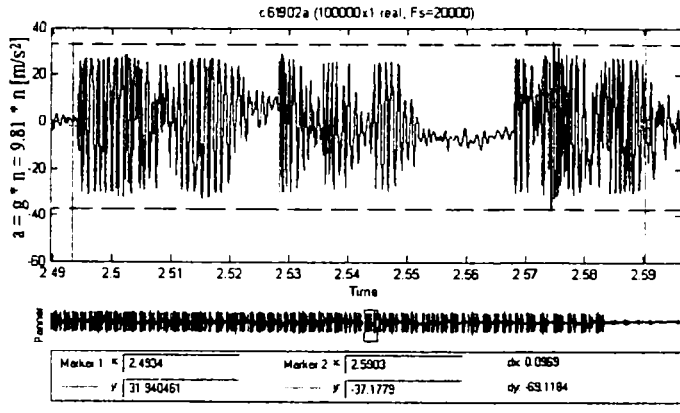


Fig. A.28. 24. (c. 619. 02a)

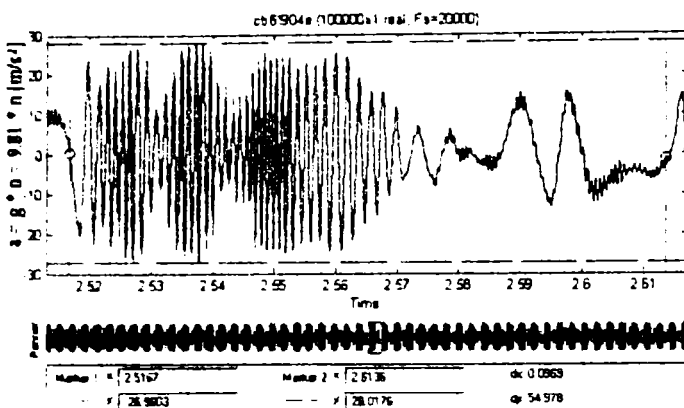


Fig. A.28. 25. (cb. 619. 04a)

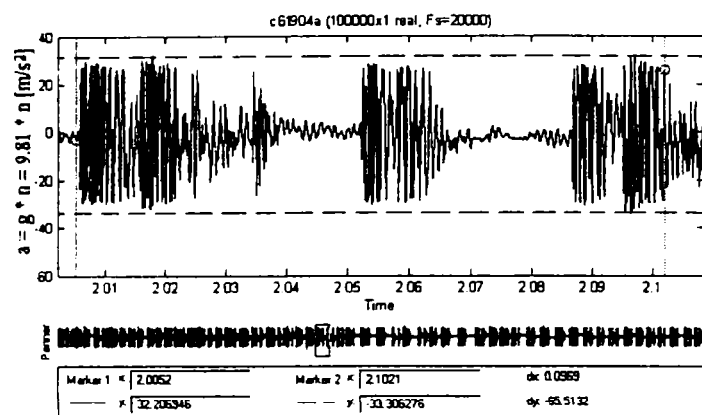


Fig. A.28. 26. (c.619. 04a)

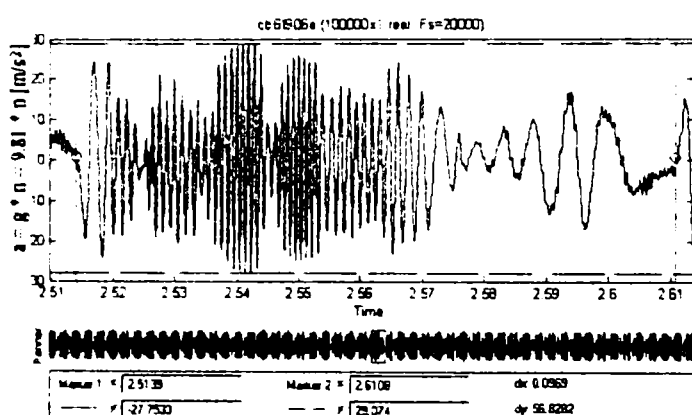


Fig. A.28. 27. (cb. 619. 06a)

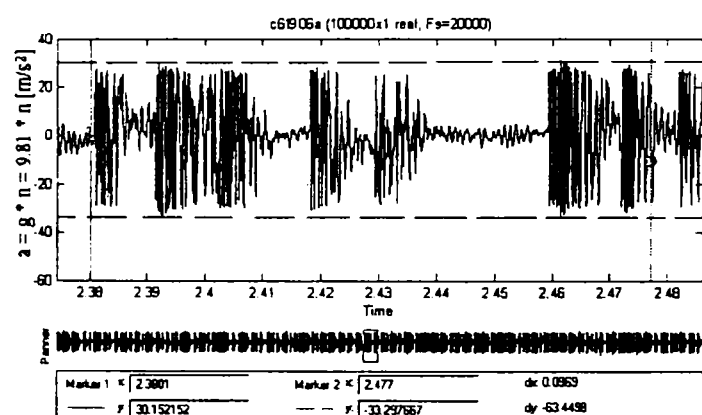


Fig. A.28. 28. (c.619. 06a)

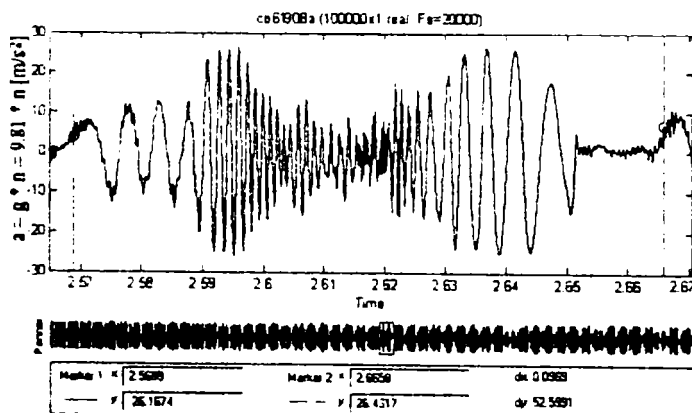


Fig. A.28. 29. (cb. 619. 08a)

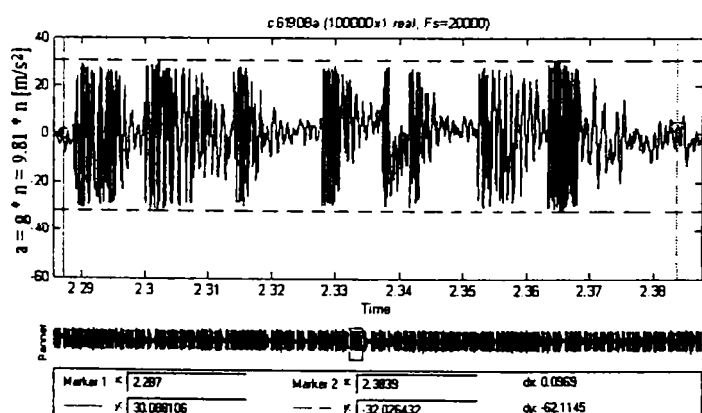


Fig. A.28. 30. (c.619. 08a)

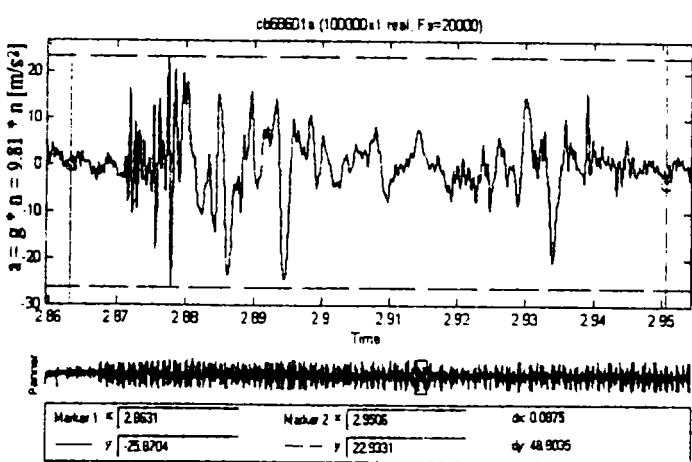


Fig. A.28. 31. (cb. 686. 01a)

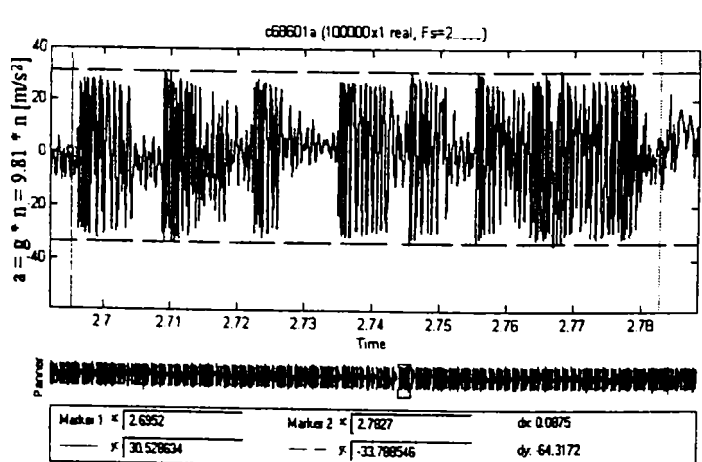


Fig. A.28. 32. (c. 686. 01a)

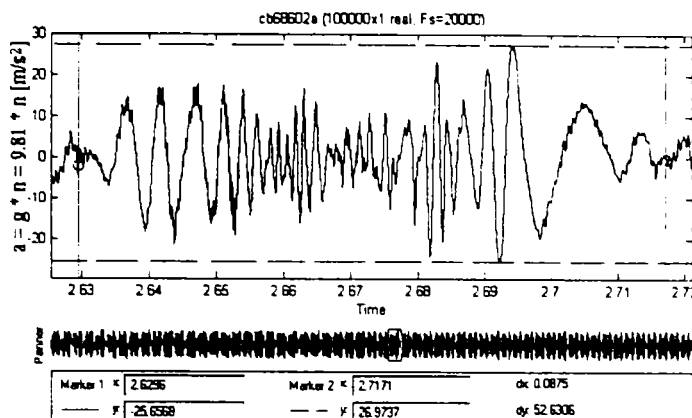


Fig. A.28. 33. (cb. 686. 02a)

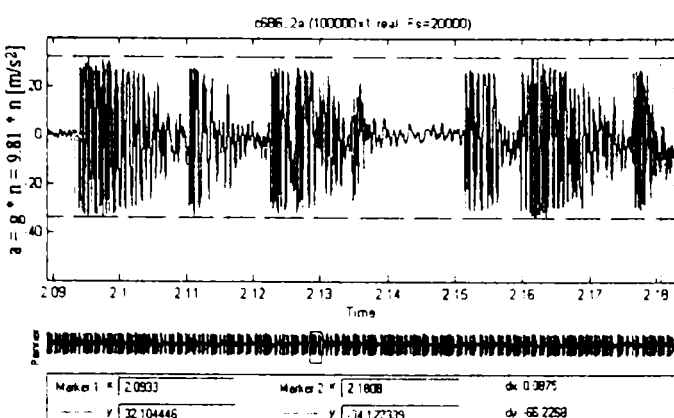


Fig. A.28. 34. (c. 686. 02a)

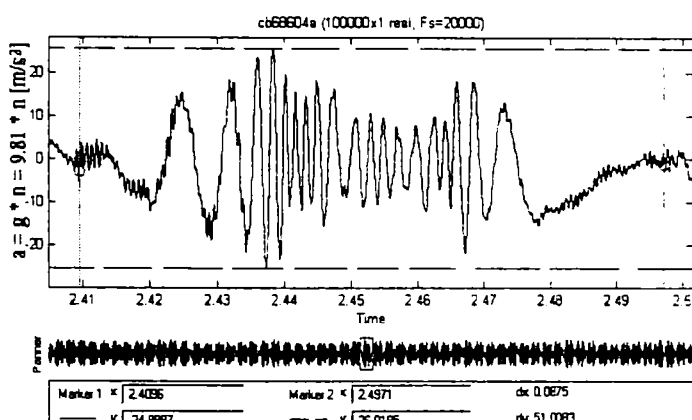


Fig. A.28. 35. (cb. 686. 04a)

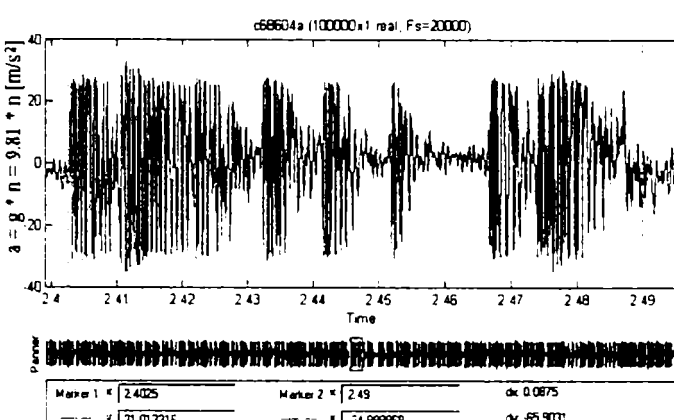


Fig. A.28. 36. (c. 686. 04a)

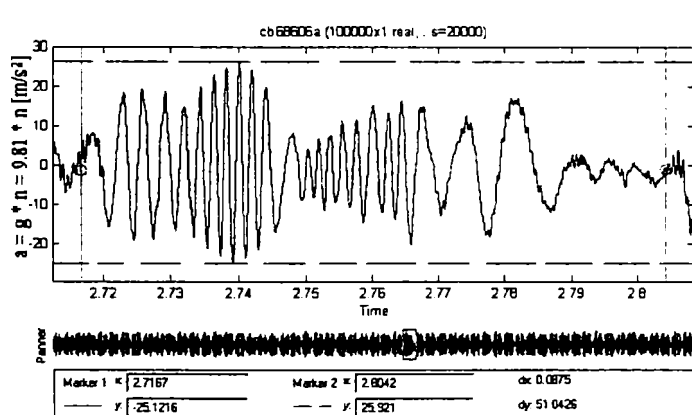


Fig. A.28. 37. (cb. 686. 06a)

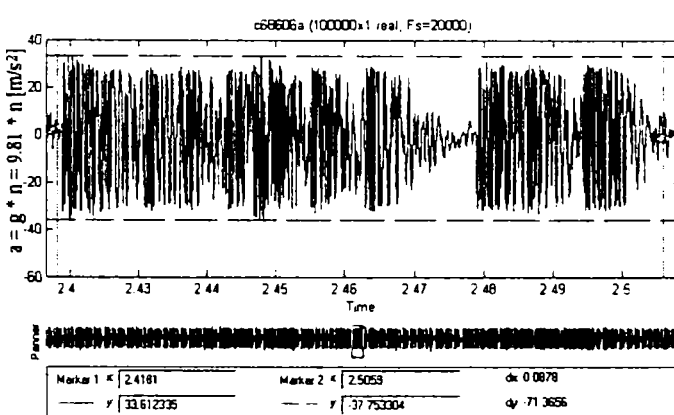


Fig. A.28. 38. (c. 686. 06a)

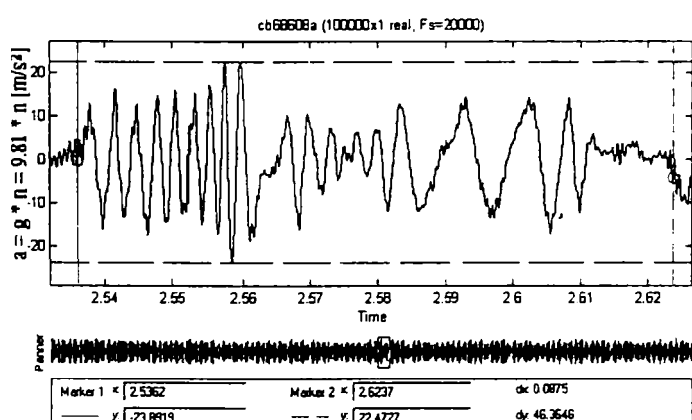


Fig. A.28. 39. (cb. 686. 08a)

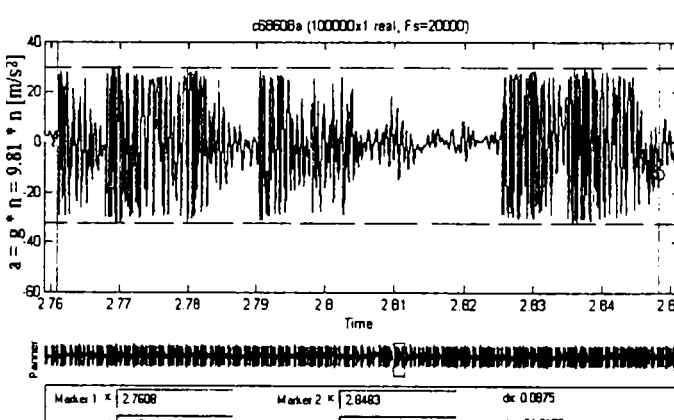


Fig. A.28. 40. (c. 686. 08a)

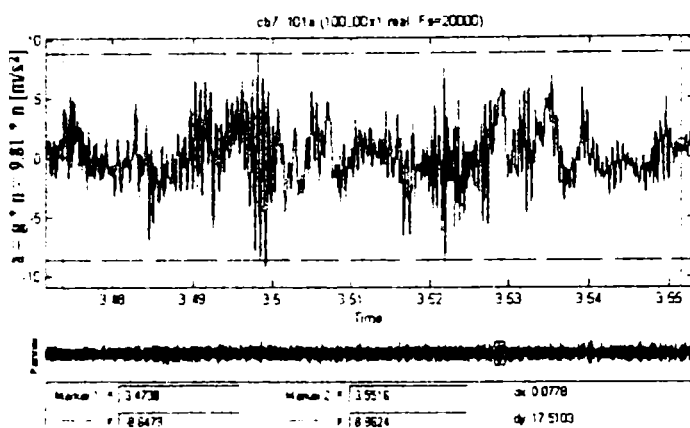


Fig. A.28. 41. (cb. 771. 01a)

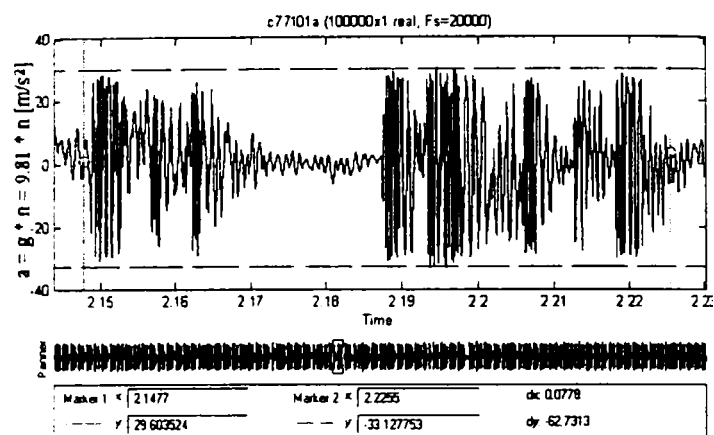


Fig. A.28. 42. (c. 771. 01a0)

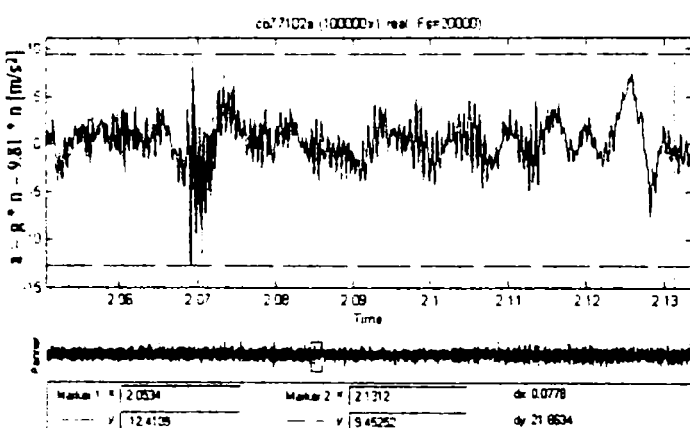


Fig. A.28. 43. (cb. 771. 02a)

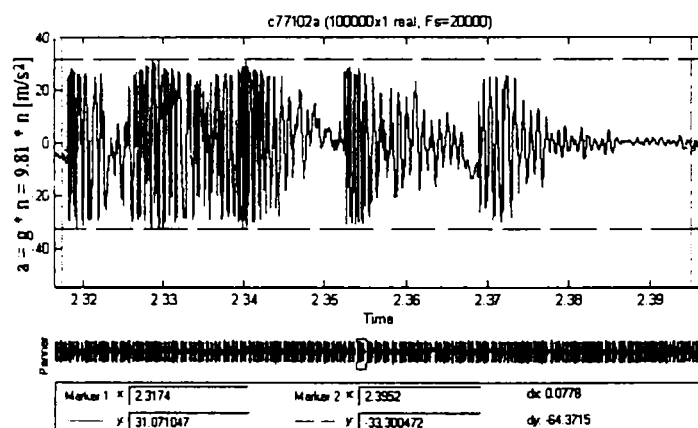


Fig. A.28. 44. (c. 771. 02a)

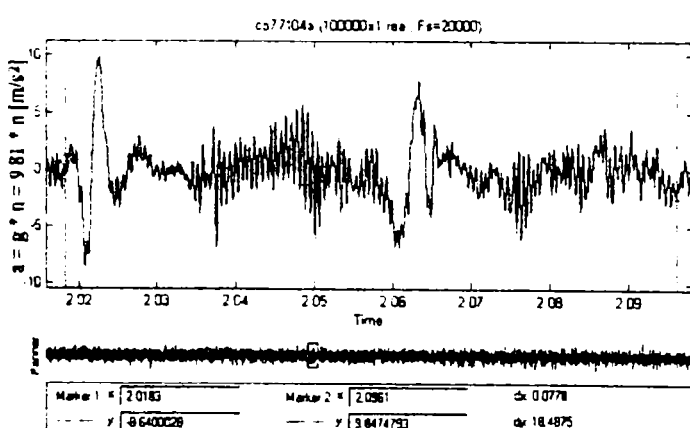


Fig. A.28. 45. (cb. 771. 04a)

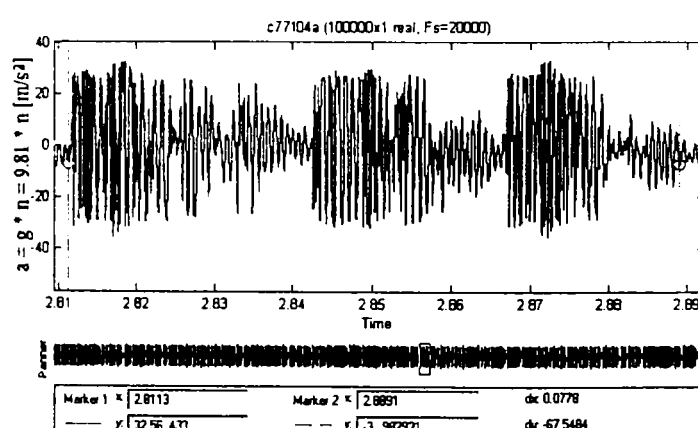


Fig. A.28. 46. (c. 771. 04a)

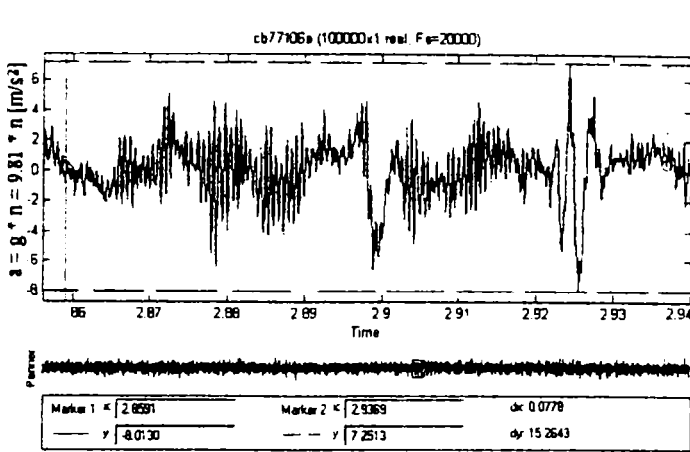


Fig. A.28. 47. (cb. 771. 06a)

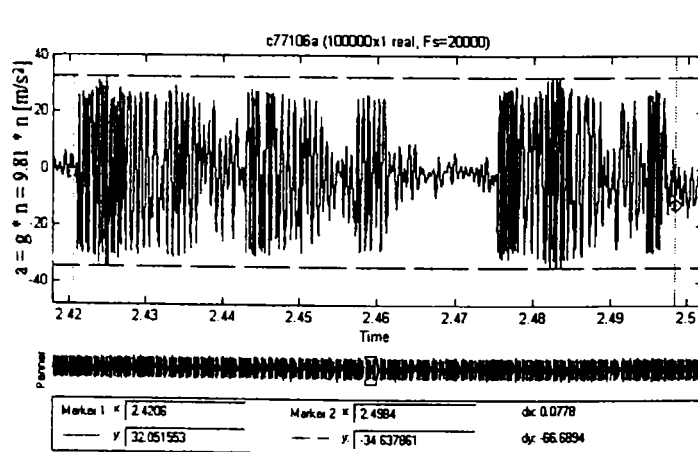


Fig. A.28. 48. (c. 771. 06a)

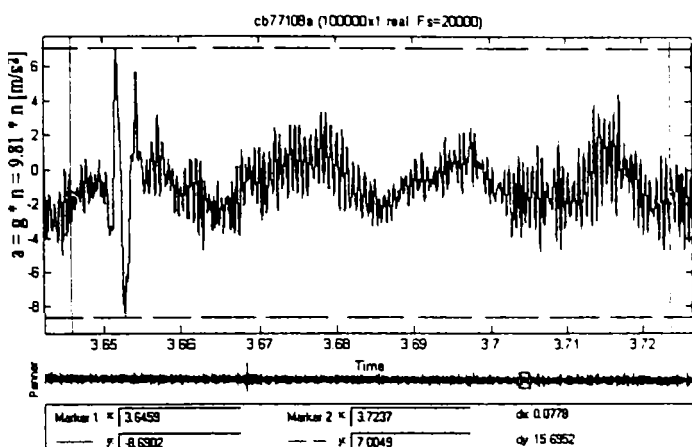


Fig. A.28. 49. (cb. 771. 08a)

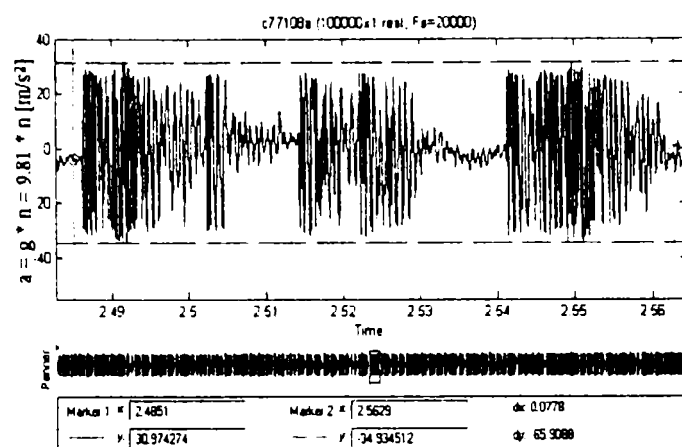


Fig. A.28. 50. (c. 771. 08a)

Notă. Semnificația notațiilor din paranteză:

- primele trei cifre reprezintă turăriile arborelui mașinii-anelte, [rot/min];
- următoarele două cifre reprezintă viteza de avans, [mm/min];
- cb - aşchiere obișnuită;
- c - aşchiere vibropercutantă;
- a - măsurare accelerării.

Anexa 29.

Diagrame accelerării măsurate pe universal cu dispozitivul blocat (cb) și neblocat (c)

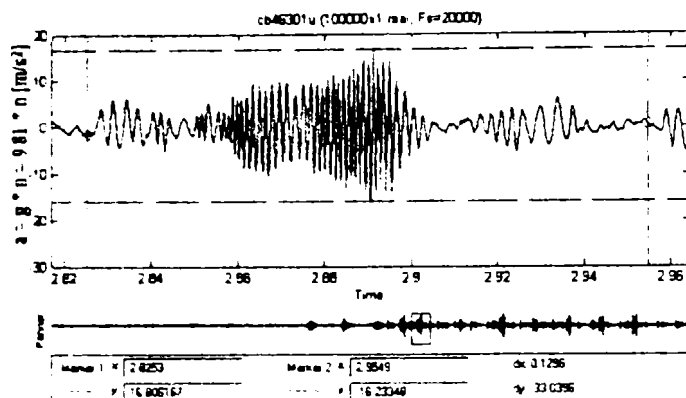


Fig. A.29. 1. (cb. 463. 01u)

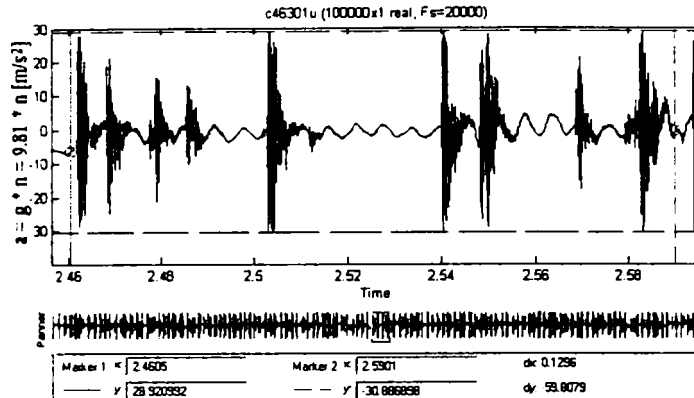


Fig. A.29. 2. (c. 463. 01u)

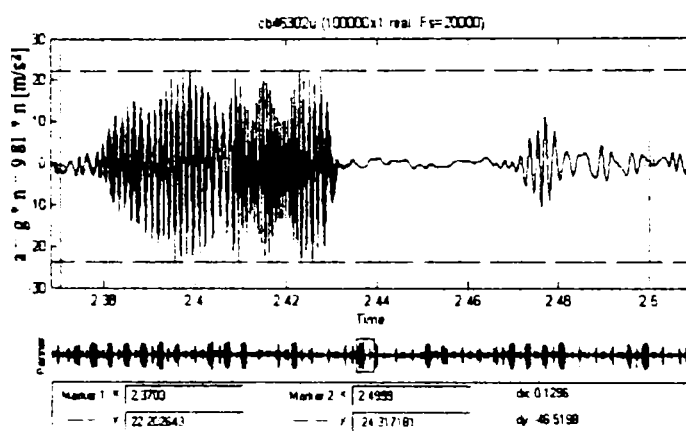


Fig. A.29. 3. (cb. 463. 02u)

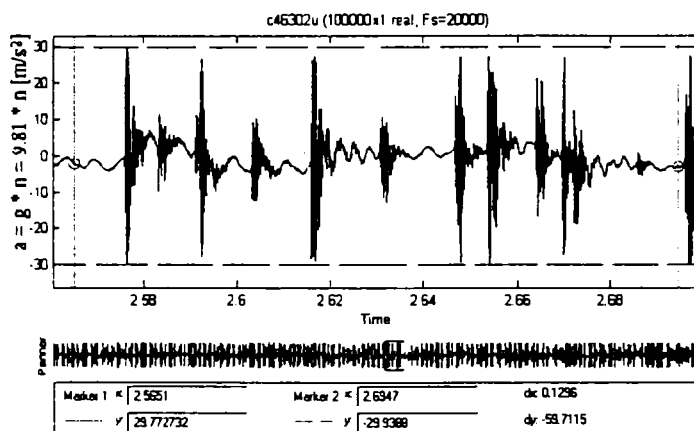


Fig. A.29. 4. (c. 463. 02u)

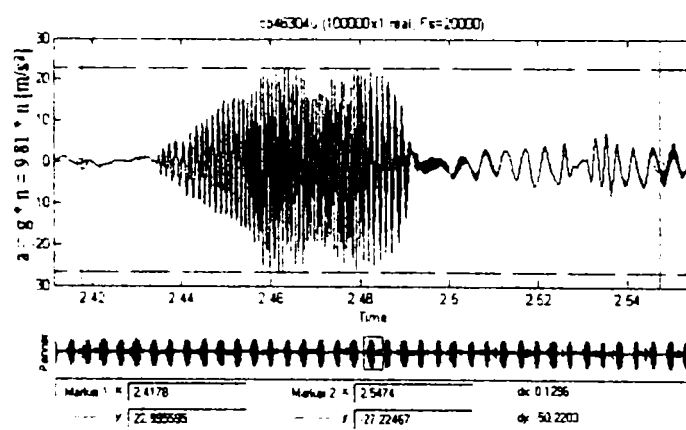


Fig. A.29. 5. (cb. 463. 04u)

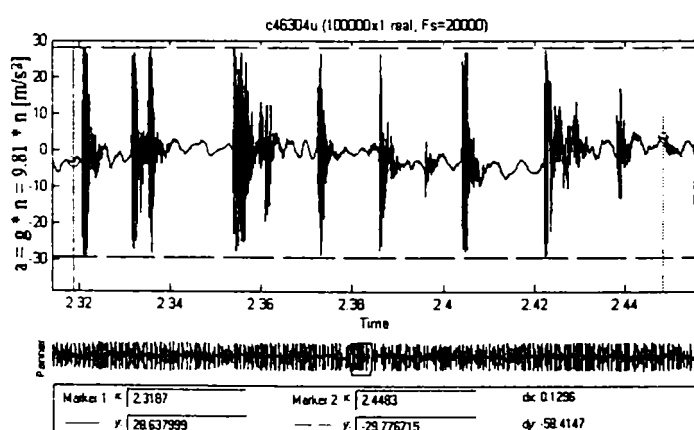


Fig. A.29. 6. (c. 463. 04u0)

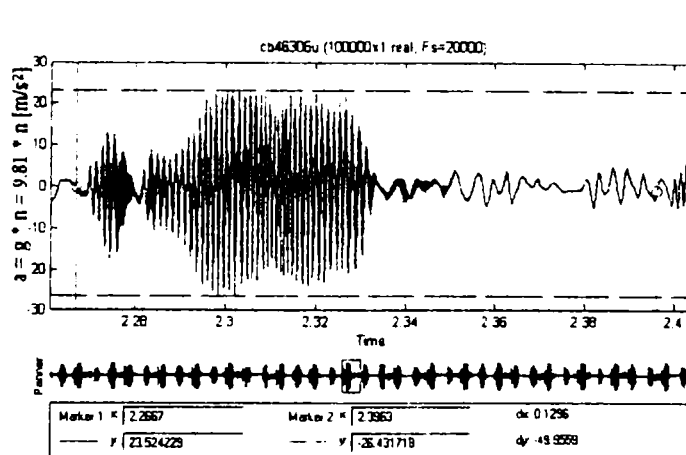


Fig. A.29. 7. (cb. 463. 06u)

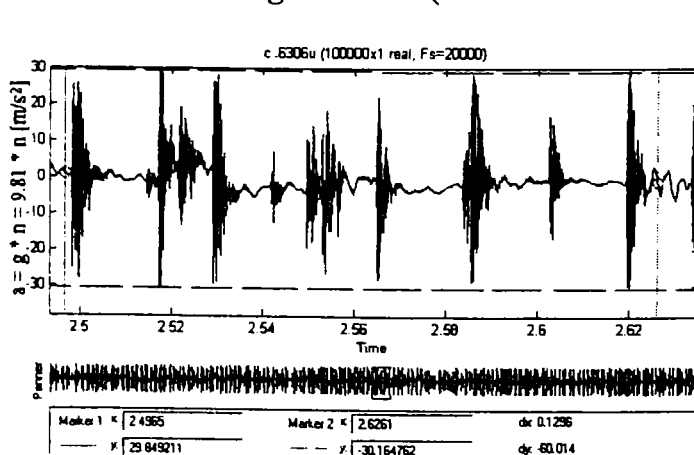


Fig. A.29. 8. (c. 463. 06u0)

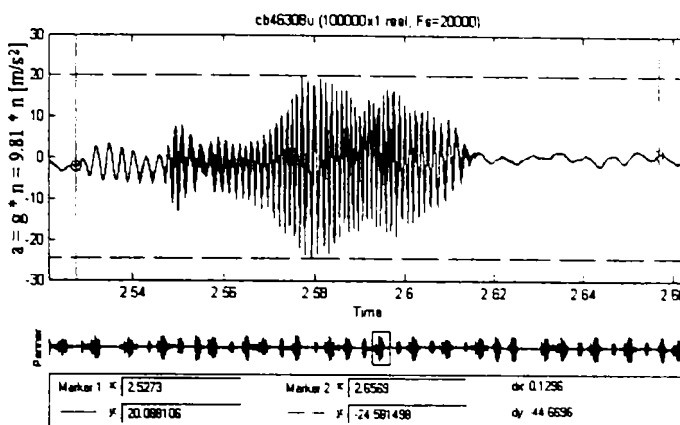


Fig. A.29. 9. (cb. 463. 08u)

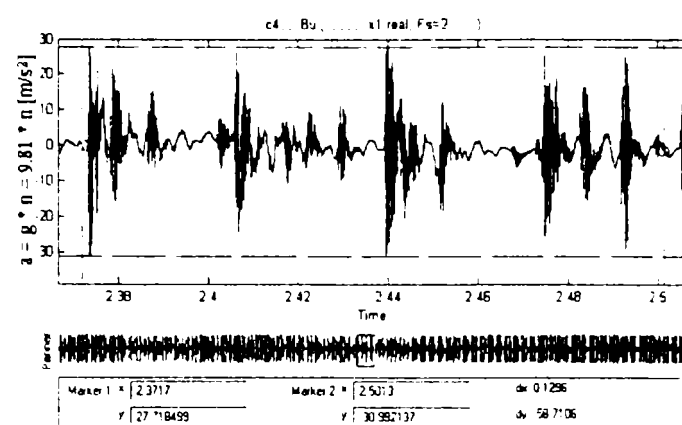


Fig. A.29. 10. (c. 463. 08u)

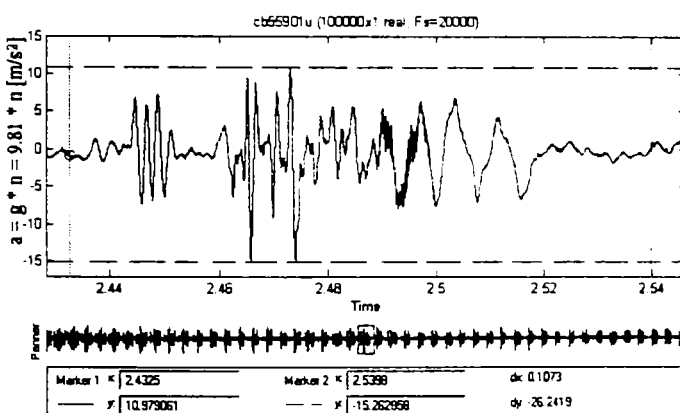


Fig. A.29. 11. (cb. 559. 01u)

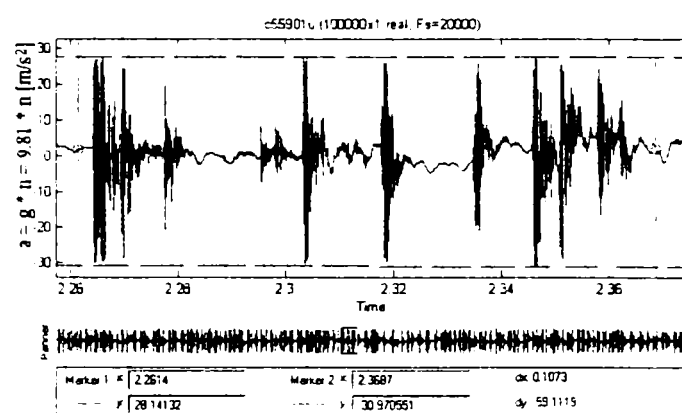


Fig. A.29. 12. (c. 559. 01u)

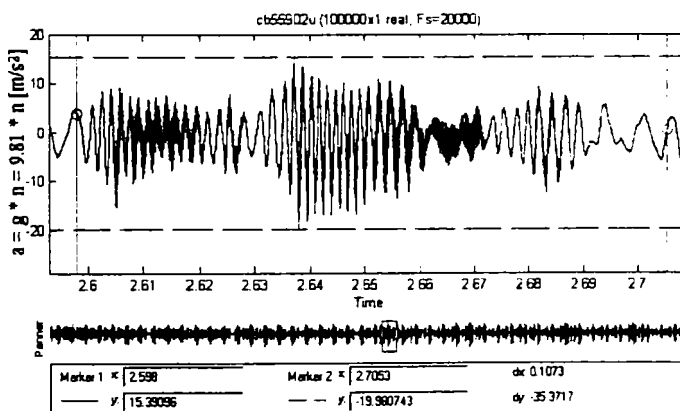


Fig. A.29. 13. (cb. 559. 02u)

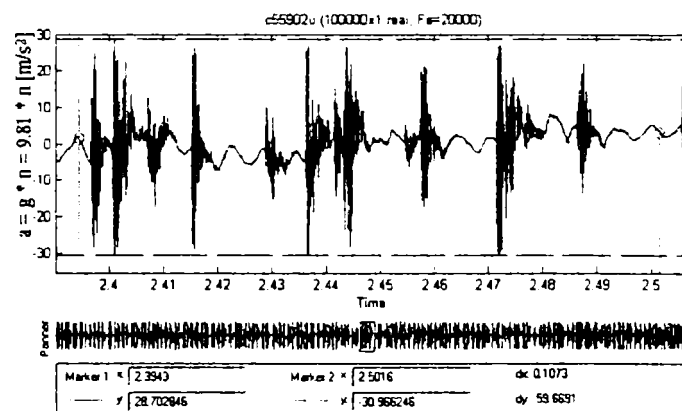


Fig. A.29. 14. (c. 559. 02u)

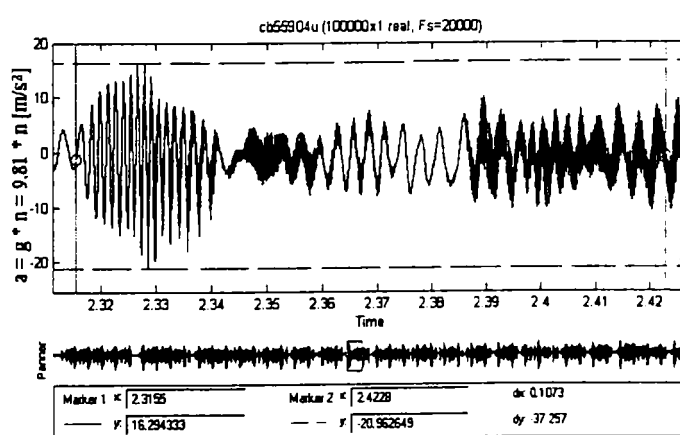


Fig. A.29. 15. (cb. 559. 04u)

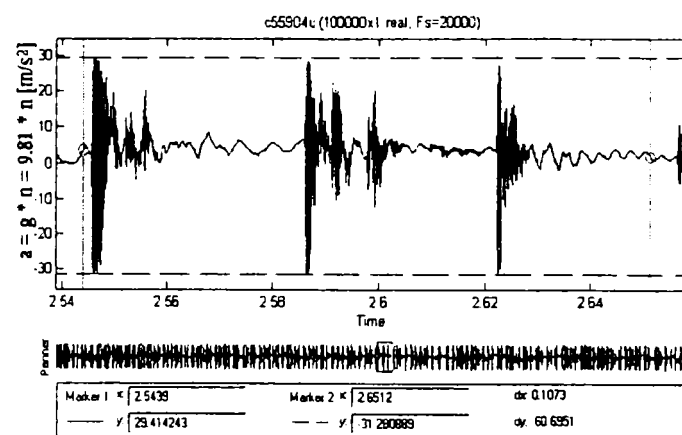


Fig. A.29. 16. (c. 559. 04u)

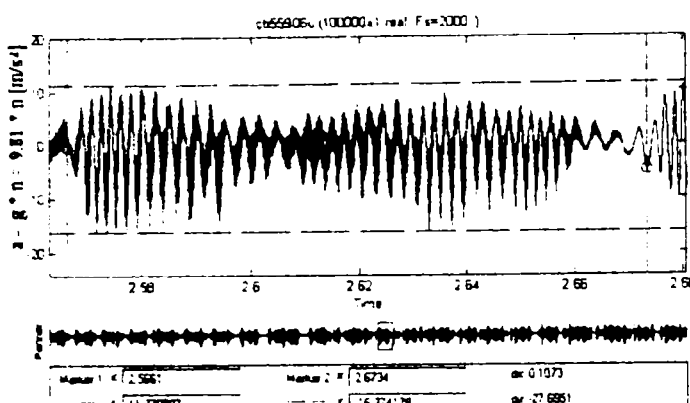


Fig. A.29. 17. (cb. 559. 06u)

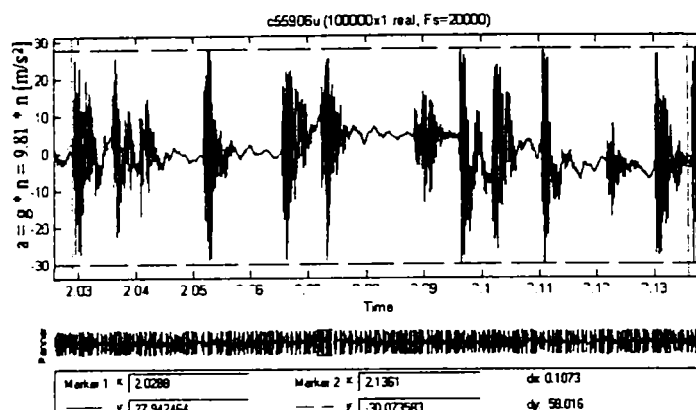


Fig. A.29. 18. (c.559. 06u)

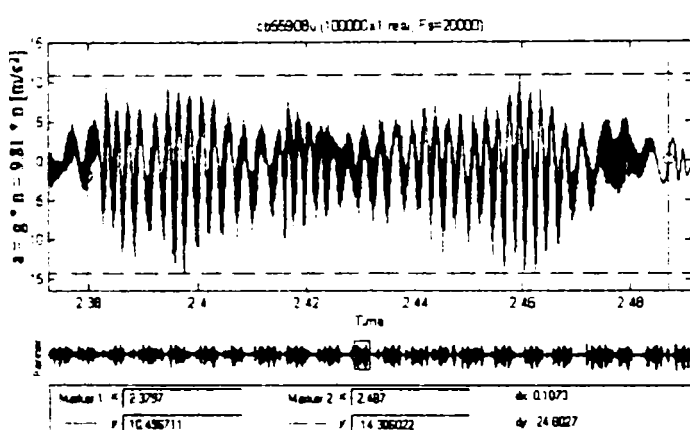


Fig. A.29. 19. (cb. 559. 08u)

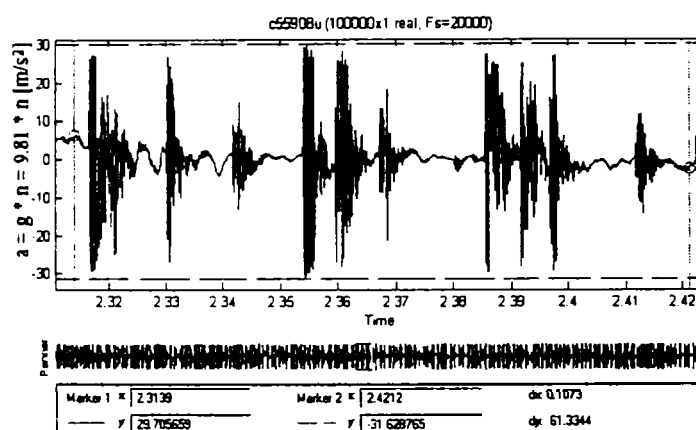


Fig. A.29. 20. (c.559. 08u)

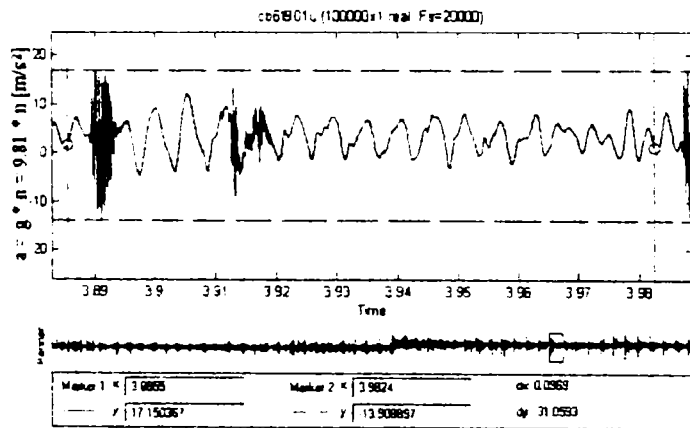


Fig. A.29. 21. (cb. 619. 01u)

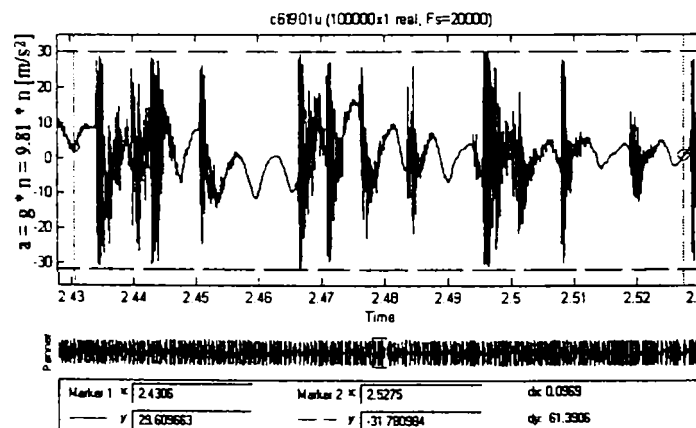


Fig. A.29. 22. (c.619. 01u)

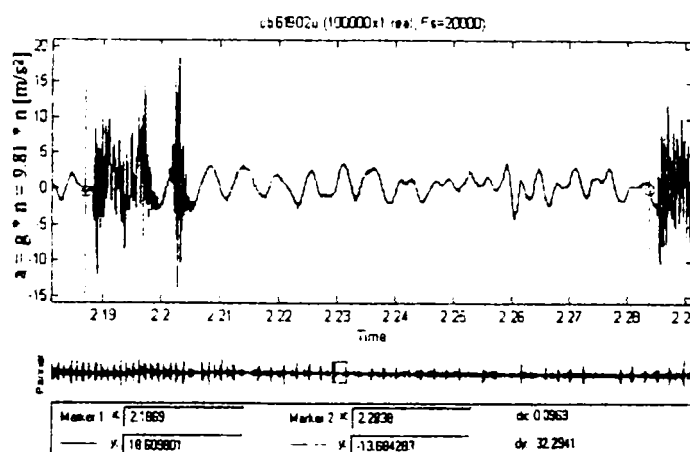


Fig. A.29. 23. (cb. 619. 02u)

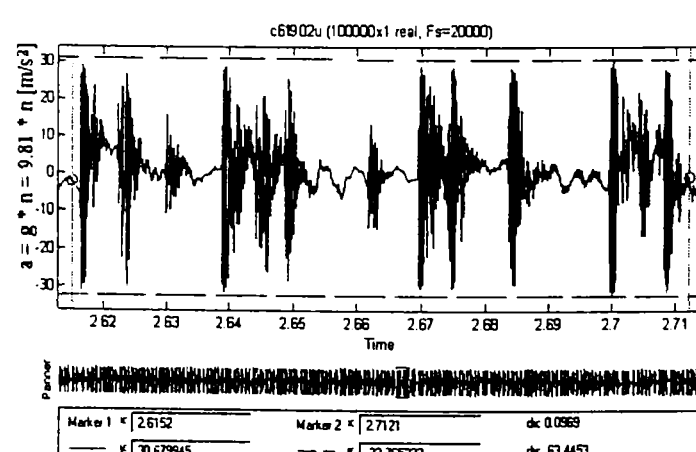


Fig. A.29. 24. (c.619. 02u)

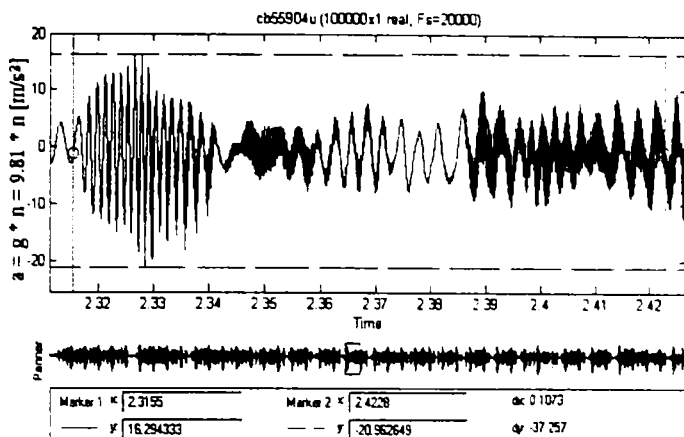


Fig. A.29. 25. (cb. 619. 04u)

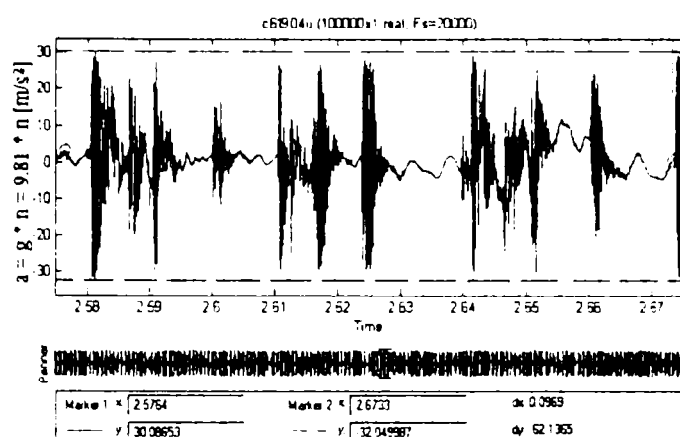


Fig. A.29. 26. (c.619. 04u)

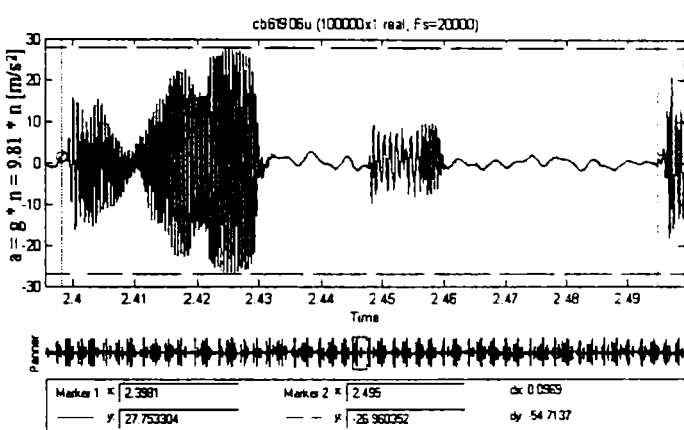


Fig. A.29. 27. (cb. 619. 06u)

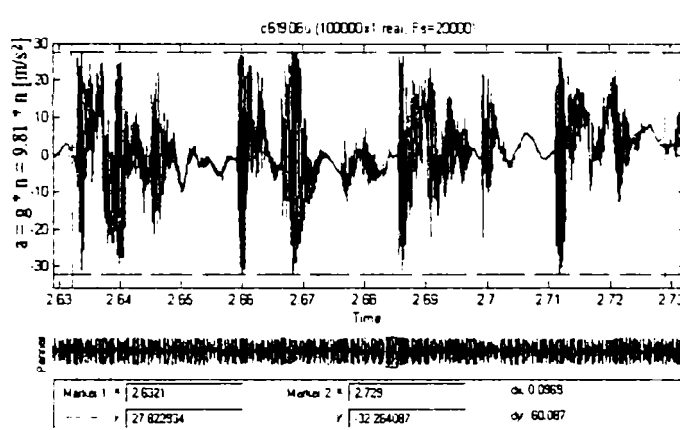


Fig. A.29. 28. (c.619. 06u)

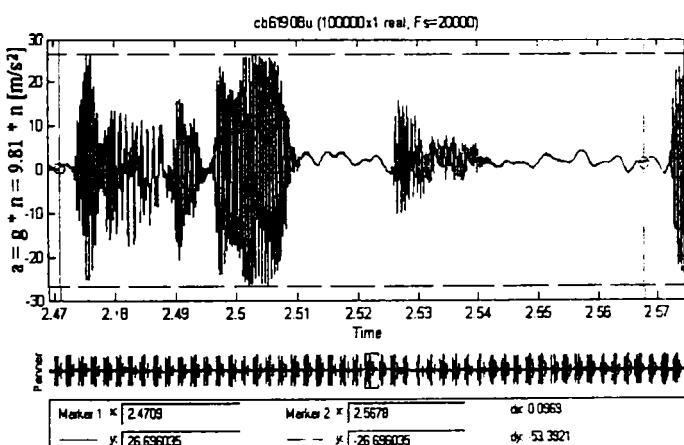


Fig. A.29. 29. (cb. 619. 08u)

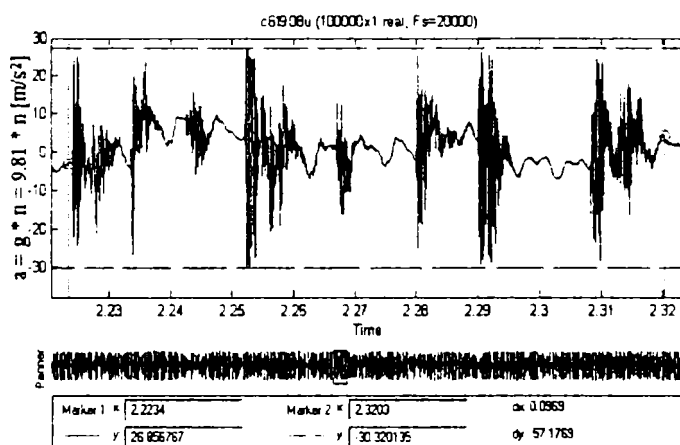


Fig. A.29. 30. (c.619. 08u)

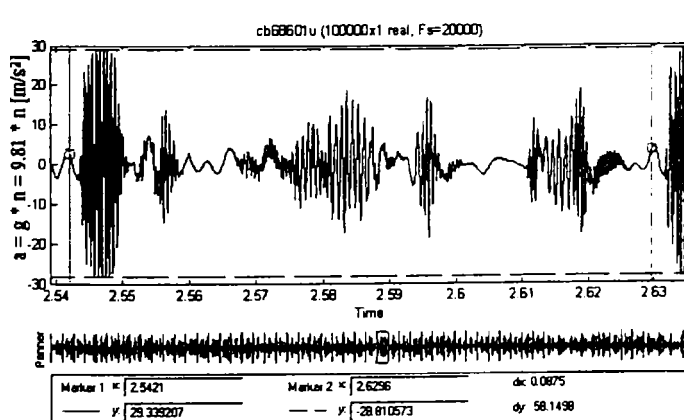


Fig. A.29. 31. (cb.686. 01u)

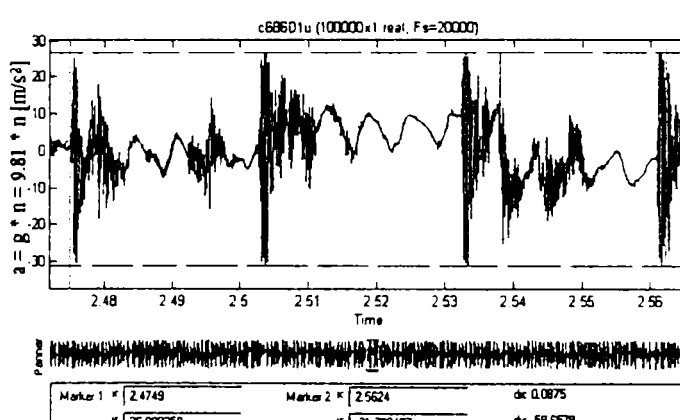


Fig. A.29. 32. (c. 686. 01u)

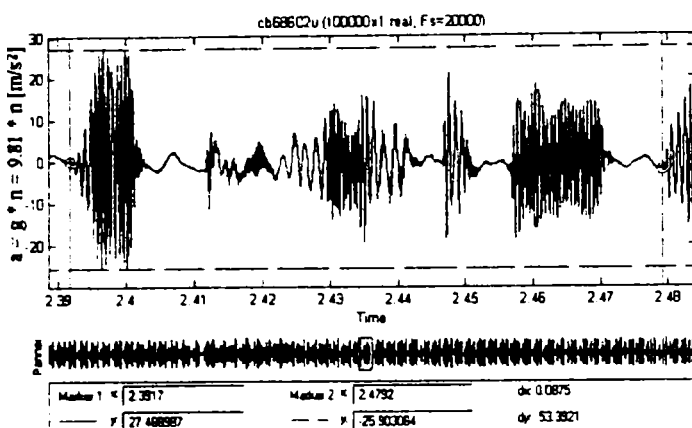


Fig. A.29. 33. (cb.686. 02u)

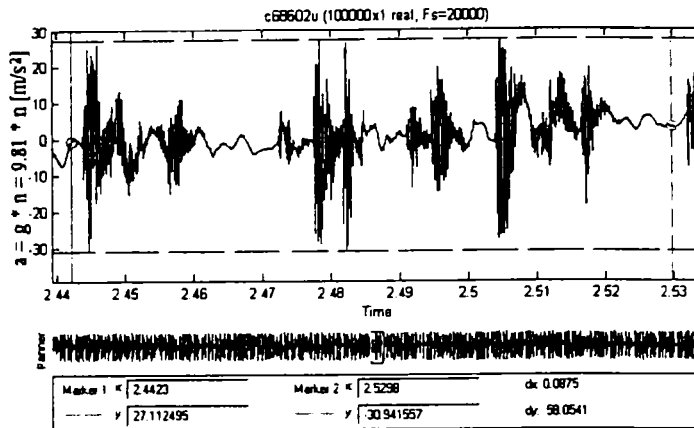


Fig. A.29. 34. (c. 686. 02u)

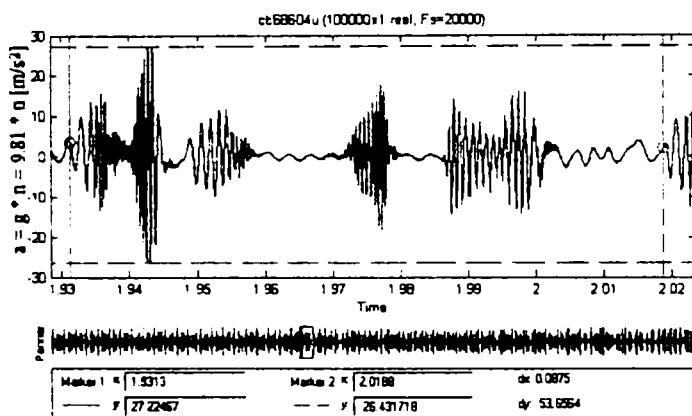


Fig. A.29. 35. (cb.686. 04u)

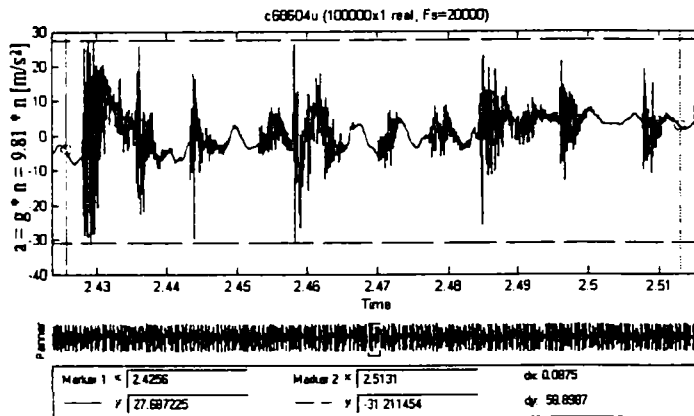


Fig. A.29. 36. (c. 686. 04u)

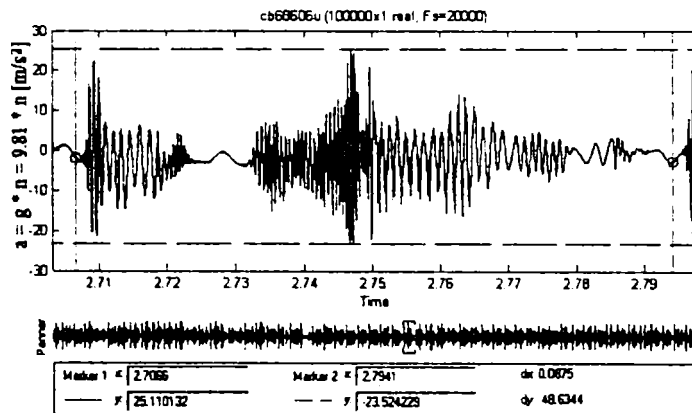


Fig. A.29. 37. (cb.686. 06u)

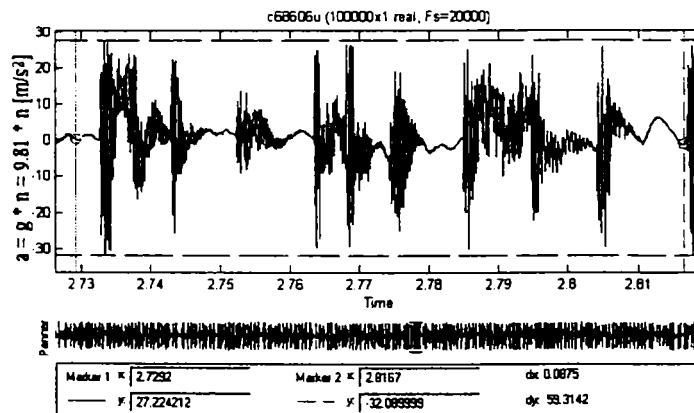


Fig. A.29. 38. (c. 686. 06u)

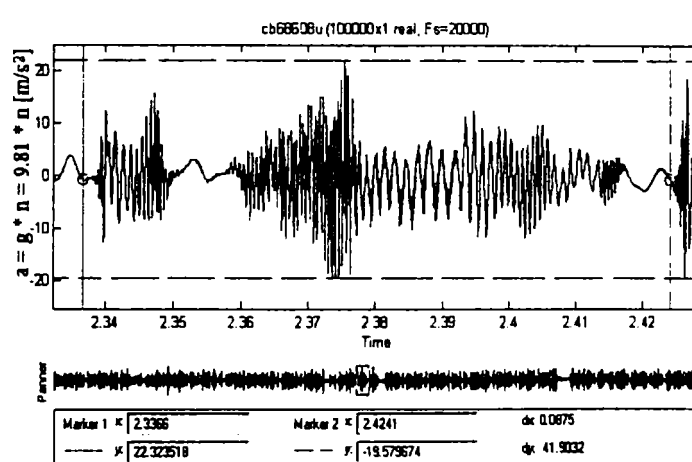


Fig. A.29. 39. (cb.686. 08u)

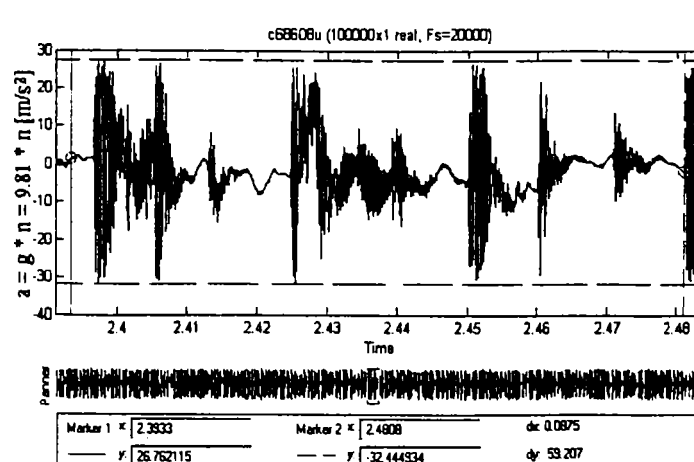


Fig. A.29. 40. (c. 686. 08u)

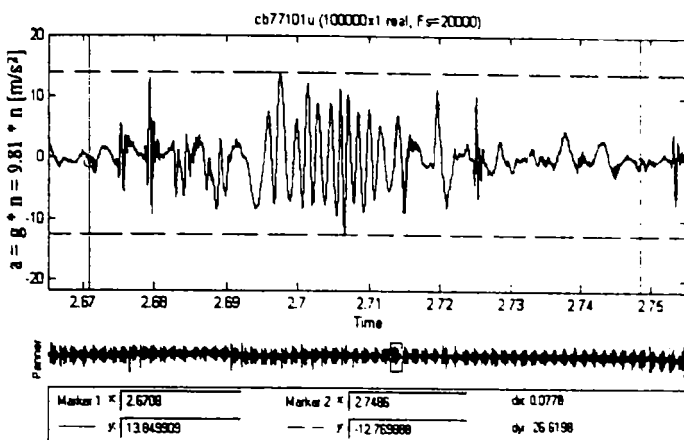


Fig. A.29. 41. (cb. 771. 01u)

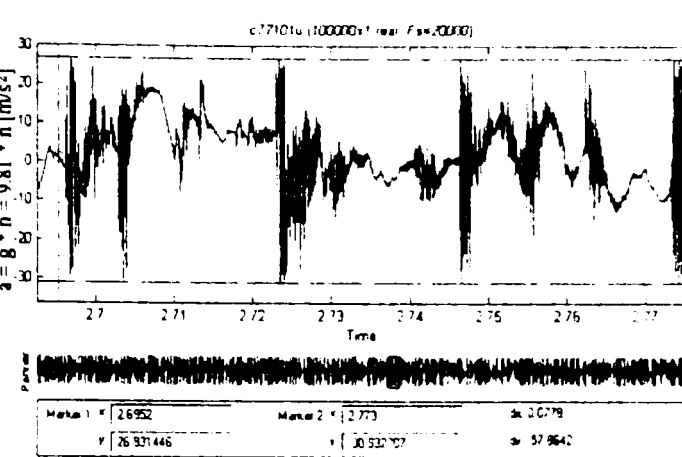


Fig. A.29. 42. (c.771. 01u)

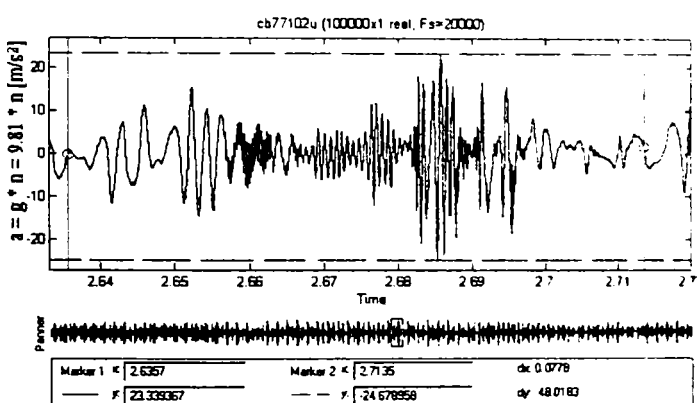


Fig. A.29. 43. (cb. 771. 02u)

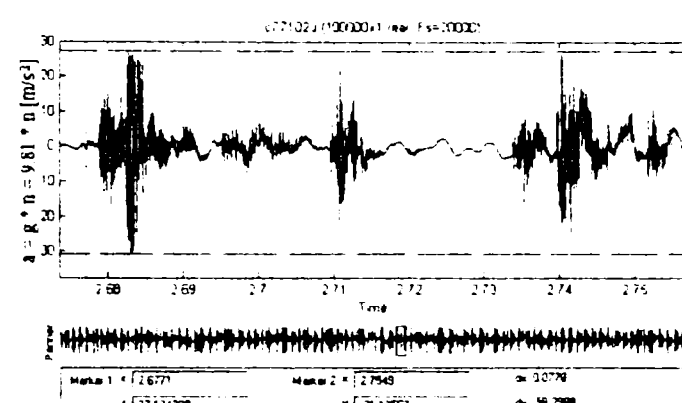


Fig. A.29. 44. (c.771. 02u)

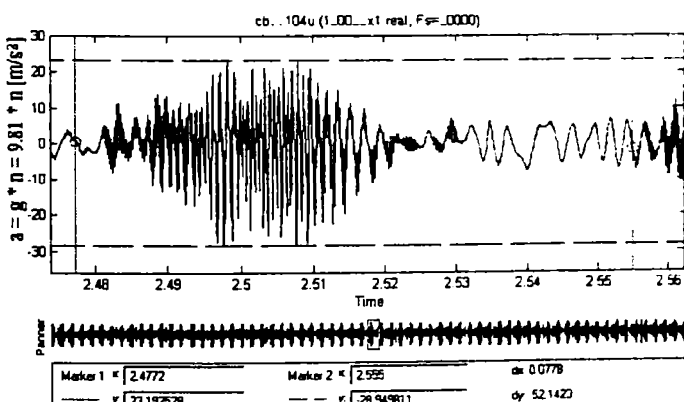


Fig. A.29. 45. (cb. 771. 04u)

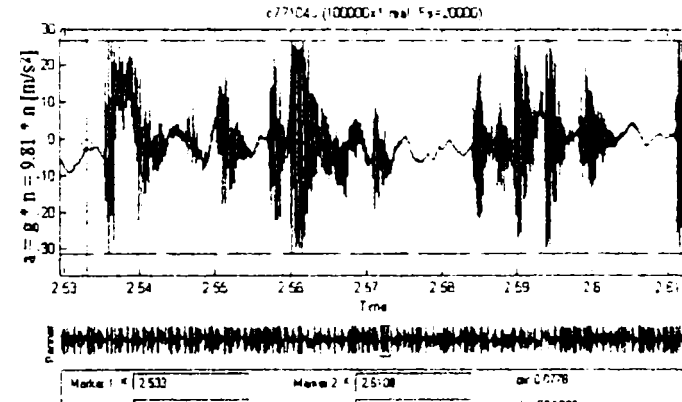


Fig. A.29. 46. (c.771. 04u)

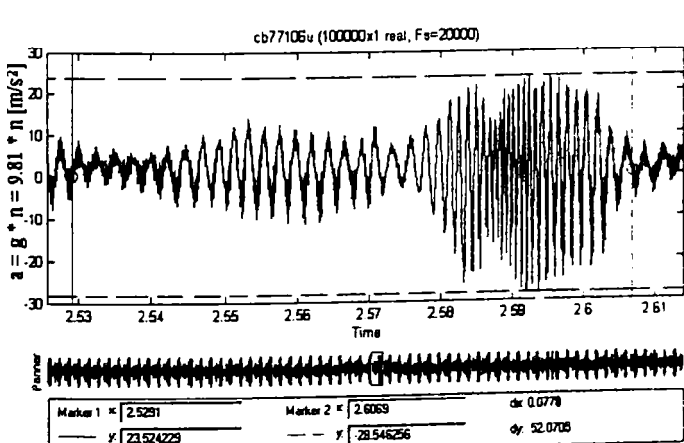


Fig. A.29. 47. (cb. 771. 06u)

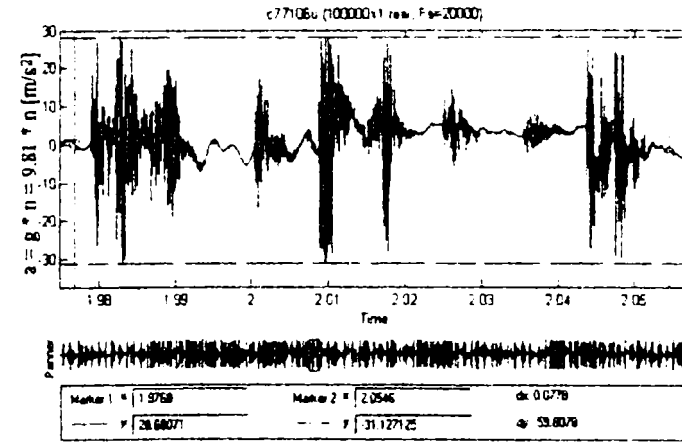


Fig. A.29. 48. (c.771. 06u)

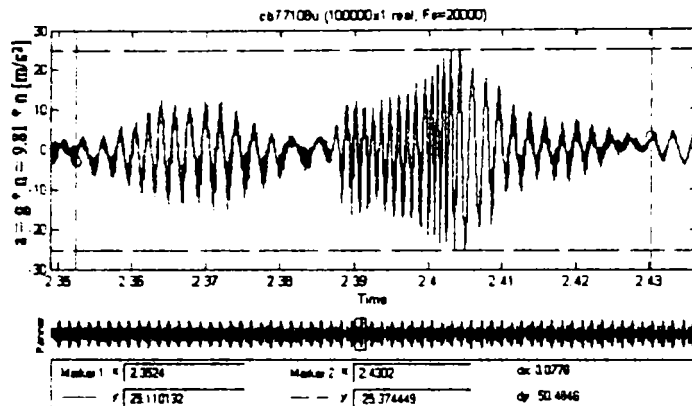


Fig. A.29. 49. (cb. 771. 08u)

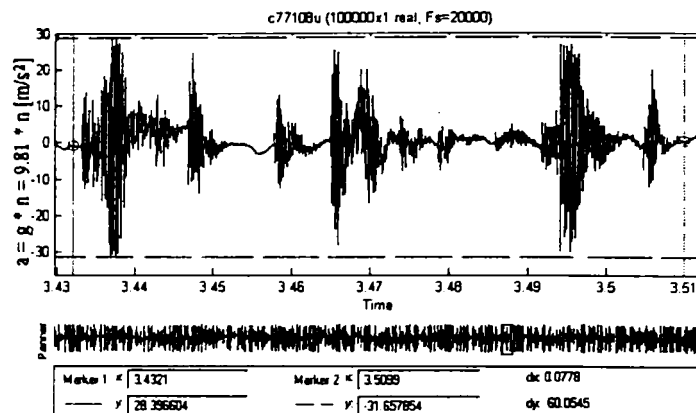
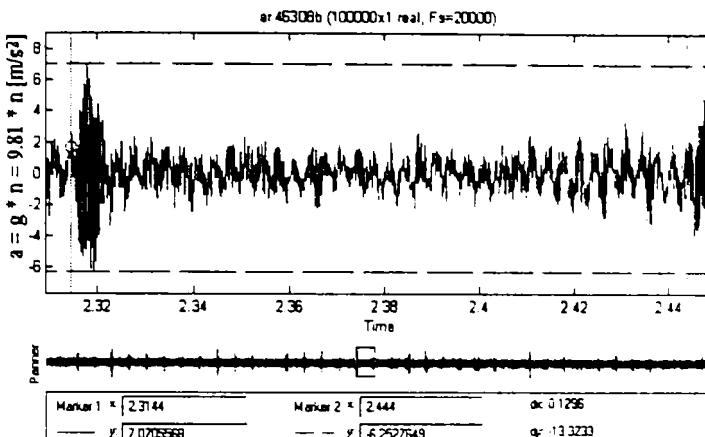
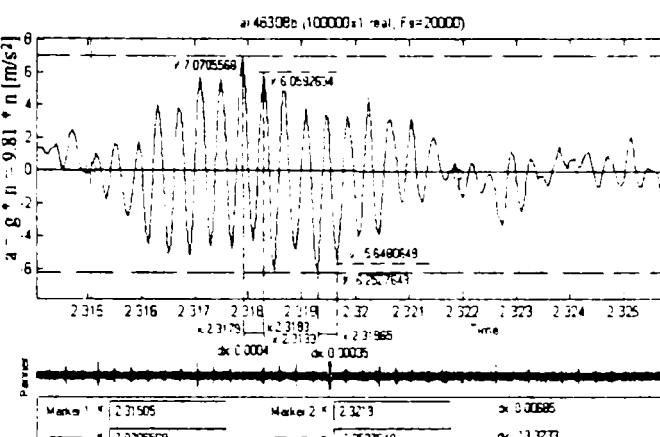
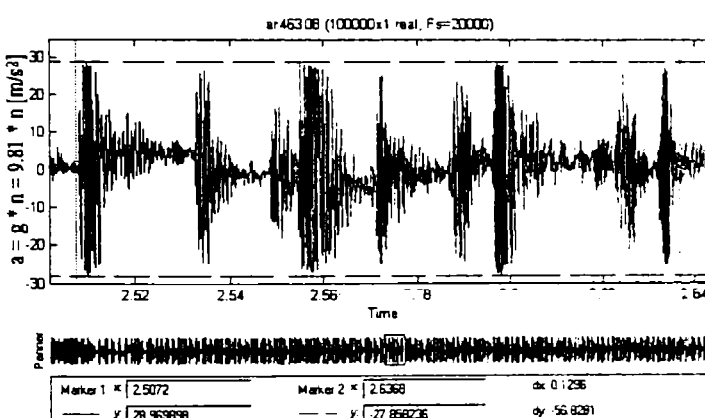
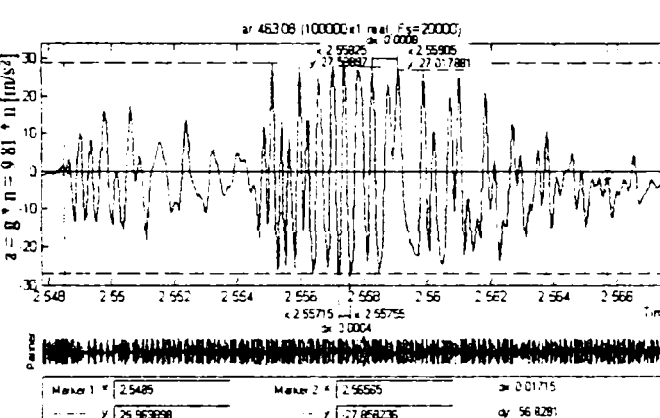
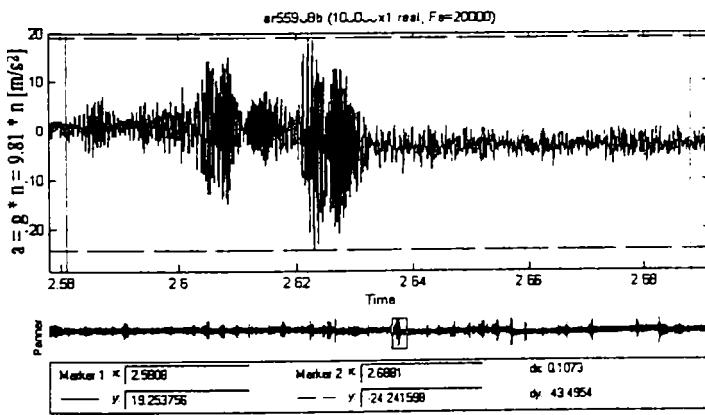
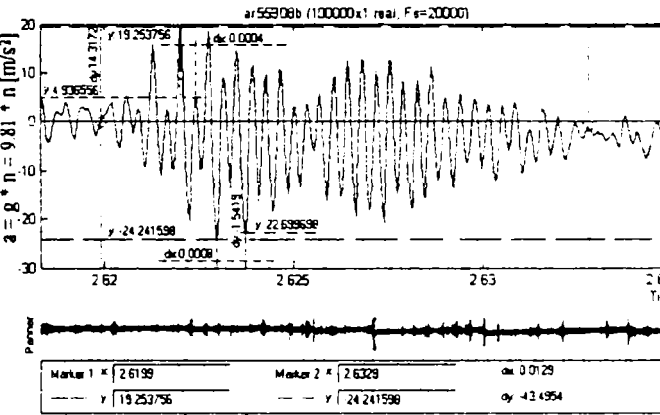
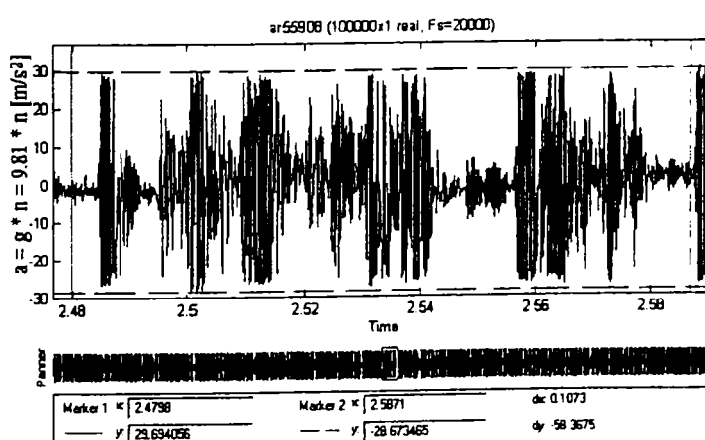
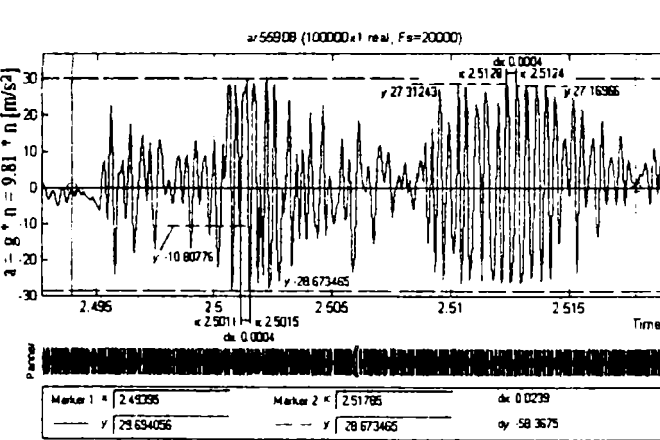


Fig. A.29. 50. (c.771. 08u)

Notă. Semnificația notațiilor din parenteză:

- primele trei cifre reprezintă turațiile arborelui mașinii-unelte , [rot/min];
- următoarele două cifre reprezintă viteza de avans, [mm/min];
- cb - aşchiere obișnuită;
- c – aşchiere vibropercutantă;
- u – măsurare accelerării pe universal.

Anexa 30.
Diagrame ale accelerărilor măsurate pe arborele mașinii (pinolă) cu dispozitivul blocat (așchiere normală) și neblocat (așchiere vibropercutantă).

Fig. A30. 1. (ar.463. 08.b)

Fig. A30. 2. (ar. 463. 08.b detaliu)

Fig. A30. 3. (ar.463. 08.c)

Fig. A30. 4. (ar. 463. 08.c detaliu)

Fig. A30. 5. (ar. 559.08.b)

Fig. A30. 6. (ar. 559.08.b detaliu)

Fig. A30. 7. (ar.559.08.c)

Fig. A30. 8. 9. (ar.559.08.c detaliu)

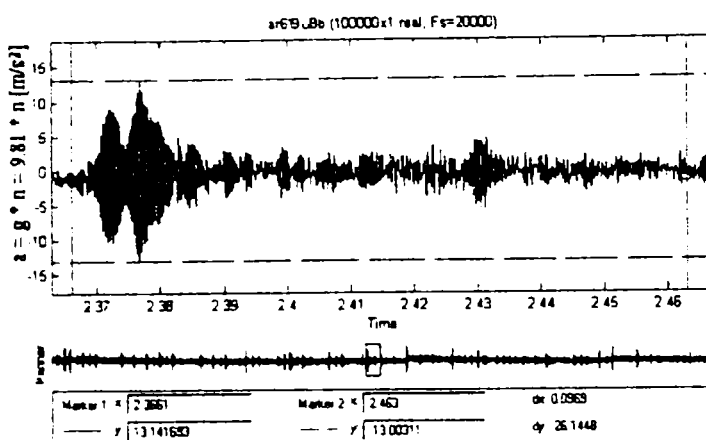


Fig. A30. 9. (ar. 619.08.b)

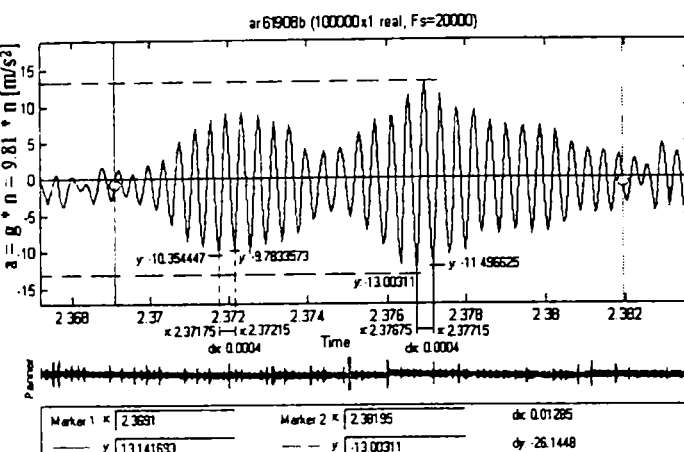


Fig. A30. 10. (ar. 619.08.b detaliu)

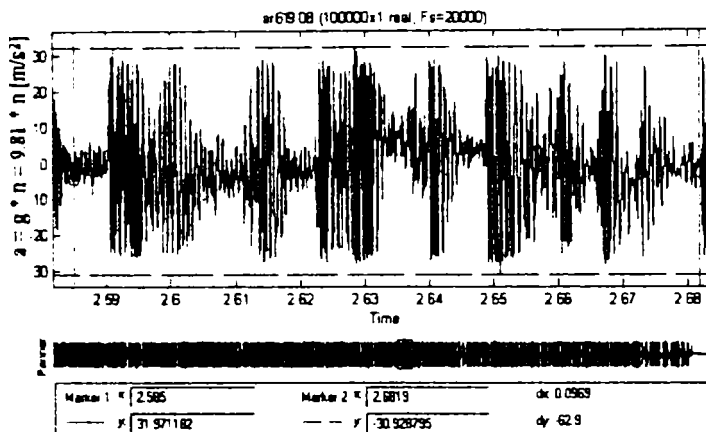


Fig. A30. 11. (ar. 619.08.c)

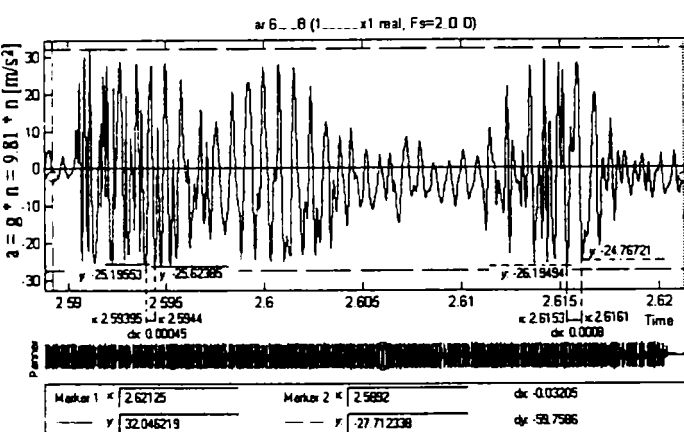


Fig. A30. 12. (ar. 619.08.c detaliu)

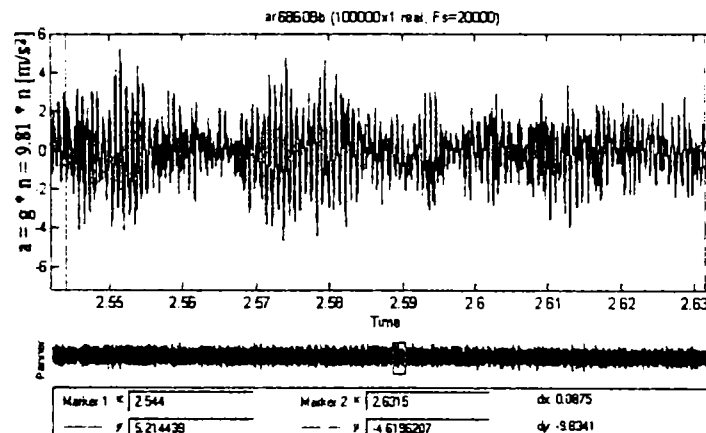


Fig. A30. 13. (ar. 686.08.b)

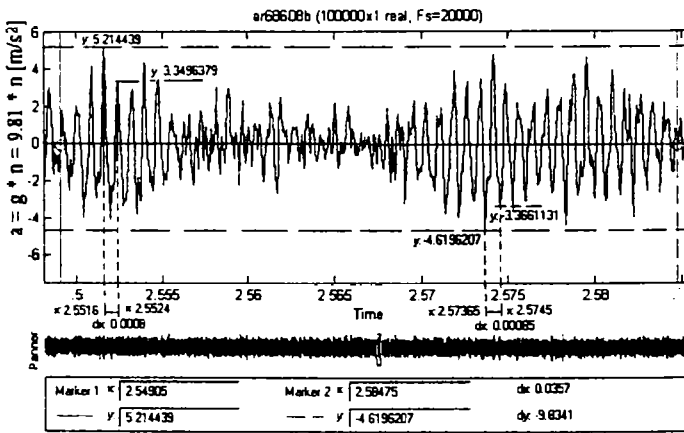


Fig. A30. 14. (ar. 686.08.b detaliu)

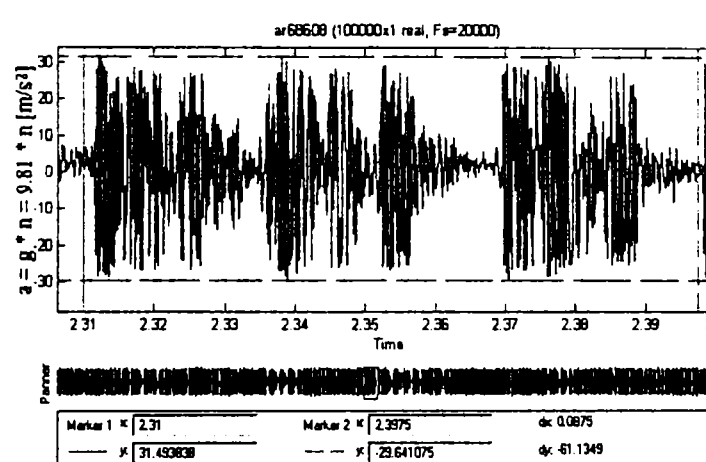


Fig. A30. 15. (ar. 686.08.c)

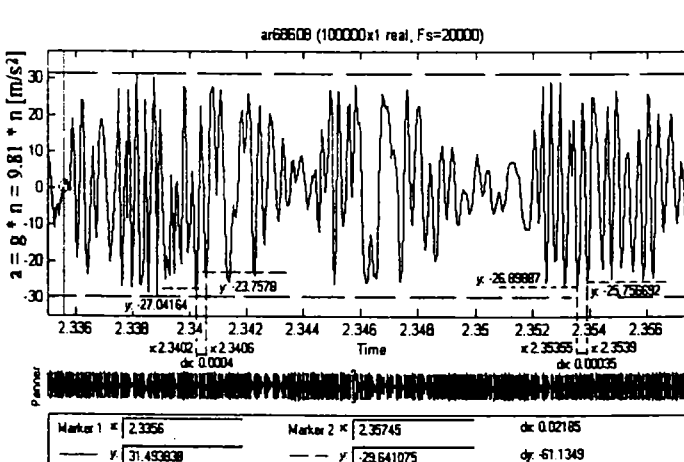


Fig. A30. 16. (ar. 686.08.c detaliu)

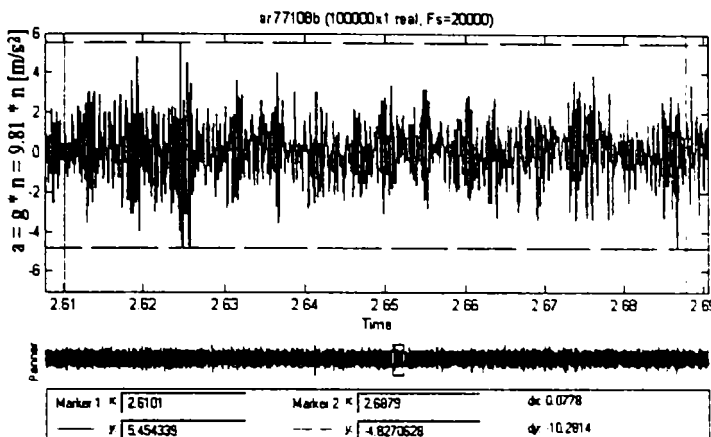


Fig. A30. 17. (ar. 771. 08.b)

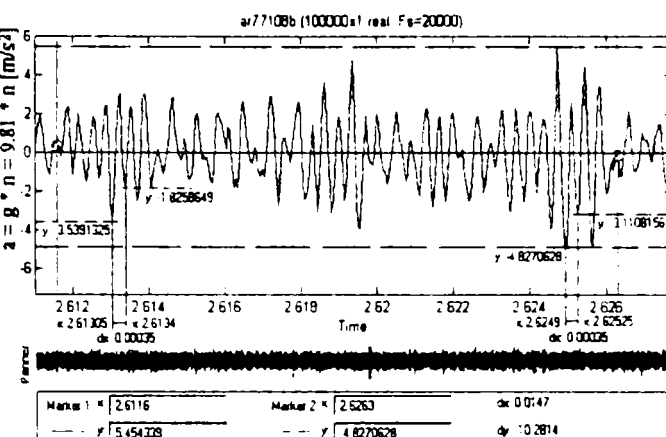


Fig. A30. 18. (ar. 771. 08.b detaliu)

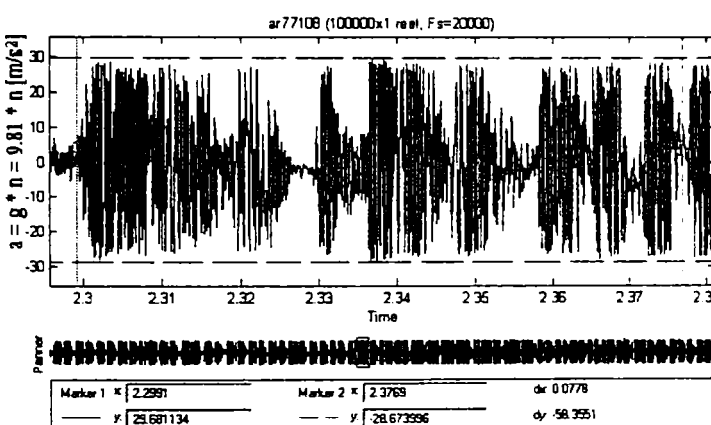


Fig. A30. 19. (ar.771. 08.c)

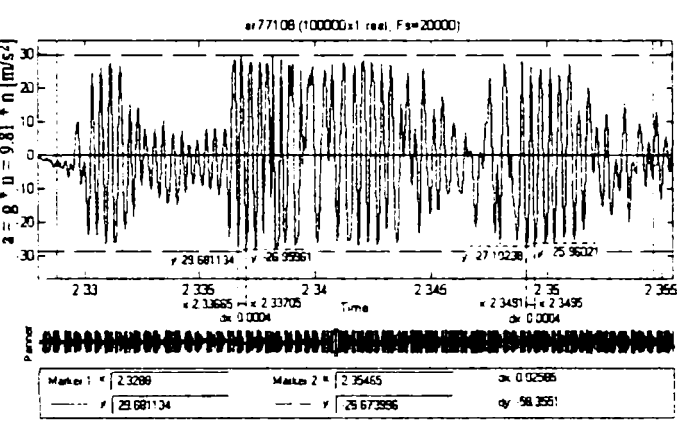


Fig. A30. 20. (ar. 771. 08.c detaliu)

| Notă. Semnificația notațiilor din parenteza:

- ar – accelerații măsurate pe pinola arborelui mașinii unelte;
- primele trei cifre reprezintă turăriile arborelui mașinii-unelte , [rot/min];
- următoarele două cifre reprezintă viteza de avans, [mm/min];
- b - aşchiere obișnuită;
- c – aşchiere vibropercutantă;

Anexa 31.

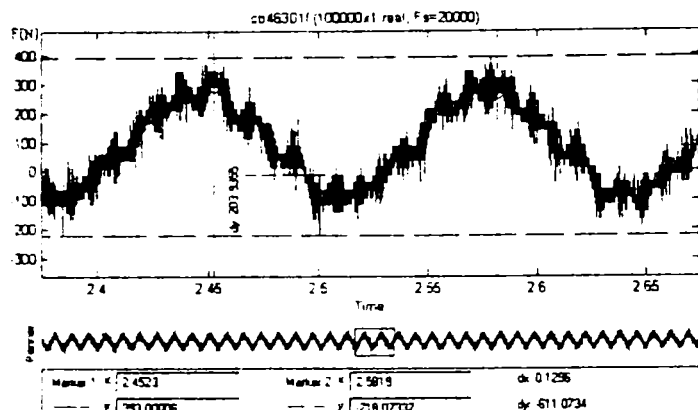
Diagramele forței axiale de aşchiere pentru dispozitiv blocat și dispozitiv neblocat

Fig. A31. 1. (cb. 463. 01.f)

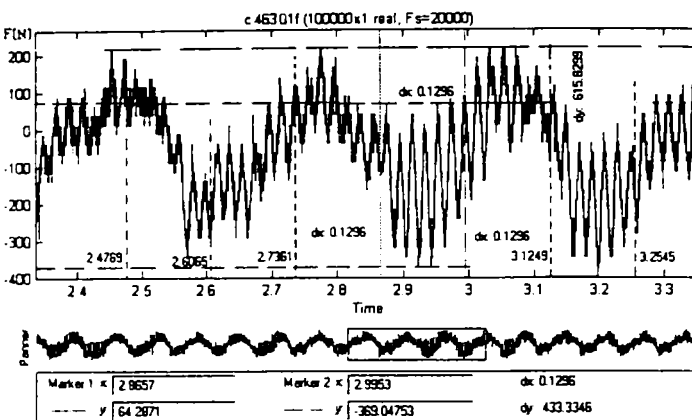


Fig. A31. 2. (c. 463. 01.f)

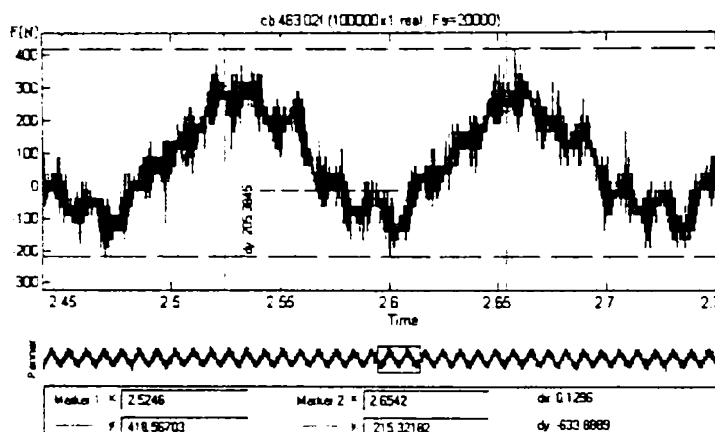


Fig. A31. 3. (cb. 463. 02.f)

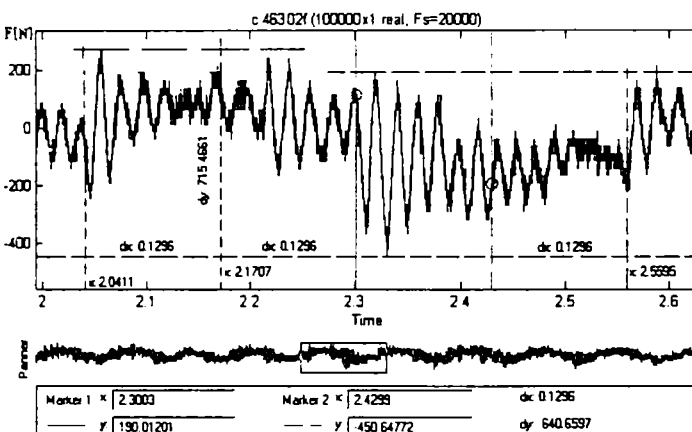


Fig. A31. 4. (c. 463. 02.f)

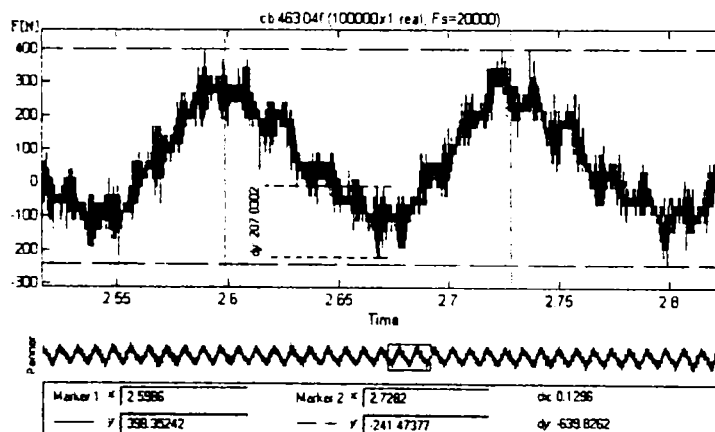


Fig. A31. 5. (cb. 463. 04.f)

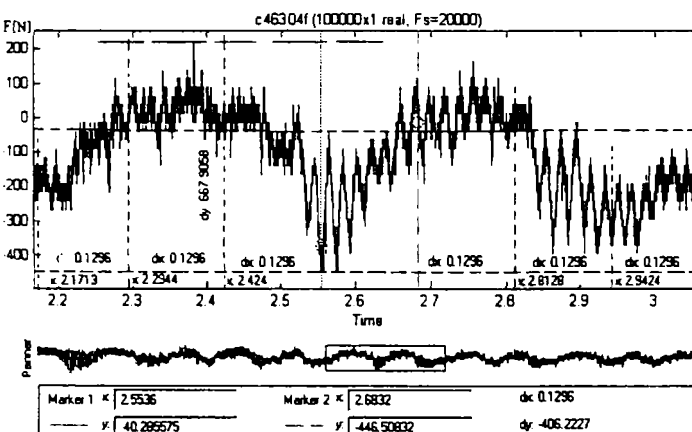


Fig. A31. 6. (c. 463. 04.f)

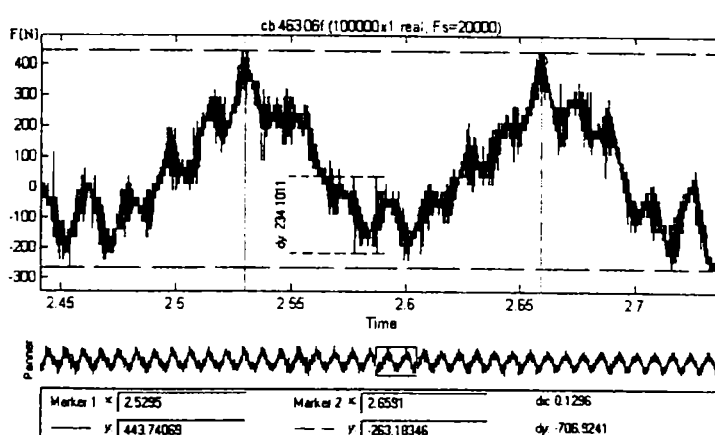


Fig. A31. 7. (cb. 463. 06.f)

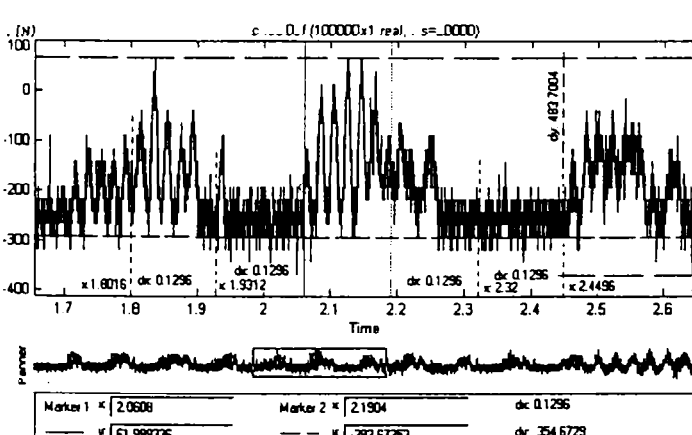


Fig. A31. 8. (c. 463. 06.f)

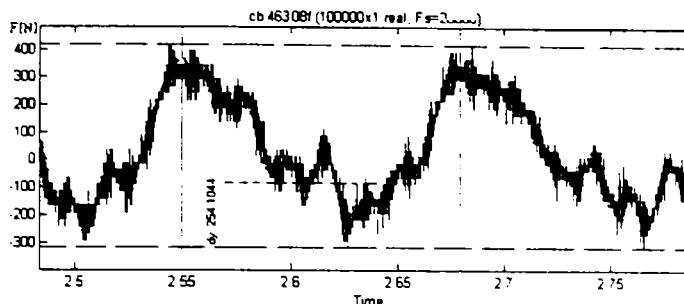


Fig. A31. 9. (cb. 463. 08.f)

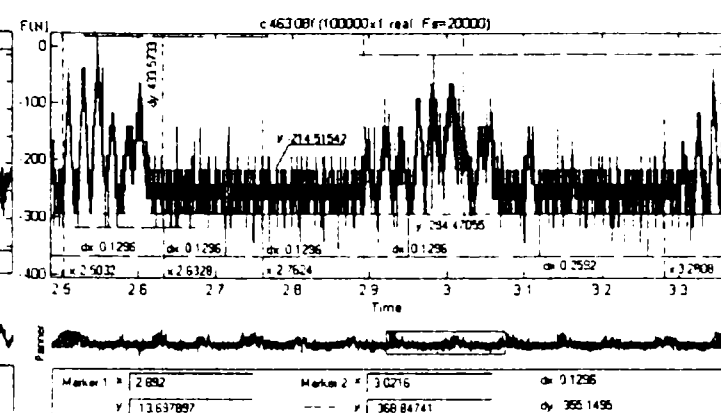


Fig. A31. 10. (c. 463. 08.f)

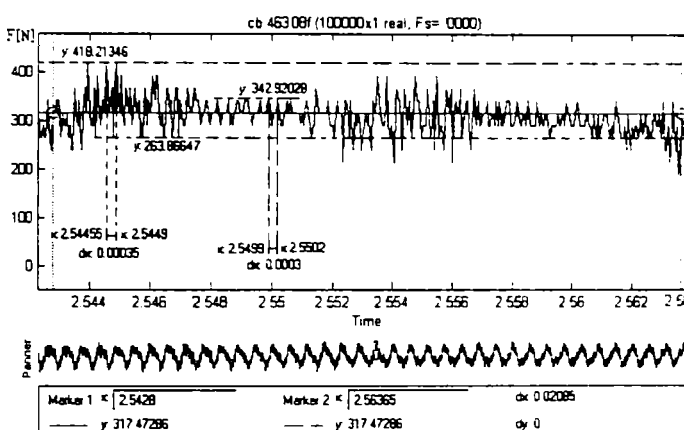


Fig. A31. 11. (cb. 463. 08.f detaliu)

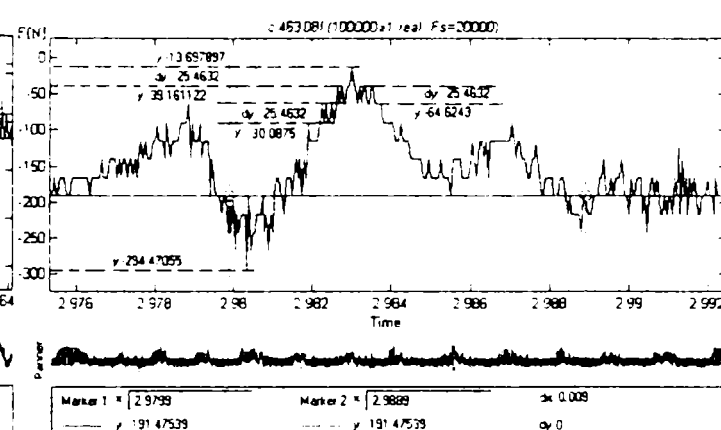


Fig. A31. 12. (c. 463. 08.f detaliu)

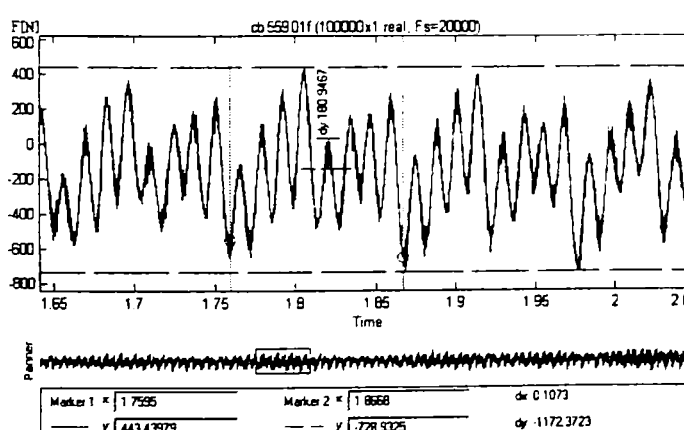


Fig. A31. 13. (cb. 559.01.f)

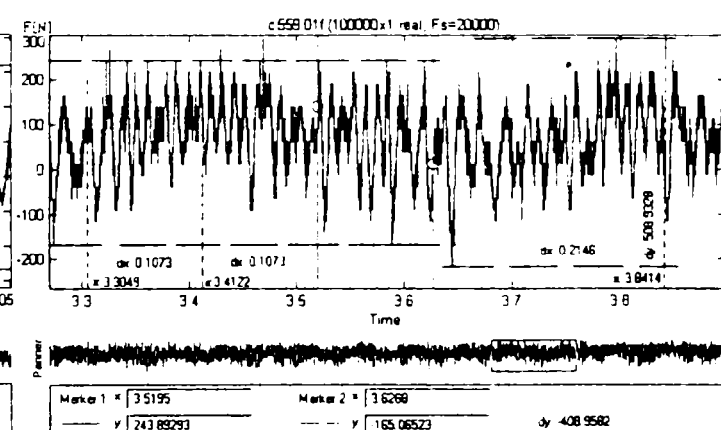


Fig. A31. 14. (c. 559. 01.f)

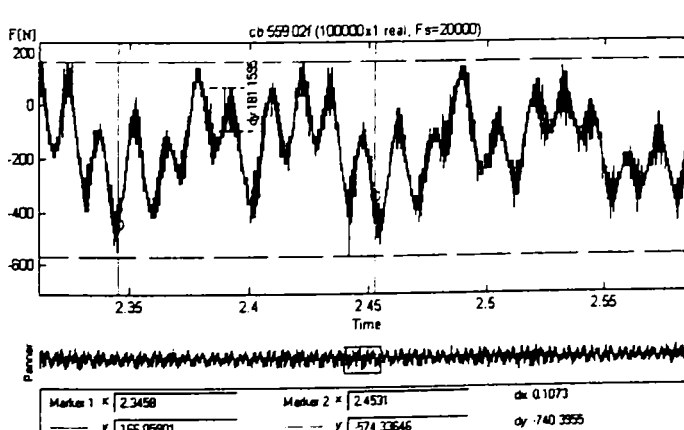


Fig. A31. 15. (cb. 559.02.f)

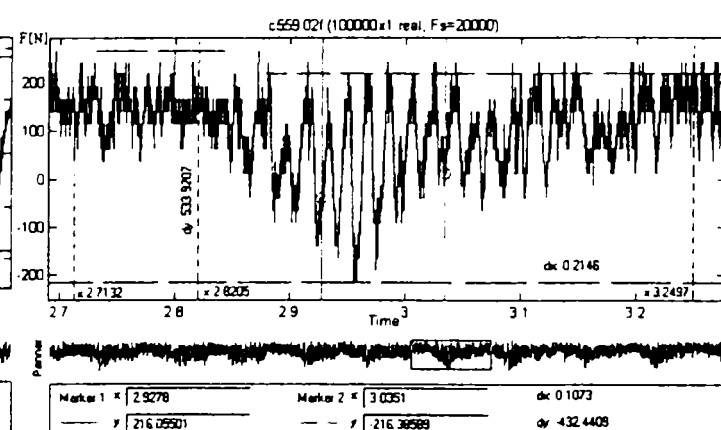


Fig. A31. 16. (c. 559. 02.f)

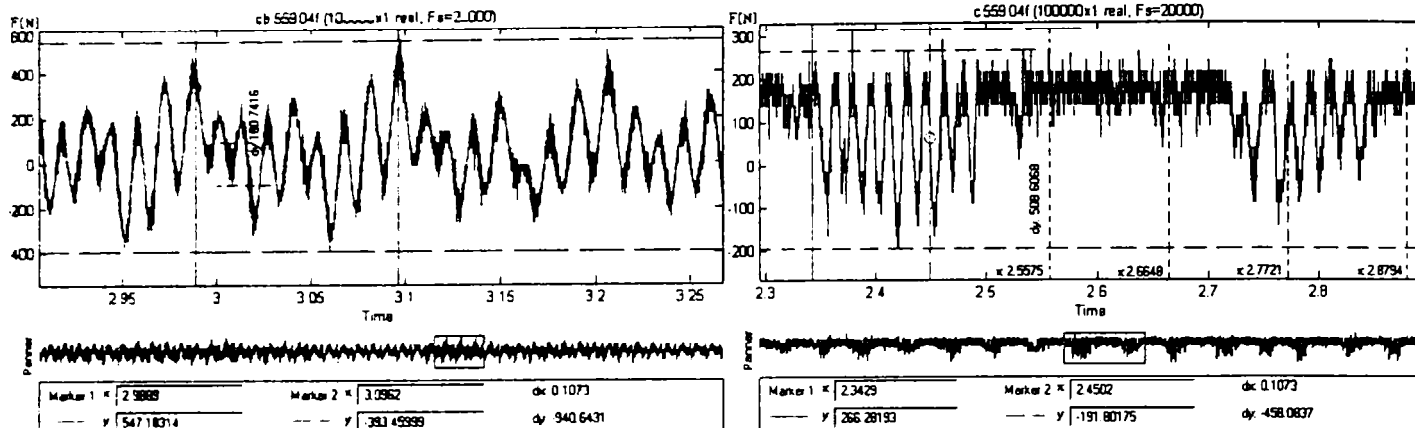


Fig. A31. 17. (cb.559.04.f)

Fig. A31. 18. (c. 559. 04.f)

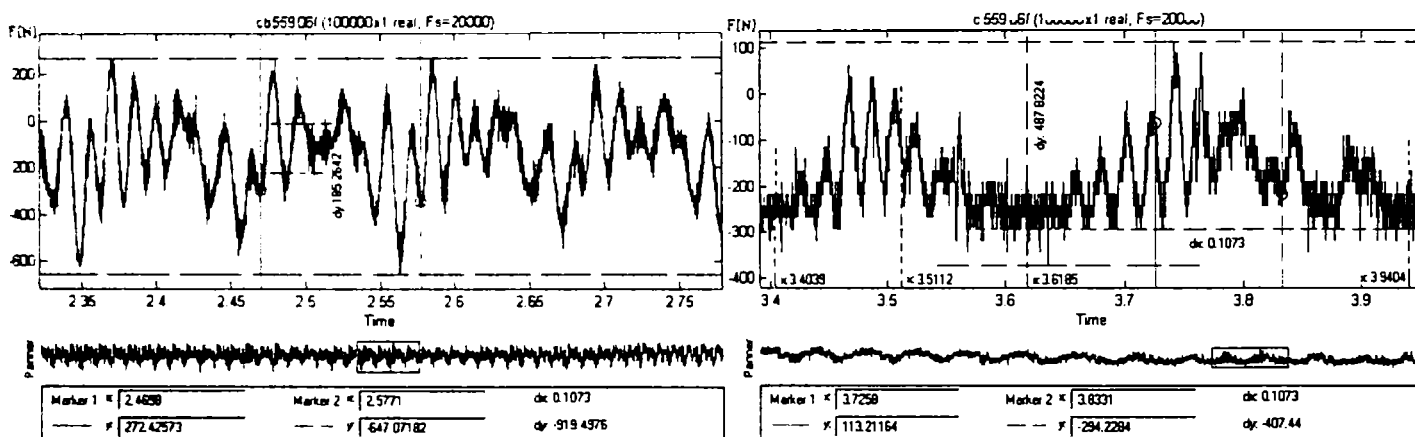


Fig. A31. 19. (cb.559.06.f)

Fig. A31. 20. (c. 559. 06.f)

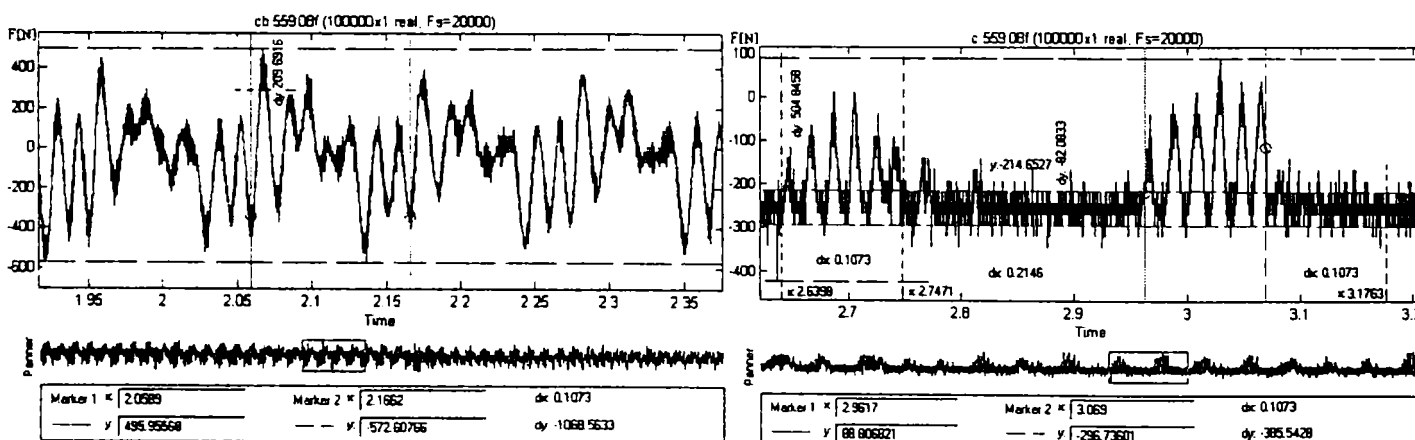


Fig. A31. 21. (cb.559.08.f)

Fig. A31. 22. (c. 559. 08.f)

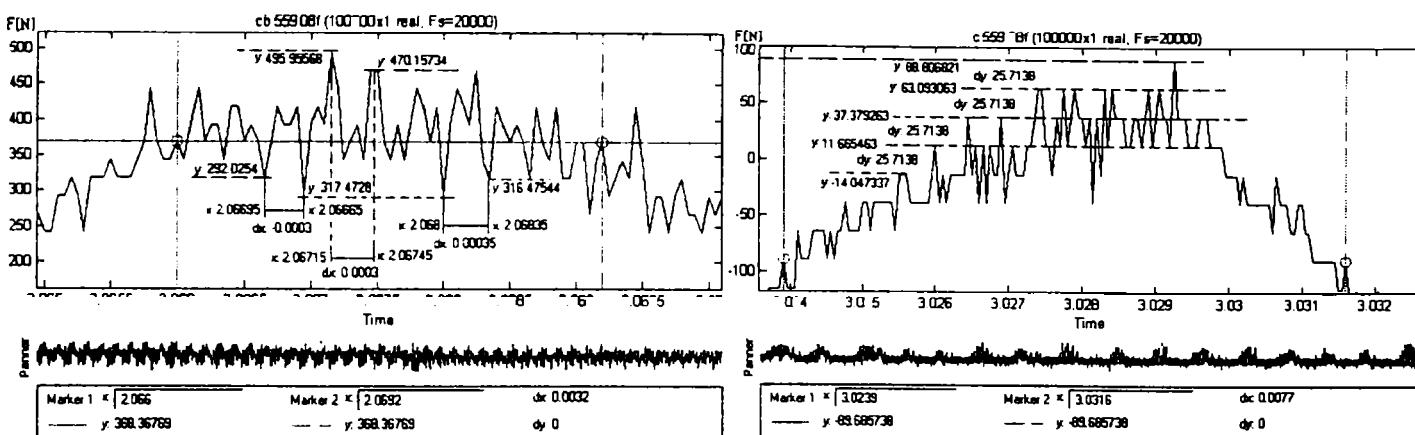


Fig. A31. 23. (cb.559.08.f detaliu)

Fig. A31. 24. (c. 559. 08.f detaliu)

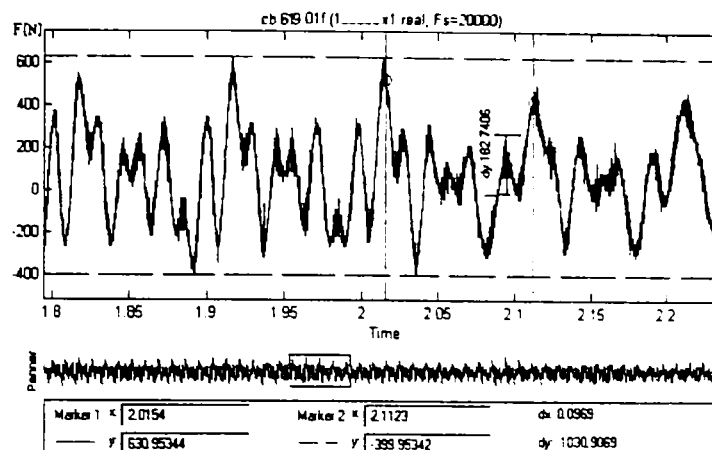


Fig. A31. 25. (cb.619. 01.f)

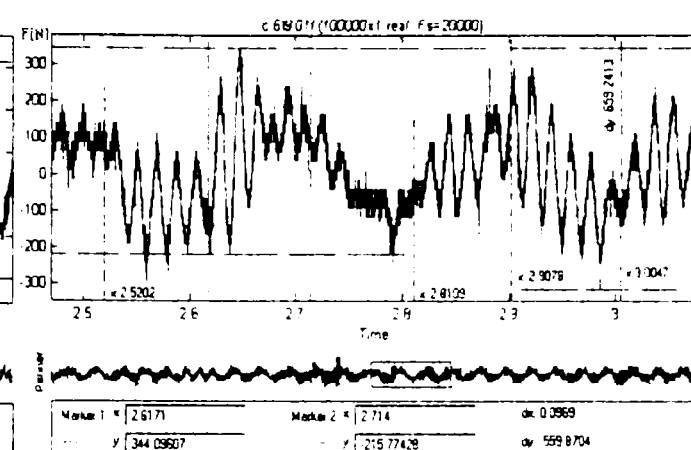


Fig. A31. 26. (c.619. 01.f)

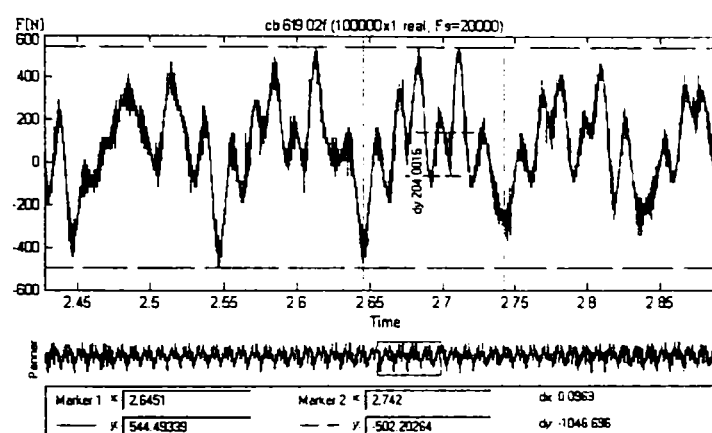


Fig. A31. 27. (cb.619. 02.f)

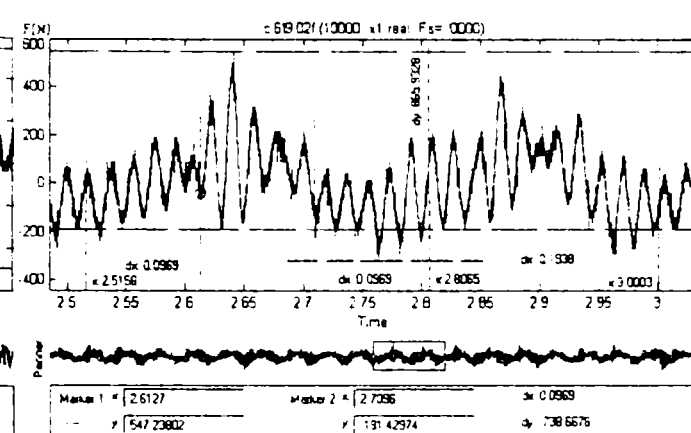


Fig. A31. 28. (c.619. 02.f)

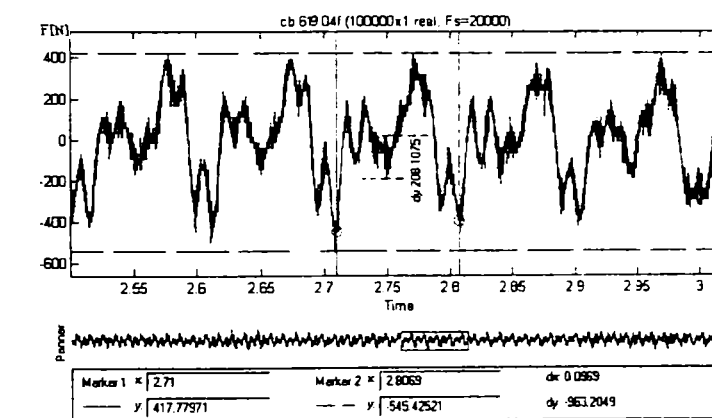


Fig. A31. 29. (cb.619. 04.f)

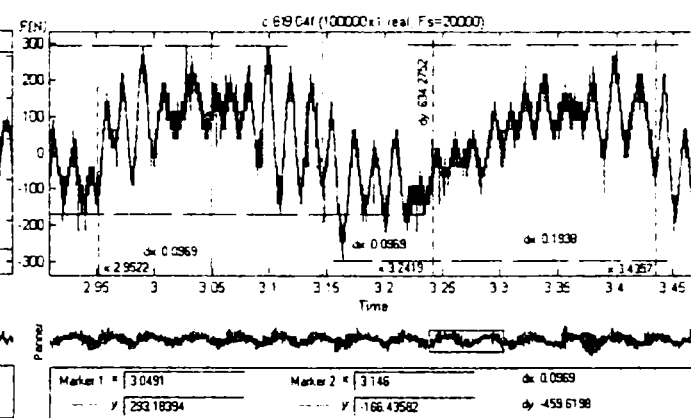


Fig. A31. 30. (c.619. 04.f)

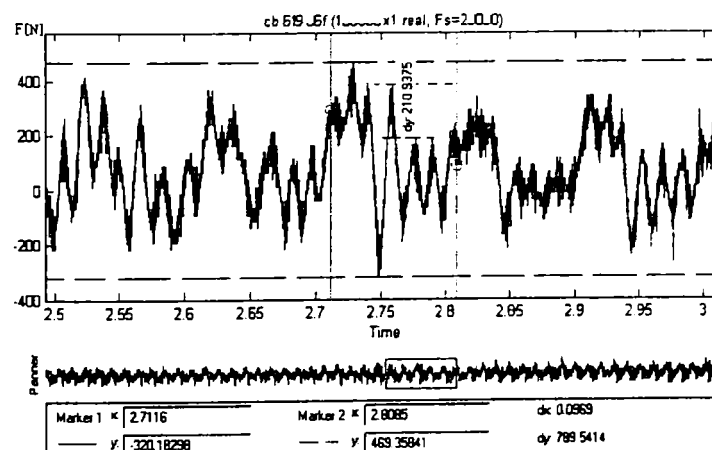


Fig. A31. 31. (cb.619. 06.f)

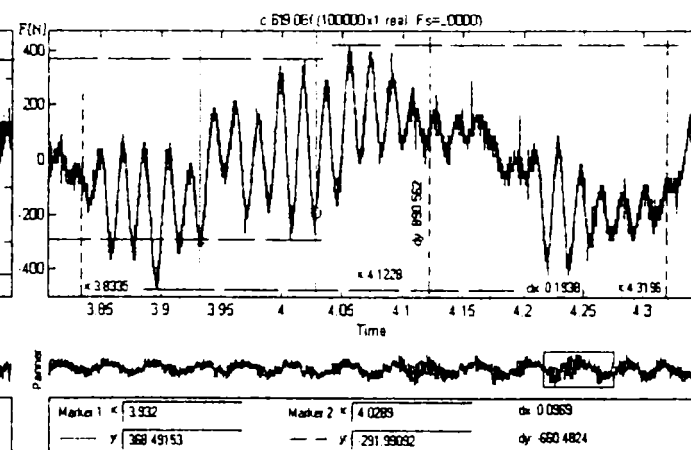


Fig. A31. 32. (c.619. 06.f)

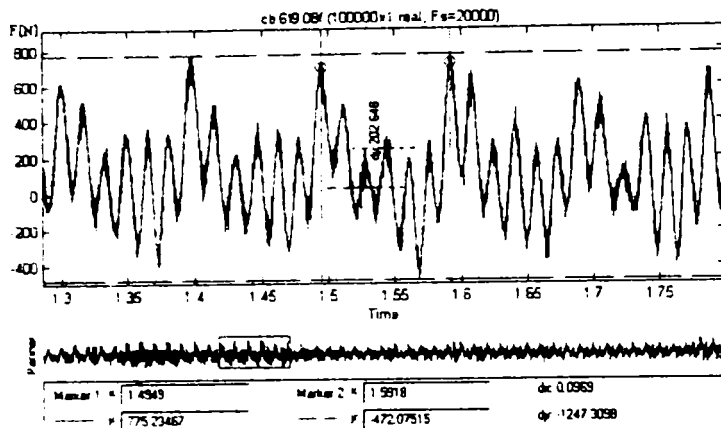


Fig. A31. 33. (cb.619. 08.f)

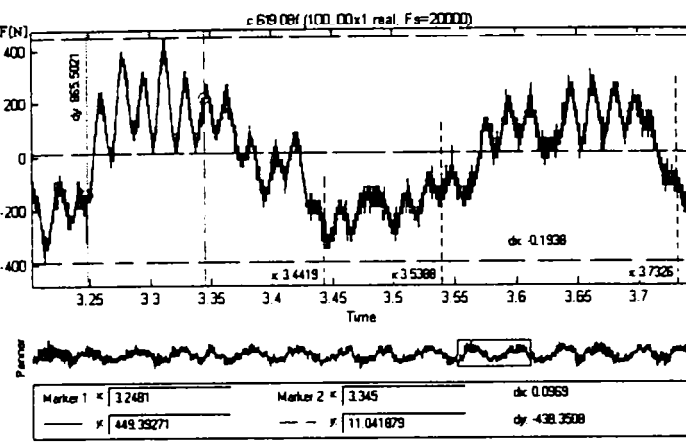


Fig. A31. 34. (c.619. 08.f)

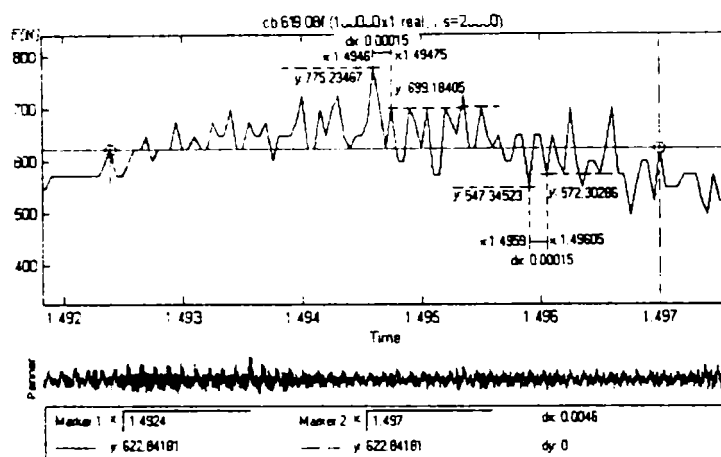


Fig. A31. 35. (cb.619. 08.f detaliu)

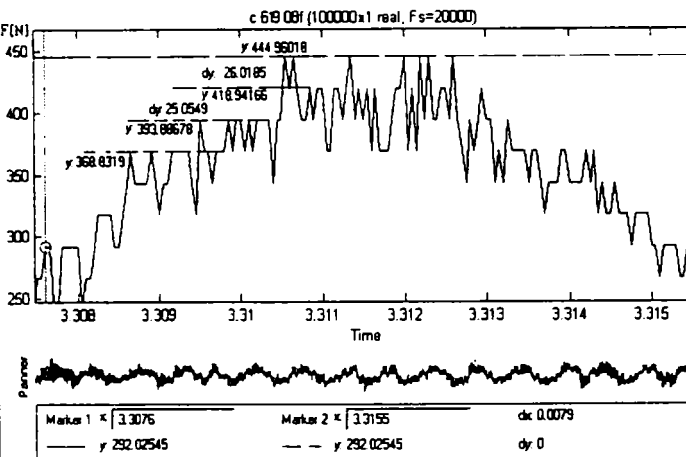


Fig. A31. 36. (c.619. 08.f detaliu)

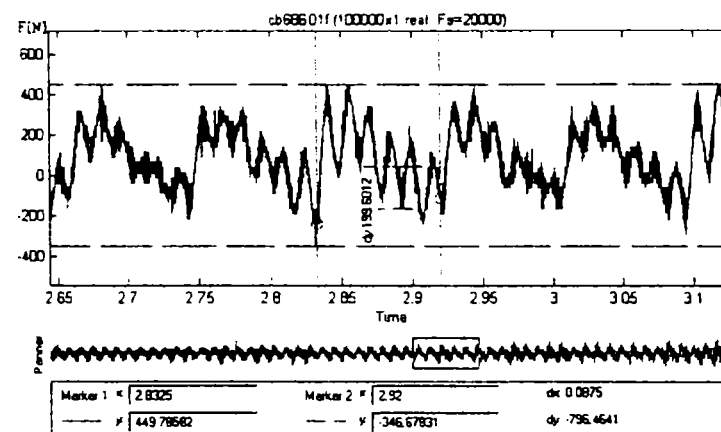


Fig. A31. 37. (cb. 686. 01.f)

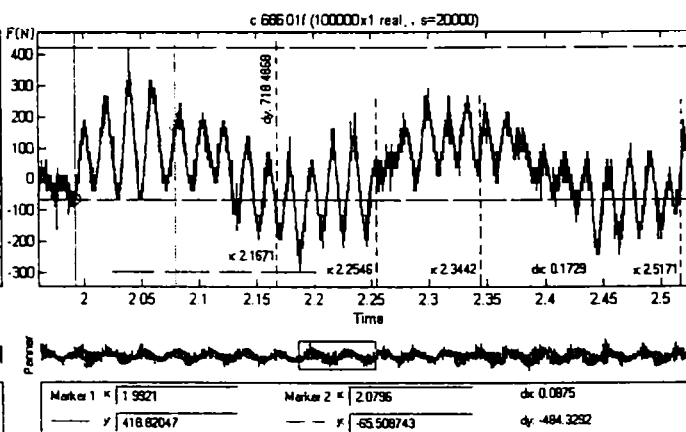


Fig. A31. 38. (c. 686. 01.f)

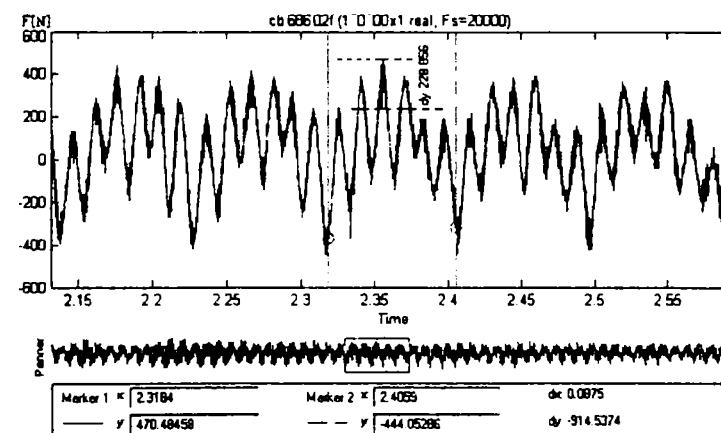


Fig. A31. 39. (cb. 686. 02.f)

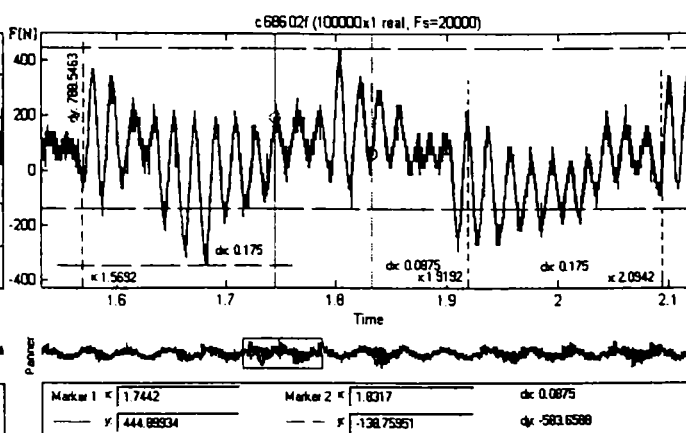
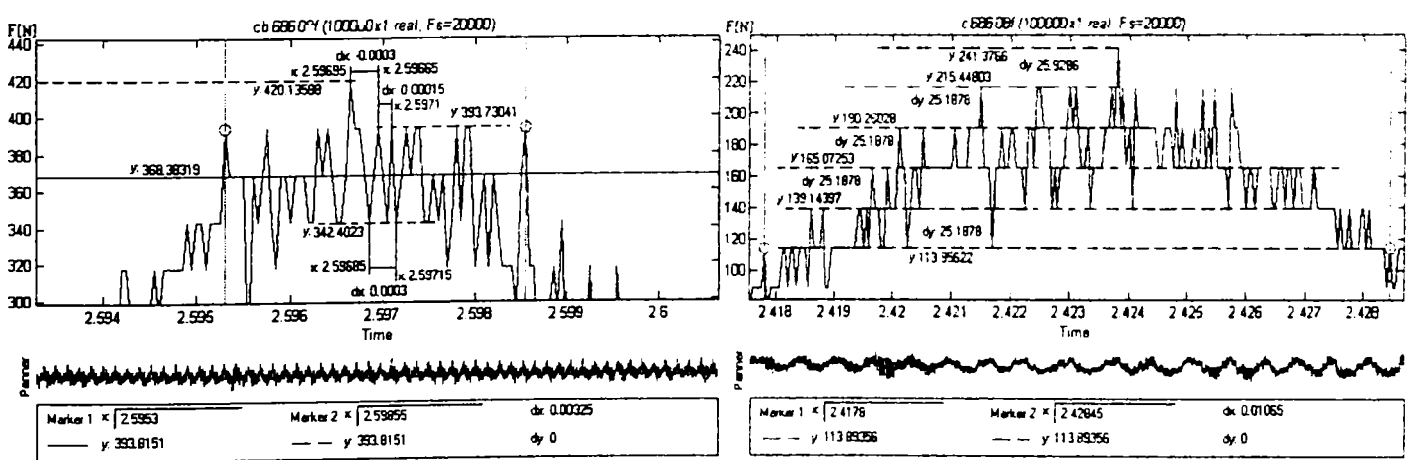
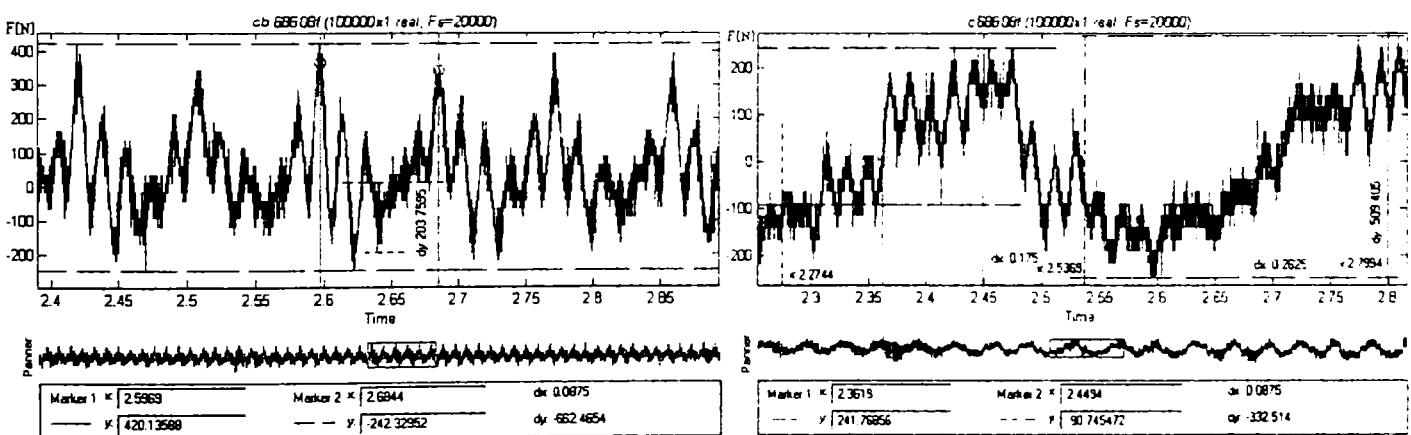
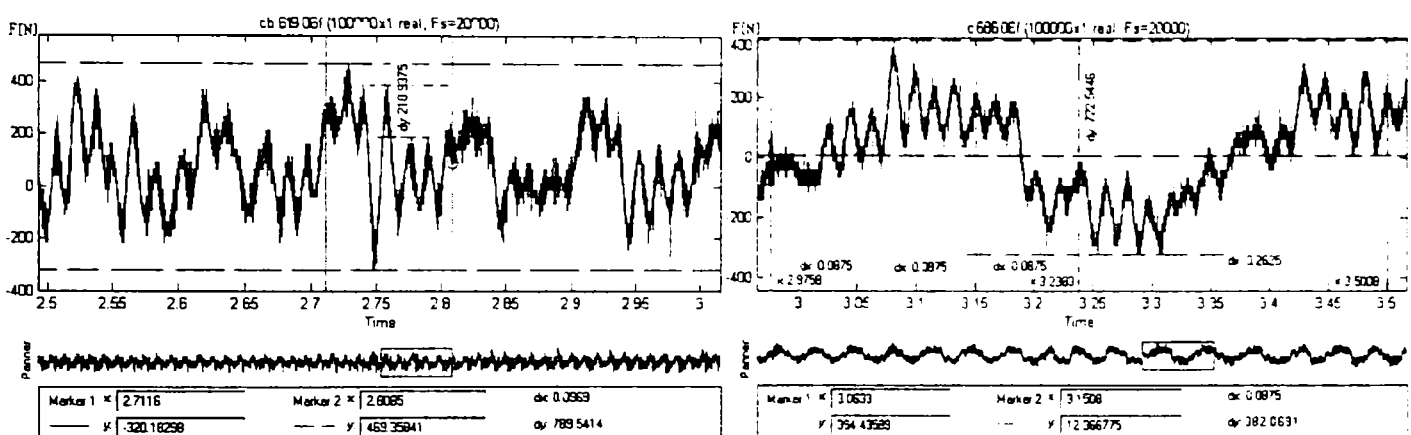
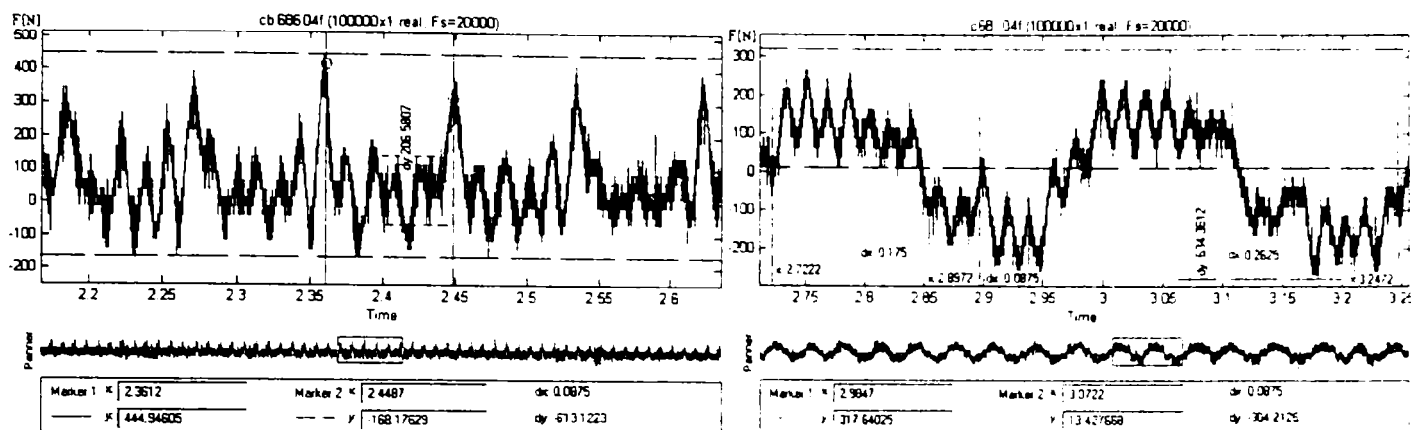


Fig. A31. 40. (c. 686. 02.f)



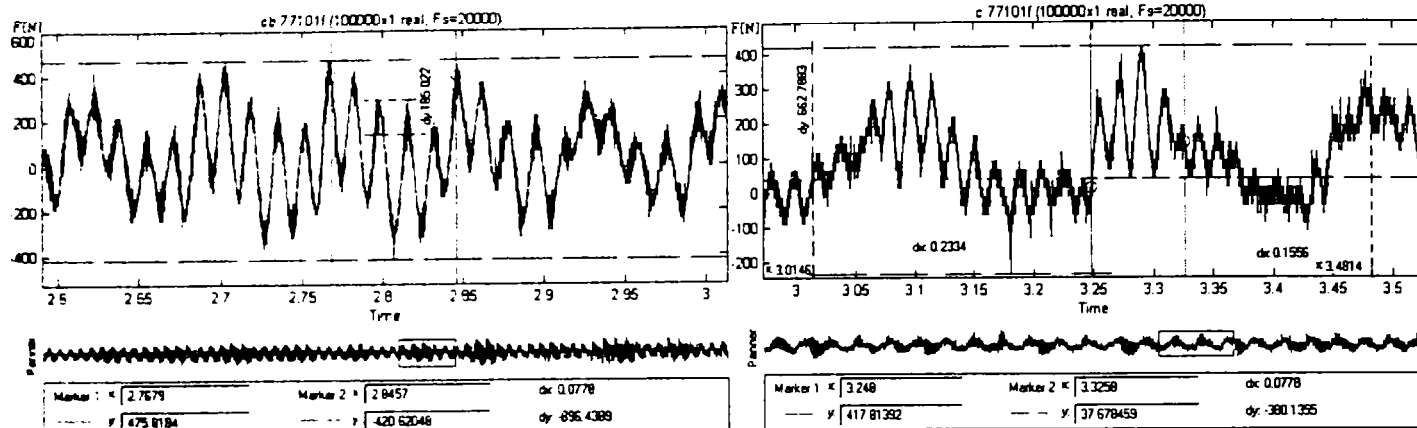


Fig. A31. 49. (cb.771. 01.f)

Fig. A31. 50. (c.771. 01.f)

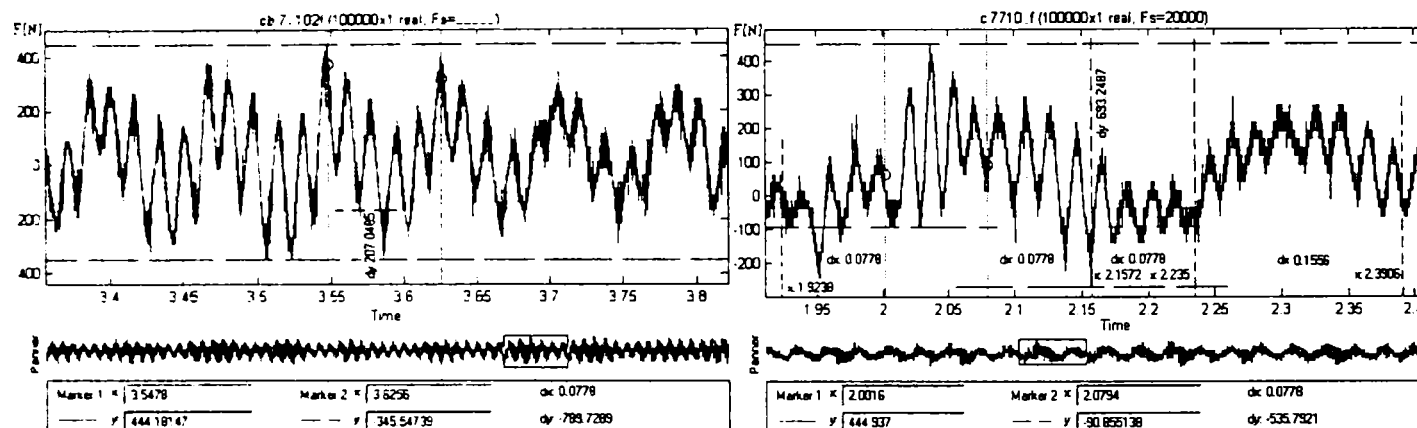


Fig. A31. 51. (cb.771. 02.f)

Fig. A31. 52. (c.771. 02.f)

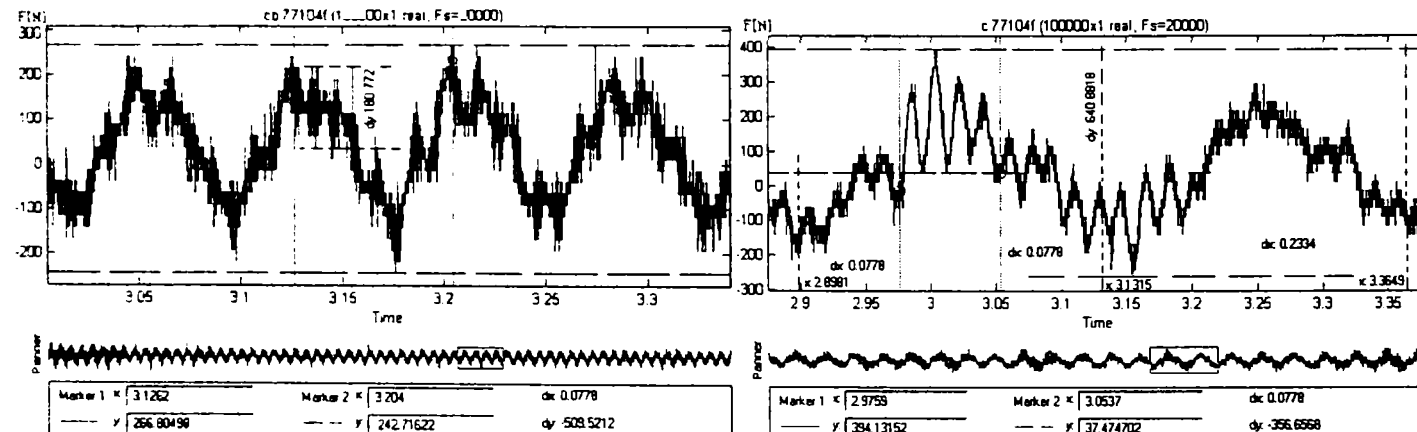


Fig. A31. 53. (cb.771. 04.f)

Fig. A31. 54. (c.771. 04.f)

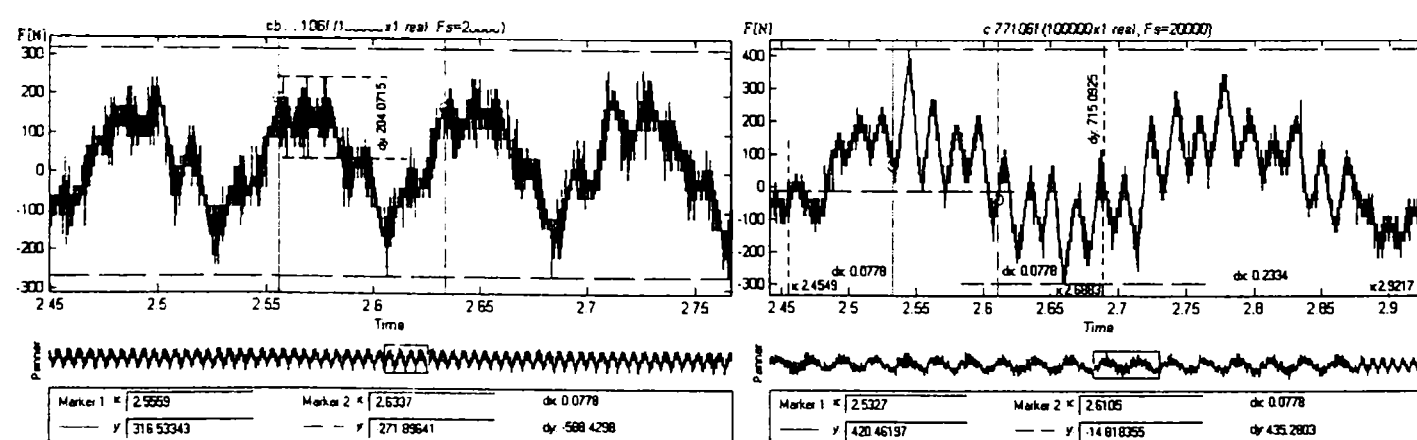


Fig. A31. 55. (cb.771. 06.f)

Fig. A31. 56. (c.771. 06.f)

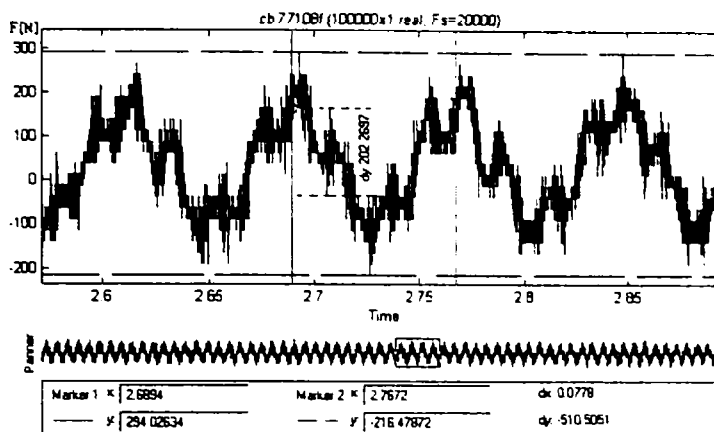


Fig. A31. 57. (cb.771. 08.f)

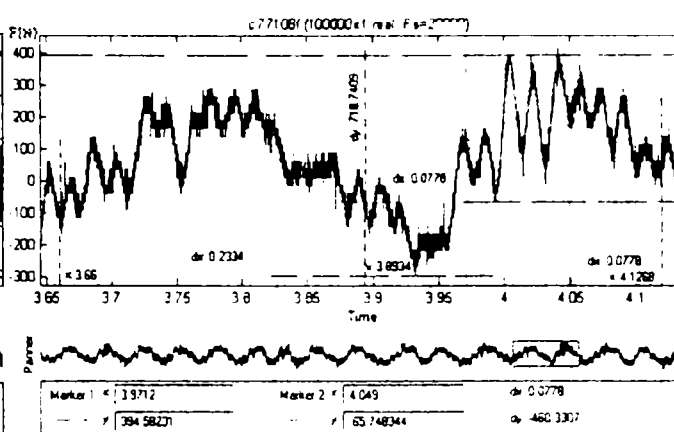


Fig. A31. 58. (c.771. 08.f)

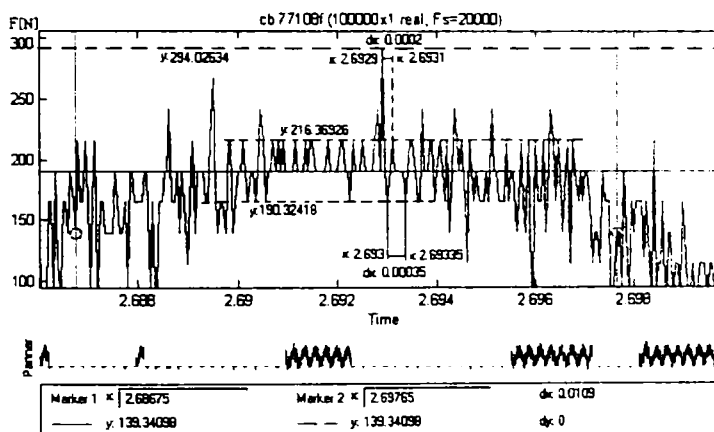


Fig. A31. 59. (cb.771. 08.f detaliu)

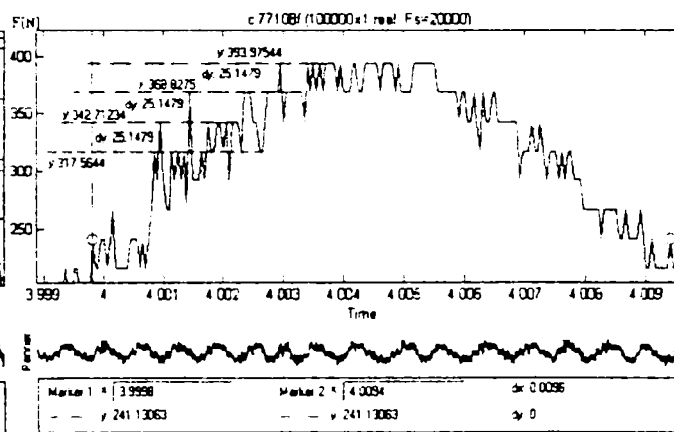


Fig. A31. 60. (c.771. 08.f detaliu)

Notă. Semnificația notărilor din paranteză:

- cb – dispozitivul a fost blocat (așchiere obișnuită);
- c - așchiere cu vibropercuții;
- primele trei cifre reprezintă turăția utilizată la arborele mașinii-unelte;
- următoarele două cifre reprezintă viteza de avans utilizată;
- f – forță axială la găuri;
- detaliu – se prezintă aspectul variației forței axiale pe intervale de timp foarte mici.

Anexa 32.

Diagramale momentului de aşchiere cu dispozitiv blocat și dispozitiv neblocat

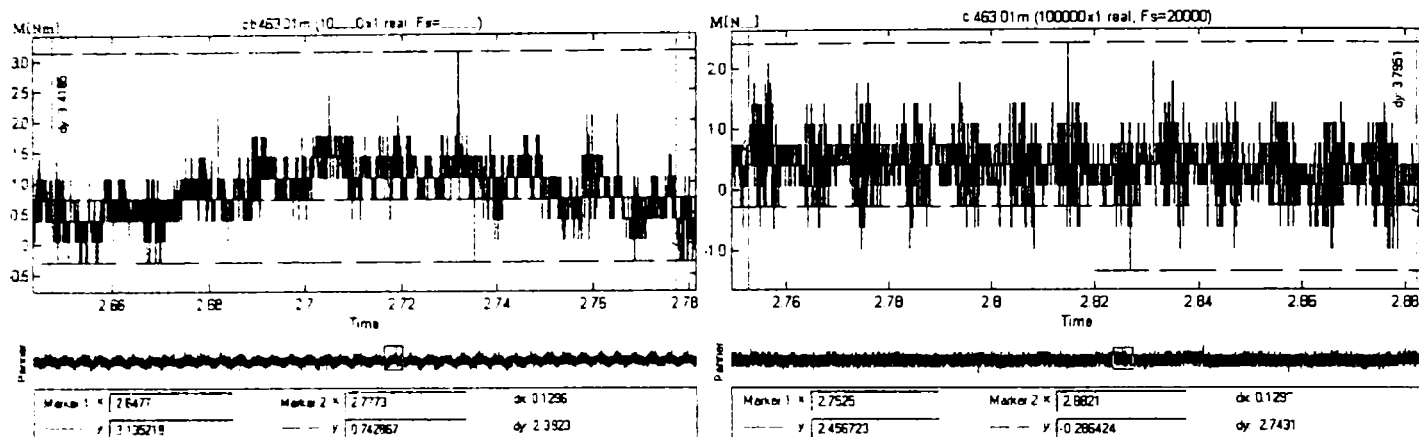


Fig. A32. 1. (cb. 463. 01.m)

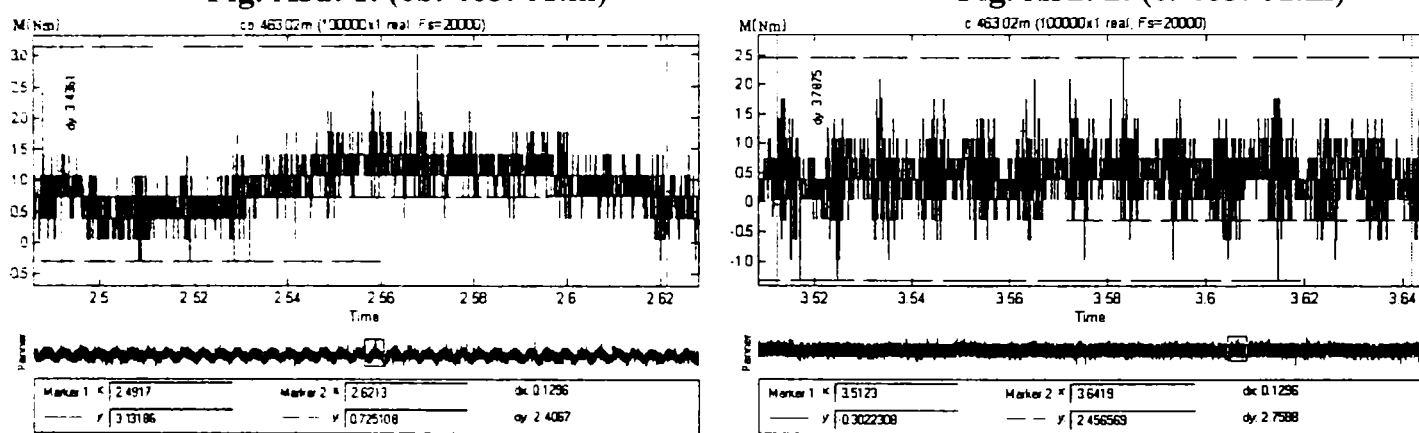


Fig. A32. 3. (cb. 463. 02.m)

Fig. A32. 2. (c. 463. 01.m)

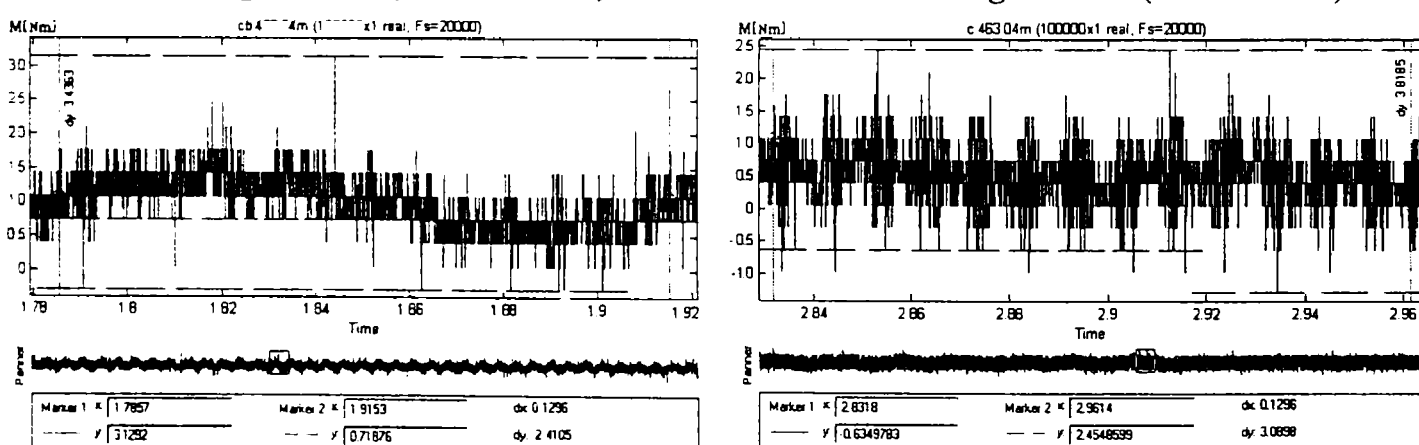


Fig. A32. 5. (cb. 463. 04.m)

Fig. A32. 4. (c. 463. 02.m)

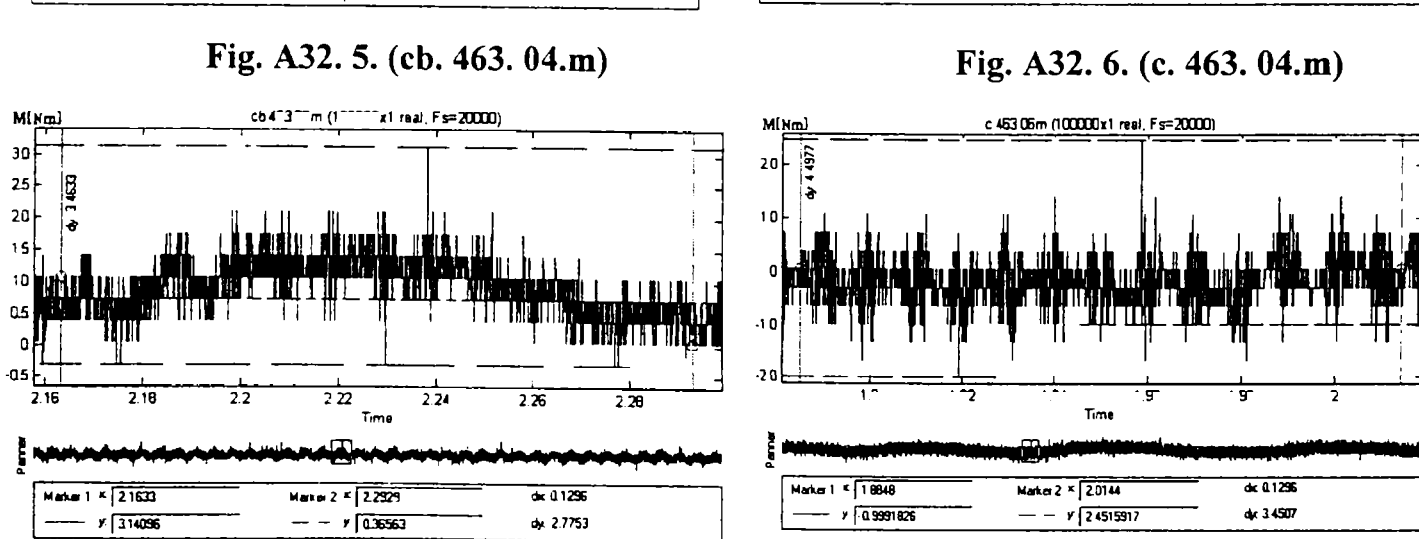


Fig. A32. 7. (cb. 463. 06.m)

Fig. A32. 6. (c. 463. 04.m)

Fig. A32. 8. (c. 463. 06.m)

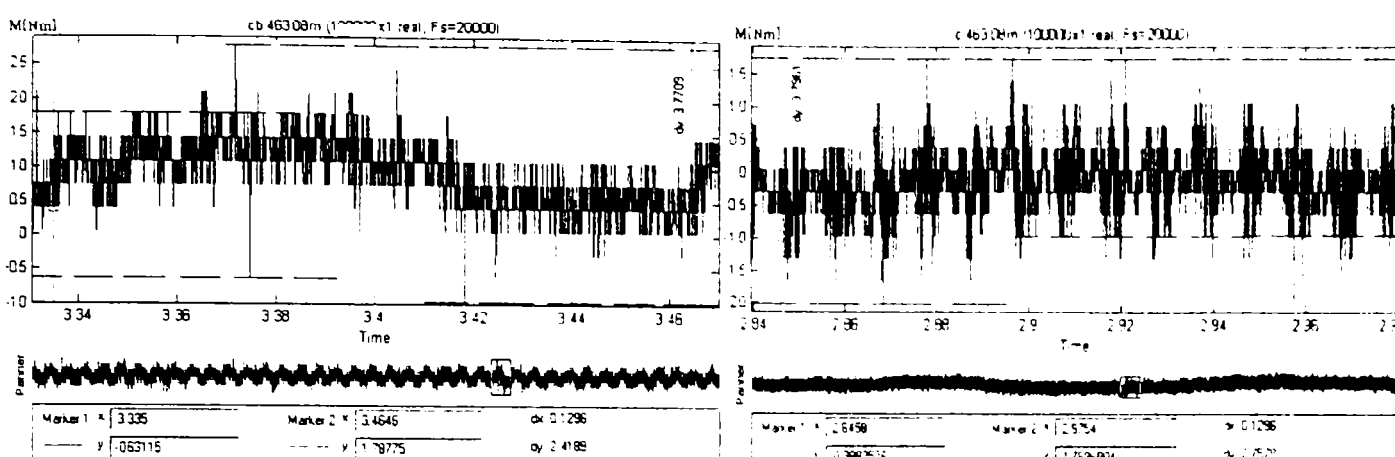


Fig. A32. 9. (cb. 463. 08.m)

Fig. A32. 10. (c. 463. 08.m)

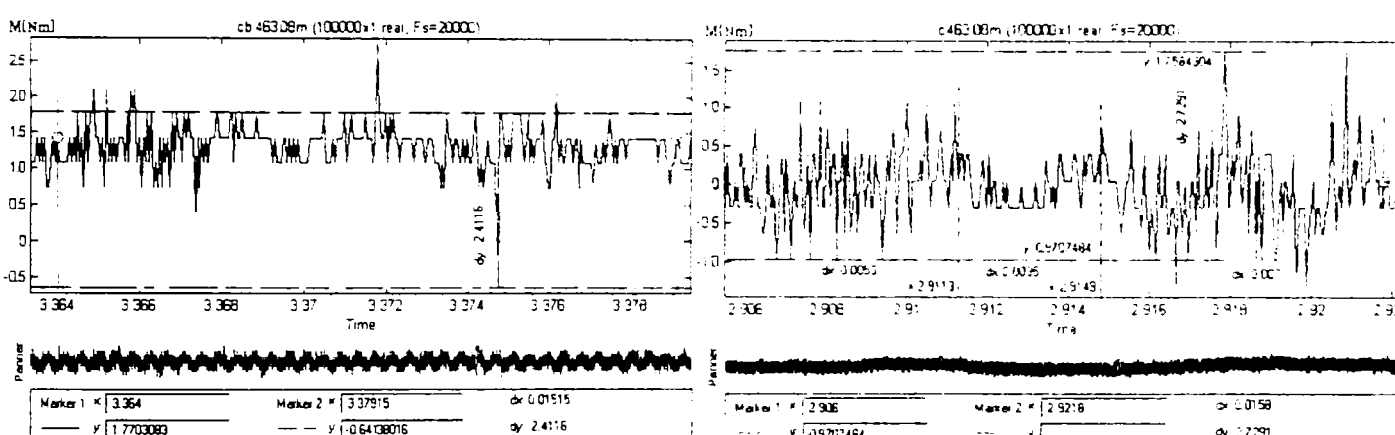


Fig. A32. 11. (cb. 463. 08.m detaliu)

Fig. A32. 12. (c. 463. 01.m detaliu)

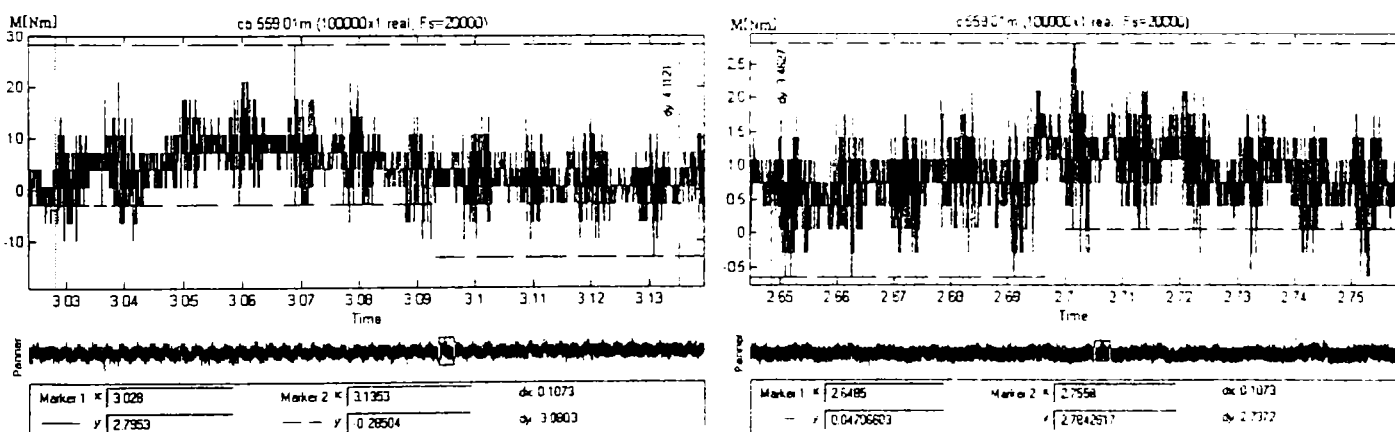


Fig. A32. 13. (cb. 559. 01.m)

Fig. A32. 14. (c. 559. 01.m)

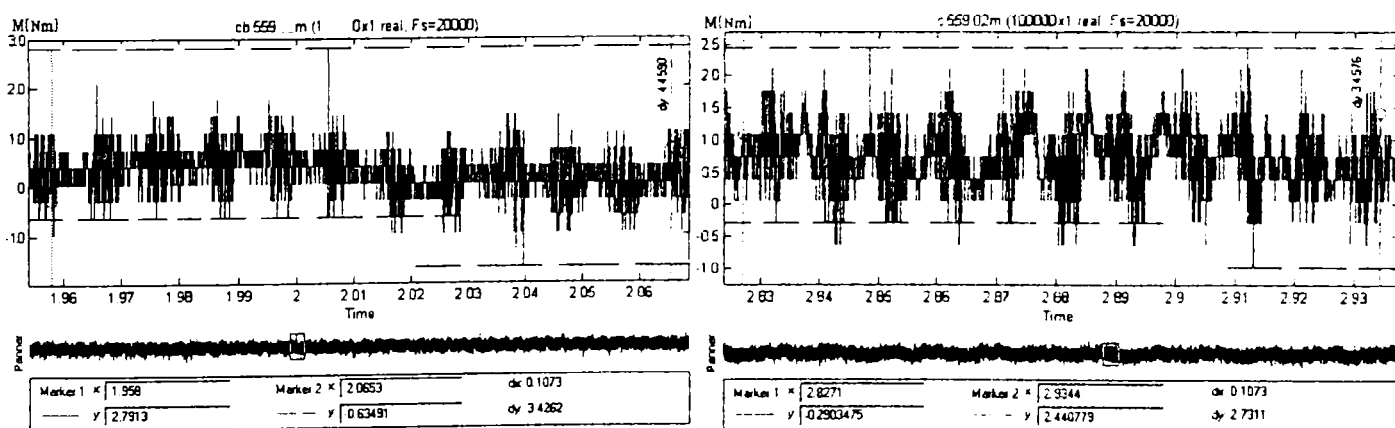


Fig. A32. 15. (cb. 559. 02.m)

Fig. A32. 16. (c. 559. 02.m)

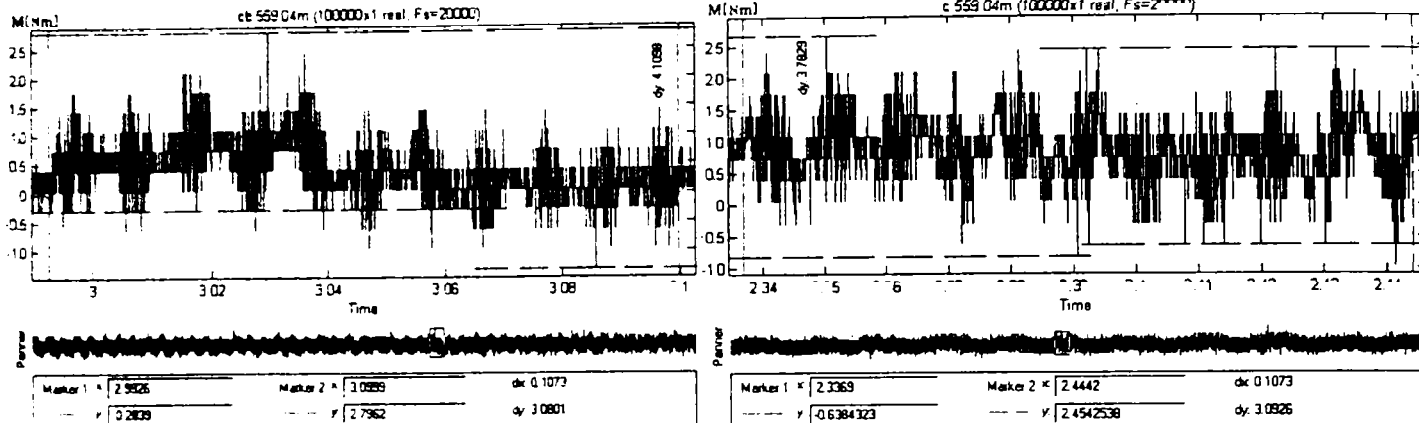


Fig. A32. 17. (cb. 559. 04.m)

Fig. A32. 18. (c. 559. 04.m)

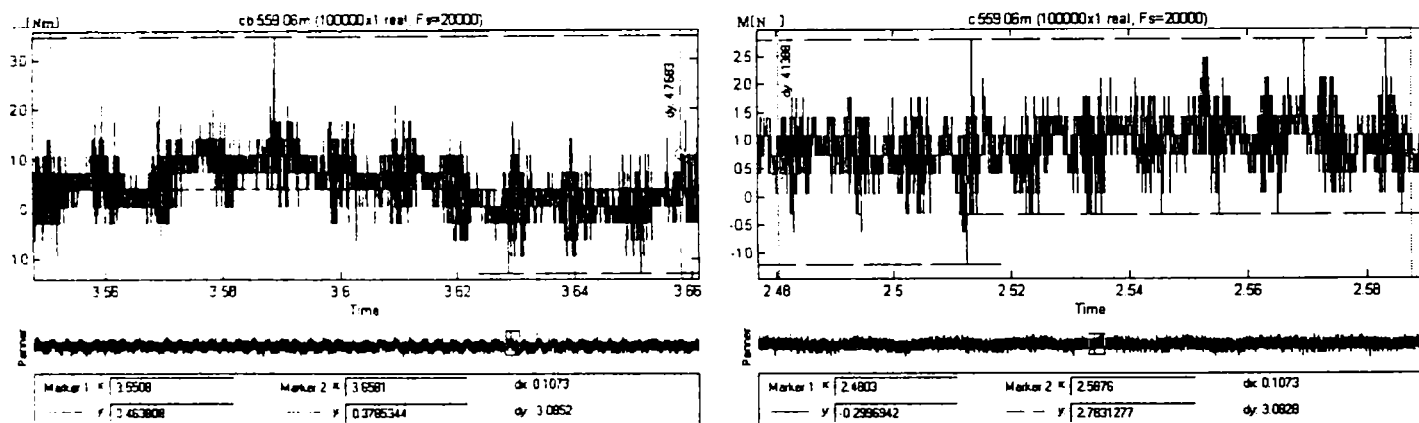


Fig. A32. 19. (cb. 559. 06.m)

Fig. A32. 20. (c. 559. 06.m)

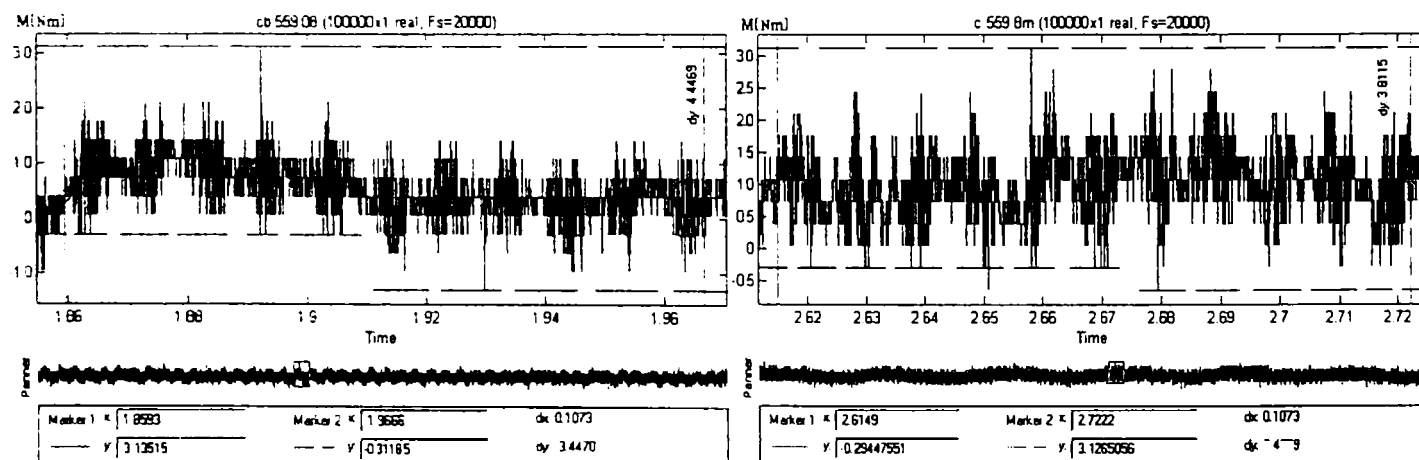


Fig. A32. 21. (cb. 559. 08.m)

Fig. A32. 22. (c. 559. 08.m)

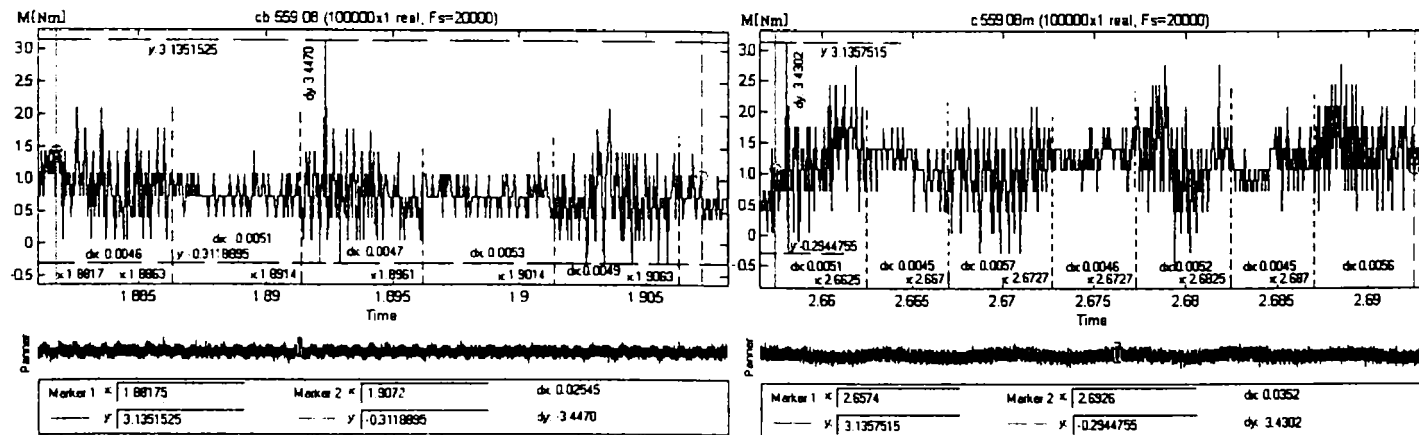


Fig. A32. 23. (cb. 559. 08.m detaliu)

Fig. A32. 24. (c. 559. 08.m detaliu)

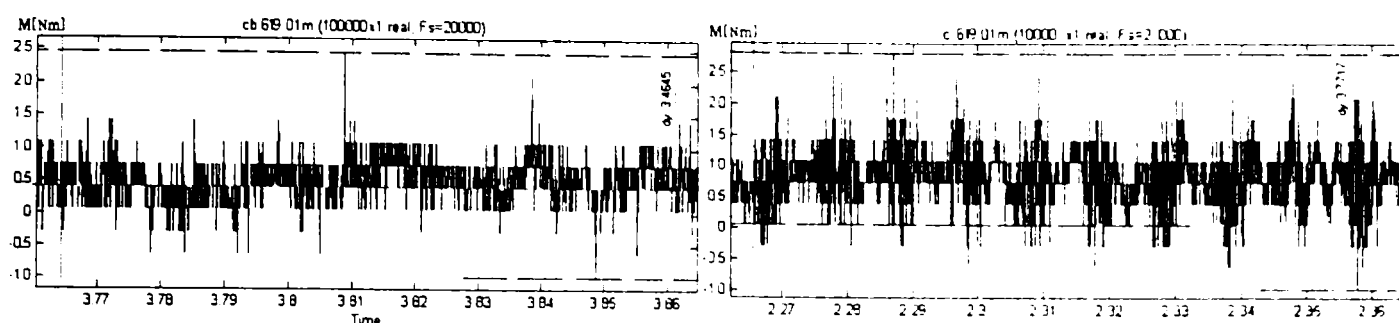


Fig. A32. 25. (cb. 619. 01.m)

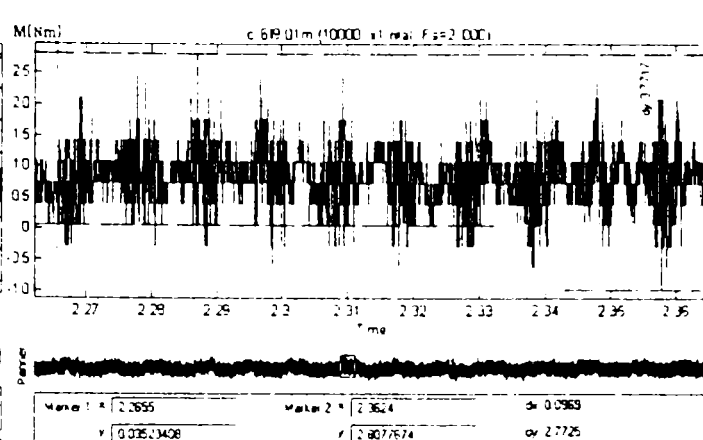


Fig. A32. 26. (c. 619. 01.m)

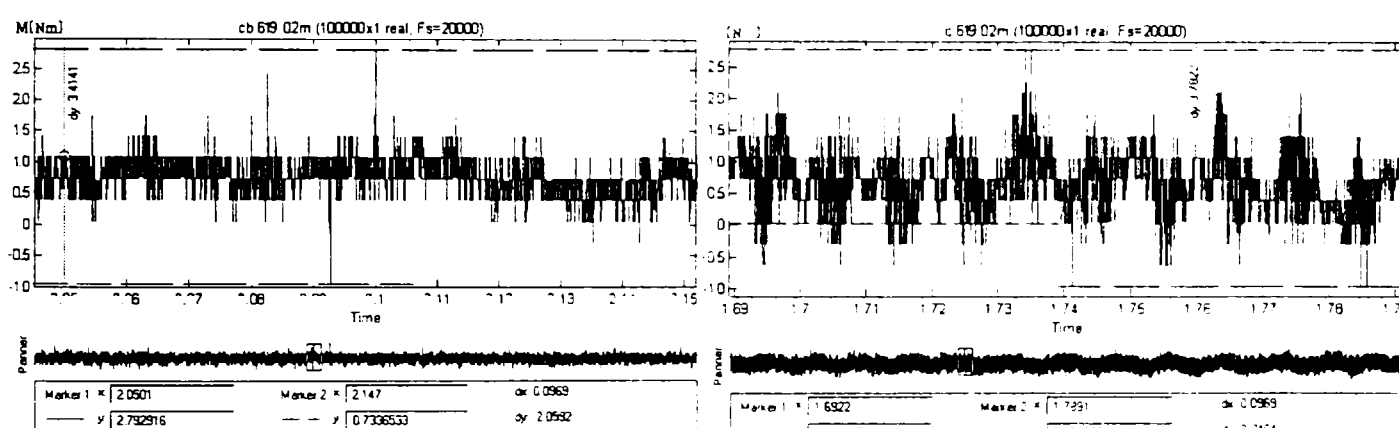


Fig. A32. 27. (cb. 619. 02.m)

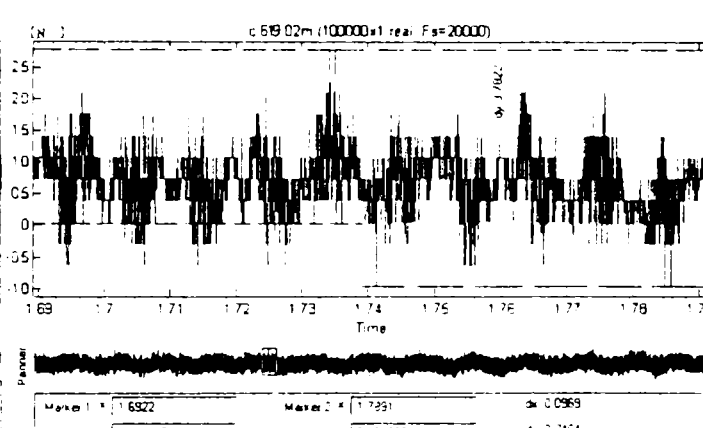


Fig. A32. 28. (c. 619. 02.m)

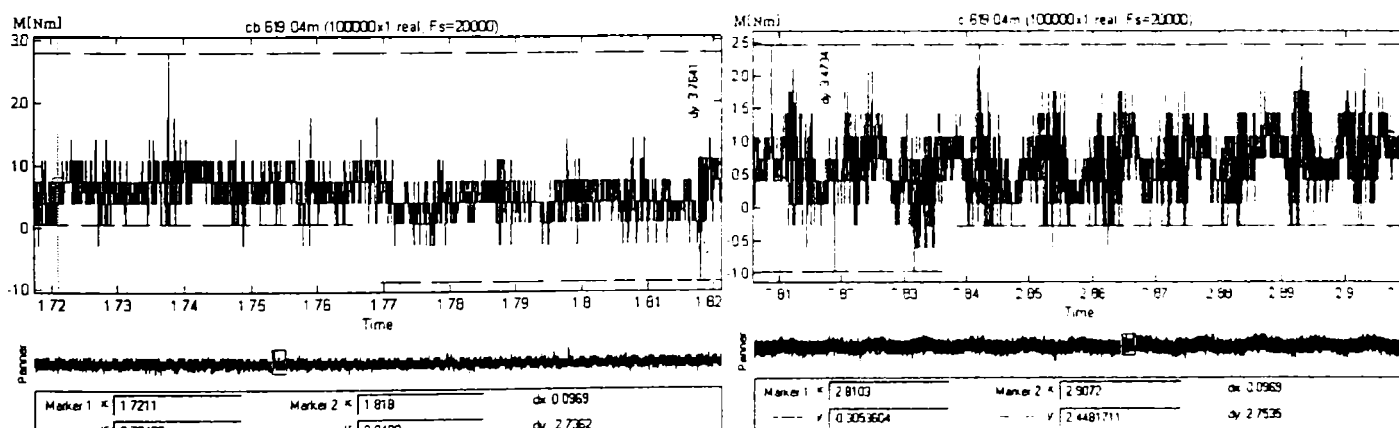


Fig. A32. 29. (cb. 619. 04.m)

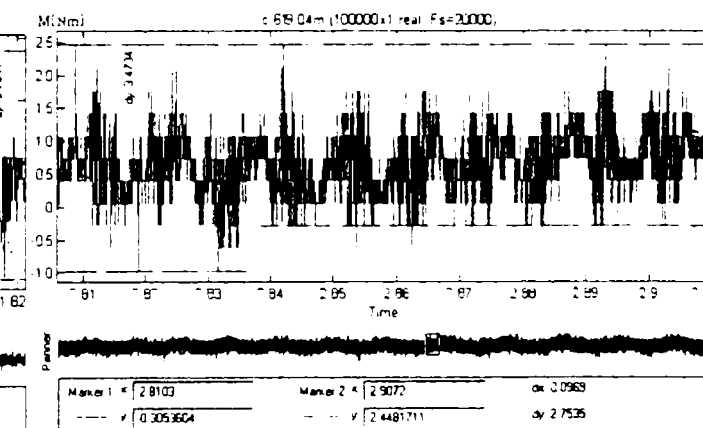


Fig. A32. 30. (c. 619. 04.m)

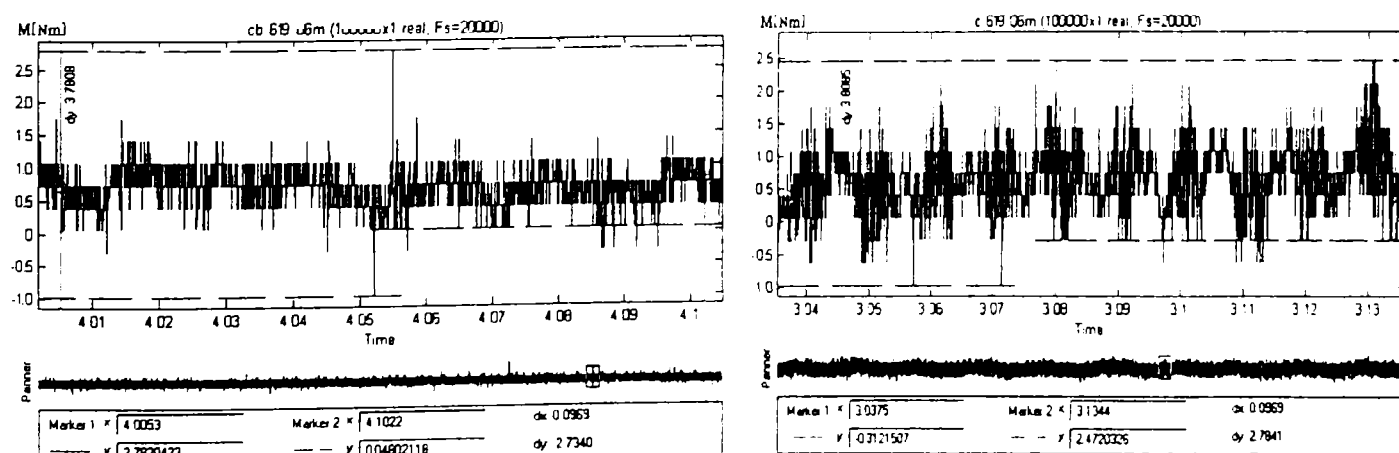


Fig. A32. 31. (cb. 619. 06.m)

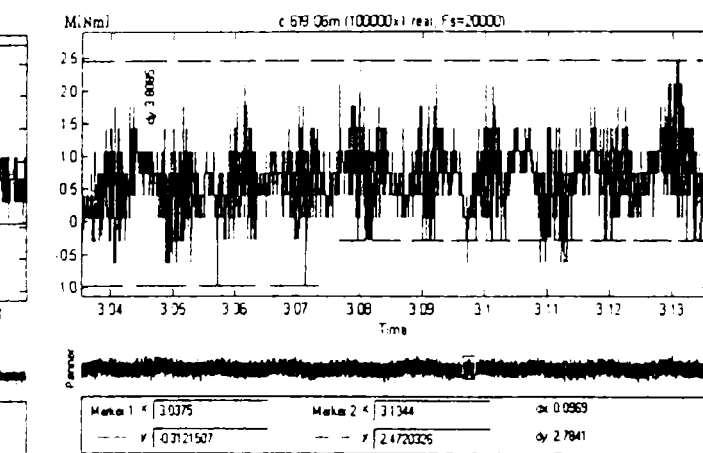


Fig. A32. 32. (c. 619. 06.m)

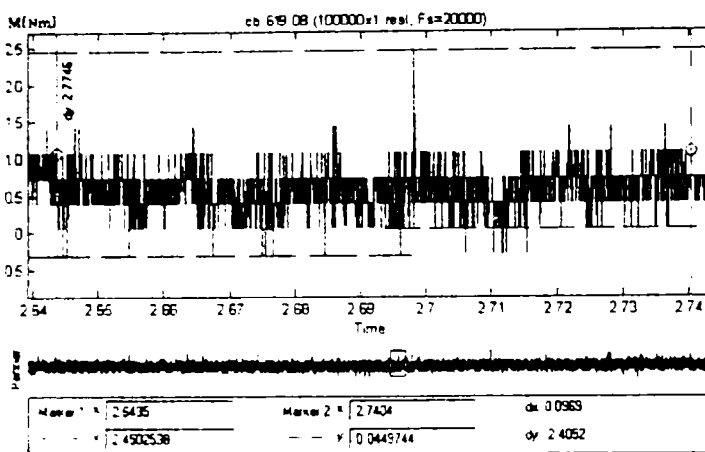


Fig. A32. 33. (cb. 619. 08.m)

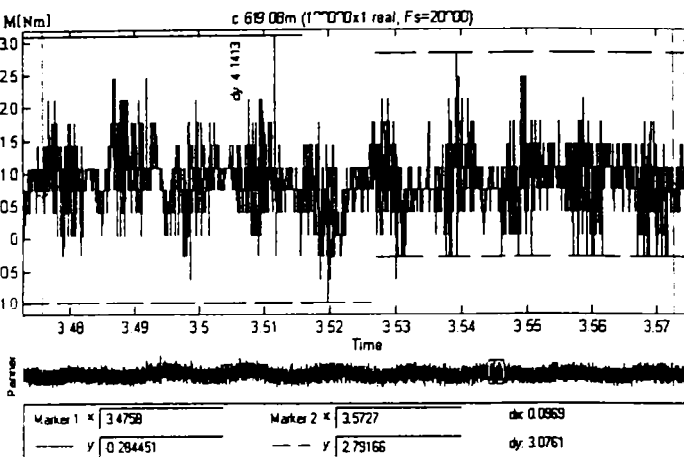


Fig. A32. 34. (c. 619. 08.m)

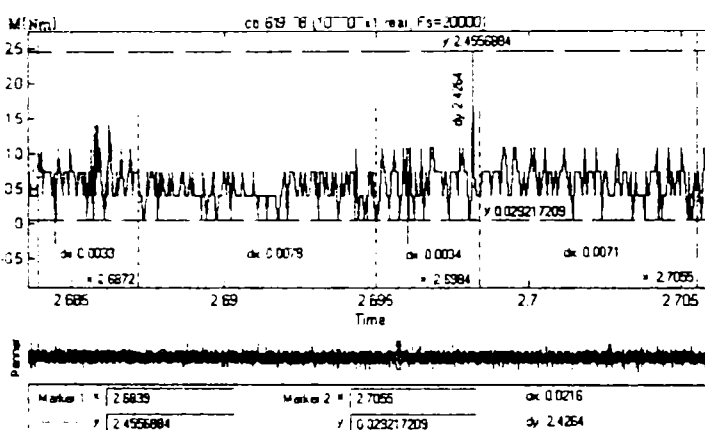


Fig. A32. 35. (cb. 619. 08.m detaliu)

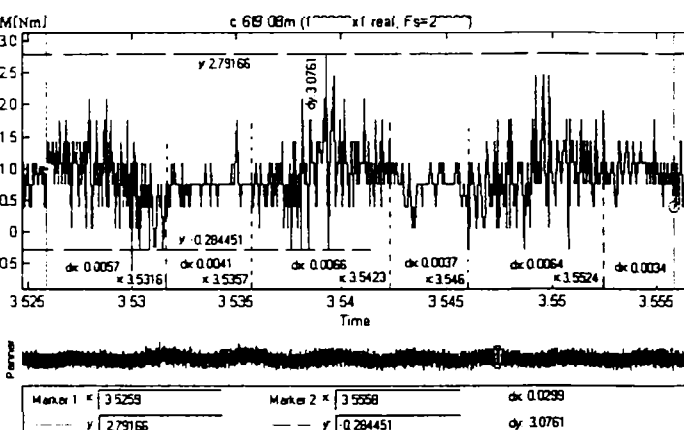


Fig. A32. 36. (c. 619. 08.m detaliu)

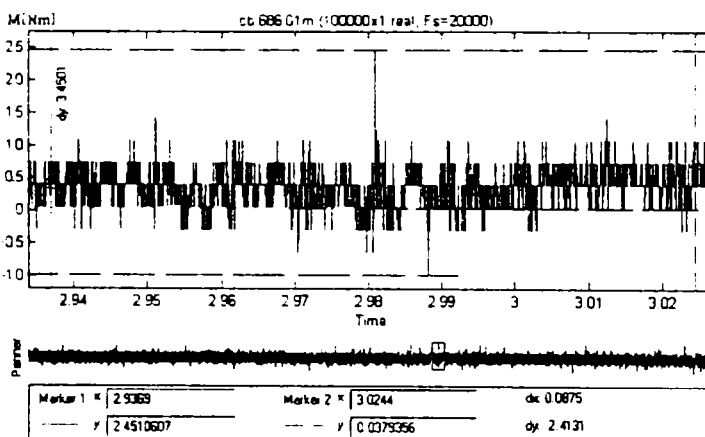


Fig. A32. 37. (cb. 686. 01.m)

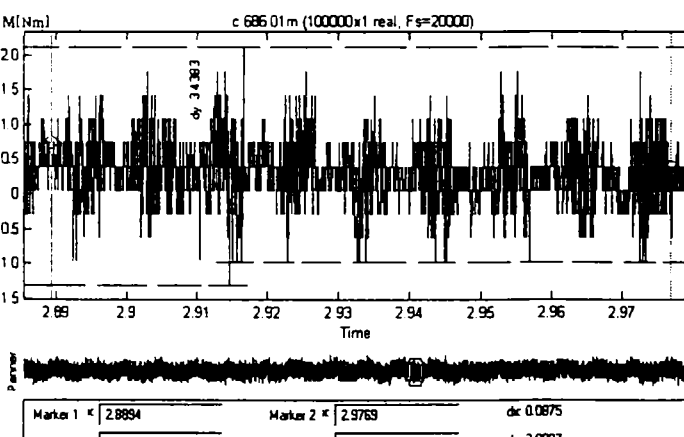


Fig. A32. 38. (c. 686 01.m)

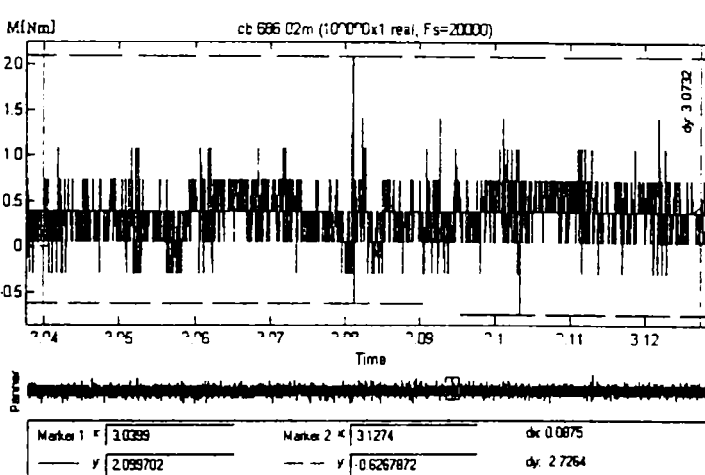


Fig. A32. 39. (cb. 686. 02.m)

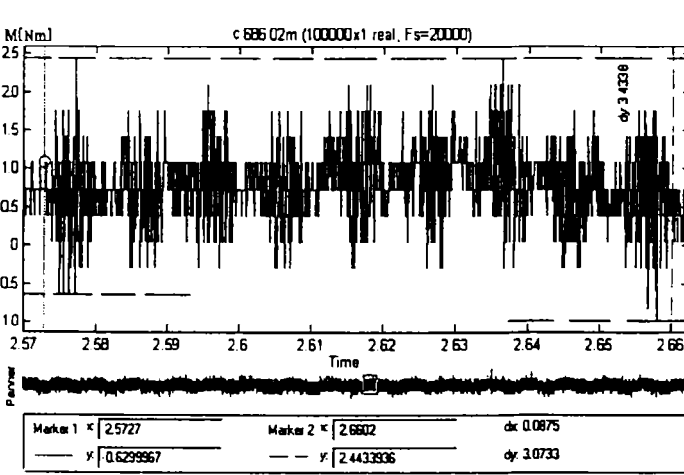


Fig. A32. 40. (c. 686 02.m)

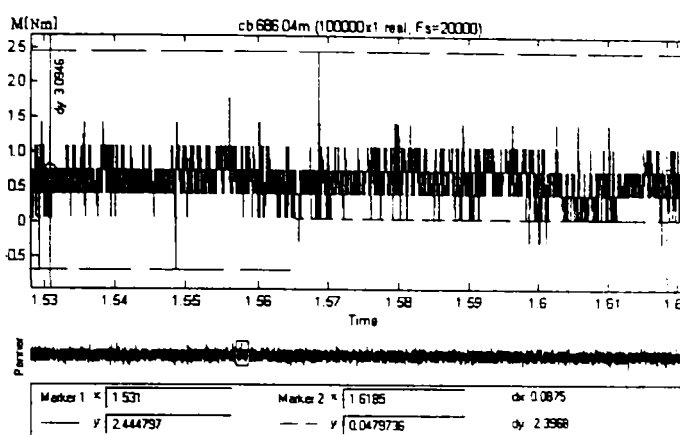


Fig. A32. 41. (cb. 686. 04.m)

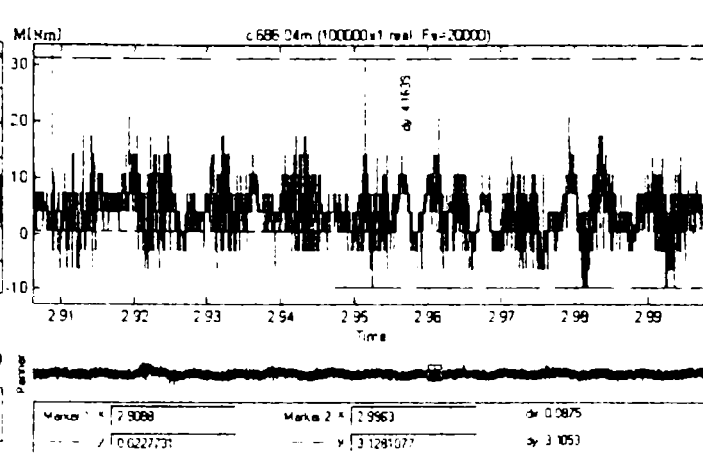


Fig. A32. 42. (c. 686 04.m)

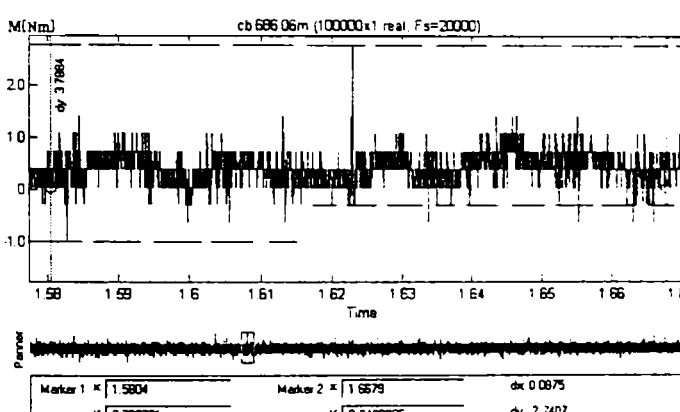


Fig. A32. 43. (cb. 686. 06.m)

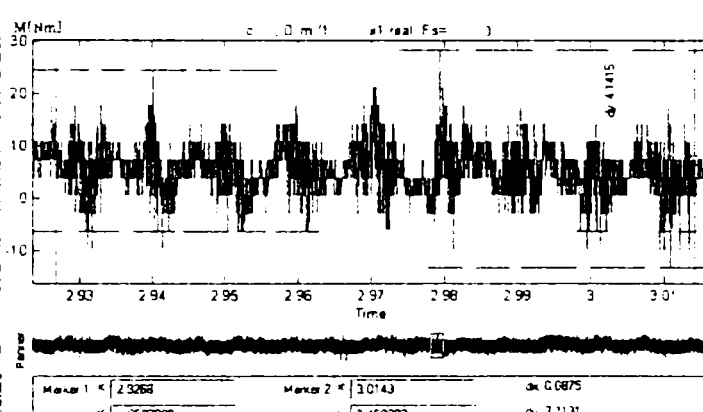


Fig. A32. 44. (c. 686 06.m)

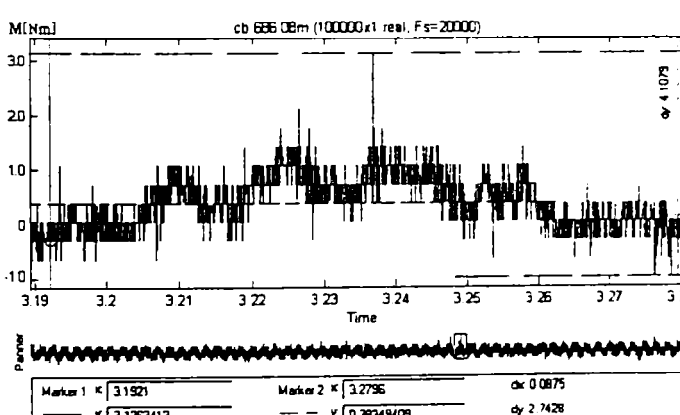


Fig. A32. 45. (cb. 686. 08.m)

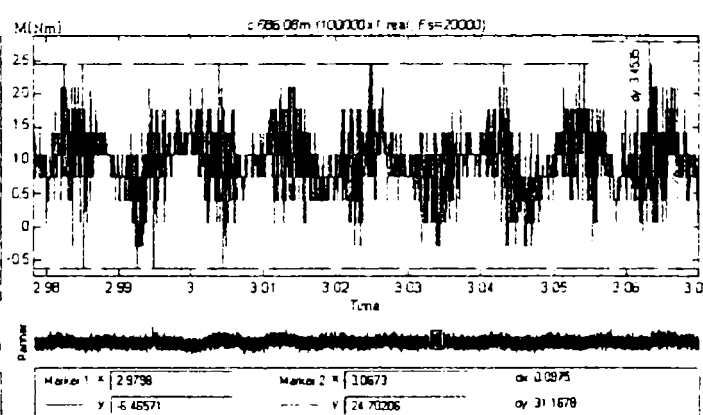


Fig. A32. 46. (c. 686 08.m)

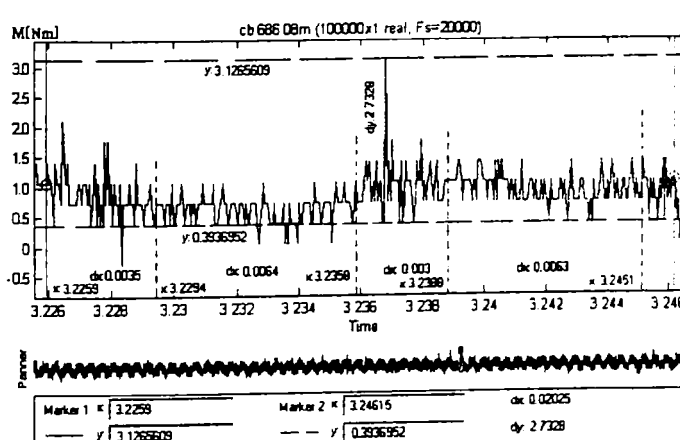


Fig. A32. 47. (cb. 686. 08.m detaliu)

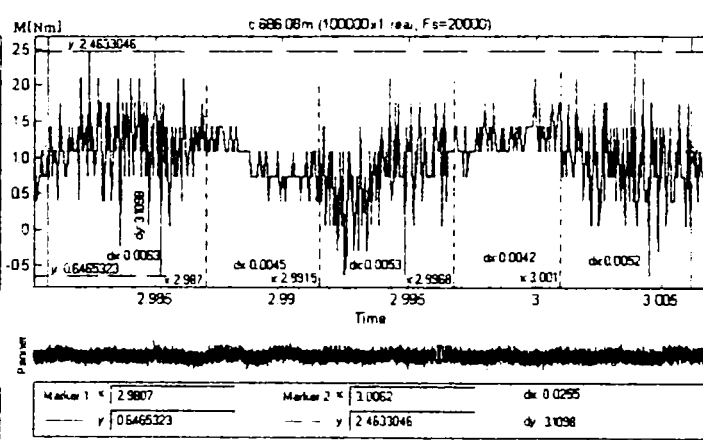


Fig. A32. 48. (c. 686 08.m detaliu)

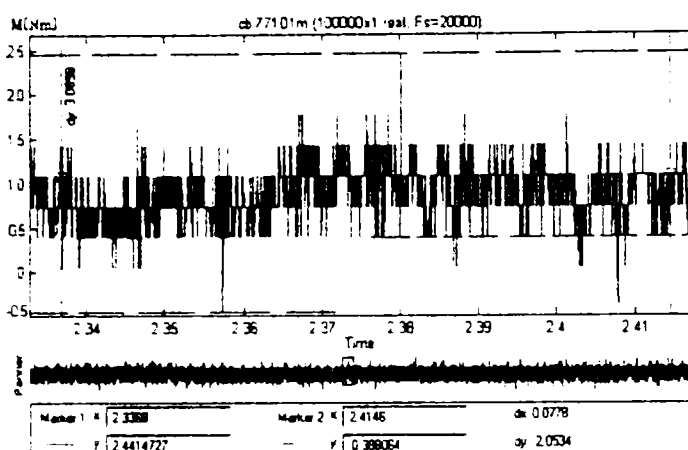


Fig. A32. 49. (cb. 771. 01.m)

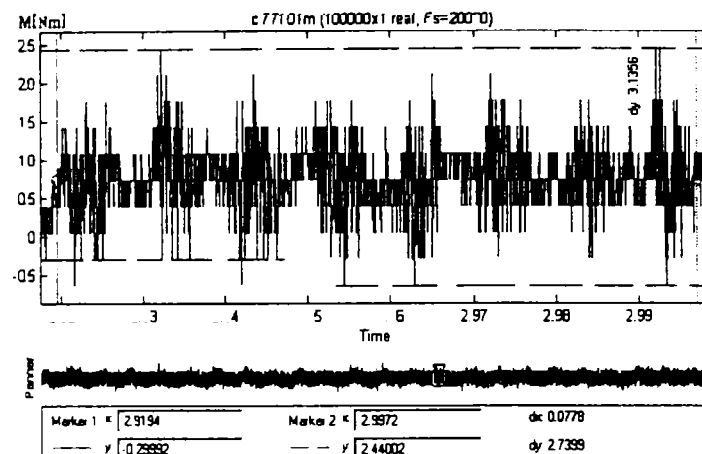


Fig. A32. 50. (c. 771 01.m)

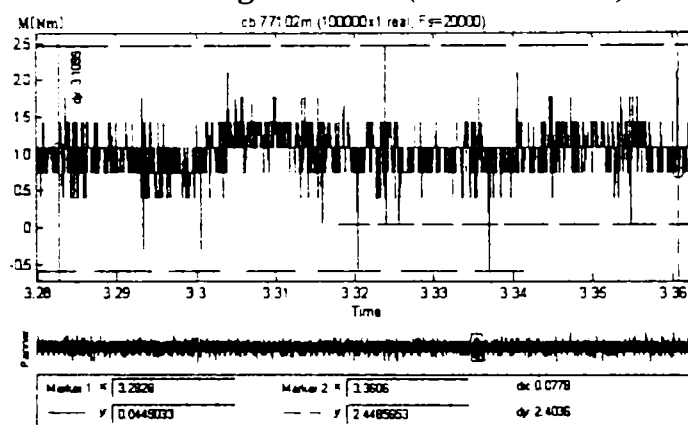


Fig. A32. 51. (cb. 771. 02.m)

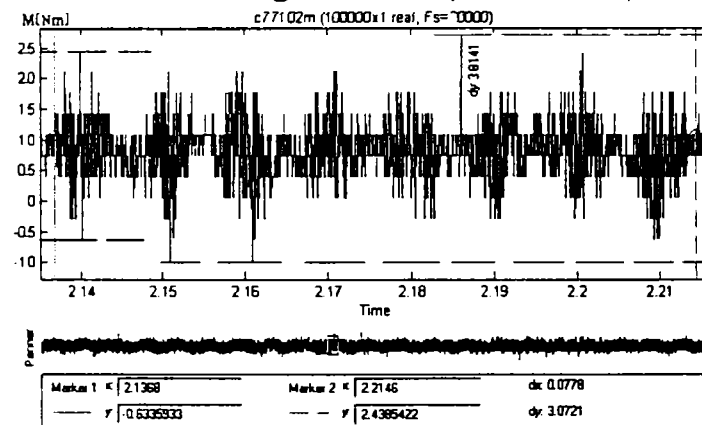


Fig. A32. 52. (c. 771 02.m)

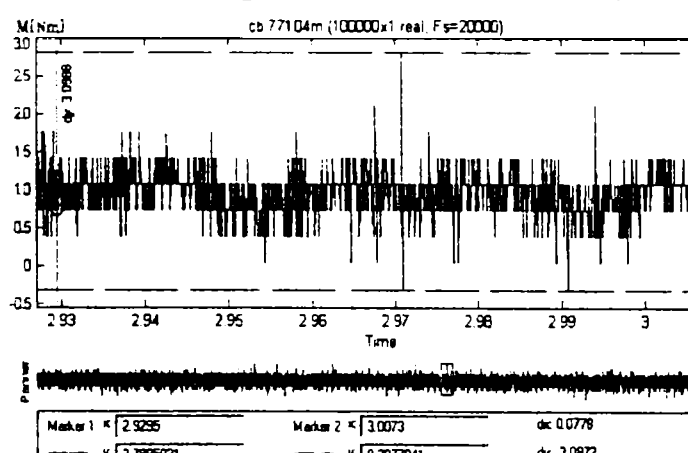


Fig. A32. 53. (cb. 771. 04.m)

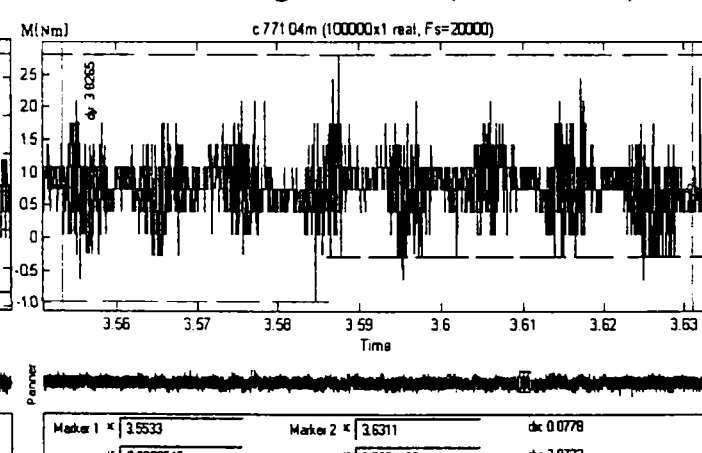


Fig. A32. 54. (c. 771 04.m)

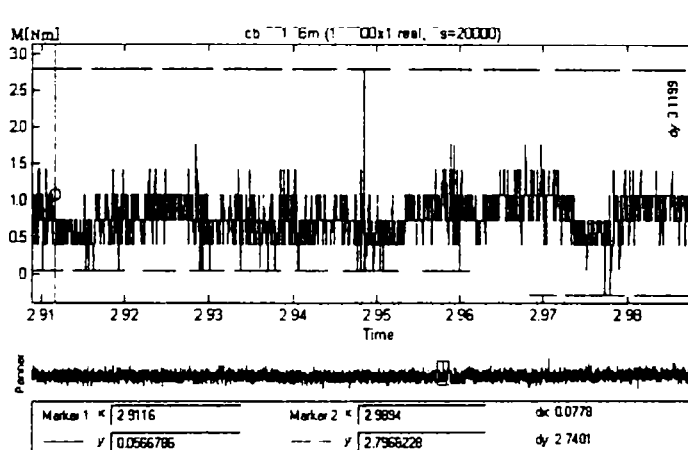


Fig. A32. 55. (cb. 771. 06.m)

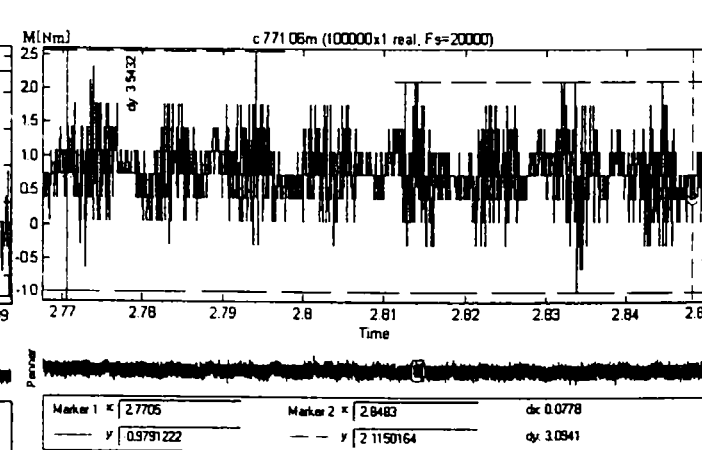


Fig. A32. 56. (c. 771 06.m)

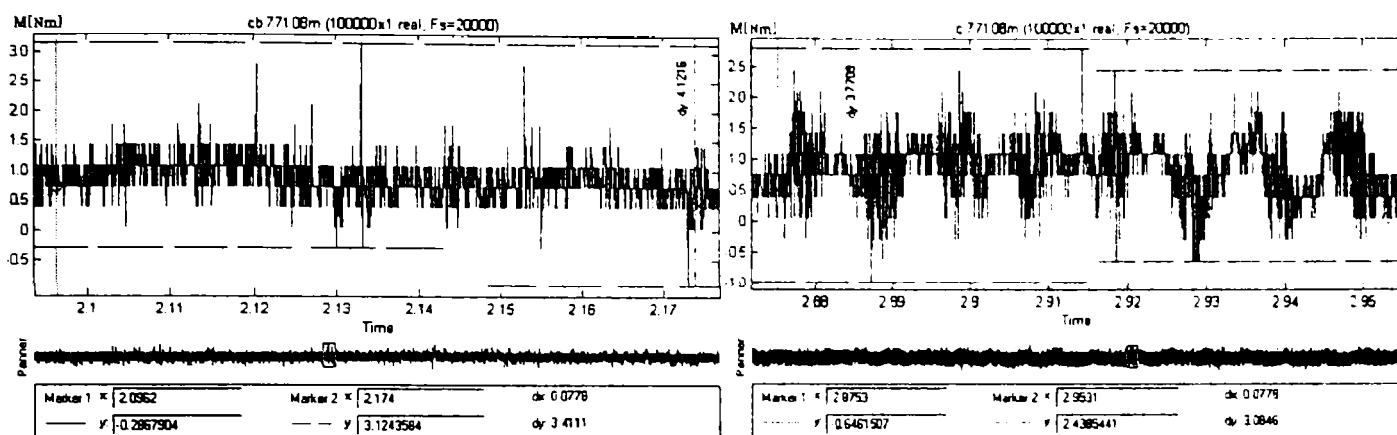


Fig. A32. 57. (cb. 771. 08.m)

Fig. A32. 58. (c. 771 08.m)

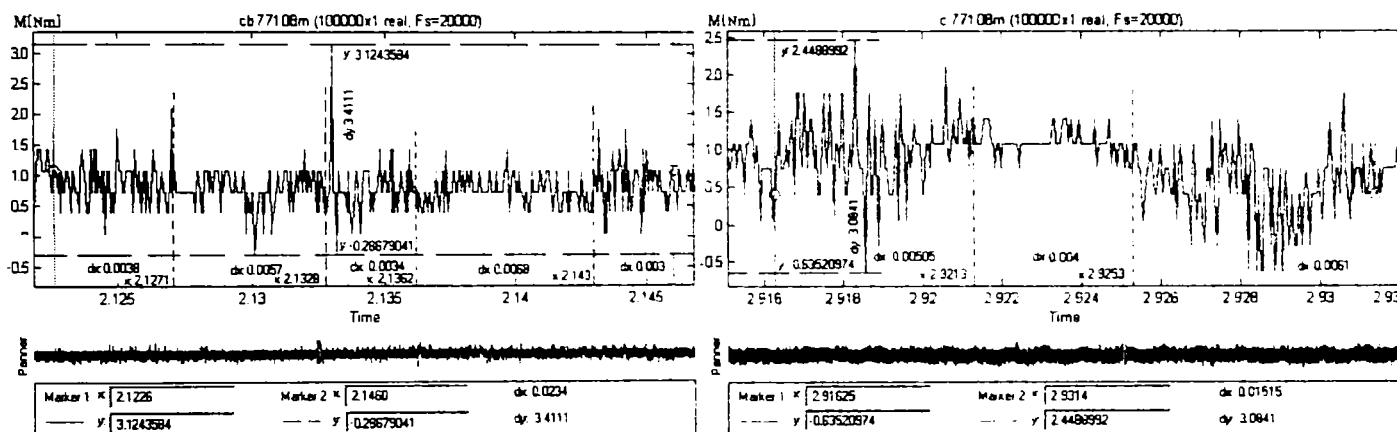


Fig. A32. 59. (cb. 771. 08.m detaliu)

Fig. A32. 60. (c. 771 08.m detaliu)

Notă.

Semnificația notațiilor din paranteză:

- cb – dispozitivul pentru aşchierea cu vibropercuţii a fost blocat (aşchiere obişnuită);
- c - aşchiere cu vibropercuţii;
- primele trei cifre reprezintă turaţia utilizată la arborele maşinii-unelte;
- următoarele două cifre reprezintă avansul utilizat;
- m –moment.

Anexa 33. A

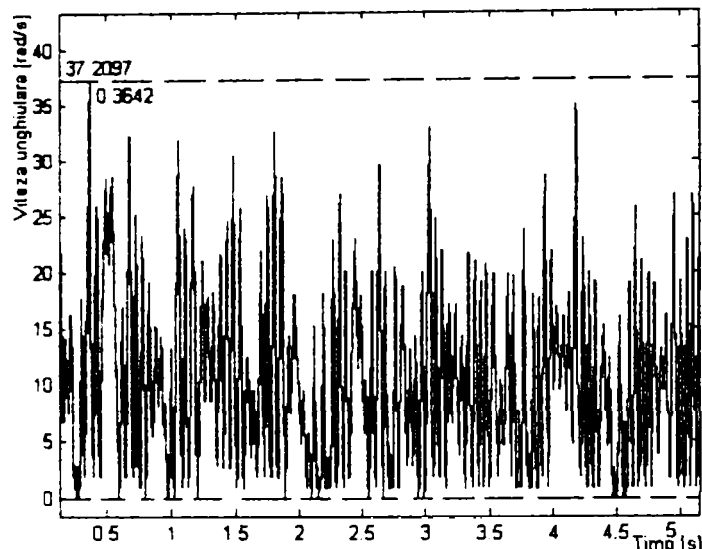
Diagramale variațiilor vitezelor unghiulare ale burghiuilui la aşchierea vibropercutantă

Fig. A.33.A. 1. (c. 463.01)

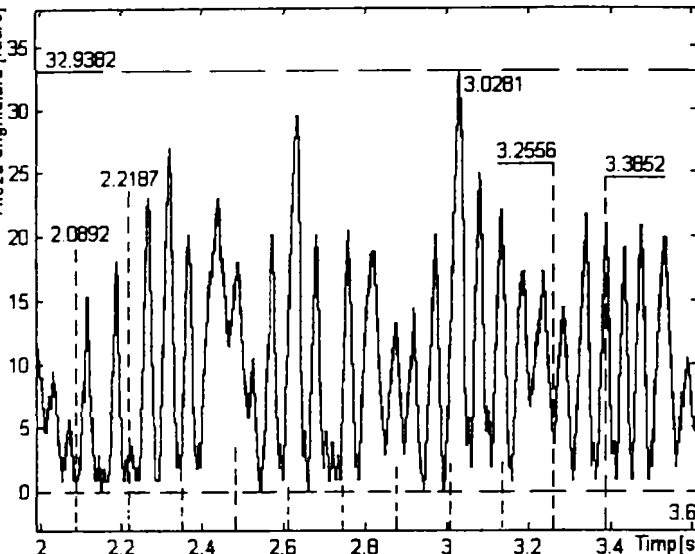


Fig. A.33.A. 2. (c. 463.01.det x 10turații)

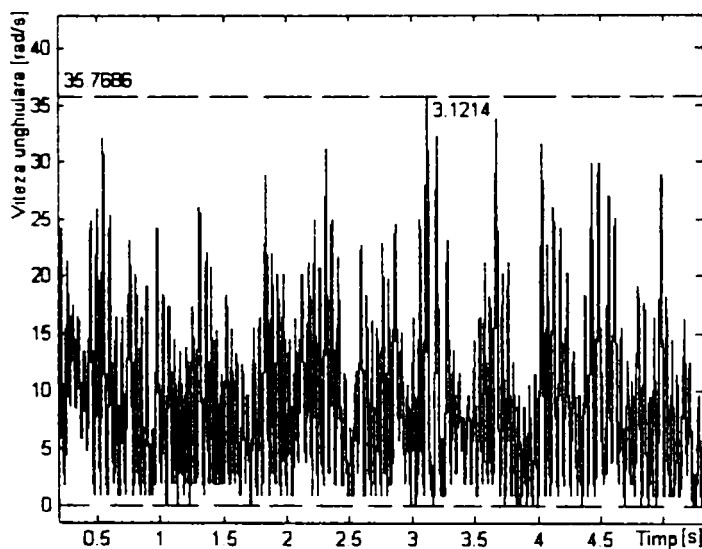


Fig. A.33.A. 3. (c. 463.02)

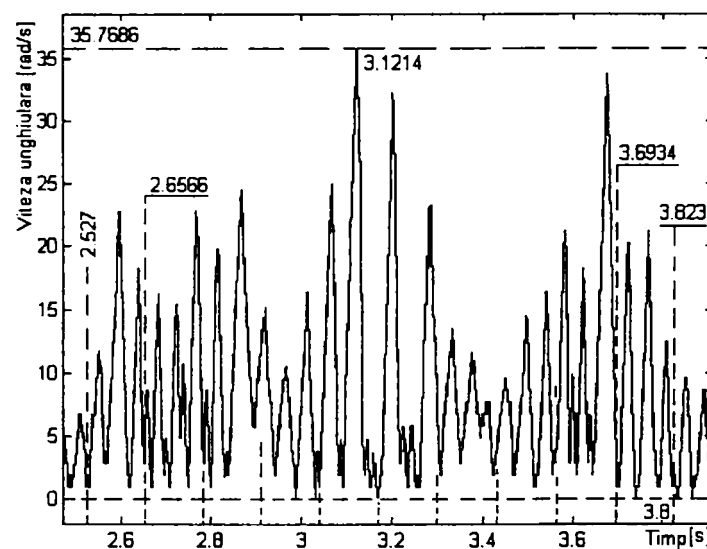


Fig. A.33.A. 4. (c. 463.02.det x 10turații)

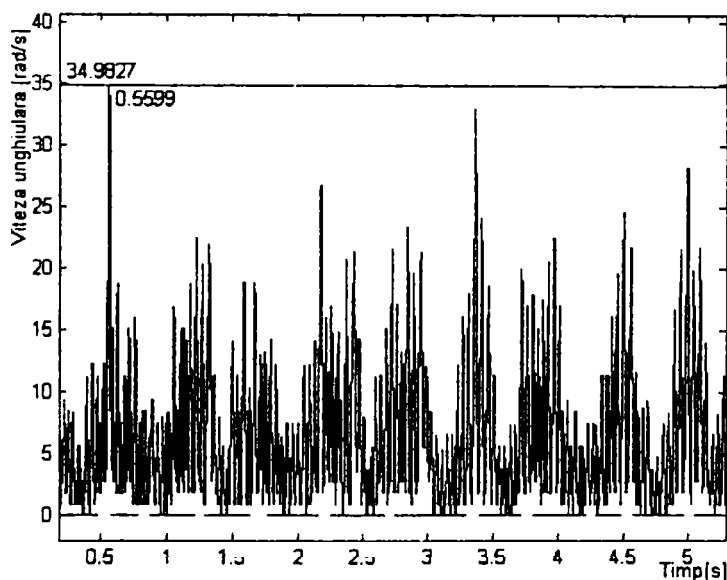


Fig. A.33.A. 5. (c. 463.04)

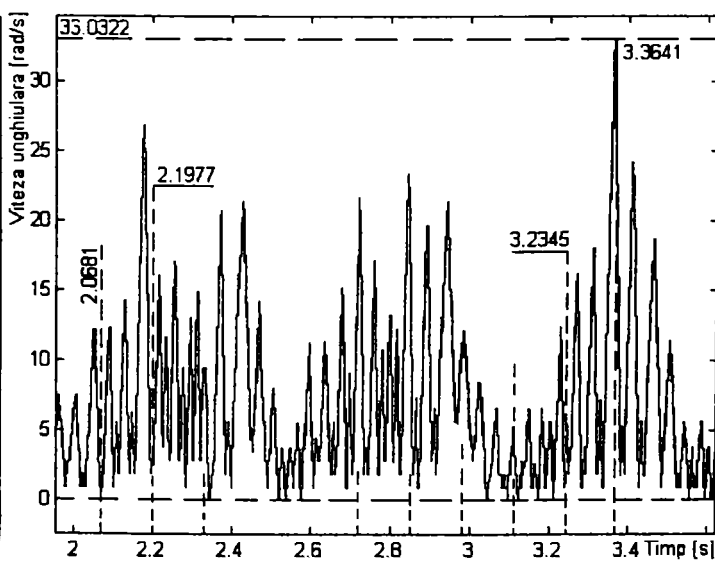


Fig. A.33.A. 6. (c. 463.04.det x 10turații)

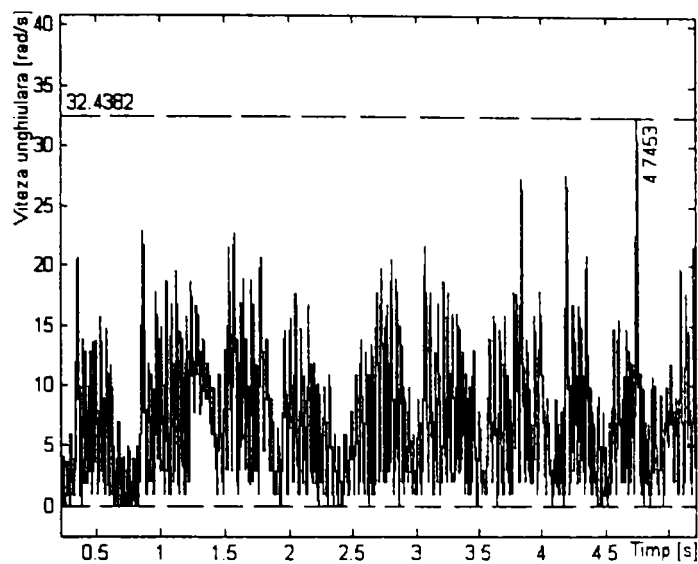


Fig. A.33.A. 7. (c. 463.06)

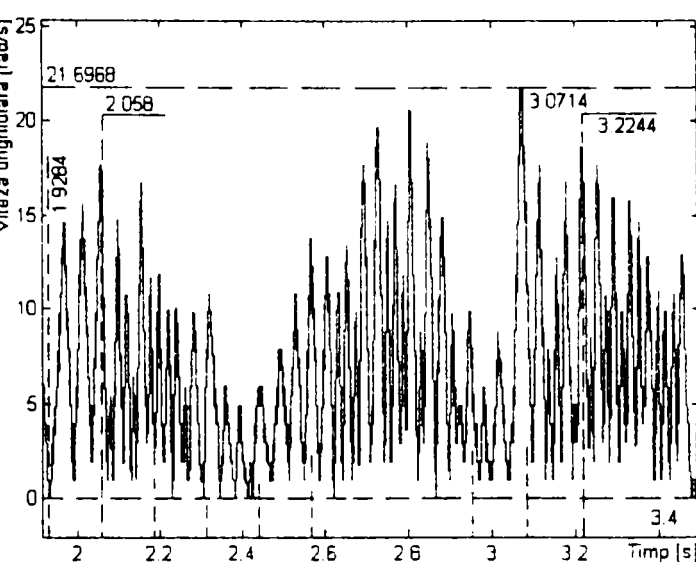


Fig. A.33.A. 8. (c. 463.06.det x 10turații)

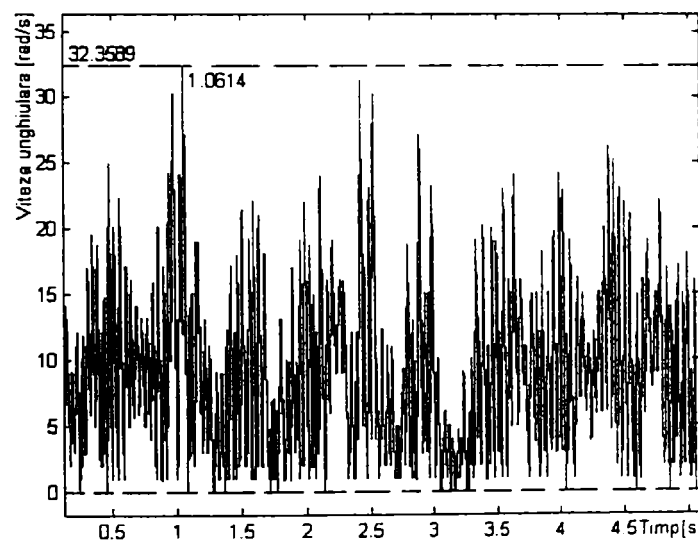


Fig. A.33.A. 9. (c. 463.08)

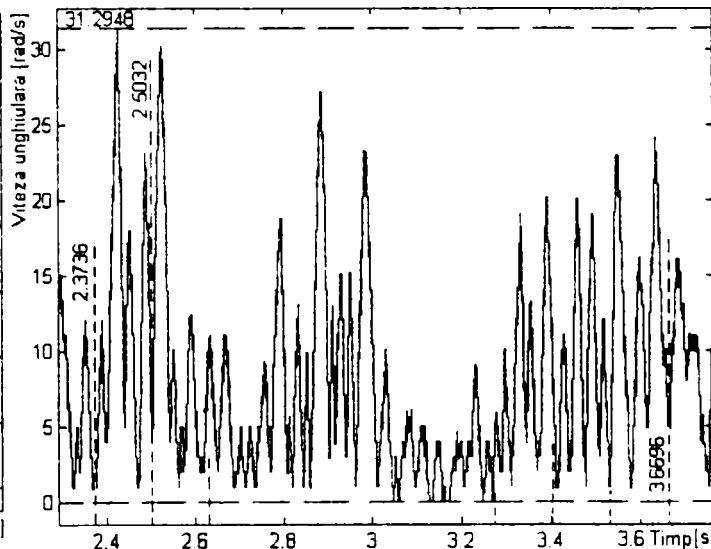


Fig. A.33.A. 10. (c. 463.08.det x 10turații)

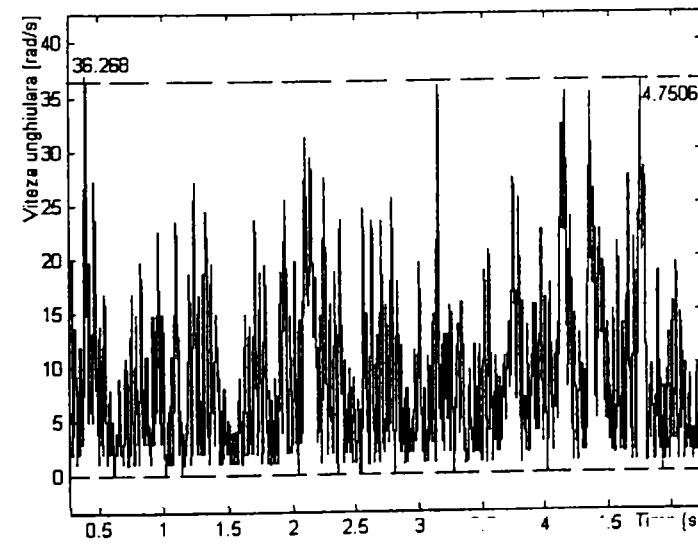


Fig. A.33.A. 11. (c. 559.01)

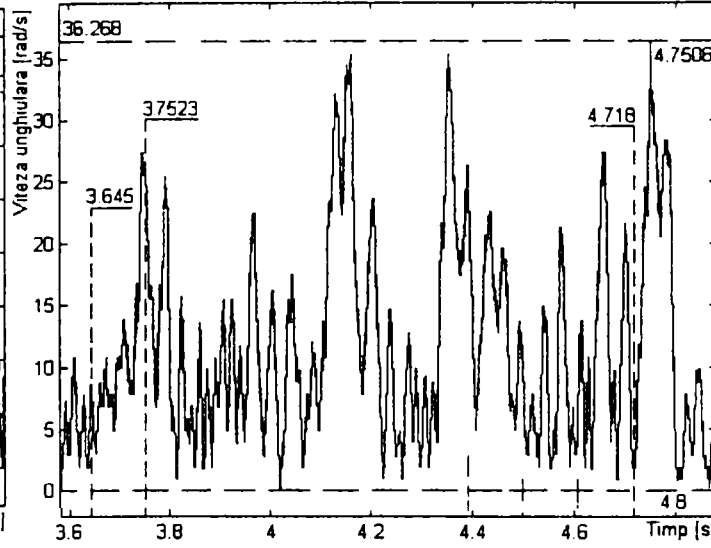


Fig. A.33.A. 12. (c. 559.01.det x 10turații)

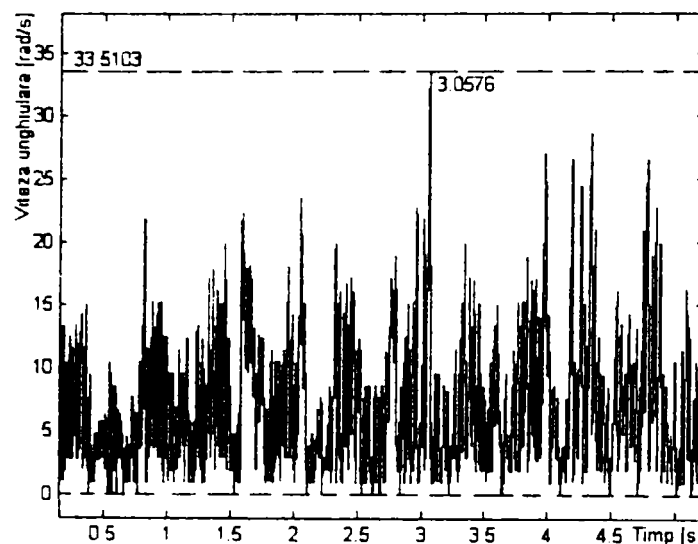


Fig. A.33.A. 13. (c. 559.02)

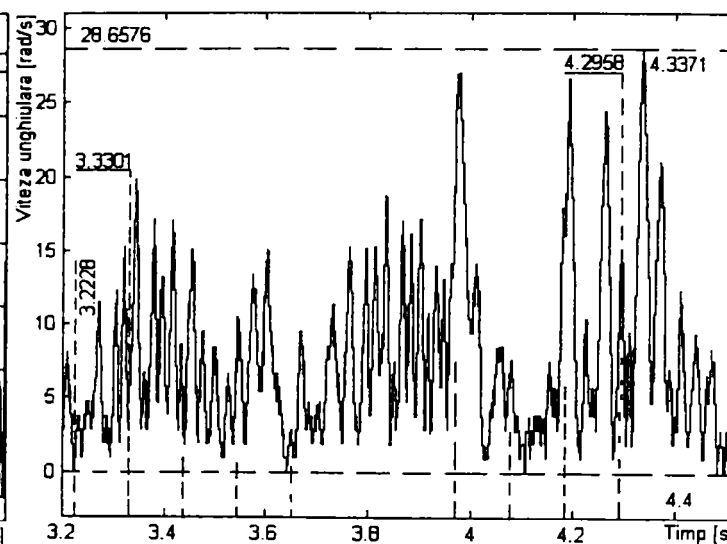


Fig. A.33.A. 14. (c. 559.02.det x 10turații)

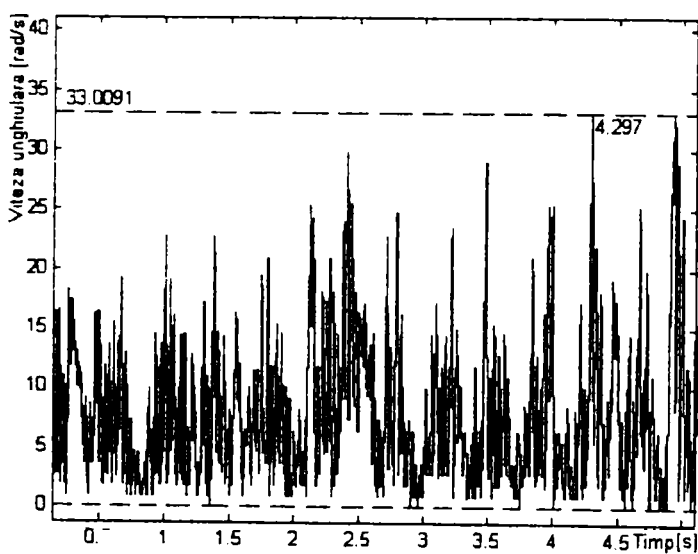


Fig. A.33.A. 15. (c. 559.04)

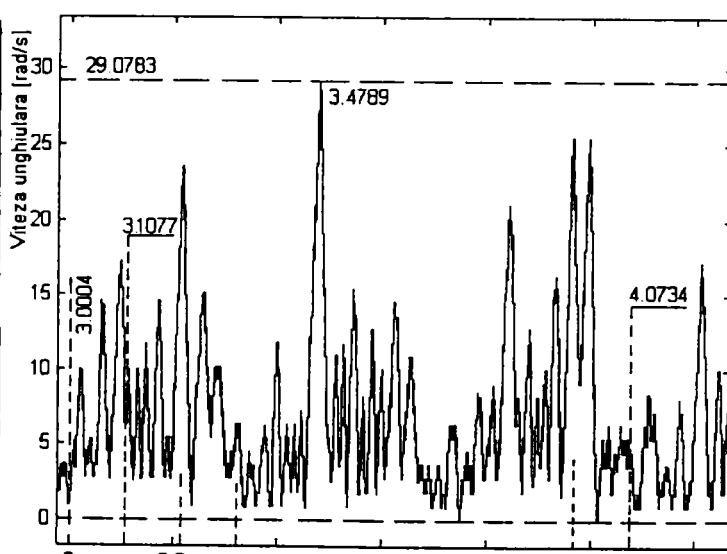


Fig. A.33.A. 16. (c. 559.04.det x 10turații)

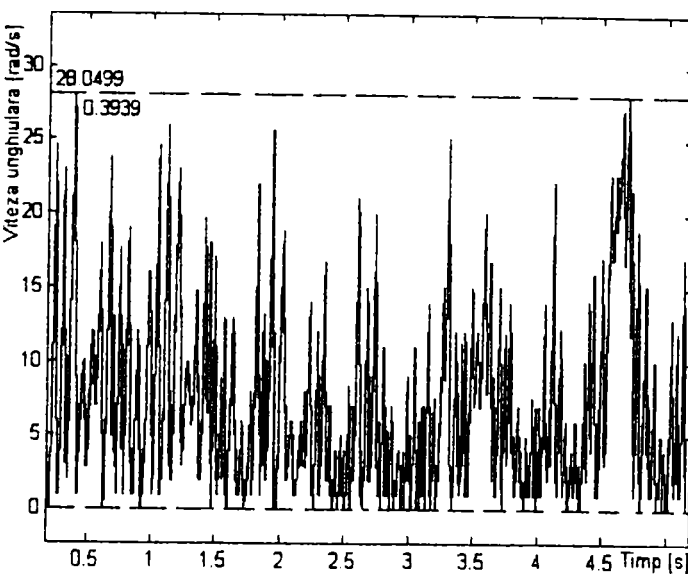


Fig. A.33.A. 17. (c. 559.06)

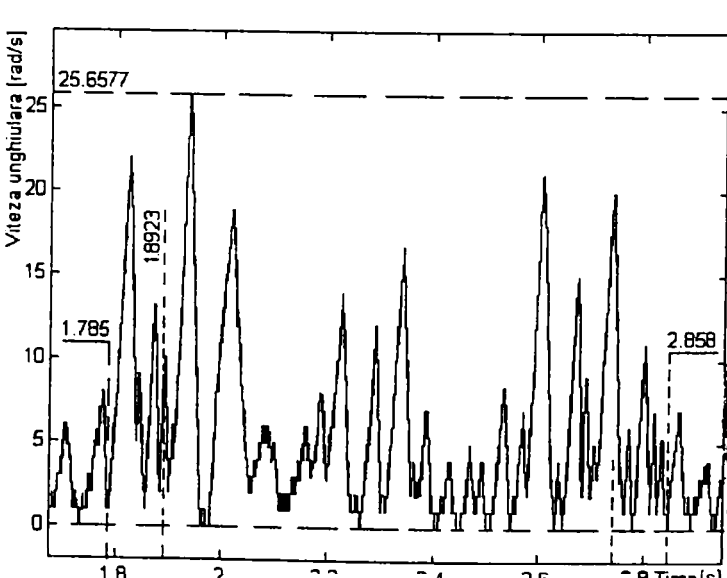


Fig. A.33.A. 18. (c. 559.06.det x 10turații)

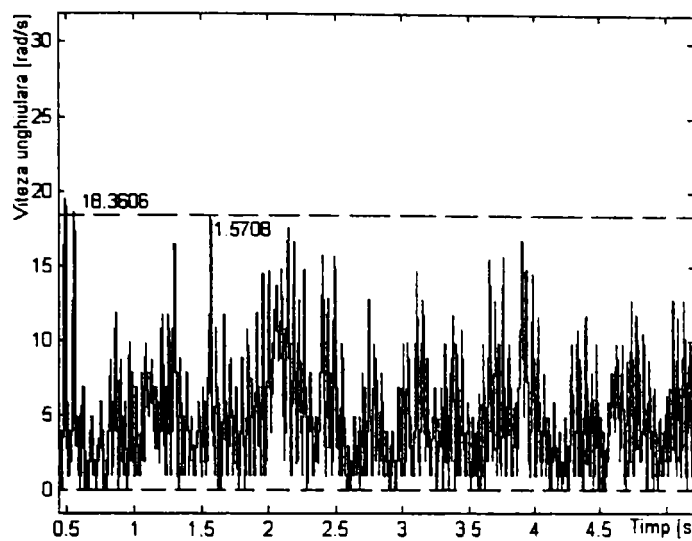


Fig. A.33.A. 19. (c. 559.08)

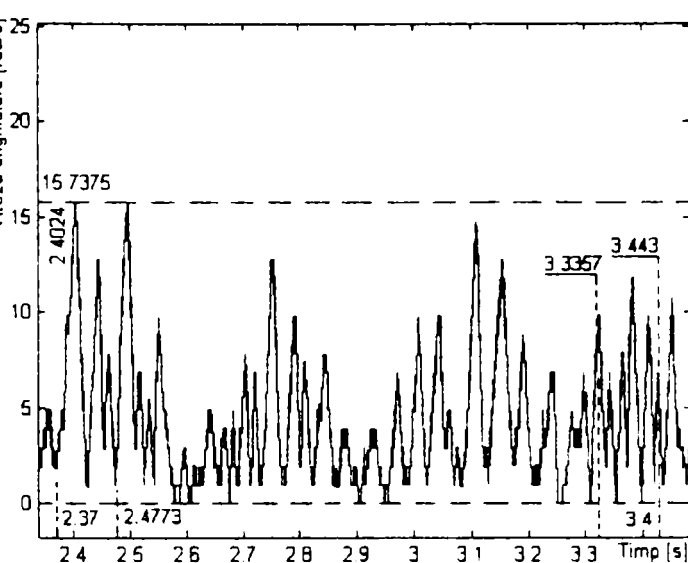


Fig. A.33.A. 20. (c. 559.08.det x 10turații)

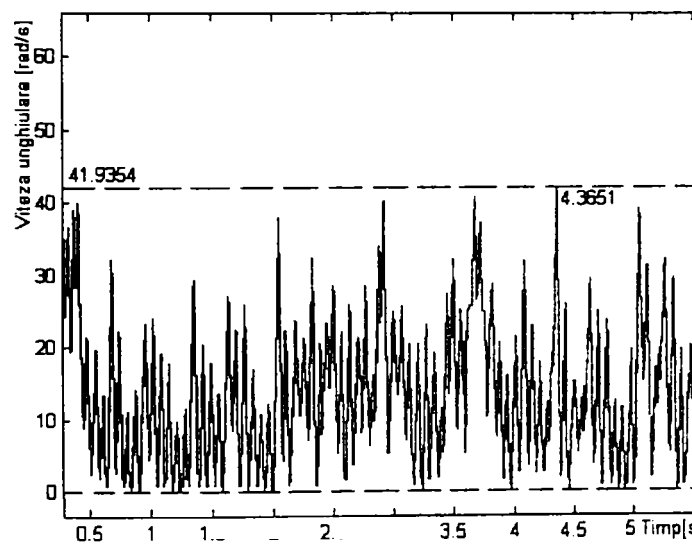


Fig. A.33.A. 21. (c. 619.01)

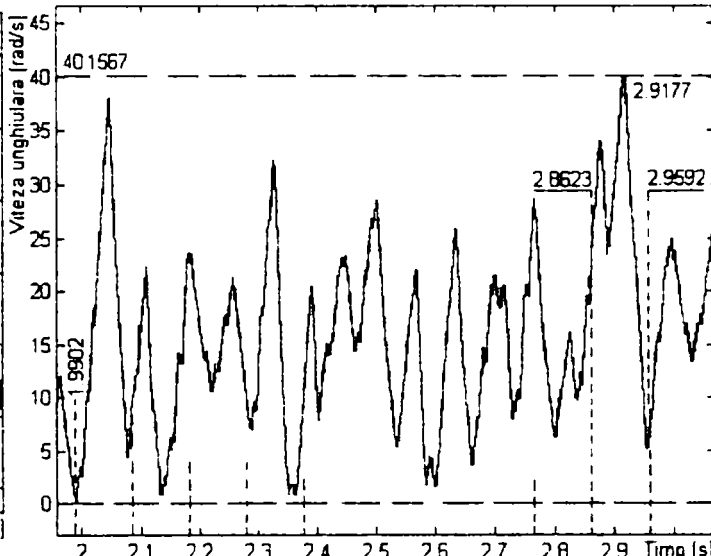


Fig. A.33.A. 22. (c. 619.01.det x 10turații)

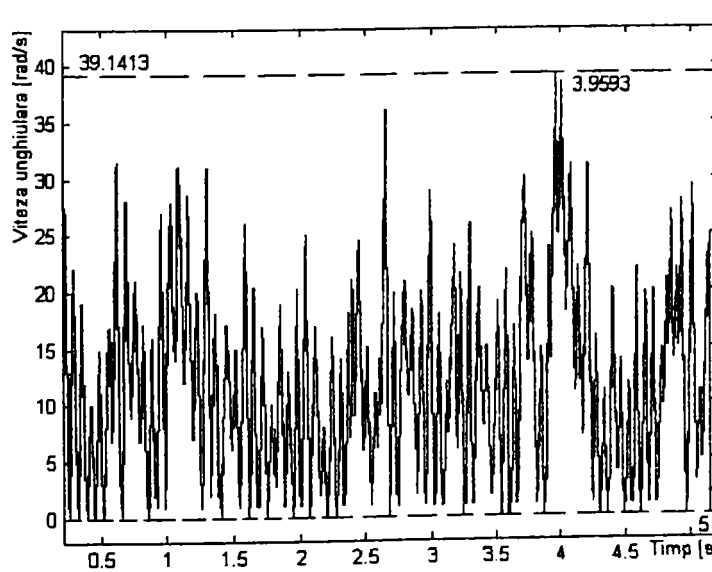


Fig. A.33.A. 23. (c. 619.02)

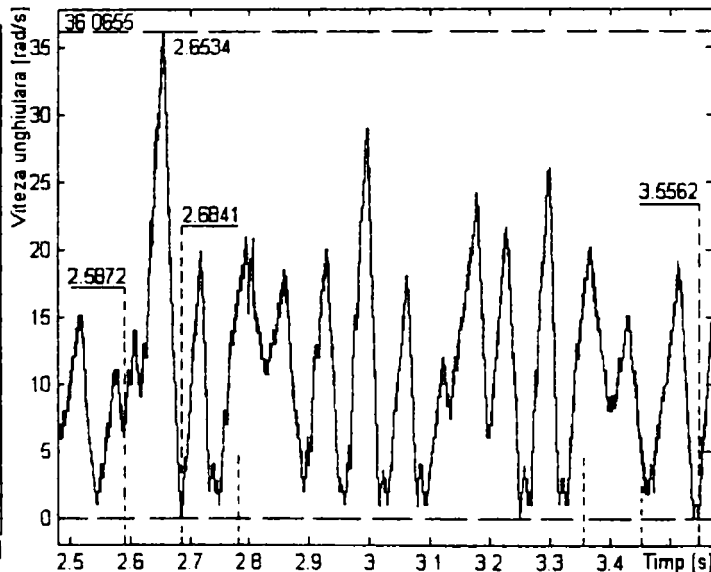


Fig. A.33.A. 24. (c. 619.02.det x 10turații)

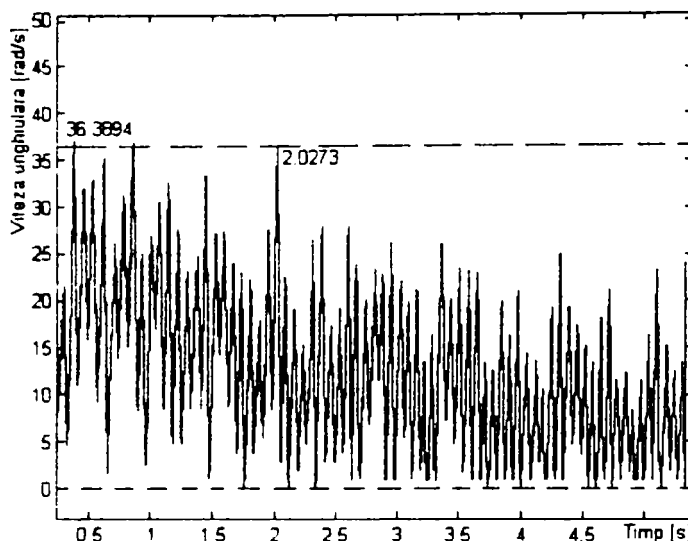


Fig. A.33.A. 25. (c. 619.04)

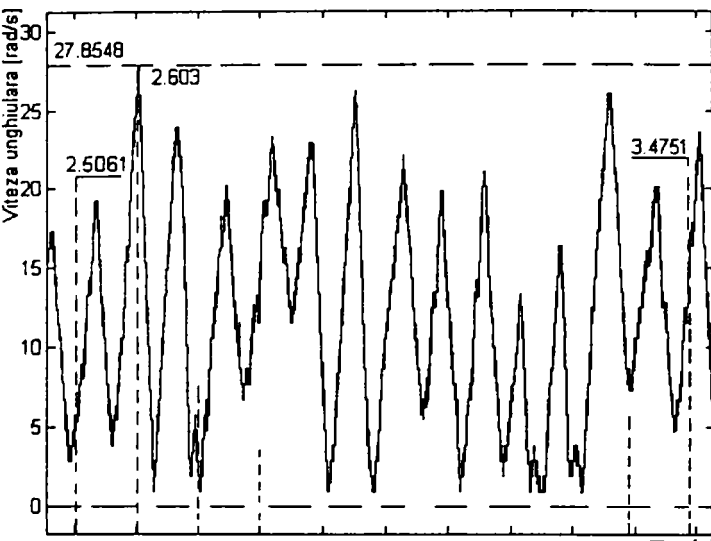


Fig. A.33.A. 26. (c. 619.04.det x 10turații)

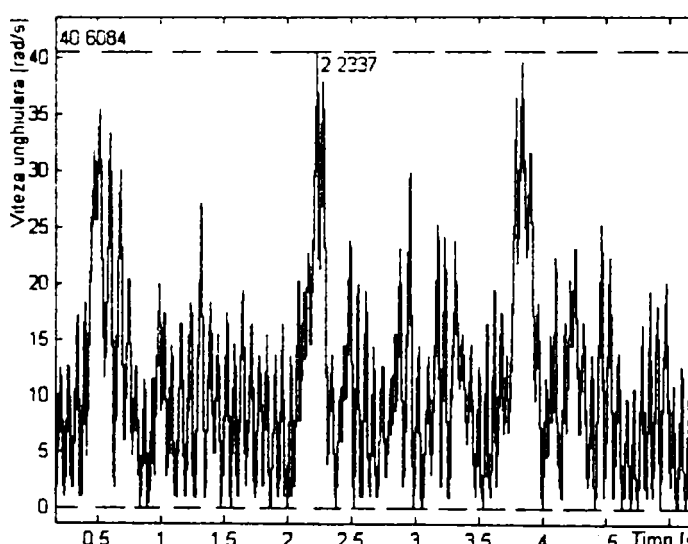


Fig. A.33.A. 27. (c. 619.06)

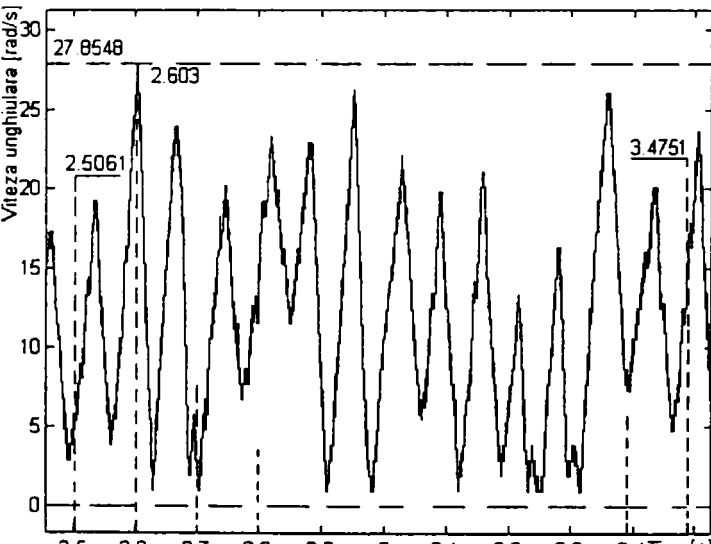


Fig. A.33.A. 28. (c. 619.06.det x 10turații)

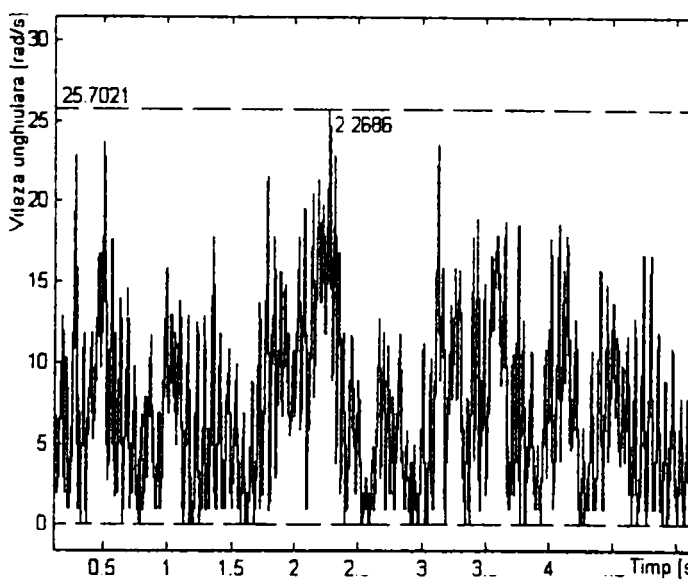


Fig. A.33.A. 29. (c. 619.08)

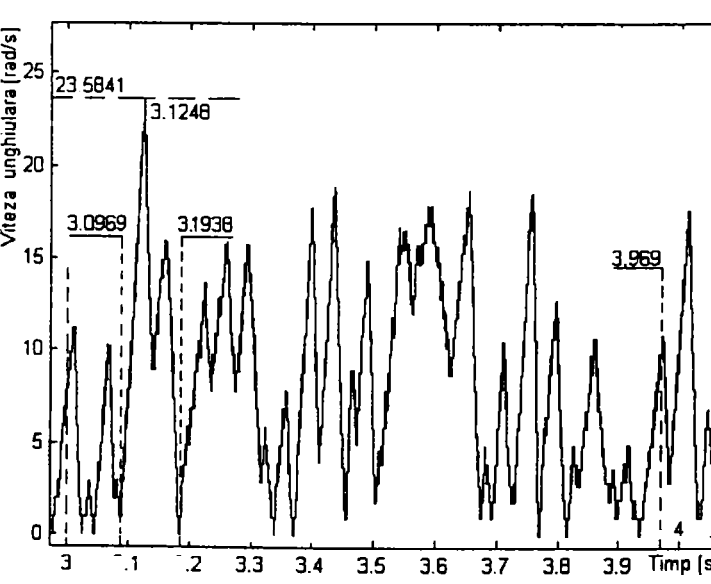


Fig. A.33.A. 30. (c. 619.08.det x 10turații)

Notă: În notarea figurilor primele trei cifre din paranteze reprezintă turația arborelui mașinii-unelte, iar următoarele două avansul de lucru, iar „det x 10turații”-reprezintă un detaliu din diagrama vitezelor unghiulare ale burghiului corespunzător la zece turații ale arborelui mașinii-unelte.

Anexa 33. B

**Diagrame ale vitezelor unghiulare la aşchierea cu dispozitivul vibropercutant blocat
(aşchierarea obișnuită)**

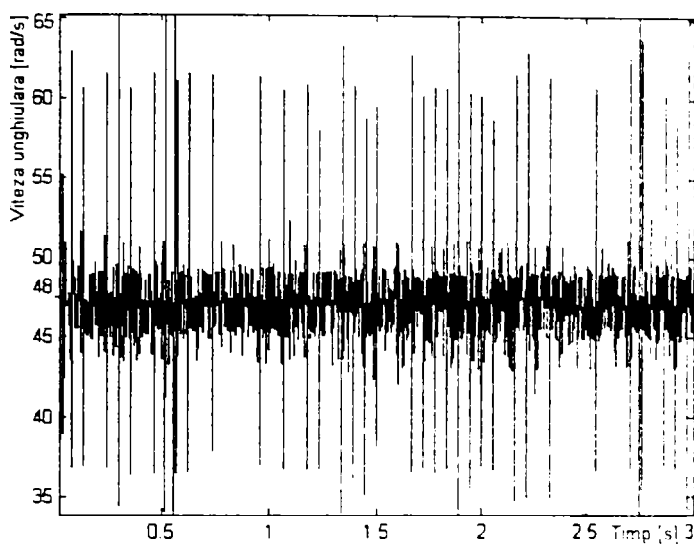


Fig. A.33.B. 1. (463.bl)

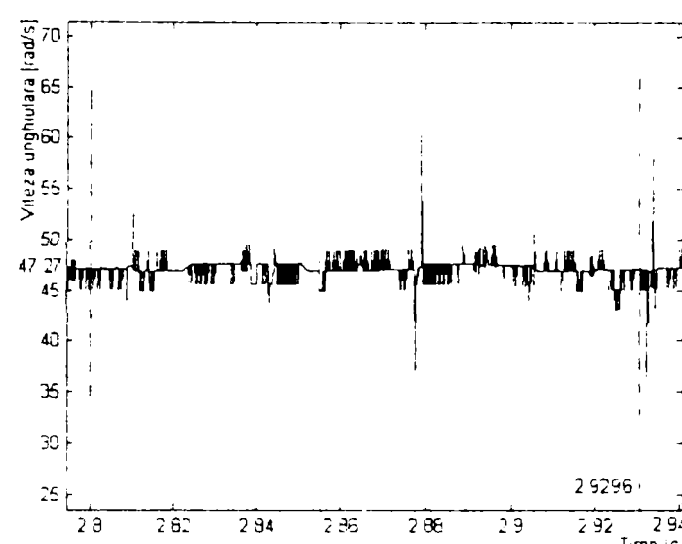


Fig. A.33.B. 2. (463.bl. det)

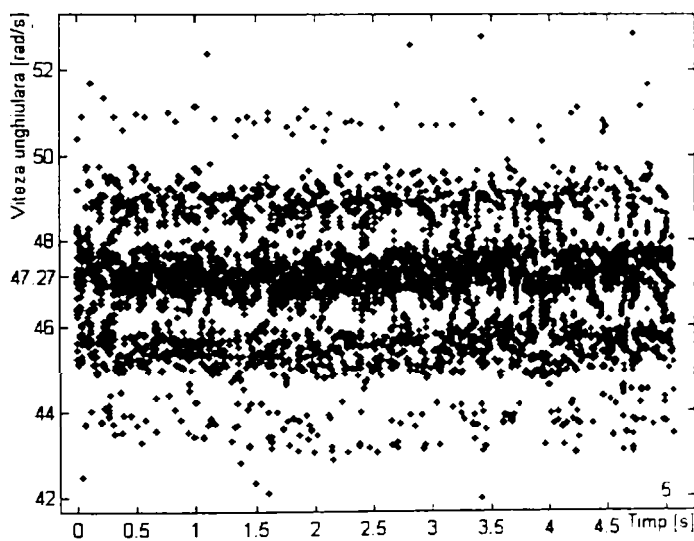


Fig. A.33.B. 3. (463.bl. puncte)

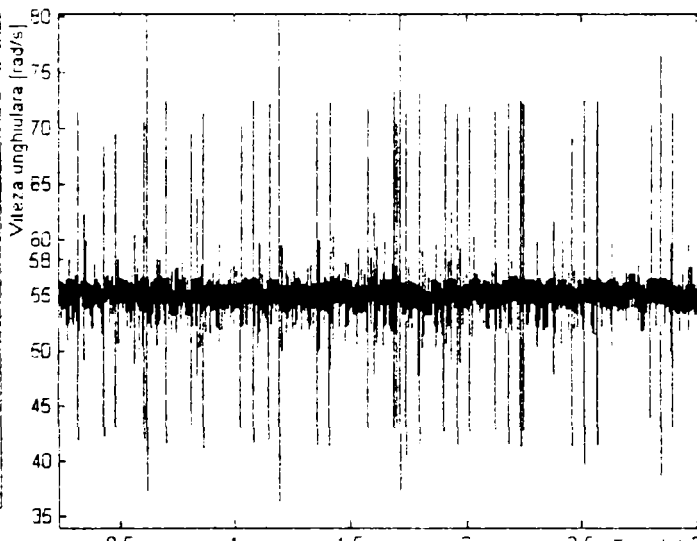


Fig. A.33.B. 4. (559.bl)

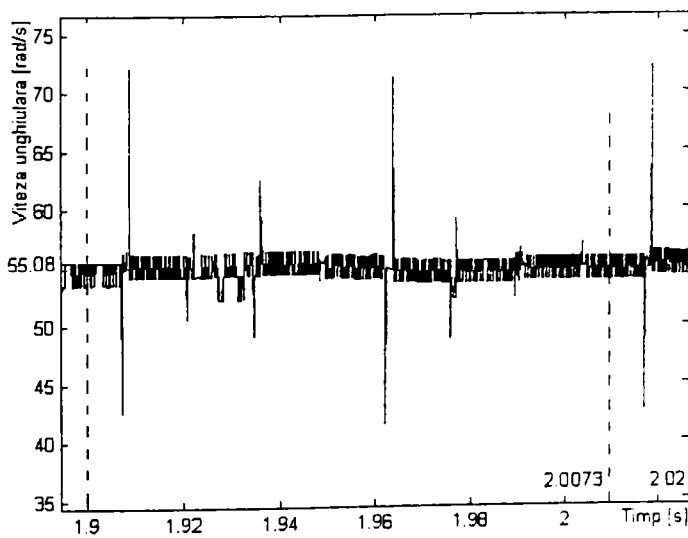


Fig. A.33.B. 5. (559.bl.det)

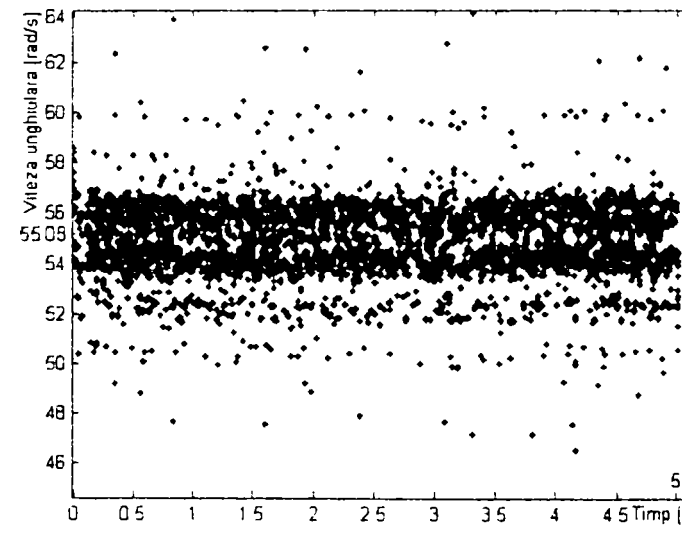


Fig. A.33.B. 6. (559.bl. puncte)

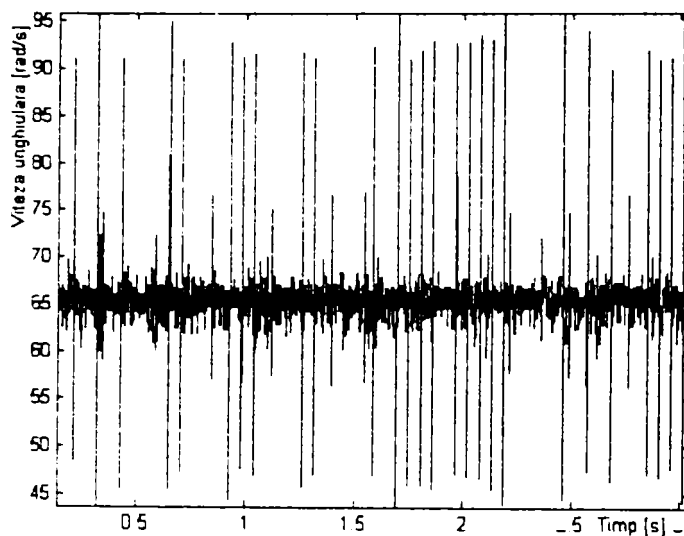


Fig. A.33.B. 7. (619.bl)

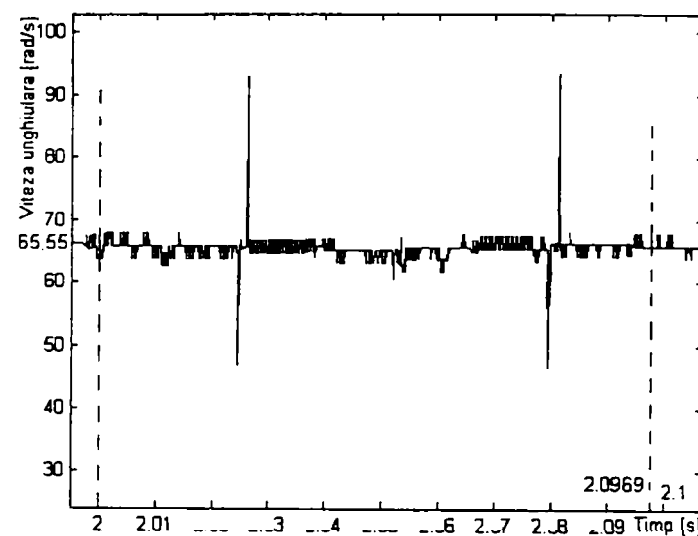


Fig. A.33.B. 8. (619.bl. det)

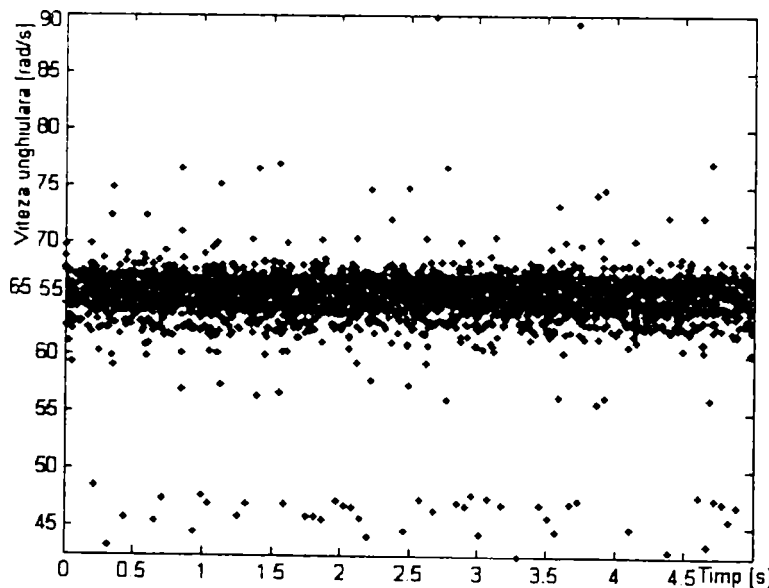


Fig. A.33.B. 9. (619.bl. puncte)

Notă. Diagramele notate cu puncte sunt reprezentări ale semnalului achiziționat prin valori singulare, iar cele notate cu „det” reprezintă semnalul achiziționat pe timpul unei turări.

Anexa 34.

Așchii obținute cu masa rigidizată în cazul aşchierii vibropercutante și în cazul aşchierii obișnuite



Fig. A34. 1. (463. 01.c)



Fig. A34. 2. (463. 01.bl)



Fig. A34. 3. (463. 02.c)



Fig. A34. 4. (463. 02.bl)



Fig. A34. 5.(463. 04.c)



Fig. A34. 6.(463. 04.bl)



Fig. A34. 7. (463. 06.c)



Fig. A34. 8. (463. 06.bl)



Fig. A34. 9. (463. 08.c)



Fig. A34. 11. (559. 01.c)



Fig. A34. 12. (559. 01.bl)



Fig. A34. 13. (559. 02.c)



Fig. A34. 14. (559. 02.bl)



Fig. A34. 15. (.559. 04.c)



Fig. A34. 17. (559. 06.c) Fig. A34. 18. (559. 06.bl)

Fig. A34. 19. (559. 08.c) Fig. A34. 20. (559. 08.bl)



Fig. A34. 21. (619. 01.c) Fig. A34. 22. (619. 01.bl)

Fig. A34. 23. (619. 02.c) Fig. A34. 24. (619. 02.bl)



Fig. A34. 25. (619. 04.c) Fig. A34. 26. (619. 04.bl)

Fig. A34. 27. (619. 06.c) Fig. A34. 28. (619. 06.bl)

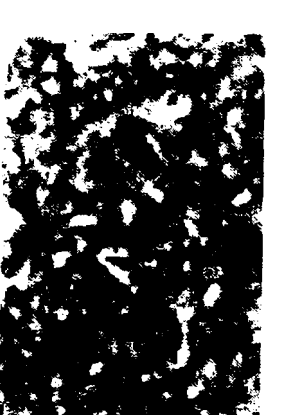


Fig. A34. 29. (619. 08.c) Fig. A34. 30. (619. 08.bl)

Fig. A34. 31. (686. 01.c) Fig. A34. 32. (686. 01.bl)



Fig. A34. 33. (686. 02.c) Fig. A34. 34.(686. 02.bl)



Fig. A34. 35. (686. 04.c) Fig. A34. 36. (686. 04.bl)



Fig. A34. 37. (686. 06.c) Fig. A34. 38. (686. 06.bl)



Fig. A34. 39. (686. 08.c) Fig. A34. 40. (686. 08.bl)



Fig. A34. 41. (771. 01.c) Fig. A34. 42. (771. 01.bl)



Fig. A34. 43. (771. 02.c) Fig. A34. 44. (771. 02.bl)



Fig. A34. 45. (771. 04.c) Fig. A34. 46. (771. 04.bl)



Fig. A34. 47. (771. 06.c) Fig. A34. 48. (771. 06.bl)





Fig. A34. 49. (771. 08.c)

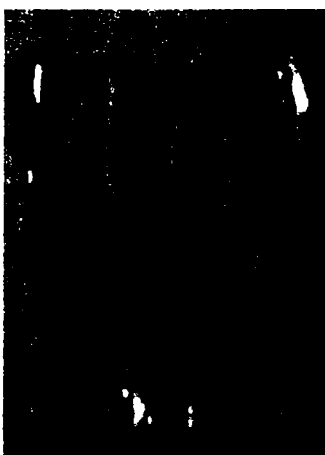


Fig. A34. 50. (771. 08.bl)

Notă. Semnificația notărilor din paranteză:

- primele trei cifre reprezintă turația utilizată la arborele mașinii-unelte;
- următoarele două cifre reprezintă avansul utilizat;
- c - aşchiere cu vibropercuzii;
- bl – dispozitivul vibropercutant a fost blocat (aşchiere obișnuită).

Anexa 35.

1.Rugozitatea suprafețelor prelucrate prin găurile cu vibroșocuri (fig.a) și obișnuit (fig.b).
Mărire 25x.



Fig. A.35. 1. (771. 08)

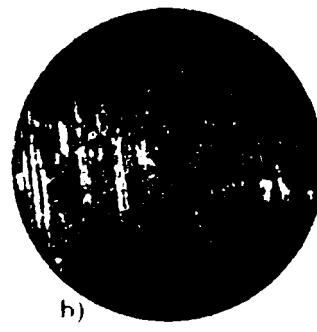


Fig. A.35. 2. (771. 06)

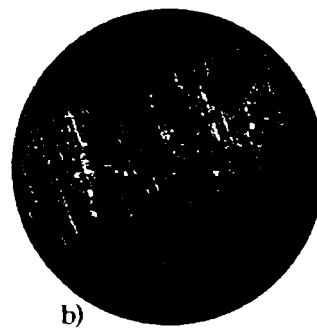
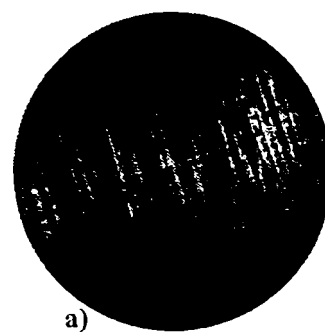


Fig. A.35. 3 (771. 04)

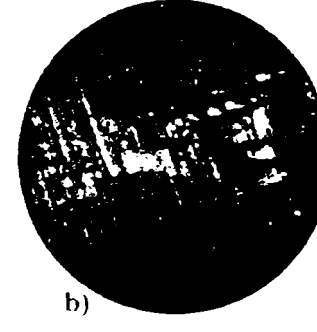
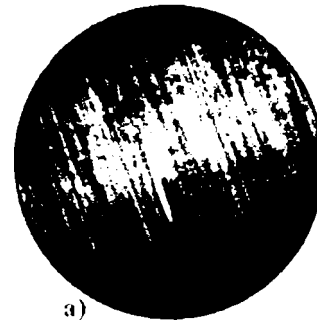


Fig. A.35. 4. (771. 02)

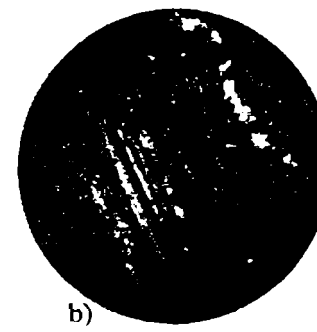
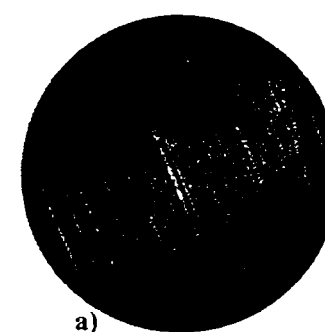


Fig. A.35. 5. (771. 01)

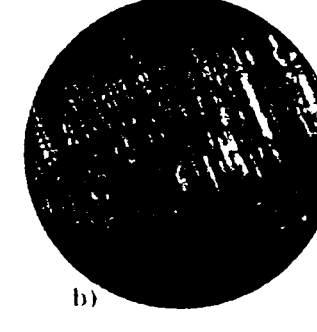
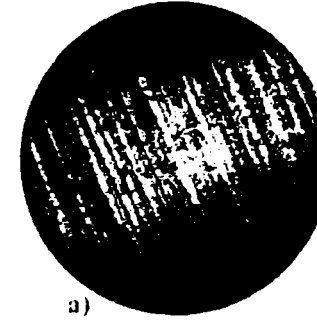


Fig. A.35. 6. (686. 08)

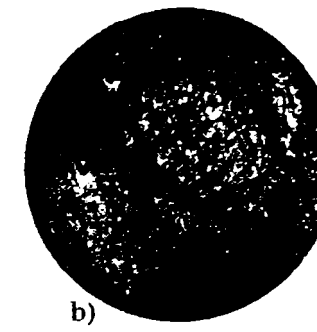
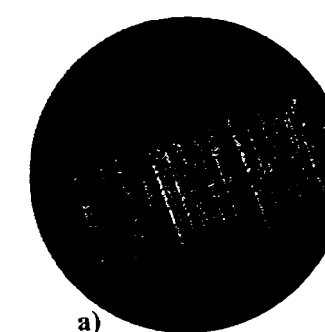


Fig. A.35. 7. (686. 06)

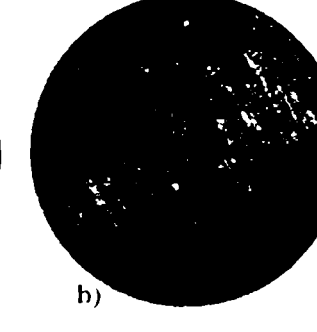
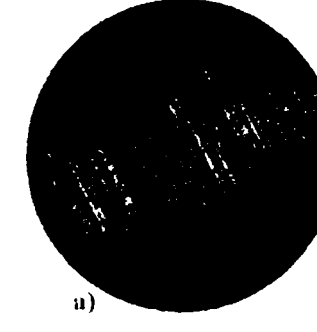


Fig. A.35. 8. (686. 04)

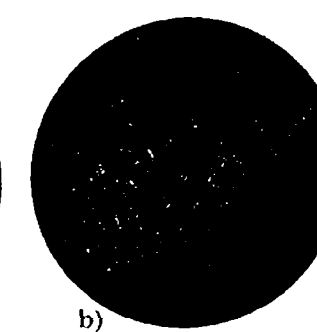
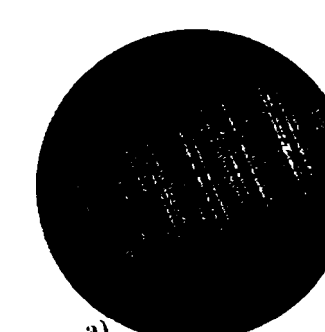


Fig. A.35. 9. (686. 02)

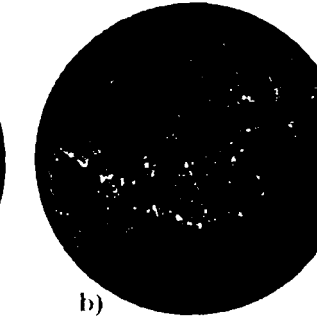
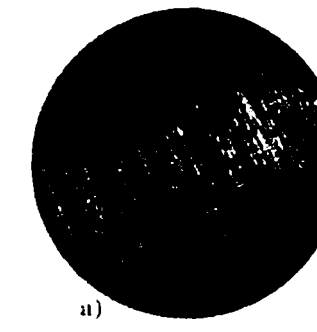
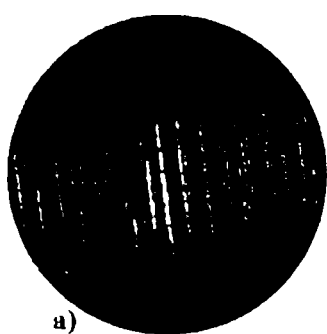
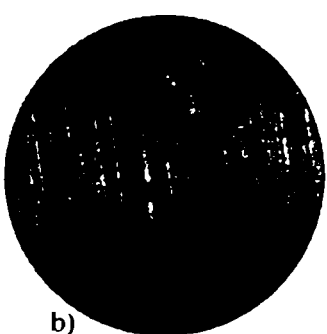


Fig. A.35. 10. (686.01)

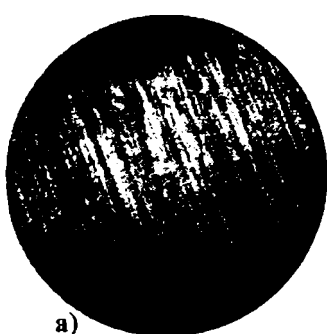


a)



b)

Fig. A.35. 11. (619. 08)

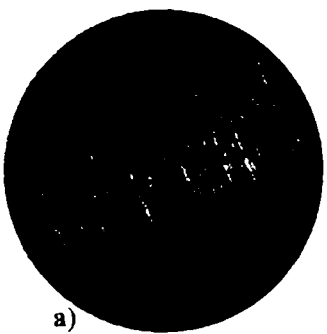


a)

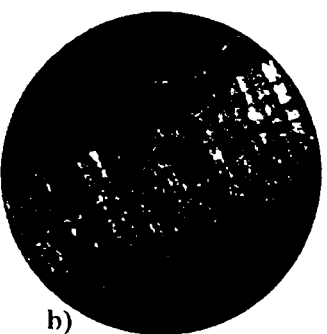


b)

Fig. A.35. 12. (619. 06)

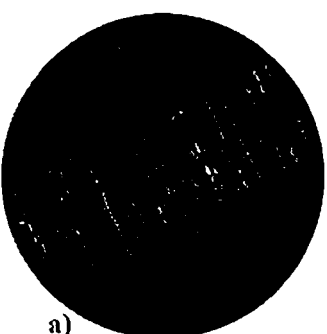


a)

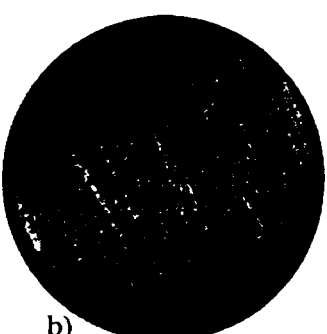


b)

Fig. A.35. 13. 619. 04)

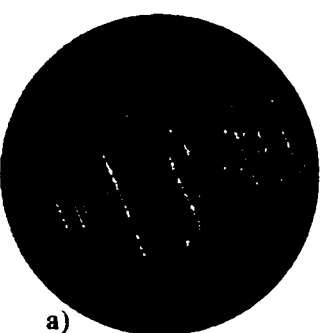


a)

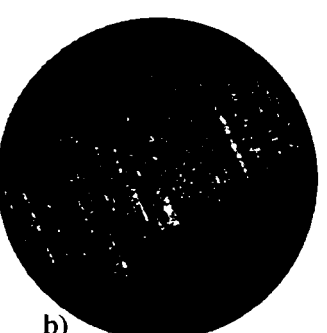


b)

Fig. A.35. 14. (619. 02)

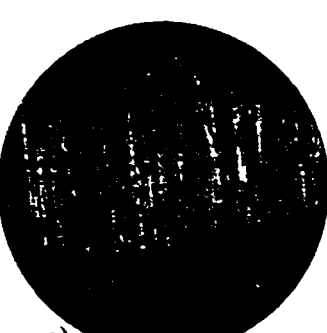


a)



b)

Fig. A.35. 15. (619. 01)



a)



b)

Fig. A.35. 16. (559. 08)

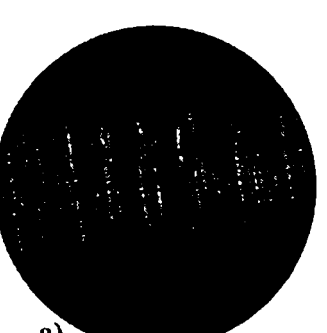


a)



b)

Fig. A.35. 17. (559. 06)



a)

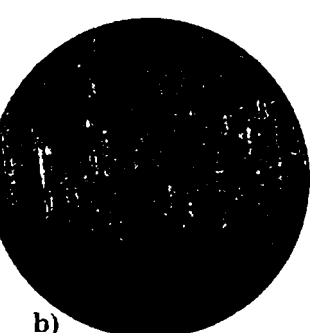


b)

Fig. A.35. 18. (559. 04)



a)

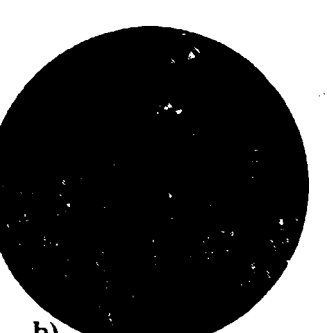


b)

Fig. A.35. 19. (559. 02)

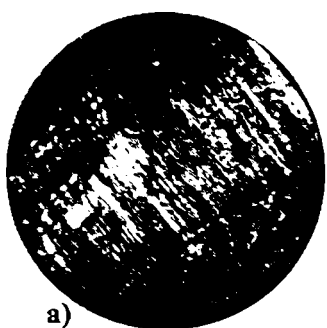


a)

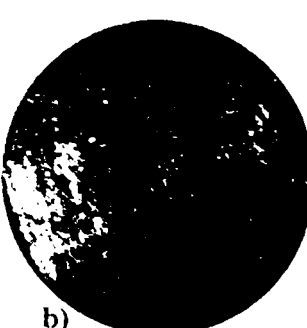


b)

Fig. A.35. 20. (559. 01)



a)

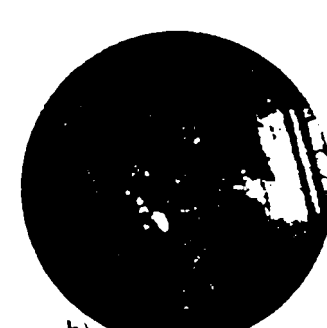


b)

Fig. A.35. 21. (463. 08)



a)

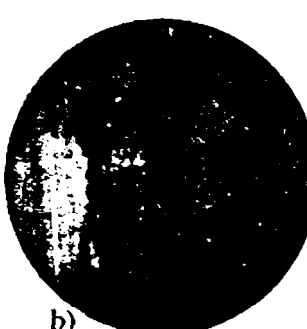


b)

Fig. A.35. 22. (463. 06)



a)



b)

Fig. A.35. 23. (463. 04)

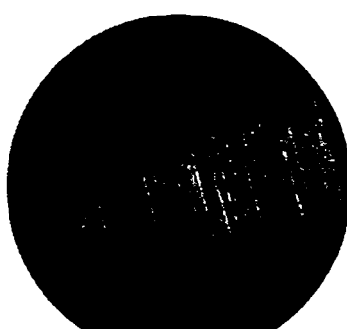


a)

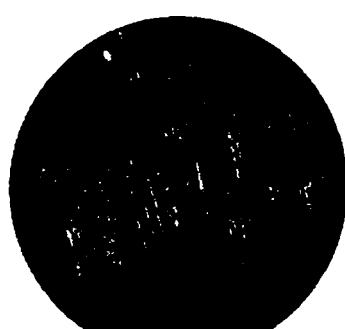


b)

Fig. A.35. 24. (463. 02)



a)



b)

Fig. A.35. 25. (463. 01)

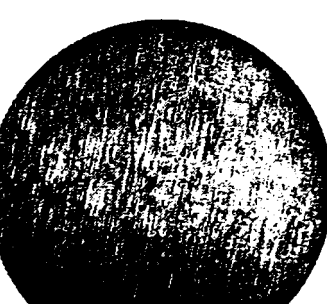


Fig.A.35.26.Rci.R_a=1,6÷0,8[μm]

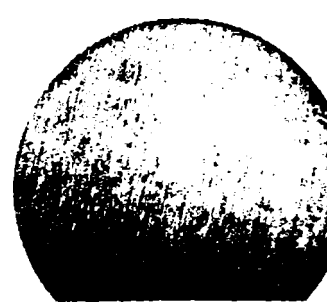


Fig.A.35.27.Rci.R_a=0,8÷0,4[μm]

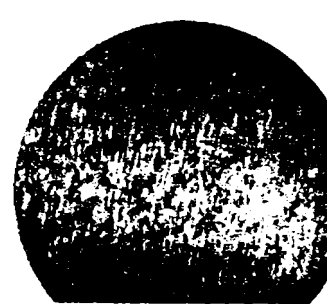


Fig.A.35.28.Rci.R_a=0,4÷0,2[μm]

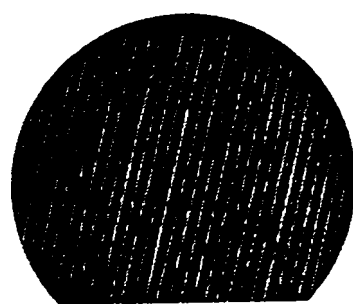


Fig.A.35.29.Si R_a= 3,2÷1,6 [μm]

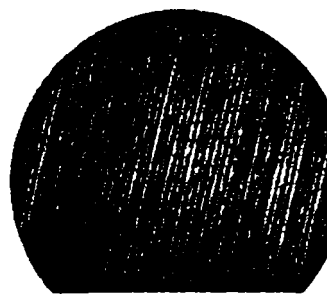


Fig.A.35.30.Si.R_a=1,6÷0,8 [μm]



Fig.A.35.31.Si.R_a= 0,8÷0,4[μm]

Notă. Primele trei cifre din paranteze reprezintă turăția arborelui mașinii-unelte, iar următoarele două cifre viteza de avans.Rci - rectificare interioară; Si - strunjire interioară.

Anexa 36.

Microstructura stratului aşchiat cu vibropercuții (fig. a) și a stratului aşchiat obișnuit (fig. b.)
Scara de mărire 500x



Fig. A.36. 1. (771. 08)

Fig. A.36. 2. (771. 06)

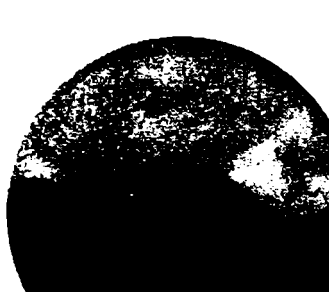
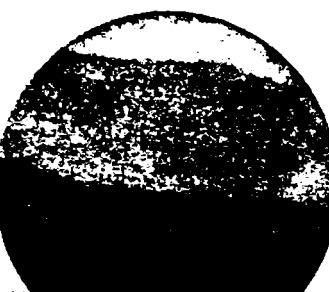


Fig. A.36. 3. (771. 04)

Fig. A.36. 4. (771. 02)

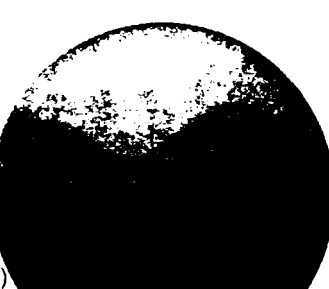


Fig. A.36. 5. (771. 01)

Fig. A.36. 6. (686. 08)

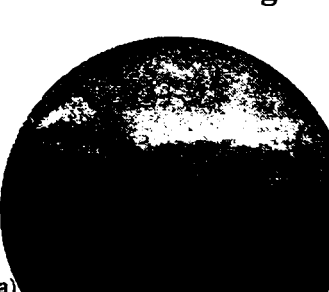
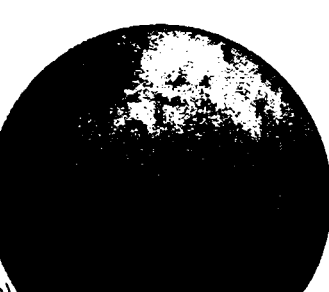
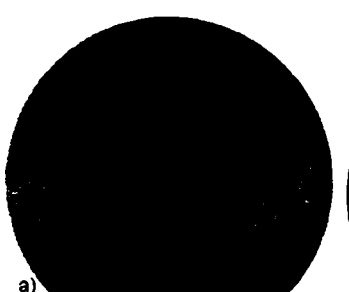


Fig. A.36. 7. (686. 06)

Fig. A.36. 8. (686. 04)

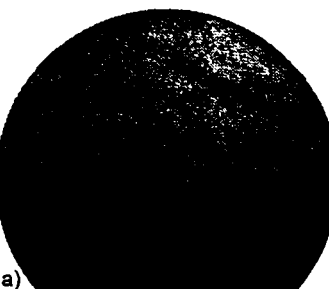
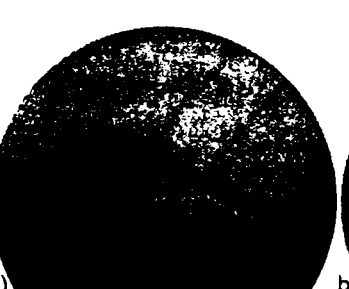


Fig. A.36. 9. (686. 02)

Fig. A.36. 10. (686. 01)

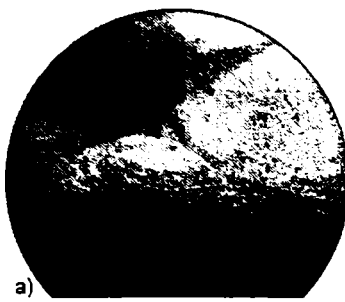


Fig. A.36. 11. (619. 08)

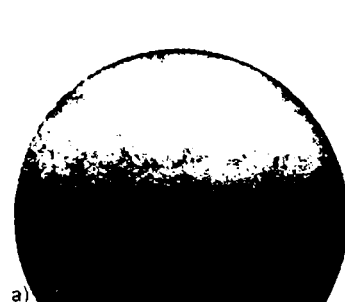


Fig. A.36. 12. (619. 06)



Fig. A.36. 13. (619. 04)

Fig. A.36. 14. (619. 02)

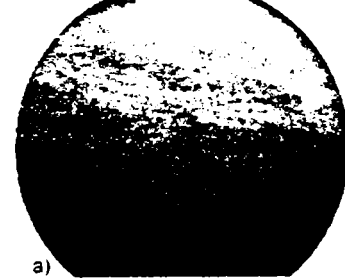


Fig. A.36. 15. (619. 01)

Fig. A.36. 16. (559. 08)

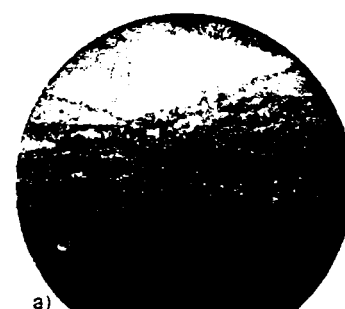


Fig. A.36. 17. (559. 06)

Fig. A.36. 18. (559. 04)

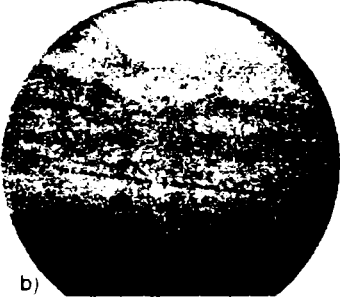
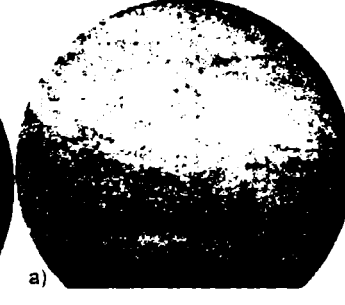
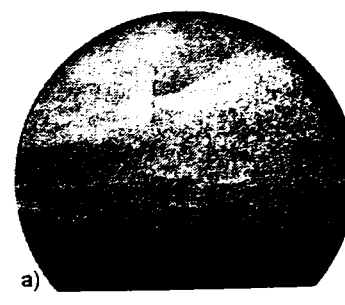


Fig. A.36. 19. (559. 02)

Fig. A.36. 20. (559. 01)

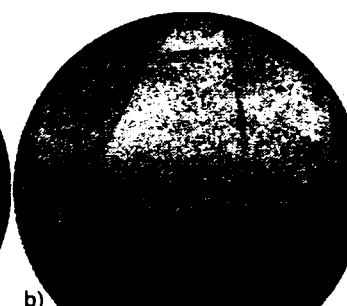
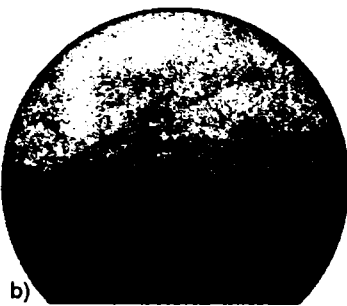
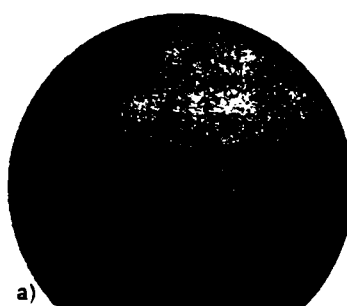


Fig. A.36. 21. (463. 08)

Fig. A.36. 22. (463. 06)

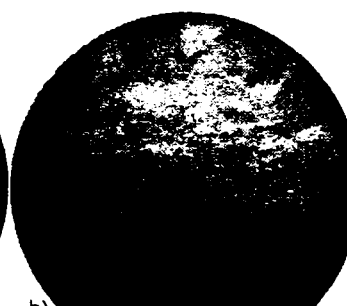
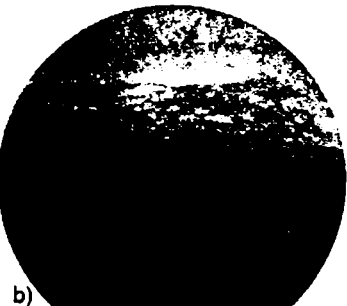


Fig. A.36. 23. (463. 04)

Fig. A.36. 24. (463. 02)

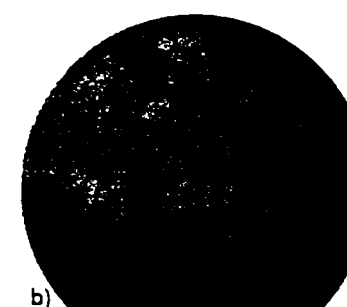
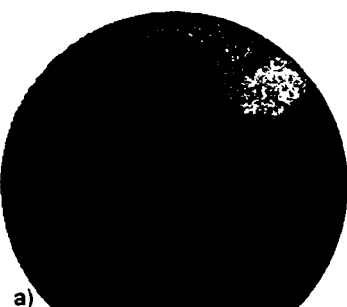


Fig. A.36. 25. (463. 01)

Notă. Primele trei cifre din paranteze reprezintă turația arborelui mașinii-unelte, iar următoarele două cifre viteza de avans.

- a) - structuri la aşchiera vibropercutantă;
- b - structuri la aşchiera obișnuită. structuri la aşchiera

Caracteristicile plăcii de achiziție de date PCI 1200

Caracteristicile plăcii de achiziție de date PCI 1200 date de catalogul firmei National Instruments sunt:

1. Moduri de funcționare :
 - cu nul de referință (referenced single ended);
 - cu nul fără referință (nonreferenced single ended);
 - diferențial.
2. Amplificarea internă : 2,5,10,20,50,100.
3. Domeniul de măsurare (în funcție de amplificare) :
 - unipolar : 0-10-V (neamplificat);
 - bipolar : $\pm 5V$ (neamplificat).
4. Intrări analogice :
 - 16 canale – pentru modul de lucru cu nul;
 - 8 canale – pentru modul de lucru diferențial.
5. Ieșiri analogice : 2 cu un domeniu de funcționare de 0-10V
6. Rata de achiziție, programabilă: până la 100.000 eșantioane / sec (100 kHz);
7. Cuantificarea convertorului Analog/Digital: 12 bit.
8. Integrare în sistemul de calcul : slot PCI.

Anexa 38.**Programul de achiziție „C++_disp.cpp” a semnalelor accelerometrului și timbrelor tensometrice și înscrierea datelor în fișiere pe hard disc**

```

#include "nidaqex.h"
void main(void)
{
    /*
     * Variabile locale:
     */
    i16 iStatus = 0;
    i16 iRetVal = 0;
    i16 iDevice = 1;
    i32 lTimeout = 600;
    i16 iChan = 1;
    i16 iGain = 1;
    f64 dSampRate = 20000.0;
    f64 dScanRate = 0;
    u32 ulCount = 100000;
    char* strFilename = "etrf2120.d1";
    i16 iIgnoreWarning = 0;
    /* Setarea limitei de timp :nr. secunde * 18tacturi/sec.)
    */
    iStatus = Timeout_Config(iDevice, lTimeout);
    iRetVal = NIDAQErrorHandler(iStatus, "Timeout_Config",
        iIgnoreWarning);
    /* Achizitioneaza date pe un canal analogic, diferential si
       * scrie pe disc. Datele sunt stocate pe 16 biti.
       * Numele fisierului este dat de 'strFilename',
       * Traductorul se alimenteaza cu tensiune de 9V.
       * Achizitia se face pe canalul 0 diferntial (pin 1 si 2)
       * Se leaga cate o rezistenta pe fiecare canal ( pin 1 - 11, 2 - 11)
       * si se citeste in paralel cu alimentarea.
    */
    printf("Start!");
    /* Start achizitie pe disc.
    */
    iStatus = Lab_ISCAN_to_Disk (iDevice, iChan, iGain, strFilename, ulCount, dSampRate,
        dScanRate, 0);
    /* Verifica erori.
    */
    iRetVal = NIDAQErrorHandler(iStatus, "Lab_ISCAN_to_Disk",
        iIgnoreWarning);
    /* Daca totul este OK, afisează 'Datele au fost achizitionate!' si termina programul.
    */
    if (iStatus == 0) {
        printf("Datele au fost achizitionate!");
    }
    /* Reseteaza limita de timp.
    */
    iStatus = Timeout_Config(iDevice, -1);
}
/* Sfarsit program */

```

Programele de prelucrare a datelor achizitionate la etalonare**Programul de prelucrare și convertire a semnalelor în tensiune „medie_tenso.m”**

```

global contor x1;
[filename pathname] = uigetfile('*.','Selectati fisierul de date',300,100);
if filename ==0
    fid = fopen(strcat(pathname,filename),'r');
    [x1,count1] = fread(fid,inf,'int16');
    fclose('all');

    count1 = 80000;

    x1 = x1(1:count1);
    timp = [1:count1]/20000;
    x2 = -1*x1.*(10/4096);
    medie = mean(x2(1:count1));
    medie_str = num2str(medie);

f_1 = figure('Name','Semnal traductor tensometric',...
    'NumberTitle','off');
plot(timp,x2,'k');
title(strcat('Medie semnal = ', medie_str,'[V]'));
xlabel('Timp [s]');
ylabel('Tensiune [V]');
elseif filename == 0
    disp('Nu s-a selectat nici un fisier');
end

```

Programele de calcul „etalonare.m” a forțelor și momentelor corespunzătoare tensiunii medii calculate la etalonare**% Forța axială**

```

clear all
load et_fax
y = fax*10;
x = etfax;
%x = x.*10/4096;
px = polyfit(x,y,1);
f = polyval(px,x);
tabelx = [x' y' f (y-f)']
f_1 = figure('Name','Diagrama de etalonare traductor tensometric',...
    'NumberTitle','off');
plot(x,y,'or',x,f,'-k')
%axis([0 0.5 0 41])
title(strcat('Diagrama de etalonare a forței pe direcție axială'));
ylabel('Forță [N]');
xlabel('Tensiune [V]');

```

```

disp('Dreapta de aproximare pentru Fx: ')
disp('<Fax = Forta pe directie axiala in [N]; U = tensiune masurata in [V]>')
disp(strcat('Fax = ',num2str(px(1)),'*U + ',num2str(px(2))))

```

% Moment

```

clear all
load et_mom
y = mom;
x = etmom;
% $x = x.*10/4096;$ 
py = polyfit(x,y,1);
f = polyval(py,x);
tabely = [x' y' f' (y-f)']
f_1 = figure('Name','Diagrama de etalonare traductor tensometric',...
    'NumberTitle','off');
plot(x,y,'or',x,f,'-k')
%axis([0 0.5 0 41])
title(strcat('Diagrama de etalonare a momentului'));
ylabel('Moment [Nm]');
xlabel('Tensiune [V]');
disp('Dreapta de aproximare pentru Fy: ')
disp('<M = Moment in [Nm]; U = tensiune masurata in [V]>')
disp(strcat('M = ',num2str(py(1)),'*U + ',num2str(py(2))))

```

Programe utilizate la calculul și afișarea diagramelor vitezelor unghiulare ale burghiului**Programul „viteza.m”**

```
% Meniu viteza
%global fd_a0 fd_a1;
global viteza_rot timp_sec;
viteza_rot = 0;
timp_sec = 0;
%fd_a0 = 1/100000;
%fd_a1 = 5;

f60_1_1 = figure('Name','Viteza unghiulara',...
    'NumberTitle','off','Position',[250 250 310 90]);

% Butoane
f60_1_4_2 = uicontrol('Style','pushbutton','String','Citire fisier',...
    'Position',[30 60 110 20],'Callback','viteza_fis');
f60_1_4_2a = uicontrol('Style','pushbutton','String','Citire fisier mat',...
    'Position',[30 30 110 20],'Callback','viteza_mat');
f60_1_4_3 = uicontrol('Style','pushbutton','String','Diagrama timp',...
    'Position',[170 30 110 20],'Callback','viteza_diag');
%f60_1_4_7 = uicontrol('Style','pushbutton','String','Stabilire domeniu',...
    '% Position',[170 60 110 20],'Callback','prel_dat1');

% Iesire
```

```
f60_1_6 = uicontrol('Style','pushbutton','String','iesire',...
    'Position',[170 5 110 20],'Callback','delete(f60_1_1)');
```

Programul „viteza_fis.m”

```
global viteza_rot timp_sec x1
% Citire din fisier
[filename,pathname] = uigetfile('*.*','Selectati fisierul de date',300,100);
if filename ~=0
    fid = fopen(strcat(pathname,filename));
    j = 1;
    h_bar = waitbar(0,'Citire valori din fisier...');
    while 1
        line = fgetl(fid);
        if ~isstr(line),break,end
        tiro(j) = str2num(line);
        line = fgetl(fid);
        if ~isstr(line),break,end
        timp(j) = str2num(line);
        j = j + 1;
        waitbar(j/40000)
    end
    fclose(fid);
```

```

close(h_bar);
nr_int1 = 1;
nr_int2 = 40000;
nr_conv = 50;
tiro      = tiro(nr_int1: nr_int2);
timp      = timp(nr_int1: nr_int2);
timp_cont = zeros(1, nr_int2 - nr_int1);
tiro_cont = zeros(1, nr_int2 - nr_int1);
suma_timp_cont = zeros(1, nr_int2 - nr_int1);
suma_tiro_cont = zeros(1, nr_int2 - nr_int1);
viteza_rot = zeros(1, nr_int2 - 1 - nr_int1);

% Calcul delta t si delta x
h_baral = waitbar(0, 'Conversie date...');

for i = 1: nr_int2 - nr_int1 - 1
    if timp(i+1) <= timp(i)
        timp_cont(i) = abs(timp(i) - timp(i+1));
    else
        timp_cont(i) = abs(timp(i) + (65535 - timp(i+1)));
    end
    if tiro(i+1) <= tiro(i)
        tiro_cont(i) = abs(tiro(i) - tiro(i+1));
    else
        tiro_cont(i) = abs(tiro(i) + (65535 - tiro(i+1)));
    end

    %suma_timp_cont(i) = sum(timp_cont(1:i));
    %suma_tiro_cont(i) = sum(tiro_cont(1:i));
    %viteza_rot(i) = 4000*pi*suma_tiro_cont(i)/suma_timp_cont(i)*(50.3/128.7);
    %timp_sec(i) = suma_timp_cont(i)/2000000;
    waitbar(i/nr_int2);
end
%%%%%
ferestra_conv = zeros(1, nr_conv) + 1/nr_conv;
tiro_conv = conv(tiro_cont, fereastra_conv);
timp_conv = conv(timp_cont, fereastra_conv);
viteza_rot = 4000*pi*tiro_conv./timp_conv*(50.3/128.7); % rad/sec
timp_sec = cumsum(timp_conv)./2000000; % secunde
%%%%%
%timp_sec1 = timp_sec;
%ti1 = 0:0.00005:max(timp_sec);
%x1 = interp1(timp_sec, viteza_rot, ti1, 'linear');
%fd_a0 = min(timp_sec);
%fd_a1 = max(timp_sec);
%save(filename, 'ti1', 'x1', 'timp_sec', 'fd_a0', 'fd_a1')
save(filename, 'viteza_rot', 'timp_sec');
close(h_baral);
end

```

Programul „viteza_mat.m”

```
global viteza_rot timp_sec x1
% Citire din fisier
[filename pathname] = uigetfile('*.','Selectati fisierul tip .mat',300,100);
if filename ~=0
    load(strcat(pathname,filename));
end
```

Programul „viteza_diag.m”,

```
%count1 = find(timp_sec == fd_a0);
%count2 = find(timp_sec == fd_a1);
%ti2 = timp_sec(count1:count2);
%x2 = x1(count1:count2);

% Afisare
f_1 = figure('Name','Viteza unghiulara a sculei','NumberTitle','off');
%plot(ti2,x2,'k');
plot(timp_sec,viteza_rot,'k');
%title(strcat('Viteza unghiulara a sculei in functie de timp'));
xlabel('Timp [s]');ylabel('Viteza unghiulara [rad/s]');
```

Programe de prelucrare a semnalelor înregistrate de la accelerometru și timbre tensometrice**Programul „acc_mat.m” de prelucrare a semnalelor pentru determinarea accelerăriilor**

```
% Deschidere fisier
[filename,pathname] = uigetfile('*.','Acceleratii',300,100);
if filename ~=0
    fid = fopen(strcat(pathname,filename),'r');
    [x1,count1] = fread(fid,inf,'int16');
    fclose('all');
    %Transformare in volti
    x1 = (x1).*(10/4096);
    % Se scade valoarea offset
    x1 = x1 - mean(x1);
    % Constanta traductorului KD 35
    kd35 = 0.0171;
    % Calibrare
    x1 = x1./kd35;
    Fs = 20000;
    save(strcat(pathname,filename),'x1','Fs');
    clear x1;
end
```

Programul „forta_mat.m” de prelucrare a semnalelor pentru determinarea forței axiale

```
% Deschidere fisier
[filename,pathname] = uigetfile('*.','Forța axială',300,100);
if filename ~=0
    fid = fopen(strcat(pathname,filename),'r');
    [x1,count1] = fread(fid,inf,'int16');
    fclose('all');

    %Transformare in volti
    x2 = (x1).*(10/4096);

    % Etalonare Volt -> Newton
    fax = 10423.2602*x2 - 13.3435;

    Fs = 20000;
    save(strcat(pathname,filename),'fax','Fs');
    clear x1;
    clear x2;
elseif filename == 0
    disp('Nu s-a selectat nici un fisier');
end
```

Programul „moment_mat.m” de prelucrare a semnalelor pentru determinarea momentului la șchiere

```
% Deschidere fisier
[filename pathname] = uigetfile('*.','Momente',300,100);
if filename ~=0
    fid = fopen(strcat(pathname,filename),'r');
    [x1,count1] = fread(fid,inf,'int16');
    fclose('all');

    % Transformare Unitati Digitale -> Volt
    x2 = (x1).* (10/4096);

    % Etalonare Volt -> Newton*Metru
    m_asc = 140.16132*x2 + 0.051902;

    Fs = 20000;
    save(strcat(pathname,filename),'m_asc','Fs');
    clear x1;
    clear x2;
end
```

Anexa 41.**Program de trasare diagrame „peak to peak” pentru accelerării, forțe, momente și viteze unghiulare în funcție de turări și avans**

```

y0n = [1 2 4 6 8];
x0s = [463 559 619 686 771];
[X,Y] = meshgrid(x0s,y0n);
[XI,YI] = meshgrid(463:1:771,1:0.1:8);
% %Amplitudinile acceleratiilor masurate „peak to peak” pe pinola masinii-unelte
% %Dispozitiv blocat
acc_bl = [13.3233 43.4954 26.1448 9.8341 10.2814];
x = [463 559 619 686 771];
xi = (463:1:771);
yi = interp1(x,acc_bl,xi,'spline');
figure; plot(xi,yi,'r');
% %Dispozitiv neblocat
acc_nebl = [56.8281 58.3675 62.9000 61.1349 58.3551];
x = [463 559 619 686 771];
xi = (463:1:771);
yi = interp1(x,acc_nebl,xi,'spline');
hold on; plot(xi,yi,'k');
xlabel('Turatie [rot/min]')
ylabel('Acceleratie x9,81 [m/s^2]')
title('Amplitudinea acceleratiilor „peak to peak” masurate pe pinola, avans = 8 [mm/min]');
% Amplitudinile acceleratiilor masurate „peak to peak” pe dispozitivul vibropercutant
%Dispozitiv blocat
acc_b11 = [46.2484 49.4273 55.2416 48.8035 17.5103
           51.9238 47.8414 55.5066 52.6306 21.8634
           52.5990 52.5991 54.9780 51.0083 18.4875
           25.7291 47.5013 56.8282 51.0426 15.2643
           15.0161 53.1278 52.5991 46.3646 15.6952];
Z = acc_b11;
ZI = interp2(X,Y,Z,XI,YI,'spline');
f = figure; mesh(XI,YI,ZI);
title('Amplitudinea acceleratiilor „peak to peak” masurate pe dispozitiv - aschiere obisnuita');
% %Dispozitiv neblocat
acc_neb11 = [65.1982 70.4846 67.9811 64.3172 62.7313
              64.3172 68.2819 69.1184 66.2268 64.3715
              62.9956 65.5198 65.5132 65.9031 67.5484
              63.7895 64.4934 63.4498 71.3656 66.6894
              68.2819 67.6652 62.1145 64.3172 65.9088];
Z = acc_neb11;
ZI = interp2(X,Y,Z,XI,YI,'spline');
figure; mesh(XI,YI,ZI);
title('Amplitudinea acceleratiilor „peak to peak” masurate pe dispozitiv - aschiere vibropercutanta');
for i = 1:5
    x = [463 559 619 686 771];
    xi = (463:1:771);
    yi = interp1(x,acc_b11(i,:),xi,'spline');
    figure; plot(xi,yi,'r');
    yi = interp1(x,acc_neb11(i,:),xi,'spline');
    hold on; plot(xi,yi,'k');

```

```

xlabel('Turatie [rot/min]')
ylabel('Acceleratie x9,81 [m/s^2]')
title(strcat('Amplitudinea acceleratiilor „peak to peak” masurate pe dispozitiv, avans
',num2str(y0n(i)), ' [mm/min]'));
end

% %Amplitudinile acceleratiilor masurate „peak to peak” pe universal
% %Dispozitiv blocat
acc_bl2 = [33.0396 26.2419 31.0593 58.1498 26.6198
           46.5198 35.3717 32.2941 53.3921 48.0183
           50.2203 37.2570 37.2570 53.6564 52.1423
           49.9559 27.6951 54.7137 48.6344 52.0705
           44.6696 24.8027 53.3921 41.9032 50.4846];
Z = acc_bl2;
ZI = interp2(X,Y,Z,XI,YI,'spline');
figure; mesh(XI,YI,ZI);
title('Amplitudinea acceleratiilor „peak to peak” masurate pe universal - aschiere obisnuita');

% %Dispozitiv neblocat
acc_nebl2 = [59.8079 59.1119 61.3906 58.6578 57.8642
              59.7115 59.6691 63.4453 58.0541 58.2999
              58.4147 60.6951 62.1365 58.8987 58.5322
              60.0140 58.0160 60.0870 59.3142 59.8078
              58.7106 61.3344 57.1769 59.2070 60.0545];
Z = acc_nebl2;
ZI = interp2(X,Y,Z,XI,YI,'spline');
figure; mesh(XI,YI,ZI);
title('Amplitudinea acceleratiilor „peak to peak” masurate pe universal - aschiere vibropercutanta');

for i = 1:5
    x = [463 559 619 686 771];
    xi = (463:1:771);
    yi = interp1(x,acc_bl2(i,:),xi,'spline');
    figure; plot(xi,yi,'r');
    yi = interp1(x,acc_nebl2(i,:),xi,'spline');
    hold on; plot(xi,yi,'k');
    xlabel('Turatie [rot/min]')
    ylabel('Acceleratie x9,81 [m/s^2]')
    title(strcat('Amplitudinea acceleratiilor „peak to peak” masurate pe universal, avans
',num2str(y0n(i)), ' [mm/min]'));
end

% %Valorile fortelor masurate „peak to peak” utilizând masa tensometrică
% %Dispozitiv blocat
f_bl = [203.9355 180.9467 182.7406 199.6012 185.0220
         205.3845 181.1595 204.0016 228.8560 207.0485
         207.0302 180.7416 208.1075 206.5807 180.7720
         234.1011 185.2642 210.9375 224.6696 204.0715
         254.1044 205.6916 202.6480 203.7595 202.2697];
Z = f_bl;
ZI = interp2(X,Y,Z,XI,YI,'spline');
figure; mesh(XI,YI,ZI);
title('Ampl. fortelor axiale „peak to peak” masurate pe masa tensometrica - aschiere obisnuita');

```

% %Dispozitiv neblocat

```
f_nebl = [433.3346 408.9582 559.8704 484.3292 380.1355
          640.6597 432.4409 738.6678 583.6588 535.7921
          406.2227 458.0837 459.6198 304.2126 356.6560
          354.6729 407.4400 660.4824 382.0651 435.2803
          335.1495 385.5429 438.3508 332.5140 460.3307];
```

```
Z = f_nebl;
```

```
ZI = interp2(X,Y,Z,XI,YI,'spline');
```

```
figure; mesh(XI,YI,ZI);
```

```
title('Ampl. fortelor axiale „peak to peak” masurate pe masa tensometrica - aschiere vibropercutanta');
```

```
for i = 1:5
```

```
    x = [463 559 619 686 771];
```

```
    xi = (463:1:771);
```

```
    yi = interp1(x,f_bl(i,:),xi,'spline');
```

```
    figure; plot(xi,yi,'r');
```

```
    yi = interp1(x,f_nebl(i,:),xi,'spline');
```

```
    hold on; plot(xi,yi,'k');
```

```
    xlabel('Turatie [rot/min]')
```

```
    ylabel(' [N]')
```

```
    title(strcat('Ampl. fortelor axiale „peak to peak” masurate pe masa tensometrica, avans :',
                 ',num2str(y0n(i)), ' [mm/min]'));
```

```
end
```

% %Valorile momentelor măsurate „peak to peak” utilizând masa tensometrică**% %Dispozitiv blocat**

```
m_bl = [2.3923 3.0803 2.0554 2.4131 2.0534
          2.4067 3.4262 2.0592 2.7264 2.4036
          2.4105 3.0801 2.7362 2.3968 3.0872
          2.7753 3.0852 2.7340 2.7407 2.7401
          2.4189 3.4470 2.4052 2.7428 3.4111];
```

```
Z = m_bl;
```

```
ZI = interp2(X,Y,Z,XI,YI,'spline');
```

```
figure; mesh(XI,YI,ZI);
```

```
title('Ampl. momentelor „peak to peak” masurate pe masa tensometrica - aschiere obisnuita');
```

% %Dispozitiv neblocat

```
m_nebl = [2.7431 2.7372 2.7725 3.0807 2.7399
           2.7588 2.7311 2.7404 3.0733 3.0721
           3.0898 3.0926 2.7535 3.1053 3.0732
           3.4507 3.0828 2.7841 3.1131 3.0941
           2.7579 3.4209 3.0761 3.1098 3.0846];
```

```
Z = m_nebl;
```

```
ZI = interp2(X,Y,Z,XI,YI,'spline');
```

```
figure; mesh(XI,YI,ZI);
```

```
title('Ampl. momentelor „peak to peak” masurate pe masa tensometrica - aschiere vibropercutanta');
```

```
for i = 1:5
```

```
    x = [463 559 619 686 771];
```

```
    xi = (463:1:771);
```

```
    yi = interp1(x,m_bl(i,:),xi,'spline');
```

```
    figure; plot(xi,yi,'r');
```

```
    yi = interp1(x,m_nebl(i,:),xi,'spline');
```

```

hold on; plot(xi,yi,'k');
xlabel('Turatie [rot/min]')
ylabel('[N*m]')
title(strcat('Ampl. momentelor „peak to peak” masurate pe masa tensometrica. avans
',num2str(y0n(i)), ' [mm/min]'));
end

% % %Valorile vitezelor unghiulare măsurate „peak to peak” utilizând traductorul TIRO
y0n = [1 2 4 6 8];
x0s = [463 559 619];
[X,Y] = meshgrid(x0s,y0n);
[XI,YI] = meshgrid(463:1:619,1:0.1:8);
% % %Dispozitiv blocat
vit_bl = [47.27 55.08 65.55
           47.27 55.08 65.55
           47.27 55.08 65.55
           47.27 55.08 65.55];
Z = vit_bl;
ZI = interp2(X,Y,Z,XI,YI,'linear');
figure; mesh(XI,YI,ZI);
title('Viteze unghiulare „peak to peak” masurate cu traductor TIRO - aschiere obisnuita');
%2.%Dispozitiv neblocat
vit_nebl = [37.2087 36.2680 41.9354
            35.9827 33.5103 39.1413
            34.0322 33.0091 36.3894
            32.4382 28.0499 40.6084
            32.3589 18.3606 25.7021];
Z = vit_nebl;
ZI = interp2(X,Y,Z,XI,YI,'linear');
figure; mesh(XI,YI,abs(ZI));
title('Viteze unghiulare „peak to peak” masurate cu traductor TIRO - aschiere vibropercutanta');

for i = 1:5
    x = [463 559 619];
    xi = (463:1:619);
    yi = interp1(x,vit_bl(i,:),xi,'linear');
    figure; plot(xi,yi,'r');
    yi = interp1(x,vit_nebl(i,:),xi,'linear');
    hold on; plot(xi,yi,'k');
    xlabel('Turatie [rot/min]')
    ylabel('[rad/s]')
    title(strcat('Viteze unghiulare „peak to peak” masurate cu traductor TIRO, avans
',num2str(y0n(i)), ' [mm/min]'));
end

```

Anexa 42.

Diagrame ale amplitudinilor accelerării, forțelor, momentelor și vitezelor unghiulare în funcție de turăție și viteza de avans măsurate „peak to peak” traseate cu programul „diag2.m”

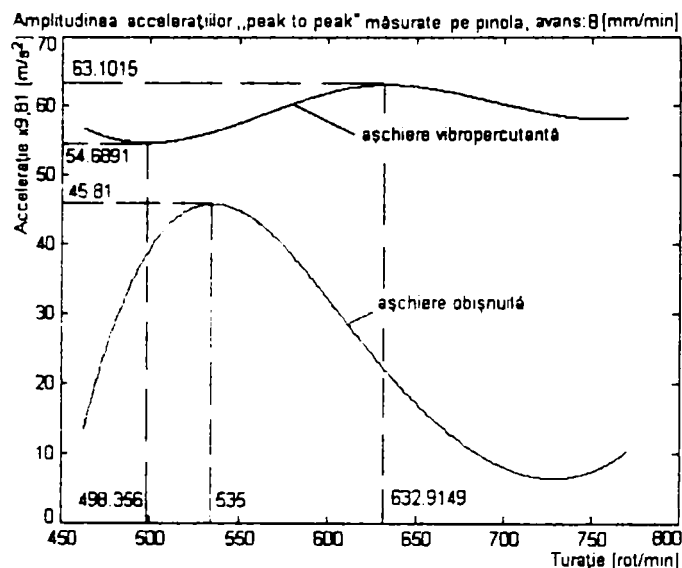


Fig. A.42.1.

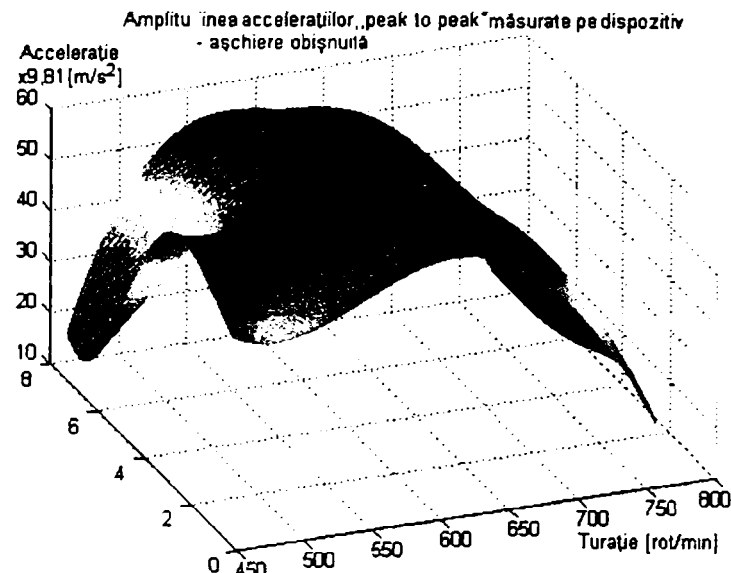


Fig. A.42.2.

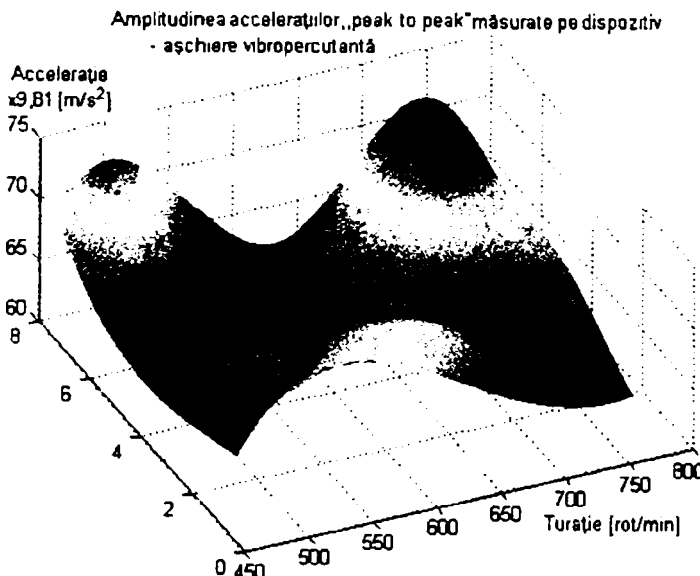


Fig. A.42.3.

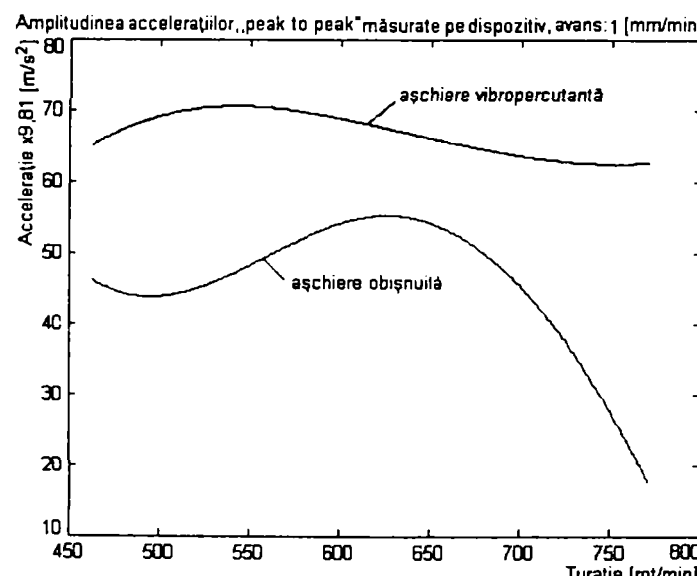


Fig. A.42.4.

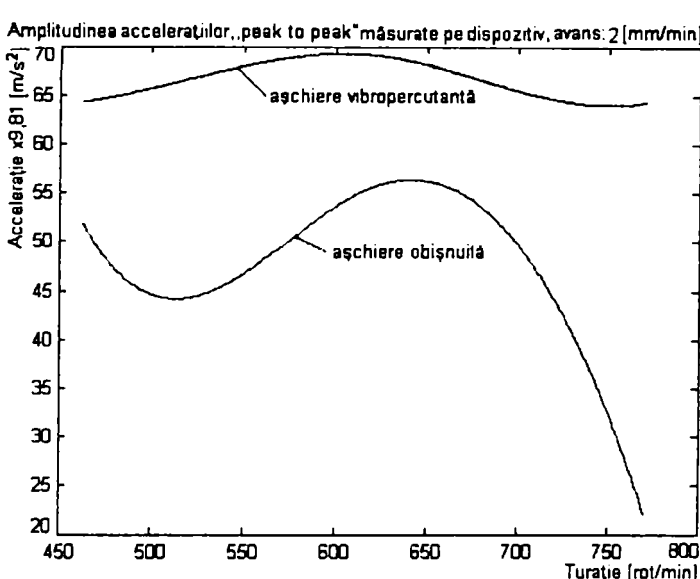


Fig. A.42.5.

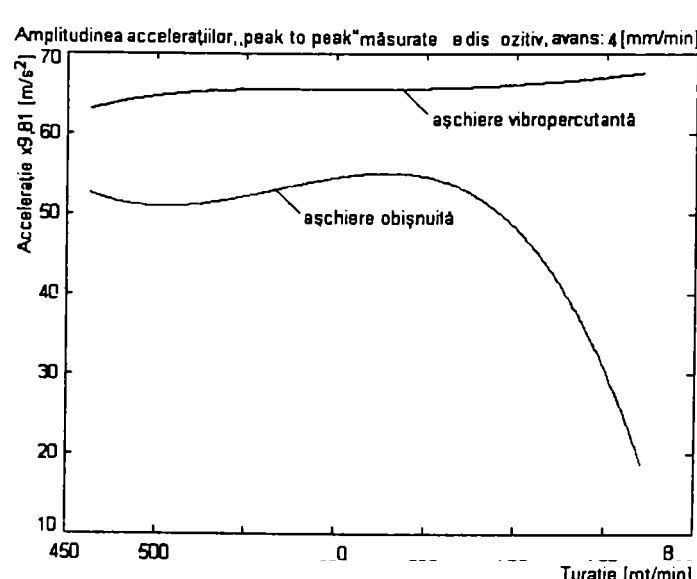


Fig. A.42.6.

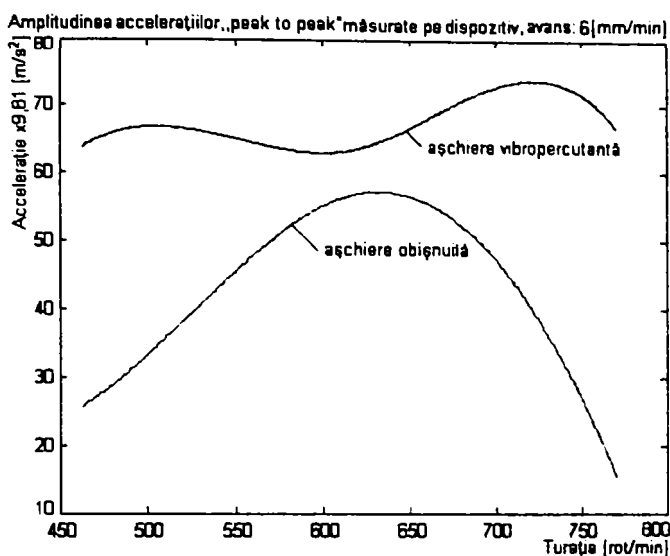


Fig. A.42.7.

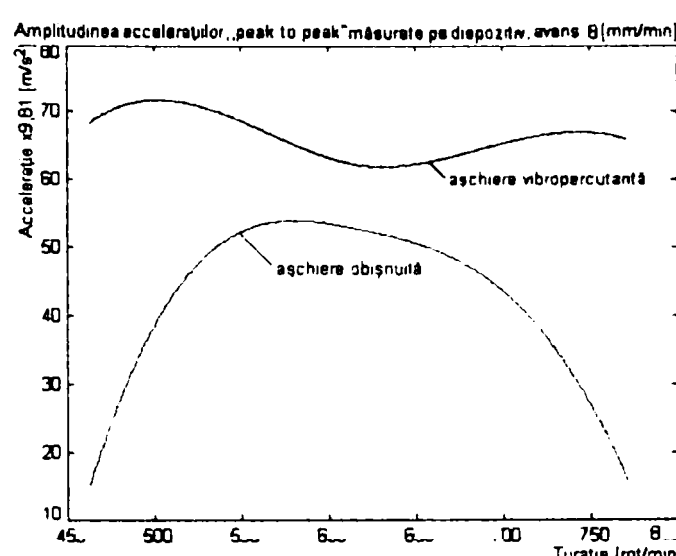


Fig. A.42.8.

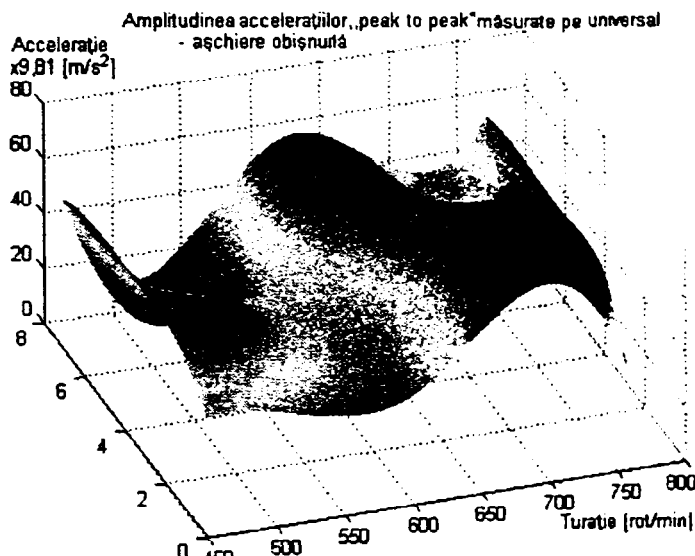


Fig. A.42.9.

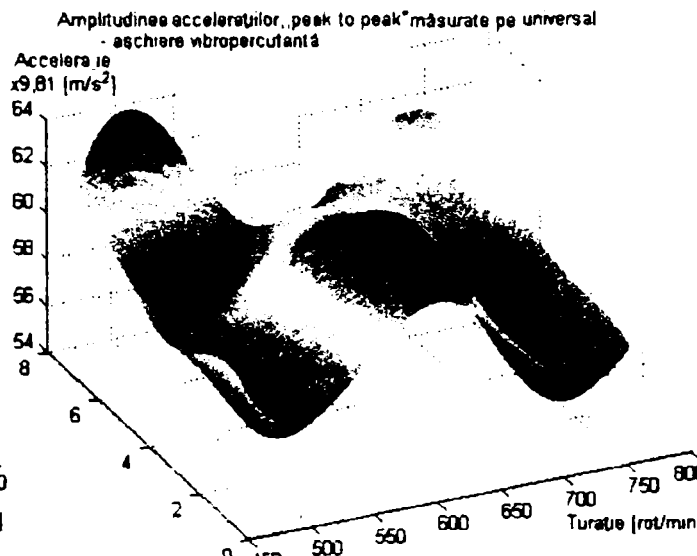


Fig. A.42.10.

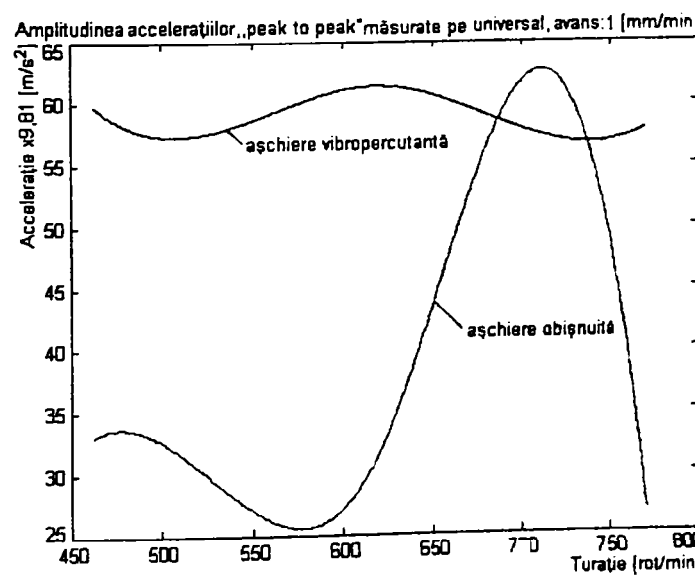


Fig. A.42.11.

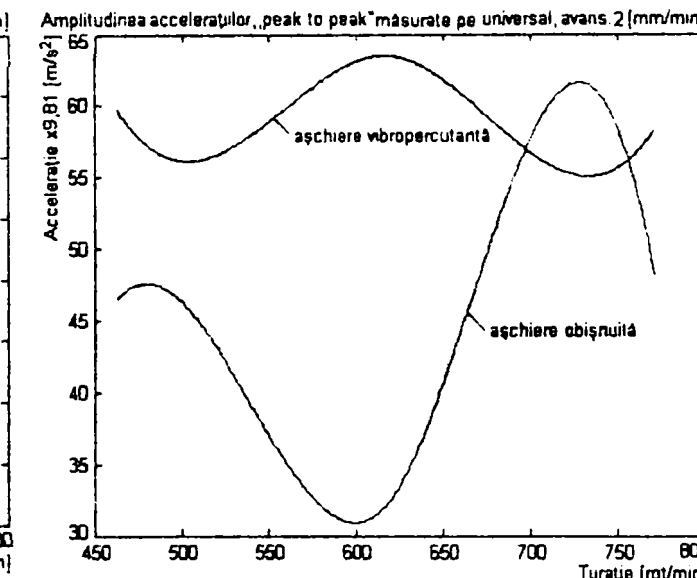


Fig. A.42.12.

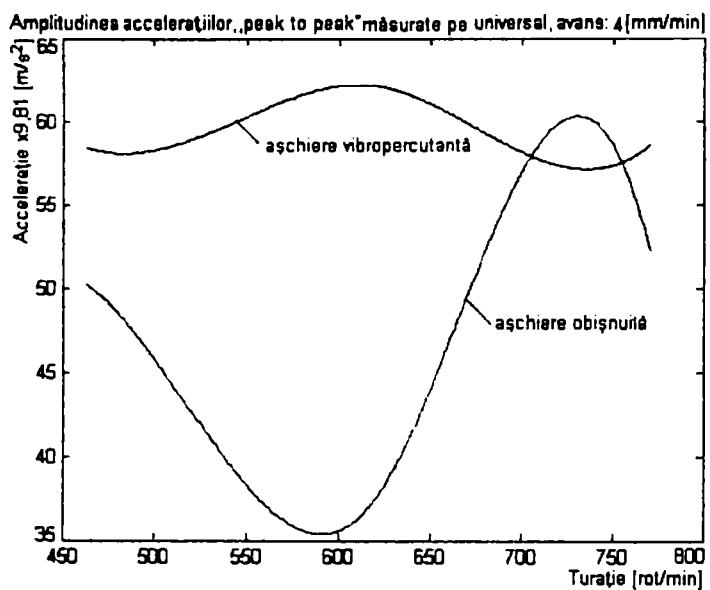


Fig. A.42.13.

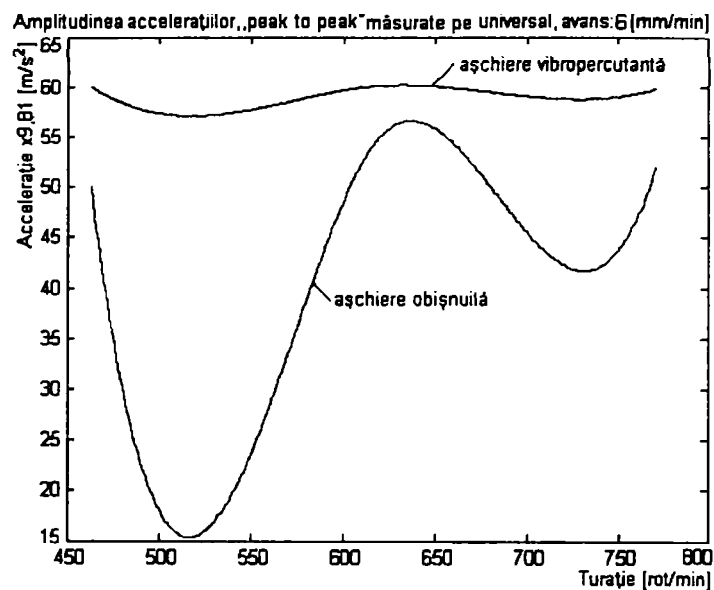


Fig. A.42.14.

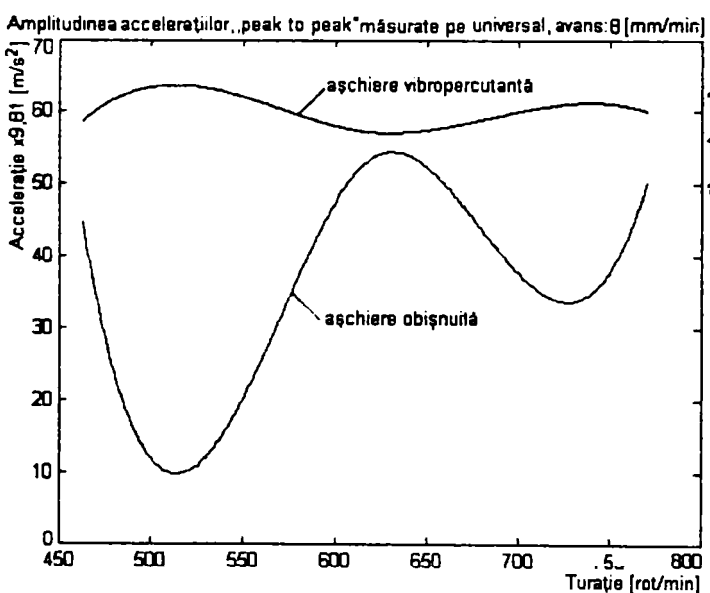


Fig. A.42.15.

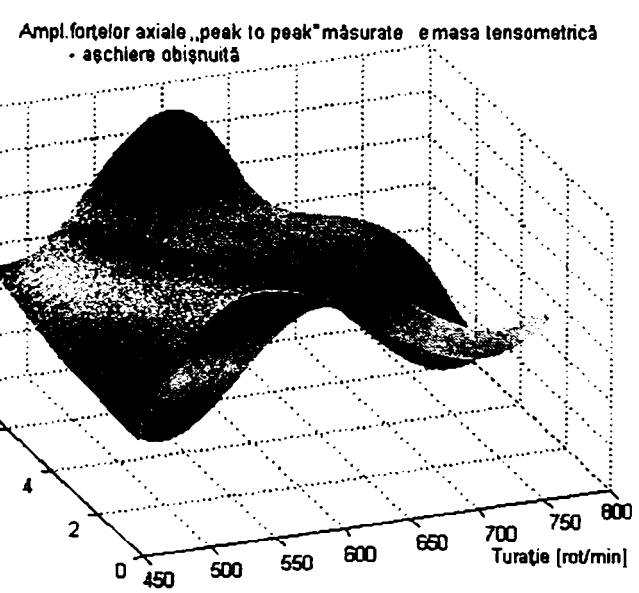


Fig. A.42.16.

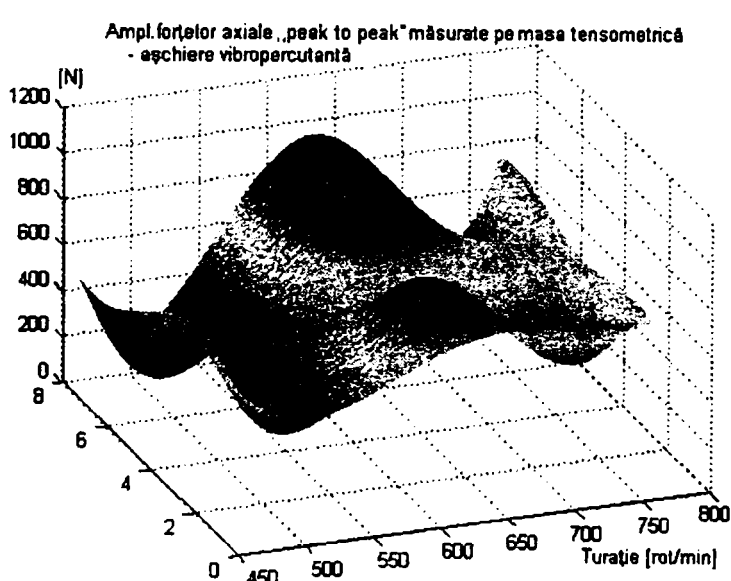


Fig. A.42.17.

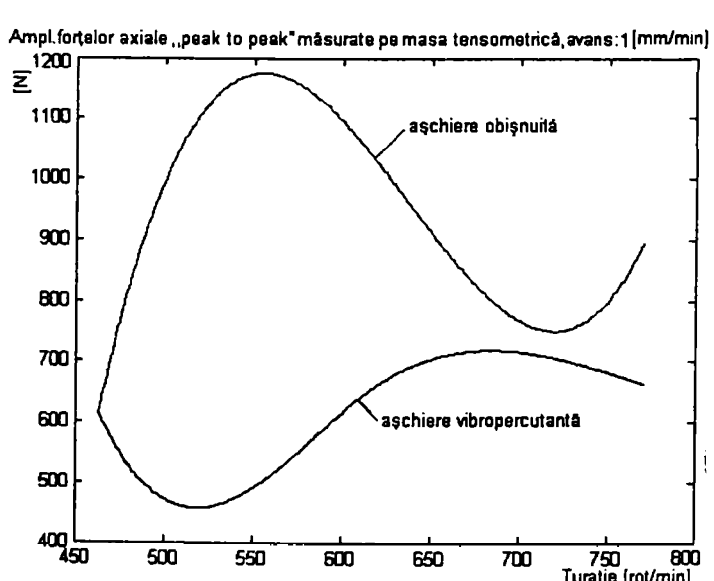


Fig. A.42.18.

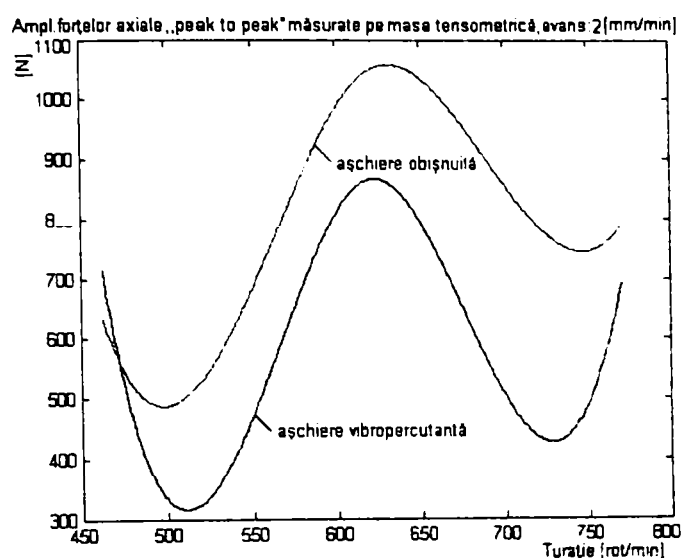


Fig. A.42.19.

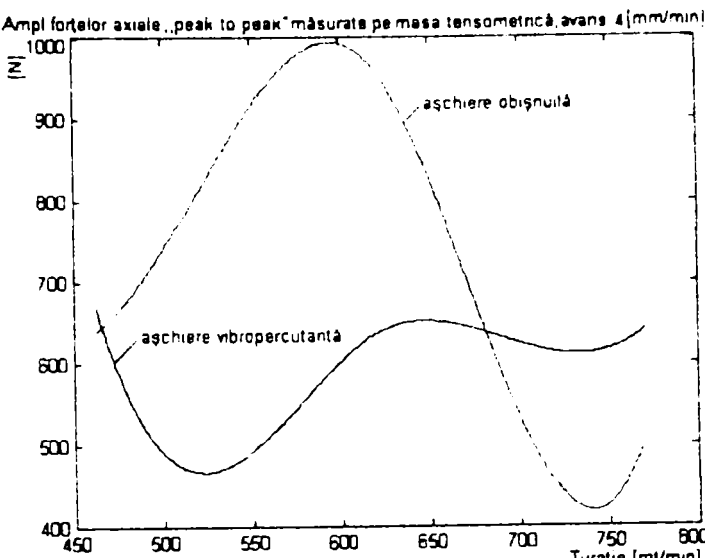


Fig. A.42.20.

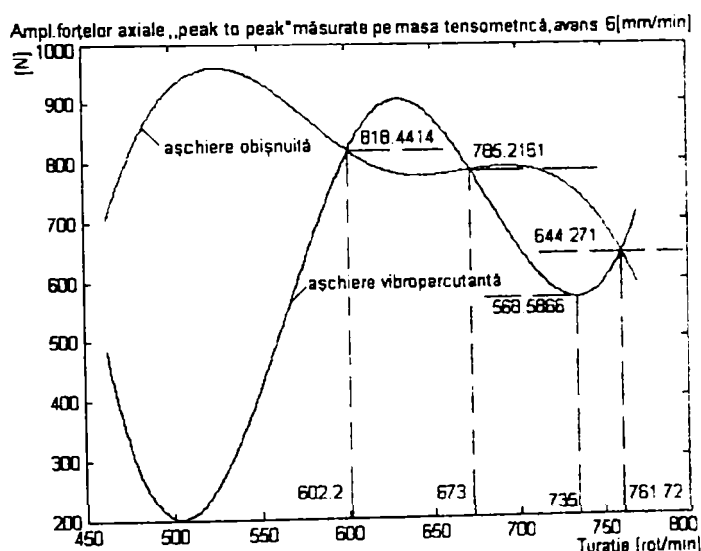


Fig. A.42.21.

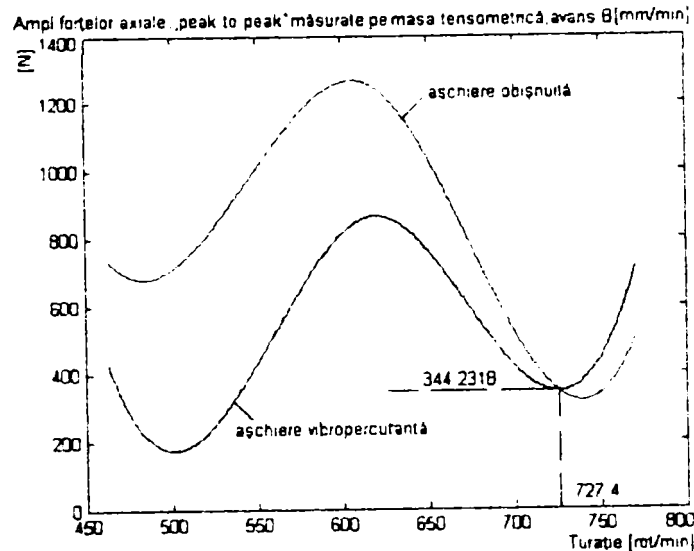


Fig. A.42.22.

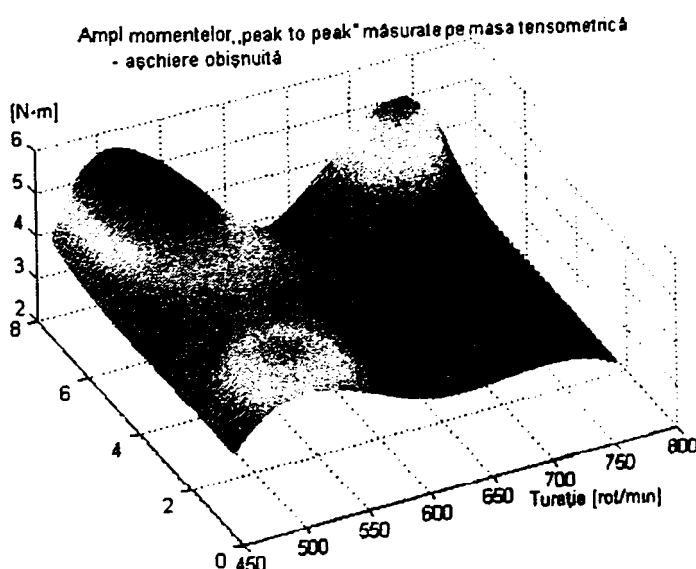


Fig. A.42.23.

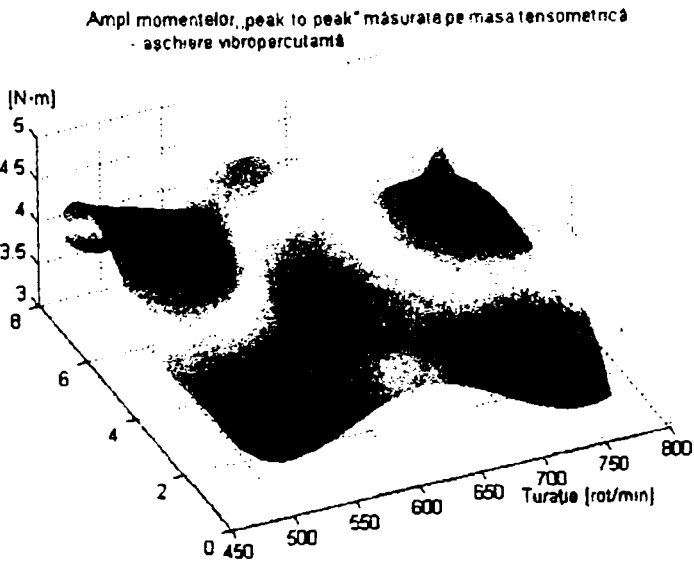
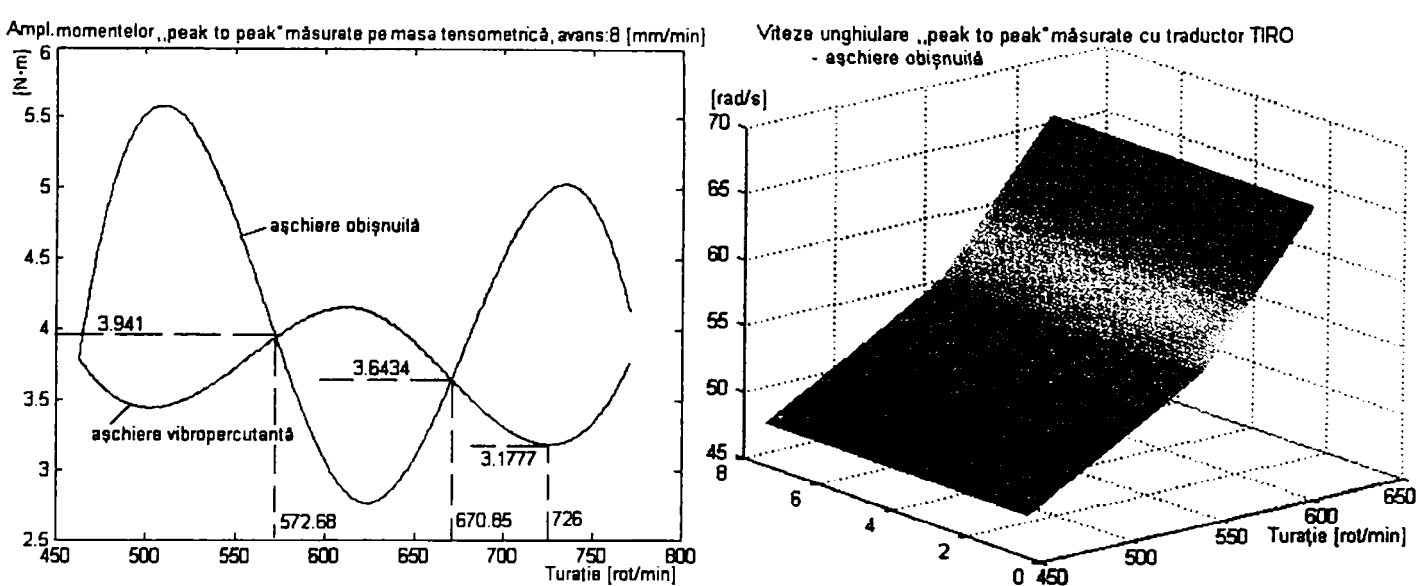
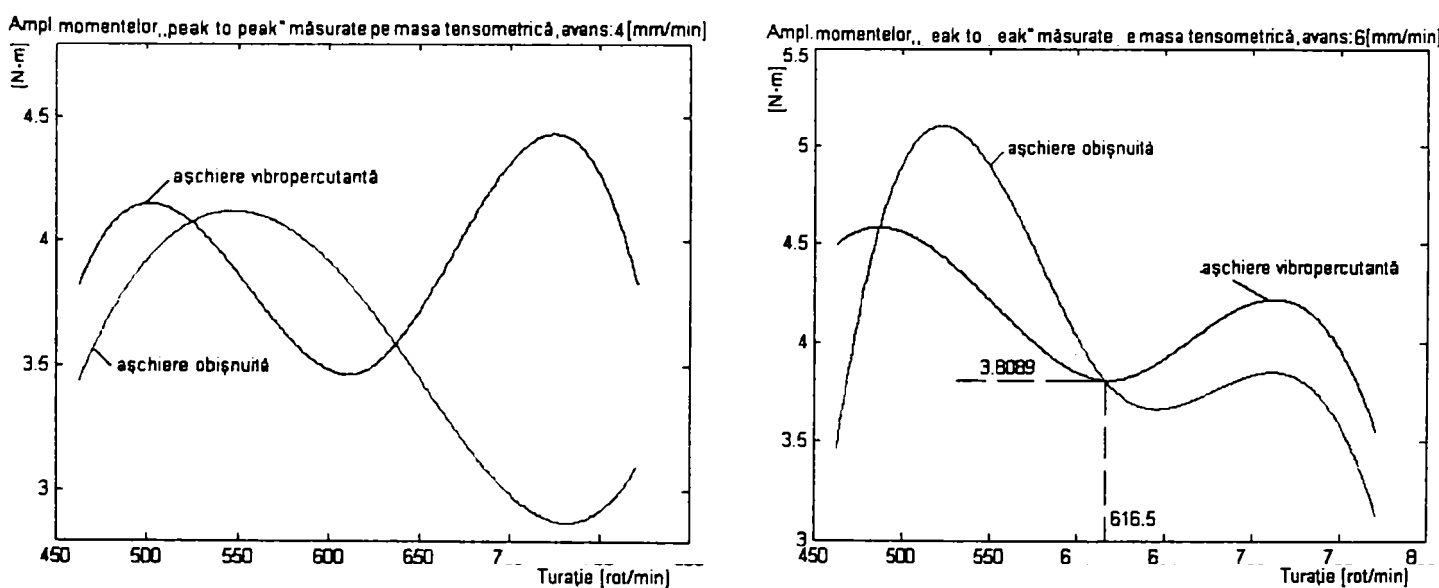
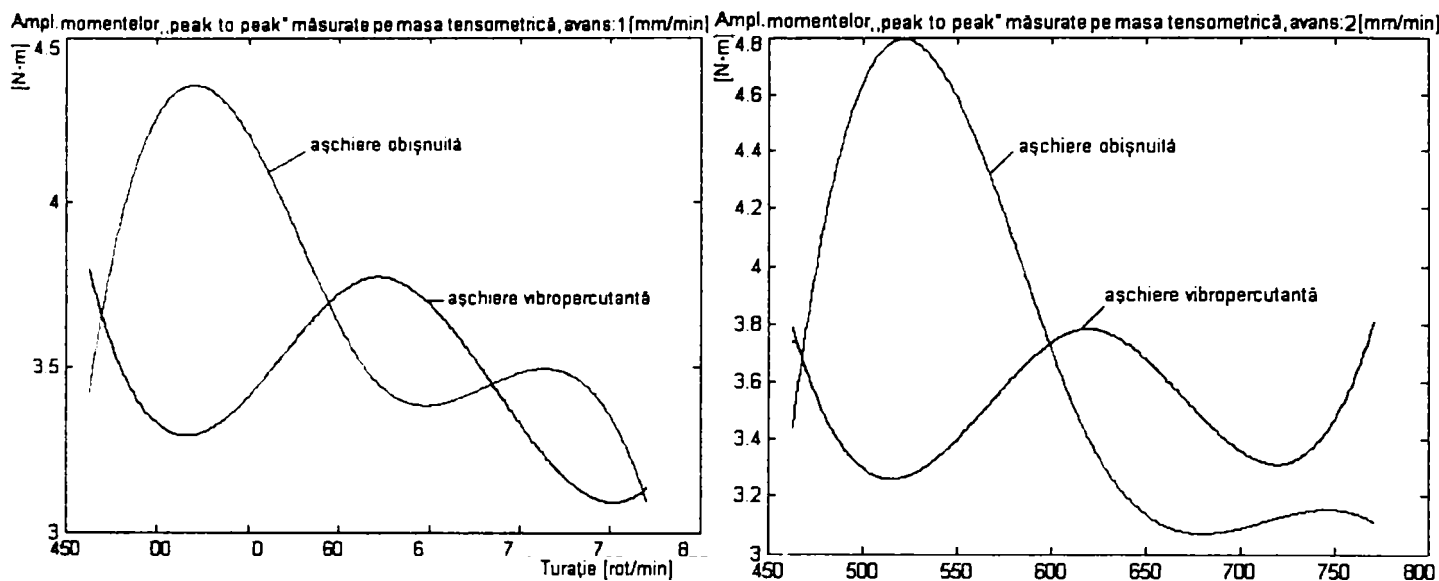


Fig. A.42.24.



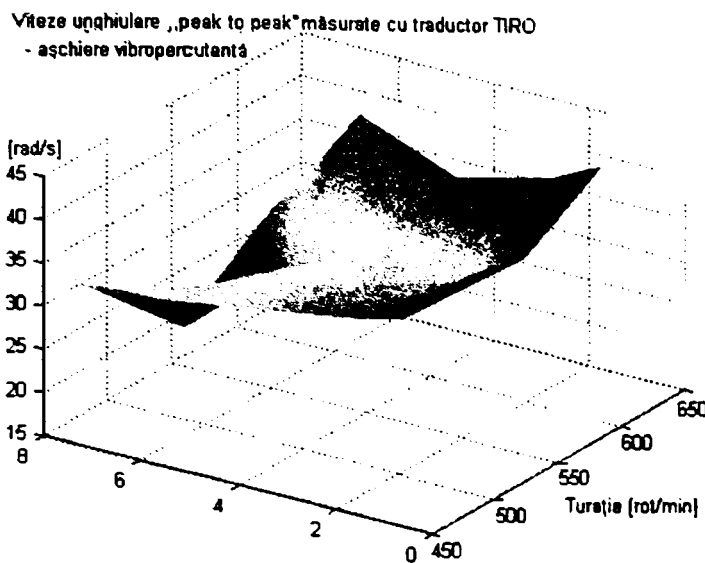


Fig. A.42.31.

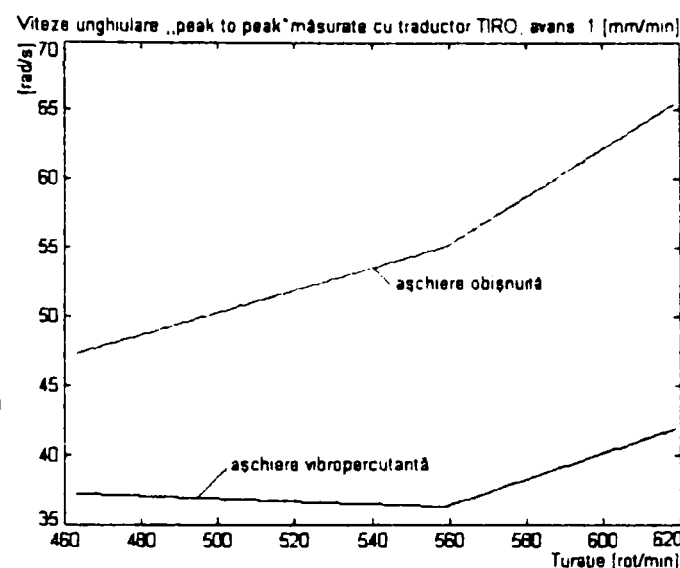


Fig. A.42.32.

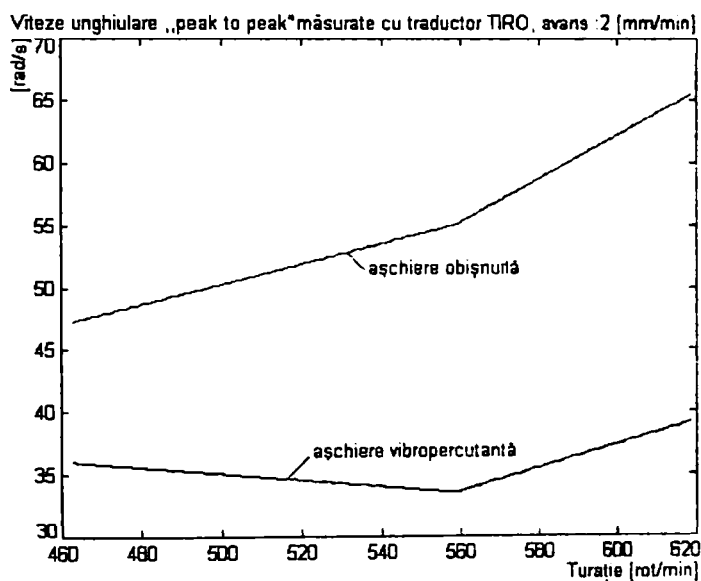


Fig. A.42.33.

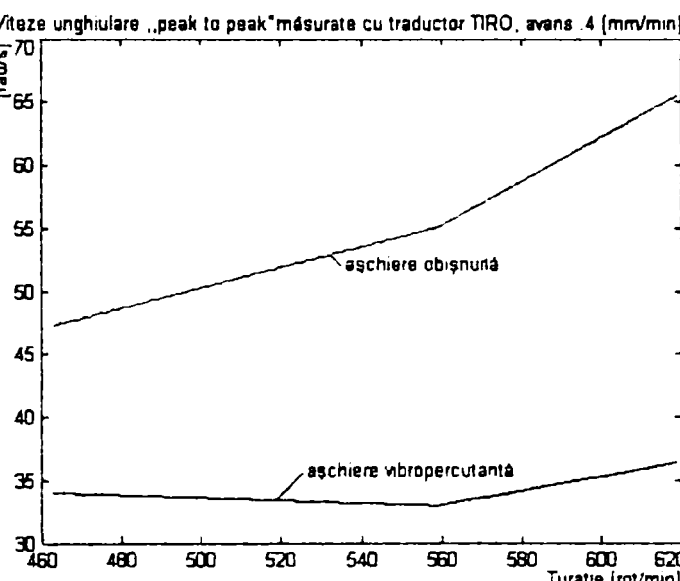


Fig. A.42.34.

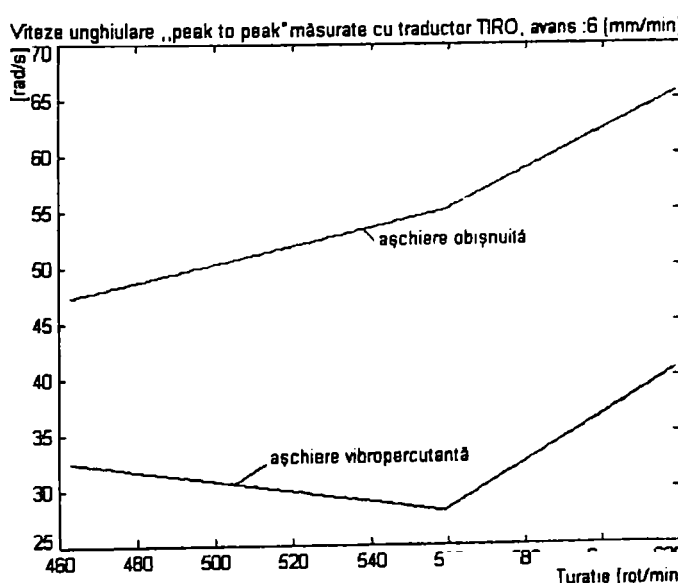


Fig. A.42.35.

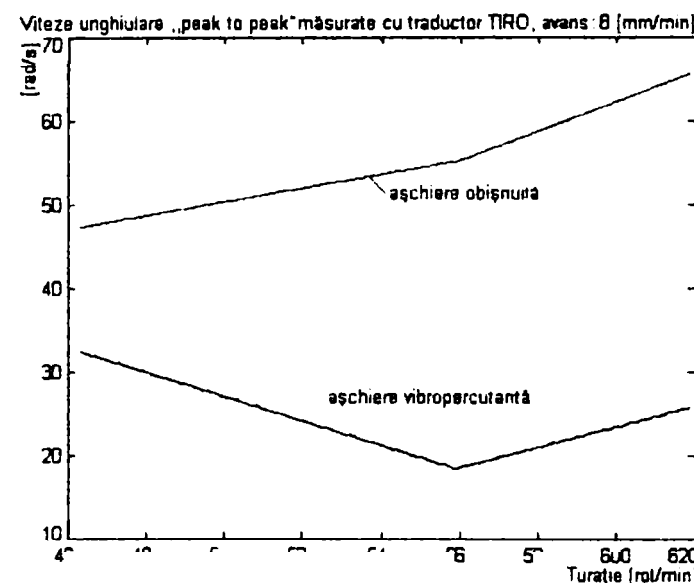
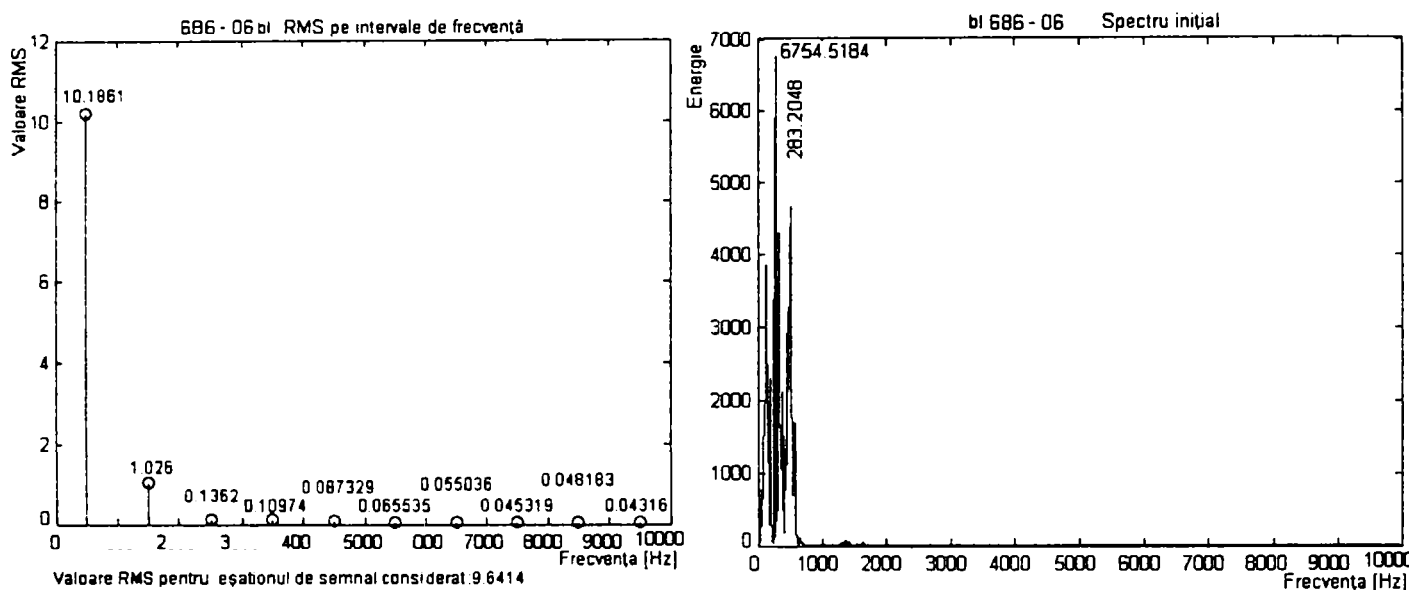
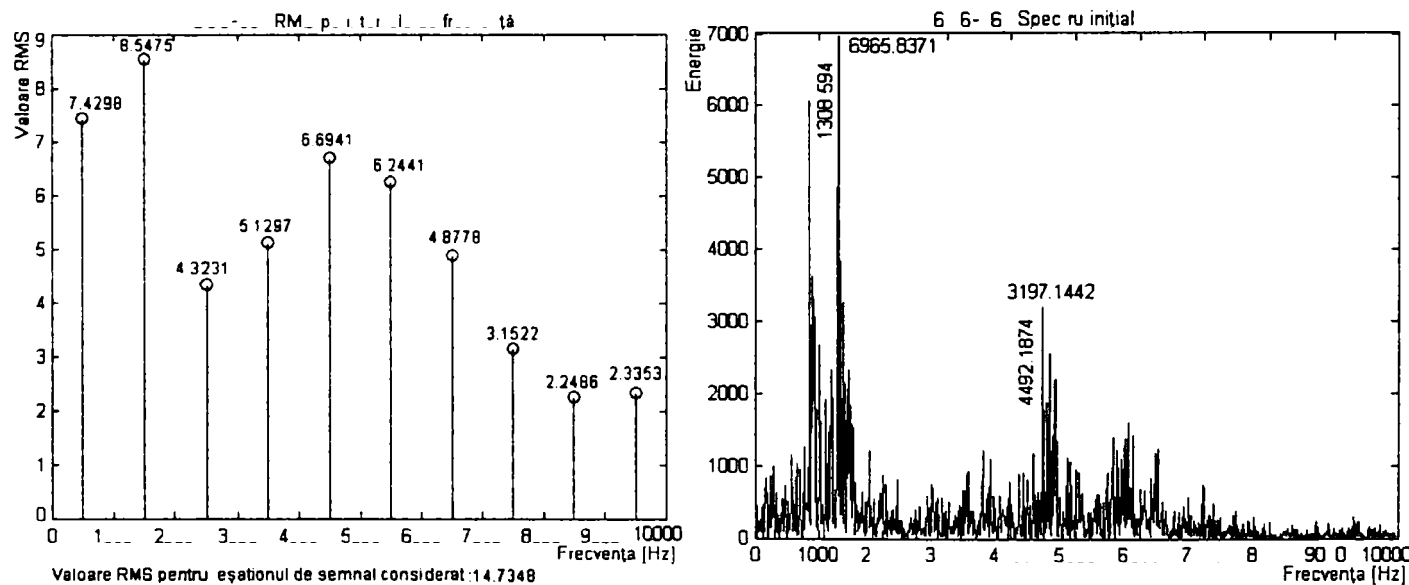
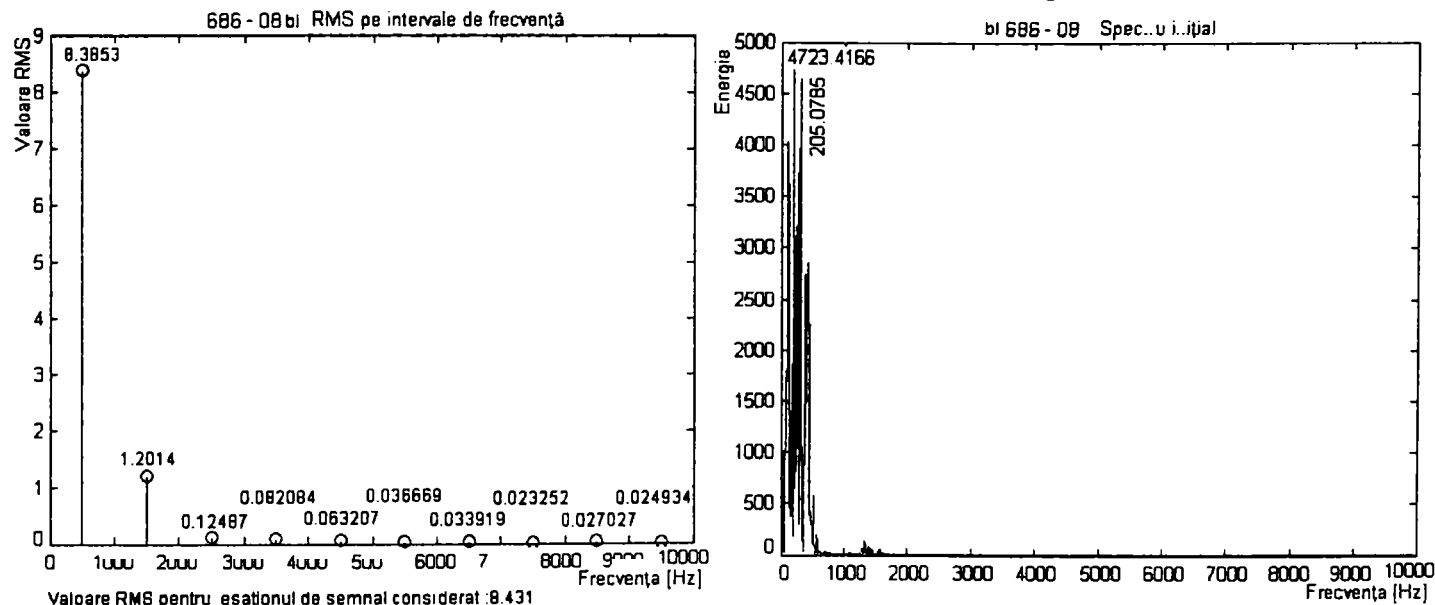


Fig. A.42.36.

Anexa 43.**Diagrame RMS și spectrelor frecvențelor în regim de aşchiere obișnuit și regim vibropercutant****1. Măsurate pe dispozitivul vibropercutant****Fig. A.43.1.1.1. Diagrama RMS și spectrul de frecvență la găurile obișnuite: n=686 și v_s=6.****Fig. A.43.1.1.2. Diagrama RMS și spectrul de frecvență la găurile vibropercutante: n=686 și v_s=6.****Fig. A.43.1.2.1. Diagrama RMS și spectrul de frecvență la găurile obișnuite: n=686 și v_s=8**

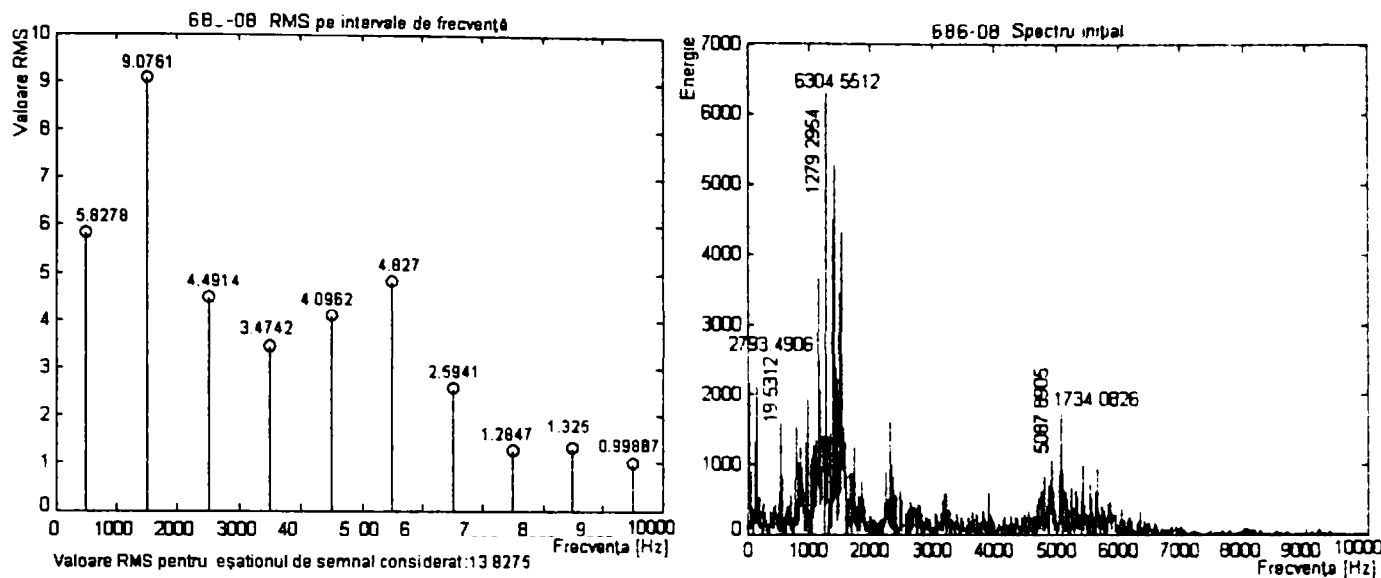


Fig. A.43.1.2.2. Diagrama RMS și spectrul de frecvență la găurile vibropercutantă: n=686 și v_s=8.

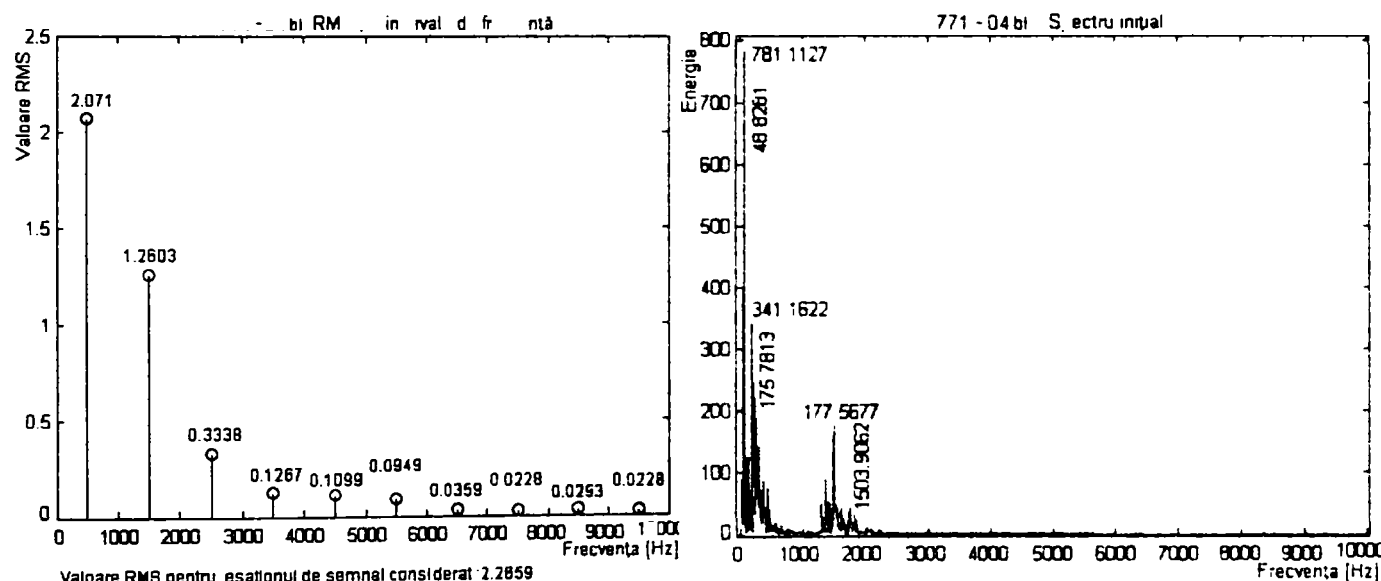


Fig. A.43.1.3.1. Diagrama RMS și spectrul de frecvență la găurile obișnuită: n=771 și v_s=4

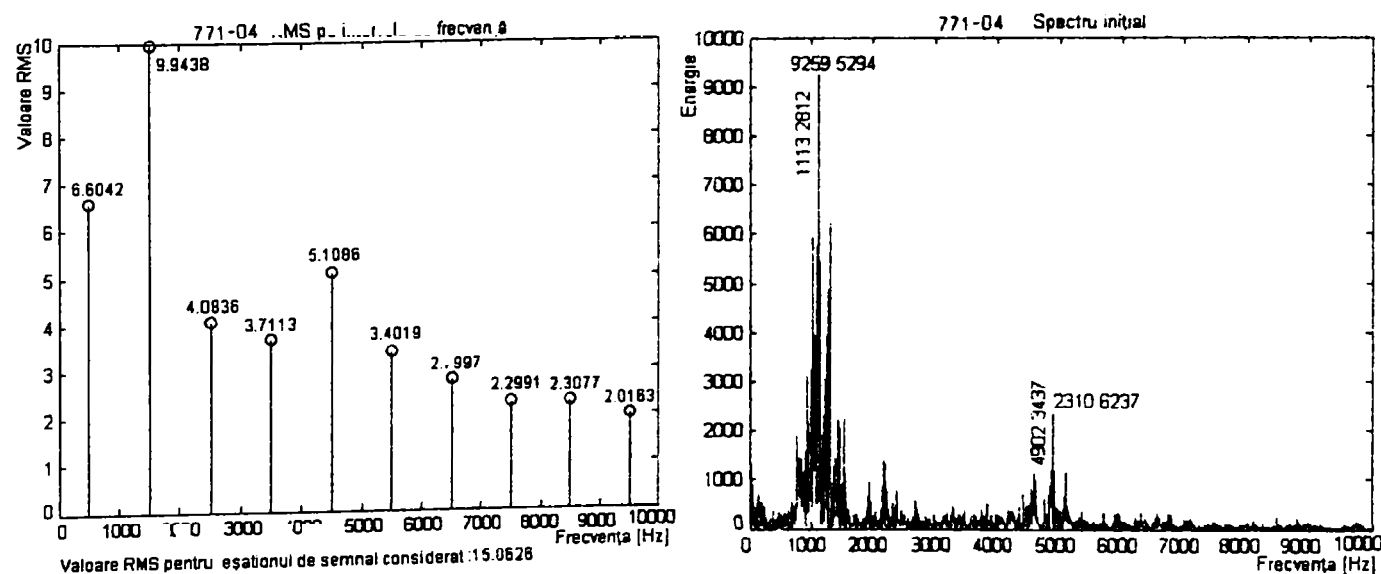


Fig. A.43.1.3.2. Diagrama RMS și spectrul de frecvență la găurile vibropercutantă: n=771 și v_s=4.

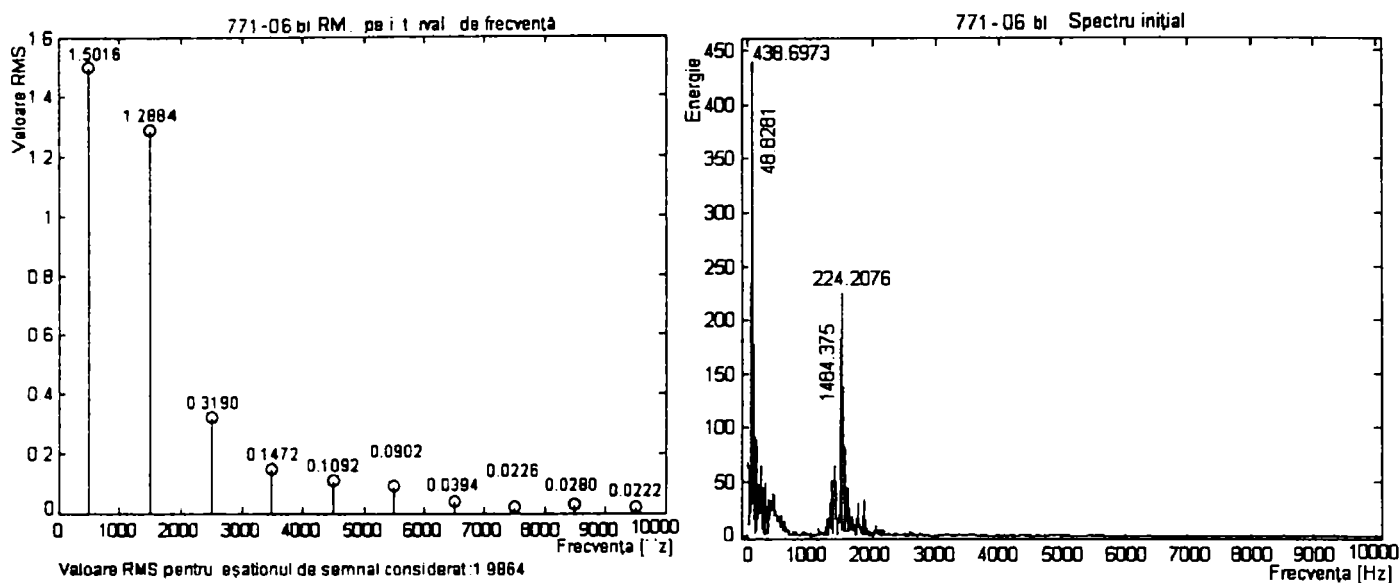


Fig. A.43.1.4.1. Diagrama RMS și spectrul de frecvență la găurile obișnuite: $n=771$ și $v_s=6$

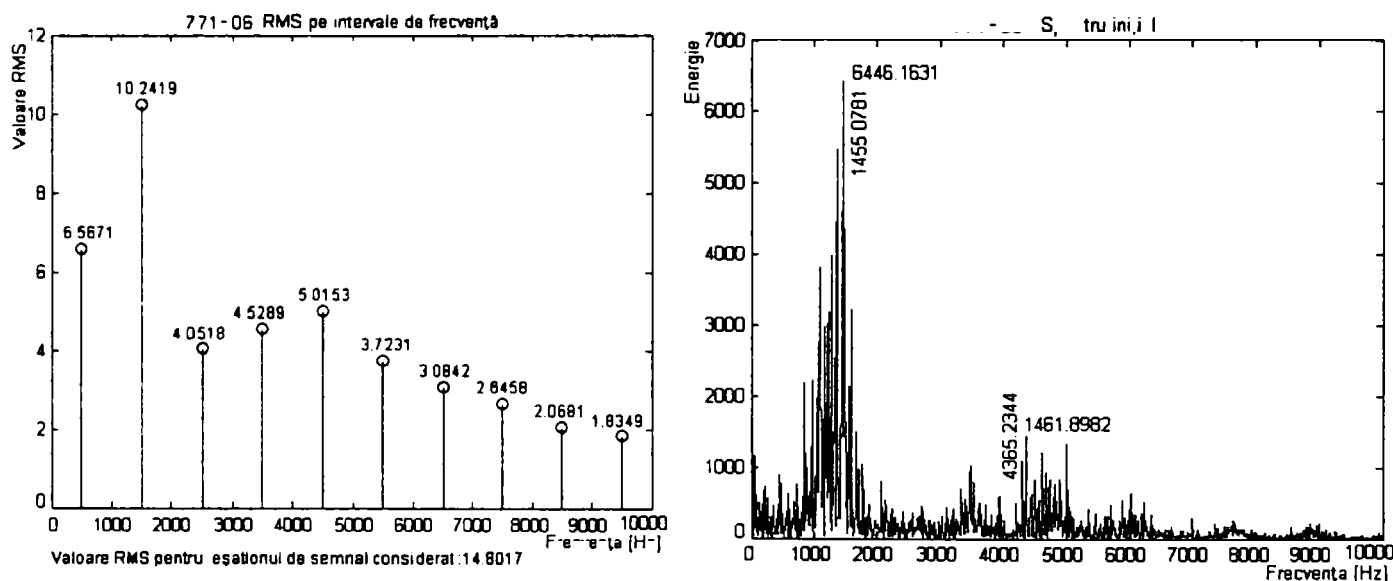


Fig. A.43.1.4.2. Diagrama RMS și spectrul de frecvență la găurile vibropercutante: $n=771$ și $v_s=6$.

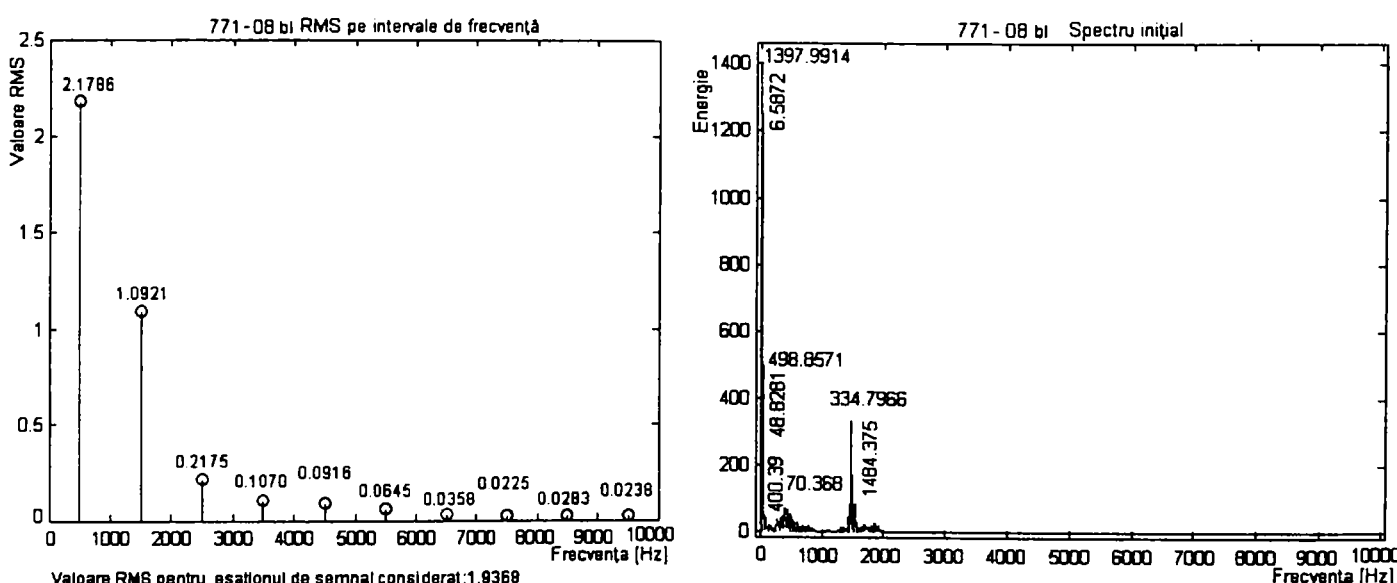


Fig. A.43.1.5.1. Diagrama RMS și spectrul de frecvență la găurile obișnuite: $n=771$ și $v_s=8$

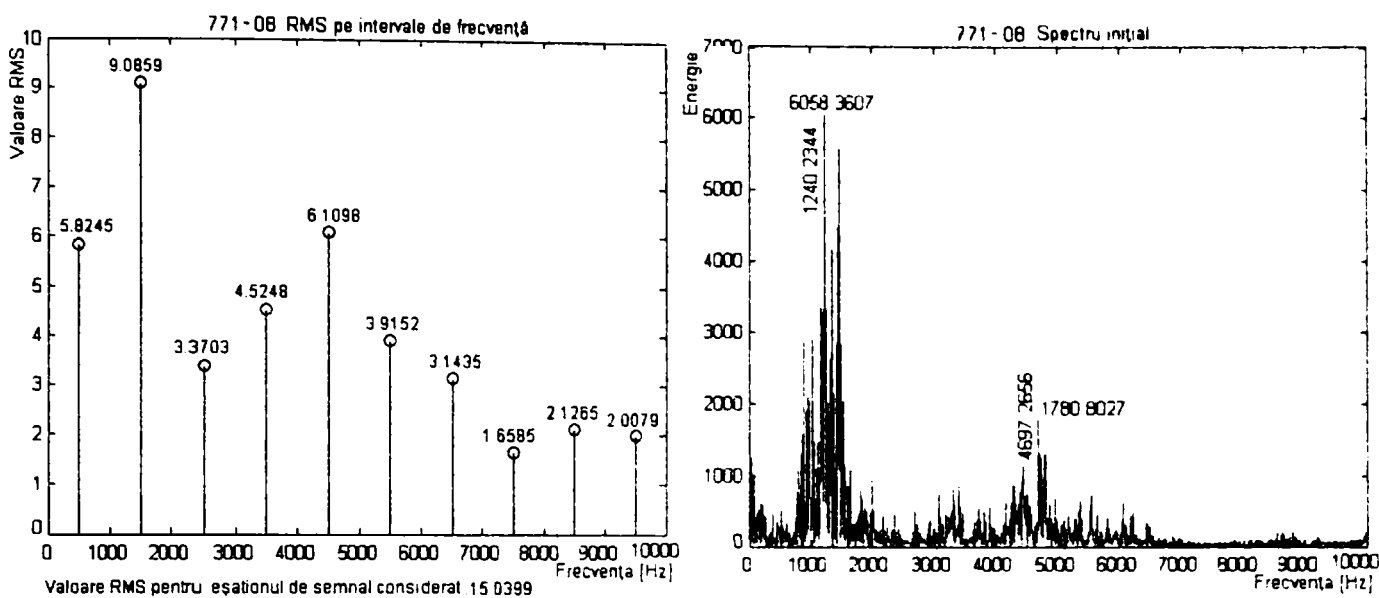


Fig. A.43.1.5.2. Diagrama RMS și spectrul de frecvență la găurile vibropercutantă: n=771 și v_s=8.

2.Măsurate pe pinola mașinii-unele CP20UO

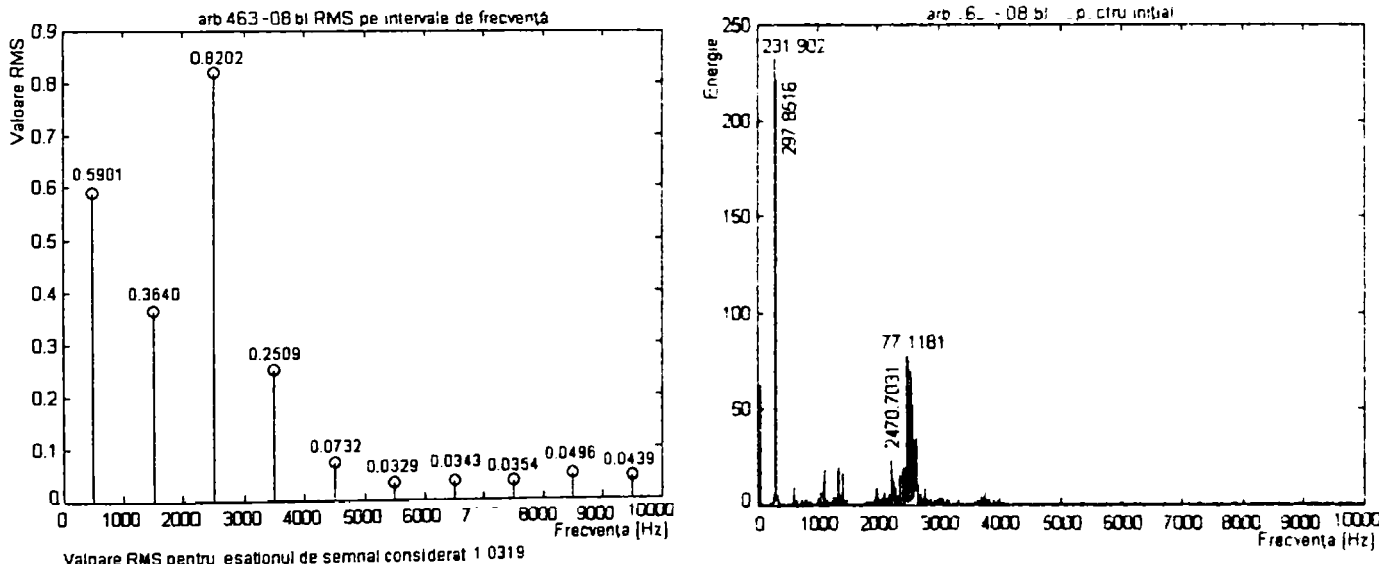


Fig. A.43.2.1.1. Diagrama RMS și spectrul de frecvență la găurile obișnuite: n=463 și v_s=8

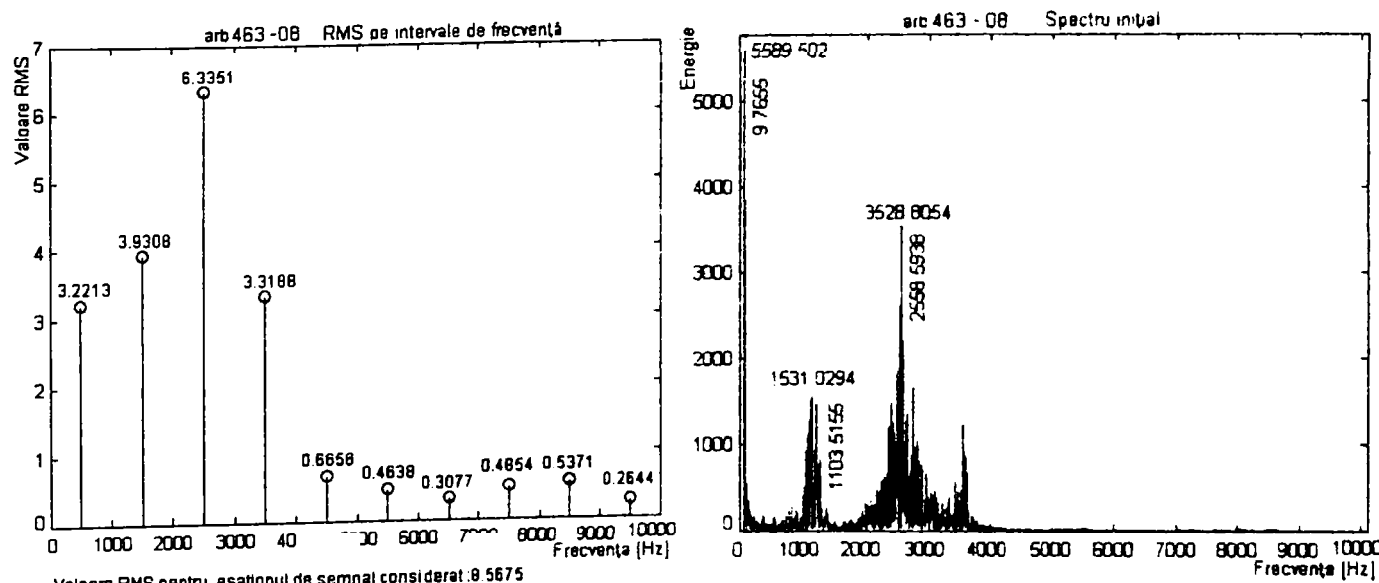


Fig. A.43.2.1.2. Diagrama RMS și spectrul de frecvență la găurile vibropercutantă: n=463 și v_s=8.

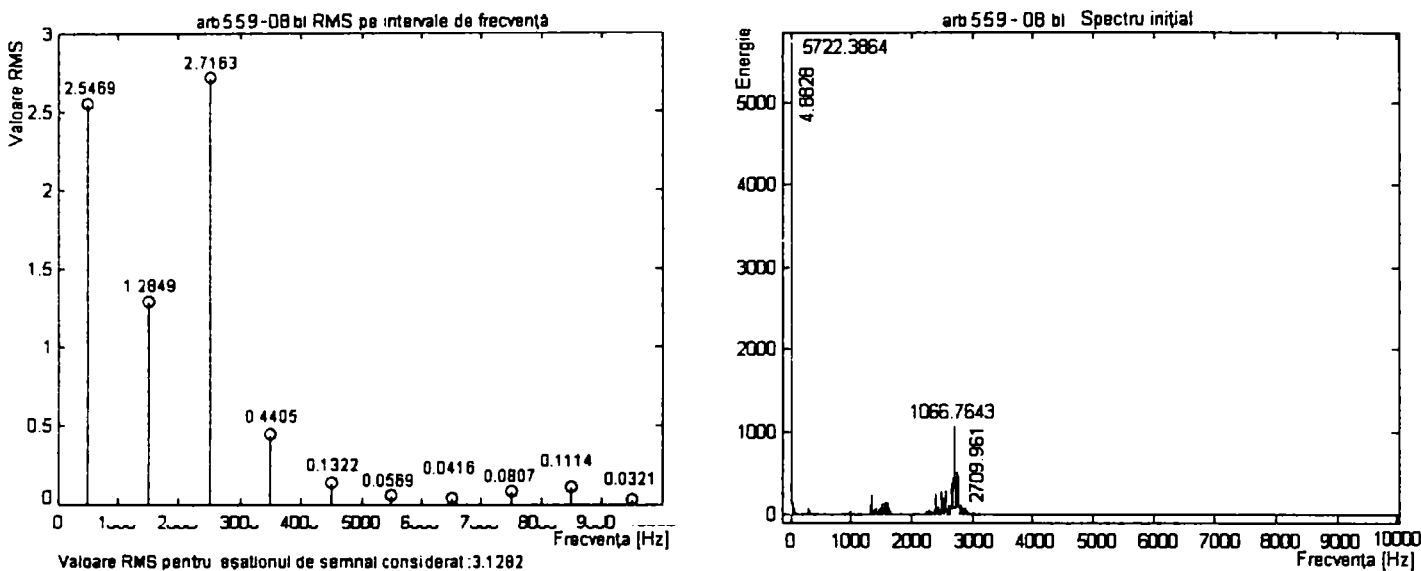


Fig. A.43.2.2.1. Diagrama RMS și spectrul de frecvență la găurile obișnuite: $n=559$ și $v_s=8$

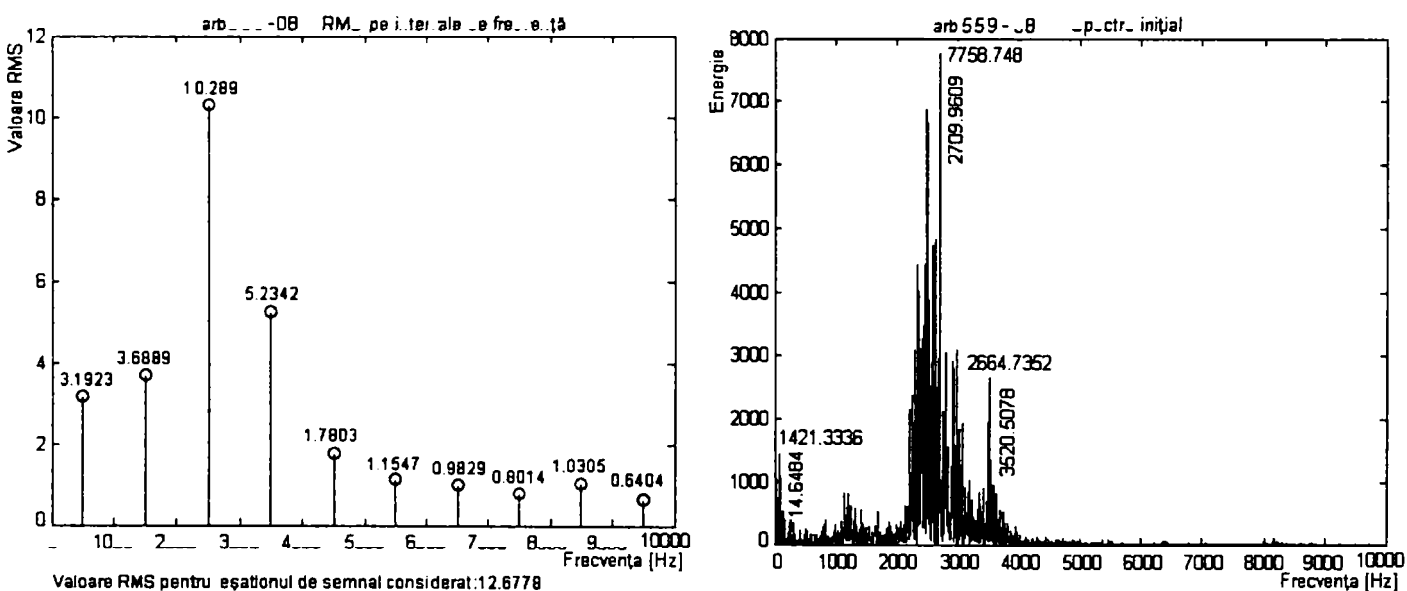


Fig. A.43.2.2.2. Diagrama RMS și spectrul de frecvență la găurile vibropercutante: $n=559$ și $v_s=8$.

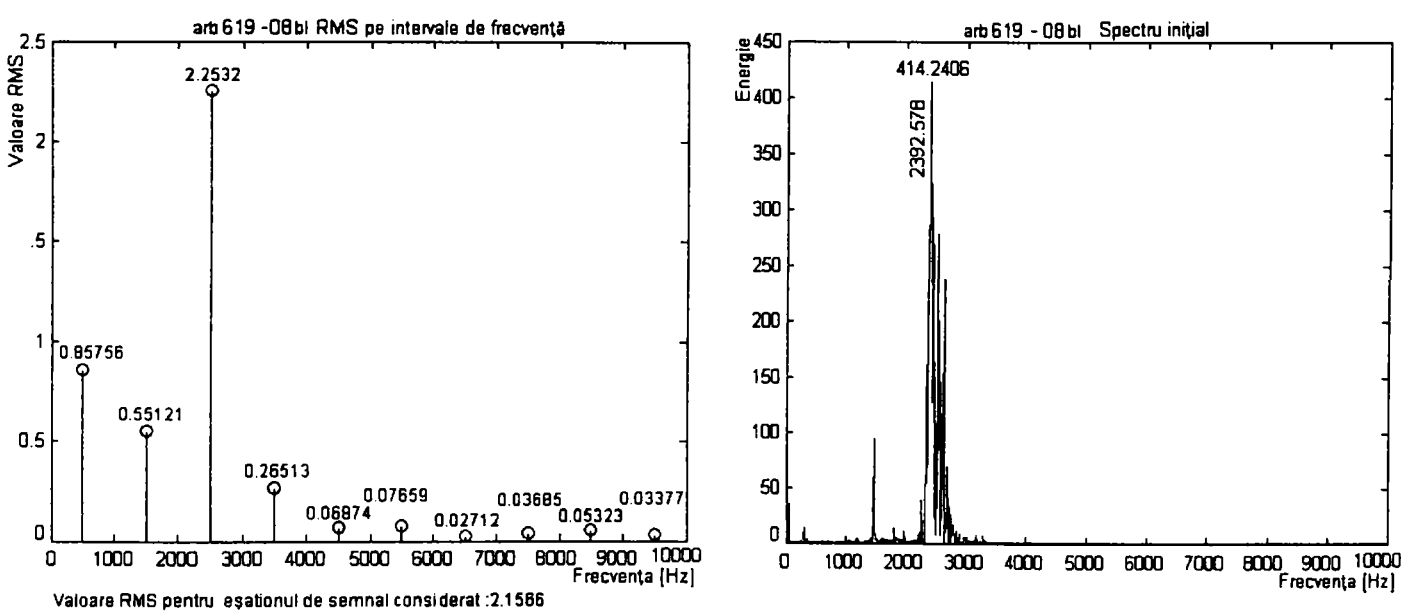


Fig. A.43.2.3.1. Diagrama RMS și spectrul de frecvență la găurile obișnuite: $n=619$ și $v_s=8$

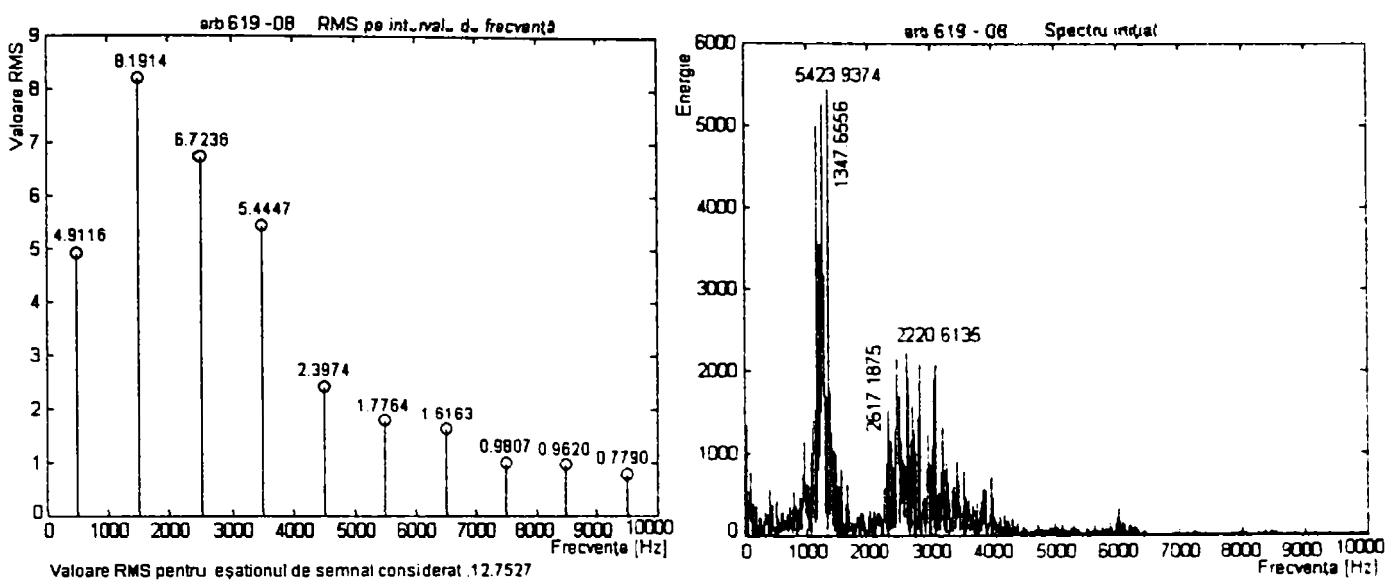


Fig. A.43.2.3.2. Diagrama RMS și spectrul de frecvență la găurile vibropercutantă: $n=619$ și $v_s=8$.

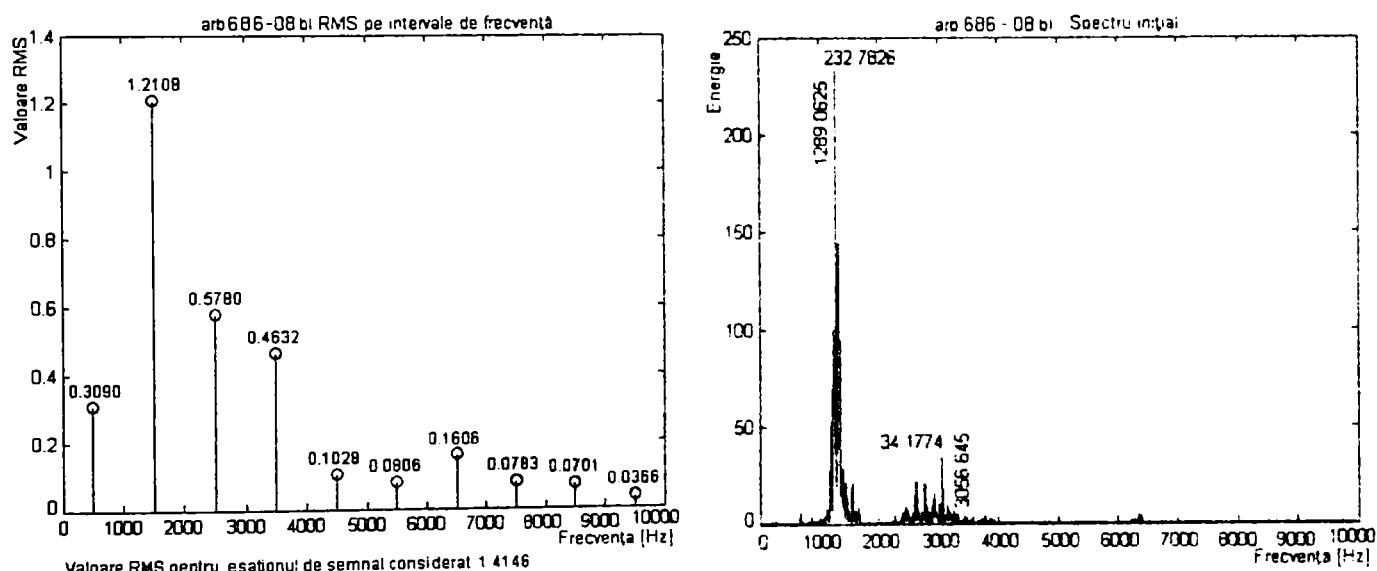


Fig. A.43.2.4.1. Diagrama RMS și spectrul de frecvență la găurile obișnuite: $n=686$ și $v_s=8$.

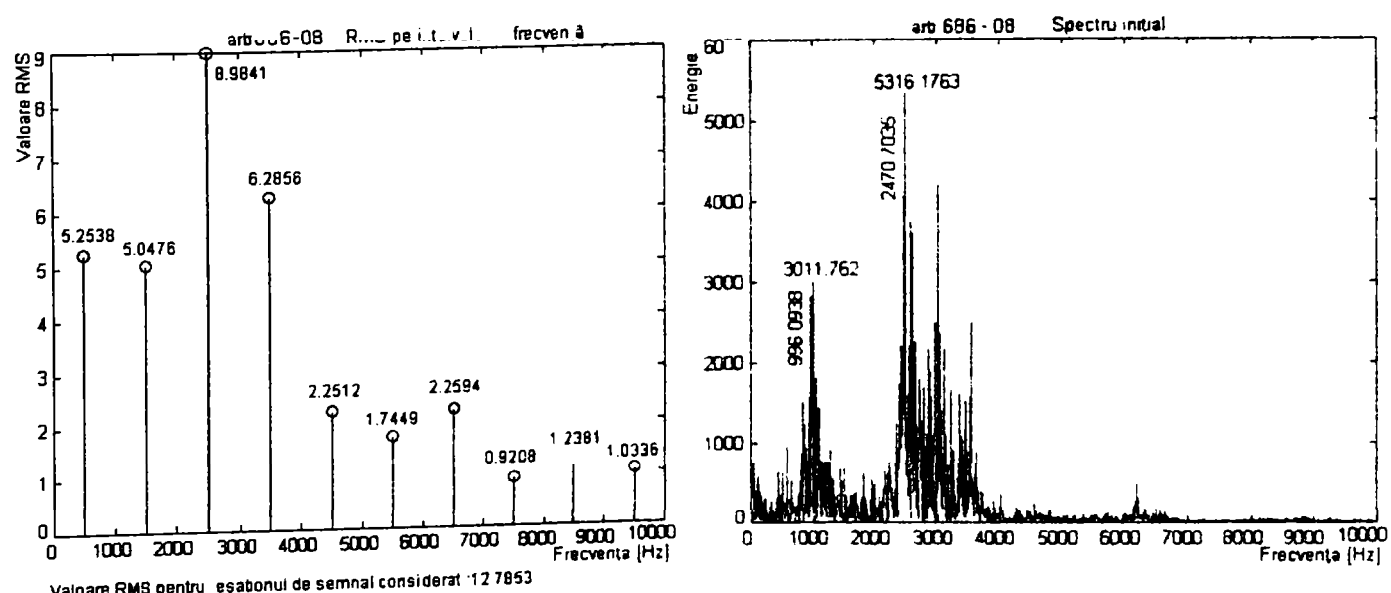


Fig. A.43.2.4.2. Diagrama RMS și spectrul de frecvență la găurile vibropercutantă: $n=686$ și $v_s=8$.

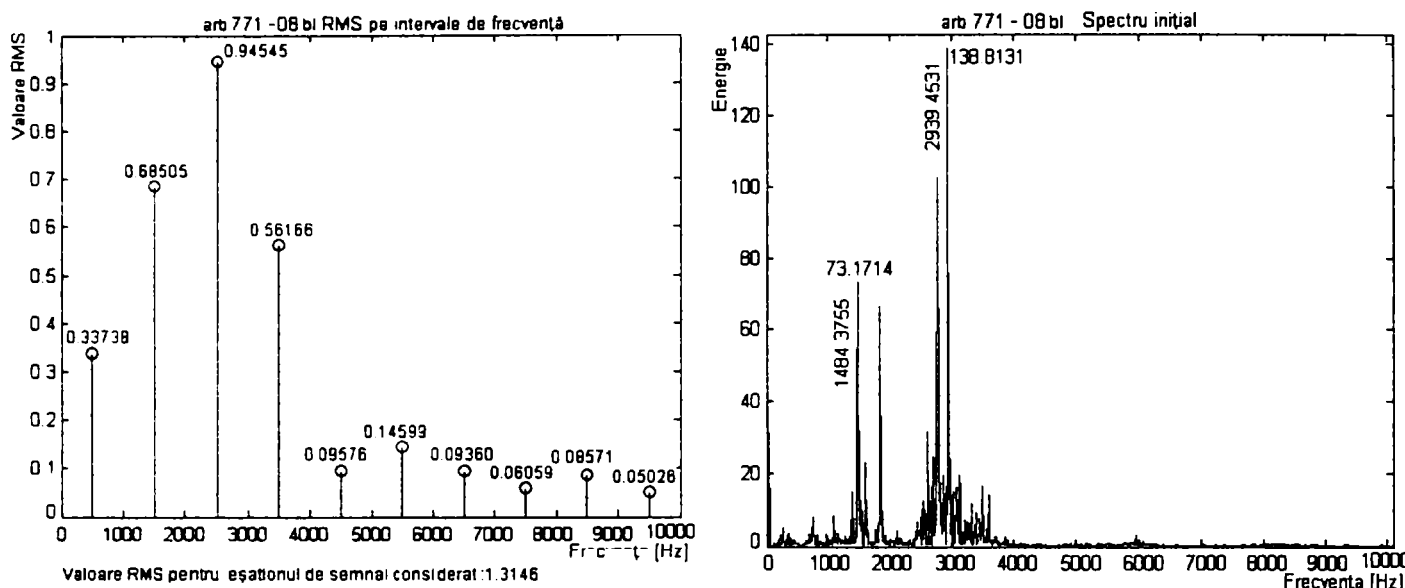


Fig. A.43.2.5.1. Diagrama RMS și spectrul de frecvență la găurile obișnuite: $n=771$ și $v_s=8$.

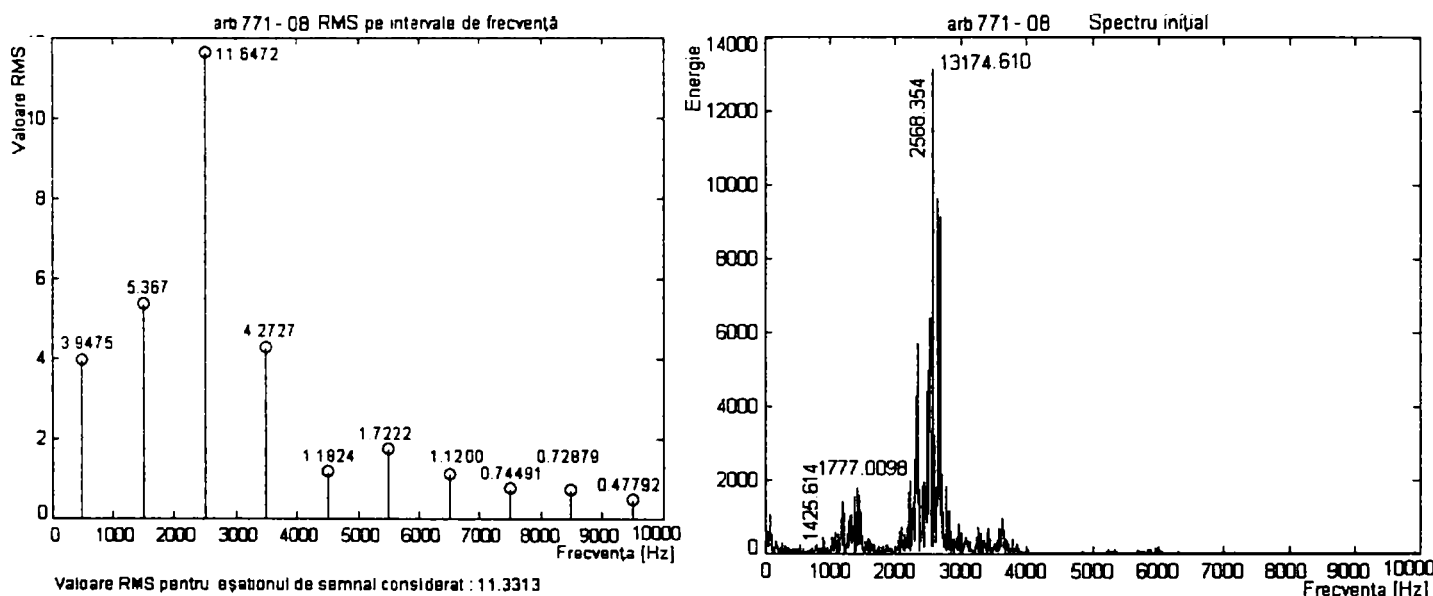


Fig. A.43.2.5.2. Diagrama RMS și spectrul de frecvență la găurile vibropercuteante: $n=771$ și $v_s=8$.

3. Măsurate pe unul dintre bacurile universalului

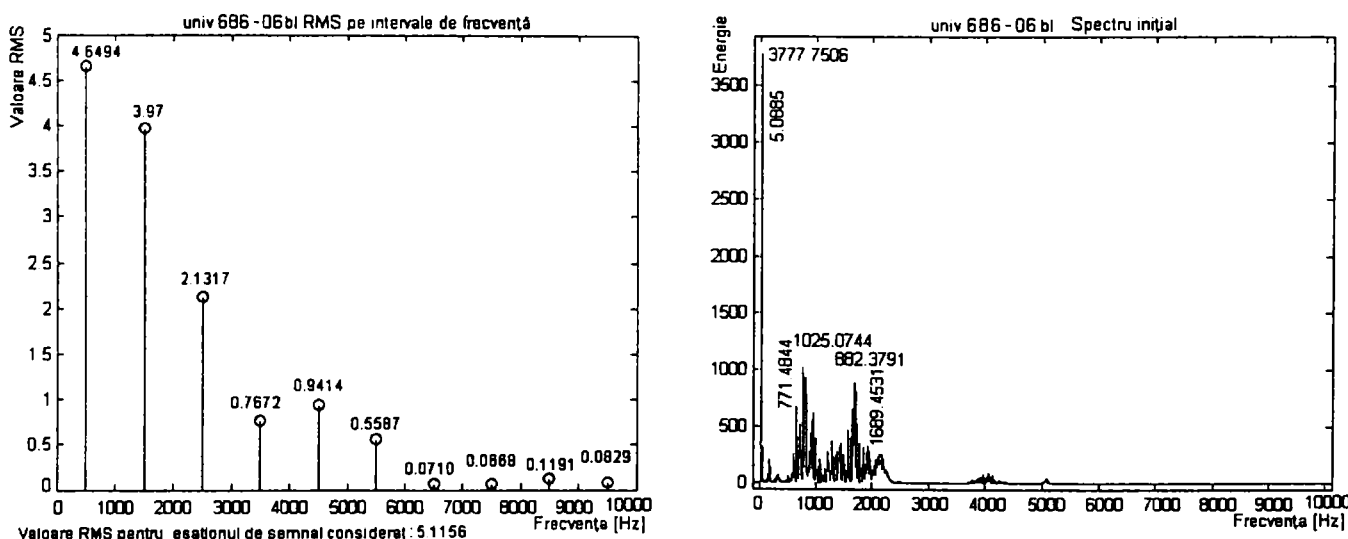


Fig. A.43.3.1.1. Diagrama RMS și spectrul de frecvență la găurile obișnuite: $n=686$ și $v_s=6$.

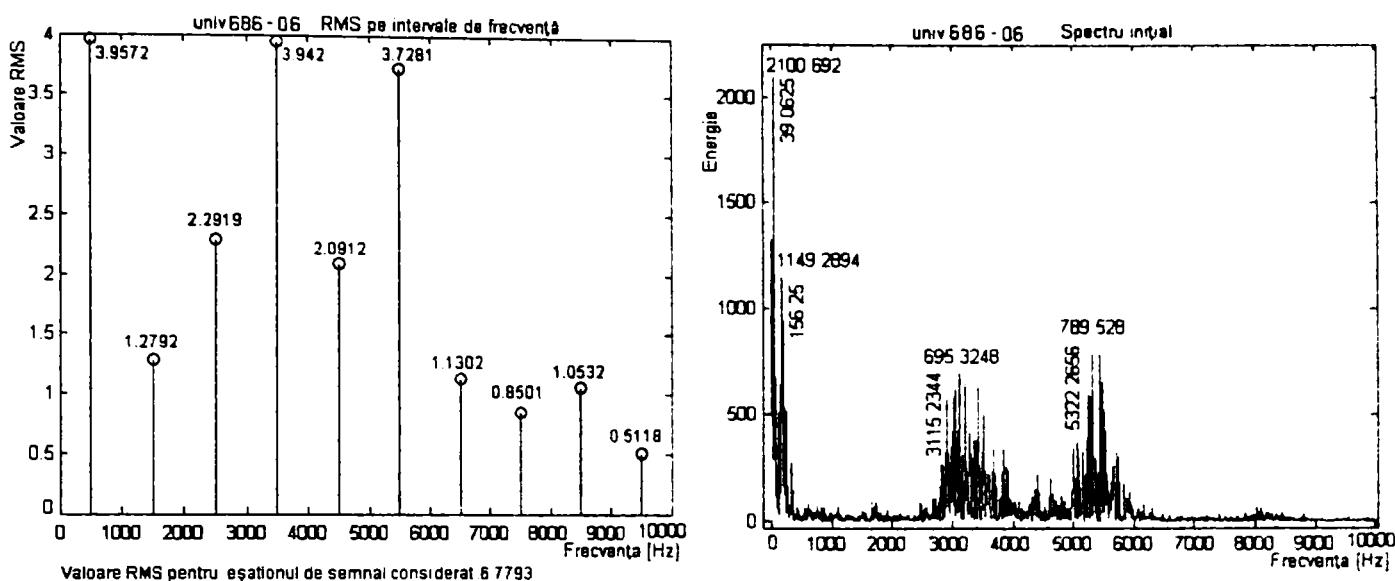


Fig. A.43.3.1.2. Diagrama RMS și spectrul de frecvență la găurile vibropercutantă: $n=686$ și $v_s=6$.

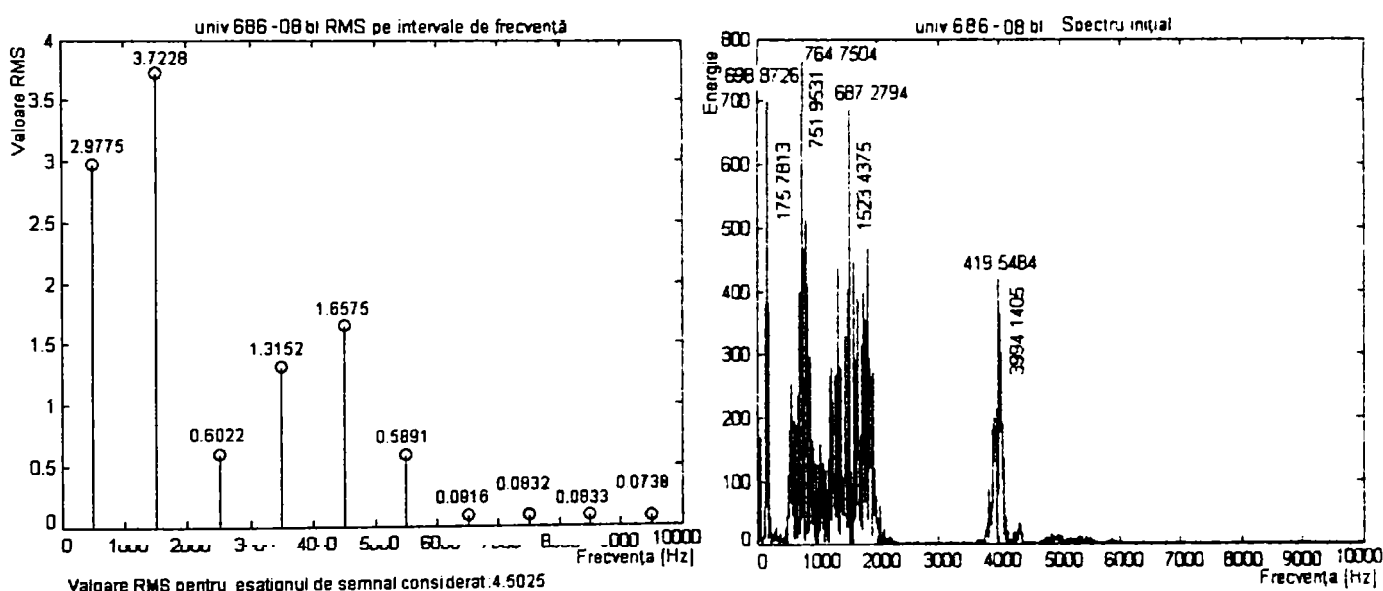


Fig. A.43.3.2.1. Diagrama RMS și spectrul de frecvență la găurile obișnuite: $n=686$ și $v_s=8$.

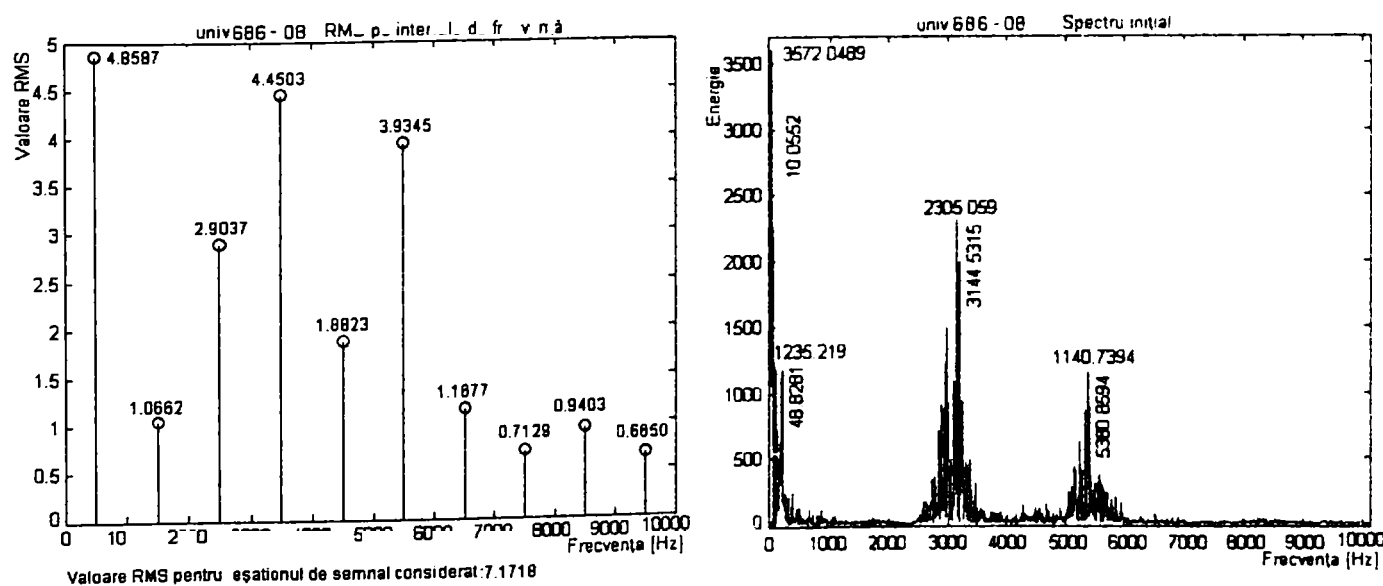


Fig. A.43.3.2.2. Diagrama RMS și spectrul de frecvență la găurile vibropercutantă: $n=686$ și $v_s=8$.

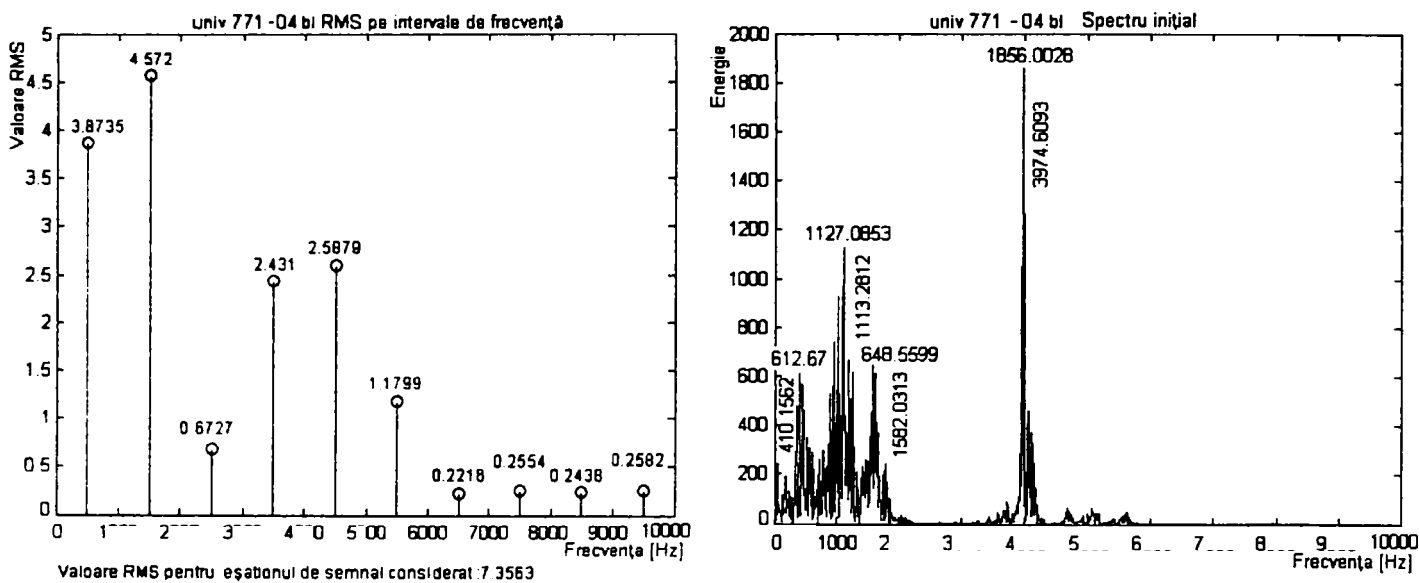


Fig. A.43.3.3.1. Diagrama RMS și spectrul de frecvență la găurile obișnuite: $n=771$ și $v_s=4$.

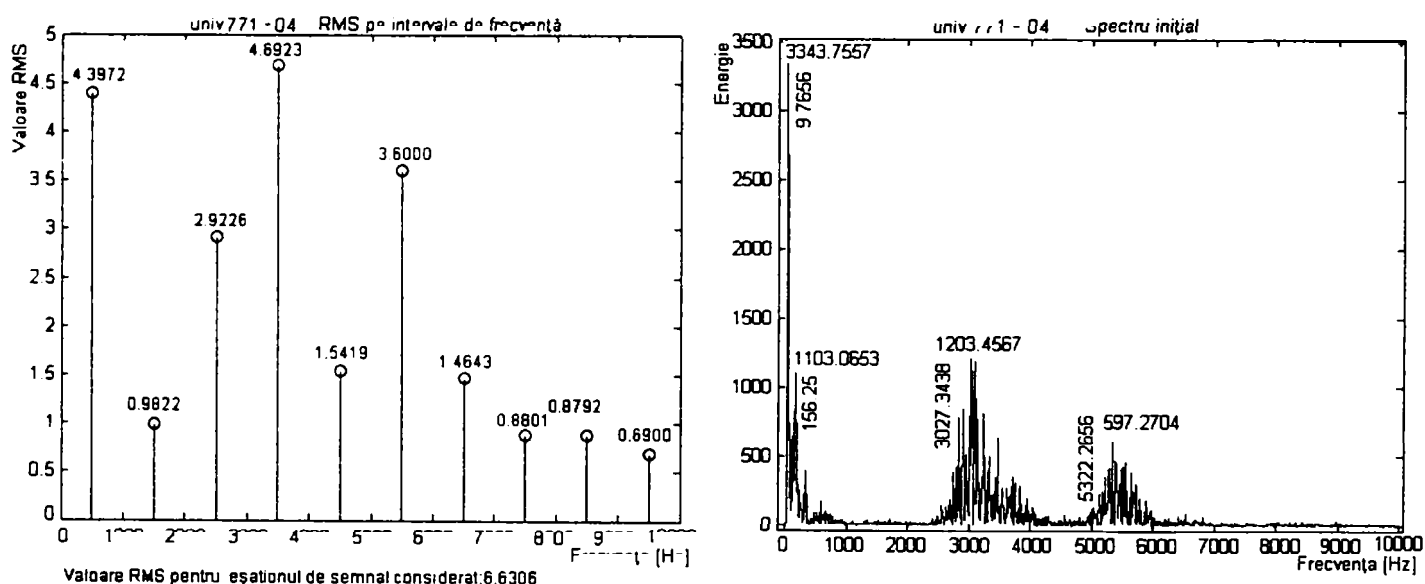


Fig. A.43.3.3.2. Diagrama RMS și spectrul de frecvență la găurile vibropercutante: $n=771$ și $v_s=4$.

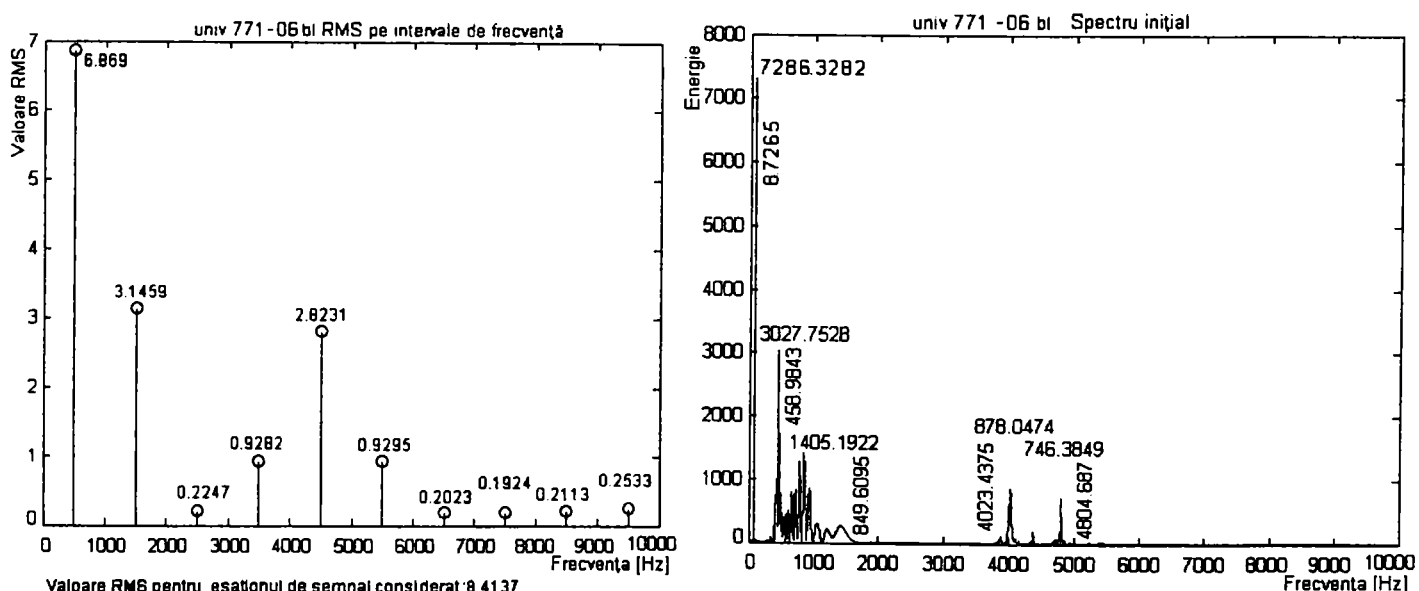


Fig. A.43.3.4.1. Diagrama RMS și spectrul de frecvență la găurile obișnuite: $n=771$ și $v_s=6$.

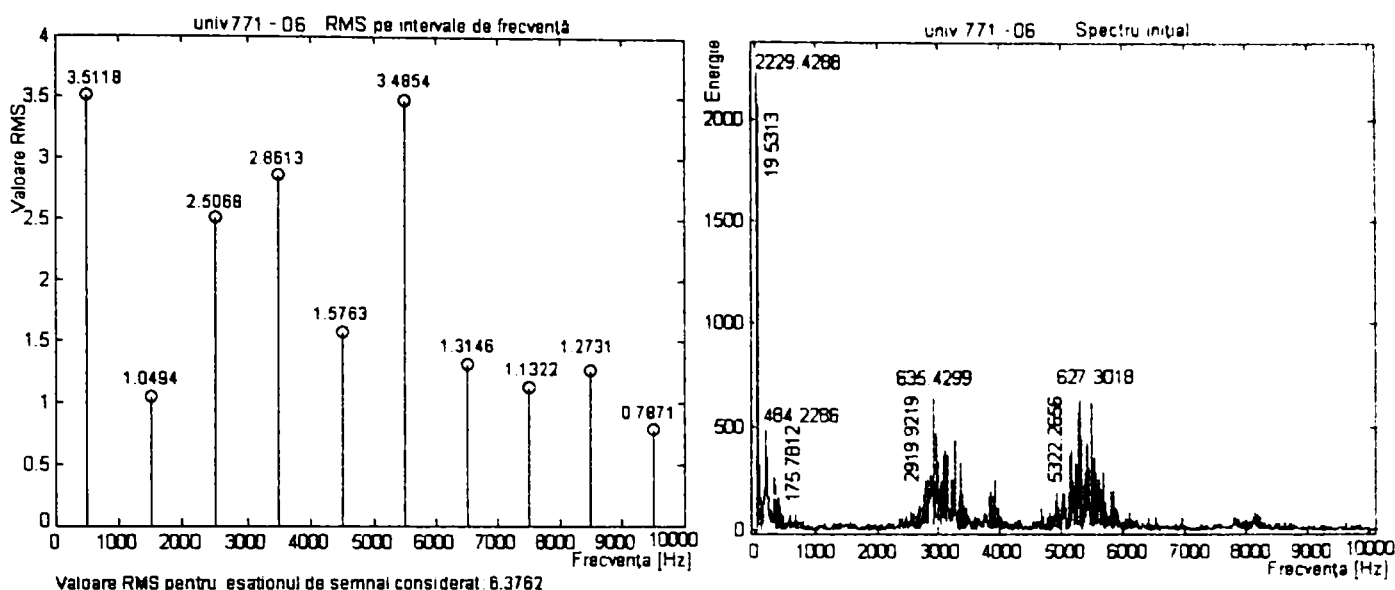


Fig. A.43.3.4.2. Diagrama RMS și spectrul de frecvență la găurile vibropercutantă: $n=771$ și $v_s=6$.

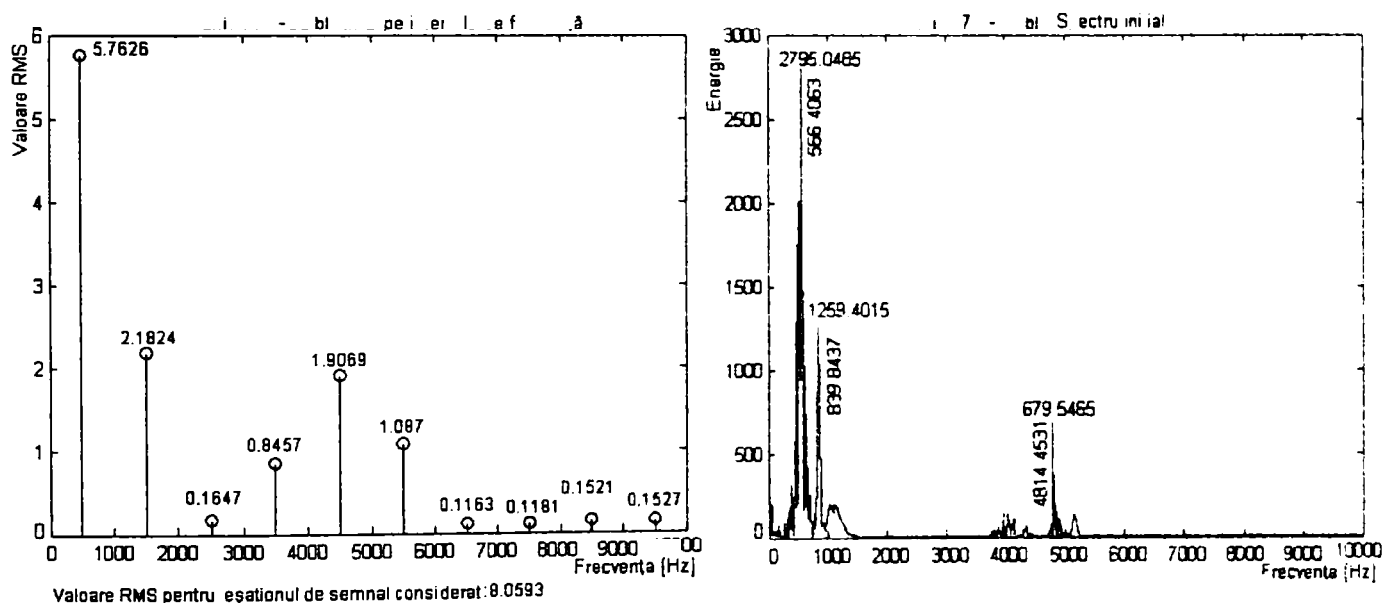


Fig. A.43.3.5.1. Diagrama RMS și spectrul de frecvență la găurile obișnuite: $n=771$ și $v_s=8$.

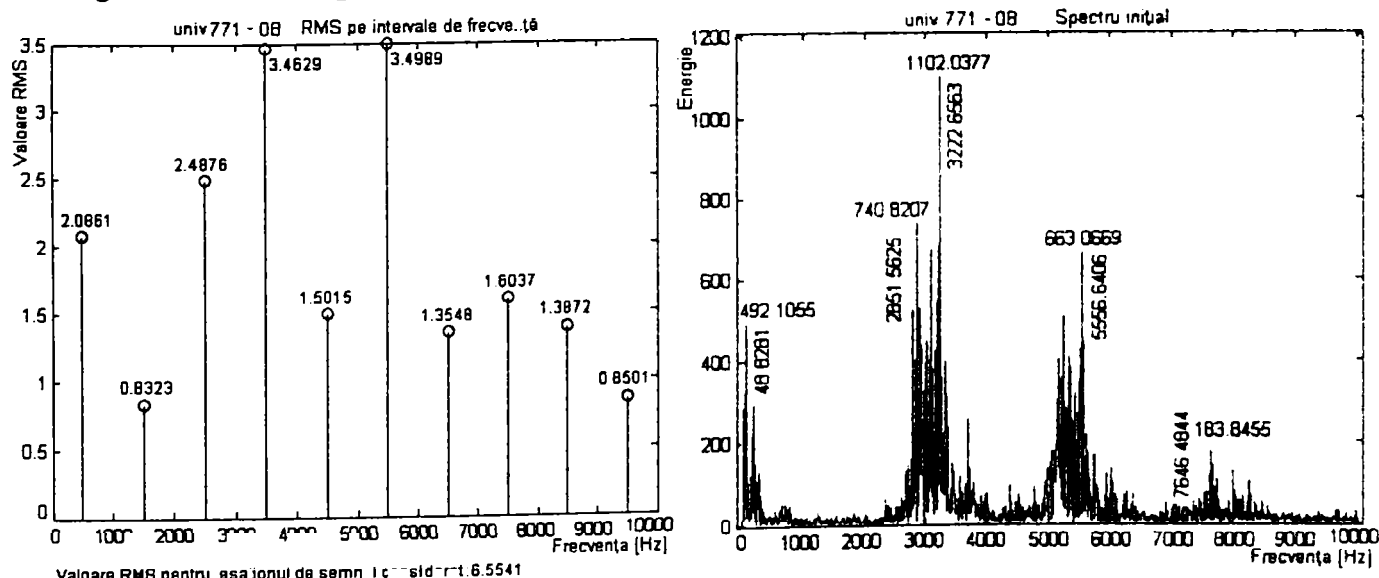


Fig. A.43.3.5.2. Diagrama RMS și spectrul de frecvență la găurile vibropercutantă: $n=771$ și $v_s=8$.

Notă: n – reprezintă turăția arborelui mașinii-unelte, iar v_s – viteza de avans al burghiului.

Program „ RMS_fft3.m” sub mediu Matlab pentru calculul și trasarea diagramelor RMS a spectrelor de frecvență

```

clear all ; clc;
% Deschidere fisier
[filename,pathname] = uigetfile('*.','Acceleratii',300,100);
if filename ~=0
    fid = fopen(strcat(pathname,filename),'r');
    [x1,count1] = fread(fid,inf,'int16');
    fclose('all');
% Transformare in volti
x1 = (x1).*(10/4096);
% Se scade valoarea offset
x1 = x1 - mean(x1);
% Constanta traductorului KD 35
kd35 = 0.0171;
% Calibrare
x1 = x1./kd35;
y1 = x1;
% Specificare parametrii
Fs = 20000;
n_fft = 2^13;
n_timp0 = input('Introduceti timp de start (secunda) : ');
n_fft = input('Interval de calcul FFT : ');
n_timp1 = n_timp0*Fs;
n_timp2 = n_timp1 + n_fft - 1;
int_timp = (n_timp0:1/20000:n_timp2/20000);
% Afisarea grafica a semnalului
figure; plot(int_timp,y1(n_timp1:n_timp2)); title('Semnal S1');
xlabel('Timp [s]'); ylabel('Acceleratie nx9,81 [m/s^2]');
% Calcul RMS semnal initial
y1_rms = sqrt(sum(y1.^2)/length(y1));
% Afisare parametrii RMS semnal initial
str_0 = strcat('Semnal initial : ');
str_0rms = strcat('RMS : ',num2str(y1_rms),';');
str_0afis = str_0rms;
disp(str_0afis);
% Transformata Fourier a semnalului
Y1 = fft(y1(n_timp1:n_timp2),n_fft);
% Spectrul de putere a semnalului
Pyy1 = Y1.*conj(Y1) / n_fft;
% Afisarea grafica a spectrului semnalului
f = Fs*(0:n_fft/2-1)/n_fft; figure; plot(f,Pyy1(1:n_fft/2)); title('Spectru initial');
xlabel('Frecventa [Hz]'); ylabel('Energie');
% Specificare numar de intervale de frecventa
nr_int = 10;
n_lat = floor(n_fft/2/nr_int);
% Calcul fft pe intervale de frecventa si reconstruire semnal filtrat
for k=1:nr_int
    % Stergerea frecventelor ce nu apartin intervalului curent

```

```

Y2 = Y1;
Y2(1:(k-1)*n_lat) = 0;
Y2(k*n_lat+1:end) = 0;
% Pregatire pentru afisare interval frecvente
str_interval = strcat('Interval frecvente :',...
num2str((k-1)*Fs/2/nr_int),'-',num2str(k*Fs/2/nr_int),':');
% Spectrul de putere
Pyy2(k,:) = (abs(Y2.*conj(Y2)) / n_fft)';
% Reconstruirea semnalului pe intervale
iy2(k,:) = (real(ifft(Y2)))^2;
figure; plot(int_timp,iy2(k,:));
title(strcat('Semnal reconstruit.',str_interval));
%%%%%%%%%%%%% Calcul RMS
iy2_rms = sqrt(sum(iy2(k,:).^2)/length(iy2(k,:)));
iy2_rms1(k) = iy2_rms;
%%%%%% Afisare RMS pe intervale
str_rms = strcat('RMS      : ',num2str(iy2_rms),':');
str_afis =str_rms;
disp(str_afis);
end
%%%%%% Diagrama RMS pe intervale de frecventa
int_frecv = (0.5:1:nr_int)*Fs/20;
figure; stem(int_frecv,iy2_rms1,'k');
title(strcat('RMS pe intervale de frecventa'));
xlabel('Frecventa [Hz]'); ylabel('Valoare RMS');
end
end

```

Anexa 45.

%Program „diag_Ra_3.m” de trasare diagrame rugozități în funcție de turătii și vitezele de avans la aşchierea obisnuită și vibropercutantă

```
y0n = [1 2 4 6 8]';
x0s = [463 559 619 686 771]';
[X,Y] = meshgrid(x0s,y0n);
[XI,YI] = meshgrid(463:1:771,1:0.1:8);
```

% Aschiere obisnuita

```
%463 559 619 686 771
```

```
rug_bll= [2.70 6.20 1.40 1.80 4.40
          4.60 3.90 2.20 2.78 4.60
          3.80 3.40 3.80 3.80 4.10
          4.80 2.60 3.90 3.30 4.50
          6.40 5.40 5.20 5.60 4.70]
```

% Aschiere vibropercutanta

```
%463 559 619       686 771
```

```
rug_nebl1= [0.90 1.10 1.20 1.10 1.60
            2.40 1.20 0.98 0.86 1.30
            2.60 1.80 0.26 1.30 0.74
            0.88 0.90 0.56 0.54 0.84
            3.80 1.10 3.80 1.70 1.40]
for i = 1:5
    x = [463 559 619 686 771];
    xi = (463:1:771);
    yi = interp1(x,rug_bll(i,:),xi,'spline');
    figure; plot(xi,yi,'r'); hold on
    plot(x,rug_bll(i,:),'rx');
    yi = interp1(x,rug_nebl1(i,:),xi,'spline');
    hold on; plot(xi,yi,'k');
    plot(x,rug_nebl1(i,:),'kx');
    xlabel('Turatie [rot/min]')
    ylabel('Rugozitate [microni]')
    title(strcat('Variatia rugozitatii masurate a suprafetelor, avans : ',num2str(y0n(i)), ' [mm/min]'));
end
```

Anexa 46.
1. Diagramele de variație ale valorilor măsurate a rugozităților suprafețelor în funcție de regimurile utilizate la așchierea obișnuită și așchierea vibropercutantă
